

Lehmanns med. Atlanten

UC-NRLF



B 4 096 678

Bd. III

# Deskriptive Anatomie

von

Joh. Sobotta

II. Teil

Die Eingeweide des Menschen einschl. des Herzens

3. Auflage

J. F. Lehmann's Verlag  
München



J. I

UNIVERSITY OF CALIFORNIA  
MEDICAL CENTER LIBRARY  
SAN FRANCISCO

HEN.

**Bd. Lehmanns r**

1. Atlas und Grundriss der topog in Würzburg. 3. vermehrte zum grossen Teil auf Ts Fr. Kotzian.
- 2.-4. Atlas der deskriptiven An
  - I. Band: (Lehmann menschlichen Kö farbigen Textfig
  - II. Band: (Lehmanns 99 farb. u. 93 schw
  - III. Band: (Lehmann) nebst einem Anh ganzseit. Abbild.
- Grundriss der deskriptiven An Anatomie mit Verweisung
5. Atlas typischer Röntgenbilder punkten, mit Berücksicht Rudolf Grashey, a. o. l Auflage. Mit 207 Tafelbilde
6. Atlas chirurgisch-patholog. R München. Mit 240 autoty
7. Grundriss und Atlas der R herausg. von Dr. Frz. M. ( 137 Tafeln und mit zahlre
8. Atlas und Lehrbuch der Hygie Fachmännern hgg. v. Prof
10. Atlas und Grundriss der Raol und 12 photogr. Tafeln un
11. Atlas und Lehrbuch wichtigel patnologie. Mit 1300 farb. Dr. Martin Mayer.
12. Die Fadenpilzkrankungen d und 2 schwarzen Tafeln.
13. Operationsübungen an der me Abbild. auf 132 Taf. und 1

**Lehmanns medizi**

1. Atlas und Grundriss der Leh Dr. O. Schaffer. 5. erweit die Krankheiten der Mundhö T. farb. Abbildungen.
5. Fr. Mraček's Atlas und Grund 109 farbigen Tafeln und 96 s
6. Atlas und Grundriss der Syphil 265 schwarzen Text-Abbild
8. Atlas und Grundriss der traumatischen Frakturen und Luxationen. Von Prof. Dr. H. Helferich. 10. neubearbeitete und vermehrte Auflage. Mit 64 farbigen Tafeln und über 400 Abbildungen im Text.
10. Atlas und Grundriss der Bakteriologie und Lehrbuch der spez. bakteriolog. Diagnostik. Von Prof. Dr. K. B. Lehmann und Prof. Dr. R. O. Neumann. 6. durch einen Anhang vermehrte Auflage. Mit ca 700 vielfarb. Originalbild. 2 Bände, Geb. M. 60.—
- 11/12. Atlas und Grundriss der pathologischen Anatomie. In 135 farbigen Tafeln und 68 Textabbildungen. Von Prof. Dr. O. v. Bollinger. 2 Bände. 3. unv. Auflage. Geb. je M. 30.—
13. Atlas und Grundriss der Verbandlehre. Von Prof. Dr. A. Hoffa in Berlin. Mit 167 Tafeln u. 209 Textabbild. 6. vermehrte Auflage. Bearbeitet von Professor Dr. R. Grashey, München. Geb. M. 24.—
14. Grundriss der Kehlkopfkrankheiten und Atlas der Laryngoskopie. 2. Aufl. mit 112 Abbild. auf 47 farb. Tafeln und 26 Textabbildungen. Von Dr. L. Grünwald. Geb. M. 20.—
16. Atlas und Grundriss der chirurg. Operationslehre. Von Prof. Dr. O. Zuckerkandl. 5. vermehrte und verbesserte Auflage. Mit 45 farbigen Tafeln und 408 Textabbildungen. Geb. M. 23.—
17. Atlas und Grundriss der gerichtlichen Medizin mit Benutzung von E. von Hofmanns Atlas der gerichtl. Medizin, herausgegeben von Prof. G. Puppe in Königsberg i. Pr. Mit 70 farbigen Tafeln und 204 Textabb. 2 Bände. Geb. M. 40.—
19. Atlas und Grundriss der Unfallheilkunde. Von Dr. Ed. Golubiewski, Berlin. 40 farb. Tafeln. 141 Textabbildungen Geb. M. 30.—
23. Atlas und Grundriss der orthopä. Chirurgie. Von Dr. A. Lünig und Dr. W. Schulthess. Mit 16 farbigen Tafeln und 366 Textabbildungen. Geb. M. 32.—
24. Atlas und Grundriss der Ohrenheilkunde. Herausgegeben von Dr. G. Brühl unter Mitwirkung von Prof. Dr. A. Politzer. 3. Auflage. Mit 270 farbigen und 187 schwarzen Abbildungen. Geb. M. 23.—
26. Atlas und Grundriss der zahnärztlichen Orthopädie. Von Zahnarzt E. Herbst, D. D. S., in Bremen. Mit 3 vielfarb. lithograph. Tafeln und 438 zum Teil zweifarbigen Abbildungen. 2. Auflage erscheint 1921
30. Lehrbuch und Atlas der Zahnheilkunde, mit Einschluss der Mundkrankheiten von Dr. med. Gustav Preiswerk. 3. Aufl. Mit 56 farbigen Tafeln und 141 Textabbildungen. Geb. M. 48.—
31. Atlas und Grundriss der Lehre von den Augenoperationen. Von Prof. Dr. O. Haab in Zürich. Mit 30 farbigen Tafeln und 154 Textabbildungen. 2. unv. Auflage. Geb. M. 36.—
33. Lehrbuch und Atlas der zahnärztlichen Technik von Dr. med. G. Preiswerk. 4. Auflage. Mit 28 Dreifarbendruck-Tafeln und 367 schwarzen und farbigen Abbildungen. Geb. M. 70.—
35. Atlas und Grundriss der Embryologie der Wirbeltiere und des Menschen von Professor Dr. A. Gurwitsch in St. Petersburg. Mit 143 vielfarbigen Abbildungen auf 59 Tafeln u. 136 schwarzen Textabbildungen. Geb. M. 24.—
36. Grundriss u. Atlas der speziellen Chirurgie. Von Prof. Dr. G. Sultan in Berlin. Bd. I. Mit 40 vielfarbigen Tafeln und 218 zum Teil zwei- und dreifarbig Textabbildungen. Text 29 Bogen 8°. 2. Auflage erscheint 1921.
37. — — Bd. II. Mit 40 vielfarb. Tafeln und 261 zum Teil zwei- und dreifarb. Textabb. Text 40 Bogen 8°. Geb. M. 32.—
38. Lehrbuch u. Atlas der konservierenden Zahnheilkunde. V. Dr. G. Preiswerk. Mit. 32 farb. Taf. u. 323 Textabb. 2. Aufl. ersch. 1921
39. Lehrbuch und Atlas der zahnärztlich-stomatologischen Chirurgie. Von Dr. Paul Preiswerk-Maggi, Privatdozent in Basel. Mit 35 farbigen Tafeln und 230 schwarzen Abbildungen. 2. Aufl. erscheint 1921

**Bd. Lehmanns medizinische Lehrbücher. Lexikon-Oktav.**

1. Die Erkennung der Geistesstörungen. Von Prof. Dr. Wilhelm Weygandt, Hamburg. Mit einem serologisch-diagnostischen Teile von Privatdozent Dr. med. Viktor Kafka. 208 Seiten Lexikon-Oktav mit 18 farb. Tafeln und 318 Textabbildungen. Geh. M. 34.—, geb. M. 42.—

**in Quartformat.**

chultze, Professor der Anatomie zburg. Mit vielen meist farbigen, der A. Schmittson, K. Hajek und Erscheint Mitte 1921

st. d. Anatomie in Bonn.

enke, Regionen und Muskeln des gen auf Tafeln, sowie 29 zum Teil Geb. M. 52.—

ten, einschl. d. Herzens. 3. Aufl. Mit fig. v. Maler K. Hajek. Geb. M. 48.—

1. die Sinnesorgane des Menschen, t 302 meist vierfarb. u. z. gr. Teil Geb. M. 64.—

12. vorsteh. Atlas der deskriptiven d. geh. M. 6.—, III. Bd. geh. M. 12.—

chirurgisch-praktischen Gesichtsaufnahmetechnik. Von Dr. med. in München. 3. bedeut. erweiterte 4. Aufl., erscheint 1921

tenzarzt a. d. K. chir. Klinik zu lem Text. 2. Aufl. erscheint 1921

3. hervorragenden Fachgelehrten autotypischen Abbildungen auf Erscheint Frühj. 1921

In Verbindung mit 19 hervorr. larunt. 4 farb. Tafeln. Geb. M. 56.—

schwarz. Abbild. auf 34 autotyp. Geb. M. 40.—

rer Berücksichtigung der Tropen- n Prof. Dr. R. O. Neumann und Geb. M. 80.—

it 78 Abbildungen auf 29 farbigen Geb. M. 20.—

berlin. 20 Bogen Text mit 317 farb. Geb. M. 60.—

**gefassten Lehrbüchern.**

als vielfarbigen Abbildungen. Von z. Zt. vergriffen!

Aufl. Mit 57 farb. Tafeln und 230 z. rbuch M. 24.— II: Atlas M. 20.—), onek in Giessen. 4. unv. Aufl. Mit Geb. M. 52.—

2. Aufl. Mit 81 farbigen Tafeln und Geb. M. 32.—

10. neubearbeitete und vermehrte Erscheint 1921

2 Bände, Geb. M. 60.—

2 Bände. 3. unv. Auflage. Geb. je M. 30.—

6. vermehrte Geb. M. 24.—

Geb. M. 20.—

Geb. M. 23.—

Geb. M. 40.—

Geb. M. 30.—

Geb. M. 32.—

Geb. M. 23.—

2. Auflage erscheint 1921

Geb. M. 48.—

Geb. M. 36.—

Geb. M. 70.—

Geb. M. 24.—

2. Auflage erscheint 1921.

Geb. M. 32.—

2. Aufl. ersch. 1921

2. Aufl. erscheint 1921

Die am 15. März 1921 gültigen Verlagsteuerzuschlä

inbegriffen.



J. F. LEHMANN'S Verlag in MÜNCHEN.

---

# Die Chirurgie in Einzeldarstellungen.

Herausgegeben von Professor Dr. Rudolf Grashey in München.

Die Bände der „Chirurgie in Einzeldarstellungen“ sollen die persönlichen Erfahrungen und Studien einzelner Chirurgen auf ihren speziellen Arbeitsgebieten bringen, sind also weniger als belehrende Übersichten über bestimmte Fragen gedacht, sondern sollen die Früchte eigener Erfahrung und eigenen Könnens enthalten, also möglichst individuell und subjektiv gefärbt sein.

Wenn jemand seine technischen Methoden so veranschaulichen will, daß ihm der Leser bis in die Einzelheiten folgen kann, oder wenn er anatomisch-physiologische Studien aus chirurgisch interessanten Gebieten erschöpfend darstellen will, so muß er möglichst viele und gute Abbildungen bringen; eine gute Abbildung sagt mehr als tausend Worte, aber die großen Kosten sind den Wünschen der Autoren solcher Monographien im Wege. Die großzügige Arbeitsweise des Lehmann'schen Verlags gibt mir die Garantien, daß die Wünsche der Autoren, welche in der genannten Richtung die Schätze ihres Wissens der Mit- und Nachwelt überliefern wollen, in weitestgehender Weise berücksichtigt werden können. Die ersten erscheinenden Bände werden am deutlichsten den Beweis liefern, daß das Unternehmen in dieser Form einem tatsächlichen Bedürfnis entgegenkommt.

Der Herausgeber.

---

Band I u. II.

## Die Praxis der Gallenwege-Chirurgie in Wort und Bild.

Ein Lehrbuch und Atlas für INTERNE und CHIRURGEN.

Auf Grund eigener, bei 2000 Laparotomien gesammelter Erfahrungen bearbeitet von  
Professor Dr. HANS KEHR, Geh. Sanitätsrat in Berlin.

Erster Band:

**Die Vorbereitungen zu einer Operation an den Gallenwegen und die allgemeine Technik der Gallenwege-Chirurgie.**

Umfang: 28 Bogen mit 48 farbigen und 23 schwarzen Tafeln und 116 Abbildungen im Text.

Preis geheftet M. 56.—, in Leinwand gebunden M. 70.— (Friedensausstattung — Holzfreies Papier)

Zweiter Band:

**Die spezielle Technik der Gallenwege-Chirurgie mit Einschluß der Nachbehandlung und der Operationserfolge.**

Umfang: 42 Bogen mit 9 farbigen und 46 schwarzen Tafeln und 112 Abbildungen im Text.

Preis geheftet M. 56.—, in Leinwand gebunden M. 70.— (Friedensausstattung — Holzfreies Papier)

Das vor uns liegende Werk ist ein herrliches Dokument deutschen Fleißes und deutscher Gründlichkeit! Es ist eine Darstellung der Gallenwege-Chirurgie von einer Ausführlichkeit und Vertiefung in jede sich möglicherweise ergebende Situation, fußend auf einem überaus sorgfältigen Studium der Fachliteratur und auf einer von niemand anderem erreichten, reichen, persönlichen Erfahrung . . .

. . . Das Kehrsche Werk stellt zur Stunde die umfassendste, die gründlichste und beste Bearbeitung der Gallenwege-Chirurgie dar, welche in der Weltliteratur existiert. Keiner, der sich praktisch mit ihr beschäftigen will, kann dasselbe vermissen! Seine Bilder sind unerreicht in ihrer Schönheit und Wahrhaftigkeit. Die Lehrkraft des Buches ist eine überzeugende und werbende. Für jede schwierige Lage enthält es den praktisch erprobten Rat. Es ist eine Fundgrube des Wissens, gleich wertvoll für den Internisten, den praktischen Arzt, den Chirurgen — ein ganzes Werk, aus einem Guß, aus einer Hand, von einem Mann!

Payr-Leipzig (in der „Münchn. mediz. Wochenschrift“).

---

In Vorbereitung befindet sich Band III der Chirurgie in Einzeldarstellungen:

## Adhaesionen in der Bauchhöhle

von Geh. Medizinalrat Professor Dr. E. PAYR in Leipzig.

Mit vielen, zum Teil farbigen Tafeln und Textabbildungen.

---

Die am 15. März 1921 gültigen Verlagssteuergesetze sind in obigen Preisen inbegriffen.



J. F. LEHMANN'S Verlag in MÜNCHEN.

---

**Lehmanns medizinische Atlanten.** *Neue Folge in Quartformat.*

*Band IX.*

# **Atlas und Lehrbuch der Histologie** **und mikroskopischen Anatomie des Menschen**

von Dr. J. Sobotta,

o. ö. Professor der Anatomie und Direktor des anatomischen Instituts in Bonn.

**Dritte, unveränderte Auflage.**

Mit 400 zum größten Teil mehrfarbigen Abbildungen nach Originalen von Univers.-Zeichner W. Freytag.

**Preis gut gebunden M. 80.—.**

Aus einer Besprechung der zweiten Auflage:

Deutsche militärärztl. Zeitschrift: Die vorliegende Auflage läßt von der alten fast nichts mehr erkennen. Das Format ist geändert, der Text, die Abbildungen, Kunstwerke ersten Ranges, alles erscheint in neuer Fassung und Gestalt. 56 Tafeln zeigen in wundervoller Färbung die Gewebsbilder, als sähen wir sie im Mikroskop. Gewöhnlich ist jedes Präparat in dreifacher Größe dargestellt. Ueber das Werk kann man nur ein Urteil fällen, es ist eben ein „Lehmannscher Atlas“.

---

*Band II—IV.*

# **Atlas der deskriptiven Anatomie des Menschen**

von Dr. J. Sobotta, o. ö. Professor der Anatomie in Bonn.

I. Abteilung (Lehmanns medizinische Atlanten in 4°, Band II):

## **Knochen, Bänder, Gelenke, Regionen und Muskeln des menschlichen Körpers.**

**Dritte Auflage.**

Mit 166 farbigen und 143 schwarzen Abbildungen auf Tafeln, sowie 29 zum Teil farbigen Textfiguren nach Originalen von Maler K. Hajek. — **Preis gut gebunden M. 52.—.**

II. Abteilung (Lehmanns medizinische Atlanten in 4°, Band III):

## **Die Eingeweide des Menschen einschließlich des Herzens.**

**Dritte Auflage.**

Mit 99 farbigen und 93 schwarzen Abbildungen auf Tafeln, sowie 36 zum Teil farbigen Figuren im Text nach Originalen von Maler K. Hajek. — **Preis gut gebunden M. 48.—.**

III. Abteilung (Lehmanns medizinische Atlanten in 4°, Band IV):

## **Das Nerven- und Gefäßsystem und die Sinnesorgane des Menschen**

nebst einem Anhang: **Das Lymphgefäßsystem des Menschen.**

**Dritte Auflage.**

Mit 148 farbigen und 128 schwarzen Abbildungen auf Tafeln, sowie 64 zum Teil farbigen Figuren im Text nach Originalen von Maler K. Hajek. — **Preis gut gebunden M. 64.—.**

---

# **Grundriß der deskriptiven Anatomie des Menschen.**

Ein Handbuch zu jedem Atlas der deskriptiven Anatomie mit besonderer Berücksichtigung und Verweisungen auf Sobottas Atlas der deskriptiven Anatomie. Von Professor Dr. med. J. Sobotta.

**I. Teil, 2. Auflage erscheint Frühj. 1921, II. Teil geheftet M. 6.—, III. Teil geheftet M. 12.—.**

Vereinsblatt pfälzischer Ärzte: . . . . Es ist nicht zuviel gesagt, wenn wir annehmen, daß eine bessere Wiedergabe der deskriptiven Anatomie, als sie Sobotta uns gibt, kaum noch je zu erreichen sein dürfte. In ein paar Jahren wird es so sein, daß man wie früher in seinem Heitzmann, Spalteholz oder Toldt, nun in seinem Sobotta nachschlägt und sich orientiert.

Im Gegensatz zu ähnlichen Werken bringt die Sobotta'sche Anatomie die Nerven und Blutgefäße stets im gleichen Bild vereint dargestellt, so, wie sie der Student bei den anatomischen Präparierübungen auszuarbeiten genötigt ist. Es fällt also bei Benutzung dieses Werkes das so außerordentlich störende, vom Lernenden sehr unangenehm empfundene mehrfache Umblättern fort.

---

**Die am 15. März 1921 gültigen Verlagsteuerzuschläge sind in obigen Preisen inbegriffen.**



# **Lehmann's medizinische Atlanten**

**Band III.**



# **Atlas der deskriptiven Anatomie des Menschen.**

Von

**Dr. med. J. Sobotta**

o. ö. Professor der Anatomie und Direktor des anatomischen Instituts an der Universität Bonn.

---

I.

**Knochen, Bänder, Gelenke, Regionen und Muskeln des menschlichen Körpers.**

II.

**Die Eingeweide des Menschen einschliesslich des Herzens.**

III.

**Das Nerven- und Gefässsystem und die Sinnesorgane des Menschen.**

---



*Ermanell Exane. '27*

LEHMANN'S MEDIZINISCHE ATLANTEN.

Band III.

---

# Atlas der deskriptiven Anatomie des Menschen.

Von

**Dr. med. J. Sobotta**

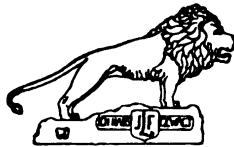
o. ö. Professor der Anatomie und Direktor des anatomischen Instituts an der Universität Bonn.

II. Abteilung:

**Die Eingeweide des Menschen einschliesslich des Herzens.**

Dritte Auflage.

Mit 99 farbigen und 93 schwarzen Abbildungen auf Tafeln, sowie 36 zum Teil farbigen  
Figuren im Text nach Originalen von Maler **K. Hajek**.



J. F. Lehmanns Verlag, München

1920.

---

Alle Rechte, insbesondere das der Uebersetzung in fremde  
Sprachen, behalten sich Urheber und Verleger vor.  
Copyright 1922 J. F. Lehmann, München.

---

Druck der Tafeln von *Meisenbach Riffarth & Co.*, München.  
Druck des Textes von *Dr. F. P. Datterer & Cie.*, München-Freising.  
Autotypien von *C. Angerer & Göschl*, Wien.  
Papier von *Bohnenberger & Co.*, Niefen.  
Einbände von *L. Beer*, München.



QM  
25  
S67a  
3d ed.  
v. 2  
1920

V

## Aus dem Vorwort der ersten Auflage.

Der vorliegende zweite Band des Atlas der deskriptiven Anatomie schliesst sich unmittelbar an den ersten an. Er enthält die Eingeweidelehre und von der Gefässlehre das Herz. Letzteres an die Eingeweide anzugliedern, erschien mir deswegen von grossem Vorteil, weil bei den anatomischen Präparierübungen das Herz mit den Eingeweiden zusammen präpariert zu werden pflegt, den Studierenden die Benützung des Atlas damit also erleichtert wird.

Die Auswahl und die Art der Darstellung der abgebildeten Präparate entspricht vollkommen der des ersten Bandes, d. h. es wurde zwar die topographische Anatomie als solche, namentlich die topographisch-chirurgische Anatomie nicht eigens berücksichtigt, dagegen vielfach — insbesondere in Uebersichtsbildern — eine Art topographischer Darstellungsweise angewandt.

Die sämtlichen Abbildungen dieses Bandes wurden mit alleiniger Ausnahme der Tafeln 34—36\*) von Herrn Maler K. Hajek in durchaus mustergültiger Weise hergestellt.

Die Verlagsbuchhandlung ist bei Herstellung dieses Bandes noch mehr als beim ersten Bande darauf bedacht gewesen, die Reproduktionen so vorzüglich wie nur irgend möglich zu gestalten und hat in dieser Beziehung keine Kosten gescheut.

Würzburg, im August 1904.

Der Verfasser.

## Vorwort zur zweiten Auflage.

Die zweite Auflage bringt insofern eine Reihe von Aenderungen gegenüber der ersten, als die lithographischen Tafeln dieser teils durch solche im sogen. Dreifarbendruck, teils durch Reproduktion mittels mehrfarbigen Autotypiedruckes ersetzt wurden. Dabei wurden einige Tafeln gänzlich umgestaltet. Insbesondere für den Situs der Baueingeweide, das Bauchfell, zum Teil die weiblichen Genitalien wurden neue Bilder eingefügt. Alle Abbildungen stammen von der bewährten Hand des Malers K. Hajek.

Für Beihilfe beim Lesen der Korrekturen bin ich Herrn Dr. Essig, Assistenten der hiesigen Anatomie, verpflichtet.

Würzburg, im Februar 1914.

Der Verfasser.

## Vorwort zur dritten Auflage.

Die dritte Auflage hält sich in der figürlichen Darstellung fast vollkommen im Rahmen der zweiten. Nur der begleitende Text hat einige Aenderungen erfahren. Für Beihilfe beim Lesen der Korrekturen bin ich Herrn Dr. Heyer und Fr. Dr. Süss, Assistenten des anatomischen Instituts in Bonn zu Dank verpflichtet.

Bonn, im August 1919.

Der Verfasser.

\*) Die Originale dieser drei Bilder stammen noch vom Maler A. Schmitson.

126595

## Erklärung

der in diesem Bande angewandten Abkürzungen.\*)

---

a. oder art. = arteria  
ant. = anterior oder antcrius  
cart. = cartilago  
duct. = ductus  
ext. = externus, —na, —num  
inc. = incisura  
inf. = inferior, —ius  
int. = internus, —na, —num  
later. = lateralis, —le  
lig. = ligamentum  
m. = musculus\*\*)  
mm. = musculi  
med. = medialis, —le  
n. = nervus  
nn. = nervi  
post. = posterior, —ius  
sup. = superior, —ius  
v. oder ven. = vena, venae  
X hinter einem Namen bedeutet, dass der betreffende  
Teil abgeschnitten, durchschnitten, etc. ist.

\*) Hier nicht angegebene Abkürzungen ergeben sich entweder aus dem Zusammenhang oder sind besonders an Ort und Stelle erklärt.

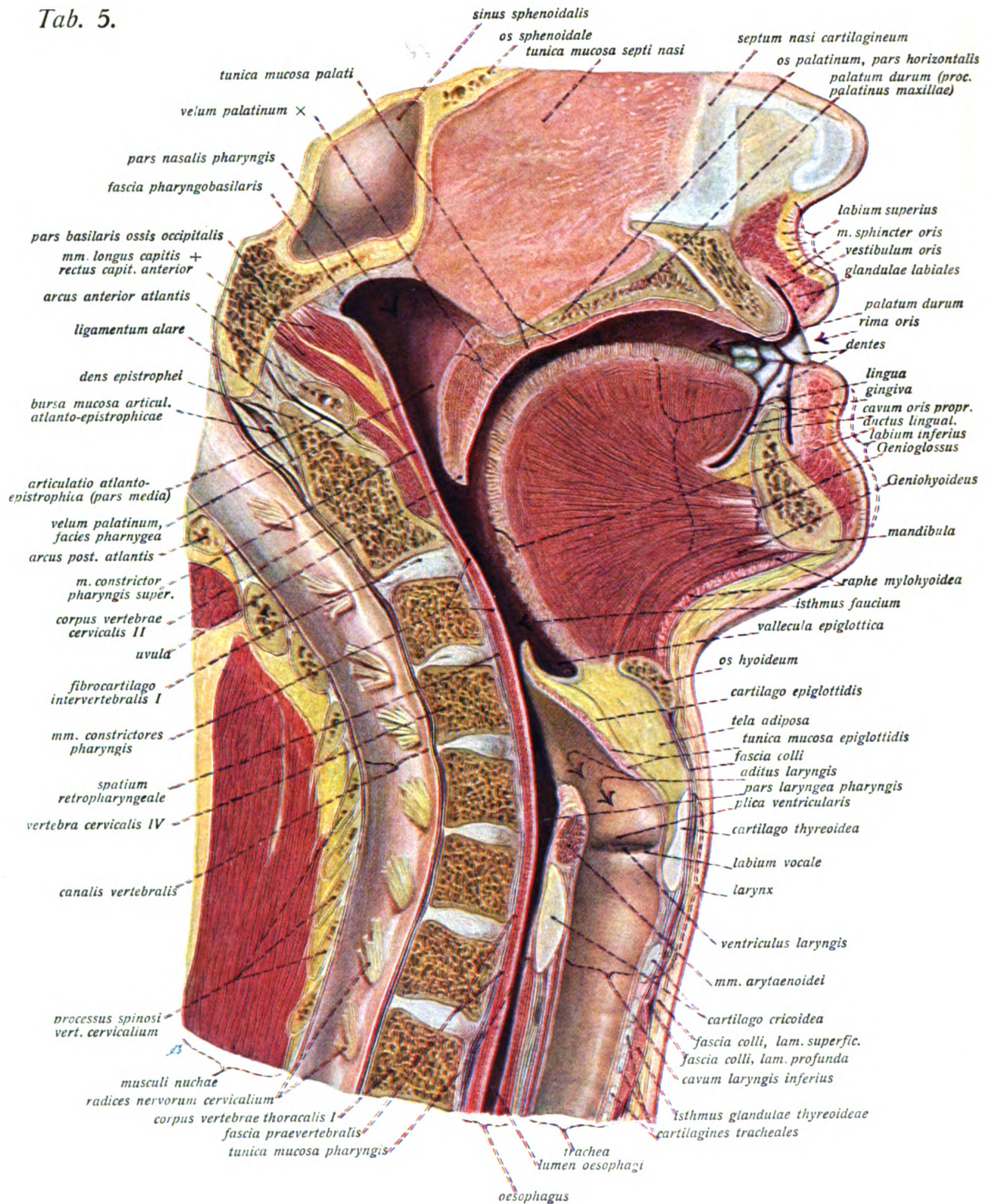
\*\*) In der Regel ist das m. oder musculus vor dem Muskelnamen fortgelassen und dieser durch grosse Anfangsbuchstaben vor gleichnamigen Nerven etc. ausgezeichnet.

---





Tab. 5.



# Eingeweidelehre, *Splanchnologia*.

Tafel 5. Medianschnitt der Kopf- und Halseingeweide.

Fig. 327.

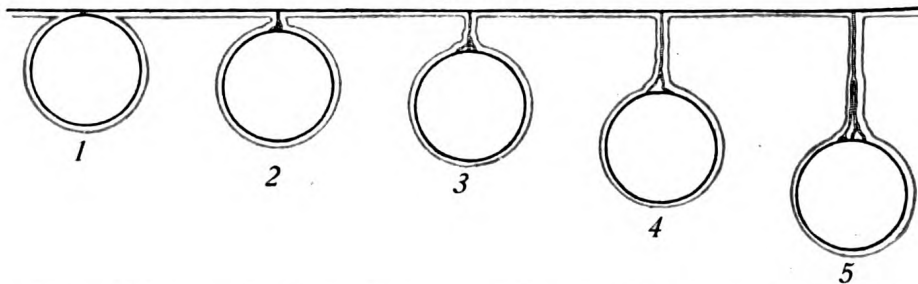


Fig. 327. Schema des Verhaltens von Eingeweiden zum Bauchfell (rot).

1 = Eingeweide, welches die (hintere) Bauchwand berührt.  
2—5 = Eingeweide, welche von der (hintern) Bauchwand mehr oder weniger weit entfernt sind. Die hintere Bauchwand ist durch eine schwarze Linie, die zutretenden Gefässe der Eingeweide sind durch geschlängelte Doppelkonturen gekennzeichnet.

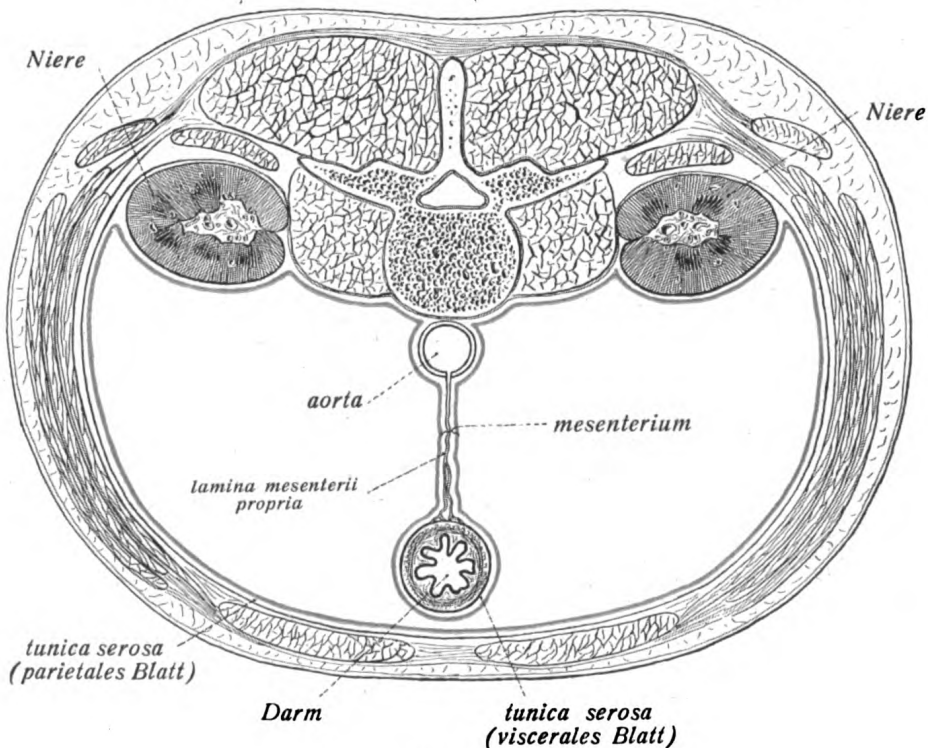


Fig. 328.

Schema einer serösen Höhle; seröse Haut rot.



# Verdauungsapparat, apparatus digestorius.

266

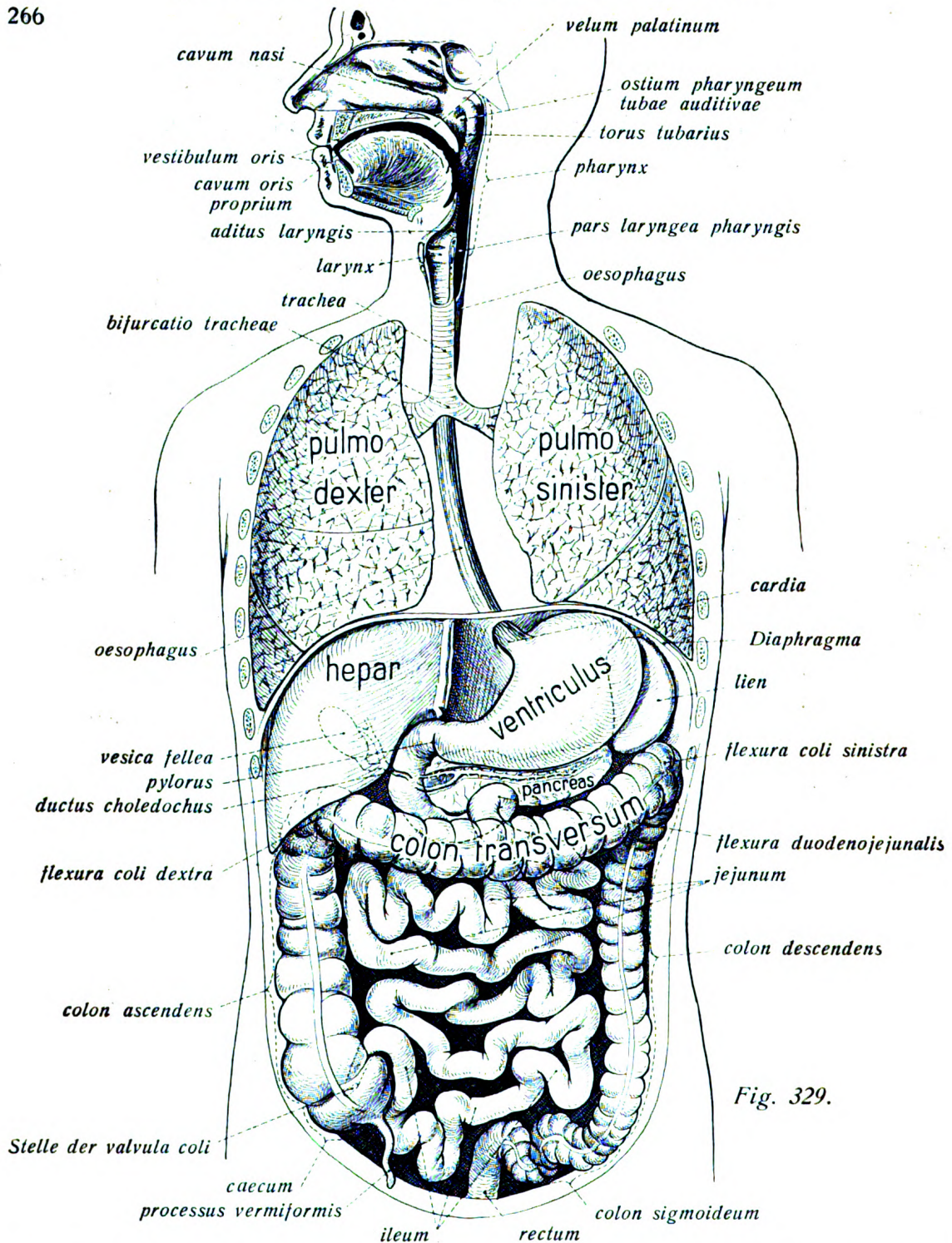


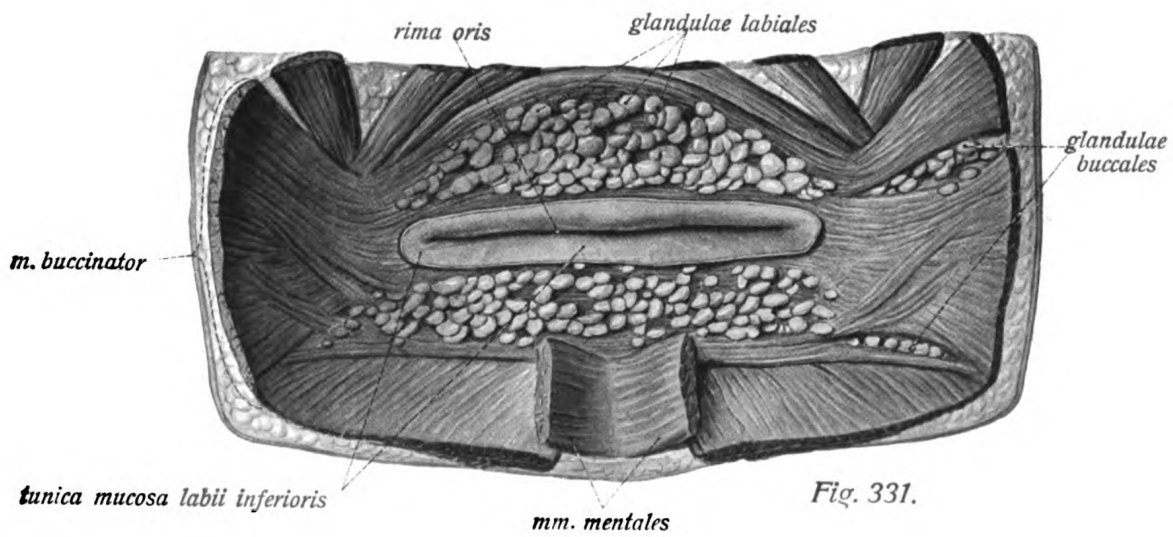
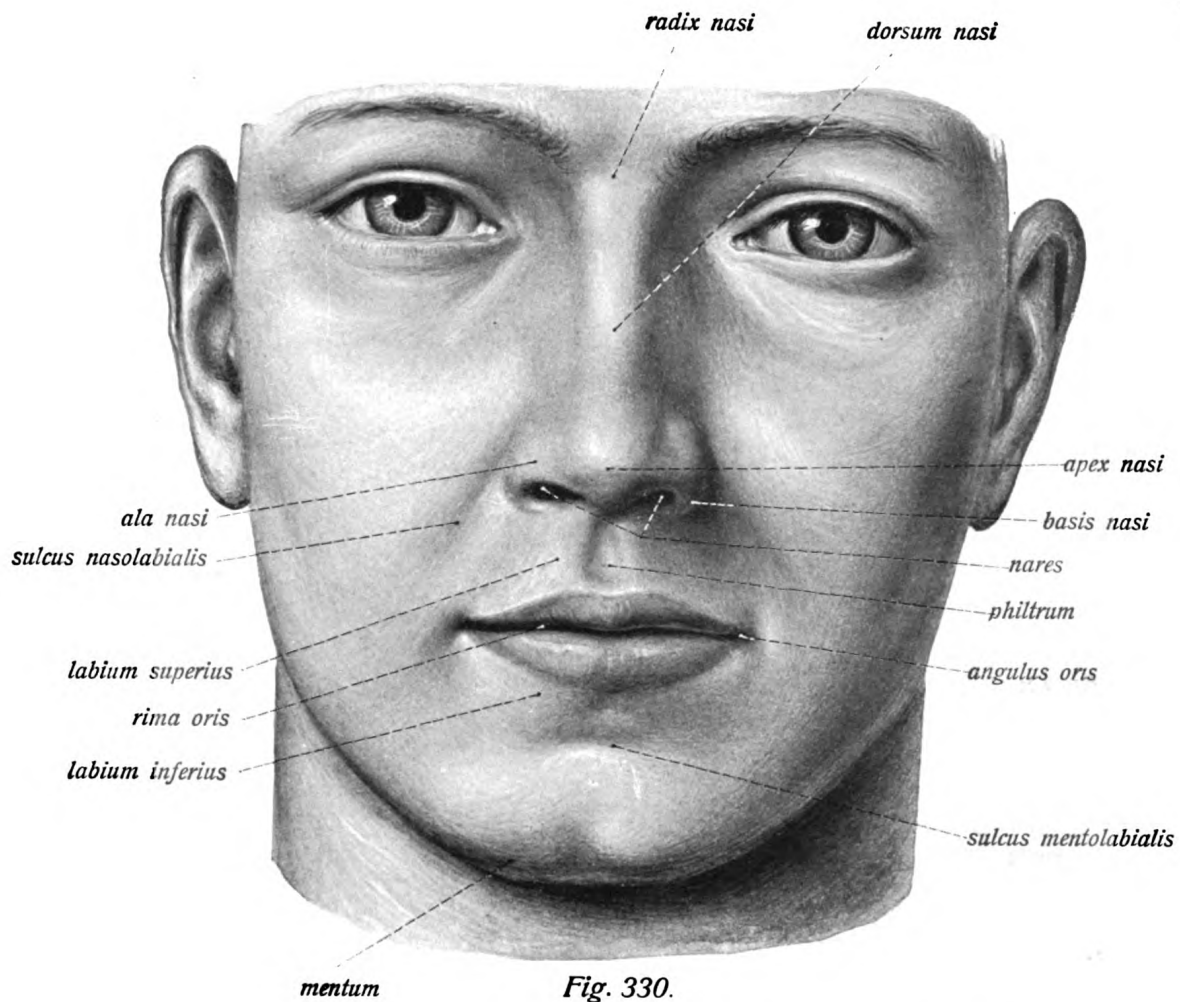
Fig. 329.

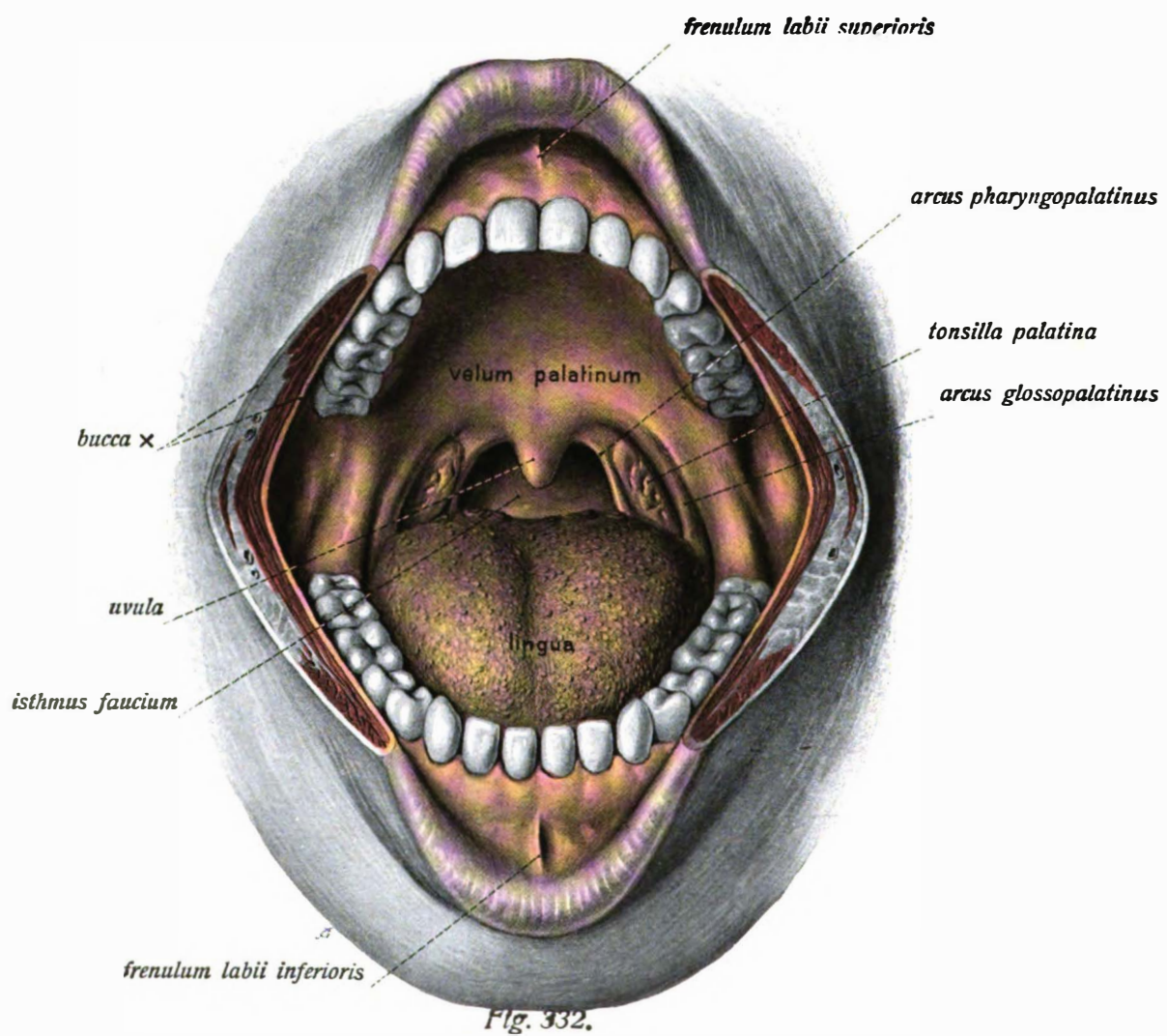
Fig. 329. Schematisches Uebersichtsbild des Verdauungs- und Respirationsapparates.

Fig. 330. Mund-, Kinn- und Nasengegend von vorne gesehen. ( $\frac{4}{5}$ )

Fig. 331. Die Lippendrüsen in der Ansicht von hinten. Die Schleimhaut ist entfernt. ( $\frac{1}{1}$ )







## Der Verdauungsapparat, *apparatus digestorius*, Mundhöhle, *cavum oris*.

Fig. 332. Ansicht der Mundhöhle von vorn. ( $\frac{1}{1}$ )

Die Wangen sind eine Strecke weit vom Mundwinkel aus durchschnitten, beide Kiefer stark von einander entfernt, Ober- und Unterlippe nach oben und unten zurückgeschlagen.

### Mundhöhle, *cavum oris*.

Die Mundhöhle, *cavum oris*, der Anfangsteil des ganzen Verdauungstraktus, ist eine unregelmässig gestaltete, längliche, im unteren Abschnitt des Gesichtes gelegene Höhlung, die eine teils knöcherne, teils häutige beziehungsweise muskulöse Begrenzung besitzt. Die Mundhöhle zerfällt durch die beiden Zahnreihen in zwei nicht vollständig getrennte Räume, das *vestibulum oris* und das *cavum oris proprium*.

Das *vestibulum oris* ist ein schmaler, im wesentlichen zwischen den Lippen beziehungsweise Wangen einerseits und den Zähnen andererseits gelegener, etwa halbkreisförmiger Raum. Er steht bei geschlossener Zahnreihe hinter dem letzten Molarzahn mit dem *cavum oris proprium* durch die Mundspalte, *rima oris*, mit der Aussenwelt in Verbindung. Ihre Begrenzung bilden die Lippen, *labia*, welche an den Mundwinkeln, *anguli oris*, mittelst der *commissura labiorum* zusammenhängen. Die Lippen bilden gleichzeitig den grössten Teil der vorderen Wand des *vestibulum oris*. Man unterscheidet die längere Oberlippe von der kürzeren Unterlippe. Die äussere Fläche der Oberlippe, *labium superius*, zeigt eine flache, ziemlich breite, mediane Furche, *philtrum* genannt. Eine schräge, von den Nasenflügeln gegen die Wange laufende, leicht bogenförmige Furche, *sulcus nasolabialis*, trennt Lippe und Wange, *bucca*. Die Unterlippe, *labium inferius*, ist kürzer als die Oberlippe. An ihrer äusseren Fläche trennt der *sulcus mentolabialis* Unterlippe und Kinn, *mentum*. Die Lippen bestehen aus äusserer Haut mit Haaren, Muskulatur des *musculus orbicularis oris* und Lippenschleimhaut. Letztere enthält die Lippendrüsen, *glandulae labiales*, Schleimdrüsen von Linsenkorn- bis Klein-Erbsengrösse. Die Hinterfläche der Lippen wird durch dünne Schleimhautfalten, *frenula labiorum*, an die Schleimhaut, welche die Alveolarfortsätze des Ober- und Unterkiefers überzieht, das Zahnfleisch, *gingiva*, befestigt. Das *frenulum labii superioris* ist stets deutlicher und länger als das der Unterlippe.

Seitlich von den Lippen bilden die Wangen, *buccae*, die Begrenzung des *vestibulum oris* nach aussen. Sie bestehen wie die Lippen aus äusserer Haut (mit stärkeren Haaren beim männlichen Geschlecht), Muskulatur des *musculus buccinator* und Schleimhaut. Letztere ist hier dünn und enthält die teilweise im *m. buccinator* eingebetteten oder selbst an seiner äusseren Fläche liegenden *glandulae buccales*. Ferner liegt im Winkel zwischen *Buccinator* und *Masseter* das *corpus adiposum buccae*, eine stärkere Anhäufung von Fettgewebe, das beim Neugeborenen den ganzen Bereich der Wangenhaut einnimmt.



### Verdauungsapparat, Mundhöhle. (Forts.)

Fig. 333. Ansicht der Mundhöhle und des Gaumens nach Durchschneidung der Wangen.

\* = Ausbreitung der Fasern des Levator veli palatini. ( $\frac{1}{1}$ )

Die Schleimhaut des Gaumens ist rechts teilweise entfernt, um die Drüsen zu zeigen, links sind am weichen Gaumen nach Entfernung der Drüsen die Muskeln freigelegt.

Das *cavum oris proprium* wird oben vom Gaumen, *palatum*, begrenzt und durch diesen von der Nasenhöhle getrennt. Den Boden der Mundhöhle bildet hauptsächlich die Zunge, welche auch bei geschlossenem Munde den Raum der Höhle bis auf einen relativ schmalen Spalt zwischen Zungenrücken und Gaumen ausfüllt. Die vordere und seitliche Begrenzung geschieht durch die Zahnbögen, die hintere teilweise durch den weichen Gaumen und die Gaumenbögen; im übrigen kommuniziert an seiner hinteren Wand das *cavum oris* durch den *isthmus faucium* mit der *pars oralis pharyngis*.

Der Gaumen, *palatum*, besteht aus zwei Teilen, dem harten Gaumen, *palatum durum*, und dem weichen, *palatum molle*. Ersterer wiederholt genau das Relief der harten Gaumenplatte des Skelets. Seine Schleimhaut ist dick und fest, durch stärkere, submuköse Bündel innig mit dem Periost des Knochens verbunden. Sie enthält viele Schleimdrüsen, *glandulae palatinae*. In der Medianlinie bildet die Schleimhaut des harten Gaumens eine schwach erhabene Linie, die Gaumennaht, *raphe palatina*, ferner an deren vorderem Ende eine kleine, der Stelle des foramen incisivum entsprechende, längliche, warzenförmige Erhebung, *papilla incisiva*, ausserdem im vorderen Abschnitt drei bis vier Querfalten, *plicae palatinae transversae*, die im Alter oft ganz verschwinden, beim Neugeborenen in grösserer Zahl vorkommen können.

Der weiche Gaumen (Gaumensegel), *palatum molle* s. *velum palatinum*, ist eine beiderseits von Schleimhaut (der Mundhöhle bzw. des Rachens) überzogene, an Muskeln und Drüsen reiche, die Mundhöhle von der *pars nasalis pharyngis* trennende Platte. Sie sitzt mit ihrer Basis am hintern Rande der knöchernen, harten Gaumenplatte, geht unmittelbar in die Schleimhaut des harten Gaumens über, hängt (im schlaffen Zustande) schräg nach hinten und unten herab und endet hier in einem abgerundet-kegelförmigen Anhang, dem Zäpfchen, *uvula*. Das Zäpfchen steht in Ruhestellung der Muskeln so, dass seine Spitze nach vorn umgebogen ist. Die Schleimhaut des weichen Gaumens ist ziemlich glatt, viel dünner als die des *palatum durum* und ungemein reich an *glandulae palatinae*. Die seitlichen Teile des Gaumensegels, die beiden Gaumenbögen, *arcus palatini*, sind Schleimhautfalten mit daringelegenen Muskeln, welche die Rachenenge, *isthmus faucium*, d. h. die Uebergangsstelle der Mundhöhle in die Rachenhöhle begrenzen (s. u. p. 305).

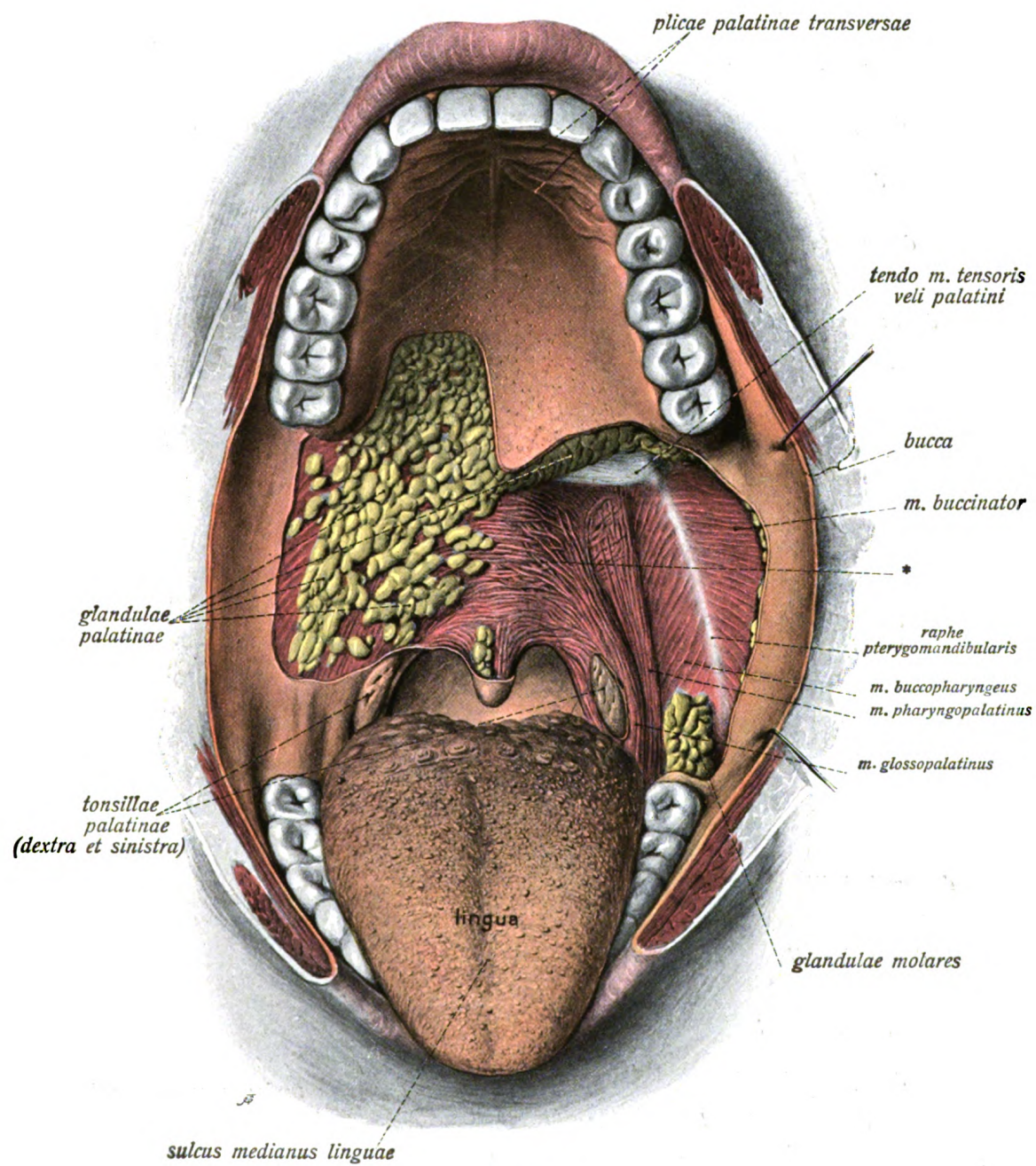


Fig. 333.

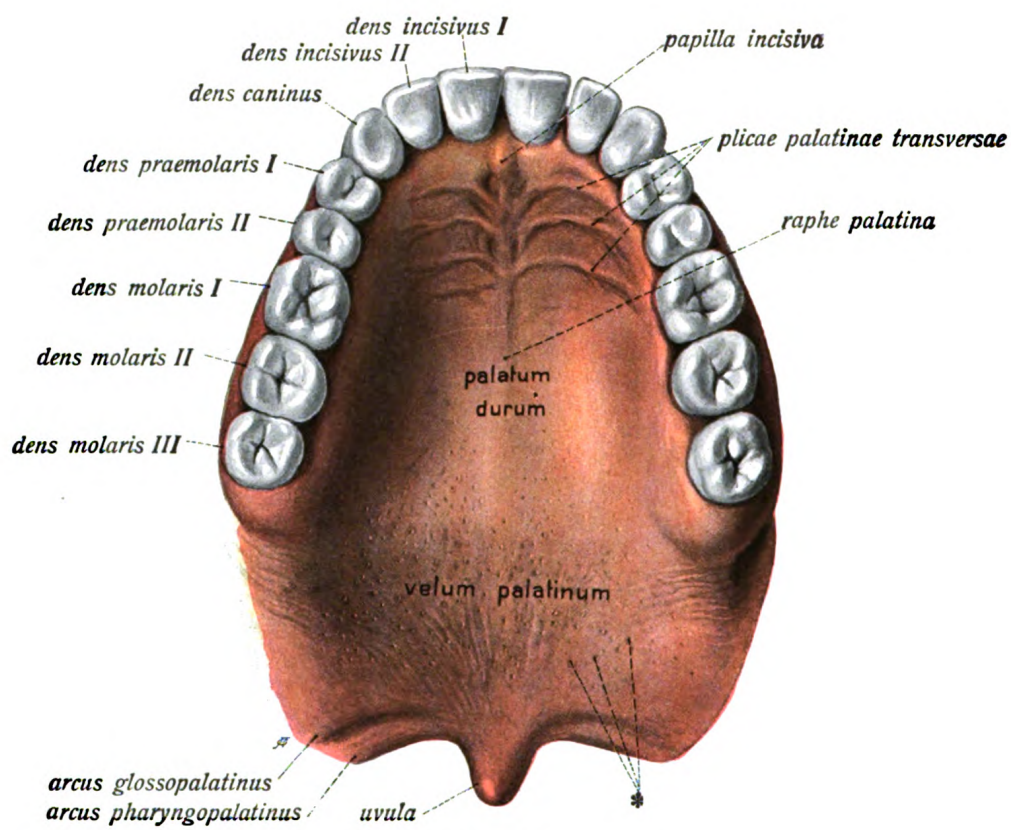


Fig. 334.

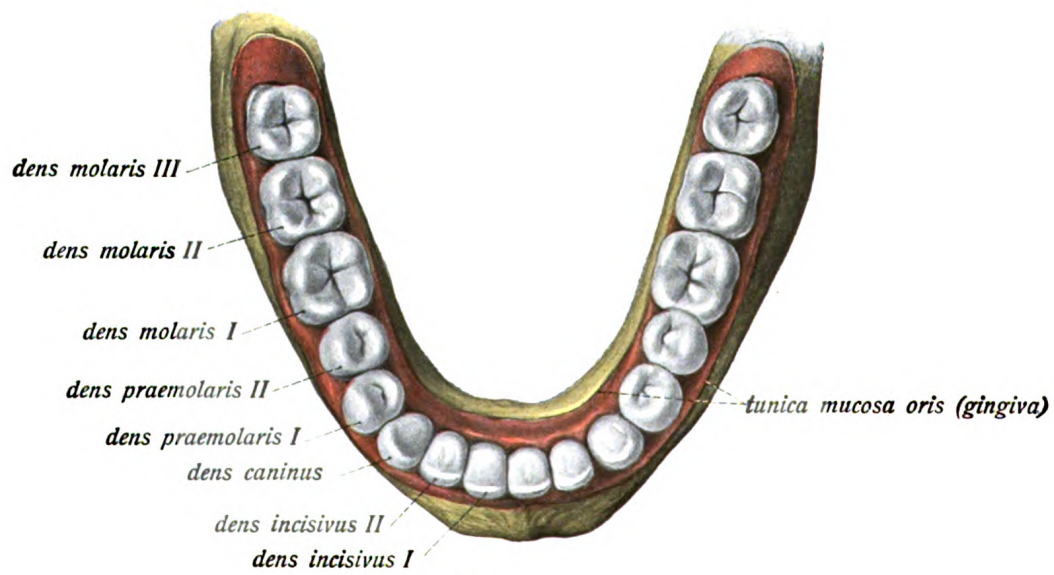


Fig. 335.



### Verdauungsapparat, Zähne, *dentes*.

- Fig. 334. Der Gaumen mit dem arcus dentalis superior von unten gesehen; man sieht auf die Kauflächen der Zähne, *facies masticatoria dentium*. \* = Mündungen der *glandulae palatinae*. ( $\frac{1}{1}$ )
- Fig. 335. Untere Zahnreihe, arcus dentalis inferior, von oben gesehen. Man sieht auf die Kauflächen der Zähne. ( $\frac{1}{1}$ )

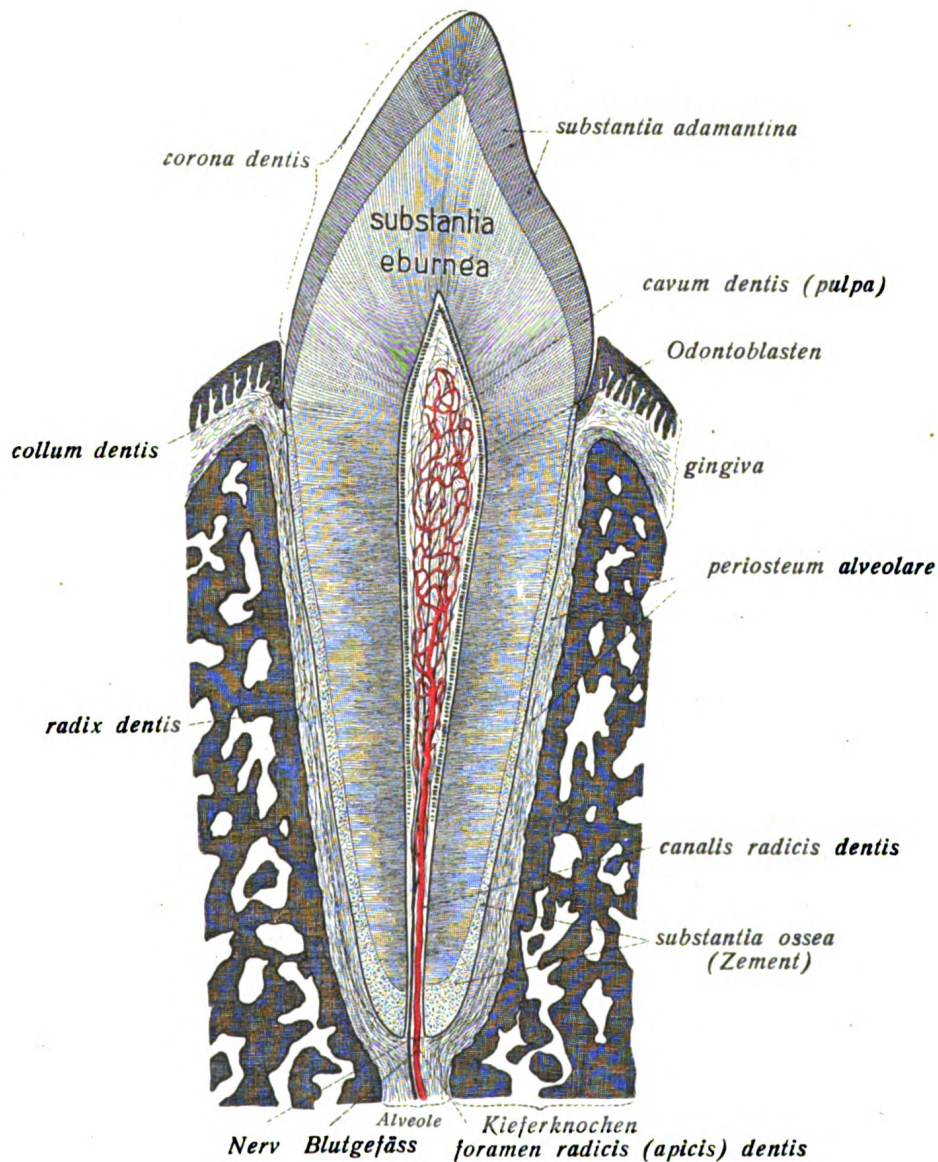


Fig. 336. Längsschnitt eines Zahnes in der Alveole (schematisiert).

### Verdauungsapparat, Zähne. (Forts.)

Fig. 337. Die Zähne der oberen und unteren Reihe von der labialen beziehungsweise buccalen Fläche gesehen. (<sup>1</sup>/<sub>1</sub>)

Fig. 338. Die Zähne der oberen und unteren Reihe von der lingualen Fläche gesehen. c = caninus, in = incisivus, i = inferior, l = lateralis, m = medialis, mo = molaris, pr = praemolaris, s = superior.\*) (<sup>1</sup>/<sub>1</sub>)

#### Zähne, *dentes*.

Die Zähne, *dentes*, sind kegelförmige Bildungen, welche mit ihrem als Wurzel, *radix dentis*, bezeichneten Abschnitt in den Alveolen der Kiefer stecken. Den vom Zahnfleisch, *gingiva*, umgebenen Teil nennt man Zahnhals, *collum dentis*, den frei in die Mundhöhle ragenden Teil des Zahns Krone, *corona dentis*. Von den drei Hauptbestandteilen des Zahns, Schmelz, Dentin und Zement, findet sich der erstere nur im Bereich der Krone, letzteres nur an der Wurzel; am Hals des Zahnes treffen die Enden von Schmelz und Zement (in stark verdünnter Schicht) zusammen. Der Schmelz hat eine glänzende Oberfläche, ist weiss mit bläulichem oder gelblichem Schimmer, während die Wurzel leicht gelblich und matt, ohne Glanz ist. An jeder Zahnkrone unterscheidet man die dem Zahn der gegenüberliegenden Reihe zugekehrte Fläche als Kaufläche, *facies masticatoria*; die der Lippe beziehungsweise der Wange zugekehrte Fläche heisst *facies labialis s. buccalis*, die an die Zunge grenzende Fläche *facies lingualis*, die Flächen, mittelst welcher zwei benachbarte Zähne aneinanderstossen, heissen *facies contactus*.

Die Wurzel des Zahns ist einfach oder mehrfach, im allgemeinen kegelförmig gestaltet. Sie trägt an ihrer Spitze, *apex radices dentis*, ein Loch, *foramen apicis*, die äussere Ausmündung eines die Wurzel ihrer Länge nach durchsetzenden Kanals, des *canalis radices dentis*. Dieser erweitert sich im Bereiche des Zahnhalses zu einer grösseren, im Innern der Zahnkrone gelegenen, von einem weichen Gewebe, der *pulpa dentis*, erfüllten Höhle, dem *cavum dentis*, auch Pulpahöhle genannt. Diese gibt im wesentlichen die Form des ganzen Zahnes wieder, besitzt aber fast regelmässig feine Fortsätze, die dem Kronenrelief entsprechen.

Das Gebiss des erwachsenen Menschen, wie man die Gesamtheit der Zähne auch wohl bezeichnet, besteht aus 32 Zähnen, welche in zwei Reihen, der obern und untern Zahnreihe, *arcus dentalis superior* und *inferior*, angeordnet sind. Die obere Zahnreihe ist in den Alveolen des Oberkiefers, die untere in denen des Unterkiefers befestigt. Die Zähne beider Zahnreihen ähneln sich in bezug auf Form und Grösse, ohne völlig gleich zu sein. Dagegen ist die Zahl jeder Zahnreihe dieselbe, nämlich 16.

\*) Also z. B. inil = incisivus inferior lateralis, prs 2 = praemolaris superior 2.



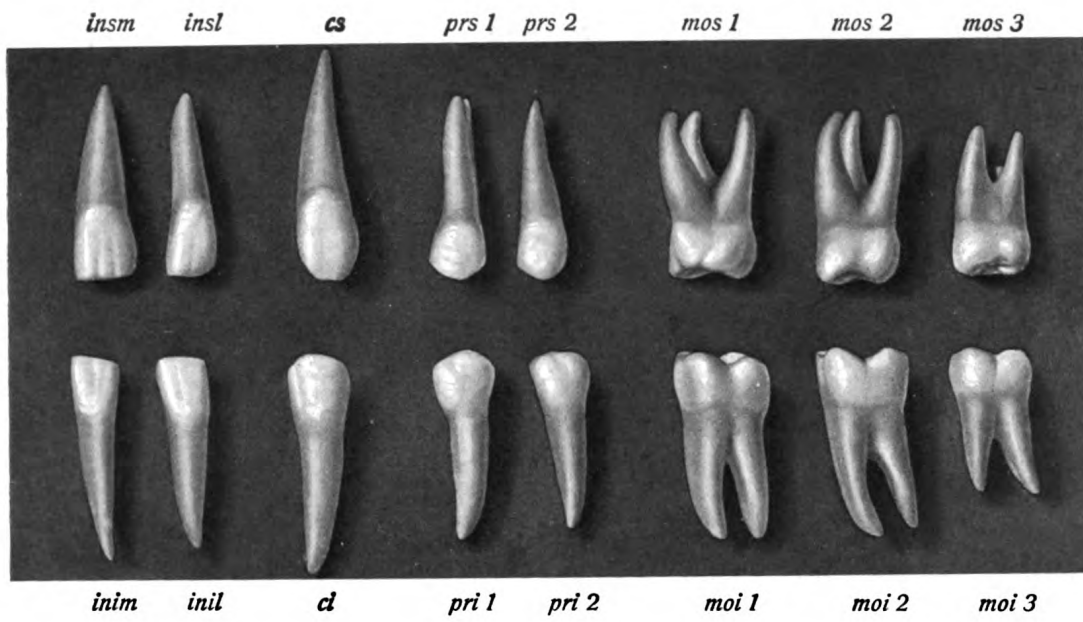


Fig. 337.

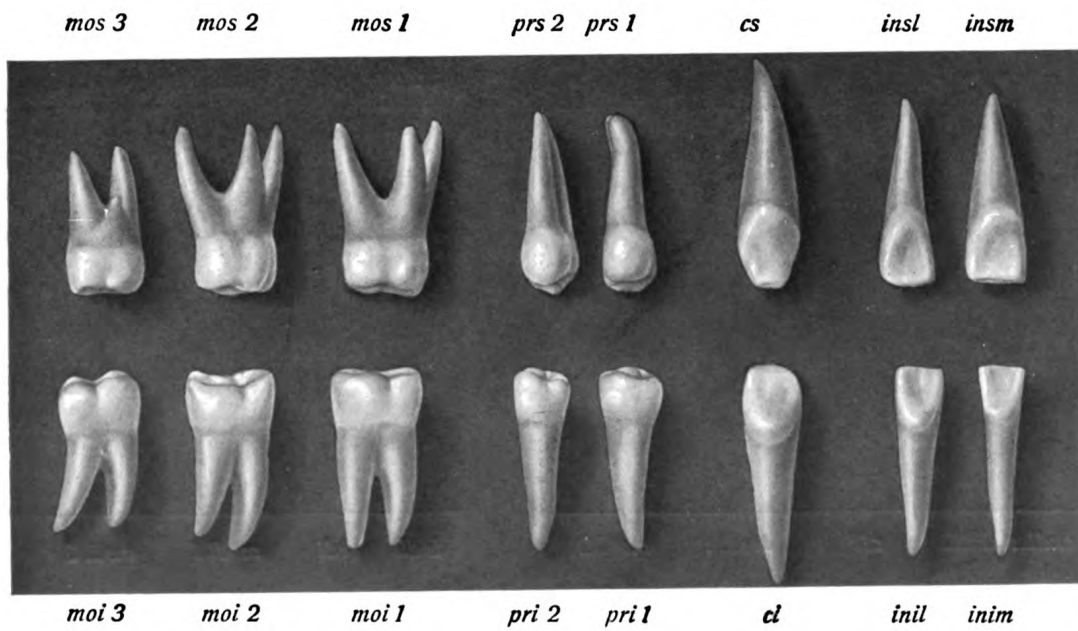


Fig. 338.

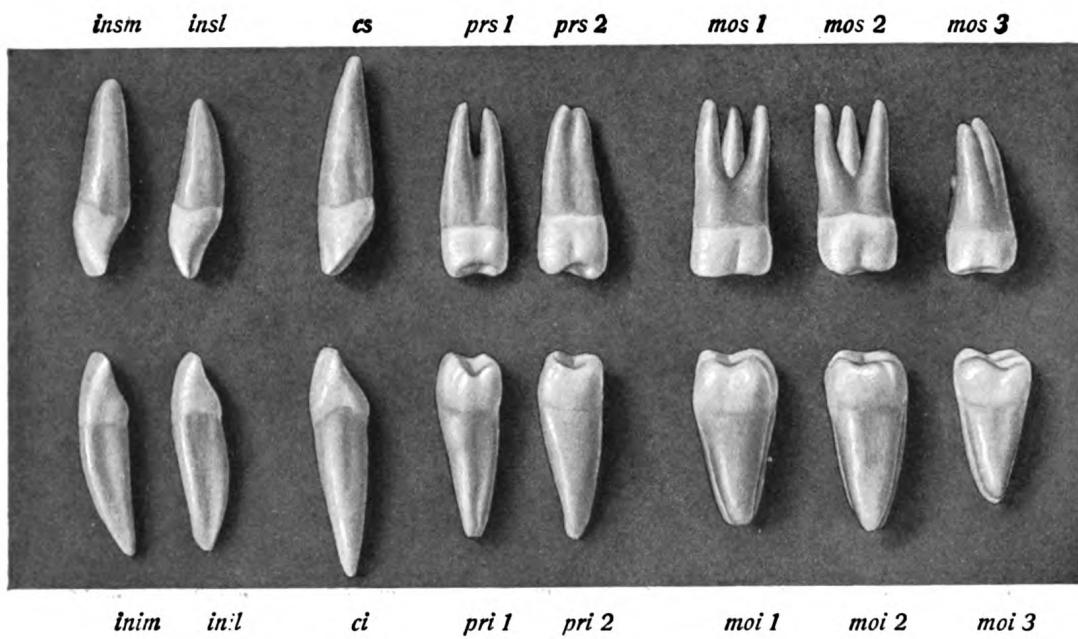


Fig 339.

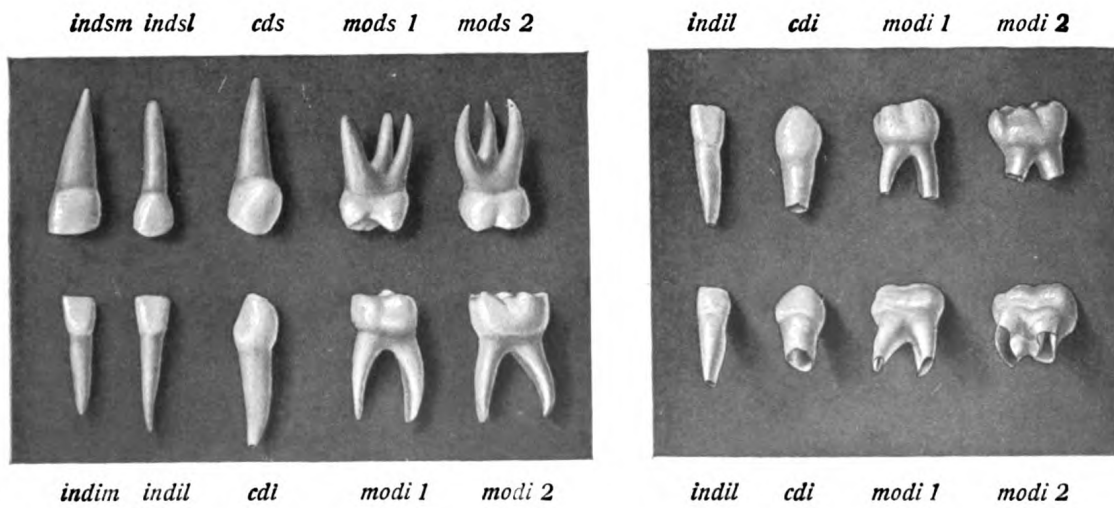


Fig. 340.

Fig. 341.

### Verdauungsapparat, Zähne. (Forts.)

- Fig. 339. Die Zähne der obern und untern Reihe von der Seite beziehungsweise von hinten gesehen (*facies contactus*). ( $\frac{1}{1}$ )
- Fig. 340. Das vollständige Milchgebiss eines 3jährigen Kindes von der lingualen beziehungsweise buccalen Fläche gesehen. ( $\frac{1}{1}$ )
- Fig. 341. Der laterale untere Milchincisivus, untere Milchcaninus und die beiden unteren Milchmolaren eines 2jährigen Kindes in der Ansicht von der lingualen beziehungsweise buccalen Seite (obere Reihe) und schräg von dieser Seite und gleichzeitig von der Wurzel her gesehen (untere Reihe). Die Wurzeln sind noch nicht vollständig verkalkt und befinden sich in vier verschiedenen Stadien der Ausbildung. ( $\frac{1}{1}$ )

c = caninus, d = deciduus, i = inferior, in = incisivus, l = lateralis, m = medialis, mo = molaris, pr = praemolaris, s = superior (z. B. indil = incisivus deciduus inferior lateralis).

Die Zähne des Ober- wie Unterkiefers werden in vier ihrer Form nach verschiedene Gruppen geteilt, welche man als Schneidezähne oder *dentes incisivi*, Eckzähne oder *dentes canini*, Backzähne oder *dentes praemolares* und Mahlzähne, *dentes molares*, unterscheidet. Jede Zahnreihe trägt vier Schneidezähne, zwei Eckzähne, vier Praemolaren, sechs Molaren, jede Seite die Hälfte. Jede der vier Arten von Zähnen stellt einen wohl charakterisierten Typus dar, ohne dass Uebergänge in der Form der einzelnen vorkommen. Wohl aber finden sich innerhalb eines Typus Verschiedenheiten, namentlich zwischen den Zähnen des Ober- und Unterkiefers. Die Schneidezähne liegen am weitesten nach vorn, die beider Seiten berühren sich in der Medianlinie; es folgen dann die Eckzähne und die Praemolaren, während die Molaren am weitesten hinten liegen. Die menschliche Zahnformel lautet daher:

M	Pm	C	J	J	C	Pm	M	
3	2	1	2	2	1	2	3	
3	2	1	2	2	1	2	3	= 32.

Die Schneidezähne, *dentes incisivi*, haben meisselförmige, platte, an der labialen Seite konvexe, an der lingualen Seite konkave Kronen, welche an der Basis dicker, aber schmaler, gegen den oberen Rand hin dagegen breiter, aber dünner sind. Die labiale Fläche lässt drei nicht immer deutliche, durch Längsfurchen getrennte Längsleisten erkennen. Ihre Kronen stehen frontal, so dass man die (schneidenförmigen) Berührungsflächen als *facies contactus medialis* und *lateralis* bezeichnet. Der mediale Rand der Krone ist scharf, der laterale abgerundet. An der Basis der Krone liegt dicht über dem Halse eine Verdickung der im oberen Teil dünnen Krone, das *tuberculum dentale*. Die Wurzeln der Schneidezähne sind rundlich, von mittlerer Länge und meist genau gerade. An den lateralen Schneidezähnen ist die in der Regel etwas kürzere Wurzel leicht abgeplattet. Die oberen Schneidezähne sind stets grösser als die unteren; der mediale oder erste obere incisivus ist stets grösser als der laterale; umgekehrt ist in der unteren Zahnreihe der laterale Zahn der grössere.

Die Eckzähne, *dentes canini*, haben lange, kegelförmige Gestalt. Ihre grosse und dicke Krone ist kegelförmig und steht noch annähernd frontal, so dass man labiale und linguale Fläche und *facies contactus medialis* und *lateralis* unterscheidet. Ihre abgerundete Spitze liegt nicht genau in der Mitte des Zahns, sondern mehr nach der medialen Seite, die labiale Fläche ist stark konvex, die linguale durch ein *tuberculum dentale* ausgezeichnet. Die Wurzeln sind sehr lang und ebenfalls kegelförmig, jedoch — namentlich die der unteren — deutlich abgeplattet. Die Eckzähne, namentlich die oberen, sind die längsten Zähne des ganzen Gebisses.

### Verdauungsapparat, Zähne. (Forts.)

- Fig. 342. Obere und untere Zahnreihe des Schädels eines 28jährigen Mannes in ihrer normalen (Artikulations)-Stellung. ( $\frac{1}{1}$ )
- Fig. 343. Gebiss eines fast einjährigen Kindes. Die noch nicht durchgebrochenen, unausgebildeten Zähne sind durch Wegmeisselung der vorderen Alveolarwand freigelegt. ( $\frac{1}{1}$ )

Die *Praemolaren* sind ausgezeichnet durch zweihöckrige, in der Richtung von vorn nach hinten abgeplattete Kronen. Sie lassen infolgedessen eine *facies contactus anterior* und *posterior* unterscheiden und eine konvexe linguale wie buccale Fläche. Ihre beiden Kauhöcker, *tubercula*, sind durch eine dem Verlaufe des Zahnbogens folgende, nahezu sagittale Furche getrennt, so dass ein schwächerer, lingualer und ein stärkerer, buccaler Höcker zu unterscheiden ist. Der linguale Höcker des ersten unteren Praemolaren ist meist schwach entwickelt, der linguale Höcker des zweiten unteren Praemolaren ist oft doppelt, so dass dieser grösste der Praemolaren dreihöckrig sein kann. Die Wurzeln der unteren Praemolaren sind stets einfach, von mittlerer Länge und deutlich abgeplattet; die der oberen wechseln sehr in ihrem Verhalten; meist ist die des ersten doppelt oder wenigstens gespalten, die des zweiten meist nur stark abgeplattet oder gefurcht.

Die *Molaren* sind sämtlich mehrhöckrige und mehrwurzlige Zähne mit grossen, niedrigen Kronen. Die Zahl der Wurzeln, auch die Stellung der Höcker ist namentlich bei den Zähnen der oberen und unteren Reihe verschieden. Die oberen Molaren haben drei Wurzeln, die grösseren, unteren nur zwei. Der erste Molar hat in jeder Zahnreihe die grösste und höchste Krone, der dritte die kleinste und niedrigste. Die Zahl der Kauhöcker der Molaren beträgt vier, seltener fünf; zwei stehen lingual, zwei buccal. An den unteren Molaren trennt eine ziemlich regelmässige Kreuzfurche die vier Höcker, von denen die lingualen höher sind als die buccalen. Der erste untere Molar hat meist fünf Höcker, drei buccale und zwei linguale. An den oberen Molaren sind die buccalen Höcker höher als die lingualen, die trennende Furche hat die Form eines schiefen, verschobenen *H*, so dass linguale und buccale Höcker einander schräg gegenüberstehen. Die Kronen der Molaren grenzen mit frontalen Flächen (*facies contactus anteriores* und *posteriores*) an einander.

Die unteren Molaren haben zwei, selten mehr, in frontaler Richtung abgeplattete, mitunter gefurchte Wurzeln von mässiger Länge, eine vordere und eine hintere, welche an den Spitzen meist rückwärts umgebogen sind; die oberen Molaren dagegen drei konische, an den Enden ebenfalls gebogene Wurzeln, zwei buccale und eine linguale und zugleich palatine, d. h. dem Gaumen zugewandte (hintere). Gut ausgebildet sind alle drei Wurzeln fast stets beim ersten oberen Molaren, während beim zweiten nicht selten bereits Verwachsungen vorkommen. Letzteres ist die Regel beim dritten oberen Molaren.

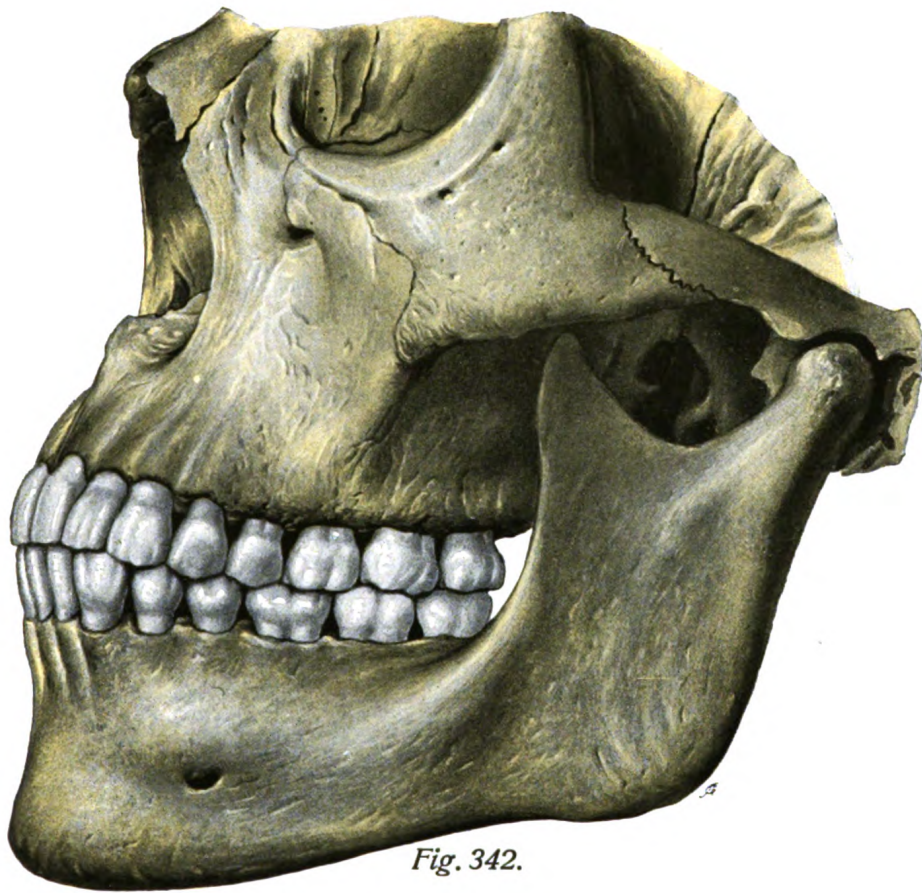


Fig. 342.

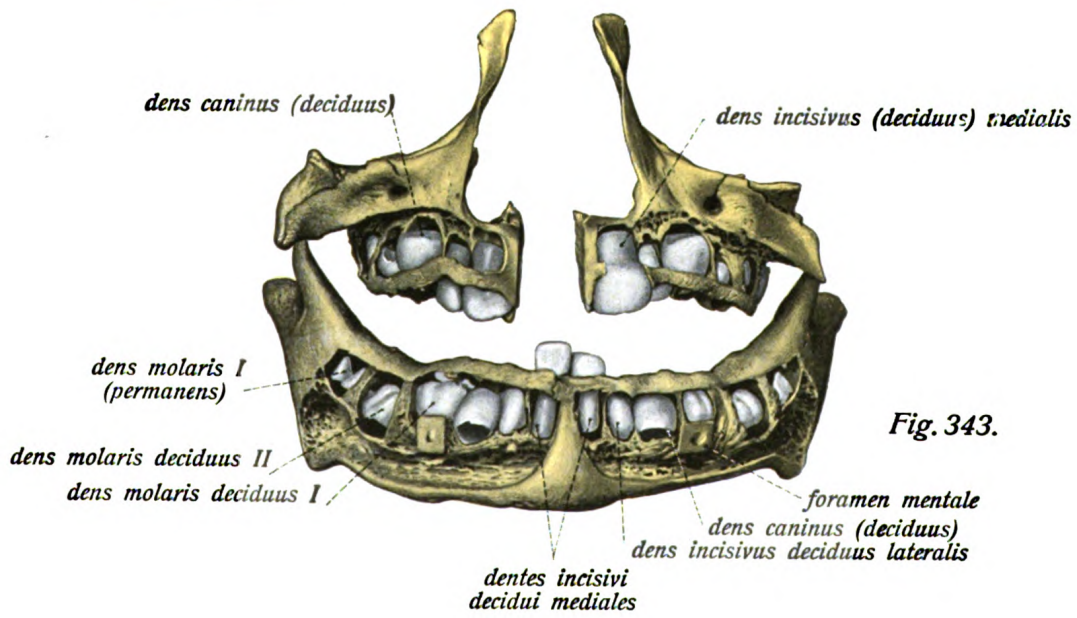


Fig. 343.



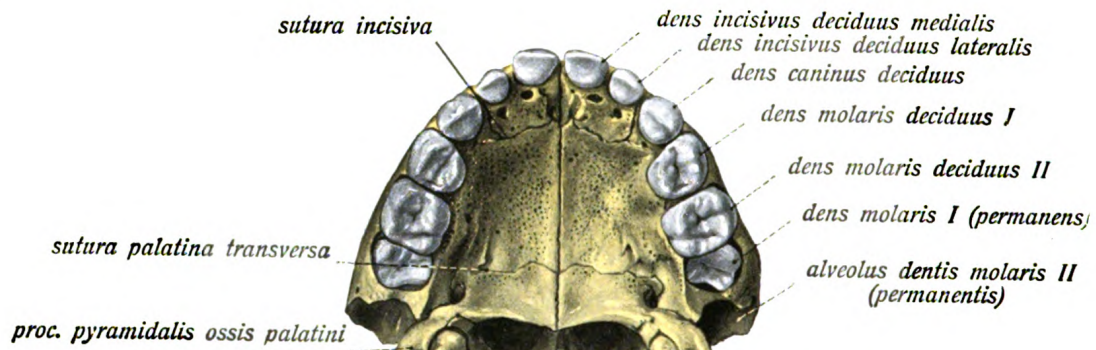


Fig. 344.

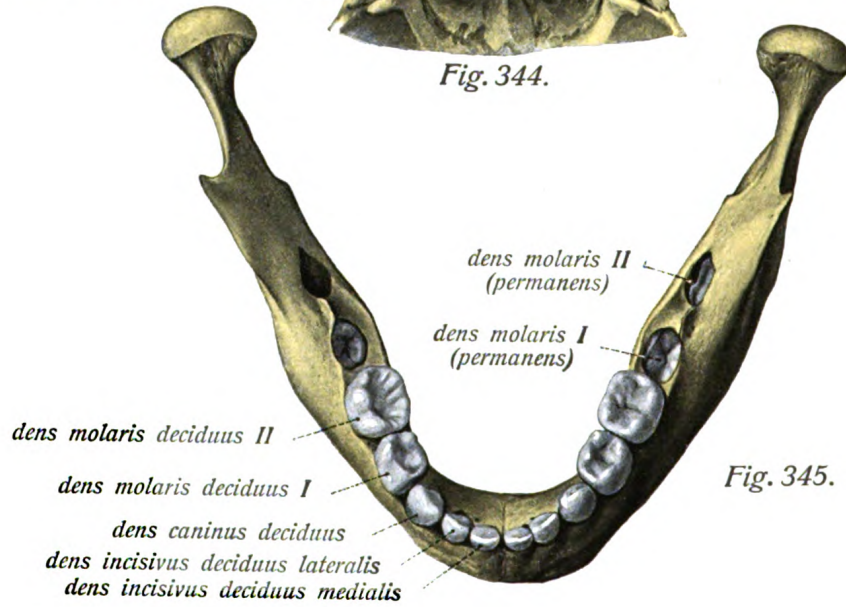


Fig. 345.

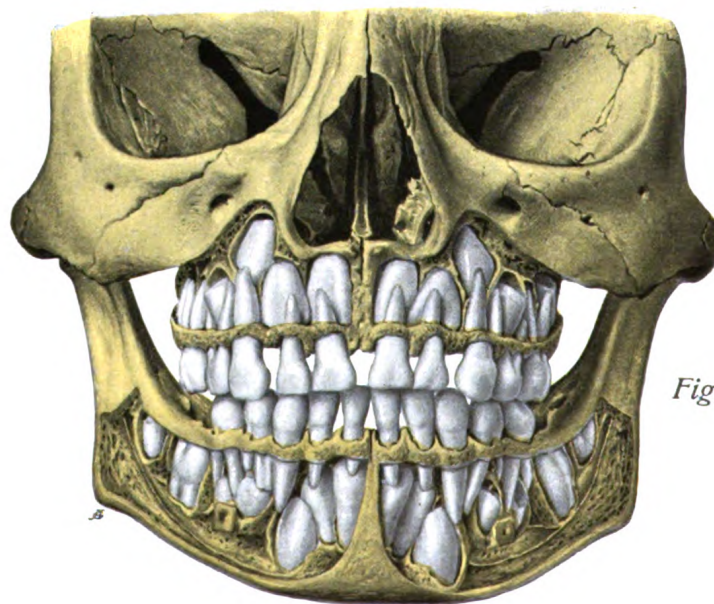


Fig. 346.



### Verdauungsapparat, Zähne. (Forts.)

Fig. 344. Oberkieferzahnreihe des Milchgebisses eines 4jährigen Kindes. ( $\frac{1}{1}$ )

Fig. 345. Unterkieferzahnreihe eines 4jährigen Kindes. ( $\frac{1}{1}$ )

Fig. 346 u. 347. Schädel eines 5jährigen Kindes mit dem Milchgebiss und den Anlagen der bleibenden Zähne in der Ansicht von vorne; letztere und die Wurzeln der Milchzähne sind durch Aufmeisseln der Alveolen dargestellt. In Fig. 347 sind die bleibenden Zähne durch blaue Farbe gekennzeichnet. ( $\frac{1}{1}$ )

Die dritten Molaren, auch *dentes serotini* (Weisheitszähne) genannt, sind meist rudimentär ausgebildet; der obere ist dabei immer viel kleiner als der untere, seine Wurzeln verschmelzen in der Regel zu einer einheitlichen mit Resten der ursprünglichen Dreiteilung (Dreizahl der Wurzelkanäle). Oft sind nur drei Höcker vorhanden. Der untere Weisheitszahn besitzt meist zwei kurze Wurzeln und eine wenig vom Typus abweichende Krone.

Dem von 32 Zähnen gebildeten, bleibenden Gebiss des Erwachsenen steht das im Kindesalter vorhandene Milchgebiss gegenüber, welches nur aus 20 Zähnen, *dentes decidui*, besteht und zwar aus 8 Schneidezähnen, 4 Eckzähnen und 8 Backzähnen.

Die Formel des Milchgebisses ist daher

$$\begin{array}{ccc|ccc} \text{M} & \text{C} & \text{J} & \text{J} & \text{C} & \text{M} \\ 2 & 1 & 2 & 2 & 1 & 2 \\ \hline 2 & 1 & 2 & 2 & 1 & 2 \end{array} = 20.$$

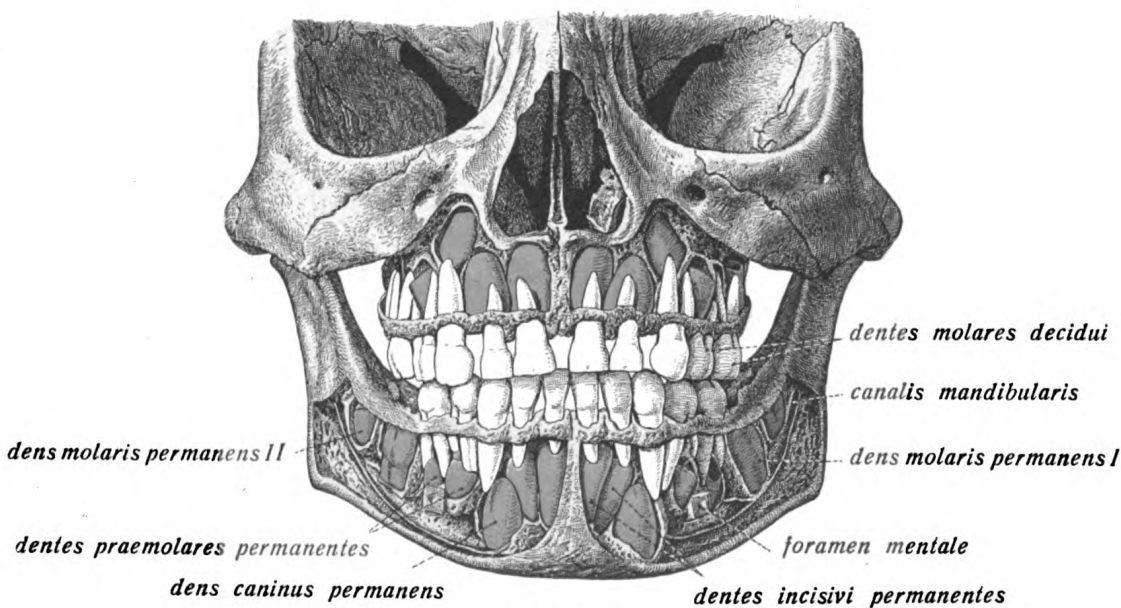


Fig. 347.

### Verdauungsapparat, Zähne. (Forts.)

- Fig. 348. Schädel eines 5jährigen Kindes mit dem Milchgebiss etc. ( $\frac{1}{1}$ )  
 Das gleiche Präparat wie Fig. 346/347, aber in der Ansicht von der linken Seite.
- Fig. 349. Milchgebiss und Anlagen der bleibenden Zähne eines 9jährigen Kindes in der Ansicht von der linken Seite. Die Zahnwurzeln mit den noch nicht durchgebrochenen Zahnanlagen sind durch Wegnahme der lingualen beziehungsweise buccalen Alveolarwände freigelegt. ( $\frac{1}{1}$ )  
 Die bleibenden Zähne sind auf Fig. 348 und 349 durch blaue Färbung gekennzeichnet.

Die Schneide- und Eckzähne des Milchgebisses entsprechen nicht bloss der Zahl, sondern bis auf Einzelheiten auch der Form nach denen des bleibenden Gebisses, nur sind sie entsprechend kleiner. Auch fehlen den Milchschnidezähnen die Furchen der labialen Fläche. Sie finden sich auch an der Stelle der gleichnamigen Zähne, während die Molaren des Milchgebisses (Milchmolaren) an der Stelle der späteren Praemolaren erscheinen. Sie stellen einen besonderen Zahntypus dar, wenn sie auch den späteren Molaren ähneln, sind mehrwurzig (s. u.) und mit mehreren Kauhöckern versehen. Die zweiten (hinteren) Milchmolaren sind grösser als die ersten; die oberen sind meist dreiwurzig wie die bleibenden oberen Molaren; zwei Wurzeln stehen buccal, eine lingual. Die unteren Milchmolaren sind zweiwurzig. Die Kronen der Milchmolaren haben drei bis fünf unregelmässig gestellte Kauhöcker, die durch sehr unregelmässig gestaltete Furchen getrennt werden.

Der zuerst durchbrechende Milchzahn (im Mittel im 6. bis 7. Monat) ist der mediale Schneidezahn des Unterkiefers, wie überhaupt die Zähne des Unterkiefers normalerweise früher erscheinen als die des Oberkiefers. Es folgt dann der entsprechende Zahn des Oberkiefers (7. bis 8. Monat). Die lateralen Schneidezähne erscheinen meist im 8. bis 12. Monat, im 12. bis 16. Monat die vorderen Backzähne des Unterkiefers, einige Monate später die des Oberkiefers, erst nach diesen brechen die Eckzähne (16. bis 20. Monat) durch und zuletzt die hinteren Molaren (20. bis 30. Monat).

Das Milchgebiss wird ganz allmählich durch das bleibende Gebiss ersetzt, so dass eine Zeit lang Zähne beider Dentitionen nebeneinander bestehen. Von den Zähnen des bleibenden Gebisses bricht der erste untere Molarzahn zuerst durch (5. bis 8. Jahr), bald darauf der entsprechende obere. Erst später (6. bis 9. Jahr) werden die medialen Milchincisivi durch die bleibenden ersetzt, darauf die lateralen (7. bis 10. Jahr). Im 9. bis 13. Jahr brechen die ersten Praemolaren durch, im 9. bis 14. Jahr die bleibenden Eckzähne, im 10. bis 14. Jahr die zweiten (hinteren) Praemolaren, bald darauf (10. bis 14. Jahr) die zweiten Molaren, oft sehr spät (16. bis 40. Jahr) die dritten Molaren. Die oberen Praemolaren erscheinen meist früher als die unteren; sonst kommen stets die Zähne des Unterkiefers früher zum Durchbruch.

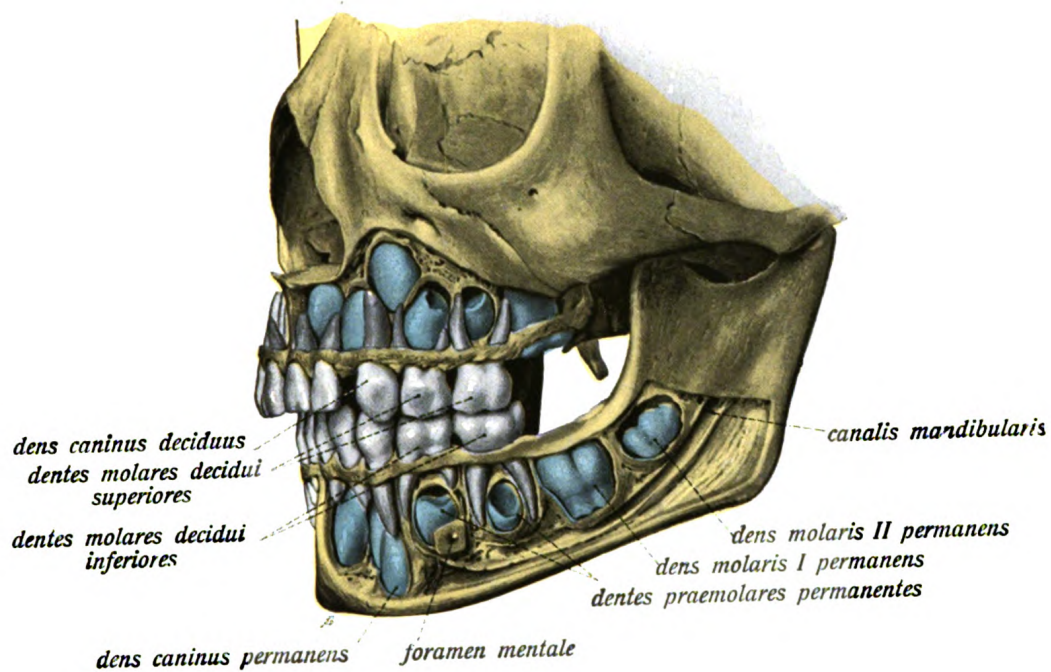


Fig. 348.

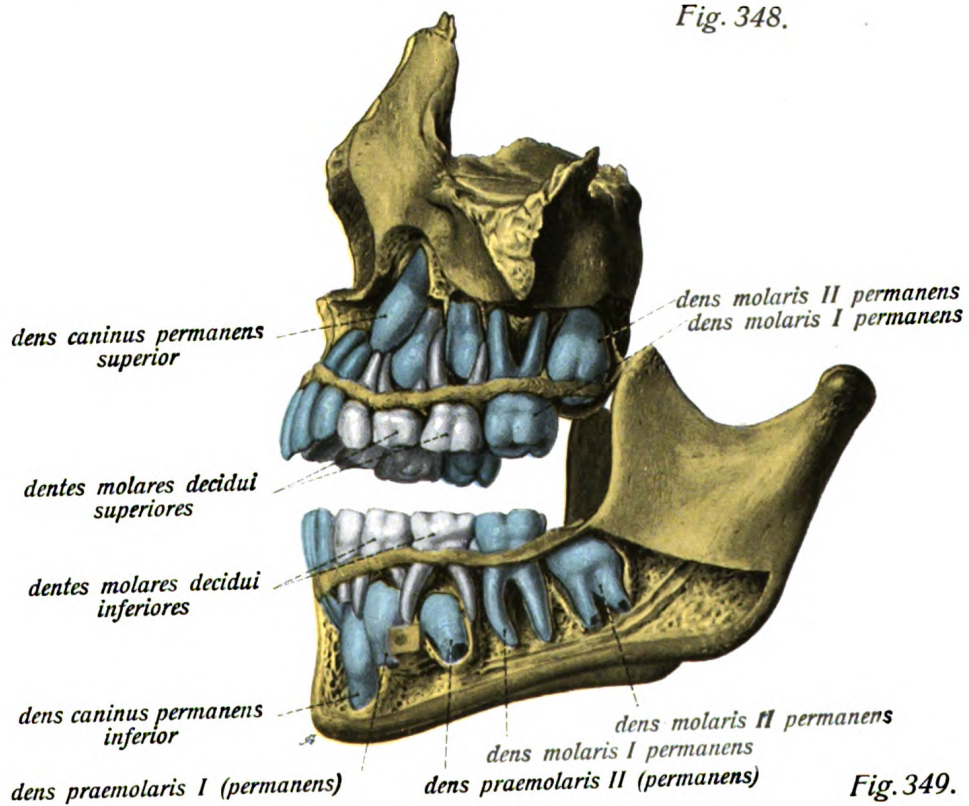
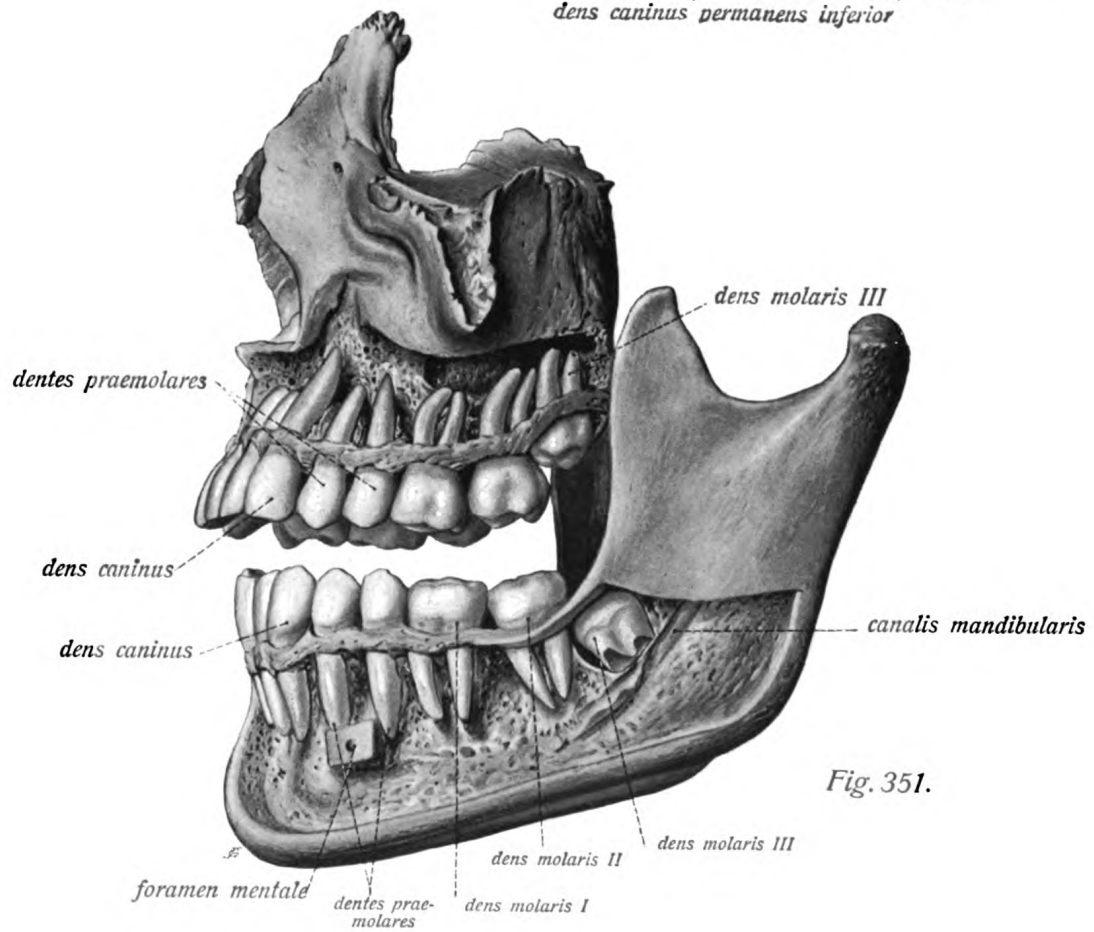
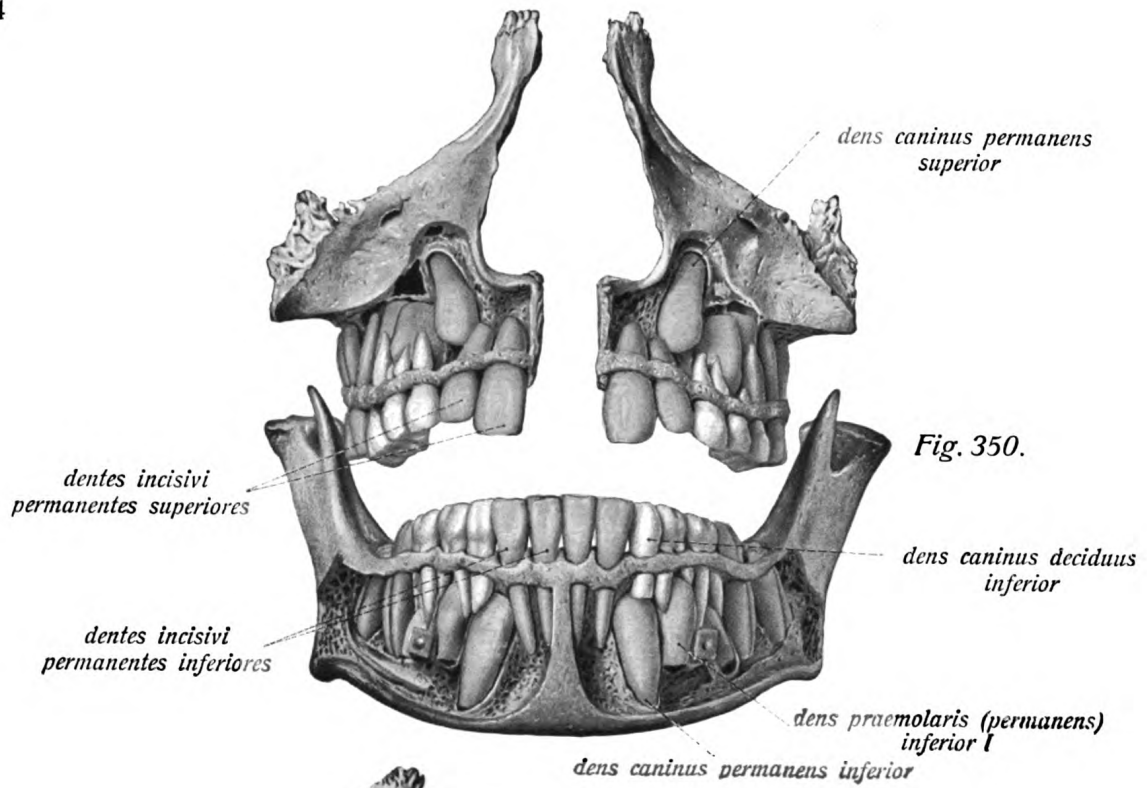


Fig. 349.



### Verdauungsapparat, Zähne. (Forts.)

Fig. 350. Präparat der Fig. 349 in der Vorderansicht. (<sup>1</sup>/<sub>1</sub>)

Fig. 351. Ober- und Unterkiefer eines 20jährigen in der Seitenansicht. Alle Zähne bis auf den dritten unteren Molaren sind durchgebrochen. (<sup>1</sup>/<sub>1</sub>)

Die Zahnwurzeln sind durch Wegmeisselung der Alveolarwände freigelegt.

In Fig. 350 sind die bleibenden Zähne durch blaue Farbe gekennzeichnet.

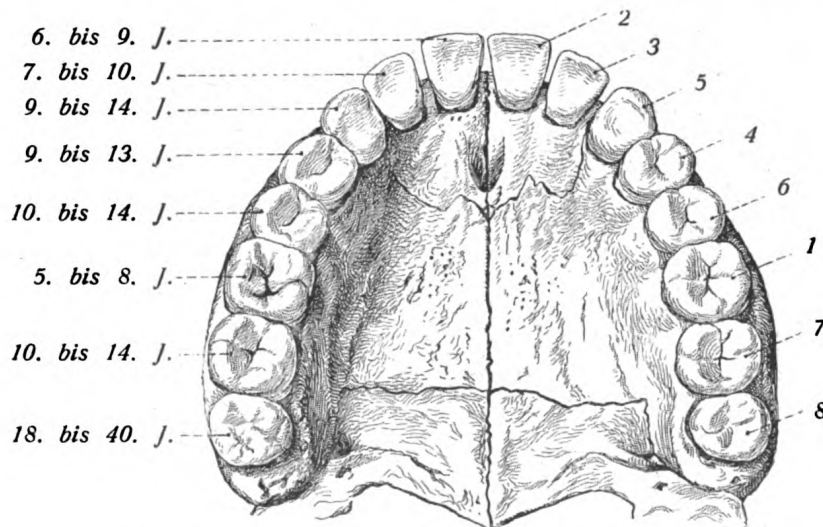


Fig. 352. Durchbruchzeiten der bleibenden Zähne.

Die links stehenden Zahlen geben die Zeit des Durchbruchs, die rechts stehenden die Reihenfolge an.

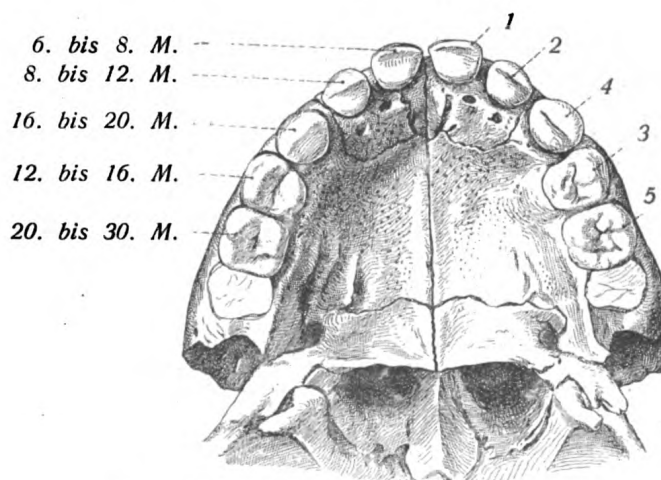


Fig. 353. Durchbruchzeiten der Milchzähne.

Die links stehenden Zahlen geben die Zeit des Durchbruchs, die rechts stehenden die Reihenfolge an.

## Verdauungsapparat, Zunge.

### Die Zunge, *lingua*.

An der Zunge, *lingua*, unterscheidet man drei Hauptteile, den grössten, mittleren, am Mundboden befestigten Abschnitt als *corpus linguae*, den vorderen, frei in die Mundhöhle ragenden, von der Mundschleimhaut ringsum bekleideten Teil als Zungenspitze, *apex linguae*, und den hintern, am Zungenbein und Kehldeckel befestigten Teil als Zungenwurzel, *radix linguae*.

Am Zungenkörper bezeichnet man die untere, angewachsene Fläche als *facies inferior*, die konvexe, obere, der ganzen Länge nach mit Mundschleimhaut bekleidete Fläche als Zungenrücken, *dorsum linguae*. Der abgerundete Seitenrand der Zunge, *margo lateralis*, im vorderen Abschnitt der Zunge frei liegend, geht hinten durch den arcus glossopalatinus in den weichen Gaumen über. Die Grenze des Zungenkörpers und der Zungenwurzel wird am Zungenrücken durch das *foramen caecum linguae* bestimmt. Es führt in einen ganz kurzen, blind endenden Schleimhautkanal, den *ductus lingualis*. Vom foramen caecum gehen die *papillae vallatae* aus, welche einen nach vorn offenen Winkel bilden, dessen Spitze das Loch selbst ist. Häufig läuft dicht hinter den *papillae vallatae* eine ihnen parallele Furche, welche dann die Grenze zwischen corpus und radix linguae darstellt, der *sulcus terminalis*.

Die Zungenwurzel wird mit dem Kehldeckel durch drei Schleimhautfalten verbunden, eine unpaare, mittlere, die *plica glossoepiglottica mediana* und die paarigen *plicae glossoepiglotticae laterales*. Zwischen beiden bleibt (jederseits) eine rundliche Grube, *vallecula epiglottica* genannt. Die Zunge besteht aus zwei Hauptbestandteilen, der Schleimhaut und der Muskulatur. An ersterer, *tunica mucosa linguae*, kann man die mit der Muskulatur verwachsene Schleimhaut der Zungenoberfläche von der mit dieser nur locker verbundenen Unterzungenschleimhaut unterscheiden.

Letztere ist glatt, dünn, zeigt die gewöhnlichen Charaktere der Mundschleimhaut und bildet in der Medianlinie unter der Zungenspitze eine Falte, das *frenulum linguae*. Zu dessen beiden Seiten findet sich je eine, beim Neugeborenen stets gut entwickelte, beim Erwachsenen oft weniger deutliche, niedrige Falte mit lappigen Rändern, die *plica fimbriata*. Sie läuft vom vorderen Ende des frenulum nach hinten und lateral. Am Rande der Zunge läuft eine weitere Falte in der Mundbodenschleimhaut schräg nach vorn und medianwärts, die *plica sublingualis*, um an der Wurzel des frenulum in die *caruncula sublingualis* auszumünden. Die Schleimhaut der Zungenoberfläche zerfällt wiederum durch den *sulcus terminalis* beziehungsweise die *papillae vallatae* in zwei scharf getrennte Abschnitte, den des Zungenkörpers (Vorderzunge) oder den papillären Teil und den der Zungenwurzel (Hinterzunge), den tonsillären Teil.

Fig. 354. Ansicht der Unterzungengegend bei stark geöffnetem Munde und erhobener Zungenspitze. ( $\frac{1}{5}$ )

Fig. 355. Ansicht der herausgeschnittenen Zunge von oben her. ( $\frac{1}{1}$ )



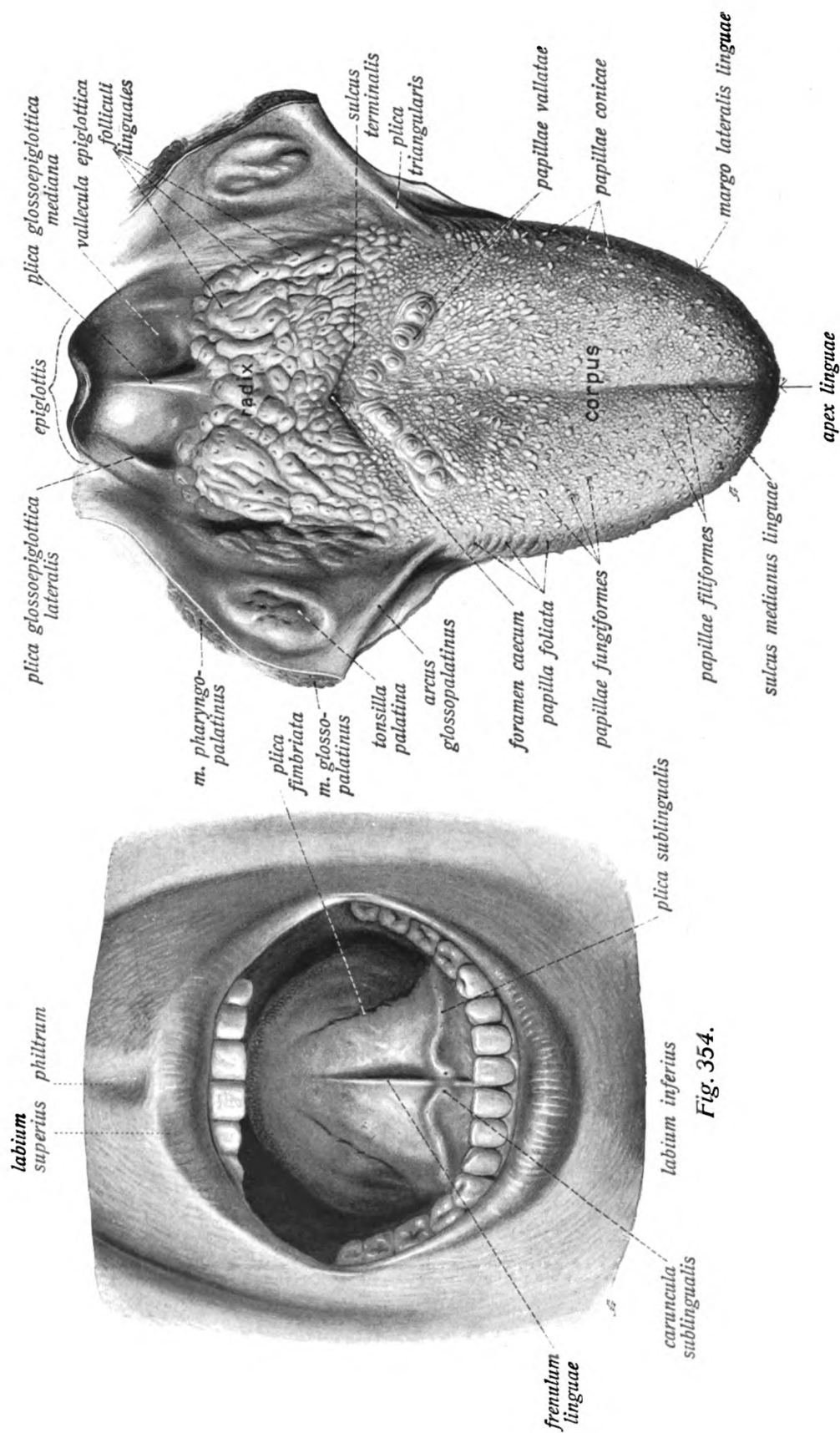


Fig. 355.

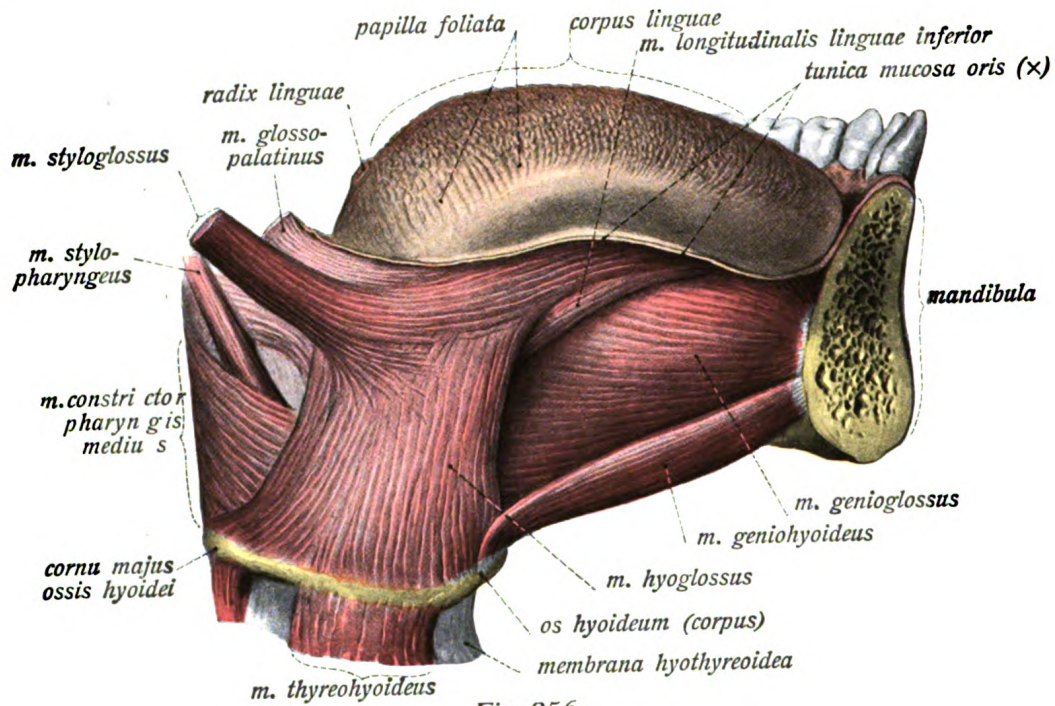


Fig. 356.

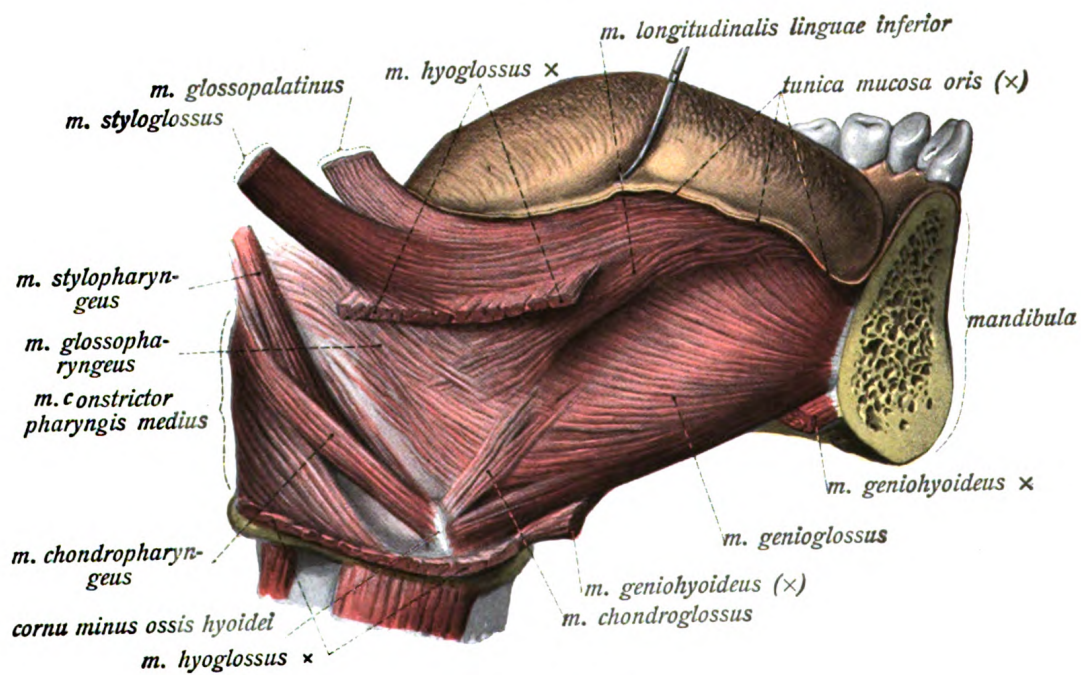


Fig. 357.

### Verdauungsapparat, Zunge. (Forts.)

- Fig. 356. Muskulatur der Zunge in der Ansicht von der rechten Seite, oberflächliche Schicht. ( $\frac{1}{1}$ )  
 Der Unterkiefer ist dicht rechts neben der Mittellinie durchsägt.
- Fig. 357. Tiefere Schicht der Zungenmuskulatur in der Ansicht von der rechten Seite. Der Hyoglossus ist durchschnitten, der Geniohyoideus bis auf die Stümpfe abgetragen. ( $\frac{1}{1}$ )

Die Papillen der Schleimhaut der Vorderzunge, *papillae linguae*, sind über das Niveau der Schleimhaut hervorragende, im allgemeinen kegelförmige Bildungen, welche der Zungenoberfläche eine sammetartige Beschaffenheit verleihen. Nach ihrer Form unterscheidet man: 1. *papillae filiformes*, fadenförmige Papillen von ungefähr zylindrischer Gestalt. Sie finden sich dichtgedrängt im Bereiche des ganzen papillären Abschnitts der Zunge, besonders im vordern und seitlichen Abschnitt der Zunge. An ihrer Spitze tragen sie eine konische, oft sehr lange Epithelverdickung. 2. *papillae conicae*. Sie haben mehr kegelförmige Gestalt, finden sich zerstreut zwischen den filiformes und gehen ohne scharfe Grenze in diese über. 3. *papillae fungiformes*, pilzförmige Papillen. Sie finden sich zerstreut zwischen den filiformes am Seiten- und vordern Rand der Zunge. Ihr Kopf ist breiter als ihre Basis (Stiel). Sie sind glatt, von relativ dünnem Epithel überzogen und erscheinen daher rötlicher als die fadenförmigen Papillen. Als eine Abart der fungiformes erscheinen 4. die *papillae lenticulares*, welche etwas niedriger sind als die ersteren, sonst ihnen gleichen. 5. Die *papillae vallatae*, umwallte Papillen genannt, weil sie von einem wallartigen Saum der Zungenschleimhaut umgeben werden. Sie ähneln in ihrer äussern Form den fungiformes, nur sind sie grösser und breiter und finden sich in konstanter Lage, eine V-förmige Figur bildend, vom foramen caecum ausgehend (s. ob. pag. 286), sieben bis zwölf an Zahl. 6. Die *papilla foliata*, eine beim Menschen nur rudimentäre Bildung. Sie liegt in Gestalt einiger paralleler, meist nur schwach ausgeprägter Querfalten jederseits am Seitenrand der Zunge dicht vor der Wurzel des arcus glossopalatinus (Fig. 371).

Wesentlich verschieden vom papillären, vordern Teil der Zungenschleimhaut ist der hintere, tonsilläre Abschnitt, ausgezeichnet durch das Vorkommen lymphatischer Bildungen, der Zungenbälge, *folliculi linguales*, welche in ihrer Gesamtheit die diffuse *tonsilla lingualis* darstellen. Jeder Zungenbalg stellt eine kleine, rundliche Erhebung mit einer zentralen, feinen, lochartigen Vertiefung dar. Insgesamt bilden sie auf der eigentlichen radix linguae eine dichtgedrängte, fast geschlossene Masse, während sie gegen die epiglottis und die angrenzende Gaumentonsille hin zerstreuter liegen.

## Verdauungsapparat, Zunge. (Forts.)

### Die Muskulatur der Zunge, *musculi linguae*.

Die Muskulatur der Zunge zerfällt in zwei Abteilungen: I. die Muskeln, welche am Skelet (Schädel und Zungenbein) ihren Ursprung nehmen und in der Zunge enden; II. die Muskeln, welche der Zunge ganz angehören, deren Ursprung wie Ansatz in der Zunge selbst gelegen ist.

#### I. Gruppe.

Name	Ursprung	Ansatz
1. <i>Genioglossus</i>	sehnig an der spina mentalis interna	geht grossenteils zur Oberfläche der Zungenschleimhaut, z.T. an das Zungenbein und die epiglottis.
2. <i>Hyoglossus</i> (+ <i>Chondroglossus</i> )	Körper und grosses Horn des Zungenbeins (vom kleinen Horn)	geht nach vorn und oben zum seitlichen Teil der Zunge (geht in II, 2 über).
3. <i>Styloglossus</i>	processus styloideus des Schläfenbeins	geht zum seitlichen Rand der Zunge (geht in II, 2 über).

#### II. Gruppe.

1. *Longitudinalis inferior*, fast zylindrisch an der Unterfläche der Zunge zwischen Genioglossus und Hyoglossus, von Basis bis Spitze der Zunge reichend.
2. *Longitudinalis superior*, Faserzüge sagittaler Richtung an der Zungenoberfläche. \*)
3. *Transversus linguae*, quere, vom septum linguae zu den seitlichen Flächen der Zunge laufende Faserzüge; vorn vor dem vordern Ende des septum unpaar, geht nach hinten in den Glossopalatinus und Glossopharyngeus über.
4. *Verticalis linguae*, Sammelname für die senkrecht von der Zungenoberfläche zur Unterzungenschleimhaut laufenden Faserzüge.

Alle Zungenmuskeln werden vom nervus hypoglossus versorgt.

Die Muskulatur der Zunge wird durch ein unvollständiges, nirgends die Oberfläche erreichendes *septum linguae* in zwei Hälften geteilt.

\*) Sie stellen keinen geschlossenen Muskelzug dar, sondern gehen aus Hyoglossus und Styloglossus hervor.

Ansicht der Zungenmuskulatur von unten nach Loslösung der Genioglossi vom Kiefer. Rechts ist der Hyoglossus durchschnitten. (<sup>1</sup>/<sub>1</sub>)  
Fig. 358. Medianer Längsschnitt der Zunge. (<sup>1</sup>/<sub>1</sub>)  
Fig. 359. Querschnitt des mittleren Abschnitts der Zunge. (<sup>6</sup>/<sub>4</sub>)  
Fig. 360. Querschnitt der Zungenspitze. (<sup>6</sup>/<sub>4</sub>)  
Fig. 361.



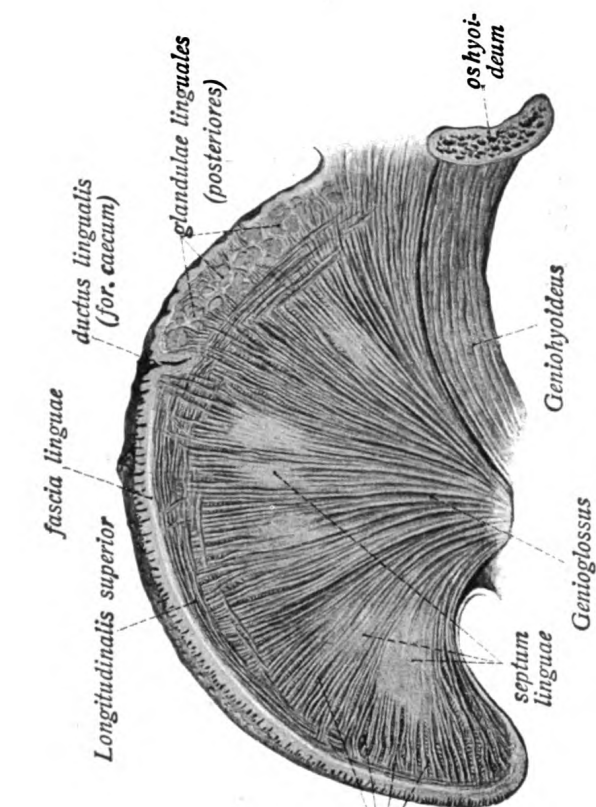


Fig. 359.

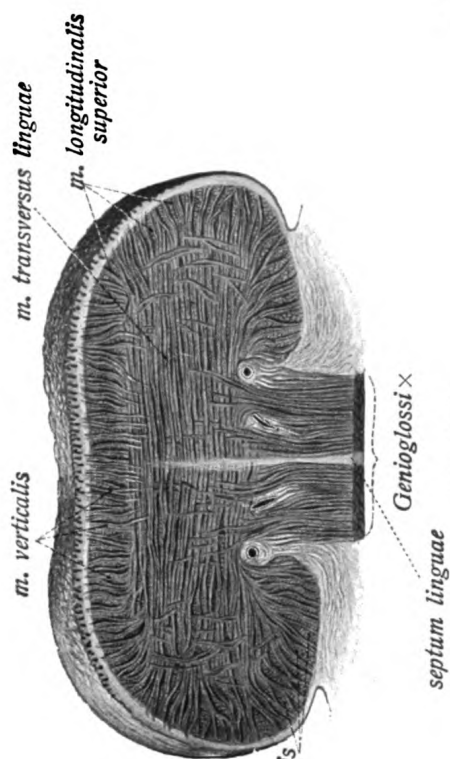
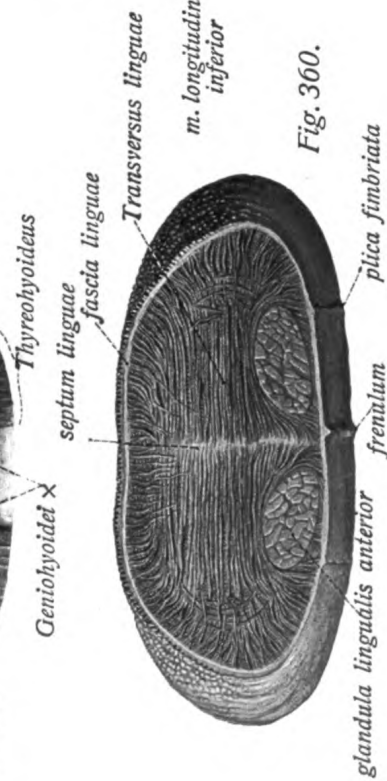


Fig. 360.

Fig. 358.



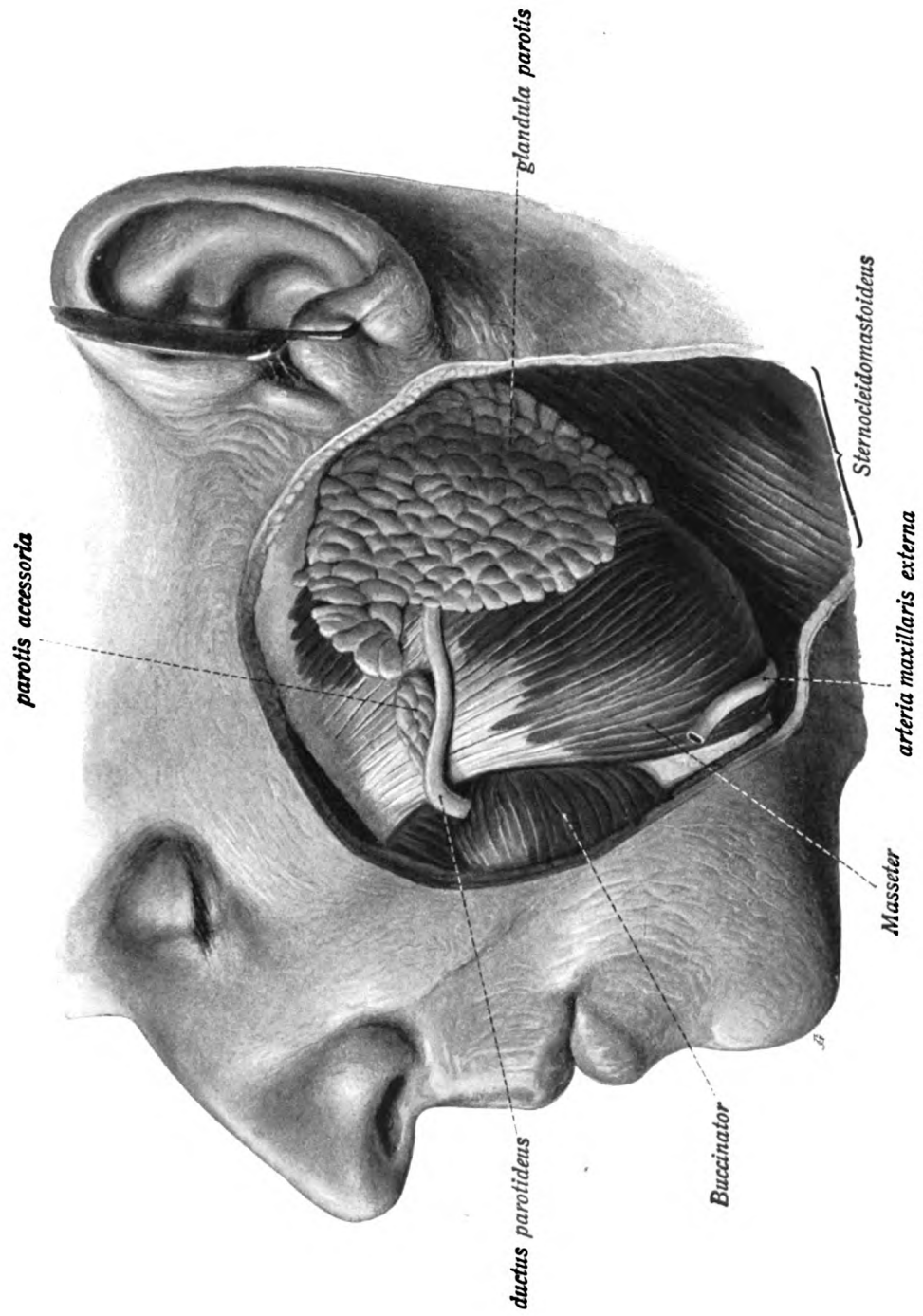


Fig. 362.

## Verdauungsapparat, Speicheldrüsen.

Fig. 362. Lagerungsbild der *glandula parotis*. Haut, *Platysma* und Fascie sind entfernt. ( $\frac{1}{1}$ )

### Die Drüsen der Mundhöhle (Speicheldrüsen), *glandulae oris* (*glandulae salivales*).

Die Drüsen, welche die Mundflüssigkeit oder den Speichel absondern, zerfallen in zwei Gruppen: die zahlreichen kleinen Drüsen der Wandung der Mundhöhle und die drei grossen Speicheldrüsenpaare. Letztere sind die Ohrspeicheldrüsen, Unterkieferspeicheldrüsen und Unterzungspeicheldrüsen. Die letzteren vermitteln bereits zwischen den beiden Gruppen.

Die Ohrspeicheldrüse, *glandula (salivalis) parotis*, ist die grösste aller Mundspeicheldrüsen. Sie ist eine abgeplattete, ungefähr dreieckige, aber unregelmässig geformte, jederseits vor dem (äussern) Ohre gelegene (paarige) Drüse. Ihre leicht konvexe, fast ebene, laterale Fläche wird hier von der Haut des Gesichtes, den Ausläufern des *Platysma* (und *Risorius*) und der *fascia parotideomasseterica* bedeckt, während ihre leicht konkave, mediale Fläche hauptsächlich dem *Masseter* aufliegt, durch ein tiefes Fascienblatt von diesem getrennt. Der vordere Teil der Drüse ist viel dünner als der hintere; der vordere, meist leicht zugeschärfte, schwach konkave Rand liegt seiner ganzen Länge nach der äusseren Fläche des *Masseter* auf. Der untere Rand liegt gleichzeitig nach hinten und bildet mit dem vorderen Rand einen spitzen Winkel, so dass hier ein unterer bis zur *glandula submaxillaris* und dem vorderen Rand des *Sternocleidomastoideus* reichender Zipfel der Drüse entsteht, der damit bis in die *fossa retromandibularis* und *regio submaxillaris*, also den Bereich des Halses, zu liegen kommt. Der unregelmässige, obere Rand grenzt an den Jochbogen und den äusseren Gehörgang. Ein Fortsatz der Drüse, *processus retromandibularis*, erstreckt sich hinter den Unterkieferast bis zum hintern Bauch des *Digastricus* und den vom *processus styloideus* kommenden Muskeln (s. Fig. 367). Die deutlich lappige, rötlich-braune Drüse wird von Nerven- und Gefässästen, hauptsächlich denen des *nervus facialis* durchsetzt.

Der Ausführungsgang, *ductus parotideus* (Stenoni), entspringt oberhalb der Mitte des vorderen Drüsenrandes und läuft von dort in Gestalt eines etwas abgeplatteten, aber ziemlich dickwandigen, schwach-federkielstarken Rohres nahezu horizontal quer über den *Masseter*, biegt kurz vor dessen vorderem Rande medianwärts um und geht durch das *corpus adiposum buccae* und den *Buccinator* hindurch zur Schleimhaut der Wange. Die länglich-runde, schlitzförmige Ausmündungsstelle ist im *vestibulum oris* gegenüber dem zweiten oberen Molarzahn gelegen. Sehr häufig findet sich am *ductus parotideus* eine *parotis accessoria* vom gleichen Aussehen wie die Hauptdrüse.

### Verdauungsapparat, Speicheldrüsen. (Forts.)

Fig. 363. Lagerung der *glandula submaxillaris* in der regio submaxillaris. ( $\frac{1}{1}$ )

Haut, Platysma und das oberflächliche Blatt der Halsfascie, welches die Drüsenkapsel bildet, sind entfernt, am Gesicht der untere Teil des Masseter und der Ohrspeicheldrüse freigelegt.

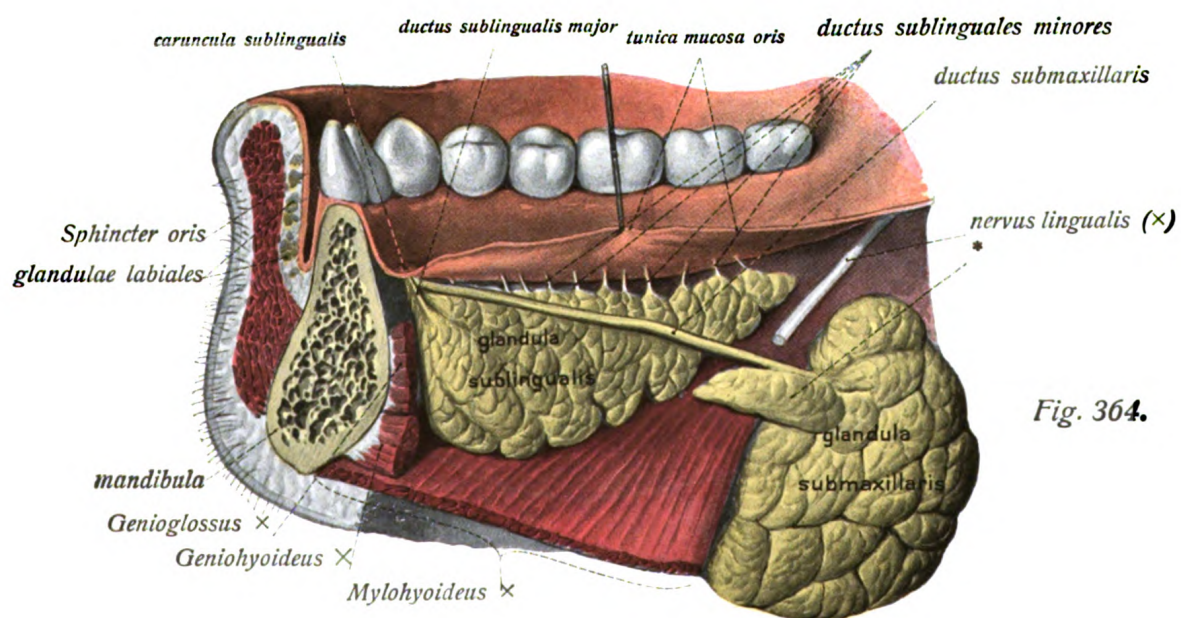
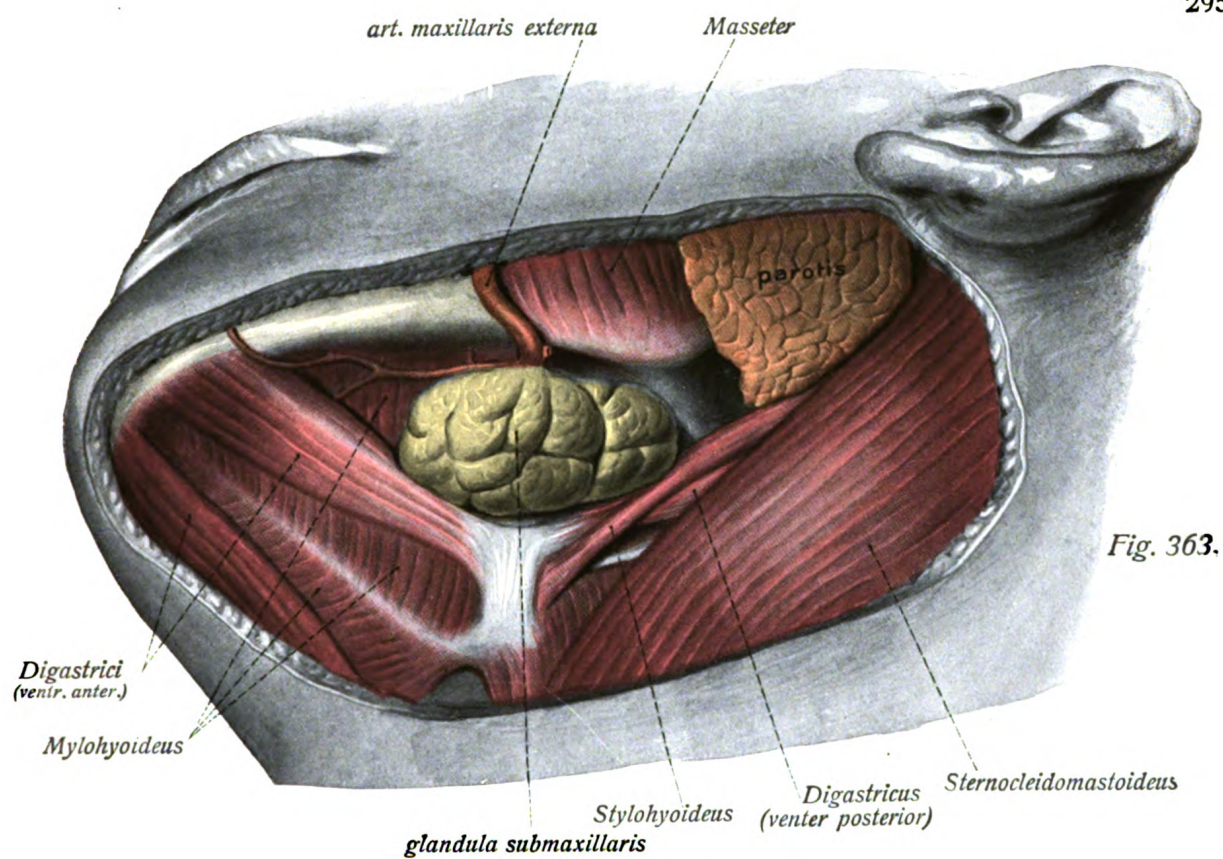
Fig. 364. Lagerung der *glandulae submaxillaris* und *sublingualis* in der Ansicht von der medialen Seite. ( $\frac{1}{1}$ ) Letztere erscheint hier als einheitliche Drüse (s. a. Fig. 366). Der Unterkiefer ist in der Medianlinie durchsägt, die Zunge herausgeschnitten, Mylohyoideus und Geniohyoideus sind durchschnitten, die Mundschleimhaut in die Höhe gehoben. \* = platter Fortsatz der *glandula submaxillaris*, der oberhalb des Mylohyoideus gelegen ist.

Die Unterkieferspeicheldrüse, *glandula submaxillaris*, ist eine länglich-runde, leicht abgeplattete Drüse von etwa Pflaumengrösse. Sie liegt am Halse in der regio submaxillaris unmittelbar unter dem Platysma und der oberflächlichen Halsfascie, welche eine Art fibröser Kapsel um die Drüse bildet, mit ihrem Hauptabschnitt unterhalb des Mylohyoideus, den Raum zwischen dem *angulus mandibulae*, vorderem und hinterem Bauch des *Digastricus* ausfüllend, gleichzeitig an *Stylohyoideus*, *Styloglossus*, z. T. auch *Hyoglossus* grenzend. Sie hat grössere Läppchenzeichnung als die *parotis* und ist heller als diese gefärbt. Am Unterkiefer erzeugt ihr oberer Pol die *fovea submaxillaris* (s. Bd. I, Fig. 94 und 95), während die Hauptmasse der Drüse unterhalb der *basis mandibulae* gelegen ist.

Ein dünner, stark abgeplatteter Fortsatz der Drüse (\*) erstreckt sich zwischen *Pterygoideus internus* und *Mylohyoideus* nach aufwärts und vorn bis zur *glandula sublingualis* hin. Der dünnwandige Ausführungsgang, *ductus submaxillaris* (Whartoni), von der Dicke eines schwachen Federkiels, geht vom oberen Teil der Drüse aus und läuft oberhalb (mundhöhlenwärts) des *Mylohyoideus*, zwischen dem Muskel und der Schleimhaut des Bodens der Mundhöhle, medial von der *glandula sublingualis*, die *plica sublingualis* erzeugend, in der Richtung von hinten nach vorne und gleichzeitig medianwärts bis zur *caruncula sublingualis* neben dem *frenulum linguae*. In einer tiefen Furche der obern, medialen Fläche der Drüse liegt die *arteria maxillaris externa*.

Die Unterzungenspeicheldrüse, *glandula sublingualis*, ist eine unmittelbar unter der Schleimhaut des Mundbodens gelegene, länglich-runde, stark abgeplattete Drüse. Sie ist mit ihrer Längsachse nahezu sagittal gestellt und bei aufgehobener Zungenspitze durch die Schleimhaut der Mundhöhle hindurch (lateral von der *plica sublingualis* gelegen) sichtbar. Sie liegt mit ihrem lateralen Rande in der *fovea sublingualis* des Unterkiefers und grenzt mit ihrem hintern Rande an die *glandula submaxillaris*, mit ihrem medialen Rande an den *Genioglossus*, mit ihrer unteren Fläche an den *Mylohyoideus*. Sie ist die kleinste der drei grossen Speicheldrüsen und bildet einen wenig kompakten, meist aus zwei nur locker zusammenhängenden Teilen bestehenden Drüsenkörper (s. p. 297).







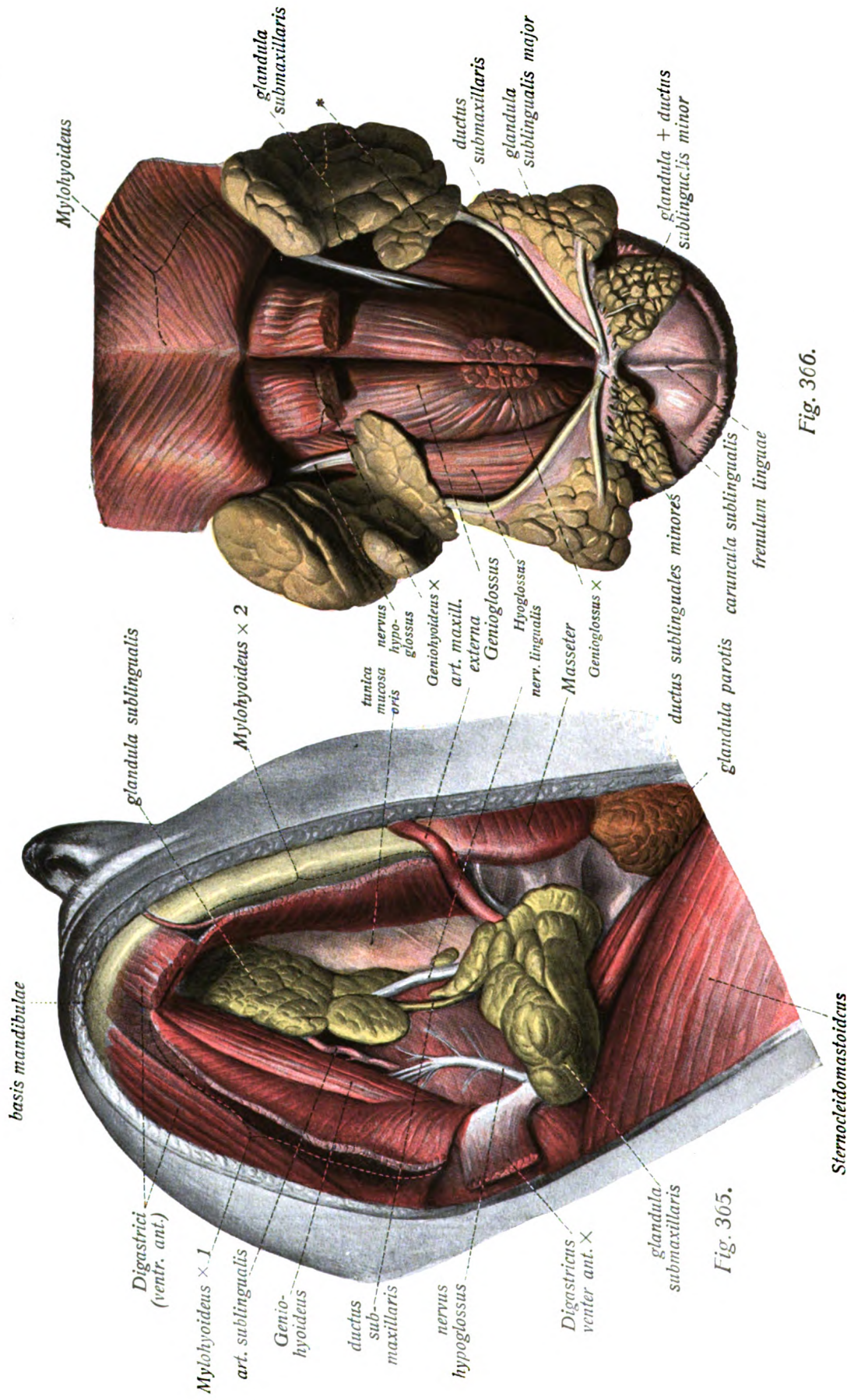


Fig. 365. Situsbild der glandulae submaxillaris und sublingualis in der fossa submaxillaris bzw. regio submentalıs nach Durchschneidung des Mylohyoideus. ( $\frac{1}{1}$ )  
 Vorderer Bauch des Digastricus und Mylohyoideus sind durchschnitten, die glandula submaxillaris ist etwas nach hinten zurückgezogen.

Fig. 366. Ansicht der glandulae submaxillares und glandulae sublinguales (major und minor) mit der (herausgeschnittenen) Zunge von unten her. ( $\frac{1}{1}$ )  
 Die beiden Mylohyoidei sind nach Durchschneidung über das Zungenbein zurückgeklappt, die Geniohyoidei bis auf einen kurzen Stumpf abgeschnitten, die Genioglossi hart am Ursprung vom Kiefer abgelöst. Die glandulae sublingualis major und minor sind von einander getrennt, um die Verschiedenheit des Verhaltens der Ausführungsgänge zu zeigen (wie bei Fig. 364).

## Verdauungsapparat, Speicheldrüsen. (Forts.)

Man kann daher auch unterscheiden: 1. eine grössere sog. monostomatische *glandula sublingualis major*; 2. einen polystomatischen kleineren Drüsenkomplex, der gegen die Zungenspitze zu gelegen ist, die *glandula sublingualis minor*. Erstere besitzt einen einzigen Ausführungsgang von der Dicke eines schwachen Federkiels, den *ductus sublingualis major*, mittels dessen sie neben dem ductus submaxillaris ihr Sekret auf die caruncula sublingualis ins cavum oris proprium ergiesst, während die oft nicht scharf abgesetzte kleinere, polystomatische Drüse 6–12 ductus sublinguales minores hat, welche mittels punktförmiger Oeffnungen auf dem vordern Abschnitt der plica sublingualis ausmünden. Lockeres Bindegewebe hält beide Drüsenteile zu einer scheinbar einheitlichen Masse zusammen, der *glandula sublingualis*.

### Die kleineren Drüsen der Mundhöhle sind:

1. *glandulae labiales* der Ober- und Unterlippe, zwischen Muskulatur und Schleimhaut gelegen.
2. *glandulae buccales*, in der Wange z. T. zwischen Schleimhaut und Muskulatur (Buccinator), zum grossen Teil zwischen Muskulatur und äusserer Haut gelegen.
3. *glandulae molares*, zerstreute, kleine Drüsen in der Schleimhaut hinter dem letzten Backzahn.
4. *glandulae linguales*, unter der Schleimhaut des dorsum linguae. Eine grössere Drüse von diesen ist die *glandula lingualis anterior* (Nuhni, Blandini), in der Muskulatur der Zungenspitze gelegen; ihr Gang mündet auf der Schleimhaut der Unterzunge.
5. *glandulae palatinae* der Schleimhaut des harten und weichen Gaumens, beim letzteren z. T. zwischen der Muskulatur gelegen.

Alle diese Drüsen bleiben an Grösse hinter den drei grossen Speicheldrüsenpaaren weit zurück. Die Mehrzahl von ihnen ist etwa hanfkorngross.

## Verdauungsapparat, Pharynx.

Fig. 367. Ansicht des pharynx mit der Constrictorenmuskulatur von hinten. (<sup>1</sup>/<sub>1</sub>)

Der Schädel ist durch einen keilförmigen Schnitt, welcher Hinterhauptsbein, fossa jugularis und Warzenfortsatz des Schläfenbeins trifft, durchschnitten; mit dem hintern Abschnitt des Schädels ist die Halswirbelsäule entfernt. \* = Bündel des Constrictor superior von der Schädelbasis.

### Der Schlundkopf, *pharynx*.

Der Schlundkopf, *pharynx*, ist ein unpaares, von vorn nach hinten abgeplattet-zylindrisches, senkrecht im Körper gestelltes Rohr. Es wird seitlich und hinten durch muskulöse Wände völlig abgeschlossen, steht aber nach vorn in offener Verbindung mit Nasen- und Mundhöhle und mit dem Kehlkopf; sein Dach grenzt hart an die Schädelbasis. Die Hinterwand des pharynx liegt mit ihrer hinteren Fläche auf der Vorderfläche der Halswirbelsäule und reicht bis zur Grenze des sechsten und siebenten Halswirbelkörpers, wo der oesophagus beginnt; sie besteht ebenso wie die Seitenwand hauptsächlich aus der Muskulatur der Pharynxconstrictoren, während der Vorderwand des Organs eine eigene Muskelwand fehlt (s. u.). Als Aufhängemuskel des pharynx an der Schädelbasis dient der m. stylopharyngeus.

### Constrictoren des pharynx, *mm. constrictores pharyngis*.

Name	Ursprung	Ansatz
<i>Constrictor pharyngis superior</i> (Cephalopharyngeus)		vereinigen und durchflechten sich in der raphe pharyngis.
<i>Pterygopharyngeus</i>	hamulus pterygoideus ossis sphenoidalis	
<i>Buccopharyngeus</i>	raphe pterygomandibularis	
<i>Mylopharyngeus</i>	linea mylohyoidea mandibulae	
<i>Glossopharyngeus</i>	fibrae transversae linguae	
<i>Constrictor pharyngis medius</i> (Hyopharyngeus)		
<i>Ceratopharyngeus</i>	cornu majus ossis hyoidei	
<i>Chondropharyngeus</i>	cornu minus ossis hyoidei	
<i>Constrictor pharyngis inferior</i> (Laryngopharyngeus)		zwischen Constrictor medius und superior in der Pharynxwand.
<i>Thyreopharyngeus</i>	Aussenfläche (linea obliqua) der cartilago thyreoidea	
<i>Cricopharyngeus</i>	Seitenrand d. cartilago cricoidea	
<i>Stylopharyngeus</i>	proc. styloideus ossis temporalis	



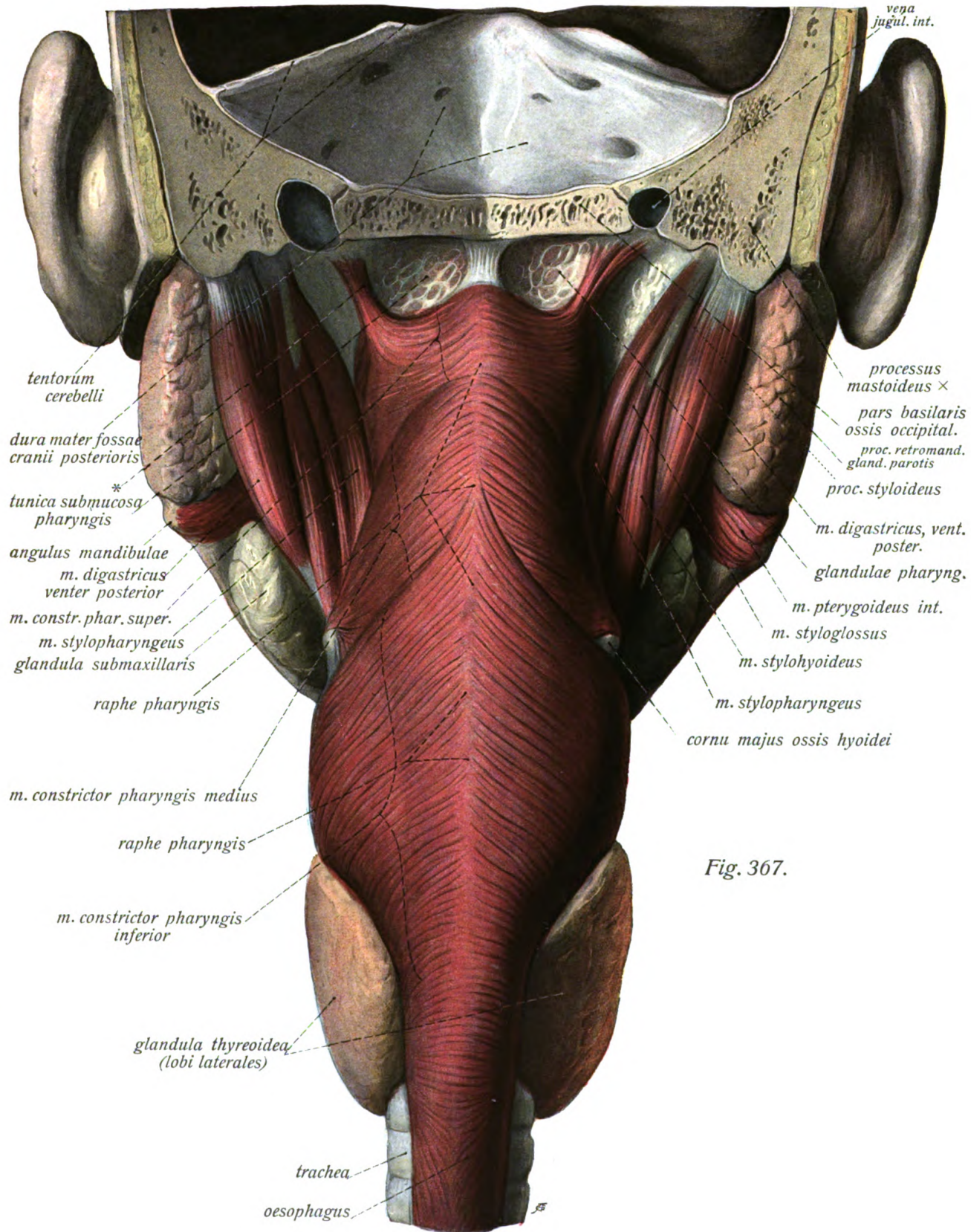
vena  
jugul. int.

Fig. 367.



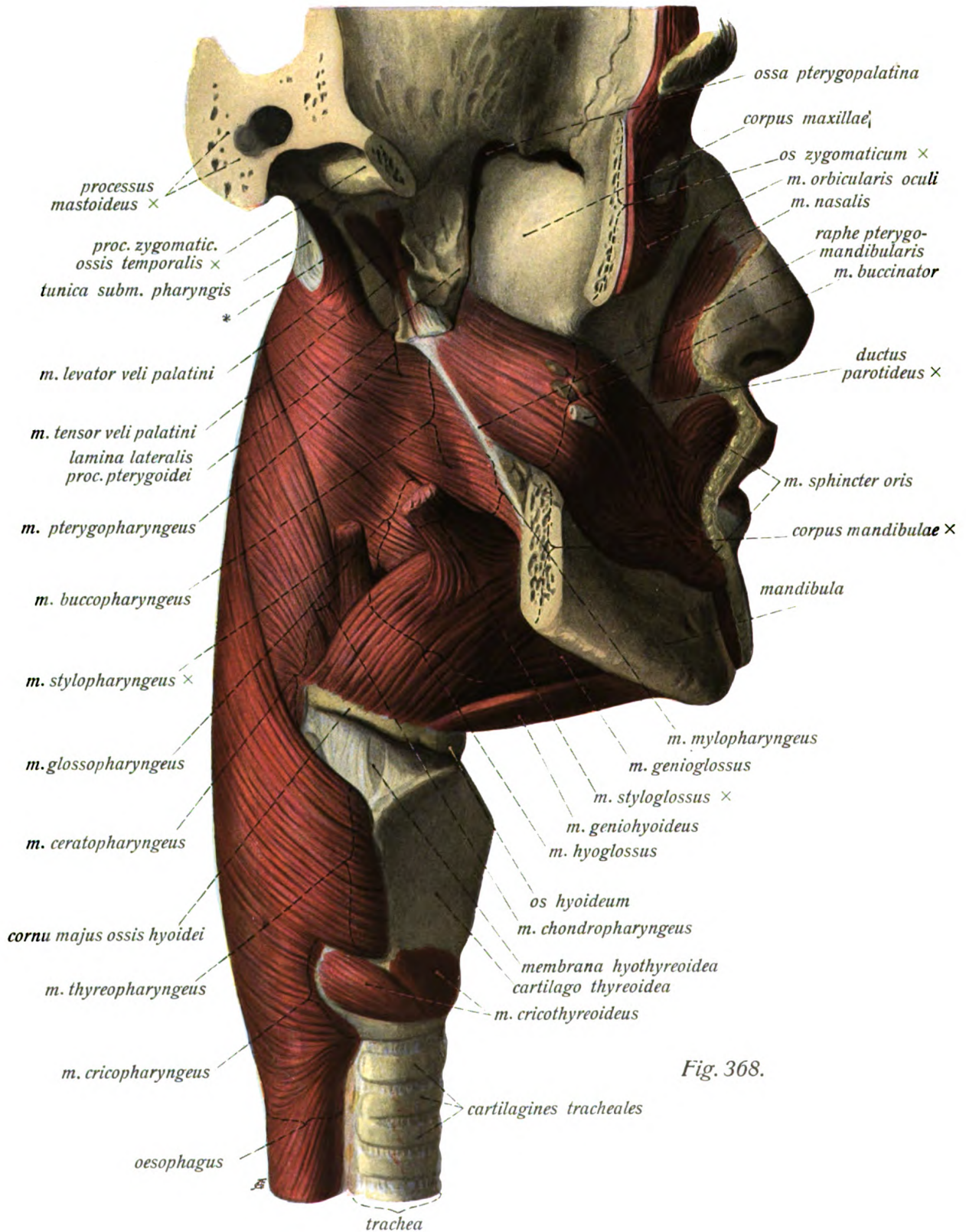


Fig. 368.

### Verdauungsapparat, Pharynx. (Forts.)

Fig. 368. Muskulöse Wand des Schlundkopfes in der Ansicht von der rechten Seite. ( $\frac{1}{1}$ )

Der hintere Teil des Unterkieferkörpers mit dem gesamten Unterkieferast ist entfernt; der Warzenfortsatz des Schläfenbeins und der Jochbogen einschliesslich des hintern Teiles des Jochbeins sind ebenfalls weggesägt. Die Kaumuskulatur ist völlig, die Gesichtsmuskulatur zum grossen Teile abgetragen, desgleichen die Zungenbeinmuskeln bis auf den Geniohyoideus. Der Buccinator ist durch die Wegnahme der hinteren Unterkieferabschnitte völlig freigelegt, desgleichen die *raphe pterygomandibularis*.

\* = Bündel des Constrictor superior von der Schädelbasis.

Die Konstriktorenmuskulatur des pharynx beginnt nicht unmittelbar unter der Schädelbasis, sondern der obere Rand des Constrictor superior beginnt erst etwa 2 cm unterhalb, so dass im obersten Bereiche der hinteren und seitlichen Pharynxwand die *tunica fibrosa pharyngis* mit den *glandulae pharyngeae* die Aussenwand des Organs darstellt (Fig. 367).

Die *musculi constrictores pharyngis* beider Seiten vereinigen sich in einer mittleren Naht, der *raphe pharyngis*. Sie lagern sich nicht einfach übereinander, sondern, besonders in ihren hinteren Abschnitten, so, dass der jeweils untere den nächst oberen mehr oder weniger weit überlagert. Auf diese Weise wird in der Aussenansicht des Organs der bei weitem grösste Teil namentlich des hinteren Umfangs der Pharynxwand von dem allerdings auch grössten der drei Konstriktoren, dem Constrictor inferior, gebildet, der den Constrictor medius teilweise ebenso von hinten her überlagert, wie dieser in der Hinteransicht den oberen Schlundkopfschnürer verdeckt. Da die Muskeln sich nach hinten zu verbreitern, kommt diese Erscheinung in der Hinteransicht viel deutlicher zum Ausdruck (Fig. 367) als in der Seitenansicht (Fig. 368).

Der Stylopharyngeus senkt sich zwischen Constrictor superior und medius in die Pharynxwand ein.

### Verdauungsapparat, Pharynx. (Forts.)

Fig. 369. Ansicht der Pharynxhöhle von hinten her nach Durchschneidung der hintern Pharynxwand in der Medianlinie. ( $\frac{1}{1}$ ) Die hintern und seitlichen Teile der Pharynxwand sind zurückgeschlagen, indem an der Pharynxkuppel horizontale Einschnitte in die seitliche Wand gemacht sind.

Die Höhlung des Schlundkopfes, *cavum pharyngis*, zerfällt in drei über einander gelegene, aber nicht scharf von einander abgegrenzte Abteilungen, die *pars nasalis* (Nasendachraum), die *pars oralis* und die *pars laryngea*. Die *pars nasalis pharyngis* kommuniziert durch die Choanen mit der Nasenhöhle und wird von der Mundhöhle durch das Gaumensegel getrennt. Ihre dicht unter der Schädelbasis gelegene Kuppel wird *fornix pharyngis* genannt. In der *pars nasalis pharyngis* findet man die Mündung der Ohrtrumpete oder *tuba auditiva*, das *ostium pharyngeum tubae auditivae*, jederseits an der seitlichen Wand gegenüber der Ausmündung des unteren Nasenganges in die Choane in Gestalt einer länglich-rundlichen Oeffnung, deren vordere und hintere Begrenzung als Tubenlippen, *labium anterius* und *labium posterius*, bezeichnet werden. Die letztere ist die stärkere und enthält das freie Ende des Tubenknorpels, der sich als *torus tubarius* wulstförmig vorwölbt. Oberhalb und hinter dem Tubenwulst liegt in der Pharynxkuppel jederseits ein tiefer Blindsack, der *recessus pharyngeus* (Rosenmuelleri). Zwischen beiden Tubenmündungen liegt die unpaare Pharynxtonsille, *tonsilla pharyngea*, beim Erwachsenen meist rudimentär. Vor und medial von der Tubenmündung zieht ein schräger Wulst zum Gaumen herab, der Levatorwulst (Fig. 370).

Die vordere Tubenlippe stellt eine nach der Hinterfläche des harten Gaumens laufende Schleimhautfalte dar, *plica salpingopalatina*, während vom *torus tubarius* die *plica salpingopharyngea* nach abwärts zieht; letztere enthält gelegentlich den gleichnamigen Muskel (Varietät).

Die *pars oralis pharyngis* steht mittelst des *isthmus faucium* in direkter Verbindung mit der Mundhöhle und wird durch die *arcus pharyngopalatini* von dieser getrennt. Sie ist der engste Teil des pharynx, zeigt sonst aber keine Besonderheiten.

Die *pars laryngea pharyngis* wird durch eine von der Seitenwand des pharynx zum Kehledeckel laufende Falte, *plica pharyngoepiglottica*, von der *pars oralis* getrennt und ist der einzige Abschnitt des pharynx, welcher auch vorn grösstenteils begrenzt ist. Er liegt hinter dem Kehlkopf, dessen Hinterfläche sich durch die dünne Pharynxschleimhaut deutlich abprägt, so dass man eine mittlere, der Platte des Ringknorpels und den Giessbeckenknorpeln entsprechende Erhebung und zwei seitliche, tiefe Einsenkungen, *recessus piriformes*, unterscheiden kann. In ihnen trifft man meist eine schräge, von oben lateral nach unten medial gerichtete Falte, die *plica nervi laryngei* (für den *nervus laryngeus superior*). In der *pars laryngea pharyngis* liegt ferner der Kehlkopfeingang, *aditus laryngis*.



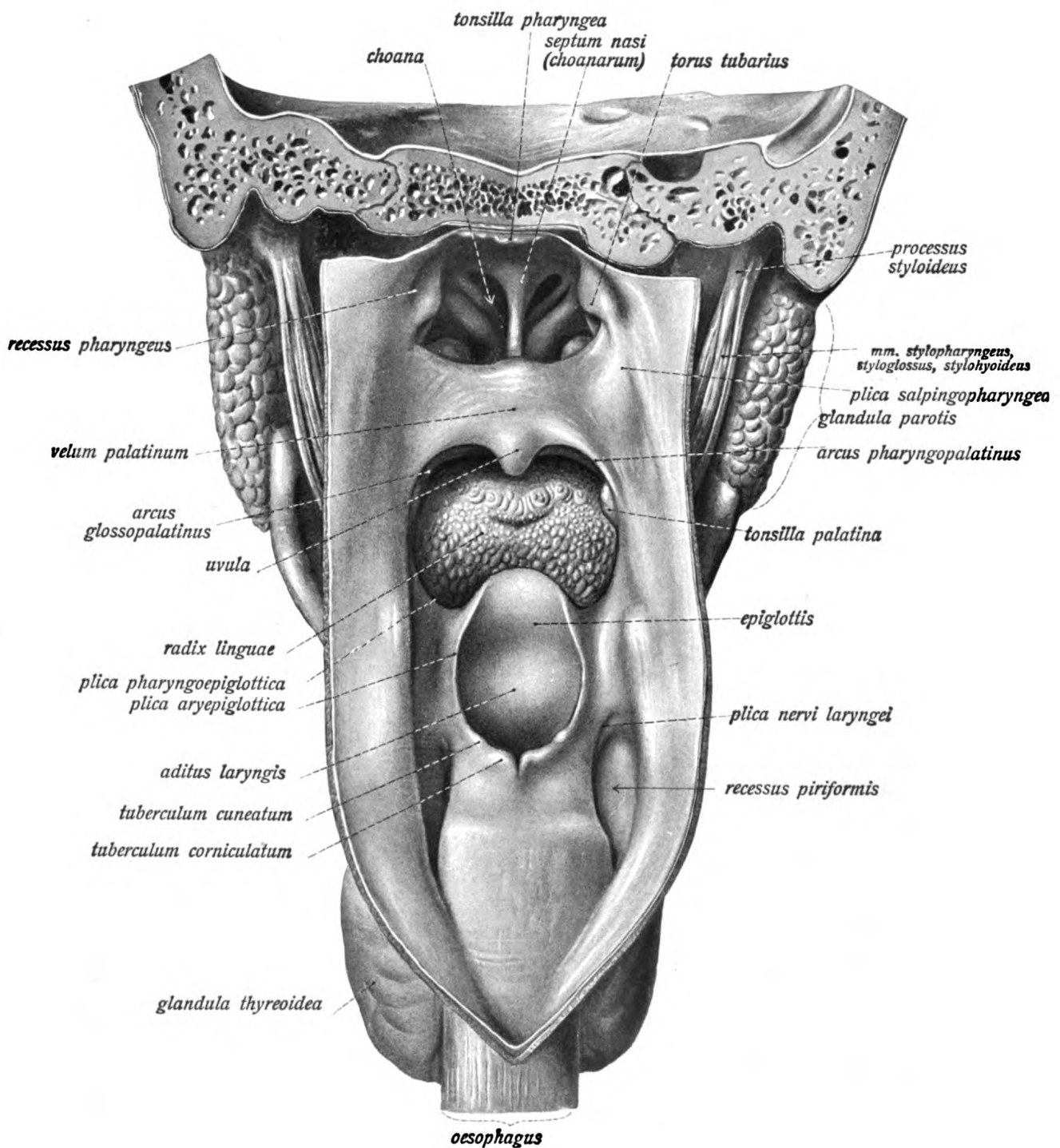


Fig. 369.

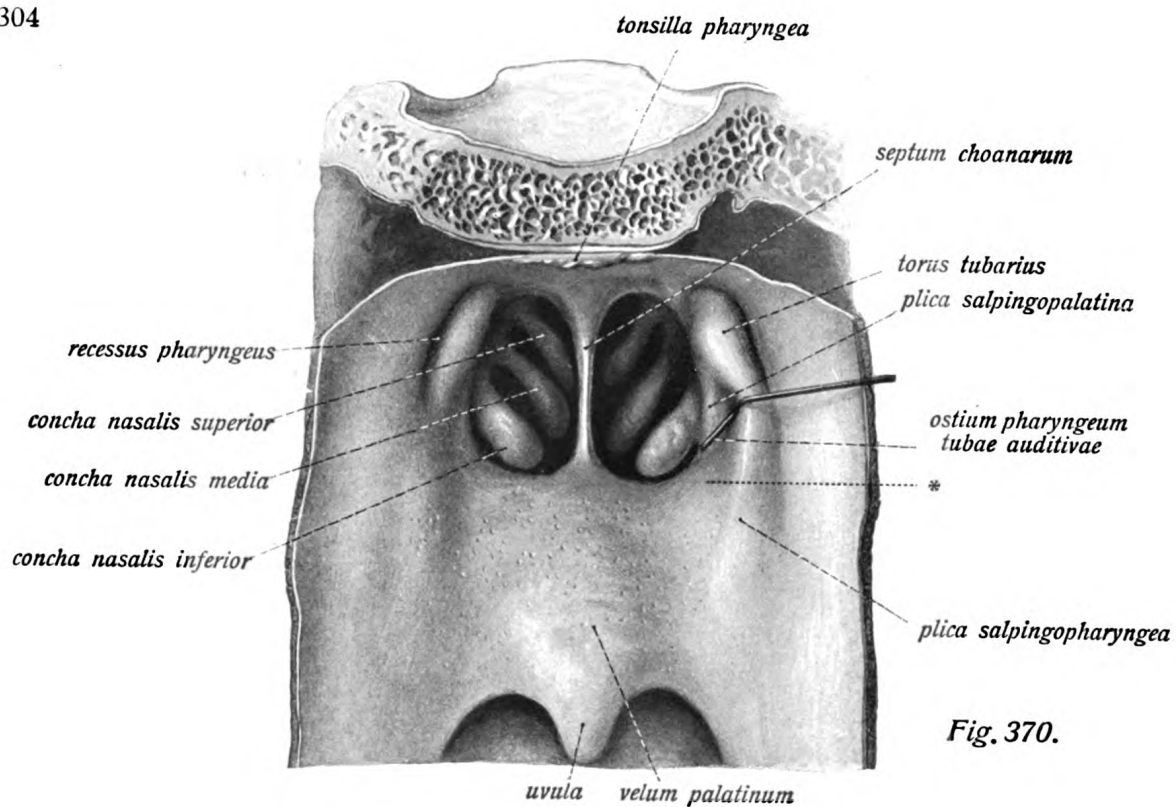


Fig. 370.

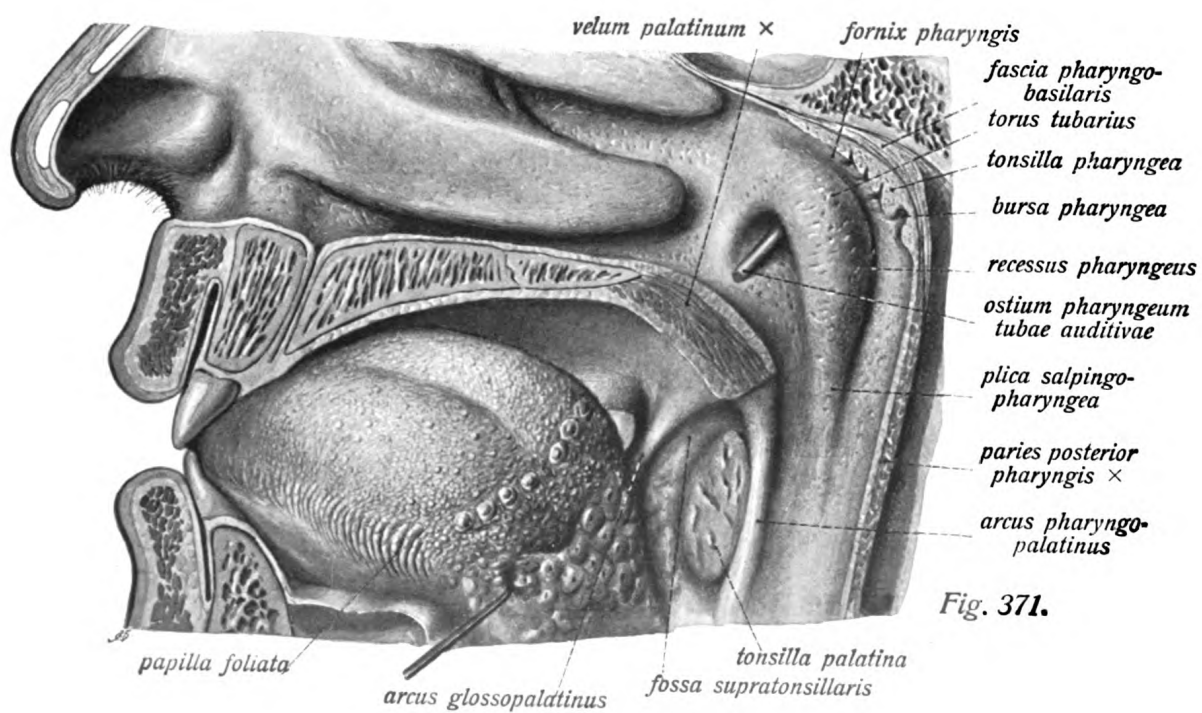


Fig. 371.

### Verdauungsapparat, Pharynx, Gaumenbögen, Mandel.

Fig. 370. Ansicht der pars nasalis pharyngis von hinten her nach Durchschneidung der hintern Pharynxwand in der Mittellinie. ( $\frac{1}{1}$ )

Fig. 371. Ansicht der pars nasalis pharyngis, der Gaumenmandel und Gaumenbögen von der linken Seite. ( $\frac{1}{1}$ )

Der Schädel ist dicht neben der Medianlinie halbiert bis auf die Zunge, das Zäpfchen an der Wurzel abgeschnitten, die Zunge etwas hervorgezogen.

\* = Levatorwulst.

---

Die Wand des pharynx besteht aus der Schleimhaut, *tunica mucosa pharyngis*, einer *tunica fibrosa (submucosa) pharyngis* und der Muskelhaut, *tunica muscularis pharyngis*. Die rötliche, ziemlich glatte und dünne Schleimhaut des pharynx enthält namentlich im oberen Abschnitt kleine Schleimdrüsen, *glandulae pharyngeae*. Die fibrosa stellt im oberen Abschnitt der Pharynxwand, wo die Muskulatur in einer Höhe von etwa 2 cm fehlt, eine kräftige, fibröse Haut dar, welche als *fascia pharyngobasilaris* bezeichnet wird und an der Schädelbasis inseriert. Die tunica muscularis des pharynx findet sich in der seitlichen und hintern Wand mit Ausnahme des obersten Abschnittes. Sie besteht im wesentlichen aus ringförmigen Fasern, *musculi constrictores pharyngis* (s. ob. Fig. 367/368), welche in einer medianen Naht, *raphe pharyngis*, zusammentreffen und sich hier z. T. durchflechten (s. p. 301).

Ausserdem finden sich noch innere Pharynxmuskeln, welche z. T. gleichzeitig dem Gaumen angehören, da die hintere Fläche des weichen Gaumens zugleich die vordere Wand der pars nasalis pharyngis darstellt (s. u. p. 307, Fig. 372).

---

#### Gaumenmandel, *tonsilla palatina*, und Gaumenbögen, *arcus palatini*.

Der vordere Gaumenbogen, *arcus glossopalatinus*, läuft vom seitlichen, unteren Rand des Gaumensegels zur Schleimhaut des Seitenrandes der Zunge, wo er als *plica triangularis* endet. Der hintere, *arcus pharyngopalatinus*, ist dicker als der vordere, aber weniger stark gebogen; er geht vom Gaumensegel zur seitlichen Wand der pars oralis pharyngis. Zwischen beiden Gaumenbögen bildet sich eine Nische, *sinus tonsillaris*, in welcher die Gaumenmandel oder -Tonsille, *tonsilla palatina*, gelegen ist. Diese stellt eine länglich-rundliche, meist nicht ganz scharf begrenzte Erhebung dar mit tiefen Spalten und Gruben an der Oberfläche. Sie füllt den Raum zwischen den beiden Gaumenbögen oft nicht völlig aus, so dass über ihr eine tiefe Bucht, *fossa supratonsillaris*, bleibt. In die benachbarte tonsilla lingualis (= folliculi linguales) geht sie oft ohne scharfe Grenze über (lymphatischer Rachenring).

---

## Verdauungsapparat, Gaumensegel, Isthmus faucium, Pharynx.

Fig. 372. Muskulatur des Gaumensegels und des isthmus faucium in der Ansicht von hinten bei (von hinten) eröffnetem pharynx. ( $\frac{1}{1}$ )

Präparation ähnlich wie bei Fig. 367 und 369. Nach Wegnahme der Gaumenschleimhaut ist links der Levator veli palatini freigelegt; rechts ist dieser fast ganz abgetragen, um den Tensor zu zeigen; ferner ist der torus tubarius entfernt und damit die tuba cartilaginea angeschnitten. Rechts sind Digastricus (vent. post.), Stylopharyngeus und Styloglossus bis auf die Ursprünge abgetragen, links ist die Schleimhaut der vordern Pharynxwand z. T. entfernt, um die hintere Kopfmuskulatur zu zeigen.

### Die Muskeln des Gaumens und der Schlundenge, *musculi veli palatini et isthmi faucium*.

Diese liegen z. T. im weichen Gaumen und dienen zu dessen Bewegung (Abschluss des Nasenrachenraums gegen die pars oralis pharyngis) sowie zur Oeffnung des spaltförmigen Lumens der Ohrtrumpete (Lüftung des Mittelohres), z. T. bilden sie die eigentliche Muskulatur der Schlundenge, die sie verkleinern können. Beide Muskelgruppen strahlen in die muskulöse Pharynxwand aus.

Name	Ursprung	Ansatz
<i>Musculus uvulae</i> (Azygos uvulae)	spina nasalis posterior (der Muskel ist fast unpaar)	Zäpfchen.
<i>Levator veli palatini</i> (Petrosalpingostaphylinus)	facies inferior pyramidis ossis temporalis, cartilago tubae auditivae	die Muskeln beider Seiten durchflechten sich im Gaumensegel.
<i>Tensor veli palatini</i> (Sphenosalpingostaphylinus) hart auf der Fascie des m. pterygoideus internus gelegen	spina angularis und fossa scaphoidea ossis sphenoidalis, lamina lateralis cartilaginis tubae auditivae	die platte Sehne geht durch den sulcus hamuli und breitet sich mit der der anderen Seite membranartig im vorderen Teil des Gaumensegels aus (aponeurosis palatina).
<i>Glossopalatinus</i> (Palatoglossus)	aus den fibrae transversae linguae	Gaumensegel
<i>Pharyngopalatinus</i> (Palatopharyngeus)	Constrictor medius und inferior pharyngis	Gaumensegel

liegen in den gleichnamigen Bögen.



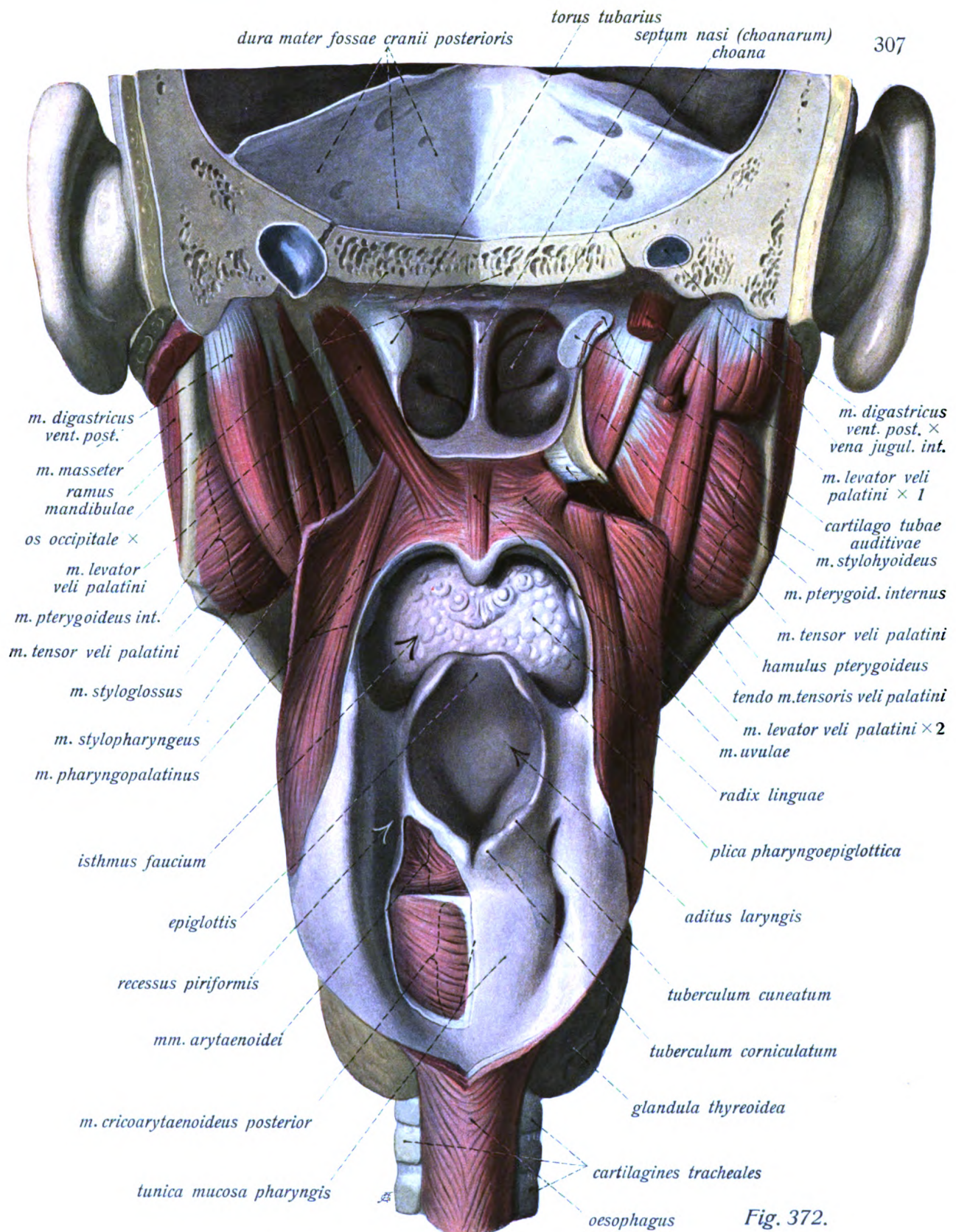


Fig. 372.



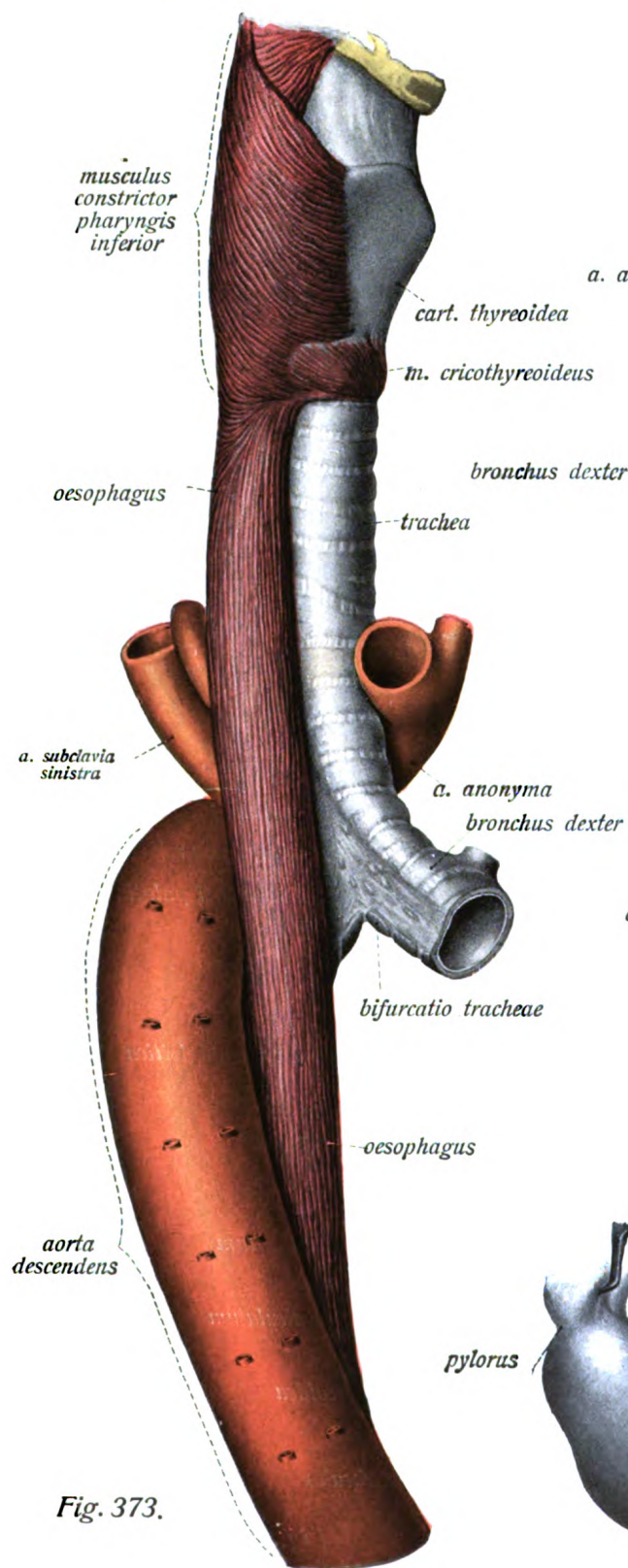


Fig. 373.

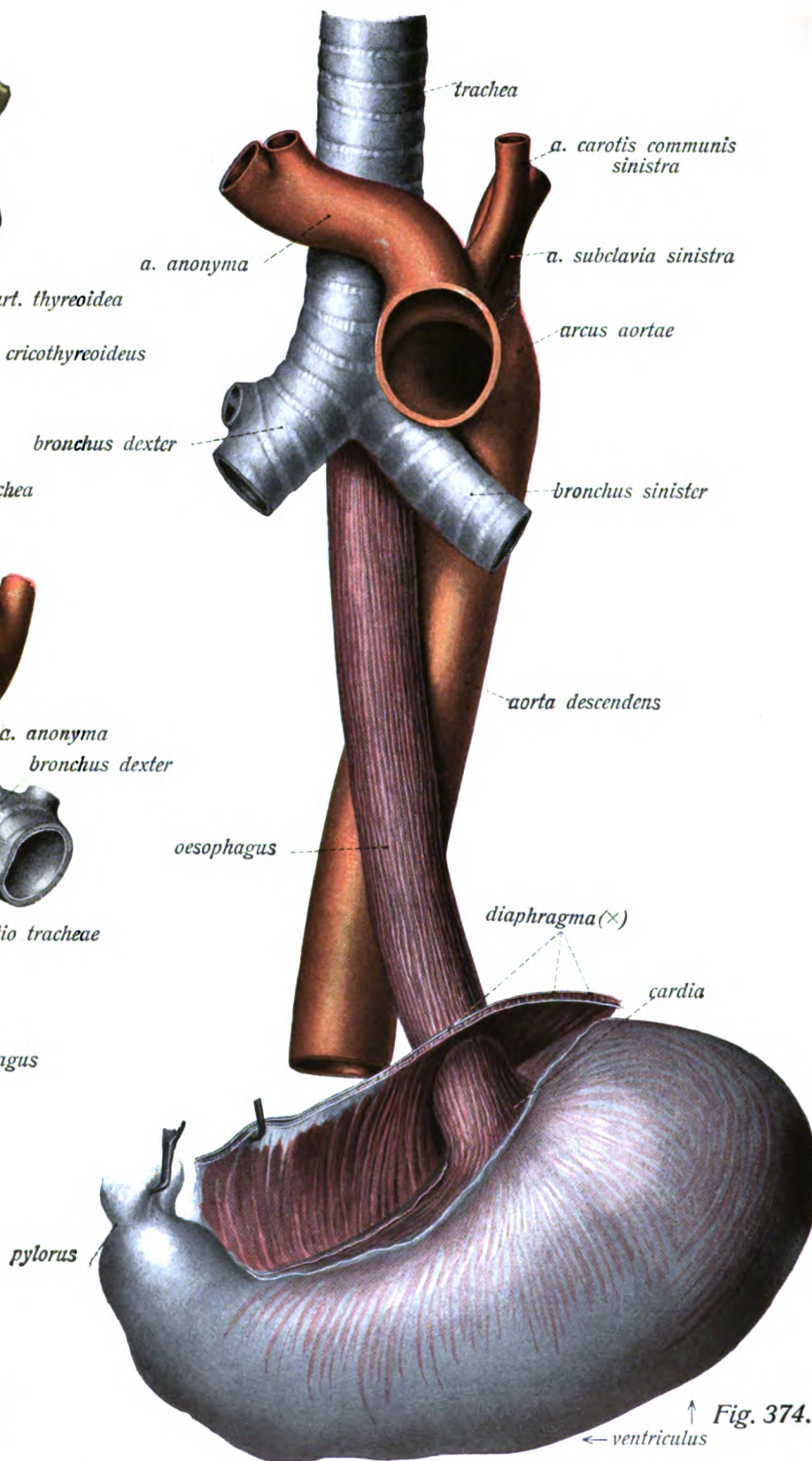


Fig. 374.

### Verdauungsapparat, Speiseröhre, *oesophagus*.

- Fig. 373. Oberer Abschnitt der Speiseröhre mit der aorta und ihren Aesten und der Luftröhre mit ihrer Teilung von der rechten Seite her. ( $\frac{3}{4}$ )
- Fig. 374. Unterer Abschnitt des oesophagus und Magens mit der aorta und einem Teil des Zwerchfells. ( $\frac{3}{4}$ ) Letzteres sowie der pylorus des Magens sind in die Höhe gehoben. Der Magen ist ziemlich stark kontrahiert.

#### Die Speiseröhre, *oesophagus*.

Die Speiseröhre, *oesophagus*, ein etwa 25 cm langer, häutigmuskulöser, im leeren Zustand abgeplattet-zylindrischer Schlauch, geht aus dem unteren Ende des pharynx unmittelbar hervor und kontinuierlich mit seinem untern Abschnitt in die cardia des Magens über. Man unterscheidet an ihm drei Teile, den Halsteil, *pars cervicalis*, den Brustteil, *pars thoracalis*, und den Bauchteil, *pars abdominalis*. Ersterer liegt zunächst genau hinter der Luftröhre und unmittelbar vor der Halswirbelsäule, zeigt aber bald eine geringe Neigung zur Abweichung nach links, so dass der untere Teil der *pars cervicalis* die Luftröhre bereits etwas nach links überragt. Die *pars thoracalis oesophagi* liegt im hintern mediastinum zunächst noch der Vorderfläche der Wirbelsäule nahe und ungefähr in der Medianlinie, im Bereiche der bifurcatio tracheae jedoch bereits so, dass die Speiseröhre schon hinter den Ursprung des linken bronchus zu liegen kommt. Unterhalb dieser grenzt der oesophagus an die hintere Wand des Herzbeutels und an die mehr links gelegene aorta thoracalis descendens. Beide liegen zunächst eine kurze Strecke nahezu parallel neben einander, die aorta links, der oesophagus rechts. Weiter unten tritt die Speiseröhre mehr nach links und vor die aorta, wird also durch diese von der Vorderfläche der Wirbelsäule mehr und mehr abgedrängt, wobei es allmählich zu einer spitzwinkligen Kreuzung von aorta und oesophagus kommt, bei der letzterer vor die aorta zu liegen kommt und nun erst die Mittellinie stark nach links überschreitet. Im grossen und ganzen bleibt die Speiseröhre in medianer Lagerung bis kurz vor dem Durchtritt durch das Zwerchfell.

Die *pars abdominalis oesophagi* ist etwa 1 cm lang. Die Speiseröhre zeigt nach dem Durchtritt durch den hiatus oesophageus des Zwerchfells eine weitere, ziemlich plötzliche Wendung nach links und mündet in der Höhe des elften Brustwirbels in den Magen ein. Das Kaliber des oesophagus ist nicht an allen Stellen das gleiche, vielmehr wechseln etwas engere und etwas weitere Strecken miteinander ab. Die engsten Stellen sind: 1. der Anfangsteil (Ringknorpelenge), 2. Stelle hinter der bifurcatio tracheae, 3. Durchtrittsstelle durch das Zwerchfell. Im leeren Zustande des Organs sind die Kaliberschwankungen kaum bemerkbar.

Die Wand der Speiseröhre besteht aus drei Lagen: 1. der innern *tunica mucosa*, 2. der ganz lockeren *tunica submucosa*, 3. der aus inneren Ring- und äusseren Längsfaserlagen gebildeten *tunica muscularis*. Schleimhaut und Muskelrohr sind durch die dazwischen geschaltete, lockere submucosa vollkommen voneinander getrennt. Die äussere Längsfaserlage der Muskulatur, die im obern Drittel des Organs noch aus quergestreiften Fasern besteht, erzeugt eine deutliche Längsstreifung des Organs in der Aussenansicht.

Bis auf die kurze *pars abdominalis*, die einen serösen Ueberzug seitens des Bauchfells trägt, ist die Speiseröhre in lockeres adventitielles Bindegewebe eingebettet.

Von der Muskelschicht der Speiseröhre zweigen sich gelegentlich einige Bündelchen ab, die sich an die den oesophagus überziehende pleura mediastinalis anheften (m. pleurooesophageus) und mit der Hinterwand des linken bronchus zusammenhängen (m. bronchooesophageus).

## Verdauungsapparat, Magen, *ventriculus*.

### Der Magen, *ventriculus*.

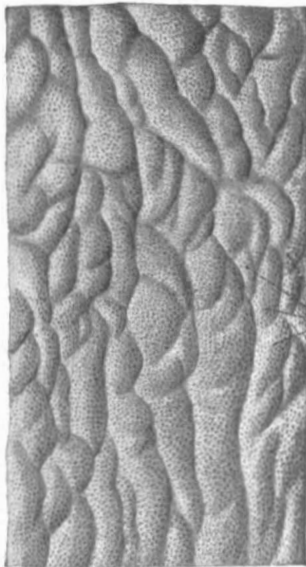
Der Magen, *ventriculus*, ist eine zwischen Speiseröhre und Darm eingeschaltete, sackartige Erweiterung des Verdauungsrohres von ungefähr birnförmiger Gestalt; er ist links weit und dick, rechts schmal und dünn. Sein oberer Rand, *curvatura minor* genannt, ist kurz und im Hauptabschnitt des Magens konkav, sein unterer, *curvatura major*, 3–4 mal so lang und (grösstenteils) konvex. Die Einmündungsstelle der Speiseröhre, *cardia* genannt, liegt am oberen Rande des Magens, am linken Ende der kleinen Kurvatur. Die am rechten Ende des Magens gelegene Uebergangsstelle in den Darm heisst Magenpfortner, *pylorus*. Man unterscheidet am Magen (namentlich am leeren) eine vordere und eine hintere Wand, *paries anterior* und *paries posterior*. Beide sind konvex und werden durch die Kurvaturen voneinander getrennt. Ferner unterscheidet man drei Hauptabschnitte des Magens, den Magengrund, *fundus ventriculi*, den Magenkörper, *corpus ventriculi*, und den Pylorusteil, *pars pylorica*; die Höhlung des letzteren heisst auch *antrum pyloricum*.

Der pylorus selbst erscheint an der Aussenfläche des Magens als leicht ringförmige Einschnürung, im Innern des Magens dagegen als eine ringförmige Falte von nicht erheblicher Höhe, *valvula pylori*. Im Bereiche der *pars pylorica* wird die kleine Kurvatur leicht konvex, die grosse leicht konkav, indem der Magen hier in der Regel eine Biegung nach oben macht. Namentlich der Endabschnitt der *pars pylorica* ist kleinkalibrig, fast wie der sich anschliessende Dünndarm (*canalis pylori*), nur viel dickwandiger als dieser.

Der Magen liegt grösstenteils in der linken Körperhälfte, nur die *pars pylorica* überschreitet die Mittellinie nach rechts, so dass etwa nur  $\frac{1}{6}$  des ganzen Organs in die rechte Körperhälfte zu liegen kommt. Die Lagerung des Magens ist eine mehr oder weniger steile; stets ist der *fundus* am höchsten gelegen, noch höher als die *cardia*; die stärkste Wölbung der *curvatura major* stellt bei wenig steiler Lagerung den am tiefsten gelegenen Teil dar. Die *cardia* liegt aber wiederum stets höher als der pylorus. Die Längsachse des Magens liegt also mehr oder weniger schräg, von oben links nach unten rechts. Namentlich im gefüllten Zustande des Magens ist die grosse Kurvatur nach unten und vorn, die kleine nach oben und hinten gerichtet. Was die Lagerung des Magens zum Skelet betrifft, so entspricht er der Höhe des (zehnten oder) elften bis zwölften Brustwirbels. Die *cardia* liegt vor dem zehnten oder elften Brustwirbel und hinter dem Ansatz des siebenten Rippenknorpels am sternum, der pylorus liegt am rechten Rande des zwölften Brustwirbels oder 1. Lendenwirbels. (Ueber Muskulatur und Schleimhaut des Magens s. pag. 314.)

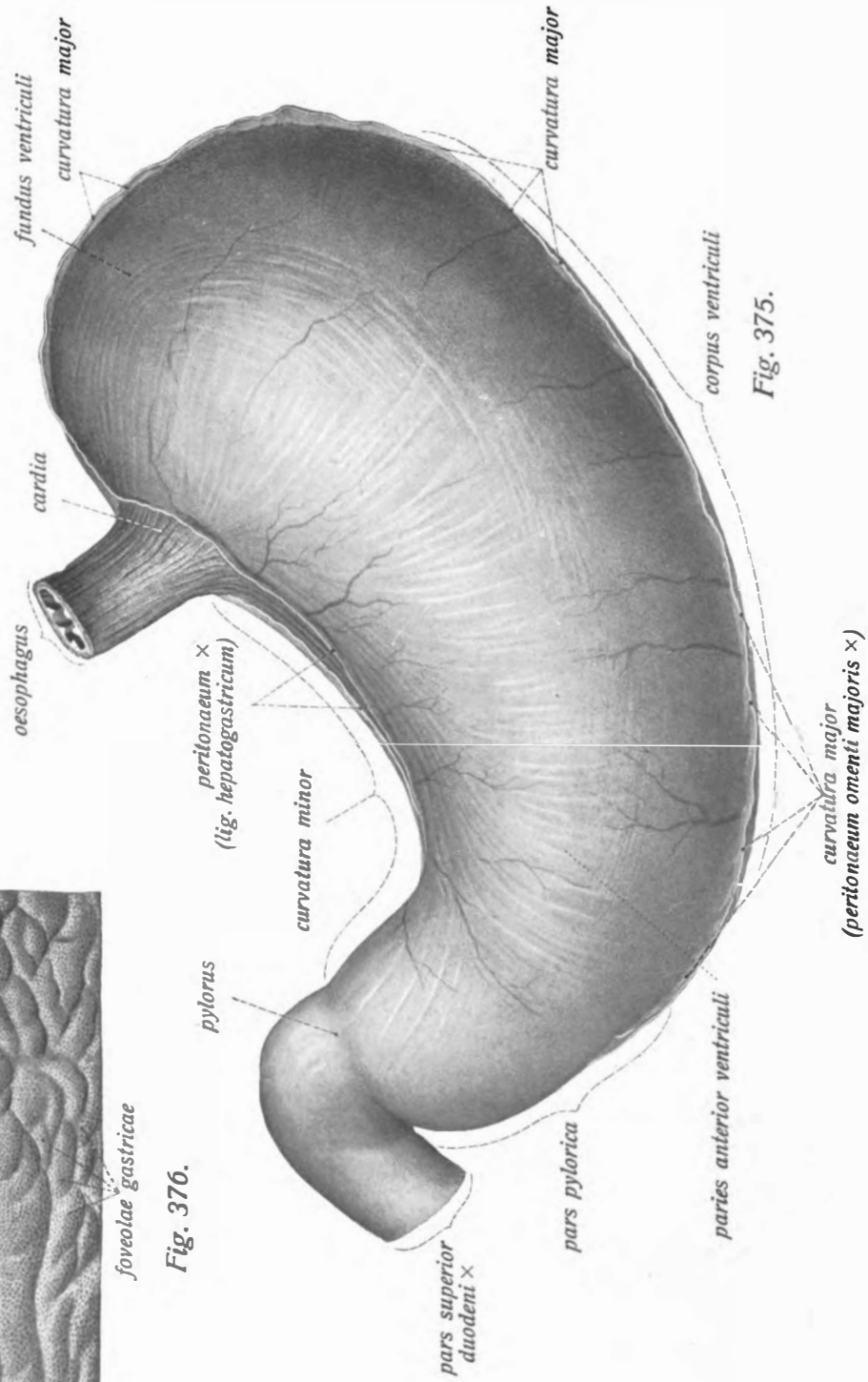
Fig. 375. Magen von vorn gesehen (mässig gefüllt) mit dem Bauchfellüberzug. ( $\frac{3}{4}$ )  
Fig. 376. Ansicht eines Teils der Magenschleimhaut. ( $\frac{1}{1}$ )





*foveolae gastricae*

**Fig. 376.**



**Fig. 375.**

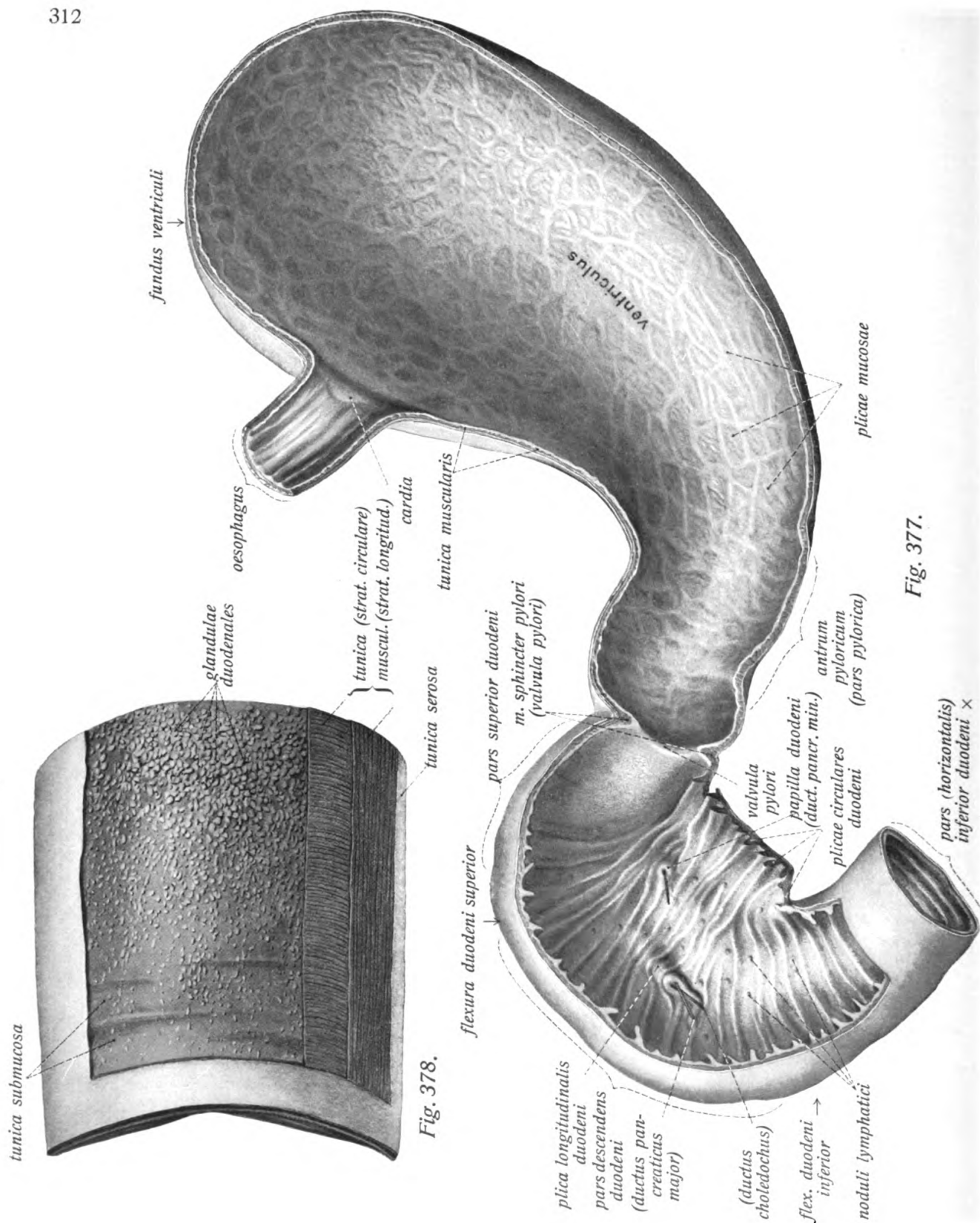


Fig. 377.

## Verdauungsapparat, Magen und Zwölffingerdarm. (Forts.)

### Der Zwölffingerdarm, *duodenum*.

Das *duodenum* stellt einen ungefähr hufeisenförmig gebogenen Darmabschnitt dar, dessen Biegung so liegt, dass die Konvexität nach rechts, die Konkavität nach links sieht. In der Konkavität liegt der Kopf des *pancreas*. Das *duodenum* beginnt am *pylorus* des Magens und reicht bis zur *flexura duodenojejunalis*. Man unterscheidet an ihm drei Hauptabschnitte, *pars superior*, *pars descendens* und *pars inferior*. Die kurze *pars superior*, der Anfangsteil, läuft ziemlich genau von vorn nach hinten, gleichzeitig horizontal und lateralwärts; in der *flexura duodeni superior* geht er in die nahezu vertikale *pars descendens* über. Diese grenzt sich durch die *flexura duodeni inferior* gegen die im Anfangsteil nahezu horizontale *pars inferior* (*pars horizontalis*) ab, während der Endteil der *pars inferior* (*pars ascendens*) nach links oben ausbiegt und die Mittellinie nach links überschreitet.

Das *duodenum* zeigt im allgemeinen die typischen Charaktere des Dünndarms und zwar die des *jejunum*, jedoch besitzt der Anfangsteil der *pars superior duodeni* noch keine *valvulae circulares* (Kerckring'sche Falten); diese beginnen vielmehr erst kurz vor der *flexura duodeni superior*. Dagegen finden sich in diesem faltenlosen Anfangsteil des *duodenum* die in der *submucosa* gelegenen, etwa hirsekorngrossen Duodenaldrüsen (Brunner'sche Drüsen), *glandulae duodenales*, welche schon vor der *flexura superior* enden und nahe dem *pylorus* am dichtesten gedrängt liegen.

In der *pars descendens duodeni* liegen die Einmündungsstellen der Gänge der Bauchspeicheldrüse und des vereinigten Gallenganges. Der letztere, *ductus choledochus*, bildet, die Darmwand in schräger Richtung durchsetzend, vor seiner Ausmündung eine senkrecht gestellte Schleimhautfalte, *plica longitudinalis duodeni*, auf deren unterem Ende die gemeinsame oder durch eine Querfalte getrennte Ausmündung des *ductus choledochus* und *ductus pancreaticus* (major) liegen, welche in der Regel vor der Ausmündung eine kleine Erweiterung bilden, *diverticulum duodenale* (*papilla duodeni major*). Die *plica longitudinalis* kreuzt die *plicae circulares* in querrer Richtung, ist nur wenig erhaben und stellt die einzige Längsfalte des ganzen Dünndarms dar. Sie liegt am hintern, medialen Umfang des *duodenum*. Etwas höher (magengewärts) und weiter vorn (ventral) liegt auf einer kleinen, warzenförmigen Erhebung, *papilla duodeni* (minor) (Vateri), die oft nur sehr enge, gelegentlich völlig fehlende Einmündungsstelle des *ductus pancreaticus accessorius* (minor). Die *pars inferior duodeni* unterscheidet sich ausser durch ihre Lagerung etc. in nichts vom *jejunum*, in das sie als *pars ascendens* ohne scharfe Grenze in Gestalt der *flexura duodenojejunalis* übergeht. Hier ist die Duodenalwand durch glatte Muskulatur an die hintere Bauchwand angeheftet (*musc. suspensorius duodeni*).

Fig. 377. Magen und Hauptteil des *duodenum* von vorn her eröffnet. ( $\frac{3}{4}$ )

In den Mündungen des Gallenganges und der beiden Pankreasgänge stecken Sonden.

Fig. 378. Schichtung der Wand der *pars superior duodeni* von aussen gesehen. ( $\frac{1}{1}$ )

Die einzelnen Häute sind schichtweise bis auf die *submucosa* (mit den Duodenaldrüsen) abgetragen (rechts *Pylorusnähe*).

### Verdauungsapparat, Magen. (Forts.)

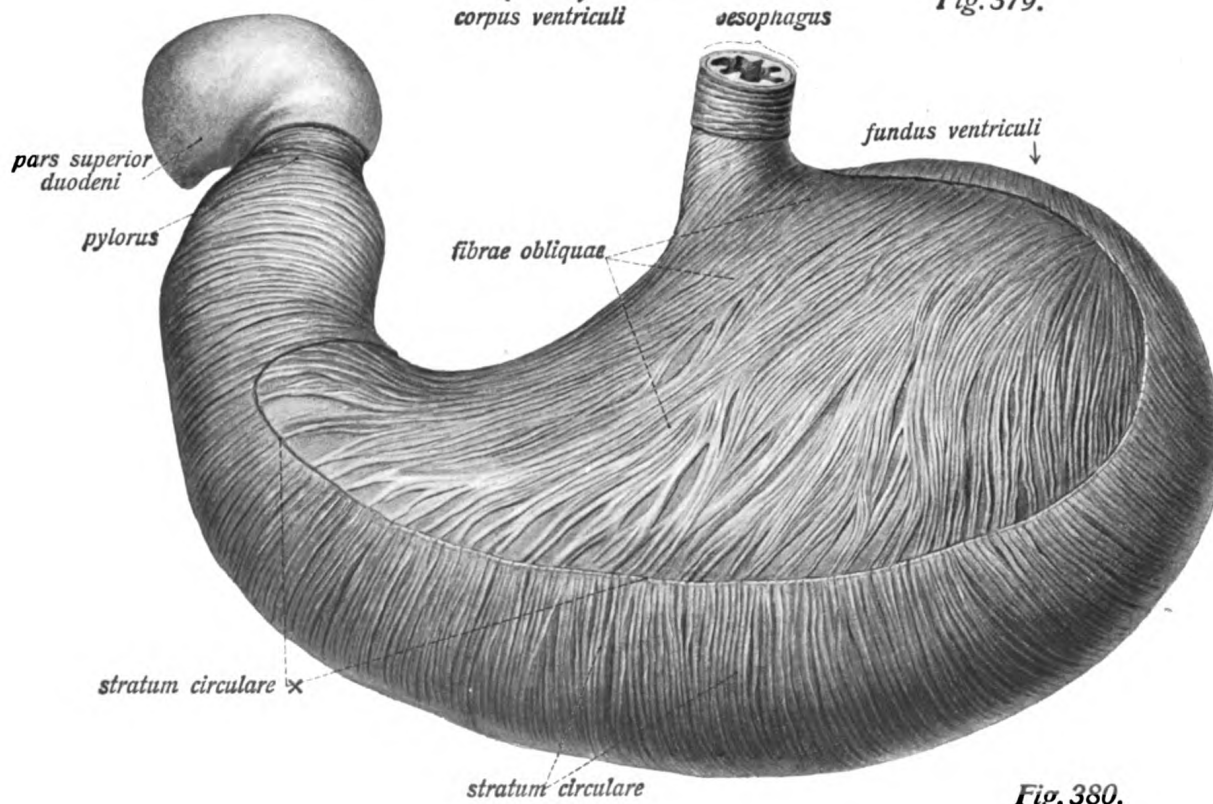
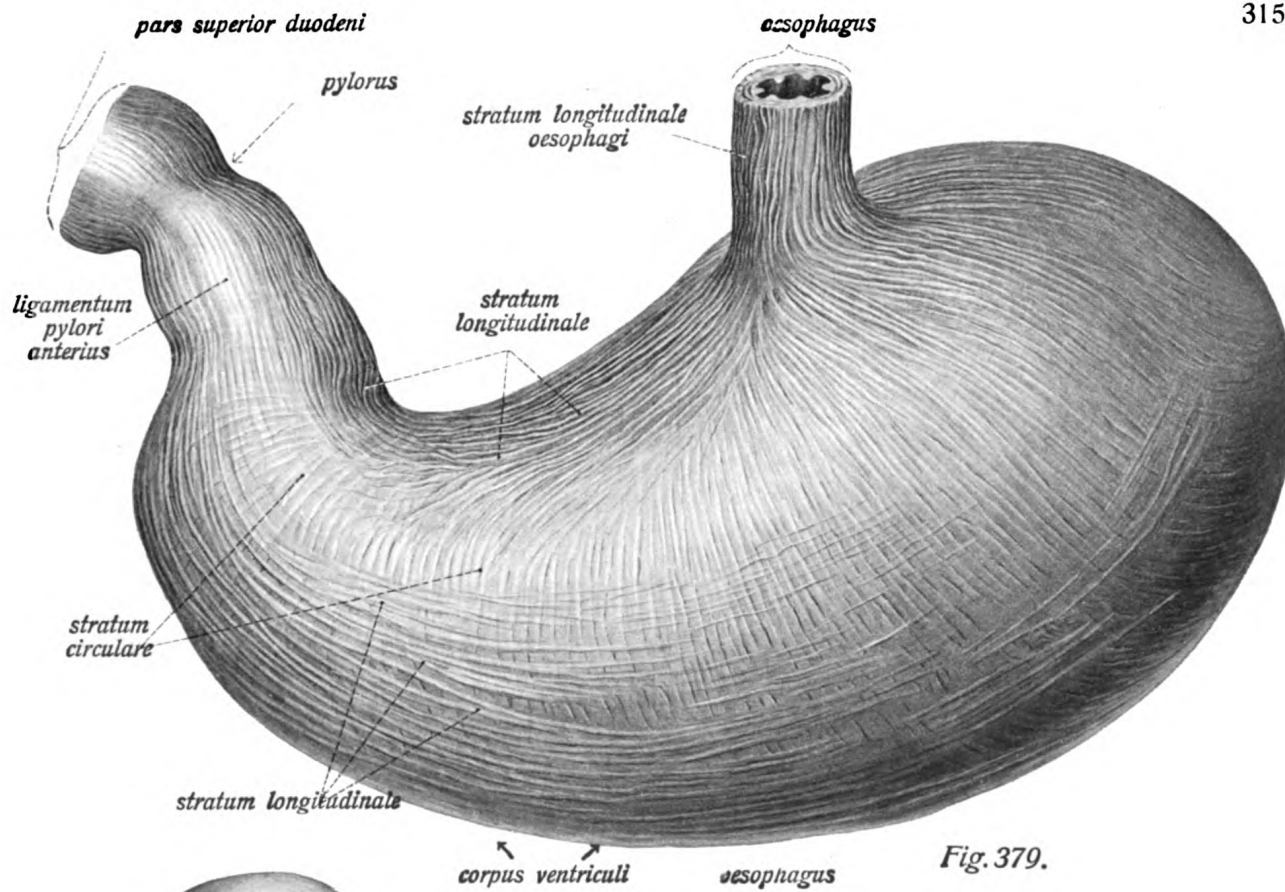
Fig. 379. Die oberflächliche Muskulatur des Magens nach Entfernung des Bauchfells von vorn und etwas von oben gesehen. ( $\frac{3}{4}$ )

Fig. 380. Die tieferen Schichten der Magenmuskulatur von vorn gesehen. ( $\frac{3}{4}$ )

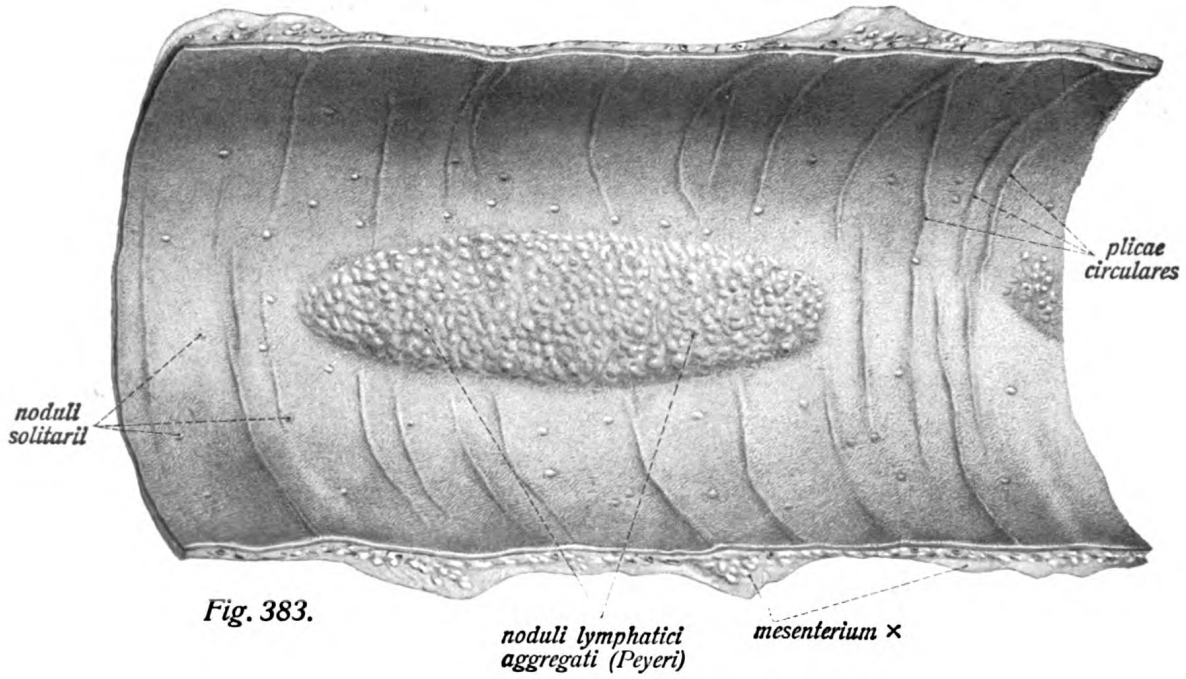
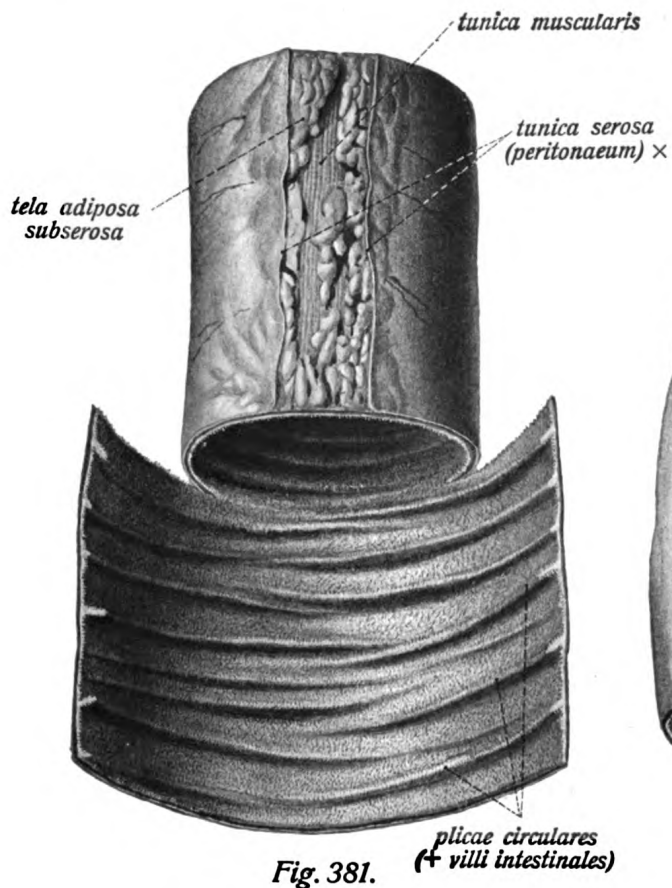
Die Längsmuskulatur ist ganz entfernt, die Ringmuskulatur im obern Abschnitt; am duodenum ist die Muskulatur nicht präpariert.

Die Muskulatur des Magens, *tunica muscularis*, besteht ausschliesslich aus glatten Fasern und lässt drei Schichten erkennen, welche aber nicht in allen Abschnitten des Magens gleichzeitig nachzuweisen sind. Ueber die ganze Länge des Magens erstreckt sich die mittlere Ringfaserschicht, *stratum circulare*, zugleich die stärkste Lage; am pylorus bildet sie den *musculus sphincter pylori*. Die äussere Längsmuskulatur, *stratum longitudinale*, ist hauptsächlich an der *curvatura minor* ausgebildet; daneben strahlen ihre Züge schräg gegen *fundus* und *corpus* aus, wo sie sich allmählich verlieren. Ein schwächerer Faserzug folgt der grossen Kurvatur. Sie ist die unmittelbare Fortsetzung der Längsmuskulatur des oesophagus. Nur am Pylorusteil bildet sie an der vordern und hintern Wand Verstärkungen, *ligamenta pylori* genannt. Die Fasern der innersten Schicht werden als *fibrae obliquae* bezeichnet. Sie finden sich nur in der Gegend des *fundus* und *corpus* gut ausgebildet und laufen von der linken Seite der *cardia* gegen die grosse Kurvatur in schräger Richtung, die Fasern des *stratum circulare* z. T. kreuzend. In der *pars pylorica* verdichtet sich die Längsmuskulatur zu einer fast kontinuierlichen Lage, die besonders an der Vorder- und Hinterwand des Organs sich verdickt und den Namen der *ligamenta pylori* (*anterius und posterius*) annimmt.

Was das makroskopische Verhalten der Magenschleimhaut, *tunica mucosa*, betrifft, so findet man im kontrahierten oder halbkontrahierten Zustand des Organs geschlängelte Längsfalten, deren Richtung der der Kurvaturen, namentlich der kleinen, folgt (Magenstrasse) und gegen den Pylorusteil hin deutlicher wird. Sie werden durch gröbere und feinere Systeme von Querspalten unterbrochen, wodurch kleine, 2–3 mm im Durchmesser messende Schleimhautbezirke, *areae gastricae*, entstehen. Alle diese Faltensysteme verschwinden mit der Ausdehnung des Magens mehr und mehr. Mit der Lupe erkennt man die Magengrübchen, *foveolae gastricae*. Am pylorus bildet die Schleimhaut um den *musculus sphincter pylori* (s. ob.) eine ringförmige Falte, die *valvula pylori*, Pförtnerklappe. Ihr entspricht aussen eine Furche (s. ob. p. 310).







### Verdauungsapparat, Dünndarm, *intestinum tenue*.

- Fig. 381. Ein Stück jejunum auf der Seite des Mesenterialansatzes zur Hälfte aufgeschnitten und auseinandergelegt. ( $\frac{1}{1}$ )  
 Fig. 382. Ein Stück ileum ebenso präpariert wie Fig. 381. ( $\frac{1}{1}$ )  
 Fig. 383. Ein Stück des untern Ileumschenkels der ganzen Länge nach am Mesenterialansatz aufgeschnitten (Peyer'sche Haufen). ( $\frac{1}{1}$ )

#### Der Dünndarm, *intestinum tenue*.

Der Dünndarm, *intestinum tenue*, ein ungefähr  $6\frac{1}{2}$  m langes, am Pförtner des Magens beginnendes, zylindrisches Rohr, das mit seinem Endabschnitt in den Dickdarm einmündet und allmählich, aber ständig an Kaliber (von fast 4 auf 2,5 cm) abnimmt, zerfällt in zwei Hauptteile, den Zwölffingerdarm oder *duodenum* (s. ob. p. 313) und den frei beweglichen Hauptabschnitt des Dünndarms, *intestinum mesenteriale*, so genannt, weil er im Gegensatz zu dem fest an der hintern Bauchwand befestigten duodenum ein frei bewegliches mesenterium besitzt. Am *intestinum mesenteriale* unterscheidet man wieder zwei ohne Grenze in einander übergehende Abschnitte, *intestinum jejunum* (Leerdarm) und *intestinum ileum* (Krummdarm). Die Wandstärke des Dünndarms ist durchschnittlich eine geringe. Mit Ausnahme weniger Stellen des duodenum ist das Dünndarmrohr ringsum von Bauchfell umkleidet, welches die *tunica serosa* des Dünndarms bildet und durch eine dünne, bis auf die Ansatzstelle des Gekröses vollkommen fettfreie *tunica subserosa* von der Darmmuskulatur getrennt wird. Ausser diesen beteiligt sich die *tunica muscularis* mit einer kontinuierlichen, äusseren Längs- und inneren Ringfaserschicht, die *tunica submucosa* und *tunica mucosa* an der Bildung der Dünndarmwand. Letztere besitzt (wie im Bereiche des ganzen Verdauungstraktes) eine *lamina muscularis mucosae*.

Die Schleimhaut des Dünndarms zeigt (ausser schlauchförmigen Drüsen oder Krypten [Lieberkühn], *glandulae intestinales*) Darmzotten, *villi intestinales*, die nur im Dünndarm, aber in seiner ganzen Länge sich finden und der inneren Oberfläche ein eigentümlich sammetartiges Aussehen geben. Die Dünndarmschleimhaut bildet ferner Querfalten, *plicae circulares*. Diese beginnen etwa an der flexura duodeni superior und reichen bis zum unteren Ende des Dünndarms, werden jedoch nach dem ileum zu immer spärlicher und niedriger und sind in dessen unterem Abschnitte nur noch ganz vereinzelt zu finden. Die Falten sind allein auf der Innenfläche des Darmes sichtbar. Nur selten gehen sie kreisförmig um den ganzen Darmumfang herum, meist sind sie (namentlich im ileum) nur sichelförmig. Sehr reich ist die Dünndarmschleimhaut an lymphatischen Bildungen, besonders die des ileum, und zwar finden sich sowohl einzelne Lymphfollikel in Gestalt der *noduli lymphatici solitarii* als auch gehäufte Gruppen solcher, die Peyer'schen Haufen, *noduli lymphatici aggregati* (letztere nur im ileum und nur an dem Umfang des Darmrohres, der dem Mesenterialansatz gegenüberliegt). Oft sind sie von erheblicher Grösse (bis 10 cm Länge und mehr); ihre Längsachse fällt stets mit der des Darmrohres zusammen.

### Verdauungsapparat, Dickdarm.

- Fig. 384. Blinddarm mit dem untern Stück des ileum und dem Wurmfortsatz in der Ansicht von hinten. ( $\frac{1}{1}$ )
- Fig. 385. Colon transversum quer durchschnitten; Blick auf die Schnittfläche. ( $\frac{1}{1}$ )
- Fig. 386. Ein Stück des colon transversum von vorn und von unten gesehen. Das rechte Ende ist aufgeschnitten und auseinandergeklappt. Die Stellen der Taenien sind eingeklammert bezeichnet. ( $\frac{1}{1}$ )

#### Der Dickdarm, *intestinum crassum*.

Der Dickdarm, *intestinum crassum*, ein ungefähr zylindrisches, 120—150 cm langes Rohr von sehr wechselnder Weite, zerfällt in zwei Hauptabschnitte, Blinddarm, *intestinum caecum*, (mit Wurmfortsatz, *processus vermiformis*) und Grimmdarm, *colon*, und bildet eine nach unten offene, den Dünndarm umgebende, grosse Hufeisenschlinge. Die allgemeinen Charaktere des Dickdarms sind folgende: Der Dickdarm ist der weiteste Abschnitt des Darms (im engeren Sinne). Sein Kaliber ist im Blinddarm am grössten und nimmt gegen die Mastdarmgrenze hin ab (von 6—8 auf 4—5 cm). Seine Wand ist in der Betrachtung von aussen nicht glatt im Gegensatz zum Dünndarm, sondern zeigt durch Einschnürungen bedingte Ausbuchtungen, *haustra coli*. Diese werden erzeugt durch die Konstruktion dreier Längsmuskelstreifen, *taeniae coli*, welche sich im Bereiche der ganzen Länge des Dickdarms finden. Sie beginnen am Blinddarm und zwar an der Wurzel des Wurmfortsatzes und laufen als glatte, glänzende, von den haustra nicht vorgewölbte, etwa 8 mm breite Bänder in ungefähr gleichen Zwischenräumen über die Wand des Dickdarms. Ihrer Lagerung zum mesenterium nach bezeichnet man die dem Mesenterialansatz entsprechende als *taenia mesocolica*, die diesem gegenüberliegende als *taenia libera* und die dritte, zwischen beiden gelegene, als *taenia omentalis*, weil sie der Anwachsstelle des omentum majus am colon transversum entspricht. Die taenia libera liegt am colon transversum mehr nach unten als nach vorn (wie im übrigen Dickdarm), die taenia omentalis am colon ascendens und descendens an der lateralen Seite. Nach Entfernung oder bei völliger Erschlaffung der taeniae verschwinden die haustra. Die äussere Fläche des Dickdarms ist ferner ausgezeichnet durch subseröse Fettansammlungen, welche in Gestalt gestielter, unregelmässig geformter, lappenförmiger Anhänge, *appendices epiploicae*, erscheinen. Am reichlichsten sind sie am colon sigmoideum; sie erscheinen oft in zwei Reihen, namentlich im absteigenden Dickdarmschenkel.

Im Innern des Dickdarms entsprechen den Einschnitten zwischen den haustra halbmondförmige Querfalten, *plicae semilunares* (sigmoideae); sie haben im allgemeinen die Länge des Zwischenraums zwischen zwei Taenien, können aber auch länger sein; im übrigen erscheint die Schleimhaut des Dickdarms, *tunica mucosa*, glatt, weil sie keine Zotten trägt wie der Dünndarm.

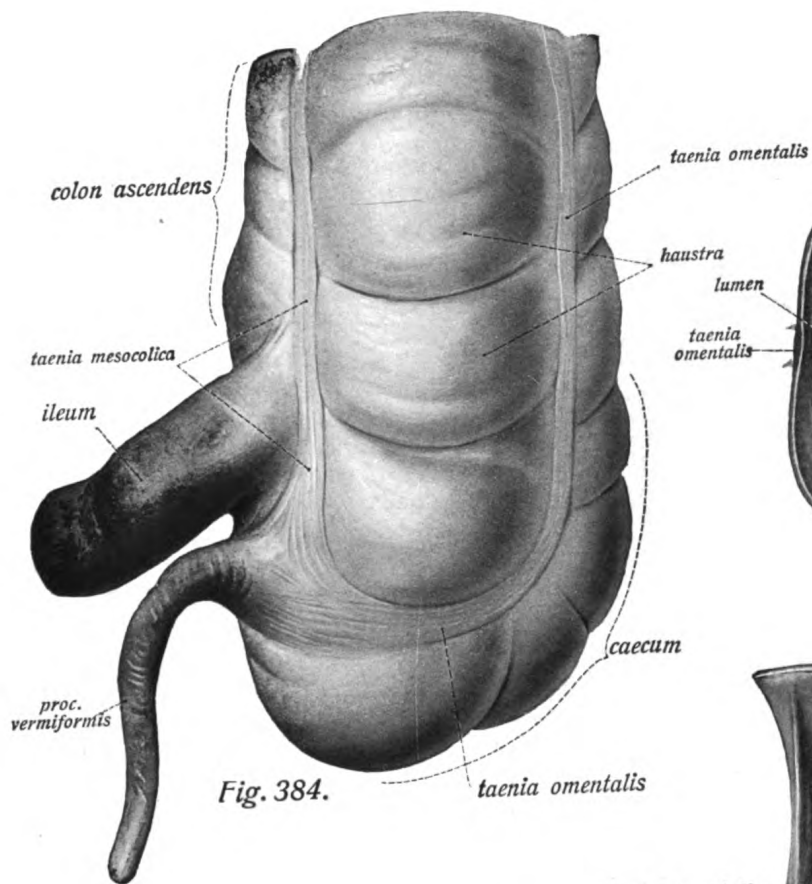


Fig. 384.

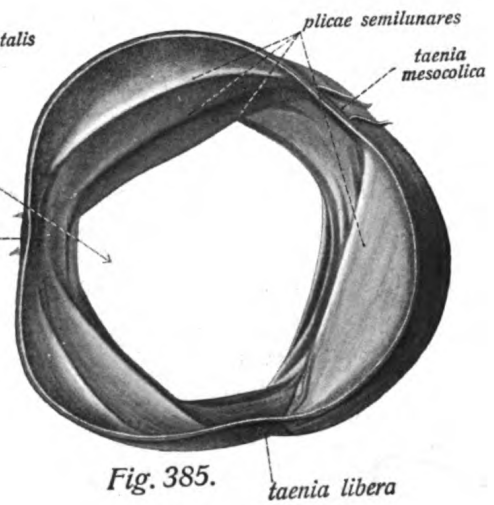


Fig. 385.

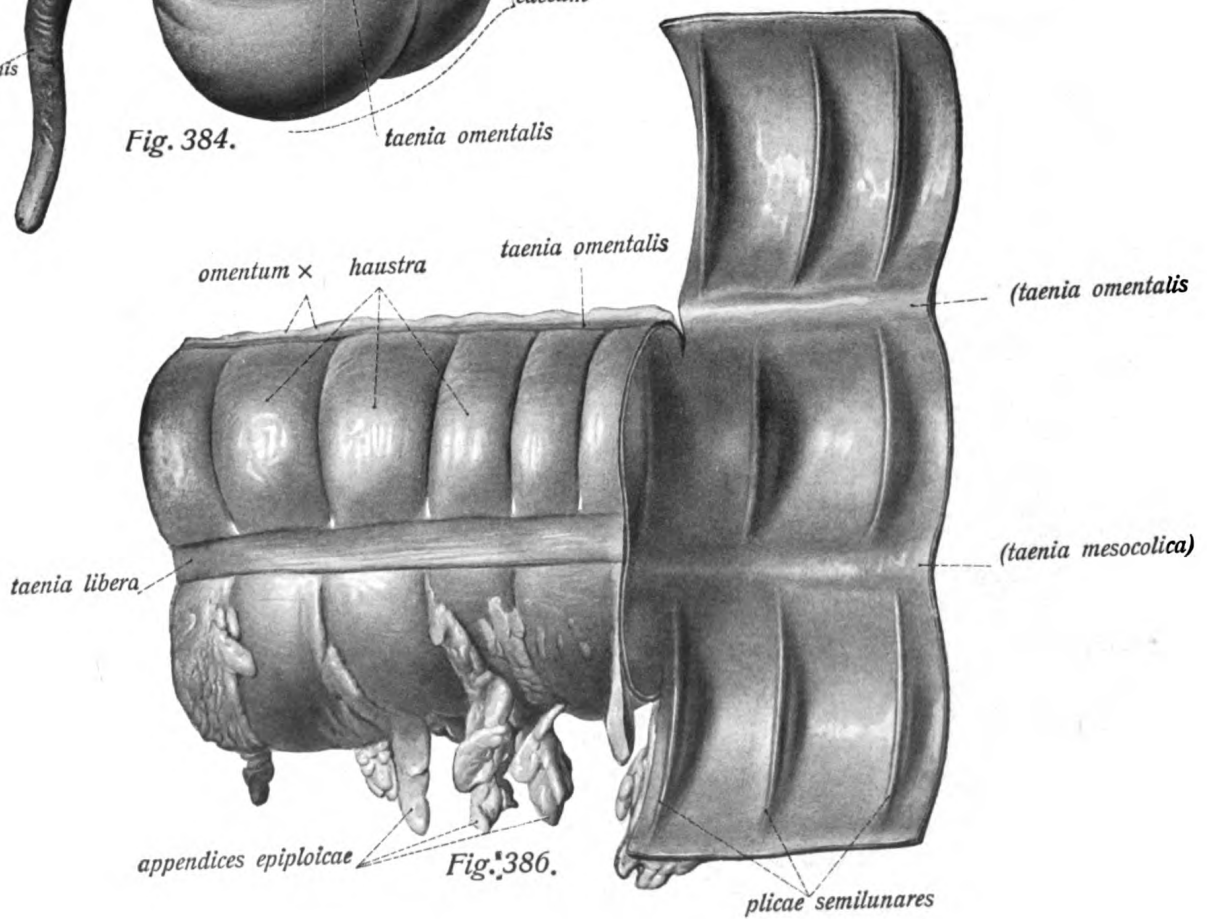


Fig. 386.



Fig. 387.

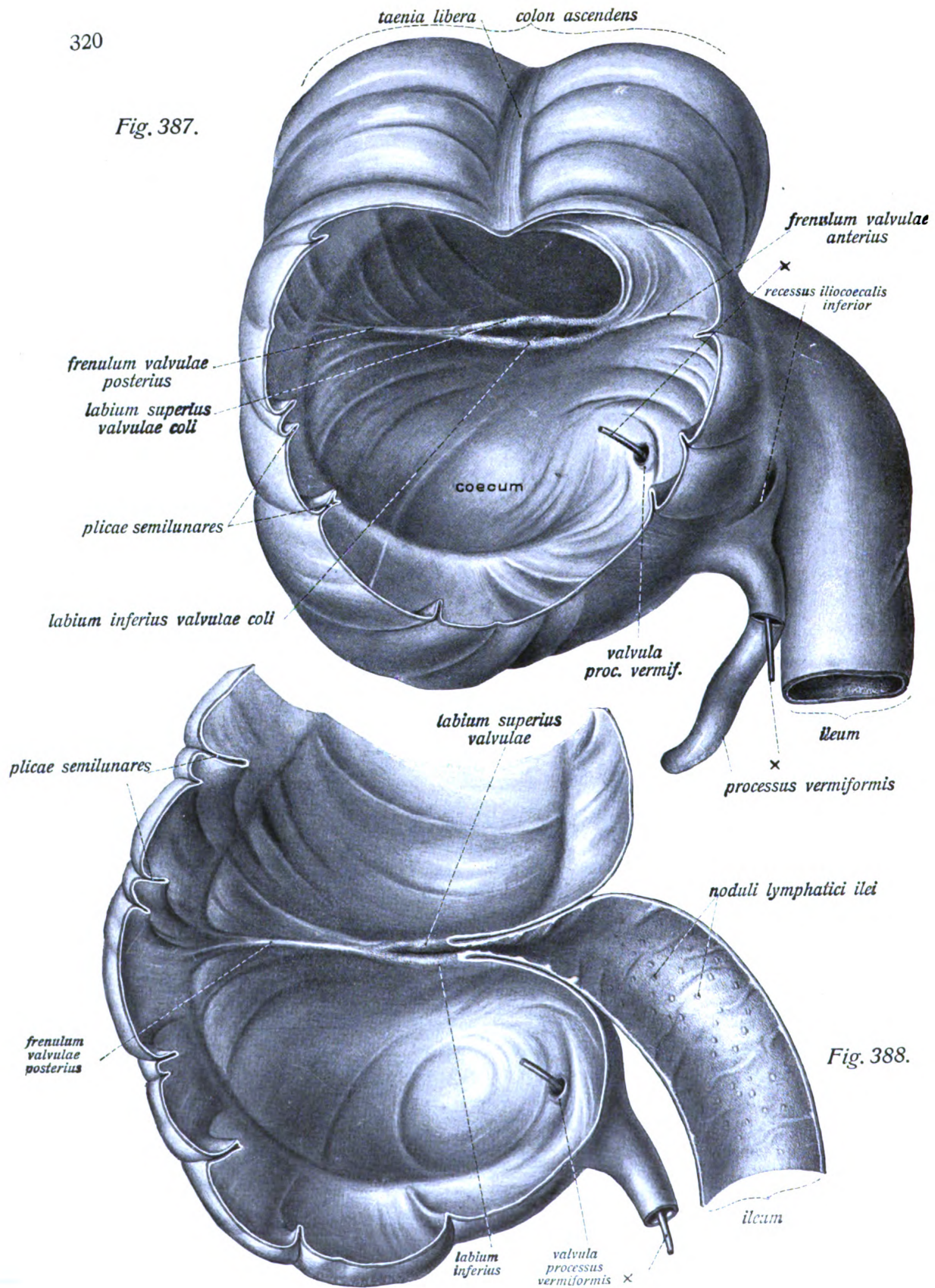


Fig. 388.

### Verdauungsapparat, Blinddarm. (Forts.)

Fig. 387. Blinddarm mit unterem Teil des ileum und Wurmfortsatz in ausgedehntem Zustand von der lateralen Seite her eröffnet. ( $\frac{1}{1}$ )

Der Wurmfortsatz ist in der Mitte aufgeschnitten und durch ihn hindurch eine Sonde (X) in den Blinddarm geführt.

Fig. 388. Blinddarm und unterer Teil des ileum durch Frontalschnitt halbiert. ( $\frac{1}{1}$ )

Der Wurmfortsatz ist nahe seiner Wurzel quer abgeschnitten; in ihm eine Sonde (X).

Der Blinddarm, *caecum*, ist derjenige Abschnitt des Dickdarms, welcher unterhalb der Einmündung des ileum gelegen ist. Er ist etwa 7 cm lang, kugelig und der weiteste Teil des ganzen Dickdarms. An seiner medialen Wand zeigt er eine Klappe vor der Einmündungsstelle des Dünndarms, die *valvula coli* (Bauhini, Tulpii), von zwei Schleimhautfalten, *labium superius* und *inferius valvulae coli*, gebildet. Diese Klappenlippen ragen in das caecum hinein.

Von ihnen gehen an der Innenfläche der vordern wie der hintern Wand halbmondförmige Falten aus, welche quergestellt sind wie die *plicae semilunares*, diesen ähneln, nur länger sind. Sie werden als *frenula valvulae coli* (*anterius* und *posterius*) bezeichnet.

Der Wurmfortsatz, *processus vermiformis*, ist ein rudimentärer, sehr verschieden entwickelter, enger und dünner, blinder Anhang des Dickdarms. Seine Länge beträgt im Mittel etwa 7–9 cm; oft ist er kürzer, oft noch wesentlich länger. Er geht beim kindlichen caecum von dessen leicht konischer Spitze, beim Erwachsenen und namentlich im gefülltem Zustand dagegen von der medialen und hinteren Wand aus. Er ist meist gekrümmt oder leicht aufgerollt. An seiner Mündungsstelle liegt eine sehr variabel ausgebildete, nach unten und rechts gerichtete, klappenartige Falte von Sichelform, *valvula processus vermiformis*.

Der Grimmdarm, *colon*, der längste Teil des Dickdarms, zerfällt in vier Abschnitte: den rechts gelegenen, unmittelbar aus dem Blinddarm hervorgehenden, kurzen, aufsteigenden Teil, *colon ascendens*, das quer verlaufende beziehungsweise leicht von rechts nach links ansteigende *colon transversum*, den links gelegenen, absteigenden Teil, *colon descendens*, und den Uebergangsteil ins rectum, *colon sigmoideum*\*). Letzteres, ebenfalls links gelegen, erscheint im Gegensatz zu den übrigen Teilen des Dickdarms dem Dünndarm ähnlich in mehreren (zwei) Schlingen angeordnet. Seine Länge wechselt stark (20–45 cm). An der Grenze des colon ascendens und des transversum findet sich eine nahezu rechtwinklige Knickung des Dickdarms, *flexura coli dextra* (hepatica), an der Grenze zwischen colon transversum und descendens die spitzwinklige, höher gelegene *flexura coli sinistra* (linealis). Der linke Colonschenkel ist wesentlich länger als der rechte.

\*) Infolge seines mesenterium ist das colon sigmoideum beweglich. Es liegt daher oft sogar in der Nähe des caecum, sehr oft im kleinen Becken.

## Verdauungsapparat, Mastdarm.

### Der Mastdarm, *rectum*.

Der Mastdarm, *rectum*, reicht vom colon sigmoideum bis zum After. Er geht dicht unterhalb des promontorium aus dessen Endabschnitt hervor. Seine Länge beträgt kaum 20 cm. Der Mastdarm stellt einen im grossen und ganzen zylindrischen Kanal dar, dessen Aussenfläche im Gegensatz zum colon glatt erscheint und äusserlich mehr dem Dünndarm als dem Dickdarm ähnelt. Es rührt das davon her, dass die taeniae coli an der Uebergangsstelle in das rectum sich ausbreiten und wieder eine kontinuierliche, und zwar ziemlich starke Längsmuskellage bilden. Der obere, im kleinen Becken gelegene Hauptteil des rectum ist nach vorn konkav gebogen (*pars pelvina, flexura sacralis*) und liegt der Vorderfläche des Kreuzbeins auf; der untere, kürzere Teil legt sich nach vorn konvex um die Steissbeinspitze herum (*pars s. flexura perinealis*) und durchbohrt die Muskulatur des Beckenbodens.

Die Innenfläche des rectum entbehrt im Gegensatz zu der des übrigen Dickdarms im allgemeinen der Falten, es kommen jedoch einzelne Querfalten der Schleimhaut, *plicae transversales recti*, vor. Ihre Zahl wechselt; eine ziemlich konstante und relativ hohe liegt 8—10 cm oberhalb des After. Im Bereiche dieser verdickt sich die Ringmuskulatur des Mastdarms zum sogenannten musculus sphincter ani tertius. Unterhalb dieser Falte liegt ein erweiterter Teil des Mastdarms, die *ampulla rectalis*. Im untersten Teil des rectum, der *pars analis*, treten 6—8 Längsfalten auf, *columnae rectales* (Morgagni) genannt. Sie beginnen niedrig etwa 2—3 cm oberhalb des anus und enden ziemlich plötzlich in dem *anulus haemorrhoidalis*, einem Ringwulst unmittelbar oberhalb der Analöffnung, der dem m. sphincter ani externus entspricht. Zwischen je zwei columnae rectales findet sich eine entsprechende Vertiefung, *sinus rectalis* (Morgagni) genannt. Columnae wie sinus laufen nach oben zu (gegen den untern Abschnitt der Ampulle hin) allmählich aus. Die Mündungen der *glandulae intestinales* der Mastdarmschleimhaut sind als feine Punkte deutlich mit der Lupe erkennbar.

Die eigentliche (glatte) Muskulatur des rectum ist eine sehr starke; ausserdem gesellen sich an der Afteröffnung noch quergestreifte Muskeln hinzu (s. u. pag. 418). Die Längsmuskulatur endet bereits am oberen Ende des inneren Sphincter (s. u.). Die Ringmuskulatur verdickt sich am unteren Ende des Mastdarmes dicht über dem After in einer Höhe von etwa 3 cm. Man nennt diese Verstärkung der (glatte) Ringmuskelschicht *m. sphincter ani internus* im Gegensatz zum quergestreiften *m. sphincter ani externus*. Die Mastdarmwand besitzt nur im Bereiche der flexura sacralis und auch hier nur am vorderen Teil und an Teilen des seitlichen Umfanges einen Bauchfellüberzug.

Fig. 389. Schleimhaut des Mastdarms. ( $\frac{1}{1}$ ) \* = Mündungen der Drüsen.  
 Fig. 390. Mastdarm in der Ansicht von vorn. ( $\frac{1}{1}$ )  
 Fig. 391. Mastdarm der Länge nach aufgeschnitten. ( $\frac{1}{1}$ )

(taenia libera)  
colon sigmoideum

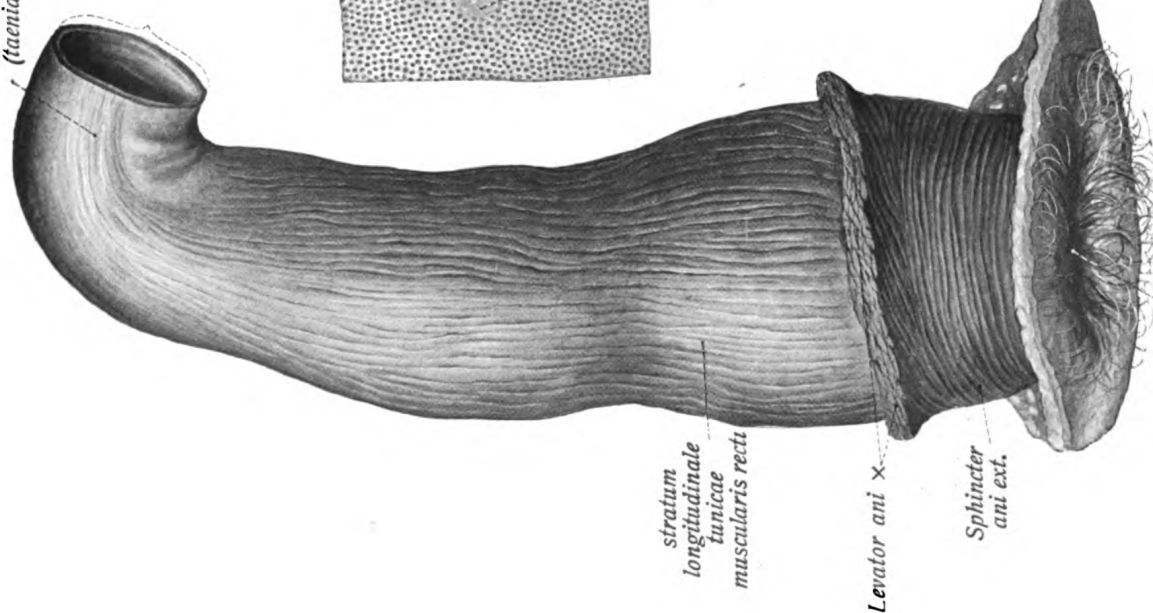


Fig. 390.

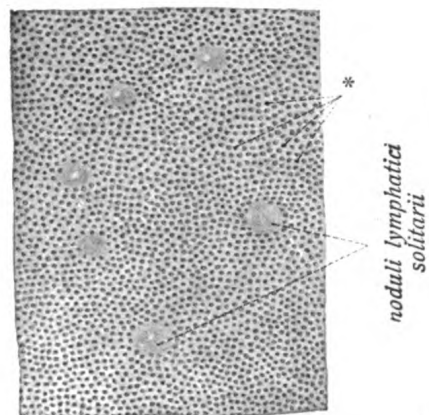


Fig. 389.

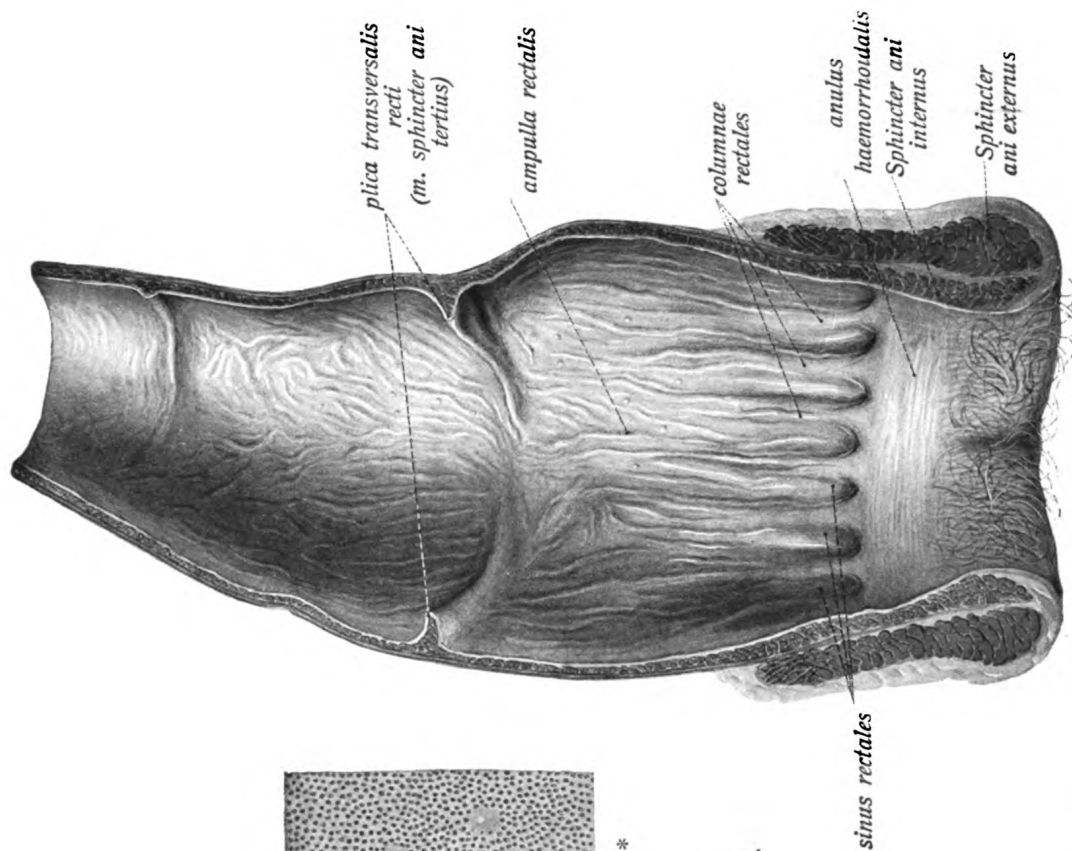
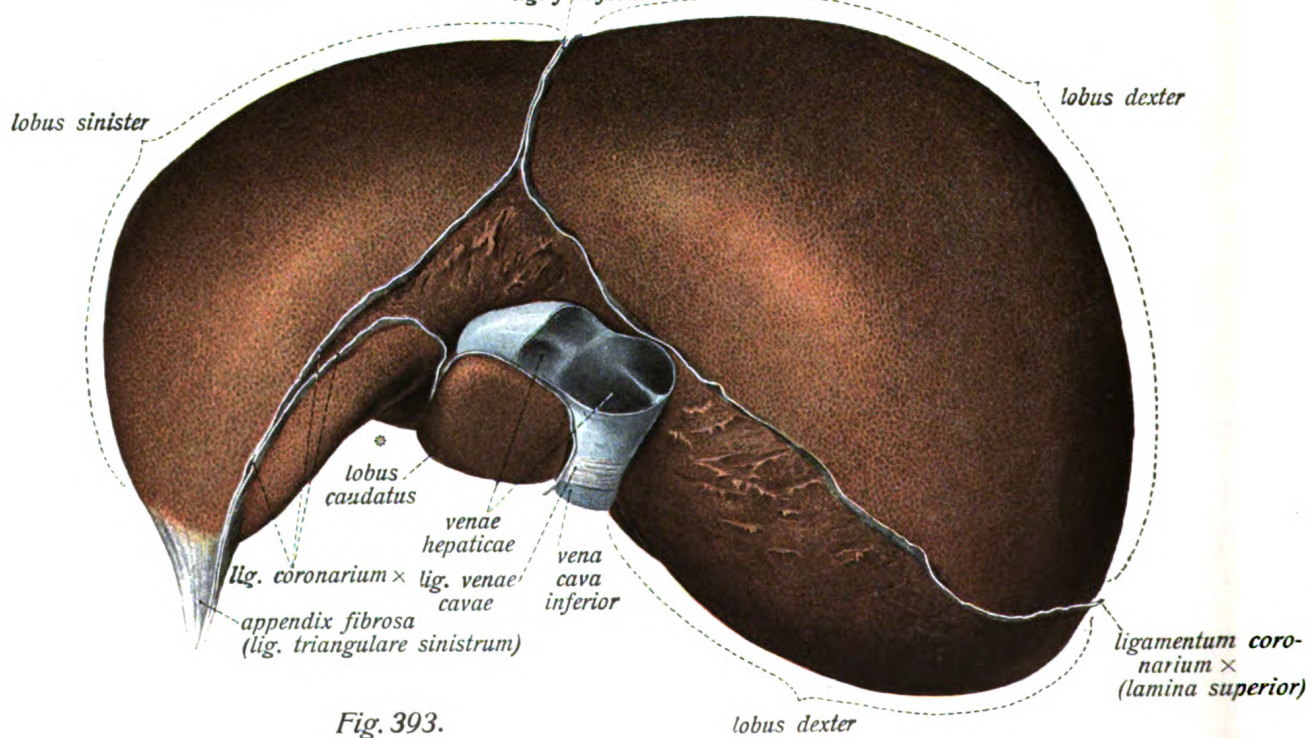
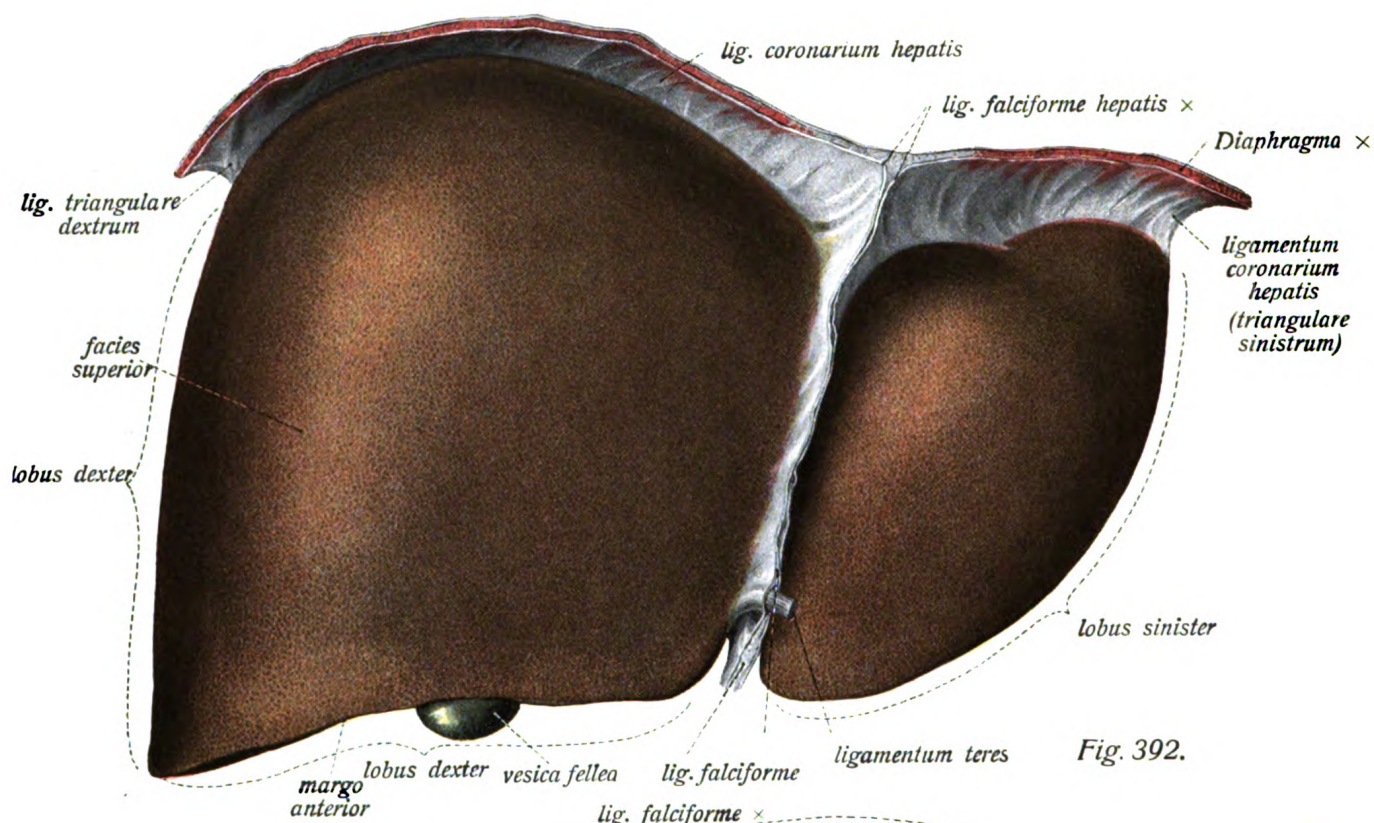


Fig. 391.





### Verdauungsapparat, Leber, *hepar*.

Fig. 392. Leber mit einem Teil des Zwerchfells in der Ansicht von vorne. ( $\frac{1}{2}$ )

Fig. 393. Leber in der Ansicht von oben und hinten (*facies posterior*). ( $\frac{1}{2}$ )

Das Zwerchfell ist im Bereiche des *ligam. coronarium* abgeschnitten. Der bauchfellfreie Bezirk der Leber ist durch die Rauigkeit der Oberfläche erkennbar. \* = *incisura oesophagea*.

#### Die Leber, *hepar*.

Die Leber ist ein ca. 3 Pfund schweres Organ brüchiger Konsistenz von braunroter Farbe und der Form eines halbierten Kugelsegments. Sie zerfällt in zwei Hauptlappen, den viel grösseren, rechten, *lobus hepatis dexter*, und den kleineren, linken, *lobus hepatis sinister*. Man unterscheidet an der Leber eine stark konvexe *facies superior*, eine ebenfalls konvexe *facies posterior*. Dagegen ist die *facies inferior hepatis* grösstenteils konkav. *Facies superior* und *inferior* setzen sich in einem scharfen Rande, *margo anterior*, gegeneinander ab, während die kleine hintere sowohl in die mächtige obere wie die untere Fläche ohne scharfe Grenze übergeht. Auf der unteren Fläche der Leber liegt die Leberpforte, *porta hepatis*, die Eintrittsstelle der Gefässe und Austrittsstelle des Ausführungsganges. Sie erscheint nahezu in der Mitte der ganzen *facies inferior* gelegen, in Gestalt einer quergestellten, tiefen und breiten Furche. In die Leberpforte treten die *arteria hepatica propria* und die viel stärkere *vena portae*, jede in der Regel bereits in ihre beiden Hauptäste *ramus dexter* und *sinister* gespalten, ferner die Nerven der Leber in der Begleitung der Arterie; aus ihr heraus — meist in zwei Hauptästen — der *ductus hepaticus*, der sich dicht vor (unter) der Leberpforte mit dem *ductus cysticus* zum *ductus choledochus* vereinigt; ferner eine Anzahl Lymphgefässe, welche zu den in der *porta hepatis* selbst gelegenen (5—6) *lymphoglandulae hepaticae* gehen.

Ausser der (queren) Leberpforte zeigt die *facies inferior hepatis* zwei ungefähr parallele, sagittale Längsfurchen, die mit der *porta hepatis* eine H-förmige Figur bilden, die *fossae sagittales dextra* und *sinistra*. Erstere ist breit und flach, in der Mitte geteilt und zerfällt durch den *processus caudatus* des *lobus caudatus* (s. u.) in die vordere *fossa vesicae felleae* und die hintere *fossa venae cavae*. Auch in der schmalen linken Sagittalfurche werden zwei, am linken Rande der *porta hepatis* unmittelbar ineinander übergehende Abteilungen als *fossa venae umbilicalis* (vorn) und *fossa ductus venosi* (hinten) unterschieden.

Der links von der *fossa sagittalis sinistra* gelegene linke Lappen, *lobus sinister*, nimmt etwa nur  $\frac{1}{4}$  der Gesamtmasse der Leber ein und zeigt (auf seiner *facies inferior*) eine vom Magen herrührende Konkavität, *impressio gastrica*, sowie einen Einschnitt, vom Oesophagus herrührend, die *incisura oesophagea*. Nur nach vorn und unten zu besitzt die Unterfläche des linken Leberlappens eine Konvexität, welche dem Ausschnitt der kleinen Krümmung des Magens entspricht, das *tuber omentale*. Seine Spitze endet in der sogen. *appendix fibrosa*.

### Verdauungsapparat, Leber. (Forts.)

Fig. 395. Leber in der Ansicht von unten (facies inferior hepatis). ( $\frac{1}{2}$ )

Fig. 396. Leberpforte mit den Gefäßen und Lymphdrüsen. ( $\frac{1}{1}$ )

Die vena cava inferior ist der Länge nach aufgeschnitten.

Die fossae sagittales bilden mit der porta hepatis auf der Unterfläche der Leber die als *lobus quadratus* und *lobus caudatus* (Spiegelii) bezeichneten Bezirke, von denen ersterer vor der porta hepatis gegen den margo anterior hin liegt, letzterer hinter der porta hepatis. Der lobus caudatus ist durch tiefe Furchen allseitig begrenzt, nur mittels eines schmalen, die beiden Hälften der fossa sagittalis dextra trennenden Fortsatzes, des *processus caudatus*, geht er in den rechten Lappen über. Diesem gegenüber liegt (nach rechts) der abgerundete *processus papillaris*. Er wird vom Bauchfell der bursa omentalis überzogen und liegt im vestibulum bursae omentalis.

Die Unterfläche des rechten Leberlappens im engeren Sinne zeigt eine Reihe Eindrücke von den benachbarten Organen; der grösste von ihnen ist die von der rechten Niere herrührende *impressio renalis* (durch den *processus caudatus* mit dem lobus caudatus verbunden); vor ihr liegt die *impressio duodenalis*, rechts neben ihr, durch eine flache Kante getrennt, die *impressio colica* (von der flexura coli dextra herrührend), die *impressio suprarenalis* dicht neben der fossa venae cavae. Der lobus quadratus zeigt eine *impressio pylorica*.

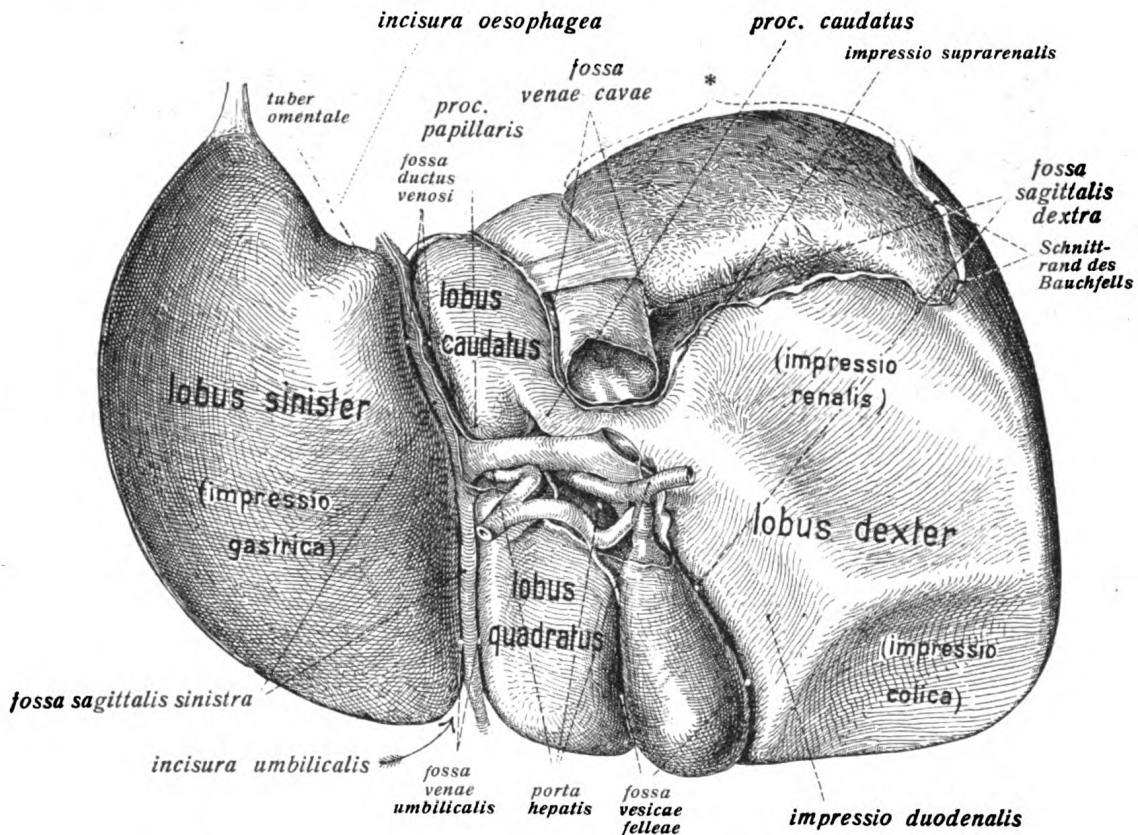
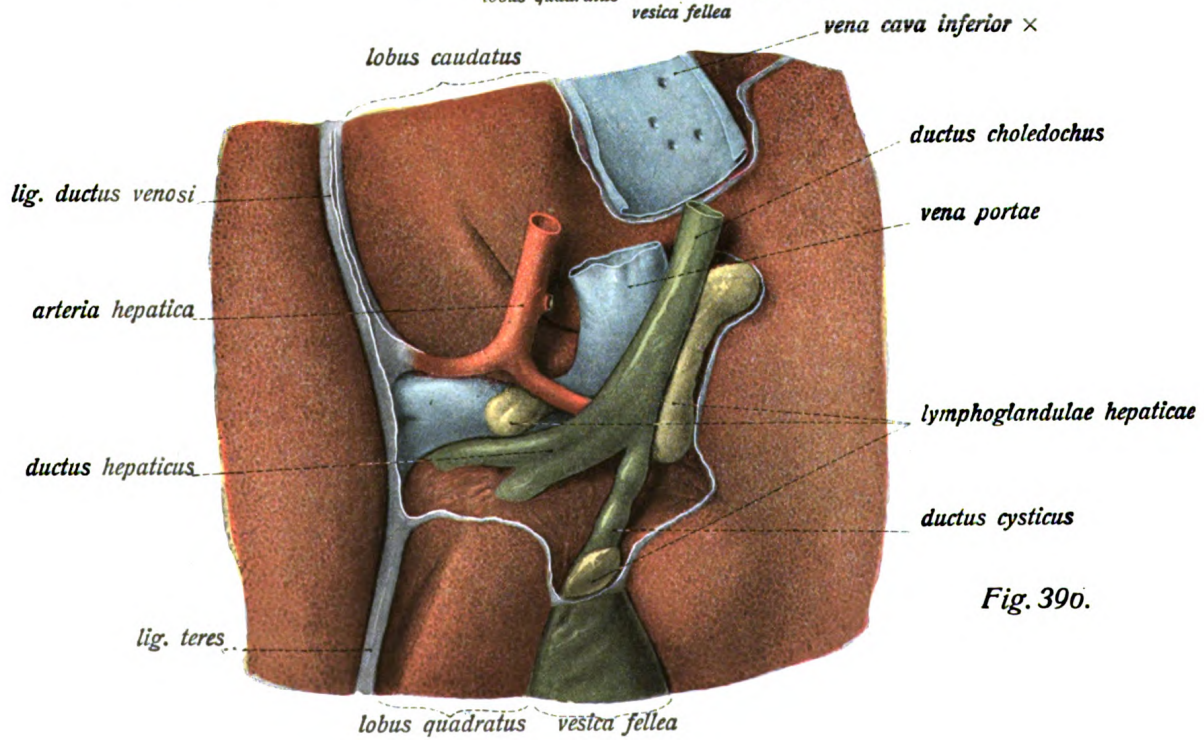
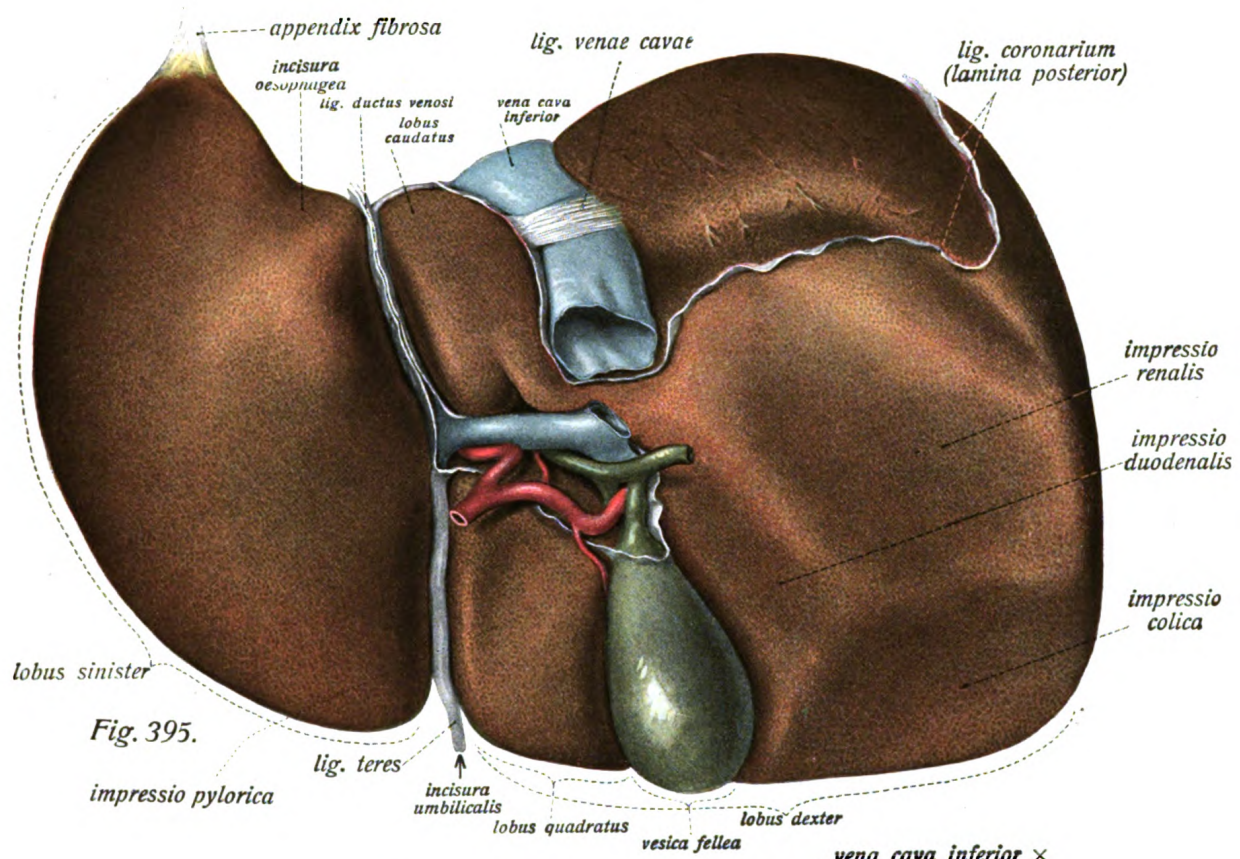


Fig. 394. Leber in der Ansicht von unten. \* = Bauchfellfreie Fläche.







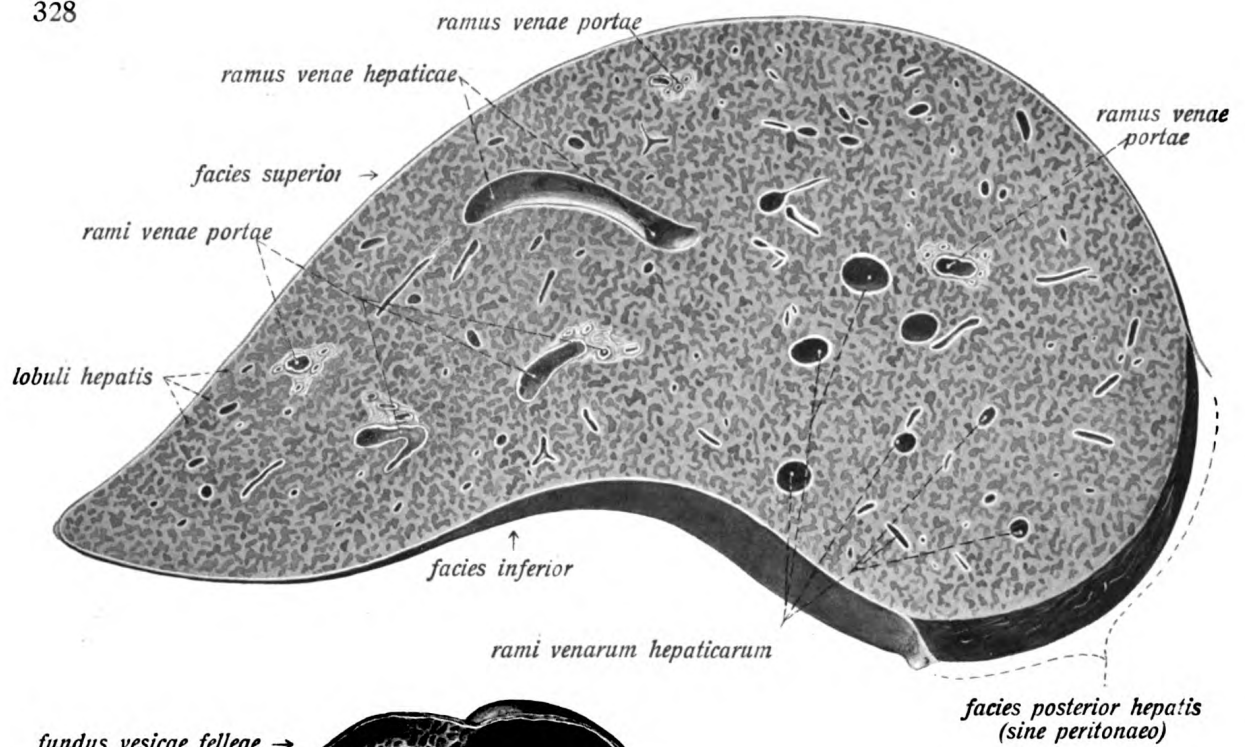


Fig. 397.

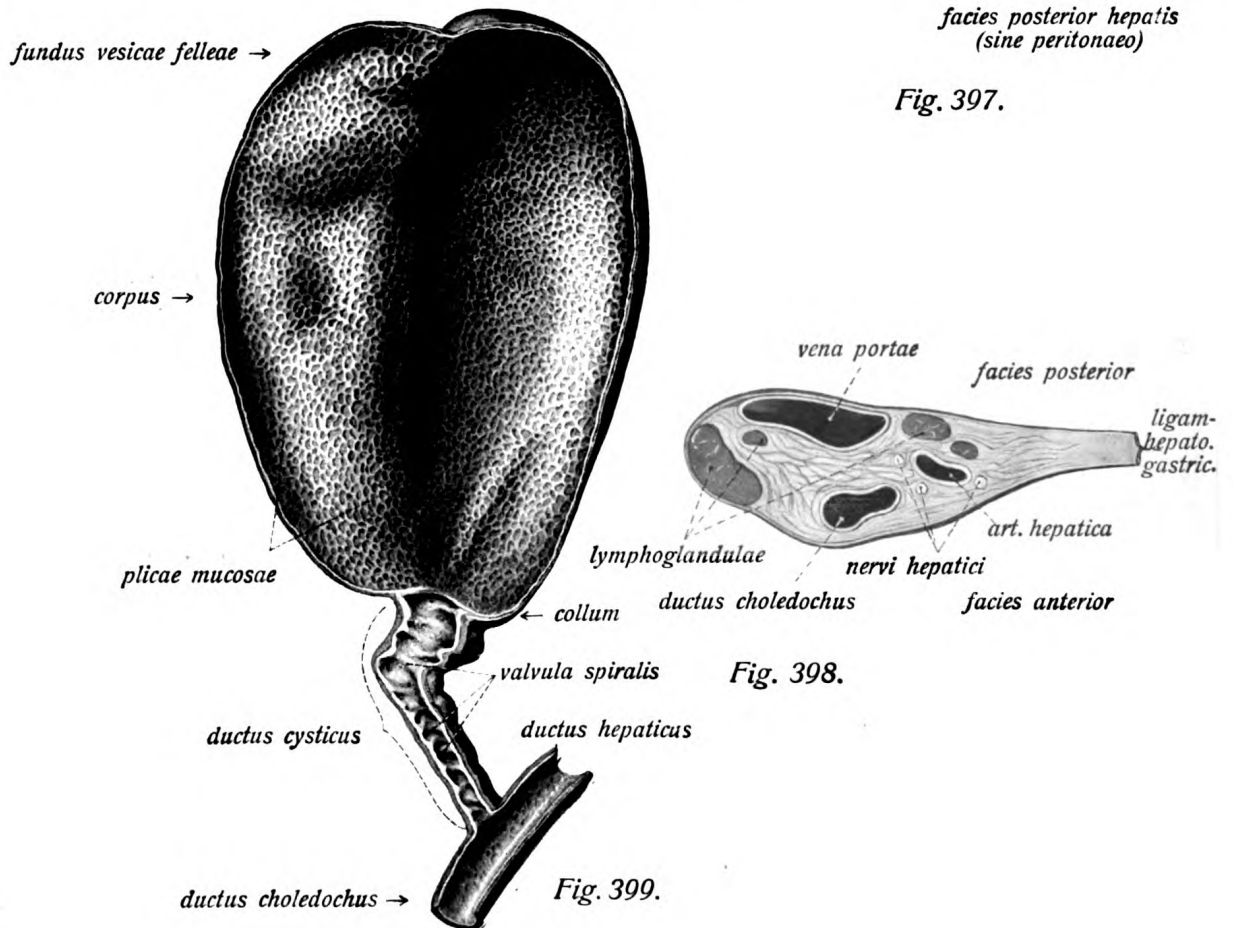


Fig. 398.

Fig. 399.

### Verdauungsapparat, Leber, Gallenblase.

Fig. 397. Sagittaler Querschnitt des rechten Leberlappens. ( $\frac{1}{1}$ )

Fig. 398. Frontaler Querschnitt des ligamentum hepatoduodenale. ( $\frac{1}{1}$ )

Fig. 399. Gallenblase, ductus cysticus und die angrenzenden Teile der beiden übrigen Gallengänge der Länge nach aufgeschnitten. ( $\frac{1}{1}$ )

Auf der *facies superior hepatis* deutet das von der Oberfläche der Leber ausgehende, das ligamentum teres umhüllende *ligamentum falciforme hepatis* die Grenze zwischen rechtem und linkem Leberlappen an; am vordern Rande die *incisura umbilicalis*. Die *facies posterior hepatis* zeigt im Bereiche des rechten Lappens eine ziemlich breite, bauchfellfreie Fläche, welche gegen den linken Lappen hin in eine schmale Zone ausläuft. Der übrige Teil der Leber bis auf die porta hepatis wird vom Bauchfell vollständig überzogen. Sonst ist die mächtige, obere Fläche der Leber, die sich der Zwerchfellwölbung anpasst, gleichmässig konvex.

Auf Durchschnitten der Leber beobachtet man ausser der Zeichnung der Leberläppchen (wegen mangelhafter bindegewebiger Abgrenzung erscheint diese beim Menschen verschwommen) die Durchschnitte der Gefässe. Solche von Lebervenenästen liegen isoliert und sind mit der Lebersubstanz verwachsen; sie klaffen daher auf deren Schnittfläche, während die Durchschnitte von Pfortaderästen von Bindegewebe umgeben liegen, nicht klaffen und von Durchschnitten der benachbarten Gallengänge und Arterienäste begleitet sind. Es entstehen auf diese Weise deutlich von der Lebersubstanz trennbare Gefässbündel mit bindegewebiger Scheide (Glisson'sche Kapsel).

Im *ligamentum hepatoduodenale* liegt am weitesten nach vorn und rechts der ductus choledochus, vorn links die arteria hepatica propria mit den Nerven der Leber, hinter beiden die Pfortader. Ausser fettreichem Bindegewebe umschliessen die beiden Peritonealblätter des kleinen Netzes hier *lymphoglandulae hepaticae*.

#### Gallenblase, vesica fellea.

An der Gallenblase, *vesica fellea*, unterscheidet man den *fundus vesicae felleae* und das zugespitzte, allmählich in den ductus cysticus übergehende *collum vesicae felleae*. Zwischen beiden liegt das *corpus vesicae felleae*.

Die Schleimhaut der Gallenblase, *tunica mucosa vesicae felleae*, zeigt auch in gedehntem Zustand des Organs schmale, netzförmige, hohe Schleimhautfältchen, *plicae tunicae mucosae vesicae felleae*.

Ihr Ausführungsgang, *ductus cysticus*, stellt einen kurzen, unregelmässig zylindrischen Gang dar, der sich in der Gegend der Leberpforte mit dem ductus hepaticus zum ductus choledochus vereinigt. Seine Schleimhaut enthält eigentümliche, in leicht spiraliger Richtung verlaufende Falten, welche eine klappenähnliche Bildung, *valvula spiralis* (Heisteri), darstellen.

Die der Leber abgewandte Fläche der Gallenblase wird vom Bauchfell bekleidet, der über den Leberrand hinausragende Fundus ist vollkommen vom peritoneum überzogen.

## Verdauungsapparat, Bauchspeicheldrüse.

### Die Bauchspeicheldrüse, *pancreas*.

Die Bauchspeicheldrüse, *pancreas*, ist eine gelappte, platte, längliche Drüse, die quer vor dem oberen Teil der Lendenwirbelsäule an der hinteren Bauchwand gelegen ist. Man unterscheidet an ihr drei nicht deutlich getrennte Abschnitte: *caput pancreatis*, *corpus pancreatis* und *cauda pancreatis*. Der Pankreaskopf liegt in der Hufeisenschlinge des duodenum und ist der breiteste (höchste) Teil der platten Drüse. Er füllt den von der Duodenalschlinge gebildeten Raum fast völlig aus und erstreckt sich mit einem besonderen Fortsatz, *processus uncinatus* (Fig. 402) genannt (*pancreas Winslowii*), hakenartig gekrümmt nach links und hinten um die in einem rinnenartigen Einschnitt, *incisura pancreatis*, der Hinterfläche des Organs gelegenen *vasa mesenterica superiora* herum (namentlich um die Vene).\*)

Der Körper stellt den schmäleren (niedrigeren) Hauptteil der Drüse dar und die *cauda* ist das meist zugespitzte, bis zur Milz reichende, linke Ende des Organs. Man unterscheidet am *pancreas* drei Flächen, von denen die eine (*facies inferior*) jedoch nur am *corpus pancreatis*, und auch da nicht immer, deutlich abgrenzbar ist. Die beiden Hauptflächen, *facies anterior* und *posterior*, sind breit, die (inkonstante) dritte, *facies inferior*, sehr schmal. Die trennenden, stark abgerundeten Kanten werden als *margo superior*, *margo anterior* und *margo posterior* bezeichnet. Die vordere (und untere) Fläche wird vom Bauchfell (der *bursa omentalis*) überzogen, die hintere Fläche ist bauchfellfrei. Am *caput pancreatis* ist auch ein Teil der vorderen Fläche und der *processus uncinatus* ohne Peritonealüberzug.

Die Vorderfläche des *pancreas* ist nicht eben, sondern erstlich in transversaler Richtung, entsprechend der Vorwölbung der Wirbelsäule und der vor ihr gelegenen Bauchorta, im Bereich des Anfangsteils des *corpus* stark konvex, zweitens im linken Abschnitt des Organs deutlich konkav infolge der Anlagerung der konvexen Hinterfläche des Magens. In sagittaler Richtung ist die gleiche Fläche des Organs aus dem gleichen Grunde leicht konkav. Die Vorderfläche des *pancreas* hat also eine sattelähnliche, wenn auch nicht sattelförmige Gestalt. Die stärkste Hervorragung am linken Rande der Konvexität (und obern Rande der Drüse), welche ungefähr dem Ausschnitt der kleinen Kurvatur des Magens entspricht, heisst *tuber omentale pancreatis*. Sie liegt hinter dem *omentum minus*.

Der Ausführungsgang, *ductus pancreaticus* (Wirsungi), durchsetzt die Drüse ihrer ganzen Länge nach, von der *cauda* zum *caput* allmählich stärker werdend, indem er im nahezu rechten Winkel Aeste aufnimmt. Er liegt in der Mitte der Höhe der Drüse. Im Kopfe des *pancreas* findet sich stets noch ein zweiter Gang, *ductus pancreaticus accessorius* (minor), dessen Verhalten ein sehr wechselndes sein kann. Meist besitzt er eine besondere Ausmündungsstelle in der *pars descendens duodeni*, ist aber stets mit dem Hauptgang durch einen Querast verbunden. Seltener mündet er ganz in diesen ein. Er liegt immer im oberen Teil des Pankreaskopfes.

\*) Dadurch entsteht zwischen *caput* und *corpus pancreatis* eine Einschnürung (Hals oder *isthmus*).

Fig. 400. *Pancreas* und Hauptteil des *duodenum* in der Ansicht von vorne. (<sup>1</sup>/<sub>1</sub>) Die Pankreasgänge sind durch Spaltung des Organs von der Vorderfläche her freigelegt, das *duodenum* ist der Länge nach aufgeschnitten. \* = Mündung des *ductus pancreaticus major* (und des *ductus cholecysticus*).

Fig. 401. Sagittaler Querschnitt des *corpus pancreatis* (und der *vasa lienalia*). (<sup>3</sup>/<sub>2</sub>)

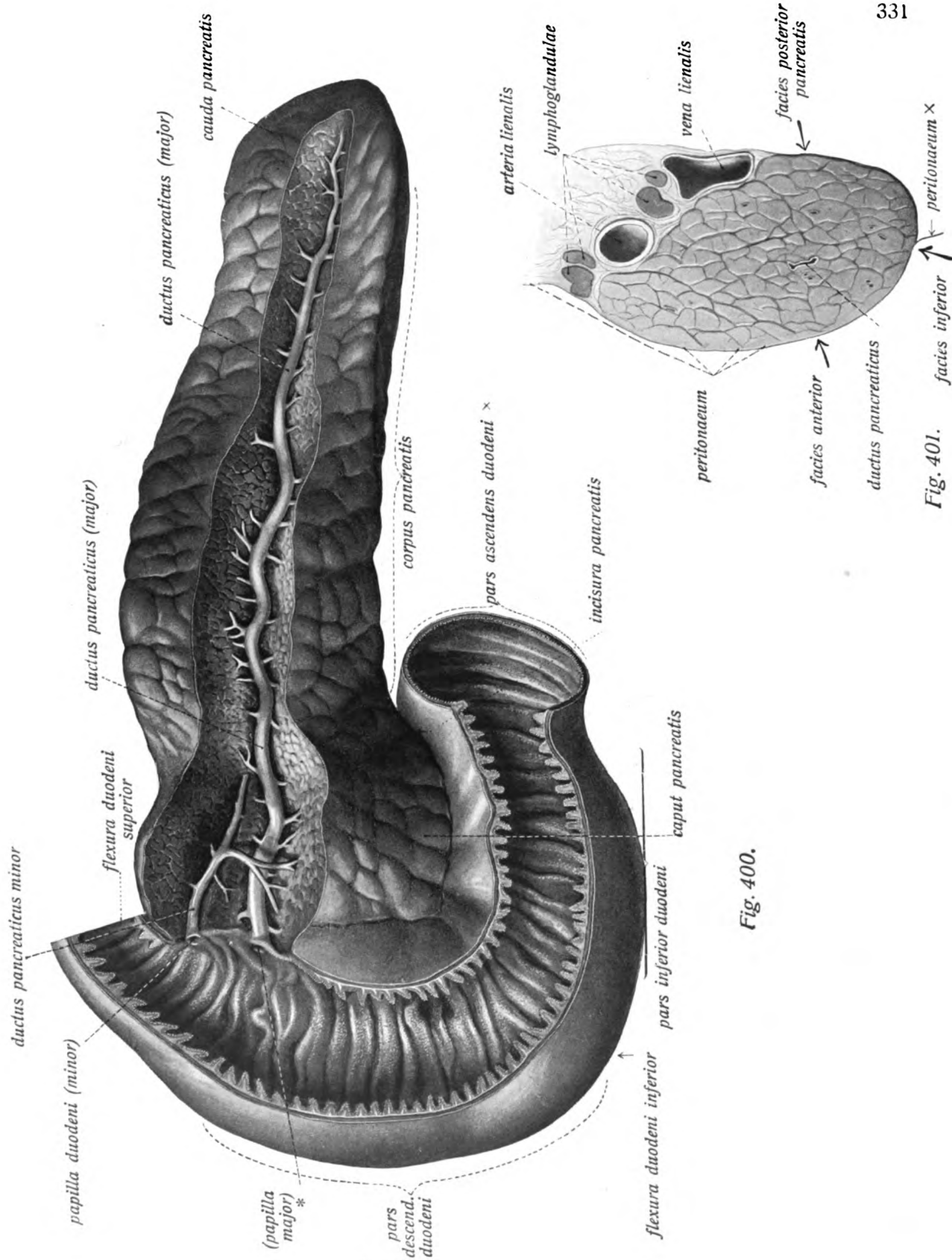
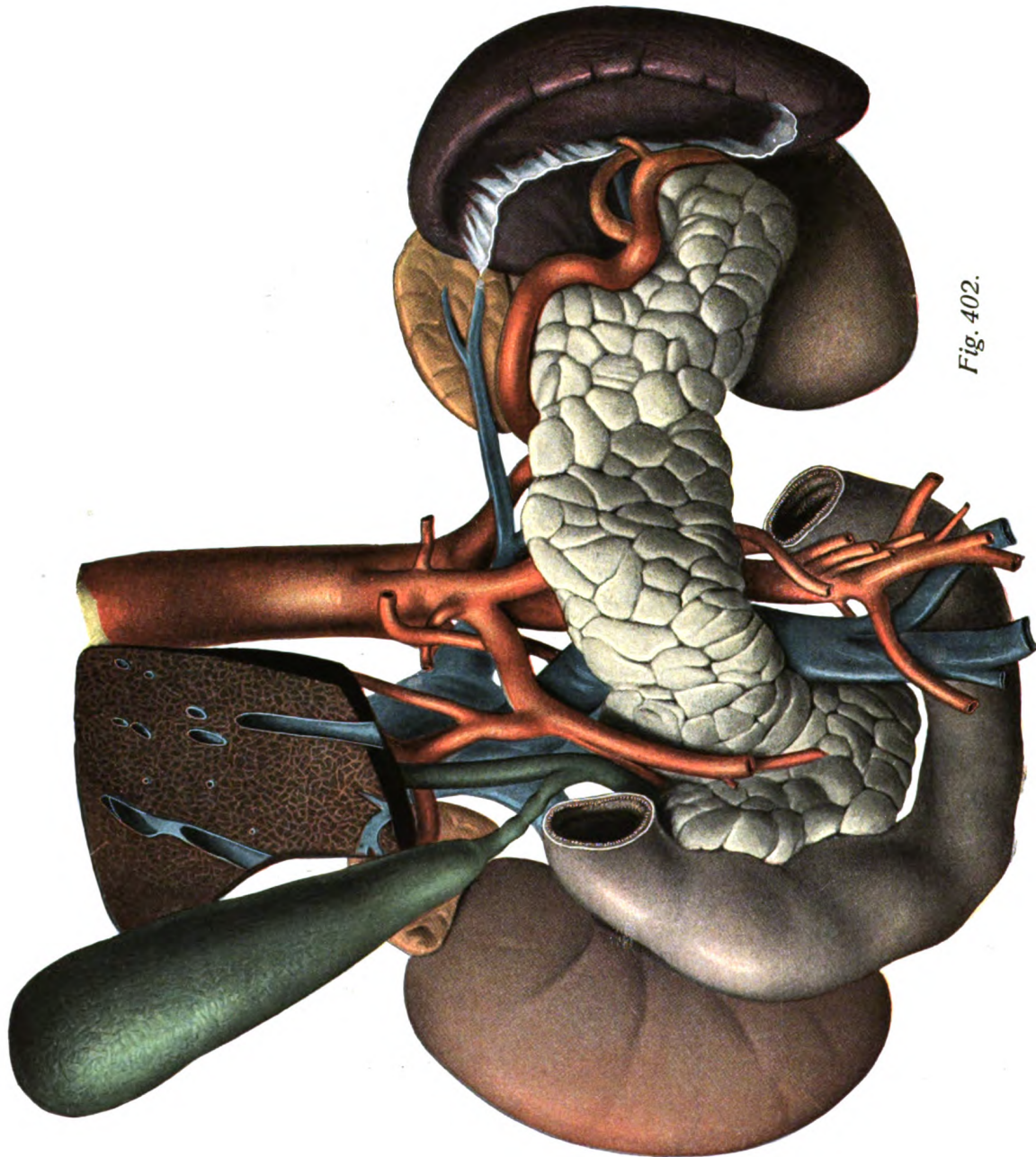


Fig. 400.

Fig. 401.



*Fig. 402.*

# Verdauungsapparat, Bauchspeicheldrüse. (Forts.)

Fig. 402 u. 403. Duodenum, pancreas, Milz, Nieren, Nebennieren, Gallenblase (mit einem Teil der Leber), aorta und vena cava inferior in ihrer gegenseitigen Lagerung ( $\frac{3}{5}$ ). Die Milz ist von der linken Niere abgezogen, um ihre facies renalis zu zeigen. Das Bauchfell ist bis auf die Milz überall, namentlich vom pancreas entfernt. (Tiefe Lagerung des pancreas).

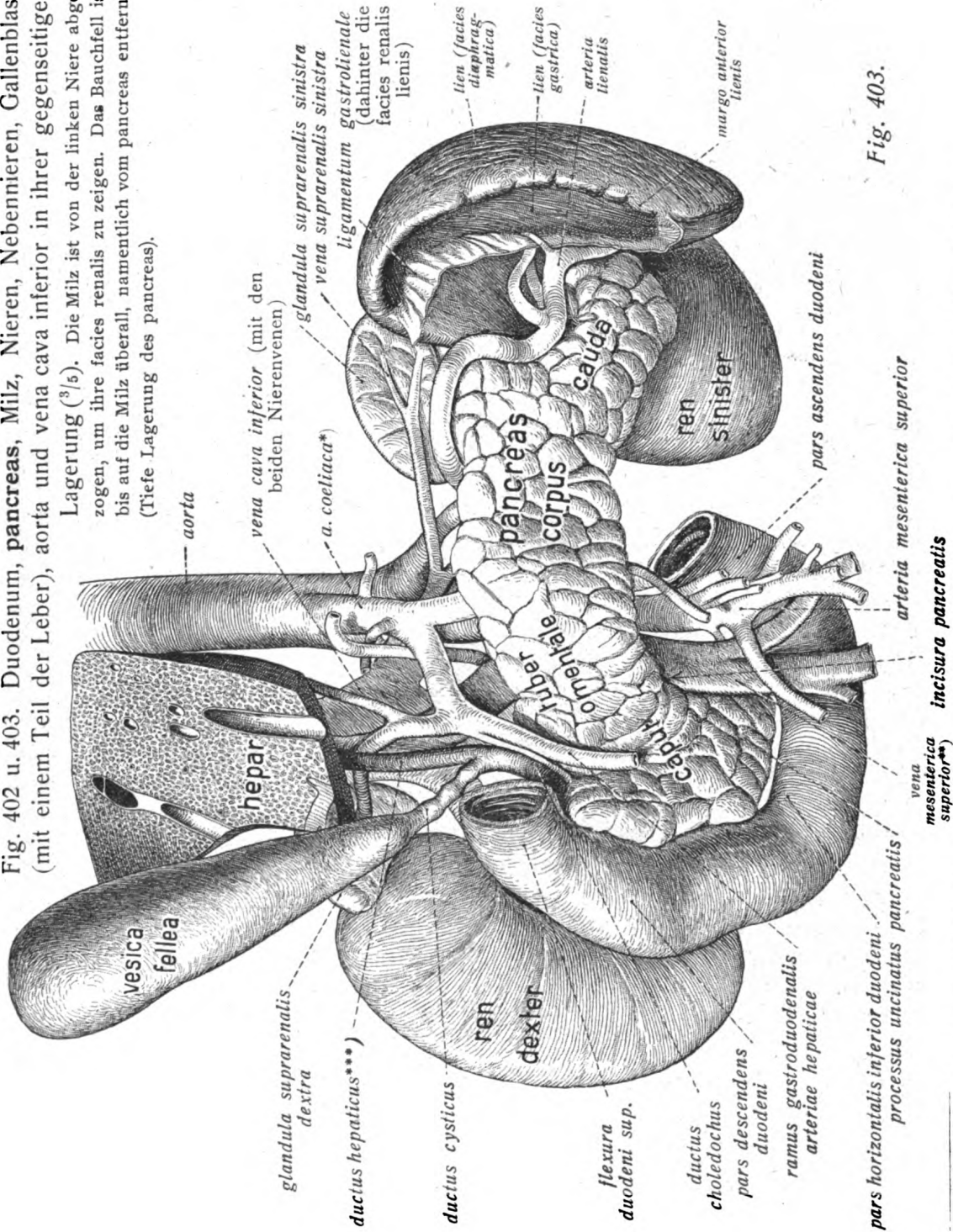


Fig. 403.

\*) Hinter ihr vena renalis sinistra; nach unten abgehend die art. lienalis, nach rechts abgehend die art. hepatica.

\*\*) In ihrer Verlängerung, oberhalb des pancreas, die Pfortader.

\*\*\*) Daneben rechts die art. hepatica propria. Zwischen und hinter beiden die Pfortader; hinter dieser die vena cava inferior mit der v. renalis dextra.

### Verdauungsapparat, Anhang: Milz\*).

Fig. 405. Milz vom hilus her gesehen. ( $\frac{3}{4}$ )

Fig. 406. Milz von der facies diaphragmatica aus. ( $\frac{3}{4}$ )

Fig. 407. Durchschnitt der Milz senkrecht zur Achse des Organs. ( $\frac{5}{4}$ )

Der hilus lag hier auf der facies gastrica, neben der die beiden medialen Flächen trennenden Leiste (\*).

#### Die Milz, lien.

Die Milz ist ein ziemlich plattes Organ mit einer konvexen und einer mehrfach geteilten, konkaven Fläche. Erstere, *facies diaphragmatica*, sieht nach lateral, oben und hinten und füllt den hinteren, unteren Raum der linken Zwerchfellskuppel aus; letztere sieht nach medial und ist vorn und unten konkav bis auf eine in der Längsrichtung des Organs mitten über sie hinweglaufende, schwach erhabene Leiste mit dem Milzhilus, *hilus lienis*, d.h. Vertiefungen neben der Leiste für die eintretenden Gefässe. (s. u.)

Diese Leiste der Milz trennt die mediale Fläche der Milz in einen vorderen, oberen und hinteren, unteren Abschnitt; ersterer wird als *facies gastrica*, letzterer als *facies renalis*

*facies renalis*. Man unterscheidet ferner an der Milz das obere, medianwärts gebogene Ende, *extremitas superior*, und das nach links und unten gerichtete, untere Ende, *extremitas inferior*. Beide verbindet die Milzachse. Sie steht schräg von oben hinten nach unten vorn. Den meist glatten, hinteren Rand der Milz nennt man *margo posterior (obtusus)*, den vorderen, in der Regel schärferen und mehrfach eingekerbten *margo anterior (crematus)*.

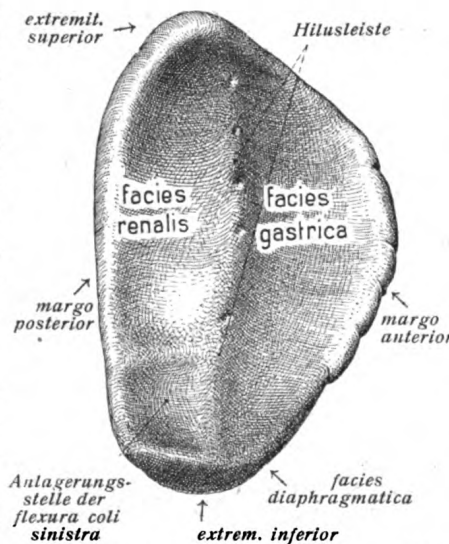
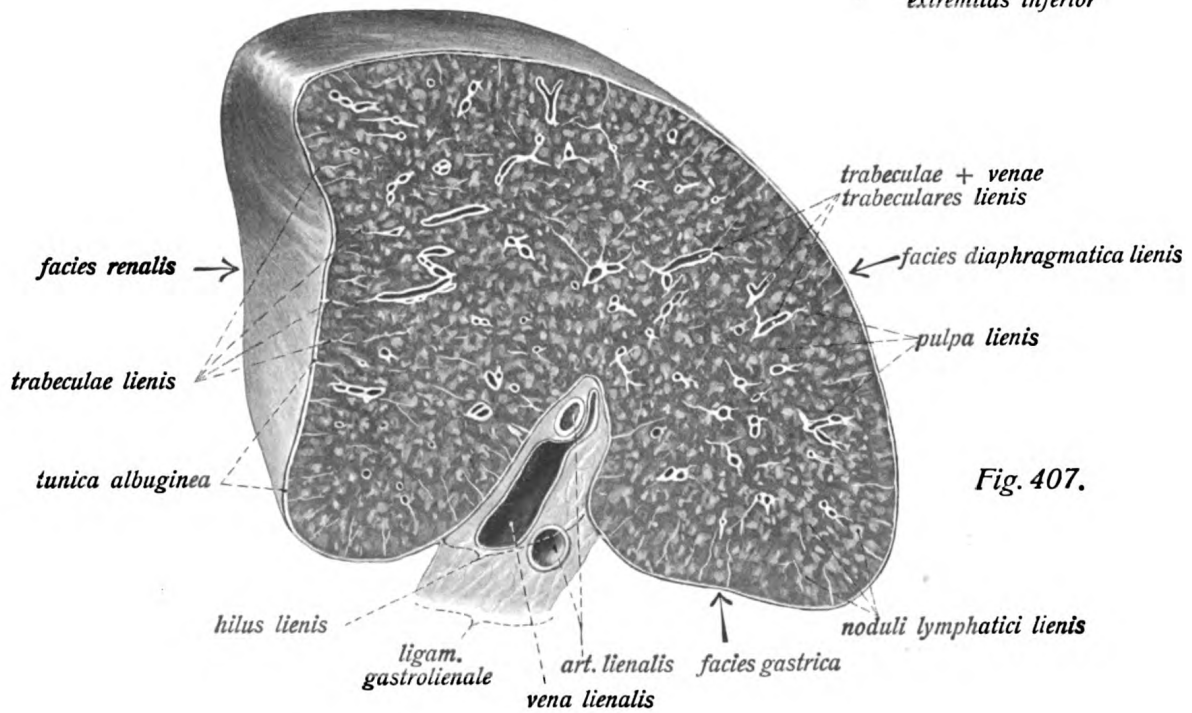
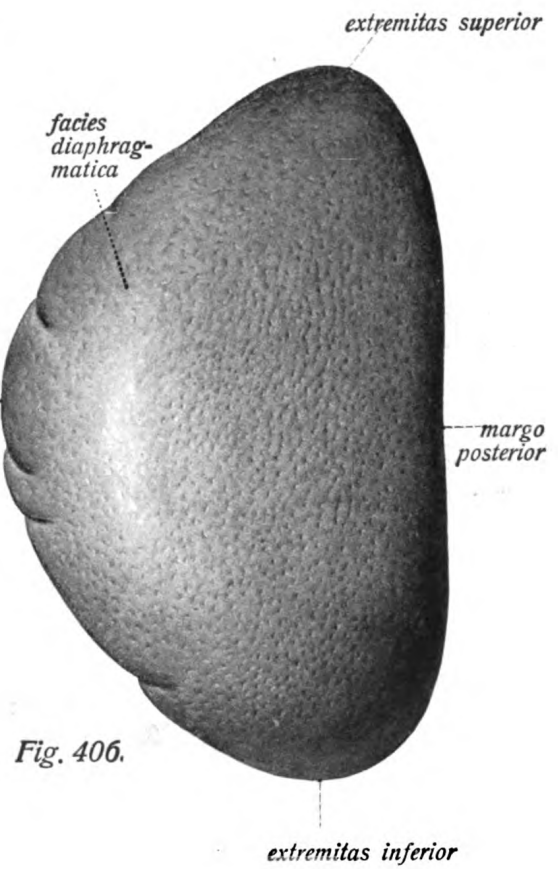
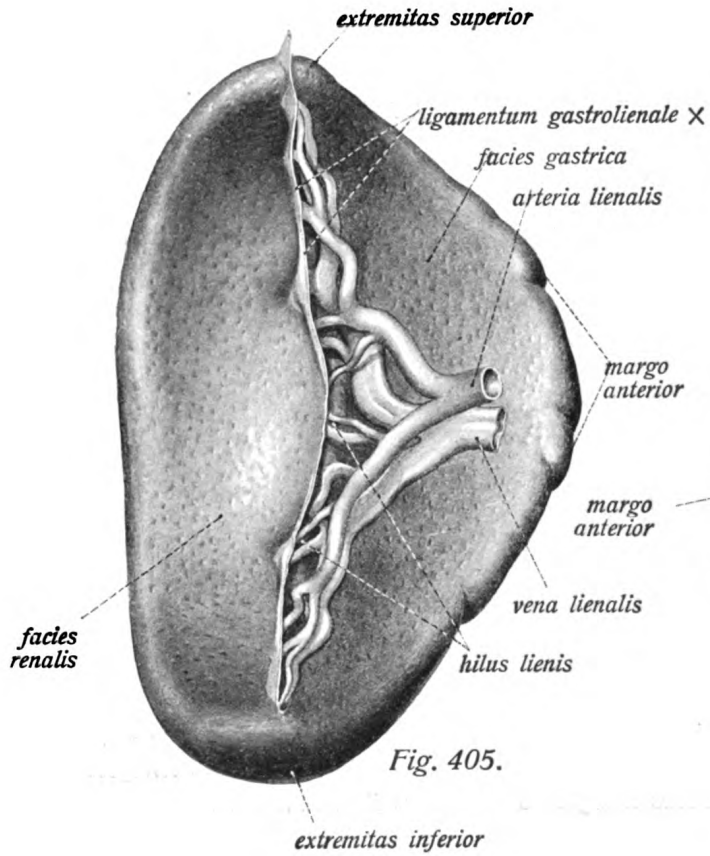


Fig. 404. Mediale Flächen der Milz.

bezeichnet; die *facies renalis* zerfällt in zwei nicht scharfgetrennte, konkave Eindrücke, einen grösseren, oberen, stärker konkaven für das obere Ende der linken Niere und einen kleineren, unteren, mehr flachen für die flexura coli sinistra. Die Vertiefungen des hilus liegen mehr oder weniger dicht neben der Leiste auf der facies gastrica. Hier inseriert auch das Bauchfell des *ligamentum gastrolienale* und das *ligamentum pancreaticolienale*.

\*) Siehe auch Fig. 402/403.





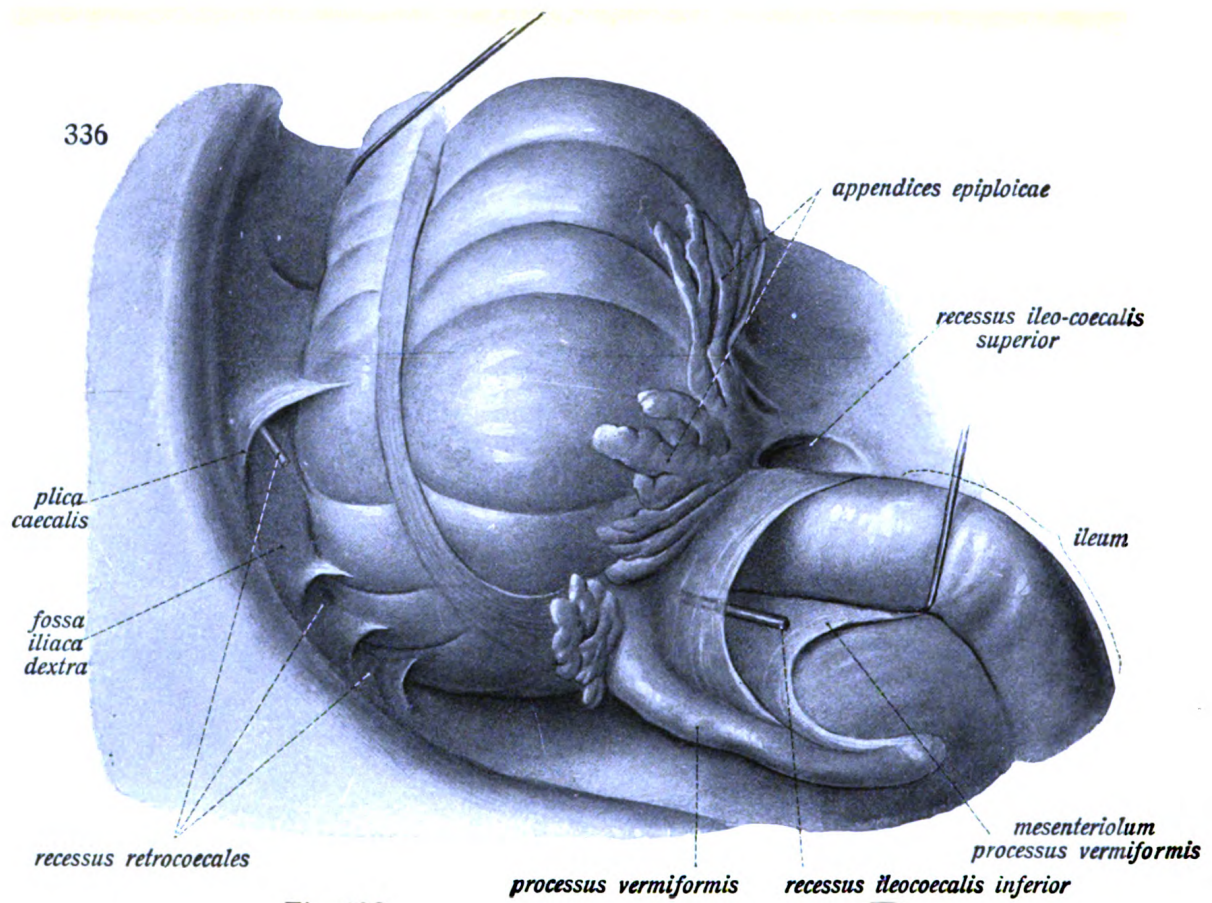


Fig. 408.

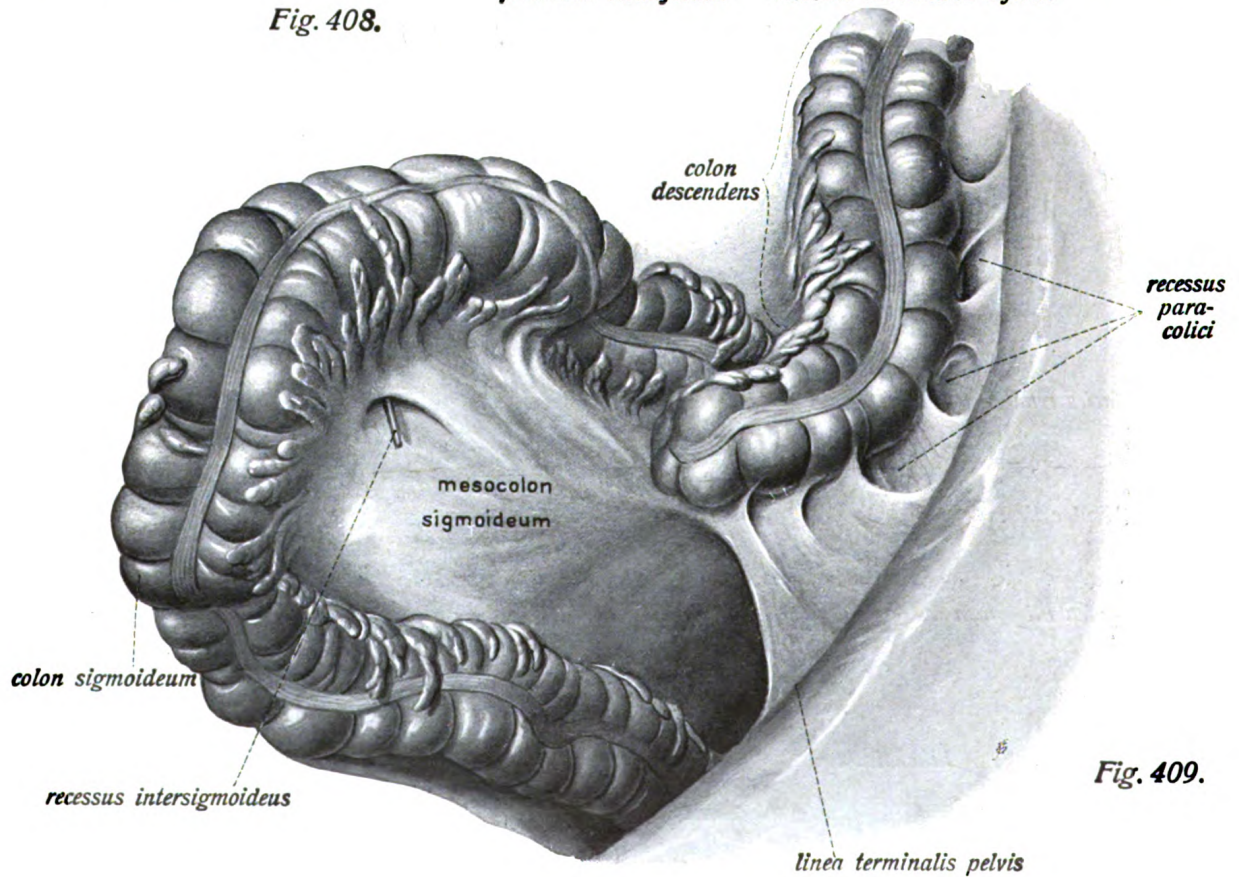


Fig. 409.



### Lagerung der Baueingeweide, Bauchfell.

Fig. 408. Lagerung des caecum. Bauchfellfalten und -Taschen seiner Umgebung. ( $\frac{1}{1}$ ) Sonde im recessus ileocaecalis inferior.

Fig. 409. Lagerung des colon descendens und colon sigmoideum mit den benachbarten Bauchfellfalten und -Taschen. ( $\frac{1}{1}$ ) Das mesocolon sigmoideum ist gespannt, da das colon nach rechts und oben gezogen ist.

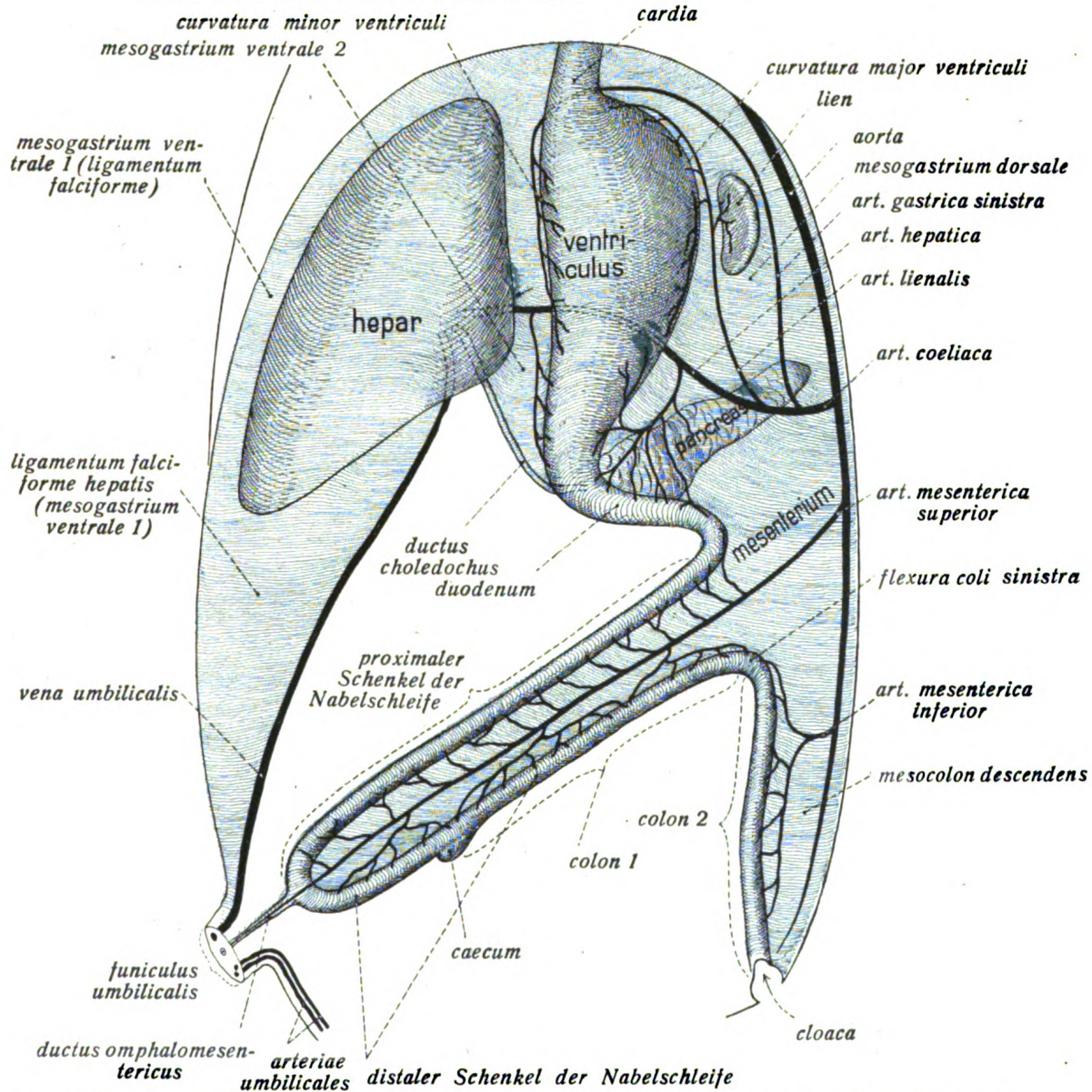


Fig. 410. Erstes Stadium der Entwicklung des Darmkanals und des Bauchfells. Ansicht von der Seite (schematisch). colon 1 = späteres colon ascendens und transversum, colon 2 = späteres colon descendens, sigmoideum und rectum. Beim mesogastrium bedeutet 1 den vor, 2 den hinter der Leber gelegenen Teil; letzterer wird zum omentum minus. Die Gefäße sind rein schwarz, das Bauchfell grau gehalten.

## Lagerung der Baueingeweide, Bauchfell. (Forts.)

### Tafel 6.

Ansicht der Baueingeweide nach Eröffnung der Bauchhöhle von vorn. Grosses Netz, *omentum majus*. ( $\frac{2}{5}$ ) Die Bauchhöhle ist durch einen Kreuzschnitt eröffnet, oben sind die Haut- und Muskellappen oberhalb des Rippenbogens abgeschnitten, unten zurückgeschlagen.

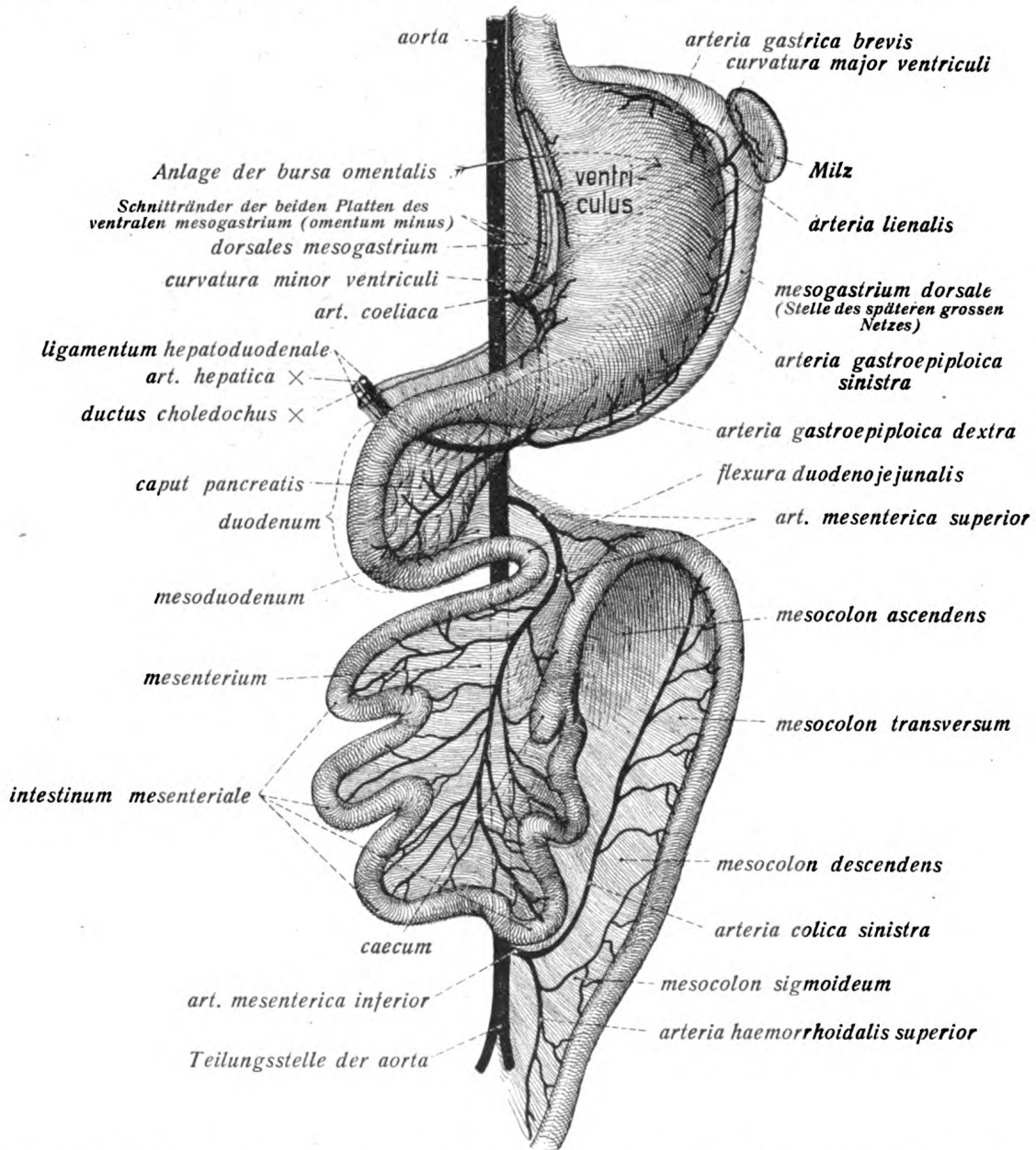
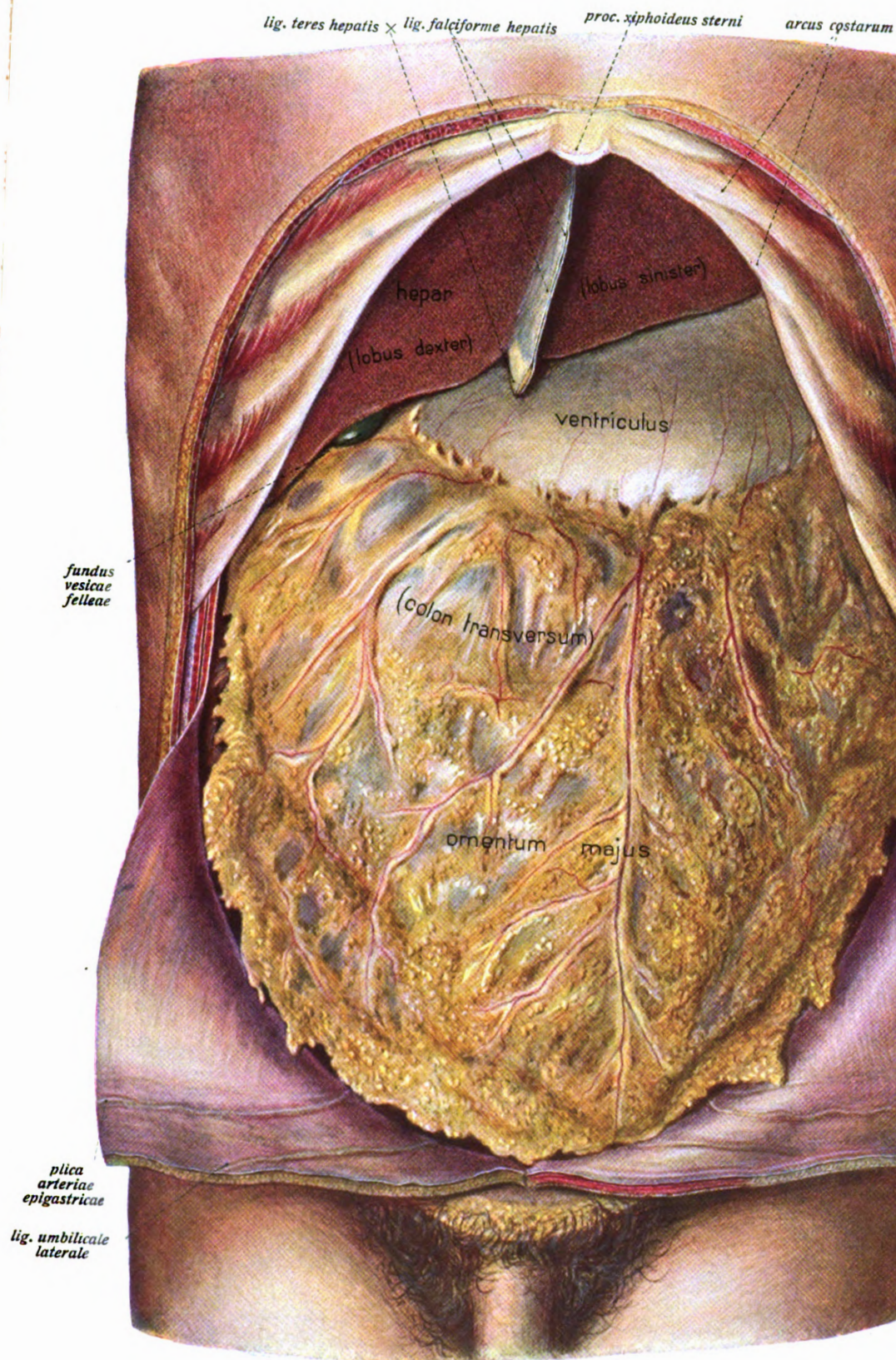


Fig. 411. Zweites Stadium der Entwicklung des Darmkanals und des Bauchfells. Ansicht von vorn (schematisch).

Die Leber ist fortgenommen, die beiden Platten des ventralen mesogastrium (*omentum minus*) durchschnitten. Die Gefässe sind in rein schwarzer, das Bauchfell in grauer Farbe gehalten.



Tafel 6.







## Lagerung der Baueingeweide, Bauchfell. (Forts.)

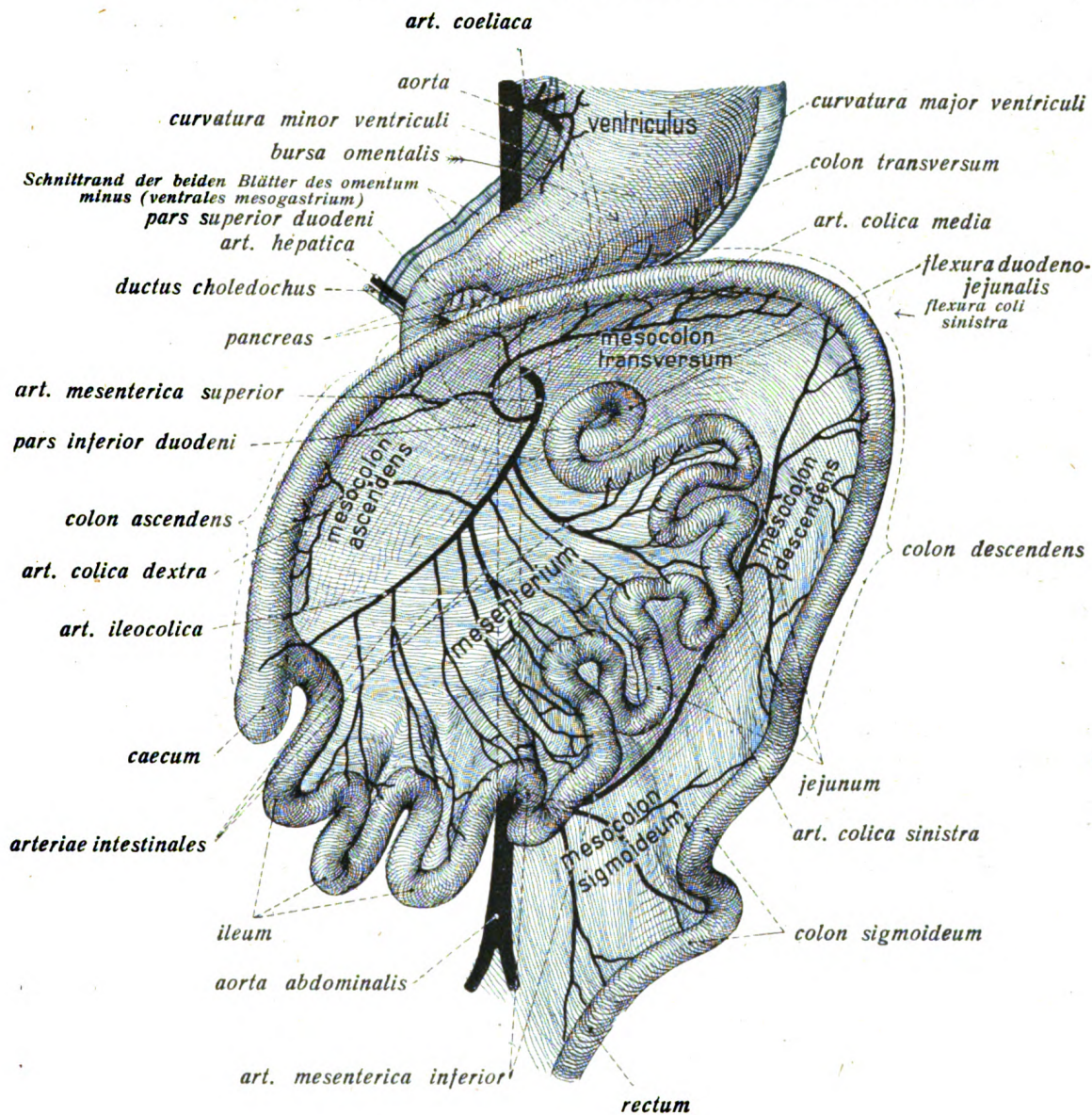


Fig. 412. Drittes Stadium der Entwicklung des Darmkanals und des Bauchfells. Ansicht von vorn (schematisch). Beginn der Ausbildung des definitiven Zustands. Der Dickdarm legt sich um den Dünndarm und bildet so seine Hufeisenform aus, der Dünndarm verlängert sich stark und schlängelt sich, der Magen hat seine definitive Lagerung eingenommen. Präparation etc. wie in Fig. 411.

## Lagerung der Baueingeweide.

### Tafel 7.

Ansicht der Baueingeweide von vorn nach Eröffnung der Bauchhöhle und unter Emporhebung des grossen Netzes. ( $\frac{2}{5}$ ) Mit dem grossen Netz ist auch das colon transversum etwas in die Höhe zurückgeschlagen. Präparation im übrigen wie auf Tafel 6.

### Tafel 8.

Ansicht der Organe der Bauchhöhle von vorn bei emporgeschlagenem grossem Netze und herausgehobenen und nach rechts gelegten Dünndarmschlingen. ( $\frac{2}{5}$ ) Präparation im übrigen wie in Tafel 6 u. 7; im recessus duodenojejunalis steckt eine Sonde. \* = pars ascendens duodeni.

### Tafel 9.

Die Lagerung des Dickdarms in der Bauchhöhle. ( $\frac{2}{5}$ ) Der Dünndarm ist am Mesenterialansatz abgelöst (bis auf das duodenum und das unterste Stück des ileum). Das colon transversum mit dem grossen Netze ist in die Höhe gezogen. Im recessus ileocaecalis inferior eine Sonde. \* = Stelle des retroperitonealen Abschnitts des duodenum (Umgebung der flexura duodeni inferior), wegen Fettreichtums des Gekröses nur als flache Wölbung sichtbar (nicht durchscheinend). (Vergl. auch Tafel 12.)

### Tafel 10.

Fig. 1. Oberer Abschnitt der Bauchhöhle mit Magen, Leber, Milz, omentum minus. ( $\frac{2}{5}$ )

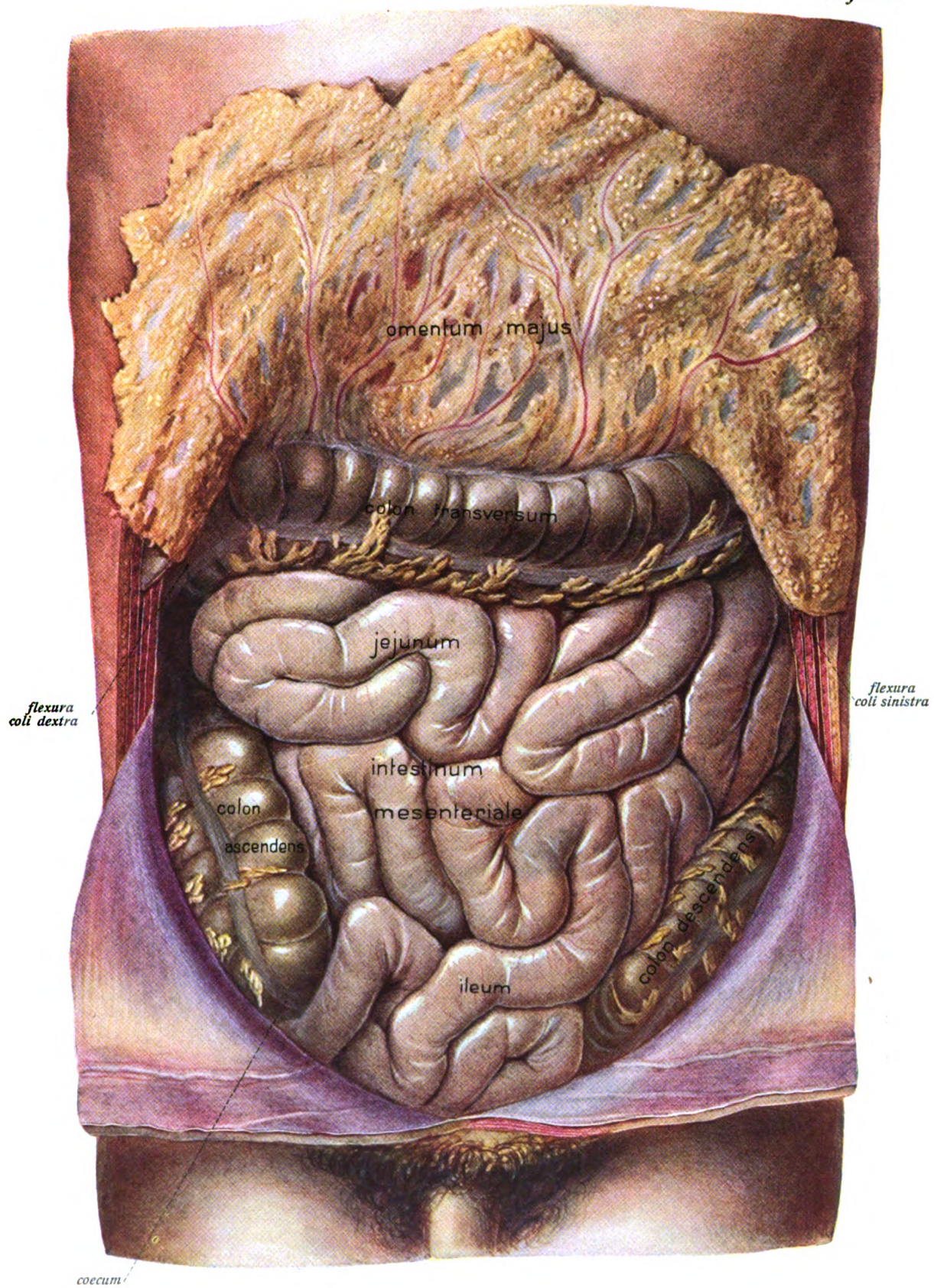
Der linke Leberlappen ist in die Höhe gezogen, durch das foramen epiploicum eine Sonde (\*) in das vestibulum bursae omentalis geführt, welche durch die pars flaccida omenti minoris durchschimmert. (Desgl. der processus papillaris lobi caudati hepatis.) Die vordere Platte des grossen Netzes (ligamentum gastrocolicum) ist gespalten, so dass der recessus inferior bursae omentalis eröffnet ist und man das colon transversum sieht.

Fig. 2. Foramen epiploicum und bursa omentalis. ( $\frac{2}{5}$ )

Die ganze Leber (auch der rechte Lappen) ist stark in die Höhe, das ligamentum hepatoduodenale nach links gezogen, um das foramen epiploicum zu zeigen, der Magen nach Durchschneidung des ligamentum gastrocolicum dicht unterhalb der grossen Krümmung nach oben gezogen, um einen Einblick in die bursa omentalis und auf das pancreas zu gewähren. Durch das foramen epiploicum ist eine Sonde geführt, hinter welcher das lig. hepatorenale (ins lig. duodenorenale übergehend und so das foramen mit dem lig. hepatoduodenale zusammen begrenzend) durch das Emporheben der Leber angespannt wird. Die durch das foramen epiploicum in die bursa omentalis geführte Sonde ist durchscheinend durch die pars flaccida omenti minoris (zusammen mit dem proc. papillaris lobi caud. hep.) sichtbar; an der Stelle des „isthmus“ bursae omentalis tritt sie am oberen Rand des pancreas frei zu Tage (Hauptteil der bursa). Die vom Bauchfell der bursa omentalis überkleidete Hinterfläche des Magens ist zum grossen Teil sichtbar.



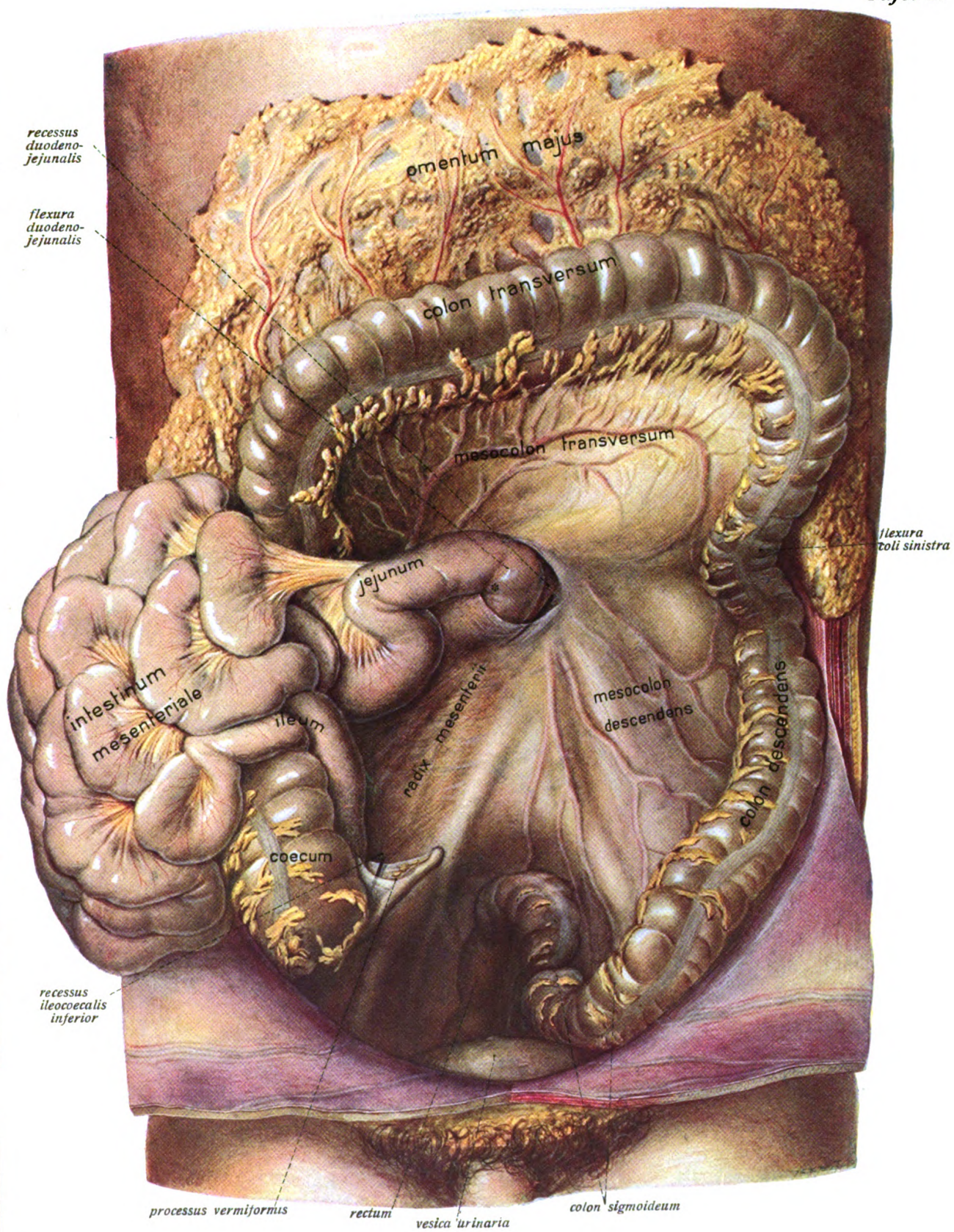
Tafel 7.







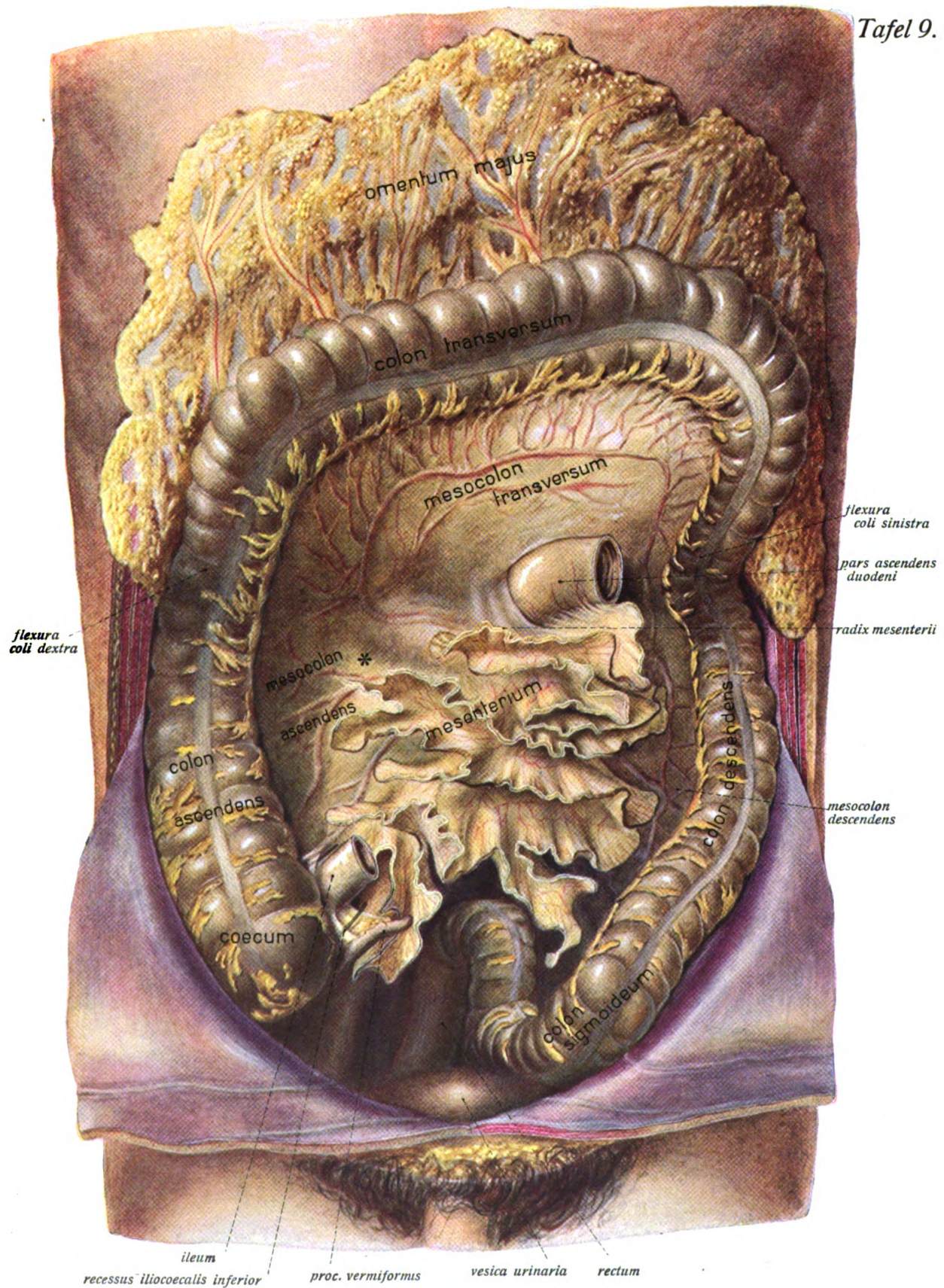
Tafel 8.





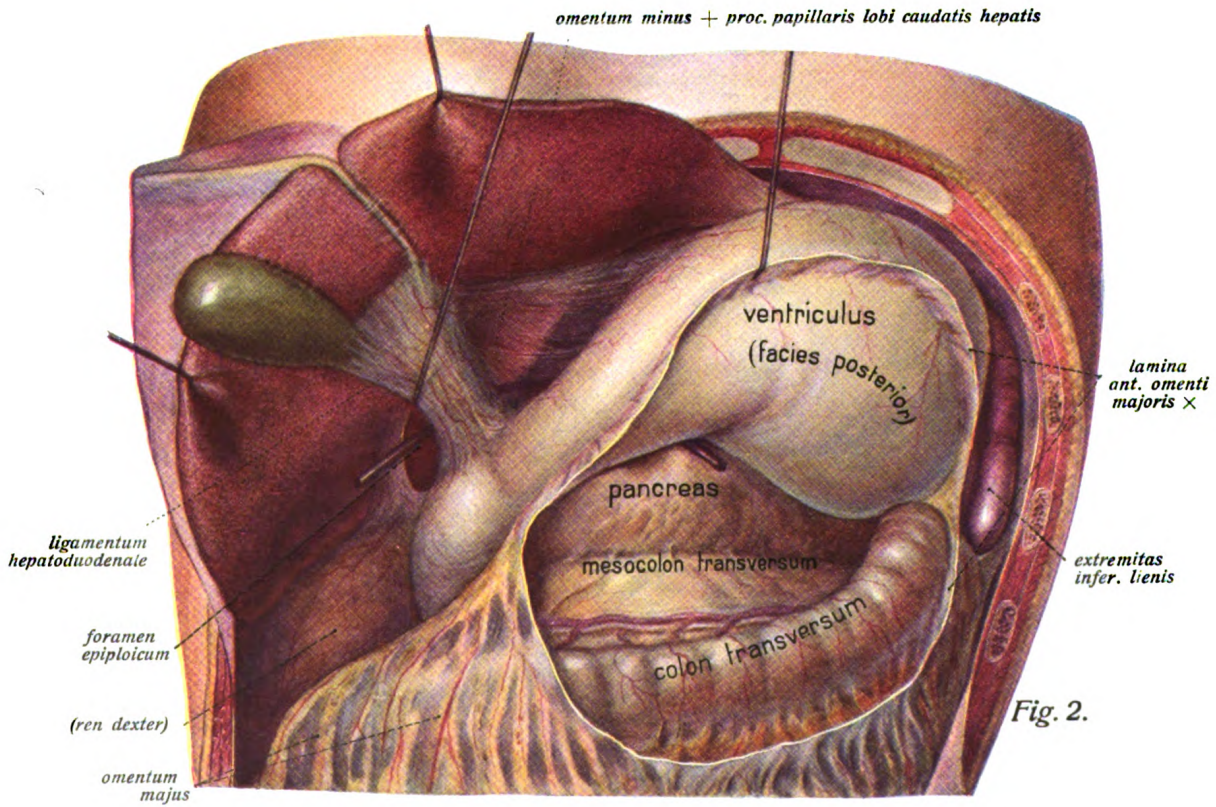
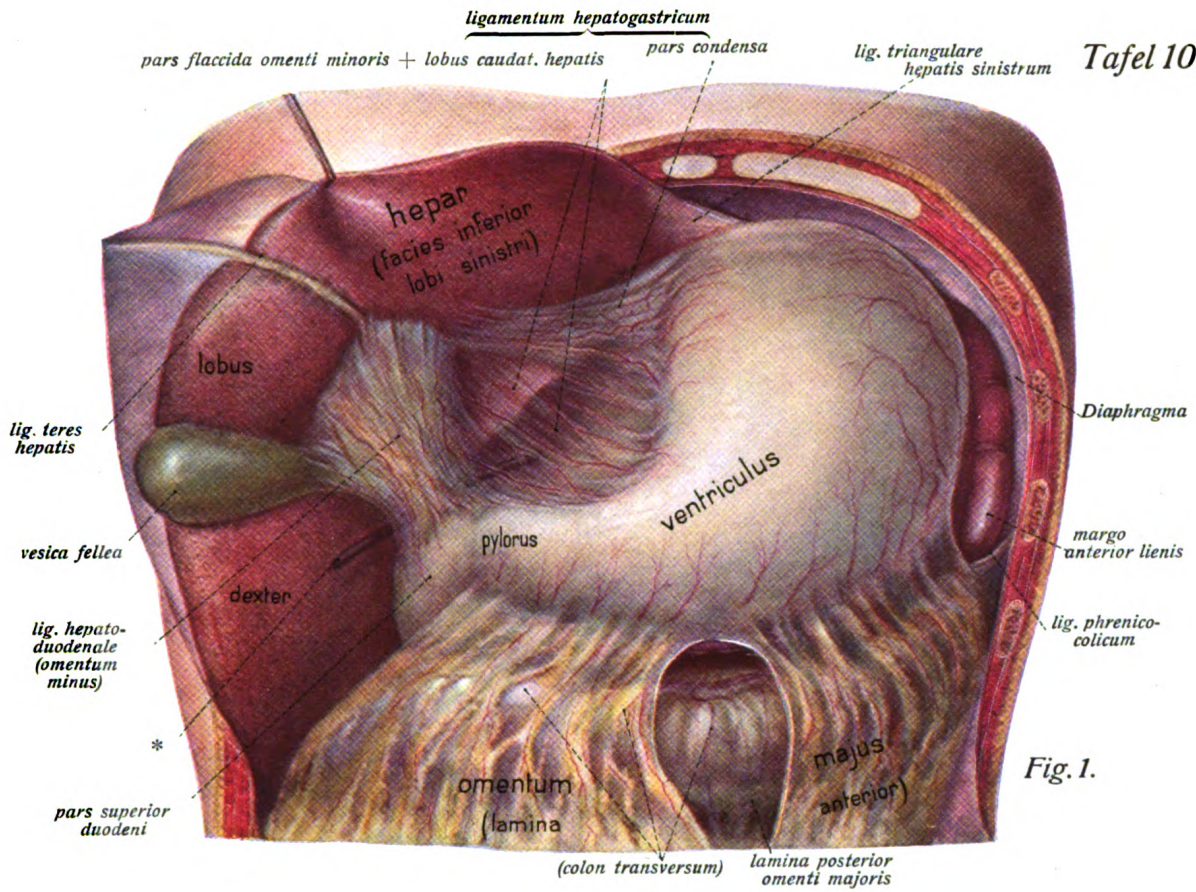


Tafel 9.













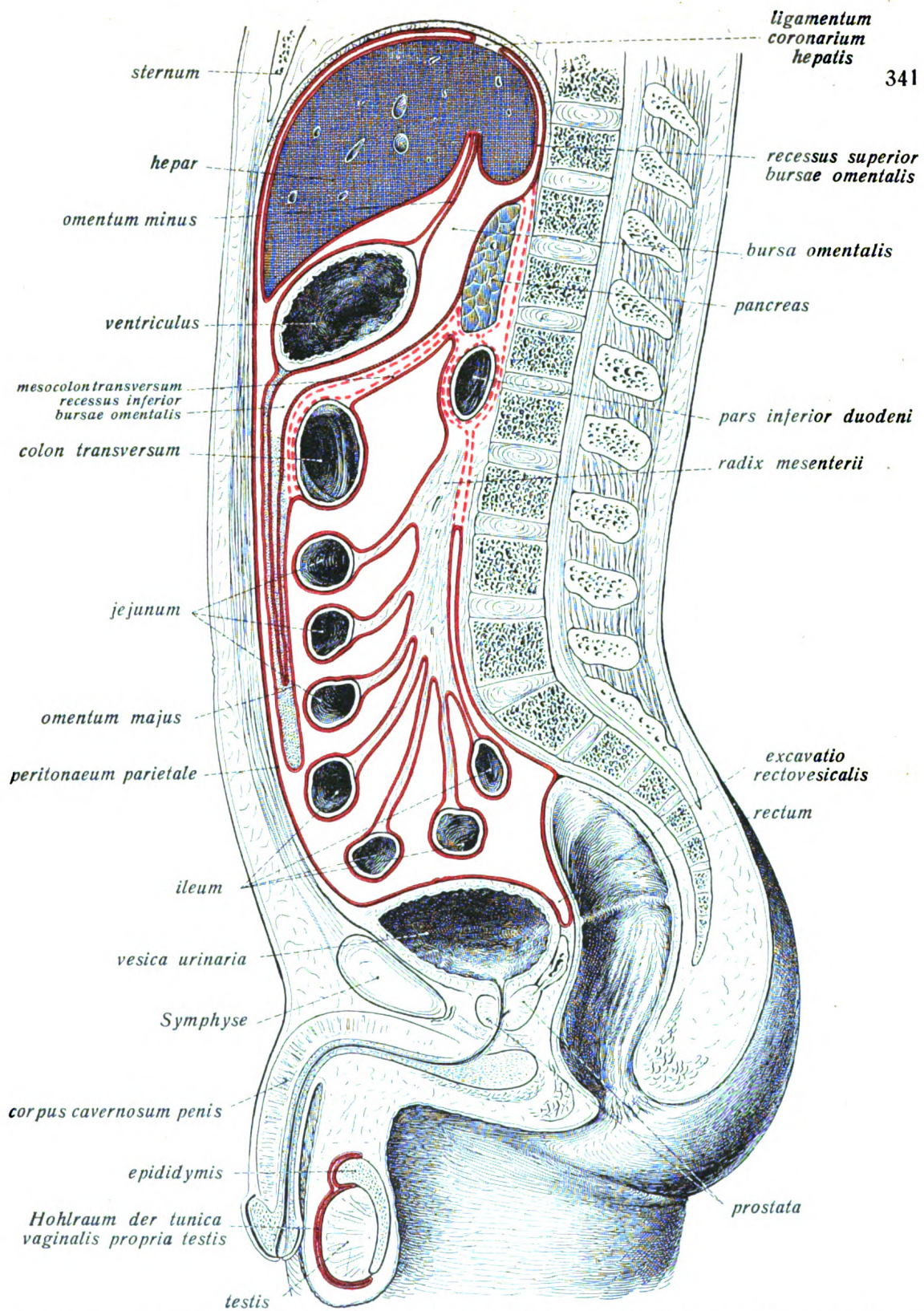


Fig. 413. Schema des Verhaltens des Bauchfells im Medianschnitt beim männlichen Geschlecht. (vgl. Fig. 419)

Das Bauchfell ist rot dargestellt, das der bursa omentalis zugleich schwarz gestrichelt; rot gestrichelt sind die zugrunde gehenden Abschnitte des peritoneum, schwarz punktiert später verödennde Hohlräume.



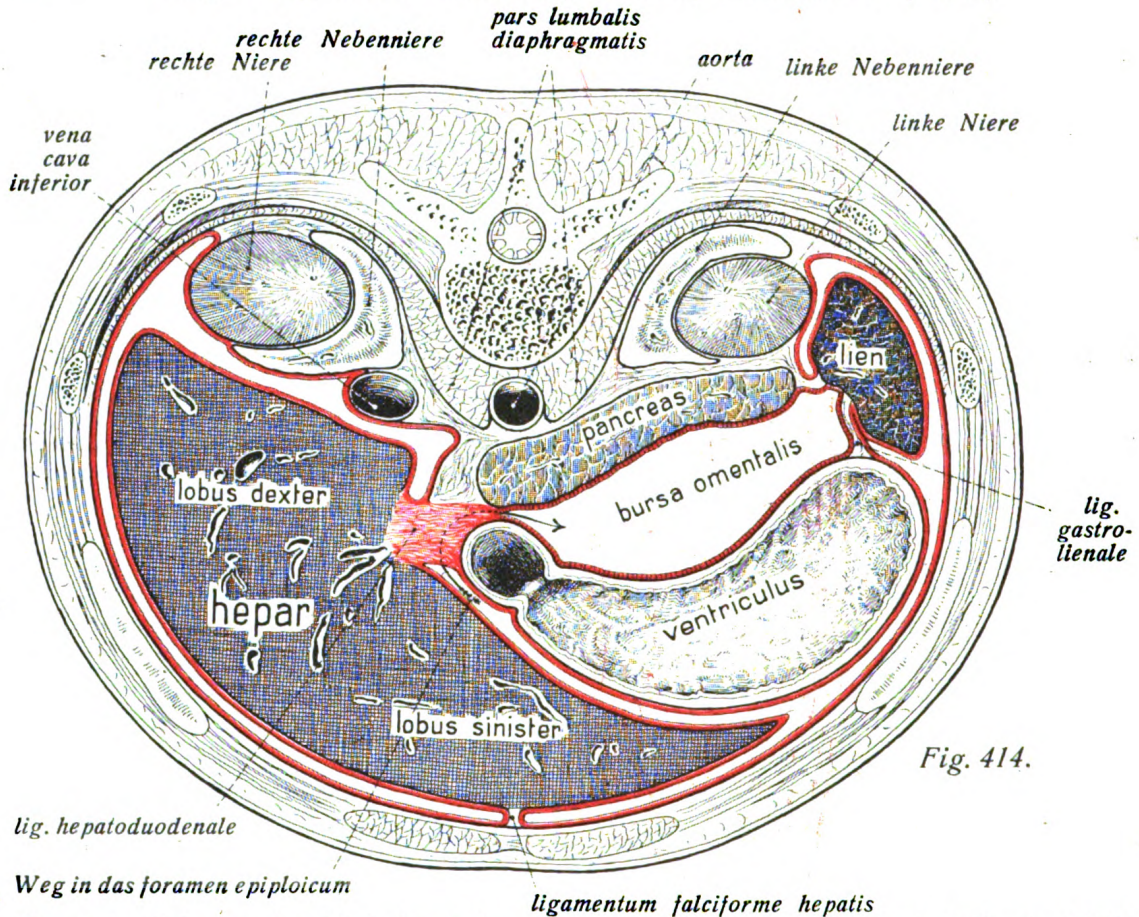


Fig. 414.

- Fig. 414. Schema des Verhaltens des Bauchfells auf einem Querschnitt in der Höhe der bursa omentalis. Das Bauchfell ist rot, das der bursa omentalis ausserdem noch gestrichelt dargestellt. Die durch Anwachsen des pancreas an die hintere Bauchwand obliterierten Teile des primären parietalen Bauchfells sind nicht dargestellt.
- Fig. 415. Situsbild des vestibulum bursae omentalis. ( $\frac{2}{5}$ ) Die pars flaccida omenti minoris ist gespalten, um einen Einblick in das vestibulum mit lobus caudatus der Leber und tuber. omentale pancreatis zu gewähren. Durch das foramen epiploicum ist eine Sonde geführt.
- Fig. 416. Situsbild der bursa omentalis. ( $\frac{2}{5}$ ) Präparation ähnlich wie bei Fig. 415, nur ist die kleine Krümmung des Magens nach abwärts und nach links gezogen, um den isthmus bursae omentalis mit der plica gastropancreatica zu zeigen.

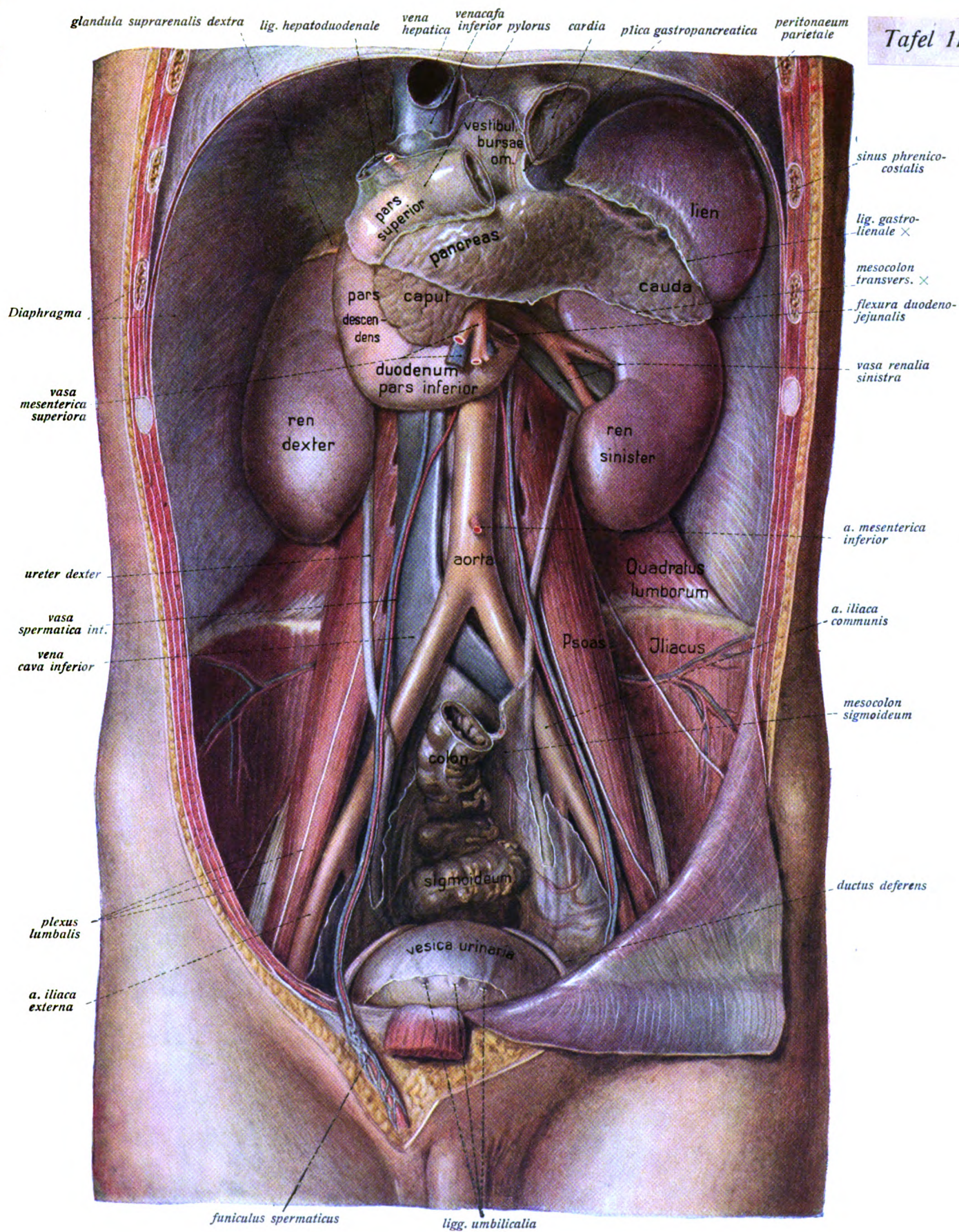
## Tafel II.

Lagerung der Eingeweide an der hinteren Bauchwand (8 jähriger Knabe). ( $\frac{2}{5}$ )

\* = tuber omentale pancreatis.

Die vordere Bauchwand und der vordere Teil des Zwerchfells sind durch einen Frontalschnitt entfernt bis auf einen (von einem Kreuzschnitt herrührenden) linken, unteren Lappen. Der Magen ist bis auf die cardia und den pylorus herausgeschnitten und damit die hintere Wand der bursa omentalis freigelegt. Die Leber ist vollkommen fortgenommen, das parietale Bauchfell (nebst mesocolon ascendens und descendens) ist von den Nieren, dem Hauptteil des duodenum, den grossen Gefässen und der Muskulatur entfernt, nur im kleinen Becken erhalten (hier aber längs der Ureteren eine Strecke weit gespalten). Das Zwerchfell ist von der fascia transversalis bedeckt dargestellt, vom Iliopsoas und Quadratus lumborum dagegen ist die Fascie entfernt. Rechts ist der Samenstrang unter Spaltung des Leistenkanals bis gegen den Hodensack hin freigelegt. Die Harnblase ist ziemlich stark gefüllt. Die Arterien sind mit roter Wachsmasse injiziert. Hoher Stand des pancreas (jugendlicher Zustand cf. Fig. 402).









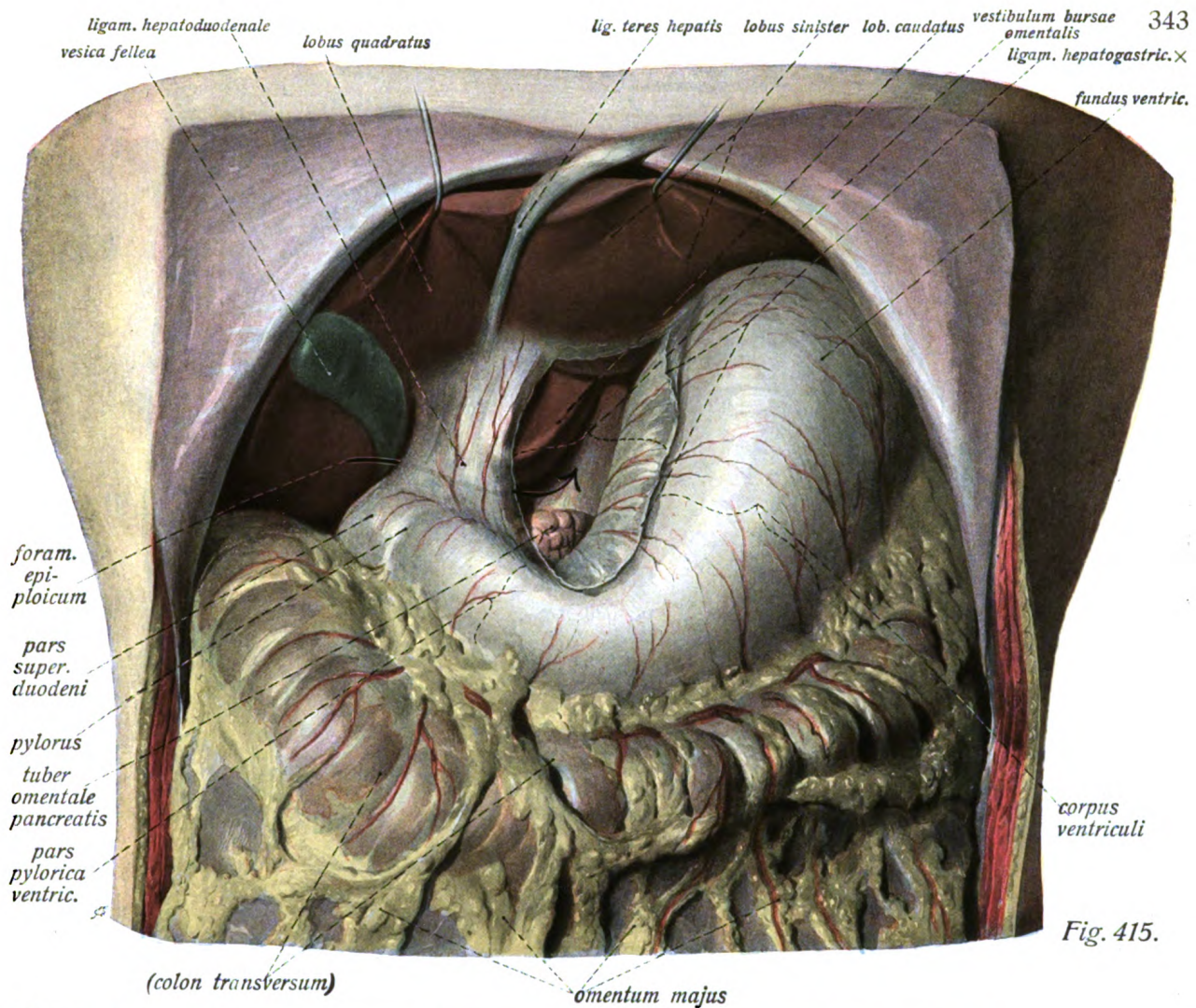


Fig. 415.

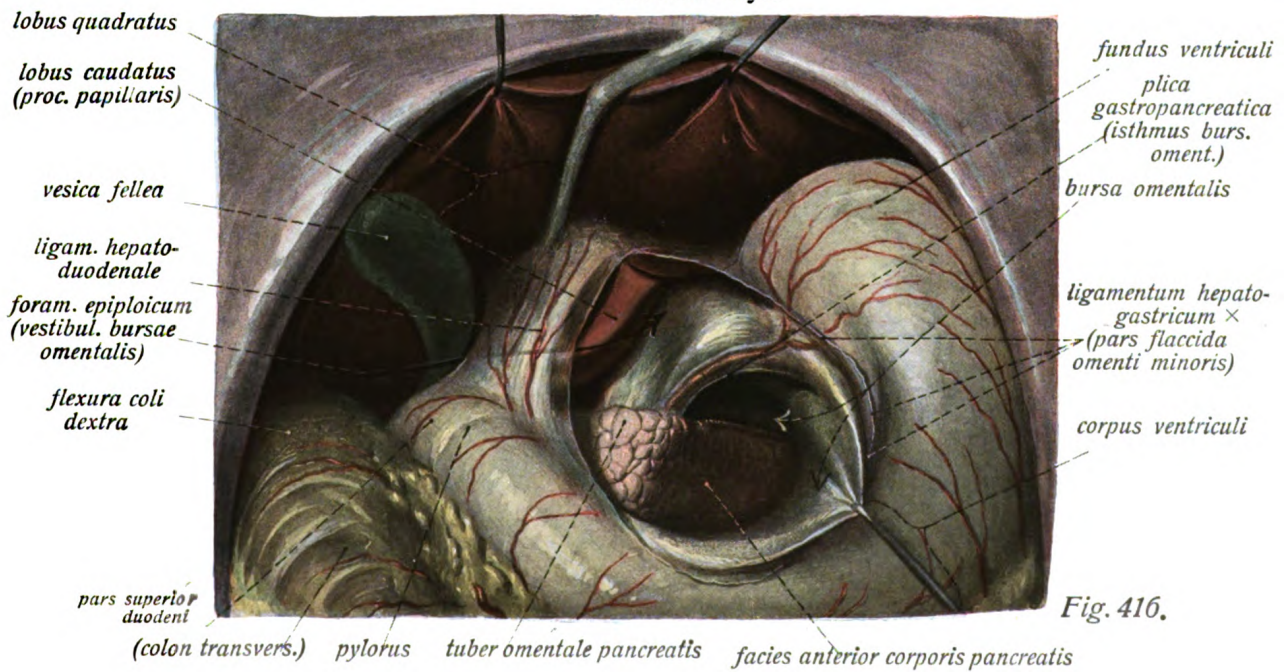


Fig. 416.



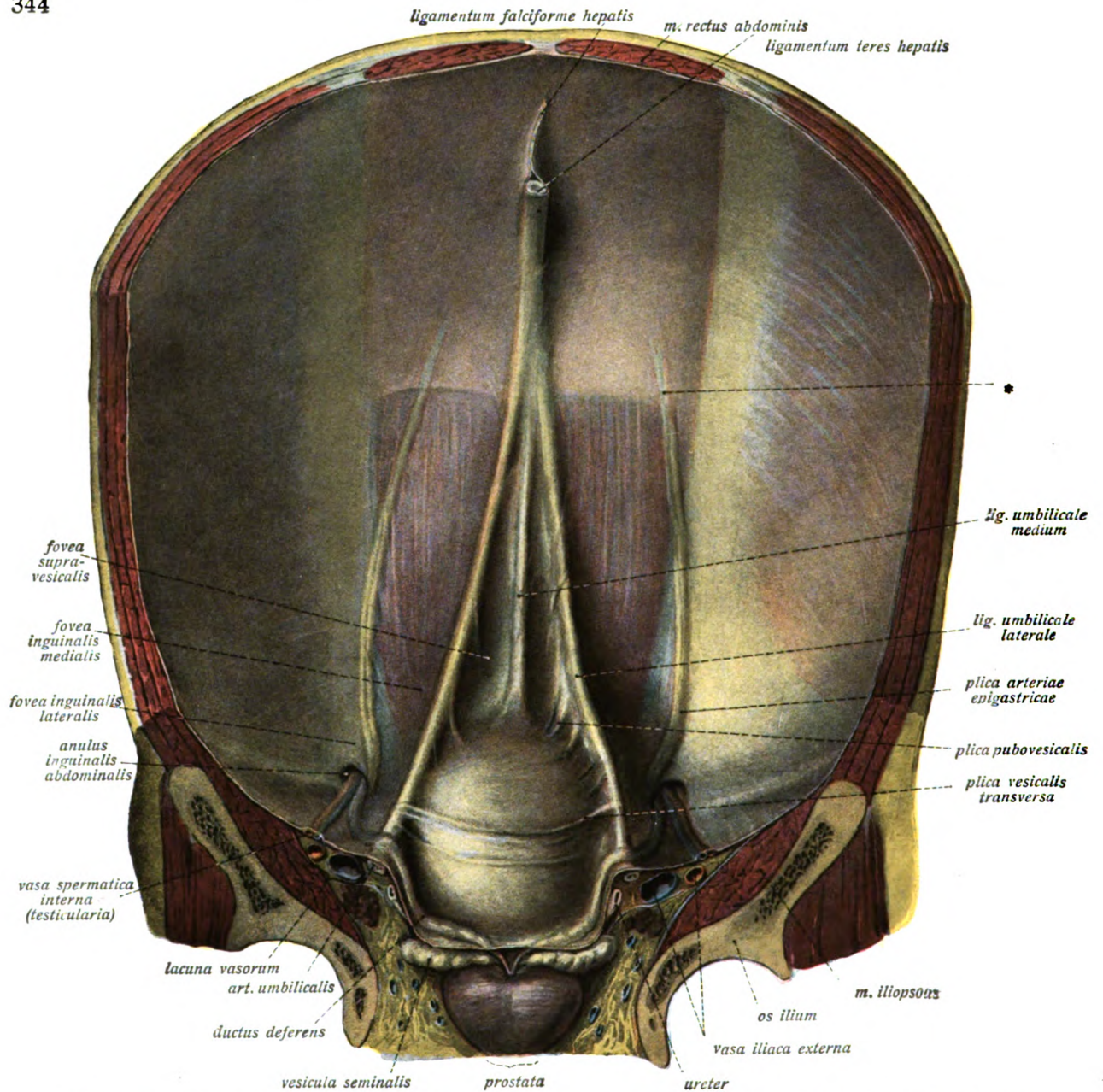


Fig. 417. Vordere Bauchwand des Neugeborenen mit der Harnblase in der Ansicht von hinten.

Die vordere Bauchwand ist durch einen Frontalschnitt durch die Gegend der Hüftgelenkspfannen und durch einen Horizontalschnitt oberhalb des Nabels abgelöst. \* = Stelle der linea semicircularis Douglasii.

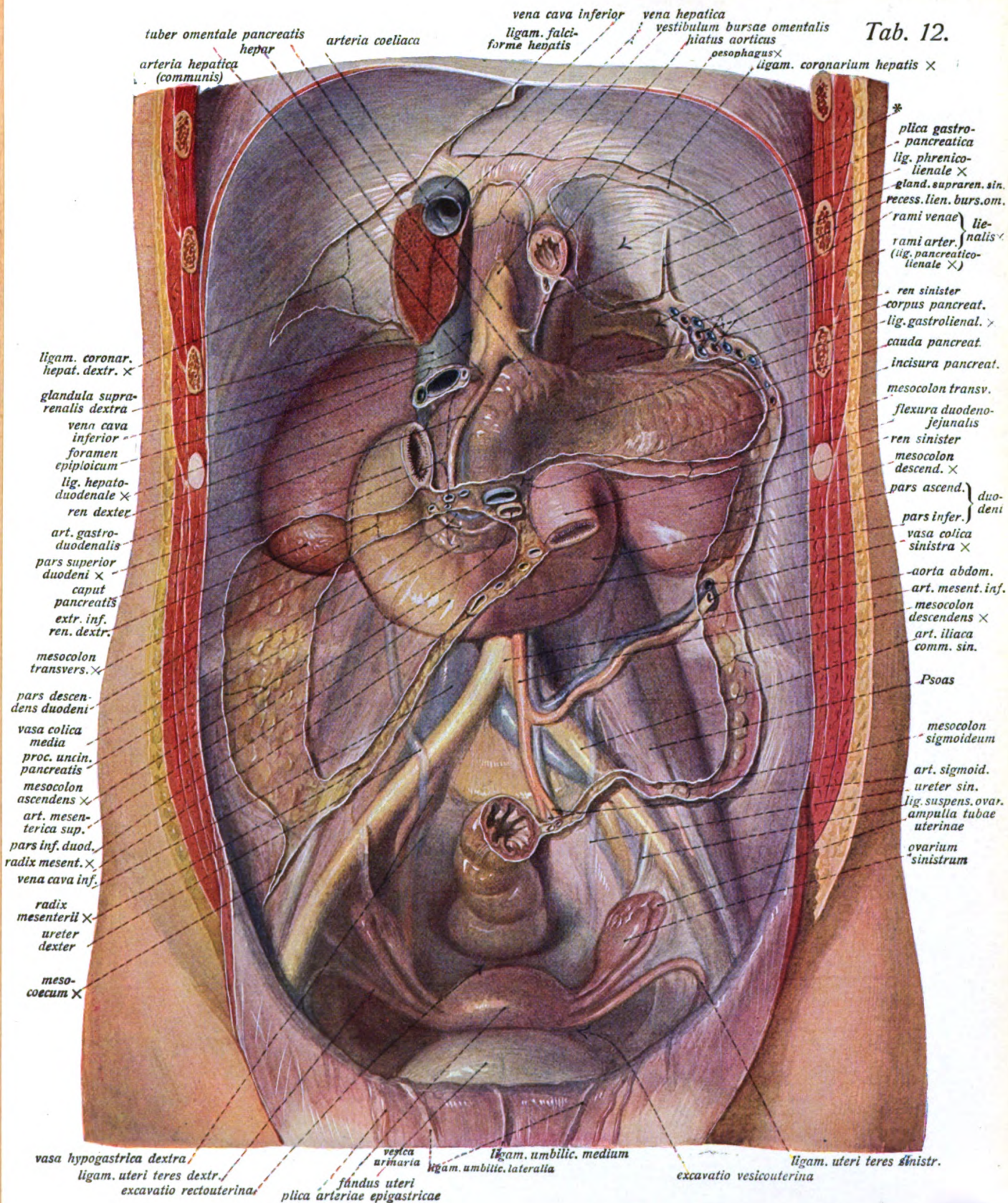
### Tafel 12.

Situsbild des Duodenum und Pancreas sowie der Mesenterialwurzeln an der hintern Bauchwand einer fettarmen weiblichen Leiche. ( $\frac{2}{5}$ ).

Präparation ähnlich wie bei Tafel 11 nur ist die Milz entfernt, das parietale Bauchfell aber nicht weggenommen. Der Darm ist bis auf das Duodenum entfernt, ebenso das Gekröse hart an seiner Ursprungsstelle von der hintern Bauchwand abgeschnitten. \* = Milzloge.



Tab. 12.







# Lagerung der Bauch- eingeweide, Bauchfell. (Forts.)

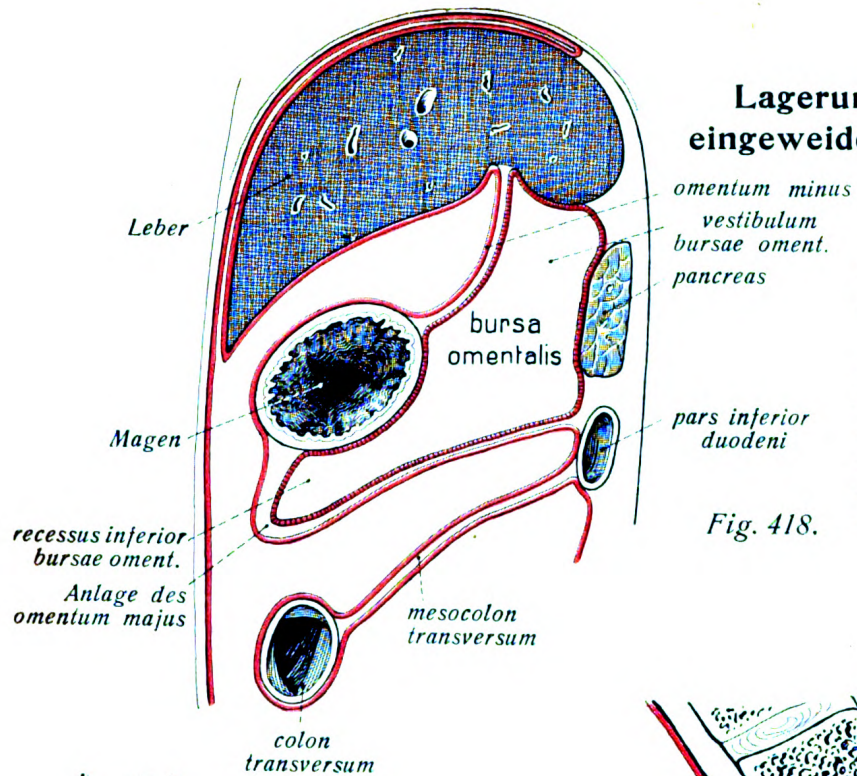


Fig. 418.

Schema der Bildung  
des omentum majus  
beim Embryo.

Medianschnitt. Bauchfell  
rot, das der bursa oment-  
alis gestrichelt. Das meso-  
colon transversum ist noch  
nicht mit dem grossen Netz  
verwachsen (cf. Fig. 413).

Fig. 418.

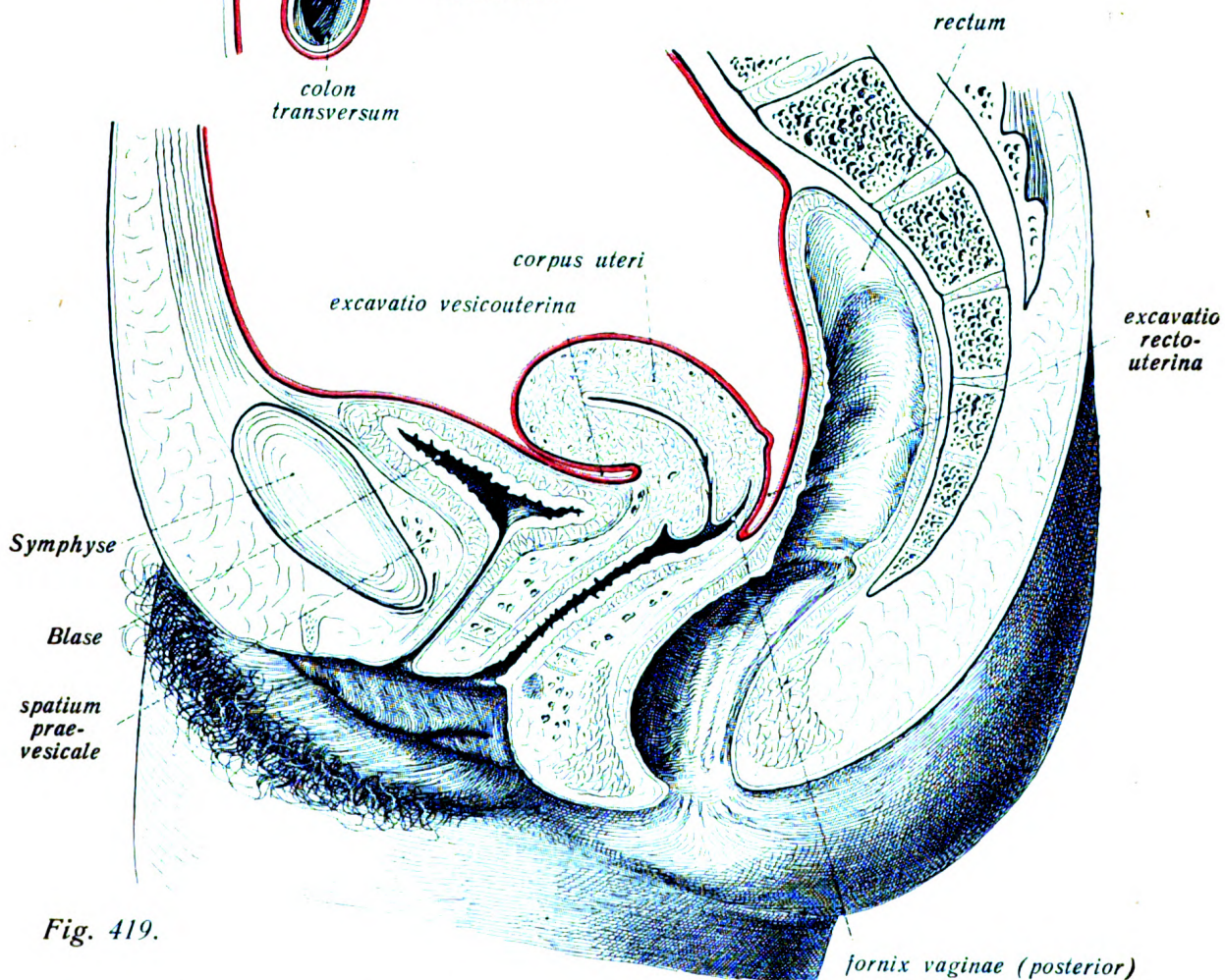


Fig. 419.

Fig. 419. Verhalten des Bauchfells im weiblichen Becken. Medianschnitt. Bauchfell rot.

## Respirationsapparat, *apparatus respiratorius*, äussere Nase.

### Die äussere Nase, *nasus externus*.

Das Skelet der äusseren Nase wird nur z. T. von Knochen gebildet, im übrigen durch Knorpel, *cartilagine nas*. Diese zerfallen in einen unpaaren Knorpel, der die Fortsetzung der knöchernen Nasenscheidewand nach vorn bildet, und eine Anzahl paariger Knorpel.

Die *cartilago septi nasi* stellt eine ziemlich dünne, selten ebene, unregelmässig vierseitige Knorpelplatte dar, die an dem vordern Rand des vomer und dem unteren Rand der lamina perpendicularis ossis ethmoidalis und dem oberen Rand der crista nasalis ansetzt und etwas oberhalb der Nasenlöcher mit freiem Rande endet, so dass eine kurze Strecke eine häutige Nasenscheidewand besteht, *septum nasi membranaceum s. mobile*. Das knorpelige Nasenseptum ist meist nach der einen oder andern Seite hin verbogen.

Die *cartilagine nas laterales* erscheinen als direkte Fortsetzungen der cartilago septi, indem sie am Nasenrücken nicht nur untereinander, sondern auch mit dem oberen Abschnitt des vorderen Randes des Scheidewandknorpels verschmelzen. Sie sind platt dreiseitig und bilden den vordern, untern Teil der seitlichen Nasenwand, an den vordern Rändern der ossa nasi und processus frontales der Oberkiefer bindegewebig befestigt. Nach unten zu reichen sie nicht bis an die Nasenlöcher, sondern verbinden sich mit den Knorpeln der Nasenflügel.

Die (grösseren) Nasenflügelknorpel, *cartilagine alares majores*, liegen in Gestalt zweier stark gekrümmter Knorpelstreifen um das vordere Ende der Nasenlöcher; sie zerfallen jeder in ein *crus mediale* und ein *crus laterale*. Ersteres ist viel kleiner als das laterale und legt sich an das untere Ende der cartilago septi an (innerhalb des septum mobile gelegen). Das viel stärkere crus laterale bildet den vorderen Teil des Nasenflügels. An der Nasenspitze gehen beide crura ineinander über.

Die kleineren Nasenflügelknorpel, *cartilagine alares minores*, sind ziemlich konstante, kleine Knorpelstücke, die — oft in Mehrzahl vorhanden — oberhalb und hinter dem hintern Ende des crus laterale liegen.

Die *cartilagine sesamoideae nasi* sind häufig vorkommende, aber nicht konstante Knorpelchen am Nasenrücken, welche zwischen beiden cartilagine alares majores und dem untern Rande der cartilago lateralis gelegen sind.

Fig. 420. Skelet der äusseren Nase in der Ansicht von rechts und etwas von vorn. (<sup>9</sup>/<sub>10</sub>)  
 Fig. 421. Skelet der äusseren Nase in der Ansicht von vorn. (<sup>9</sup>/<sub>10</sub>)  
 Fig. 422. Skelet der äusseren Nase in der Ansicht von unten. (<sup>9</sup>/<sub>10</sub>)

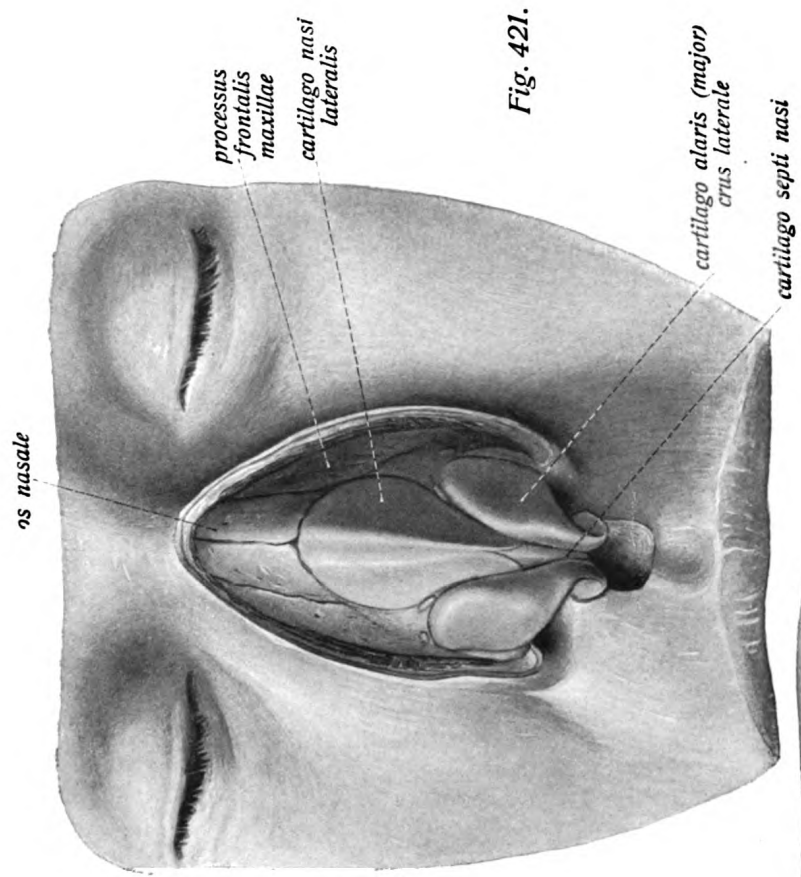


Fig. 421.

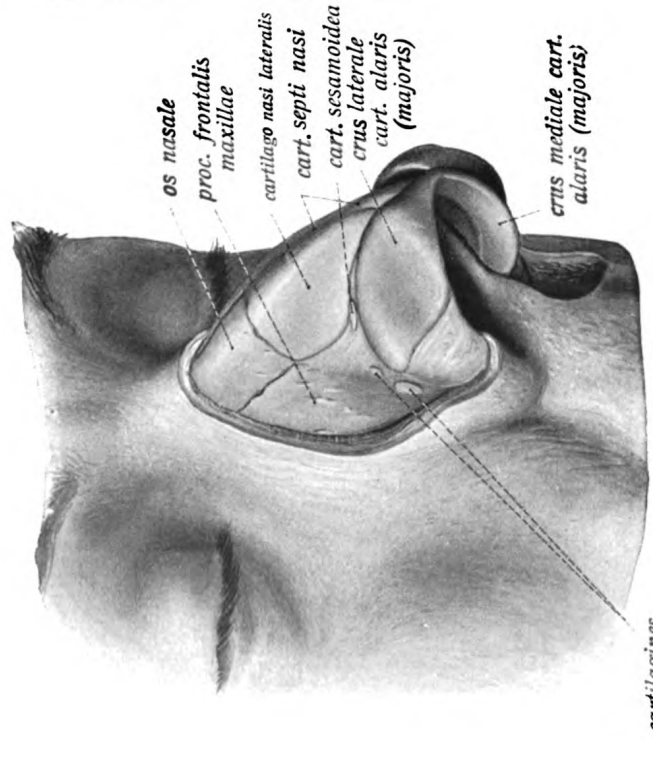


Fig. 420.

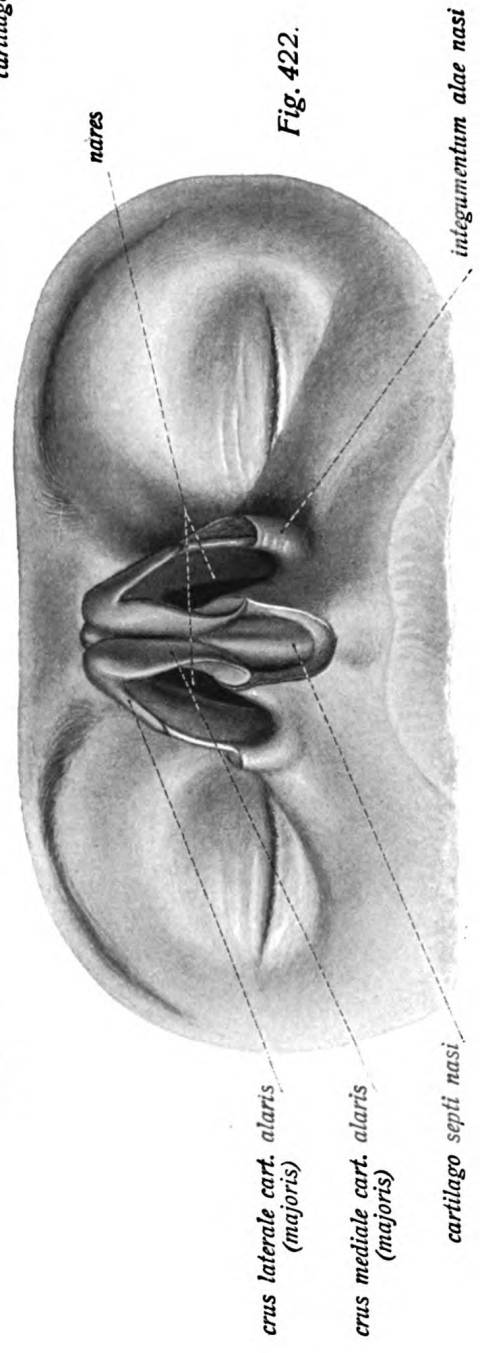
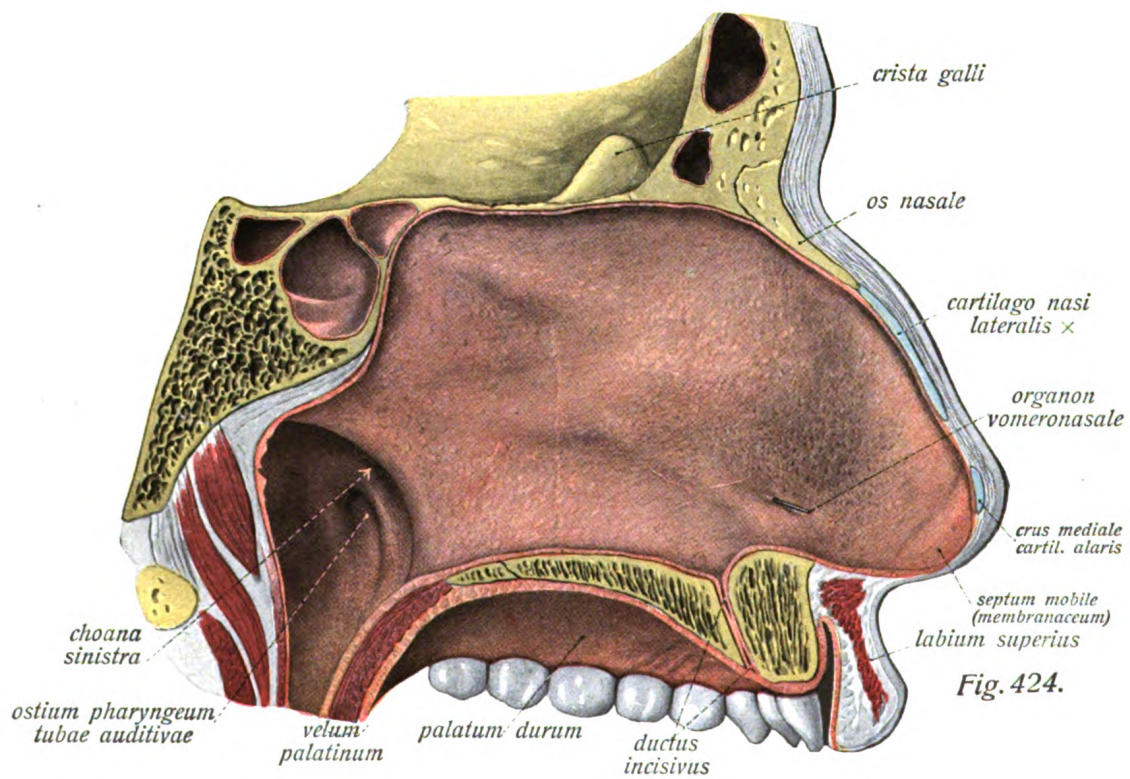
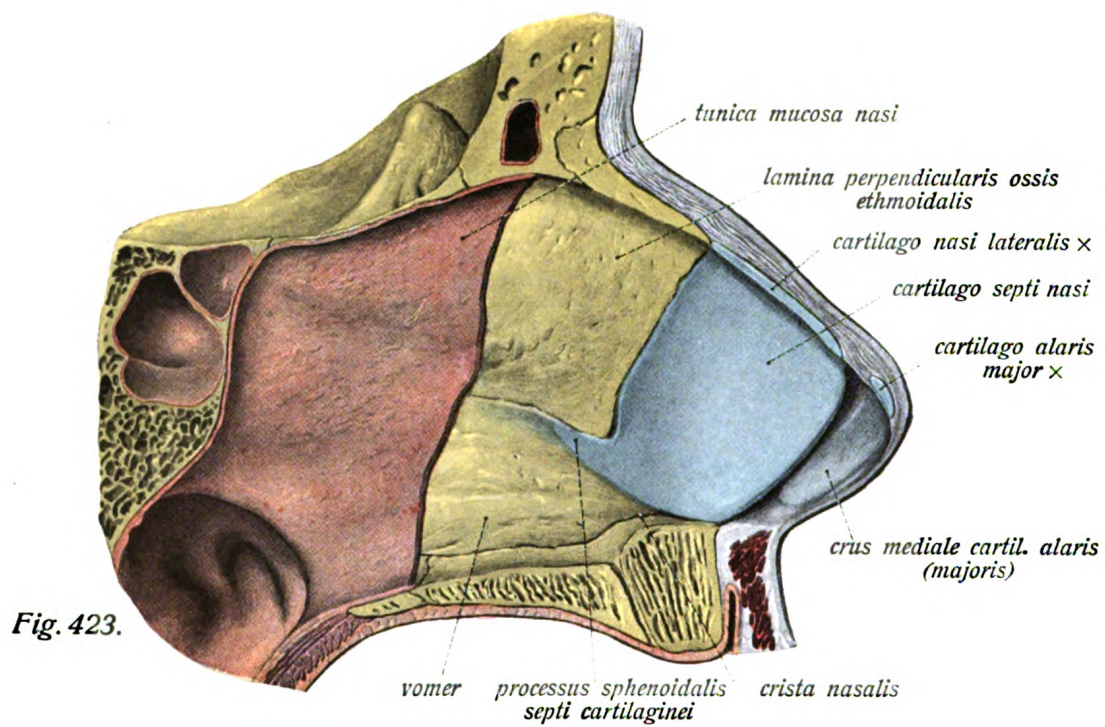


Fig. 422.





## Respirationsapparat, äussere Nase (Forts.), Nasenhöhle.

Fig. 423. Nasenscheidewand von der rechten Seite gesehen; in der vorderen Hälfte ist die Schleimhaut entfernt. (9/10)

Fig. 424. Mediale Wand der Nasenhöhle (Nasenscheidewand) von der rechten Seite gesehen mit dem Schleimhautüberzug. (9/10) Sonde im Blindsackrudiment des Jacobson'schen Organs.

### Die Nasenhöhle, *cavum nasi*.

Die Nasenhöhle; *cavum nasi*, wiederholt bis auf geringe Abweichungen den Raum der knöchernen Nasenhöhle. Nur der vordere, untere Abschnitt ist knorplig oder häutig begrenzt. Die Nasenhöhle zerfällt durch die Nasenscheidewand, *septum nasi*, in zwei symmetrische Hälften. Jede dieser hat eine vordere Ausmündung in Gestalt des Nasenloches, eine hintere, in den pharynx führende in Gestalt der *choana*. Man unterscheidet an der Nasenhöhle den Vorhof, *vestibulum nasi*, von der eigentlichen Nasenhöhle. Ersterer, der Uebergangsbezirk der äusseren Haut in die Schleimhaut der Nase, grenzt sich durch eine Leiste, *limen nasi*, gegen letztere ab. Nahe der Nasenöffnung finden sich im Bereiche des vestibulum stärkere Körperhaare, *vibrissae*.

An der eigentlichen Nasenhöhle werden dieselben Wände, Begrenzungen etc. unterschieden wie an der knöchernen Höhle.

Man bezeichnet daher an der mit Schleimhaut ausgekleideten Nasenhöhle zunächst die drei Nasenmuscheln, *conchae nasales* (*superior*, *media* und *inferior*), welche im Innern die gleichnamigen Knochenteile enthalten, wegen der diese überziehenden, dicken Schleimhaut aber wesentlich abgerundeter erscheinen als die knöchernen Muscheln. Durch die von der lateralen Nasenwand vorspringenden Nasenmuscheln zerfällt der laterale Teil der Nasenhöhle in die drei *meatus nasi*, *superior*, *medius* und *inferior*, und in den zwischen den freien Rändern der Muscheln und dem septum nasi gelegenen *meatus nasi communis*.

Der *agger nasi*, eine leichte, wallartige Erhebung, die vom vorderen Ende der mittleren Muschel in der Richtung gegen die Nasenspitze zieht, begrenzt mit dem vordern Ende der unteren Muschel den als *atrium meatus medii* bezeichneten Raum. Oberhalb der oberen Muschel entsteht ein Blindsack, der nicht bis zur Choane durchläuft, sondern hinten an der Vorderfläche des Keilbeinkörpers endet, *recessus sphenoethmoidalis*. Mitunter liegt hier eine kurze oberste Muschel, *concha nasalis suprema*.

Da die Muscheln nicht die Länge der ganzen Nasenhöhle besitzen, namentlich die beiden oberen nicht, so entsteht vor den vordern und hinter den hintern Enden der Muscheln je ein gemeinsamer Raum; der vordere wird auch als *carina nasi* bezeichnet, der hintere, dicht vor den Seitenrändern der Choane gelegene, *meatus nasopharyngeus*, ist eine flache Furche.

### Respirationsapparat, Nasenhöhle (Forts.), Nebenhöhlen der Nase.

Fig. 425. Laterale Wand der Nasenhöhle von links gesehen. (9/10)

Fig. 426. Laterale Wand der Nasenhöhle von links; untere und mittlere Muschel sind nahe ihrer Basis abgeschnitten. (9/10)

Von den Oeffnungen der knöchernen Nasenhöhle sind eine Reihe, welche nur zum Durchtritt von Nerven und Gefässen dienen, durch die Schleimhaut der Nasenhöhle verschlossen, so das foramen sphenopalatinum. Dagegen sind andere, wie namentlich die Einmündungsstellen der Nebenhöhlen der Nase, auch in der mit Schleimhaut ausgekleideten Höhle sichtbar. Im meatus nasi inferior, in einer Entfernung von 2—3 cm vom Nasenloch und von ca. 1 cm vom Boden der Nasenhöhle, findet sich die untere Ausmündung des Tränennasenganges, *ductus nasolacimalis*, in Gestalt eines schmalen Schlitzes, von einer Schleimhautfalte, *plica lacimalis* (Hasneri), z. T. überlagert. Ferner findet sich am Boden der Nasenhöhle beiderseits neben dem vordern Ende der crista nasalis eine Ausstülpung der Schleimhaut in den canalis incisivus, den Rest des meist grossenteils obliterierten *ductus incisivus* bildend.

Hinter der Eingangsöffnung in den ductus incisivus und oberhalb dieser findet sich in der Schleimhaut des septum nasi nicht selten ein feiner, horizontaler Schleimhautgang, das Rudiment des Jacobson'schen Organs, *organon vomeronasale* (Jacobsoni). Beim Neugeborenen ist er meist noch gut entwickelt und wird vom nervus olfactorius versorgt.

#### Die Nebenhöhlen der Nase, *sinus paranasales*.

Die Nebenhöhlen der Nase, *sinus paranasales*, zerfallen in die kleineren *cellulae ethmoidales* und die grösseren *sinus frontales*, *sphenoidales* und *maxillares*. Sie verhalten sich ebenso wie die knöchernen Höhlen und sind von einer sehr dünnen, blassgefärbten, drüsenarmen Schleimhaut ausgekleidet, die mit dem dünnen, diese Höhlen auskleidenden Periost verwachsen ist und sich leicht vom Knochen löst. Ihre Mündungen in die Haupthöhle der Nase entsprechen den knöchernen *aperturae*, sind aber häufig durch vorspringende Schleimhautränder wesentlich kleiner als die Oeffnungen des Skelets. Besonders eng und spaltförmig wird dadurch die konstante Ausmündung des sinus maxillaris im *infundibulum ethmoidale*; so nennt man die unterhalb der bulla ethmoidalis gelegene, bogenförmige Rinne. Man nennt diese konstante Oeffnung auch den *hiatus semilunaris*; recht häufig findet sich jedoch noch eine weitere, mehr rundliche Oeffnung neben dem processus maxillaris conchae nasalis inferioris. Die *apertura sinus sphenoidalis* liegt im recessus sphenoeithmoidalis. Im obern Nasengang münden die hintern Siebbeinzellen aus, im mittleren Gange erstlich die Stirnhöhle und zwar im Bereiche des vordern Teils des infundibulum, zweitens die Kieferhöhle (s. ob.) und drittens die vorderen Siebbeinzellen; die Mündung der letzteren liegt oberhalb der bulla.



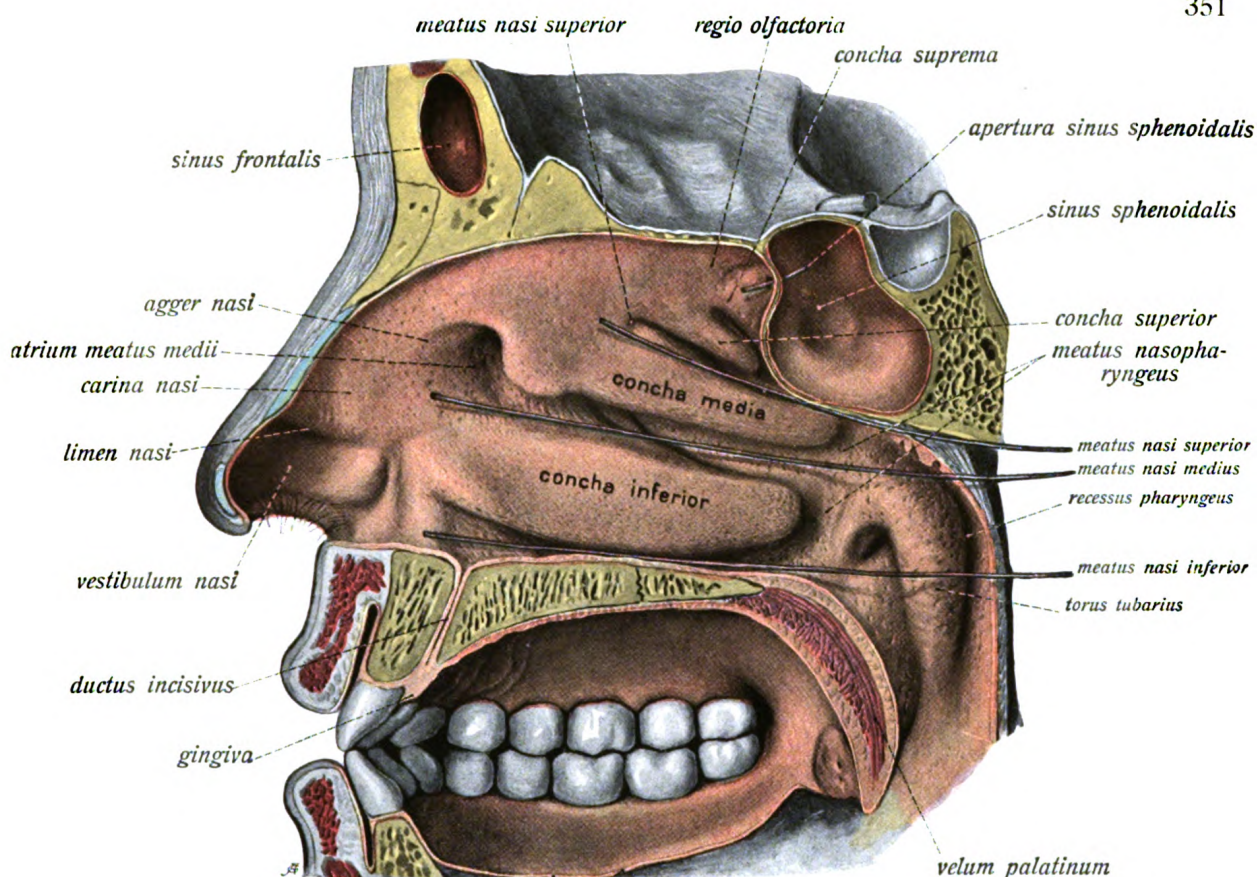


Fig. 425.

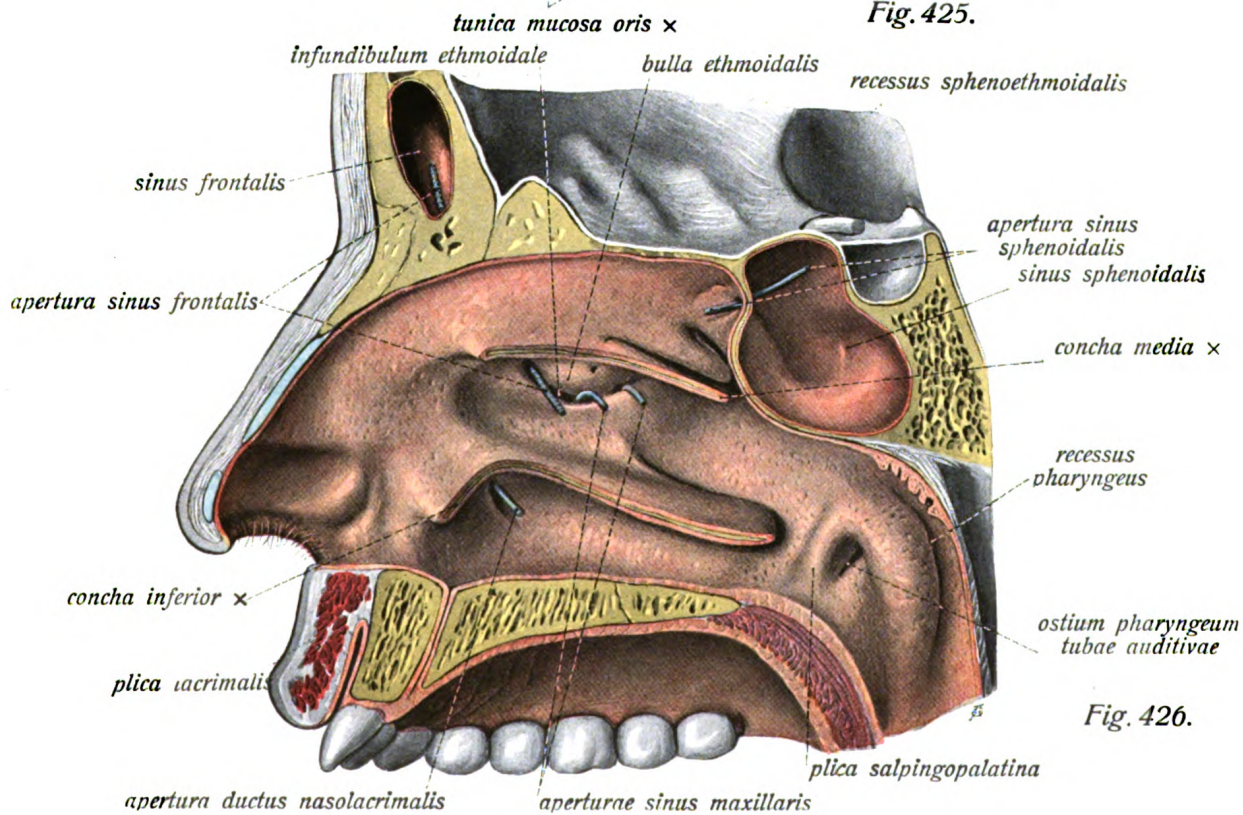
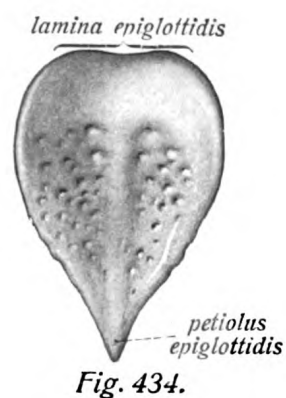
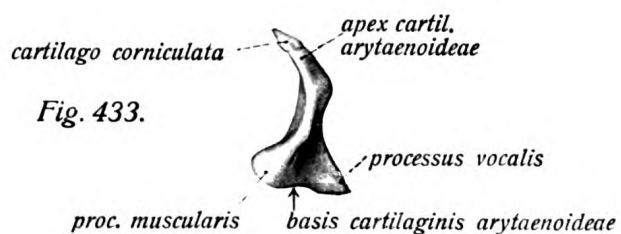
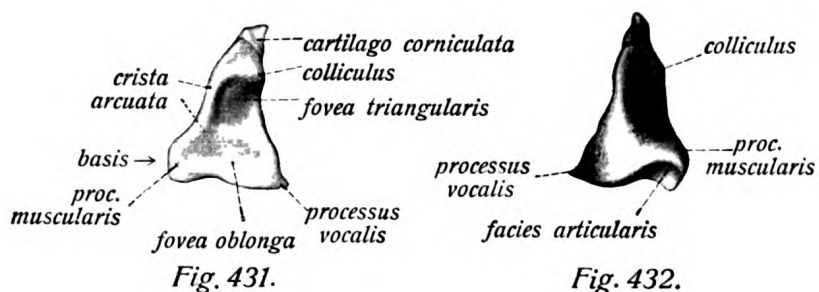
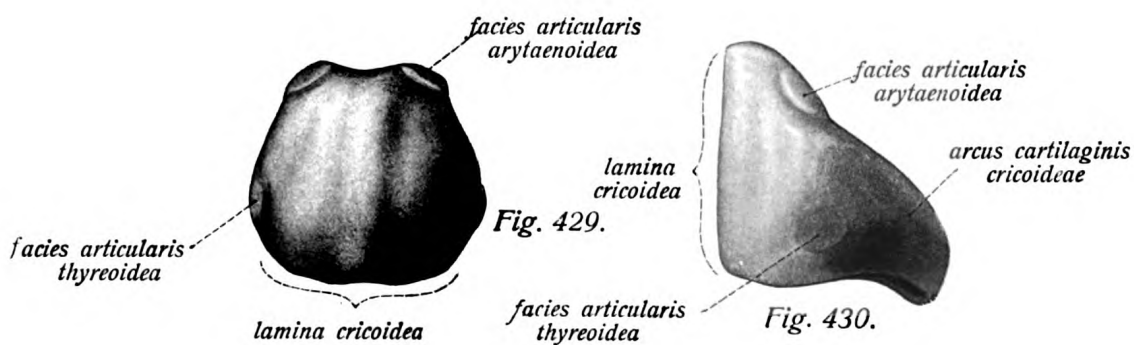
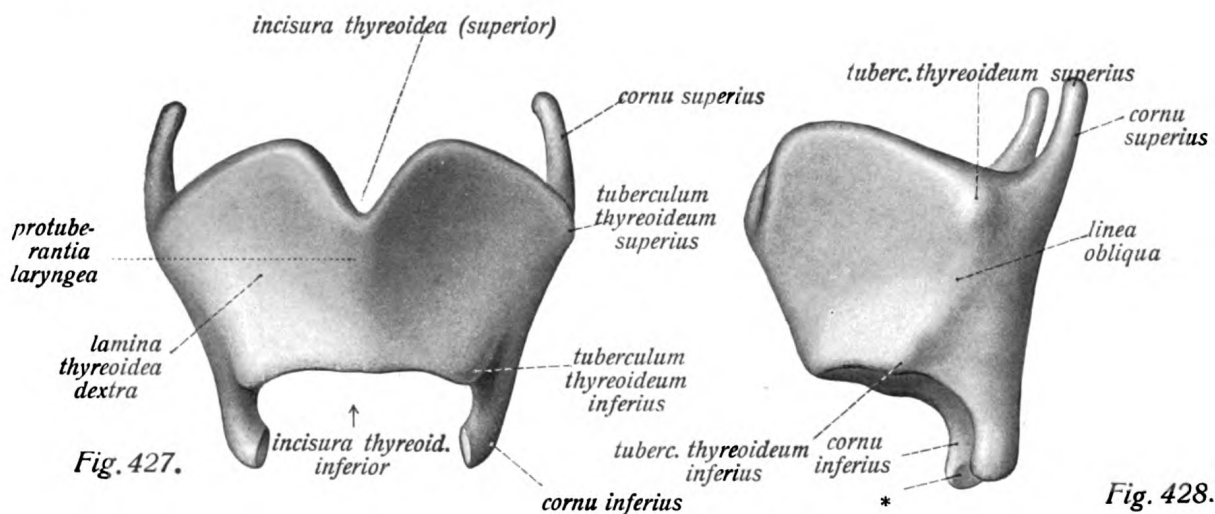


Fig. 426.



## Respirationsapparat, Kehlkopf, *larynx*.

- Fig. 427. Schildknorpel von vorn gesehen. ( $\frac{1}{1}$ )  
 Fig. 428. Schildknorpel von der linken Seite gesehen. ( $\frac{1}{1}$ ) \* = Gelenkfläche am cornu inferius.  
 Fig. 429. Ringknorpel von hinten gesehen. ( $\frac{1}{1}$ )  
 Fig. 430. Ringknorpel von der Seite gesehen. ( $\frac{1}{1}$ )  
 Fig. 431. Linker Giessbeckenknorpel (mit cartilago corniculata) von vorn und von der lateralen Seite gesehen. ( $\frac{1}{1}$ )  
 Fig. 432. Linker Giessbeckenknorpel von medial und von hinten gesehen. ( $\frac{1}{1}$ )  
 Fig. 433. Linker Giessbeckenknorpel von lateral gesehen. ( $\frac{1}{1}$ )  
 Fig. 434. Epiglottisknorpel von hinten gesehen. ( $\frac{1}{1}$ )

## Der Kehlkopf, *larynx*.

### Die Kehlkopfknoorpel, *cartilagine laryngis*.

Der Schildknorpel, *cartilago thyreoidea*, weitaus der grösste aller Kehlkopfknoorpel, besteht aus zwei symmetrischen, bis auf eine relativ schmale Verbindungsstelle getrennten, etwa vierseitigen Platten, *laminae cartilaginiae thyreoideae (dextra et sinistra)*, welche die Vorder- und Seitenwände des Kehlkopfes bilden. Sie treffen mit ihren vorderen Rändern in der Mittellinie im rechten (beim Weibe stumpfen) Winkel in der *protuberantia laryngea* zusammen. Oberhalb und unterhalb der Vereinigungsstelle trennt beide Platten je ein Einschnitt, die starke *incisura thyreoidea superior* und die kaum ange deutete *inferior*. Die hintern Ränder der Schildknorpelplatten dagegen sind weit voneinander entfernt. Der fast gerade, hintere Rand jeder Schildknorpelplatte zeigt an seinem obern wie untern Ende je einen hornartigen Fortsatz. Die oberen, *cornua thyreoidea superiora*, sind länger als die unteren und etwas nach innen und hinten gebogen, die unteren, *cornua thyreoidea inferiora*, kürzer und nach vorn und innen gebogen. Letztere tragen je eine Gelenkfläche für die Verbindung mit dem Ringknorpel.

Die innere Fläche des Schildknorpels ist glatt; die äussere dagegen zeigt jederseits nahe dem hinteren Teil des oberen Randes einen Höcker, das *tuberculum thyreoideum superius*. Von diesem geht eine flache Kante, die *linea obliqua*, in der Richtung nach unten und medial gegen das am untern Rande gelegene *tuberculum thyreoideum inferius*. Ausserdem kommen noch flache Muskelleisten vor.

Der Ringknorpel, *cartilago cricoidea*, hat die Gestalt eines Siegelrings, dessen Platte nach hinten, dessen Bogen, *arcus cartilaginis cricoideae*, nach vorn gerichtet ist. Letzterer trägt auf seiner äusseren Fläche jederseits nahe seiner Uebergangsstelle in die Platte eine Gelenkfläche für die untern Hörner des Schildknorpels, *facies articularis thyreoidea*. Die Platte des Ringknorpels, *lamina cartilaginiae cricoideae*, ist gut dreimal so hoch wie der Bogen. Sie trägt eine schwache, mediane Leiste an der Hinterfläche. Am obern Rande der Ringknorpelplatte liegen die beiden für die Verbindung mit den Giessbeckenknorpeln bestimmten Gelenkflächen, *facies articulares arytaenoideae*. Der untere Rand der Ringknorpelplatte liegt ungefähr in der gleichen Höhe wie der untere Rand des Bogens, so dass der obere Rand des letzteren an der Grenze gegen die Platte plötzlich ansteigt.

Der Knorpel des Kehldeckels, *cartilago epiglottica*, stellt eine dünne, nahezu sattelförmig gekrümmte, vorn und oben konvexe, nach hinten und unten konkave Platte dar, welche nach unten zu in Gestalt einer kielartigen Leiste, *carina*, in den Stiel, *petiolus epiglottidis*, ausläuft. Dieser ist in der *incisura thyreoidea superior* befestigt.

Die Giessbeckenknorpel, *cartilagine arytaenoideae*, sind etwa pyramidenförmig gestaltete Knorpel, an denen die konkave, dem obern Rande des Ringknorpels aufsitzende *basis* und das obere, quer abgeschnittene Ende als *apex* unterschieden werden. Ferner benennt man am Giessbeckenknorpel drei Flächen, eine mediale, eine laterale und eine hintere. Die basis des Giessbeckenknorpels zeigt an ihrer Unterfläche die für die Verbindung mit dem Ringknorpel bestimmte, konkave *facies articularis*, ferner den nach vorn gerichteten, spitzen und abgeplatteten *processus vocalis* und den an der lateralen Ecke gelegenen, stumpfen, abgerundeten *processus muscularis*. Die laterale Fläche des Giessbeckenknorpels zeigt eine horizontale Leiste, *crista arcuata*, welche zwei Gruben voneinander trennt, die obere *fovea triangularis* und die untere *fovea oblonga*. Oberhalb der ersteren findet sich nahe der vorderen Kante ein rundliches Höckerchen, *colliculus* genannt. Die hintere Fläche des Giessbeckenknorpels ist konkav, die mediale nahezu eben und der Medianebene zugekehrt.



## Respirationsapparat, Kehlkopf. (Forts.)

Die Santorini'schen Knorpel, *cartilagine corniculatae*, sitzen den Spitzen der Giessbeckenknorpel als kleine, medianwärts und nach hinten gerichtete, pyramidenförmige Körper auf, gleichsam die fehlenden Spitzen der Arytänoidknorpel ergänzend. Inkonstant finden sich in den plicae aryepiglotticae nahe dem vordern Rande des Giessbeckenknorpels die paarigen, stäbchenförmigen Wrisberg'schen Knorpel, *cartilagine cuneiformes*. Die *cartilagine triticeae* sind durchaus inkonstante, meist runde Knorpelchen in den ligamenta hyothyreoidea lateralia.

### Die Gelenke und Bänder des Kehlkopfs, *articulationes et ligamenta laryngis*.

Die paarige *articulatio cricothyreoidea* ist das Gelenk zwischen den untern Schildknorpelhörnern und dem Bogen des Ringknorpels, welches von der *capsula articularis cricothyreoidea* umschlossen wird. Als Verstärkungsbänder dienen die *ligamenta ceratocricioidea lateralia*, *ceratocricioidea posteriora* und *ligamenta ceratocricioidea anteriora*.

Die gleichfalls paarige *articulatio cricoarytaenoidea* ist das Gelenk zwischen den facies articulares der Basen der Giessbeckenknorpel und den facies articulares arytaenoideae des Ringknorpels. Die dünnen *capsulae articulares cricoarytaenoideae* werden hinten durch das starke *ligamentum cricoarytaenoideum posterius* verstärkt.

Als *synchondrosis arycorniculata* wird die Verbindung des Santorini'schen Knorpels mit dem Giessbeckenknorpel bezeichnet. Den oberen Rand des Schildknorpels befestigt am Zungenbein die schlaffe, elastische *membrana hyothyreoidea*, welche an den untern Rand des Zungenbeinkörpers und zu den grossen Hörnern geht. Sie zeigt konstant eine runde Oeffnung zum Durchtritt des nervus laryngeus superior. Ihr mittlerer, festerer Abschnitt wird als *ligamentum hyothyreoideum medium* bezeichnet, die seitlichen Züge, welche die Spitzen der grossen Zungenbeinhörner und obern Schildknorpelhörner verbinden, heissen *ligamenta hyothyreoidea lateralia*. Letztere enthalten häufig die cartilago triticea. Auf der membrana hyothyreoidea findet sich konstant jederseits dicht neben dem ligamentum hyothyreoideum medium ein platter, lappiger Fettkörper. Ferner verbindet sich der Ringknorpel mit der angrenzenden Luftröhre durch das *ligamentum cricotracheale*.

Von den Spitzen der Santorini'schen Knorpel zieht jederseits ein elastischer Faserstreifen, *ligamentum jugale corniculopharyngeum*, nach abwärts und verbindet sich mit dem der andern Seite am obern Rande der Ringknorpelplatte; er hat Beziehungen zur aufliegenden Pharynxschleimhaut und wird daher auch als *ligamentum cricopharyngeum* bezeichnet.

Fig. 435. Bänder und Gelenke des Kehlkopfs in der Ansicht von vorn. \* = Lücke der membrana hyothyreoidea für den nervus laryngeus superior. ( $\frac{1}{4}$ )

Fig. 436. Bänder und Gelenke des Kehlkopfs in der Ansicht von hinten. ( $\frac{1}{4}$ ) Hyalinknorpel sind blau, elastische Knorpel und Zungenbein gelb gefärbt. Das rechte Cricoaerytaenoidgelenk ist eröffnet.

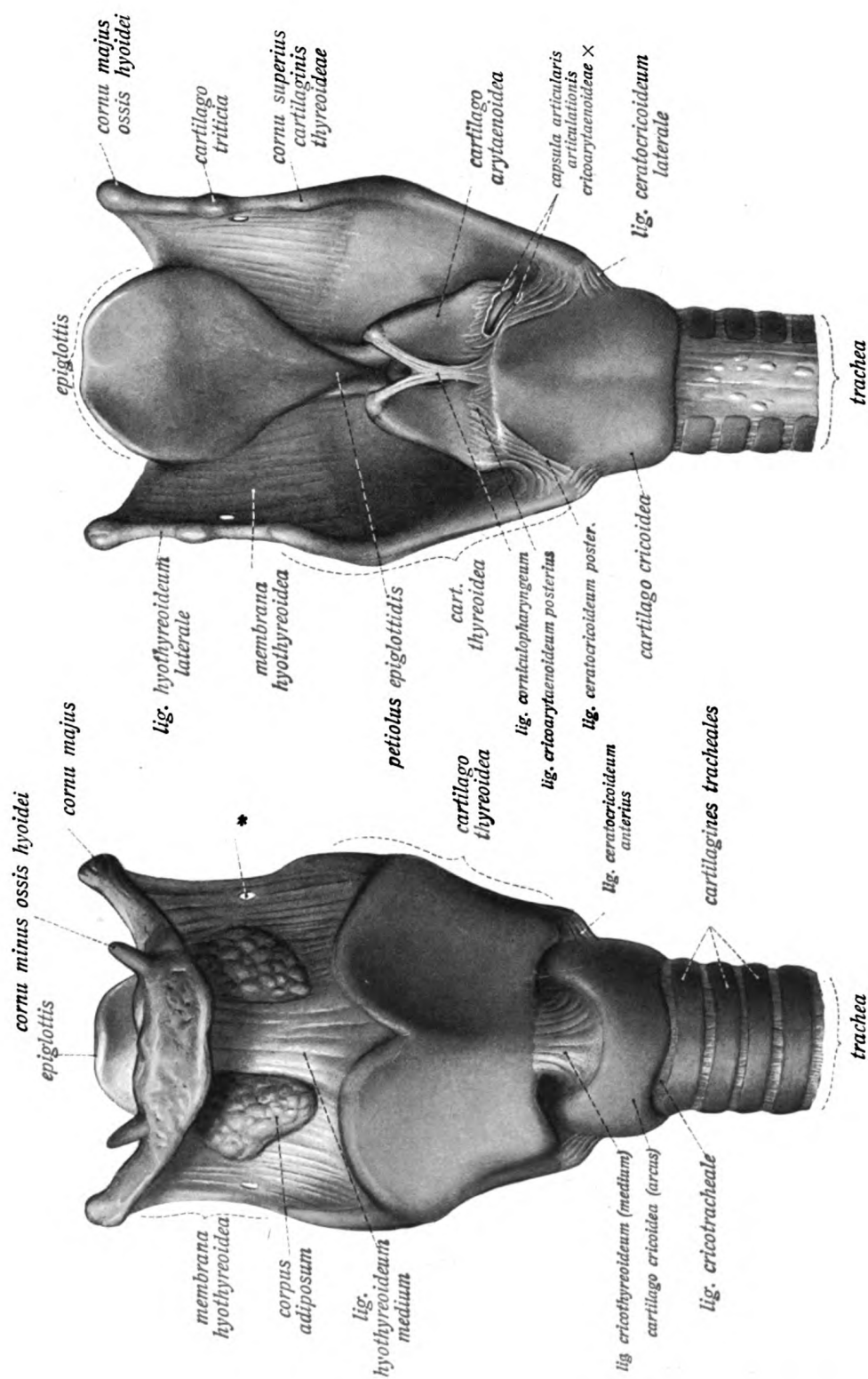


Fig. 436.

Fig. 435.

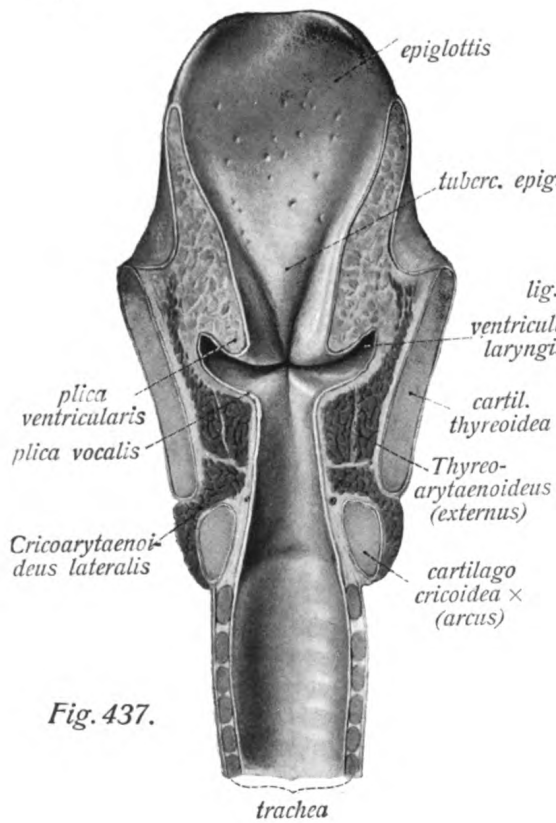


Fig. 437.

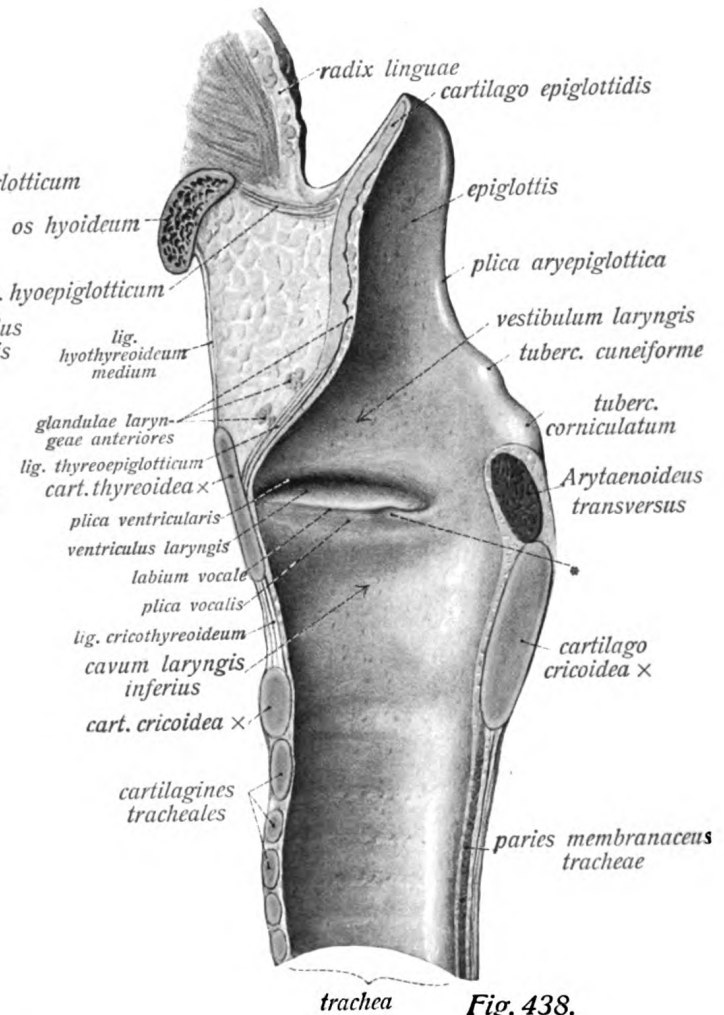


Fig. 438.

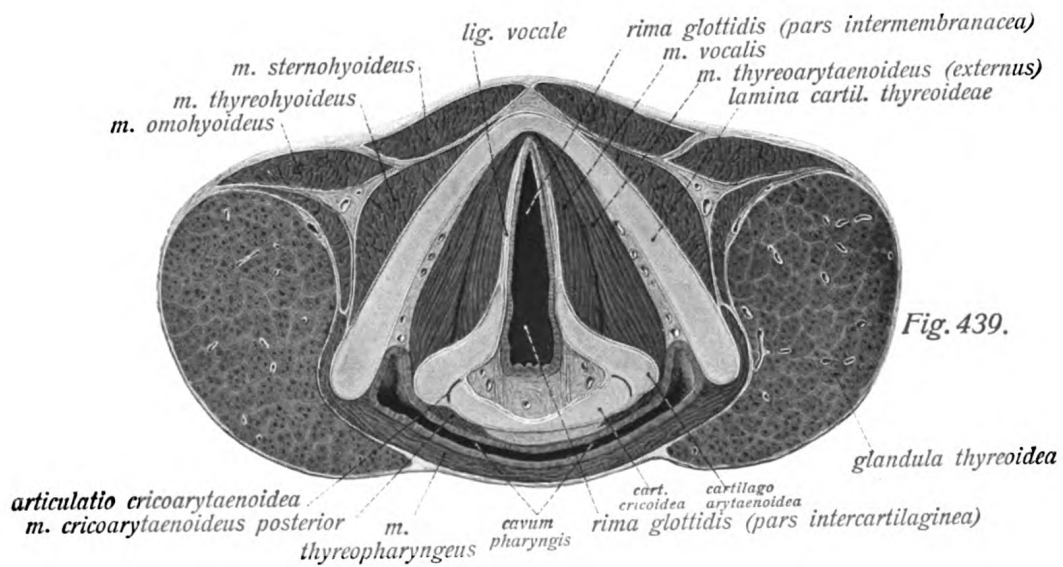


Fig. 439.



### Respirationsapparat, Kehlkopf. (Forts.)

Fig. 437. Kehlkopf frontal durchschnitten. ( $\frac{1}{1}$ )

Fig. 438. Kehlkopf sagittal durchschnitten. ( $\frac{1}{1}$ ) \* = Stelle der Spitze des *processus vocalis*.

Fig. 439. Kehlkopf und Schilddrüse horizontal in der Gegend der glottis durchschnitten. ( $\frac{1}{1}$ )

Die epiglottis befestigt sich durch das breite *ligamentum hyoepiglotticum* mit ihrer vordern Fläche am obern Rand des Körpers des Zungenbeins, der petiolus durch das *ligamentum thyroepiglotticum* in der incisura thyreoidea superior.

An der Aussenfläche des Kehlkopfes findet sich noch das *ligamentum cricothyreoideum* (medium s. conicum), ein kräftiges, elastisches Band, welches die incisura thyreoidea inferior mit dem obern Rand des Ringknorpelbogens verbindet; es stellt das vordere Ende des *conus elasticus* dar.

Dieser ist ein besonders stark entwickelter Abschnitt der dicht unter der Schleimhaut gelegenen, elastischen Innenhaut des Kehlkopfes, *membrana elastica laryngis*, und bildet ein kurzes, konisches Rohr. Er beginnt am obern Rand des Ringknorpels und reicht, nach oben sich verengend, bis zu den Giessbeckenknorpeln und den Stimmbändern, *ligamenta vocalia*, welche paarige, verdickte Streifen des *conus elasticus* sind und dicht nebeneinander an der Innenfläche des Winkels des Schildknorpels entspringen. Sie laufen (bei Phonationsstellung der glottis) parallel, dicht neben der Medianebene zum *processus vocalis* des Arytänoidknorpels; oberhalb der Stimmbänder und ihnen parallel liegen die schwächeren, weniger elastischen, aber etwas längeren Taschenbänder, *ligamenta ventricularia*.

#### Die Schleimhaut des Kehlkopfes, *tunica mucosa laryngis*.

Die Schleimhaut des Kehlkopfes folgt im grossen und ganzen bis auf einzelne Faltungen dem Relief des Kehlkopfskelets und des *conus elasticus*. An der Zunge ist die epiglottis durch die *plicae glossoepiglotticae mediana* und *lateralis* befestigt. Zwischen ihnen liegt jederseits eine Vertiefung, die *vallecula epiglottica*. Von der epiglottis aus gehen ferner zwei Falten, die *plicae aryepiglotticae*, zur Spitze des Giessbeckenknorpels und der cartilago corniculata, welche den Kehlkopfseingang, *aditus laryngis*, von der Seite begrenzen und ausser Muskelfasern (Aryepiglotticus) meist die Wrisberg'schen Knorpel enthalten. Hier finden sich zwei knötchenförmige Erhebungen der Schleimhaut: das *tuberculum corniculatum* entspricht der Stelle der Santorin'schen Knorpel, das *tuberculum cuneatum* der der Wrisberg'schen Knorpel.

### Respirationsapparat, Kehlkopf. (Forts.)

Vom Kehlkopfeingang aus erstreckt sich die Schleimhaut ins Innere des Organs, die eigentliche Kehlkopfhöhle, *cavum laryngis*, auskleidend. Die wichtigste Bildung, welche die Kehlkopfschleimhaut hier erzeugt, ist der Stimmapparat, *glottis*. Er liegt etwas unterhalb der Mitte der Höhe des Kehlkopfs und besteht aus den beiden Stimmlippen, *labia vocalia* und der Stimmritze, *rima glottidis*. Die Stimmlippe entsteht durch den Schleimhautüberzug des *ligamentum vocale* und des *m. vocalis*; ihren freien Rand nennt man *plica vocalis*. Im hinteren Abschnitt enthält sie den *processus vocalis* der *cartilago arytaenoidea*. Die *glottis* trennt die Kehlkopfhöhle in zwei Hauptabschnitte, das oberhalb von ihr gelegene *vestibulum laryngis* und das unterhalb gelegene *cavum laryngis inferius*.

Die Stimmritze, *rima glottidis*, zerfällt in einen kürzeren, hinteren, aber weiteren Teil, die *pars intercartilaginea*, d. h. den Abschnitt, in welchem die *processus vocales* der Giessbeckenknorpel mit ihren Schleimhautüberzügen liegen, und die *pars intermembranacea*, den von den *ligamenta vocalia* mit ihrem Schleimhautüberzug begrenzten, längeren, vorderen, engeren Abschnitt. Beide Teile sind im schlaffen Zustande der Stimmlippen (an der Leiche) stets deutlich zu unterscheiden, da die Spitze des *processus vocalis* durch die Schleimhaut gelblich durchschimmert. Ferner findet sich am vordern Ende der Stimmlippen, dicht neben ihrem Ansatz am Schildknorpel konstant ein gelblicher Fleck, *macula flava*.

Die *plicae ventriculares*, Taschen-(band-)falten oder falsche Stimmbänder, sind den Stimmlippen parallele Schleimhautfalten. Sie stellen den Schleimhautüberzug der *ligamenta* (und *musculi*) *ventricularia* dar. Zwischen ihren freien Rändern liegt eine relativ weite Spalte, die (in ihrer Weite unveränderliche) *rima vestibuli*. Diese ist (namentlich in Phonationsstellung der *glottis*) wesentlich breiter als die Stimmritze, so dass man bei der Betrachtung des Kehlkopfes vom *aditus laryngis* aus die Stimmlippen in der *rima ventricularis* sieht (Bild des Kehlkopfspiegels). Zwischen Taschenbändern und Stimmlippen liegt eine seitliche Ausbuchtung des *cavum laryngis*, *ventriculus laryngis* (Morgagni). Von seiner oberen Wand geht ein blindsackartiger Fortsatz hinter das vordere Ende des Taschenbandes an der Hinterfläche der Platte des Schildknorpels nach aufwärts, *appendix ventriculi laryngis*. Die Schleimhaut des unterhalb der *glottis* gelegenen Kehlkopfsabschnittes bekleidet glatt die Innenfläche des *conus elasticus*. Der unmittelbar unterhalb der *glottis* gelegene Teil der Kehlkopfhöhle heisst *aditus glottidis inferior*. Im *vestibulum laryngis* findet man an der vordern Wand das der Basis des *petiolus epiglottidis* entsprechende *tuberculum epiglotticum*.

Fig. 440. Kehlkopfeingang von hinten und oben gesehen. ( $\frac{1}{1}$ )  
 Fig. 441. Kehlkopf in der Medianlinie von hinten her eröffnet. ( $\frac{1}{4}$ )  
 Das linke Taschenband ist in die Höhe gezogen, die Schleimhaut der linken Stimmlippe gespalten.

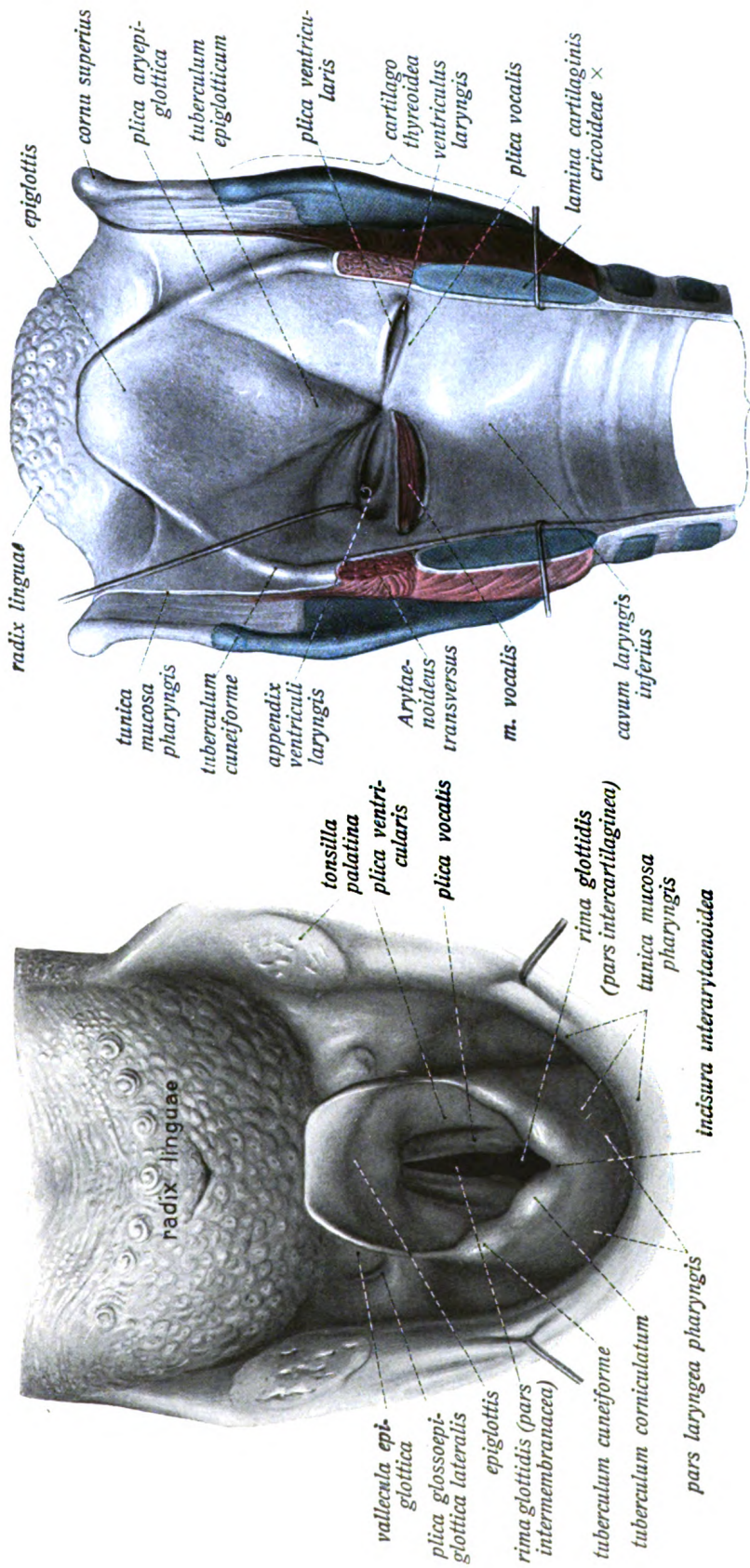


Fig. 440.

Fig. 441.



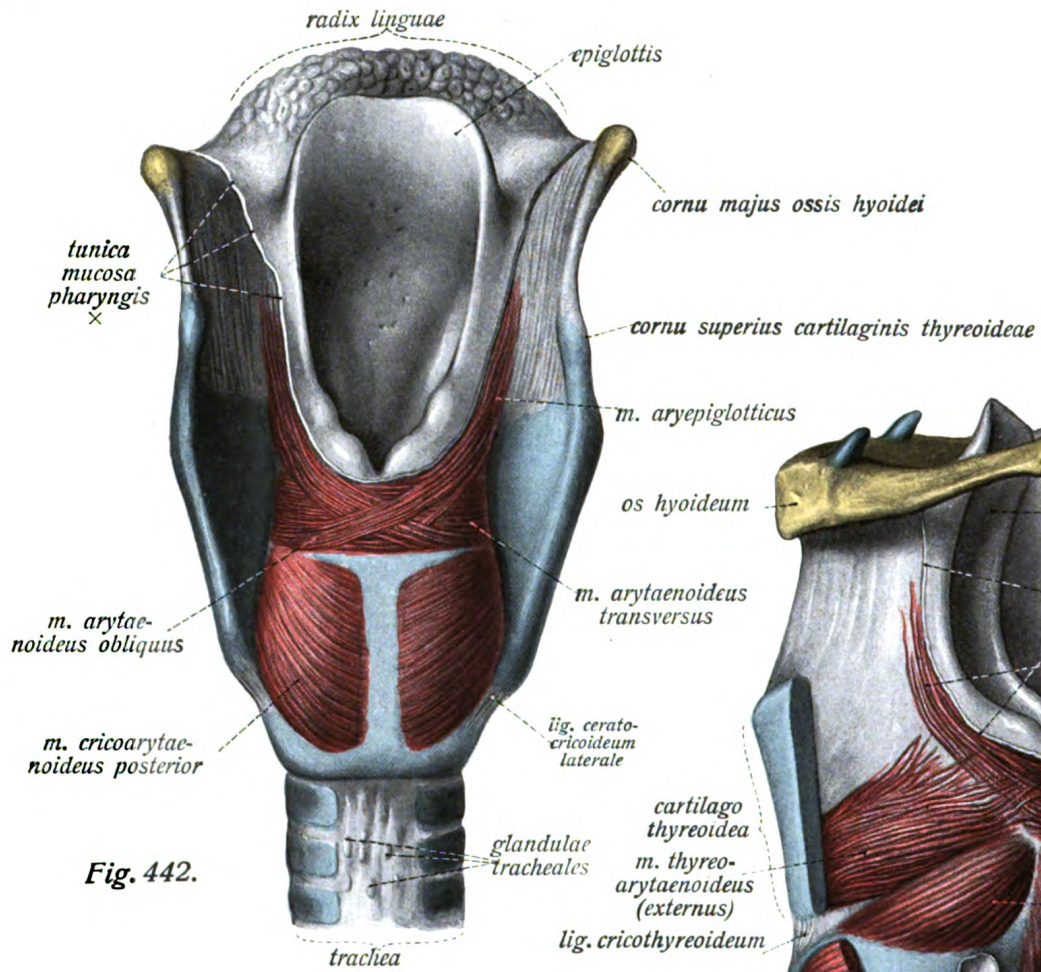


Fig. 442.

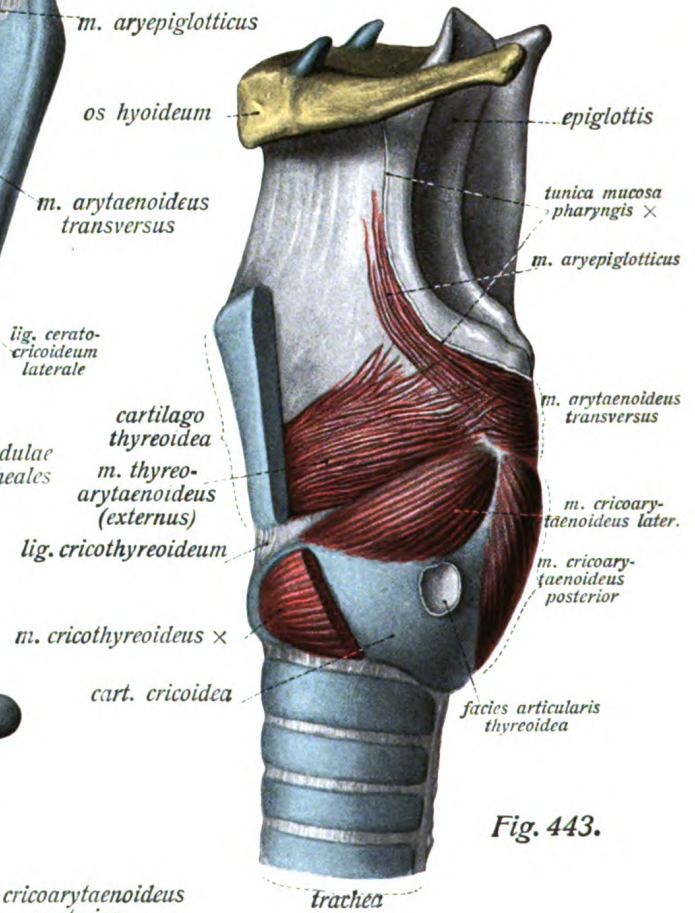


Fig. 443.

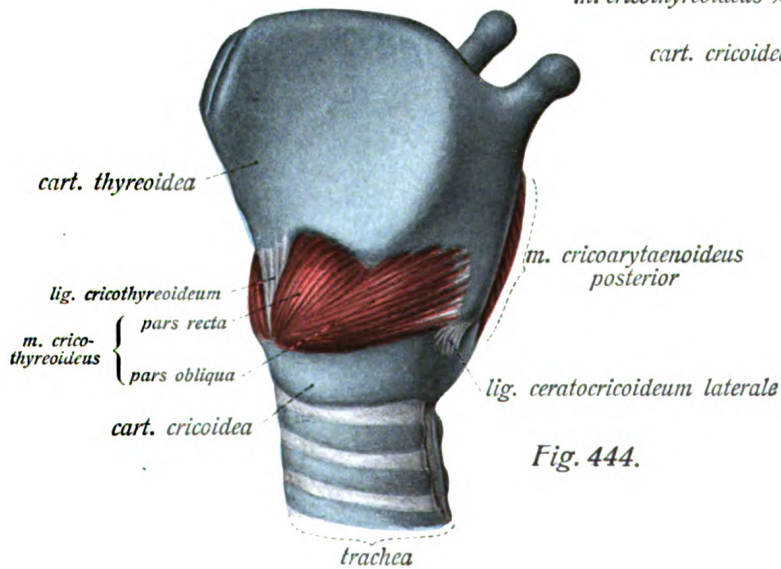


Fig. 444.

### Respirationsapparat, Kehlkopf. (Forts.)

Fig. 442. Muskulatur der hinteren Fläche des Kehlkopfs. ( $\frac{1}{1}$ )

Fig. 443. Musculus cricothyreoideus von der linken Seite und etwas von vorn gesehen. ( $\frac{1}{1}$ )

Fig. 444. Muskulatur des Kehlkopfs von der linken Seite gesehen. ( $\frac{1}{1}$ )

Der grösste Teil der linken lamina thyreoidea ist entfernt.

#### Die Kehlkopfmuskeln, *musculi laryngis*.

Name	Ursprung	Ansatz
<i>Cricothyreoideus</i> (zerfällt in die oberflächliche pars recta und tiefe pars obliqua)	äussere Fläche des Ringknorpelbogens	unterer Rand und cornu inferius cartilaginis thyreoideae.
<i>Cricoarytaenoideus posterior</i>	Hinterfläche der Ringknorpelplatte	processus muscularis cartilaginis arytaenoideae.
<i>Cricoarytaenoideus lateralis</i>	oberer Rand des seitlichen Teils des Ringknorpelbogens	processus muscularis cartilaginis arytaenoideae.
<i>Arytaenoideus transversus</i> (unpaar)	laterale Kante u. hintere Fläche der cartilago arytaenoidea	zu den gleichen Teilen der anderen Seite.
<i>Arytaenoideus obliquus</i>	processus muscularis des einen Aryknorpels	Spitze des anderen Knorpels.
<i>Aryepiglotticus</i>	variabel ausgebildete Fasern in der plica aryepiglottica	
<i>Thyreoarytaenoideus</i> (externus)	Innenfläche der Schildknorpelplatte	processus muscularis und laterale Fläche der cartilago arytaenoidea.
<i>Vocalis</i> (Thyreoarytaenoideus internus)	im wahren Stimmband gelegen.	
<i>Ventricularis</i>	im falschen Stimmband gelegen.	
<i>Thyreoepiglotticus</i>	Fortsetzungen des Thyreoarytaenoideus (externus) in die plica aryepiglottica.	

Der Cricothyreoideus wird vom n. laryngeus superior, die übrigen Kehlkopfmuskeln werden vom n. laryngeus inferior versorgt. Der Cricothyreoideus spannt die Stimmbänder, der Cricoarytaenoideus posterior erweitert, der lateralis verengert die rima glottidis. Die übrigen wirken als Sphinkteren des aditus laryngis und der rima glottidis.

### Respirationsapparat, Luftröhre, *trachea*, Schilddrüse, *glandula thyreoidea*.

Fig. 445. Kehlkopf, Luftröhre und Bronchien in der Ansicht von vorn. ( $\frac{3}{4}$ )

Fig. 446. Kehlkopf und Schilddrüse in der Ansicht von vorn. ( $\frac{1}{1}$ ) Die Drüse besitzt einen stark entwickelten isthmus und einen lobus pyramidalis.

#### Die Luftröhre, *trachea*, und die Bronchien, *bronchi*.

Die Luftröhre, *trachea*, ist ein 10—12 cm langes, 11—18 mm weites, ziemlich starres Rohr, welches vor der fibrocartilago intervertebralis zwischen sechstem und siebentem Halswirbel aus dem Kehlkopf hervorgeht und sich bis zur fibrocartilago zwischen viertem und fünftem Brustwirbel erstreckt. Hier oder vor dem fünften Brustwirbel selbst teilt sich die Luftröhre im nahezu rechten Winkel in ihre beiden Aeste, die *bronchi*, den weiteren, aber kürzeren *bronchus dexter* und den längeren, engeren *bronchus sinister*. Man nennt diese Stelle *bifurcatio tracheae*.

Das Skelet der *trachea* besteht aus 16—20 Knorpelringen, *cartilagines tracheales*, welche hinten offen sind. Sie bilden die vorderen und seitlichen Wände der Luftröhre (*paries cartilagineus*), während die hintere Wand der Luftröhre, *paries membranaceus*, kein Knorpelskelet enthält, sondern vorzugsweise aus glatten Muskelfasern besteht, welche sich zwischen den Enden der Knorpelringe ausspannen.

#### Die Schilddrüse, *glandula thyreoidea*.

Die Schilddrüse, *glandula thyreoidea*, gehört zu den Drüsen ohne Ausführungsgang. Sie liegt am Halse vor dem obern Teil der Luftröhre und vor dem seitlichen Teile des unteren Kehlkopfabschnitts. Bedeckt wird sie in ihrem mittleren Abschnitt von dem oberflächlichen und tiefen Blatte der Halsfascie, in ihren seitlichen Teilen unmittelbar von den beiden mm. *sternothyroidei*, die der Drüse breit aufliegen, ferner von den übrigen untern Zungenbeinmuskeln.

Sie ist unpaar, hat hufeisenförmige Gestalt und zerfällt in den schmalen (niedrigeren), mittleren Teil, *isthmus*, und in die beiden Seitenlappen, *lobi*.

Der abgeplattete *isthmus glandulae thyreoideae* liegt vor den obern drei bis vier Trachealringen, bei starker Entwicklung auch vor dem *ligamentum cricotracheale* und dem Bogen der *cartilago cricoidea*. Entsprechend der Form der *trachea* ist der *isthmus* der Drüse vorn konvex, hinten konkav. Nicht selten geht von ihm ein mittlerer, unpaarer, nach oben zugespitzter, meist ganz platter Lappen aus, *lobus pyramidalis*, der bis zum Zungenbeinkörper in die Höhe steigt.



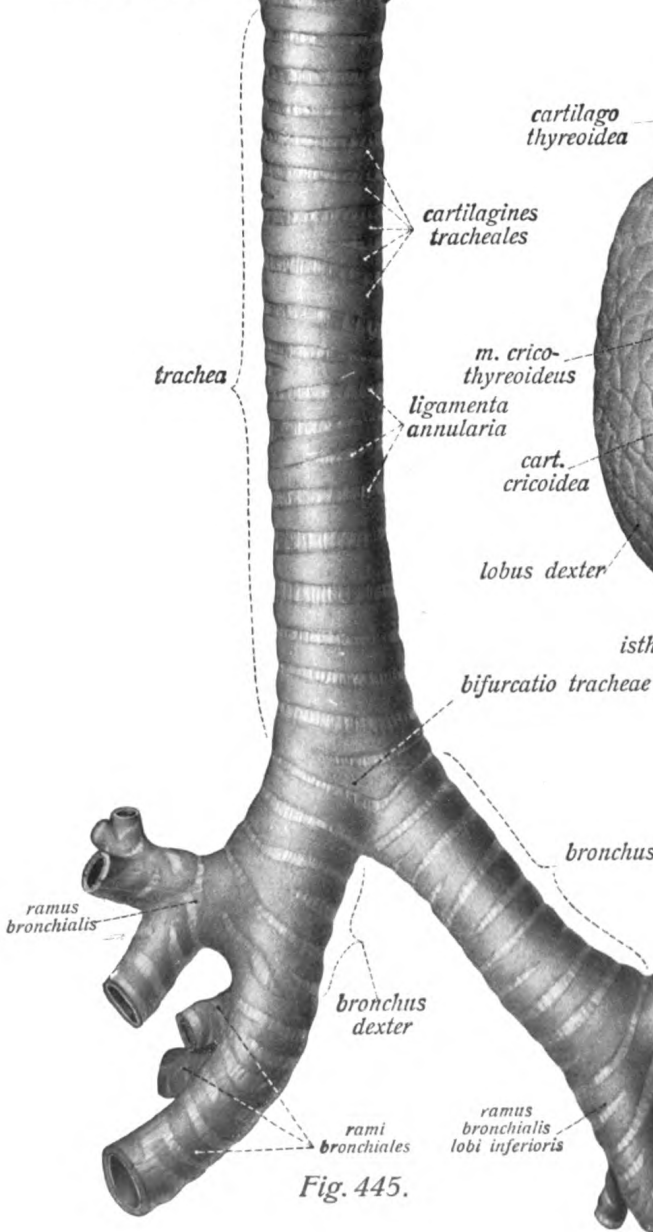
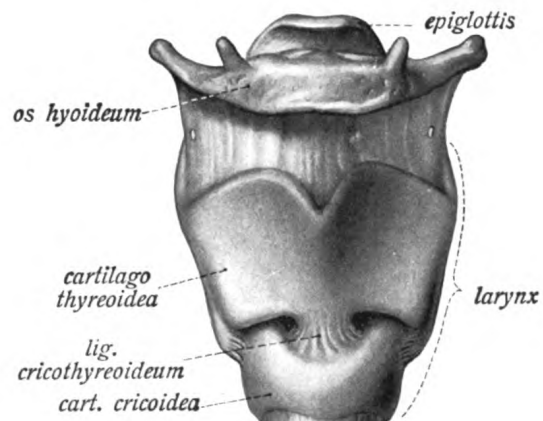


Fig. 445.

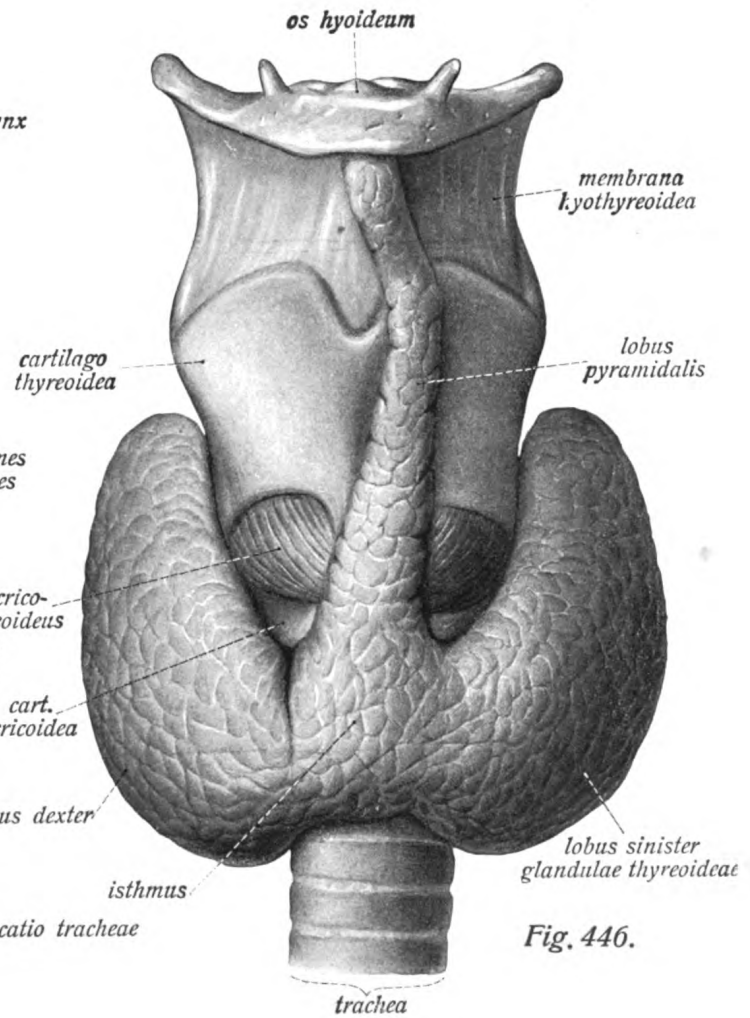


Fig. 446.

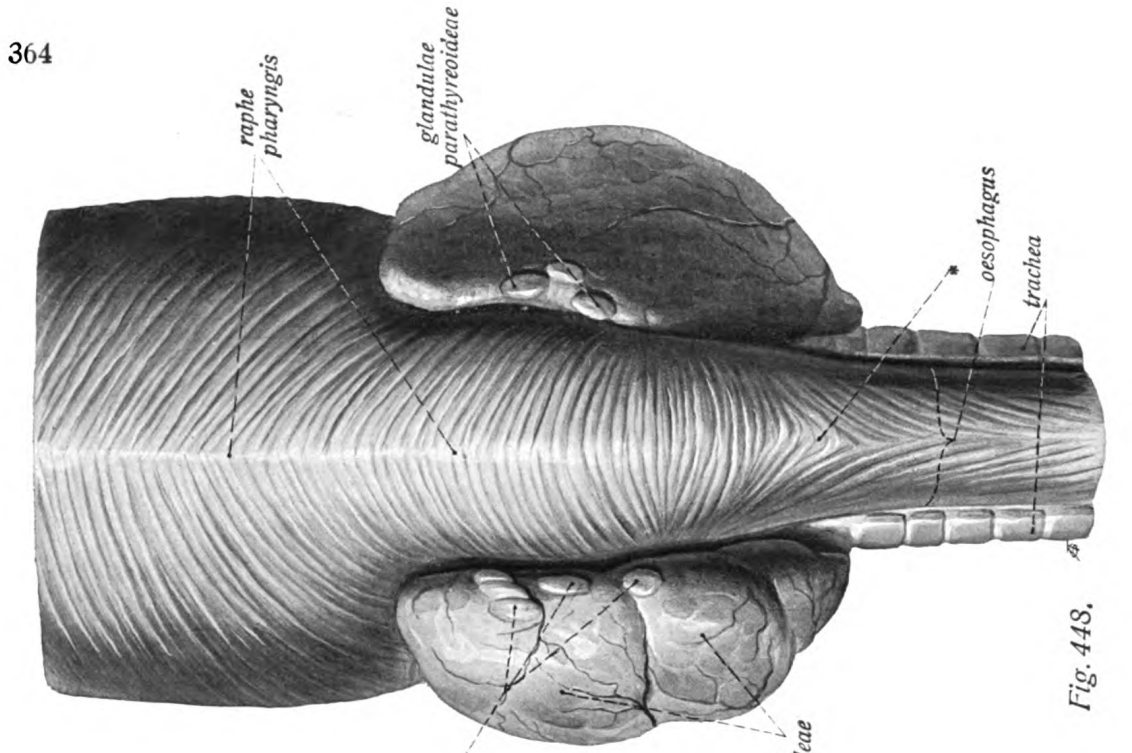


Fig. 448.

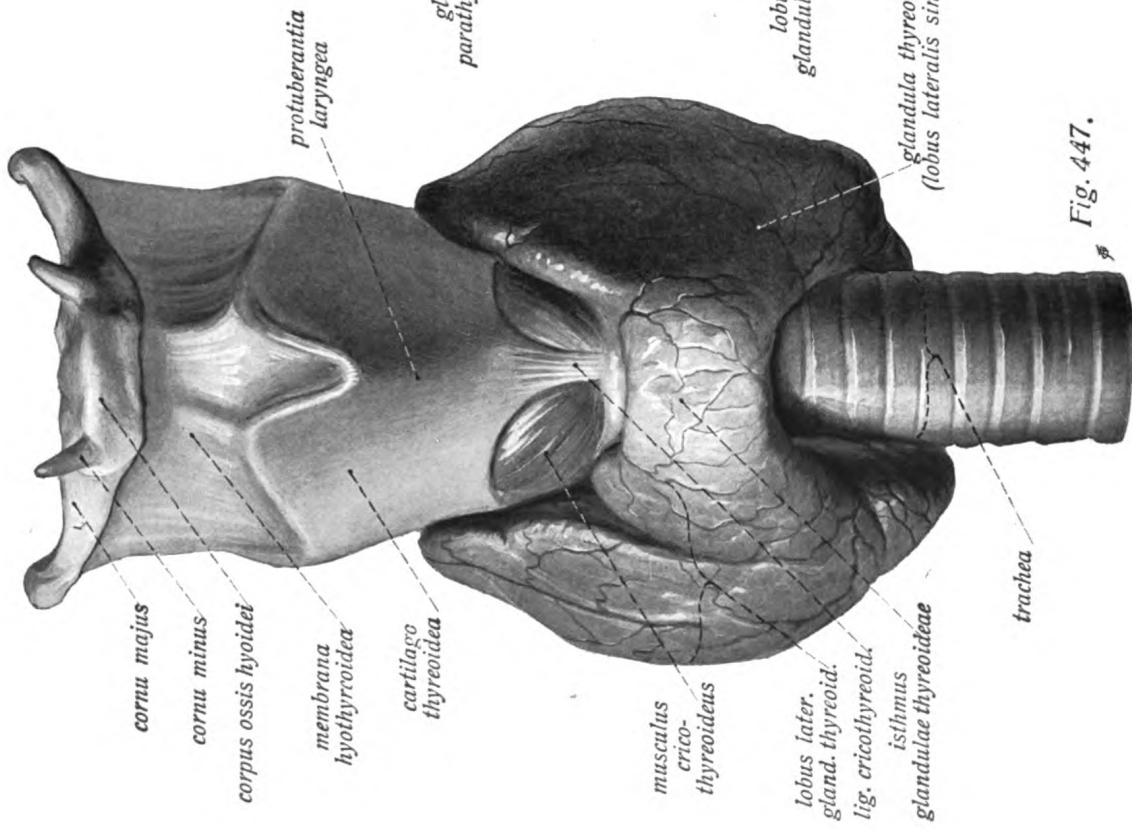


Fig. 447.

### Respirationsapparat, Anhang: Schilddrüse. (Forts.)

Fig. 447. Schilddrüse, Kehlkopf, oberer Abschnitt der Luftröhre und Zungenbein in der Ansicht von vorn. ( $\frac{1}{1}$ )

Fig. 448. Schilddrüse und glandulae parathyreoideae mit dem untern Abschnitt des pharynx und oberem Ende des oesophagus in der Ansicht von hinten. ( $\frac{1}{1}$ )

\* = Grenze des pharynx und oesophagus.

Die weit voluminöseren und wesentlich dickeren Seitenlappen der Schilddrüse liegen zur Seite des unteren Kehlkopfabschnittes und des oberen Teiles der Luftröhre. Nach unten zu enden sie abgerundet und überschreiten das Niveau des untern Isthmusrandes in der Regel weniger stark. Nach oben zu enden sie mit stark abgerundeten Spitzen beträchtlich oberhalb der oberen Isthmusgrenze. Nach hinten erstrecken sie sich bis an die Seitenwand der pars laryngea pharyngis und des oberen Abschnittes der Speiseröhre. Oft sind beide Lappen von ungleicher Grösse.

Die Oberfläche der Schilddrüse erscheint meist deutlich lappig, die Farbe ist graurot, der Durchschnitt der Drüse (Fig. 439) zeigt die feinen, mit Kolloid erfüllten Drüsenbläschen als punktförmige bis hirsekorngrösse Bildungen.

Oft findet sich zwischen Isthmus und Seitenlappen der Drüse ein mehr oder weniger deutlicher Einschnitt, wie auch in anderer Hinsicht der Isthmus gelegentlich eine gewisse Selbständigkeit gegenüber den Seitenlappen bewahrt, gelegentlich sogar ganz rudimentär wird und völlig fehlen kann.

Ausser der Hauptdrüse kommen gelegentlich Nebendrüsen vor, *glandulae thyreoideae accessoriae*, die als zersprengte Teile des durchaus inkonstanten lobus pyramidalis aufzufassen sind. Sie reichen gelegentlich bis an das Zungenbein. Nicht mit diesen zu verwechseln sind die als *glandulae parathyreoideae* benannten kleinen Epithelkörperchen, die sich in Zahl von 2 bis 3 am hintern Umfang der Seitenlappen der Drüse an den Aesten der unteren Schilddrüsenarterie als durchaus konstante Bildungen finden. Zu der eigentlichen Schilddrüse haben sie keine anderen Beziehungen als rein nachbarliche.



## Respirationsapparat, Anhang: Thymus.

### Die Thymusdrüse, *glandula thymus*.

Die Thymusdrüse, *glandula thymus*, ist ein Organ, das seine relativ höchste Entwicklungsstufe im Kindesalter zeigt, sich aber auch später nicht vollkommen zurückbildet, sondern sich auch beim Erwachsenen, wenn auch oft stark von Fettgewebe durchsetzt, erhält. Es besteht aus zwei durch Bindegewebe vollständig getrennten Lappen, *lobus dexter* und *lobus sinister*. Diese berühren sich eine Strecke weit mit ihren medialen Rändern, zeigen wieder unregelmässige, oft tief einschneidende Teilungen, die sogar den einen oder andern Lappen in vollständig oder nahezu vollständig getrennte Teilstücke zerlegen können. Die obern Enden der Lappen sind meist spitz ausgezogen, während die dickeren, unteren Enden beider Lappen nur wenig schmaler sind als der mittlere Teil der Drüse. Die meist ungleich grossen Lappen des thymus lassen wieder kleinere, länglich-runde, durch Bindegewebe abgegrenzte Bezirke, Thymusläppchen, *lobuli thymi*, unterscheiden. Alle Läppchen hängen mittels schmaler Verbindungsstränge an einem gemeinsamen, fadenförmigen Strange, dem *tractus centralis*.

Der thymus ist ungefähr doppelt so hoch als breit, bis auf den mittlern, breitesten Teil gleichzeitig auch platt. Er liegt im vordern Mediastinalraum und zwar in dessen oberem Abschnitt, hinter dem manubrium und obern Teil des corpus sterni, reicht aber im kindlichen Alter, der vorderen Fläche des Herzbeutels breit aufsitzend, bis in den vorderen Mediastinalraum herab. Ferner liegt die Thymusdrüse vor den *venae anonymae*, namentlich der *sinistra*, und dem Aortenbogen und seinen Aesten, zwischen beiden *laminae mediastinales anteriores*. Die obern Enden der Thymuslappen reichen oft bis zum Halse, selbst bis zur Schilddrüse.

Der von Fett stark durchsetzte thymus der Erwachsenen erreicht in der Regel weder mit seinem obern noch besonders mit seinem untern Ende die Grenzen des kindlichen thymus, der oft nur bis zum 12. Lebensjahre als kompakter Drüsenkörper erscheint, und zeigt überhaupt wenig konstante Formverhältnisse. Vor allem liegt er höchstens der Herzbeutelspitze auf, nicht mehr wie beim Kinde einem grossen Teil der Vorderfläche des Beutels, da er beim Erwachsenen hinter dem Wachstum des Herzens erheblich zurückgeblieben ist. Er beschränkt sich nun also in seiner Ausdehnung stets auf den vorderen Bereich des oberen Mediastinalraums.

Fig. 449. Thymusdrüse eines 2jährigen Kindes in der Ansicht von vorn. ( $\frac{1}{2}$ )  
 Fig. 450. Thymusdrüse eines 24jährigen Mannes nach Entfernung des umliegenden Fettes von vorn her dargestellt. \* = Fortsetzung der Drüse auf den Hals. ( $\frac{1}{1}$ )

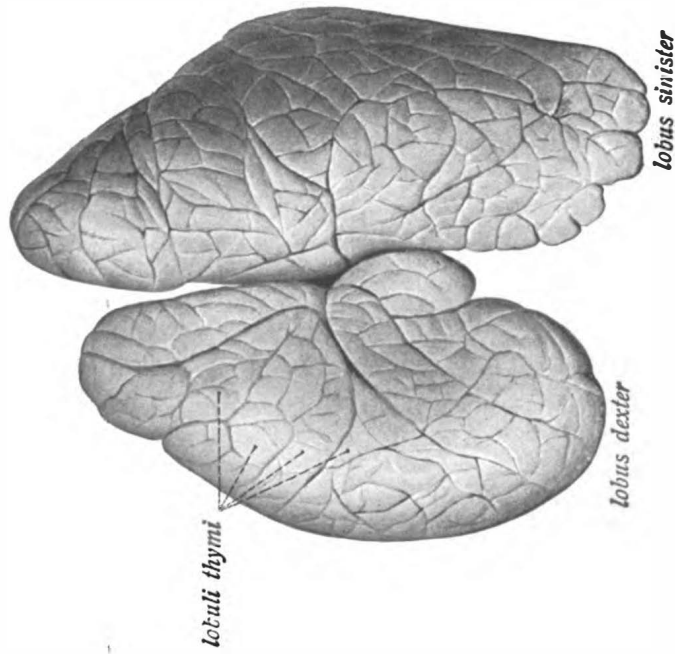


Fig. 449.

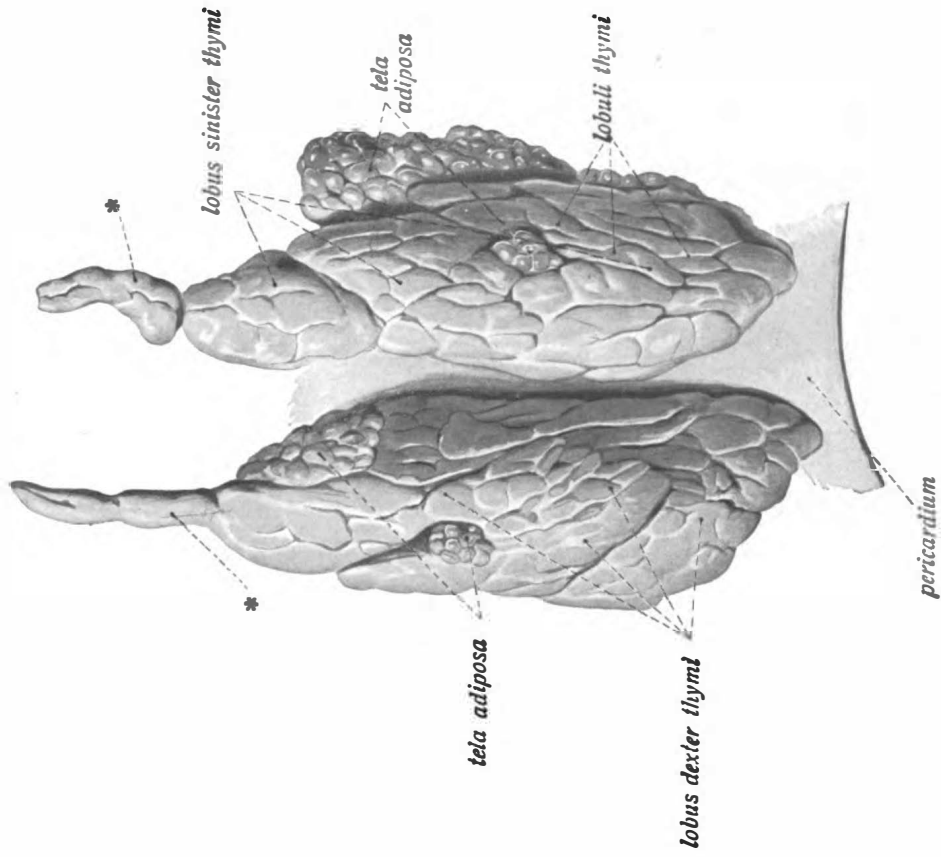


Fig. 450.

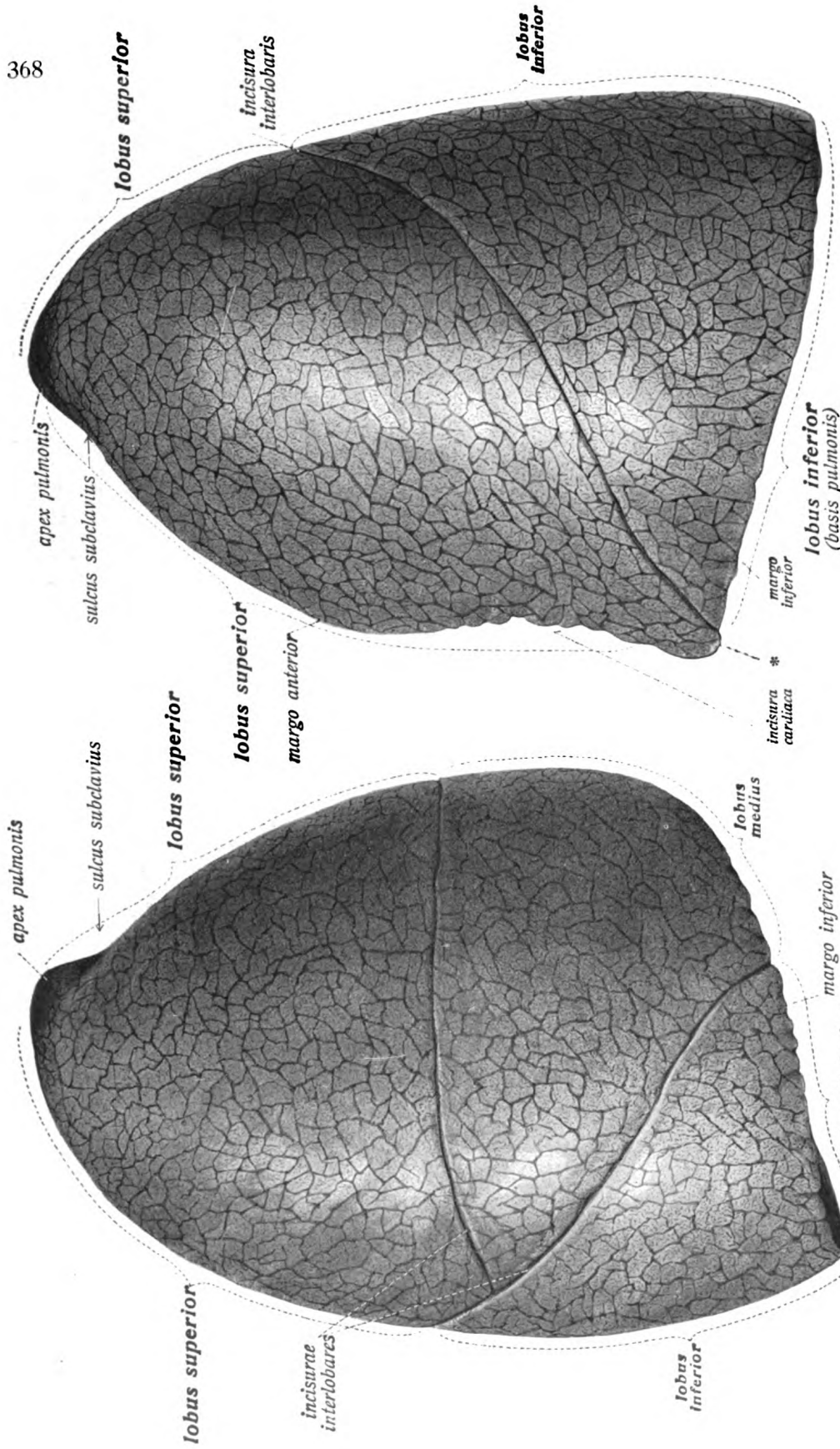


Fig. 452.

Fig. 451.



## Respirationsapparat, Lungen, *pulmones*.

### Die Lungen, *pulmones*.

Man unterscheidet eine rechte Lunge (Lungenflügel) *pulmo dexter*, und eine linke, *pulmo sinister*. Beide sind einander ähnlich, die rechte Lunge ist aber voluminöser als die linke.

Die Basis des Lungenkegels, *basis pulmonis*, besitzt eine der Zwerchfellskuppel aufliegende, stark konkave Fläche, die *facies diaphragmatica*. Die nach oben gerichtete, abgerundete Spitze jeder Lunge, *apex pulmonis*, trägt (namentlich linkerseits) an ihrer medialen Seite eine seichte, ziemlich breite, von der arteria subclavia herrührende Furche, den *sulcus subclavius*.

Man unterscheidet an der Lunge die mächtige, konvexe, an die Rippenwandungen des thorax grenzende, also hauptsächlich lateralwärts gerichtete Fläche als *facies costalis*, während die gegenüberliegende, viel kleinere, mediale, dem Herzen zugewandte, grösstenteils konkave Fläche *facies mediastinalis* heisst. *Facies costalis* und *diaphragmatica* trennt der sehr scharfe *margo inferior*, *facies mediastinalis* und *lateralis* der ebenfalls sehr dünne, aber weniger glatte *margo anterior*.

Die im wesentlichen sagittal gestellte, mediastinale Fläche der Lunge zeigt in der Mitte und gegen den vordern Rand eine Konkavität, *impressio cardiaca*. Eine solche ist wegen der unsymmetrischen Lagerung des Herzens an der linken Lunge natürlich grösser wie an der rechten. Der hinter der *impressio cardiaca* gelegene Teil der mediastinalen Fläche der Lunge ist z. T. konvex, zeigt aber eine vertikale Furche, welche an der linken Lunge von der aorta, an der rechten Lunge von der vena azygos herrührt.

Im hinteren Abschnitt der *impressio cardiaca* liegt eine birnförmige, mit der Spitze nach abwärts gekehrte, leicht vertiefte Stelle zum Eintritt für die Gefässe und Bronchien bestimmt, der *hilus pulmonis*. Die Oberfläche der Lunge ist bis auf die Stelle des hilus pulmonis vom Brustfell, *pleura*, überzogen und daher spiegelglatt. Sie lässt auf der graurötlichen Grundfarbe des Organs den Grenzen der einzelnen Lungenlappchen entsprechende, dunkle, blauschwarze bis schwarze Linien erkennen, ferner tiefe Einschnitte, *incisurae interlobares* genannt, welche die einzelnen Lungenlappen abgrenzen und tief in die Lungensubstanz eindringen. Auch die *pleura* erstreckt sich in die Tiefe der *incisurae interlobares* und zwar fast bis an den hilus, so dass die einzelnen Lungenlappen nur eine kurze Strecke miteinander verbunden sind. Weniger tief als die anderen ist aber die *incisura interlobaris* zwischen Mittel- und Oberlappen der rechten Lunge (s. a. u. p. 370).

Fig. 451. Rechte Lunge von der lateralen Seite gesehen (*facies diaphragmatica*). ( $\frac{1}{5}$ )  
Fig. 452. Linke Lunge von der lateralen Seite gesehen. ( $\frac{1}{5}$ ) \* = Zungenförmiger, auf dem Herzbeutel liegender Fortsatz des Oberlappens der linken Lunge.

### Respirationsapparat, Lungen. (Forts.)

Die grössere, rechte Lunge, *pulmo dexter*, zerfällt durch zwei incisurae interlobares in drei Lappen, Ober-, Mittel- und Unterlappen, *lobus superior*, *medius* und *inferior*; die kleinere, linke Lunge dagegen hat nur zwei Lappen, Ober- und Unterlappen, *lobus superior* und *inferior*, und dementsprechend nur eine incisura interlobaris. Diese läuft von hinten oben nach vorn unten in schräger Richtung, oben in der Höhe der dritten Rippe beginnend, unten an der basis pulmonis so endend, dass der vorderste Abschnitt des margo inferior noch zum Oberlappen gehört. (\*) Die incisura interlobaris der linken Lunge ist auf der facies costalis, facies mediastinalis (bis auf die Stelle des hilus) und zum kleinen Teil auch auf der facies diaphragmatica sichtbar. Von den incisurae interlobares der rechten Lunge entspricht die eine, welche Ober- und Mittellappen vom Unterlappen trennt, in ihrer Lage der incisura interlobaris der linken Lunge, nur beginnt sie oben hinten etwas tiefer und erreicht die Lungenbasis und damit den margo inferior weiter lateralwärts als an der linken Lunge. Diese incisura interlobaris der rechten Lunge ist wesentlich tiefer als die andere und ist auf der facies costalis, facies mediastinalis und facies diaphragmatica sichtbar. Die zweite, Ober- und Mittellappen trennende incisura interlobaris der rechten Lunge ist kürzer als die erste, gleichzeitig in der Regel weniger tief und steht senkrecht auf der anderen Incisur. Sie ist nur auf der facies costalis und dem vorderen (vor dem hilus gelegenen) Abschnitt der facies mediastinalis, nicht auf der facies diaphragmatica sichtbar. Der Oberlappen der rechten Lunge erreicht daher nicht wie der der linken die Lungenbasis. Der margo anterior der rechten Lunge ist nahezu gerade, der der linken dagegen zeigt einen Einschnitt, die *incisura cardiaca*, im Bereiche dessen der Herzbeutel sichtbar wird. Das untere, vordere Ende des Oberlappens der linken Lunge schiebt sich unterhalb dieser Incisur in Gestalt eines schmalen, zungenförmigen Lappens (\*) auf dem Herzbeutel vor, der sog. *lingula*.

Der *hilus* jeder Lunge bleibt vom Ueberzug des Brustfells frei; von seiner Spitze aus erstreckt sich die Ansatzstelle des *ligamentum pulmonale* nach abwärts. Im Lungenhilus liegen ausser den Gefässen und Bronchien, welche die Lungenwurzel, *radix pulmonis*, bilden, auch kleinere Lymphdrüsen, *lymphoglandulae pulmonales*. Die Gefässe und Bronchien verhalten sich im Lungenhilus derart, dass die Aeste der arteria pulmonalis am weitesten nach vorn, die Bronchien am weitesten nach hinten (und unten) in den hilus eintreten.

Fig. 453. Linke Lunge von der medialen (mediastinalen) Seite gesehen. ( $\frac{2}{5}$ )

\* = zungenförmiger auf dem Herzbeutel gelegener Vorsprung des Oberlappens.

Fig. 454. Rechte Lunge von der medialen (mediastinalen) Seite gesehen. ( $\frac{2}{5}$ )

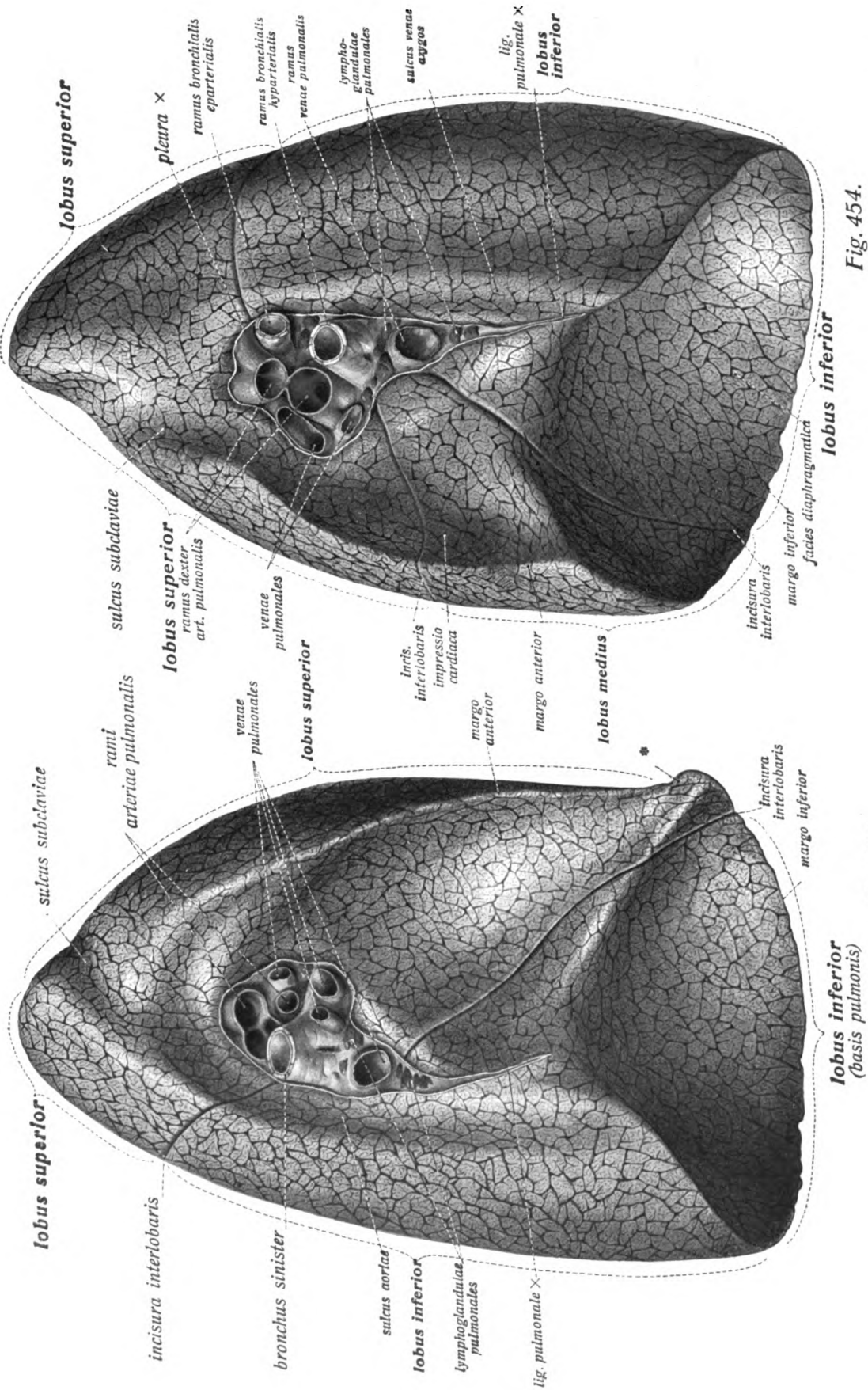


Fig. 453.

Fig. 454.



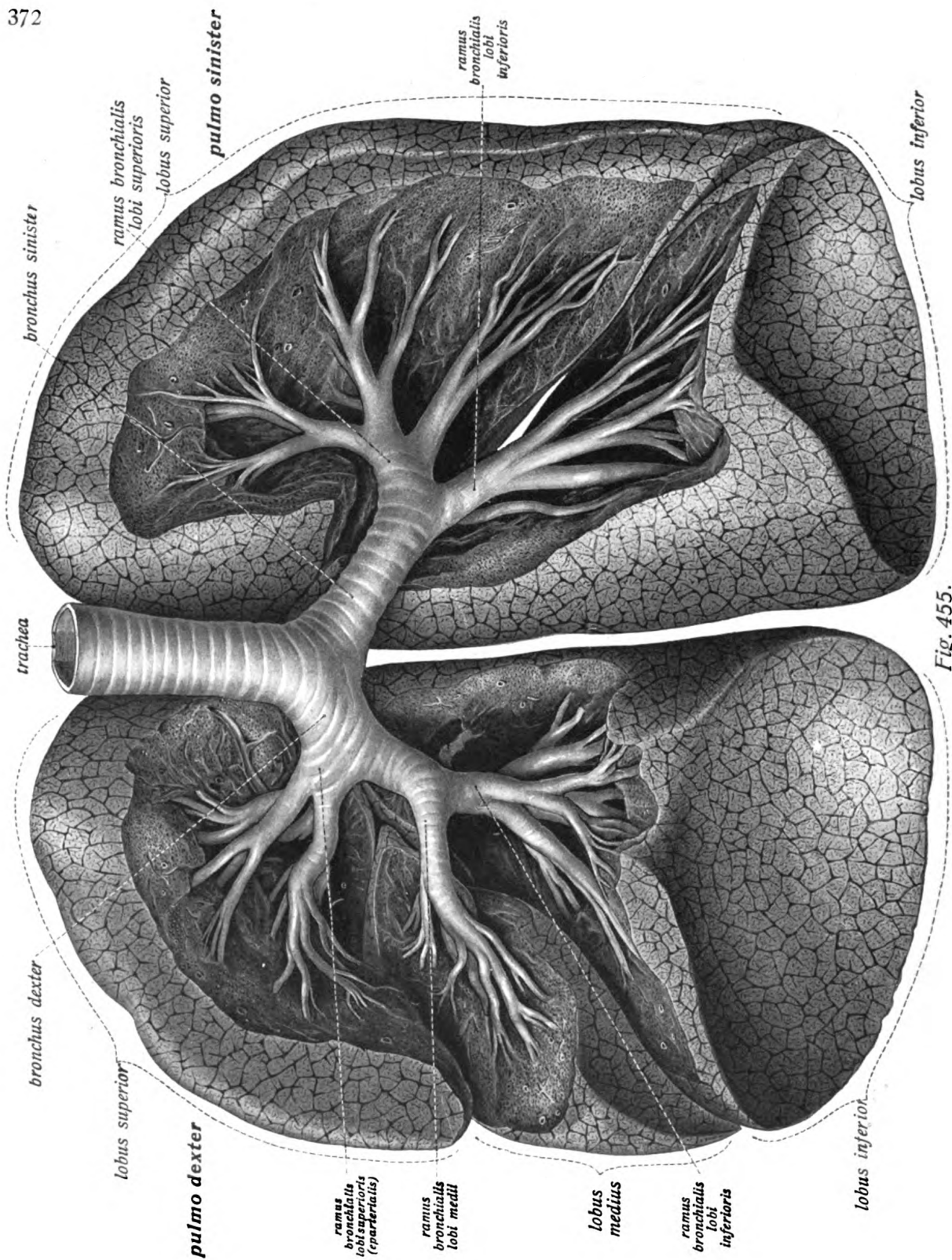


Fig. 455.

## Respirationsapparat, Lungen. (Forts.)

Noch bevor die Bronchien den Lungenhilus erreichen, findet eine Teilung in ihre Aeste, *rami bronchiales*, statt. Man unterscheidet an diesen, je nach ihrer Lage zu den Aesten der Lungenarterie, im Bereiche des hilus pulmonis *eparterielle* und *hyperterielle* Bronchien. Nur der zum Oberlappen der rechten Lunge gehende *ramus bronchialis* ist *eparteriell*, d. h. er tritt oberhalb der Lungenarterienäste in die Lunge ein, die übrigen *rami bronchiales* der rechten Lunge sowie sämtliche der linken sind *hyperteriell*.

Man nennt den bronchus, welcher — allmählich am Kaliber schwächer werdend — die ganze Lunge bis zum hintern Teil der Lungenbasis in leicht bogenförmigem Verlauf durchsetzt, *Stammbronchus*. Dieser erscheint als die direkte Fortsetzung der Bronchien selbst, d. h. der beiden aus der *bifurcatio tracheae* hervorgehenden Stämme. Von ihm aus gehen schwächere, dorsale und stärkere, ventrale Seitenäste aus, welche vom Stamme im spitzen Winkel abgehen und in nach unten (leicht) konkaven Bogen verlaufen; nur der oberste Ast jedes Stammbronchus, *apicaler bronchus* genannt, geht in nach unten konkavem Bogen aufwärts, rechterseits zum Oberlappen, linkerseits zum obern Teil des linken Oberlappens. Der rechte *apicale bronchus* liegt aber *eparteriell*, der linke wie alle dieser Lunge *hyperteriell*.

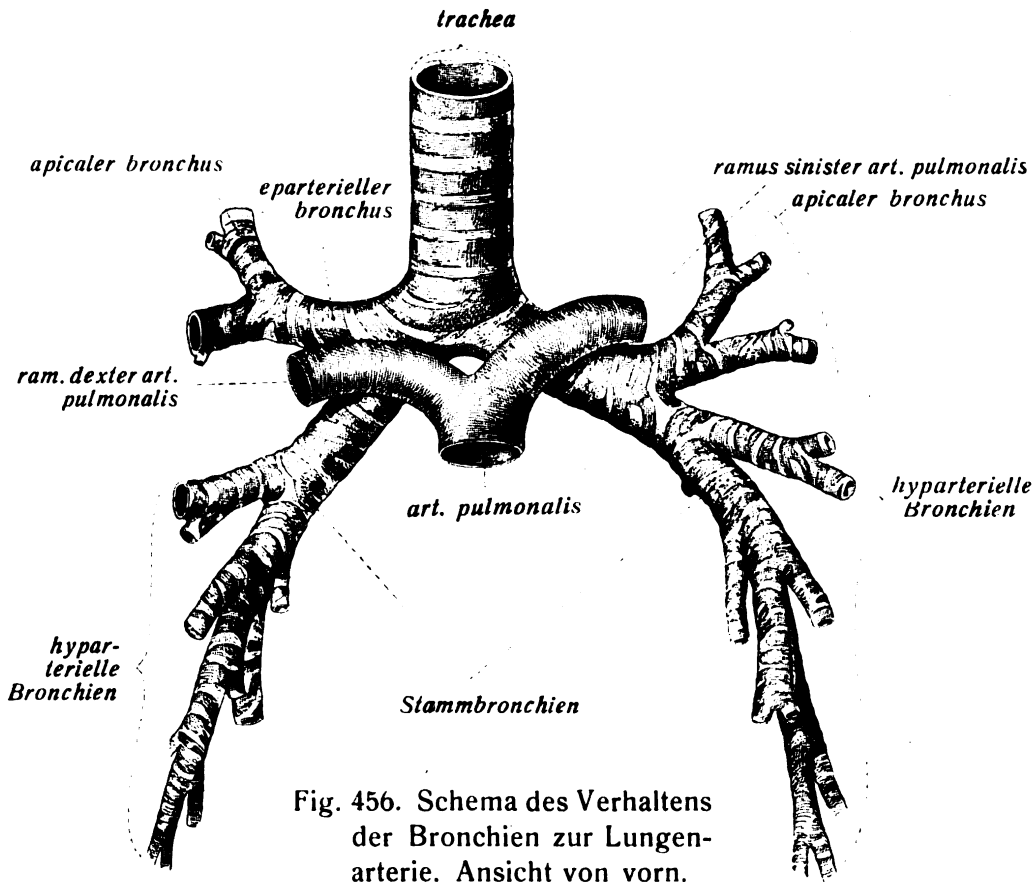


Fig. 456. Schema des Verhaltens der Bronchien zur Lungenarterie. Ansicht von vorn.

Fig. 455. Die beiden Lungen mit der Luftröhre und den (unter Wegnahme des bedeckenden Lungengewebes) freigelegten Bronchialverzweigungen in der Ansicht von vorn. ( $\frac{2}{3}$ )

## Lagerung der Brusteingeweide.

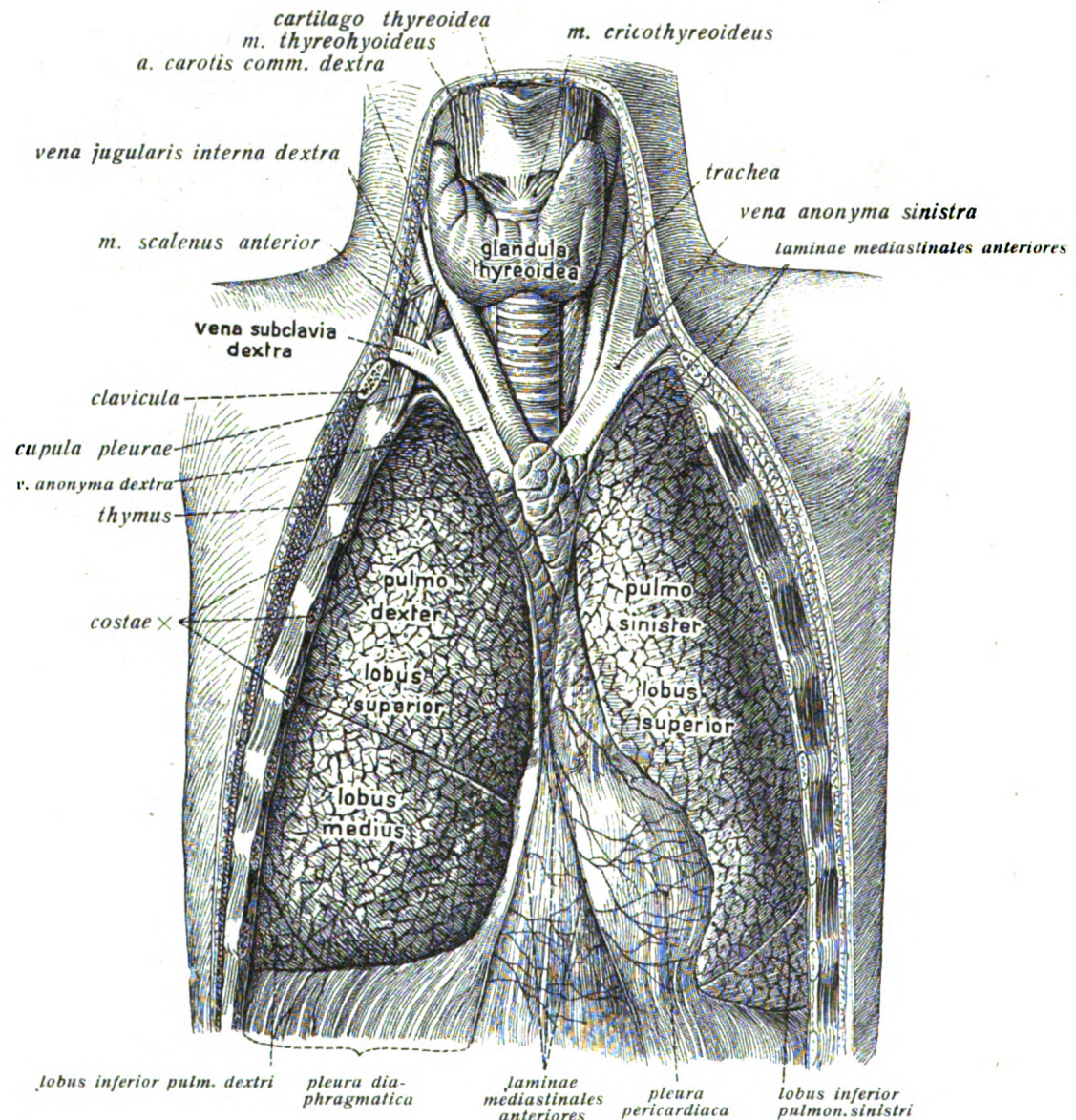
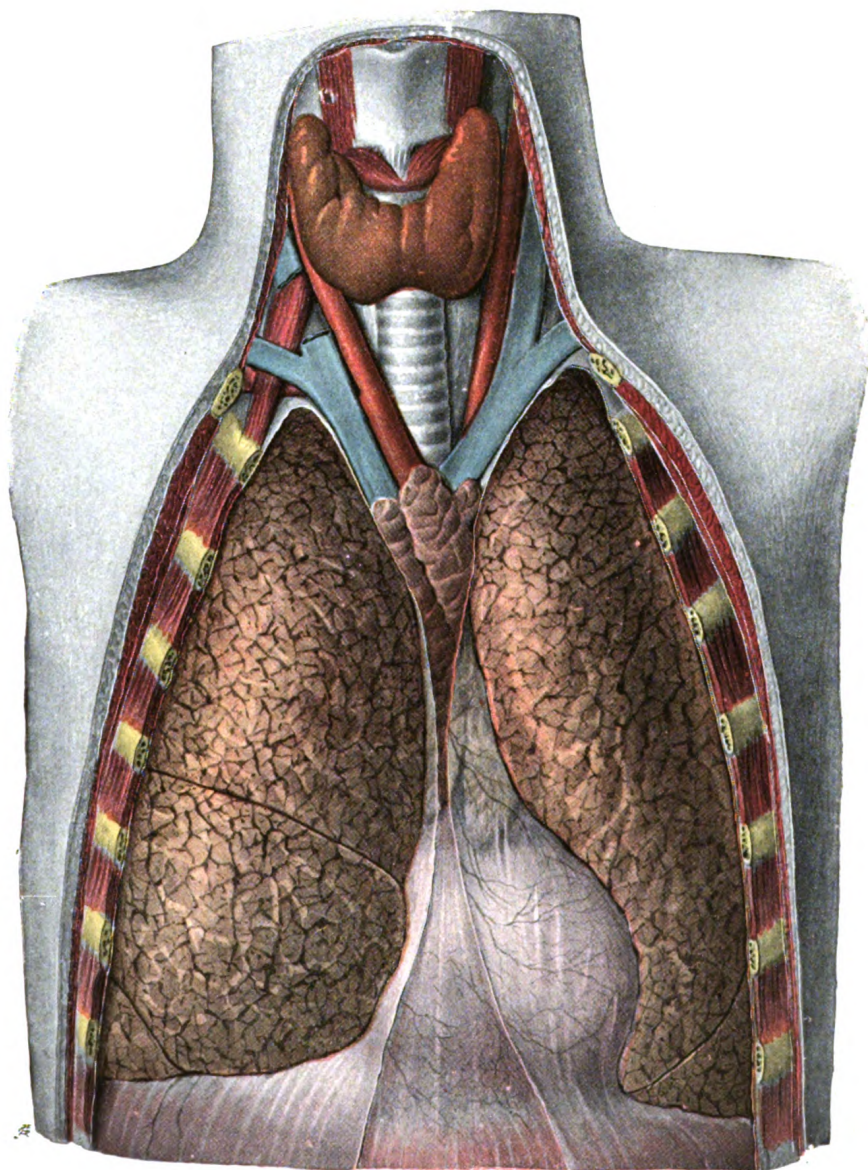


Fig. 457.

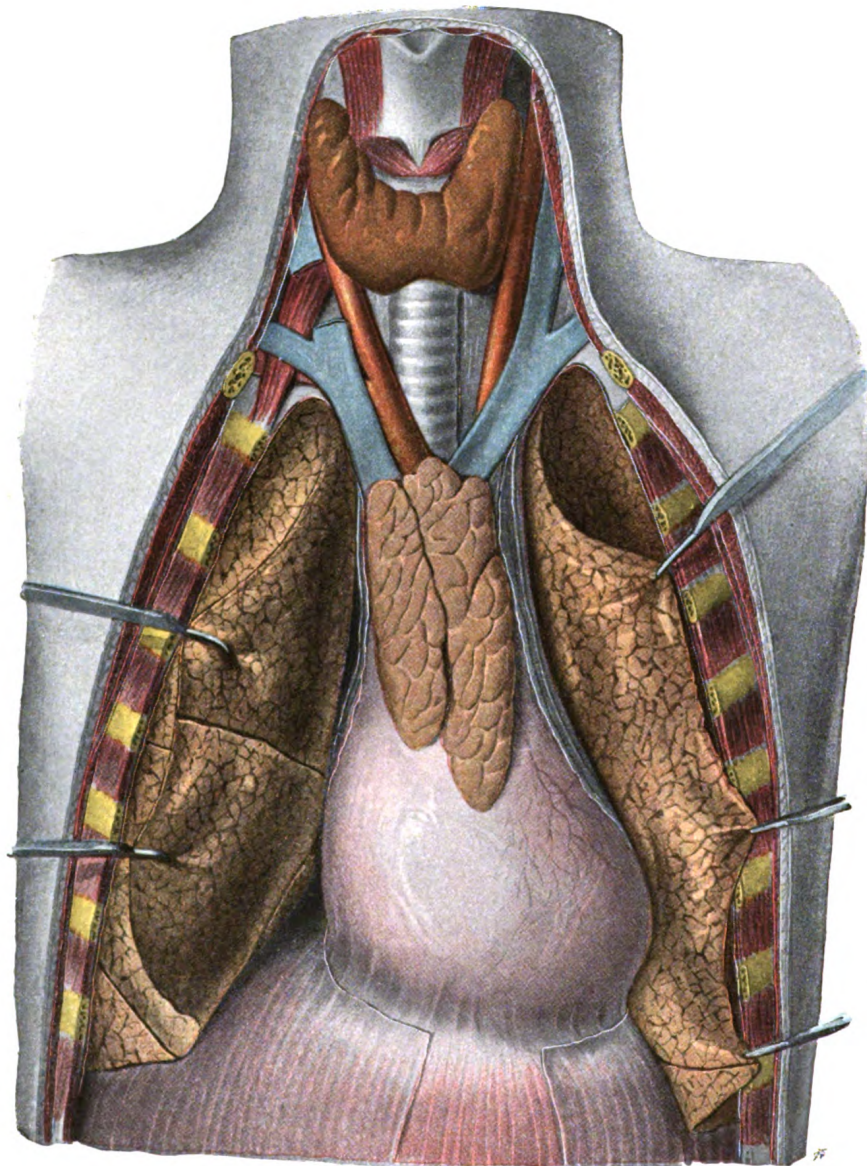
Fig. 457 u. 458. Lagerung der Brustorgane eines 8jährigen Knaben in der Ansicht von vorn. ( $1\frac{1}{2}$ )

Die Brustwandung ist unter Durchschneidung der Rippen etc. bis in den Bereich der Mamillarlinie abgetragen, die Pleuralhöhlen sind durch Wegnahme des dem entfernten Teil der Rippenwandungen anliegenden Abschnitts der pleura costalis eröffnet. Oberhalb der Thymusdrüse sind die grossen Gefässstämme mit der Luftröhre freigelegt.





*Fig. 458.*



*Fig. 459.*



## Lagerung der Brusteingeweide.

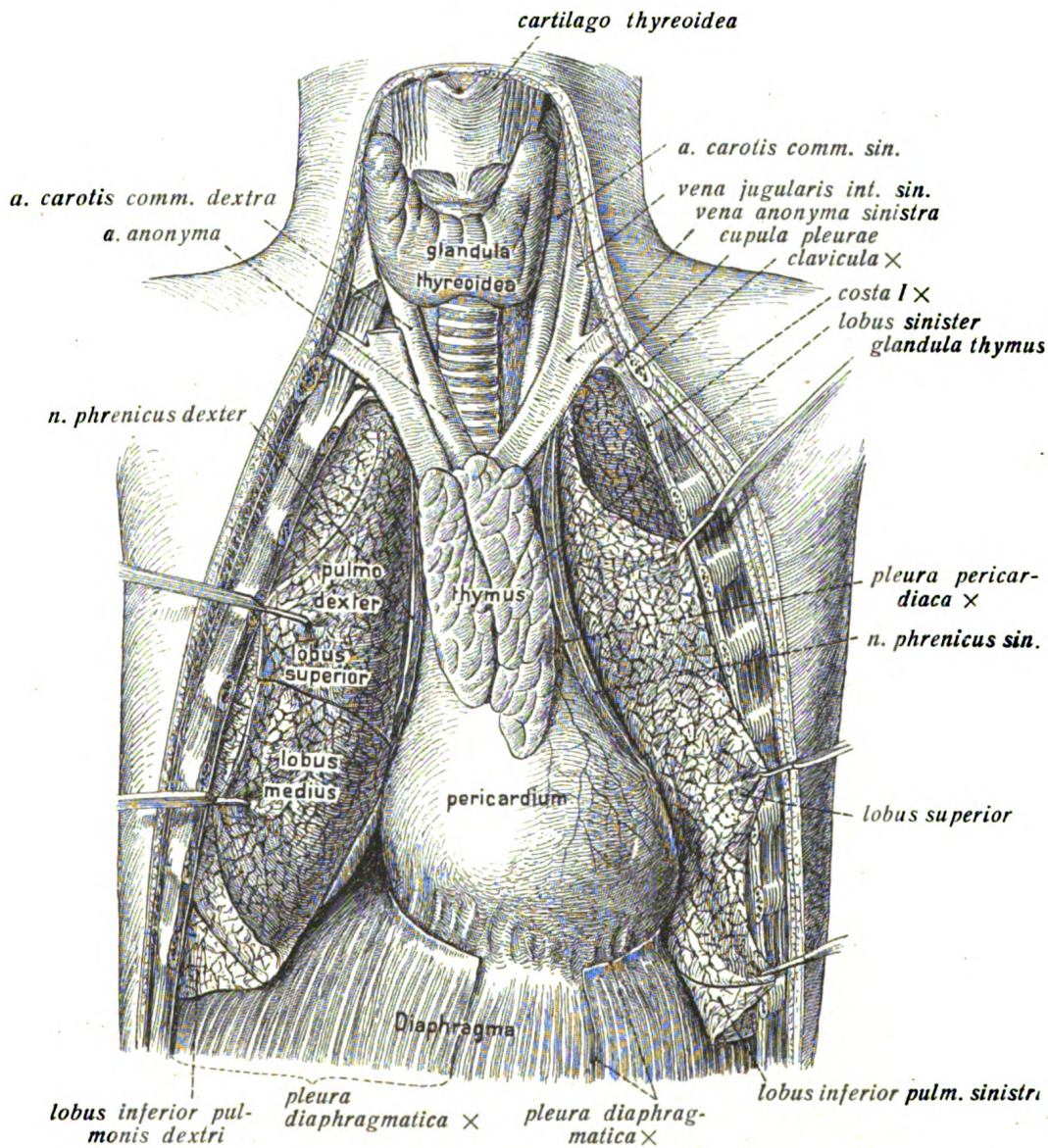


Fig. 460.

Fig. 459 u. 460. Lagerung der Brustorgane eines 8jährigen Knaben in der Ansicht von vorn. ( $\frac{1}{2}$ )

Präparation ähnlich wie bei Fig. 457/458, nur sind die pleurae pericardiacae grösstenteils entfernt, Herzbeutel und thymus damit freigelegt, ferner die vordern Ränder der Lungen zum gleichen Zweck zurückgeschlagen.



## Tafel 13.

Frontalschnitt (Gefrierschnitt) der Brust- und Bauchhöhle, Ansicht von hinten  
(hintere Hälfte). ( $\frac{2}{5}$ )

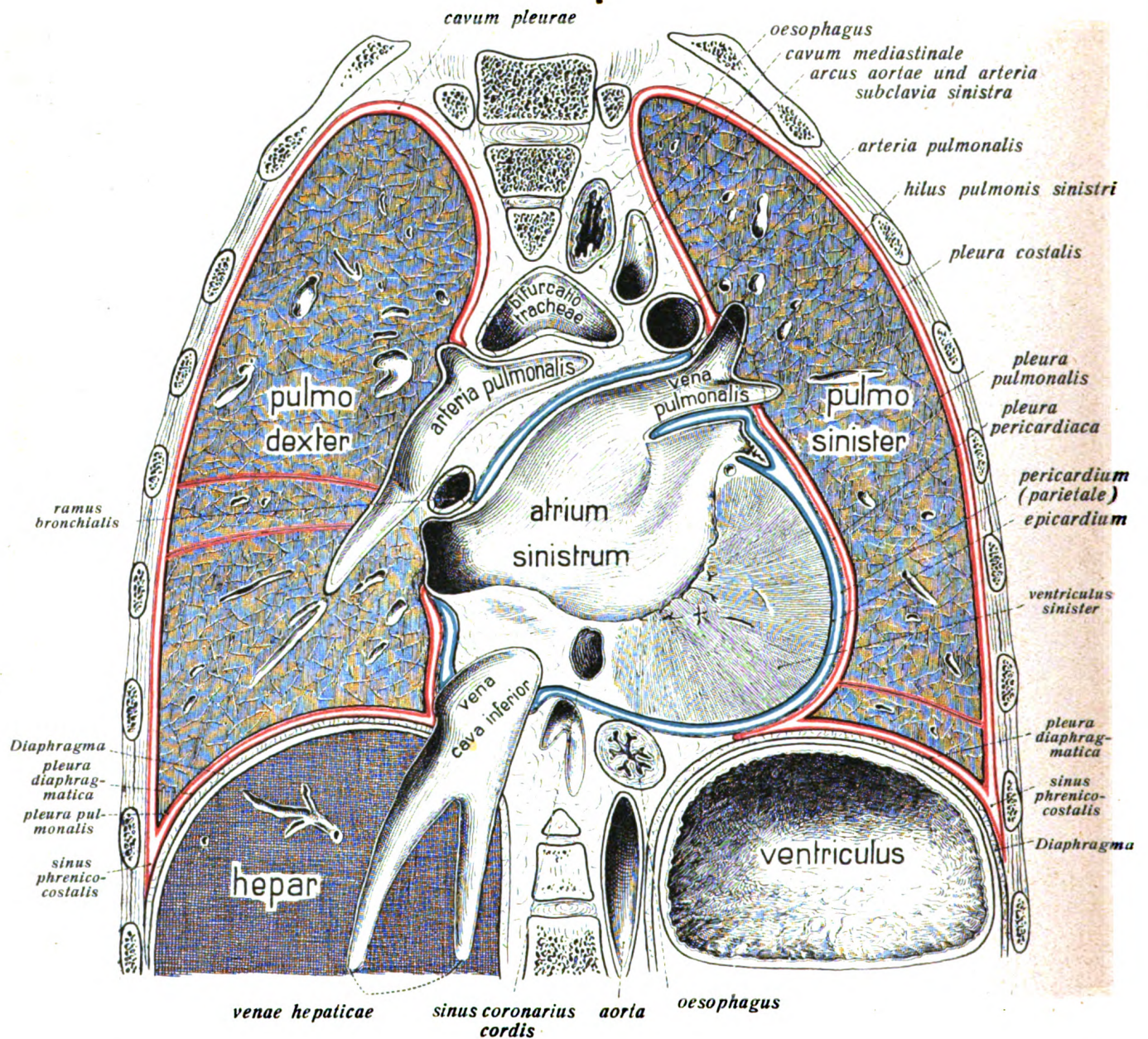
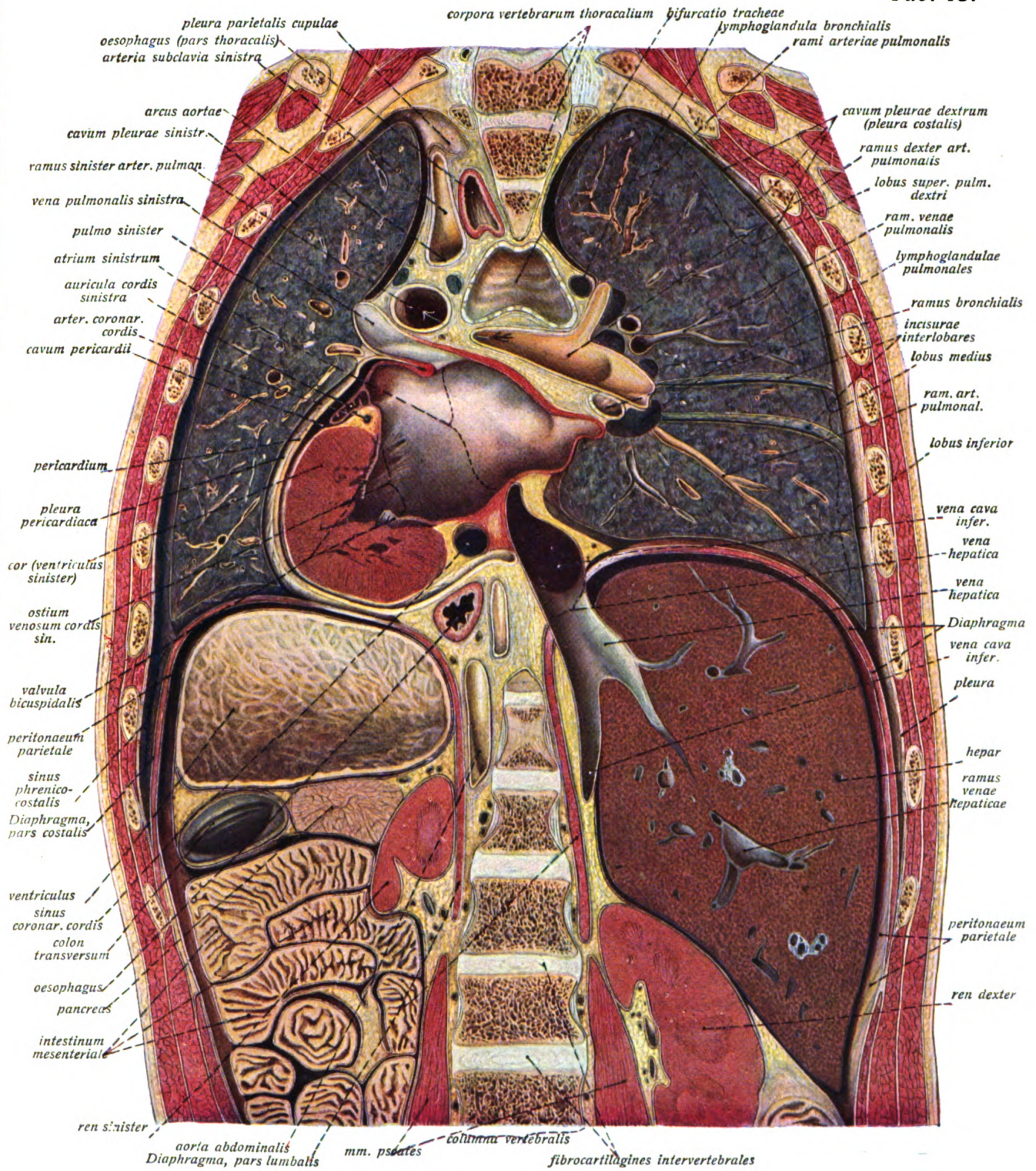


Fig. 461. Schema des Verhaltens der pleurae und des pericardium. Frontaler Längsschnitt (vordere Hälfte des Schnittes der Figur Tafel 13). Pleuren rot, Pericard blau.



Tab. 13.







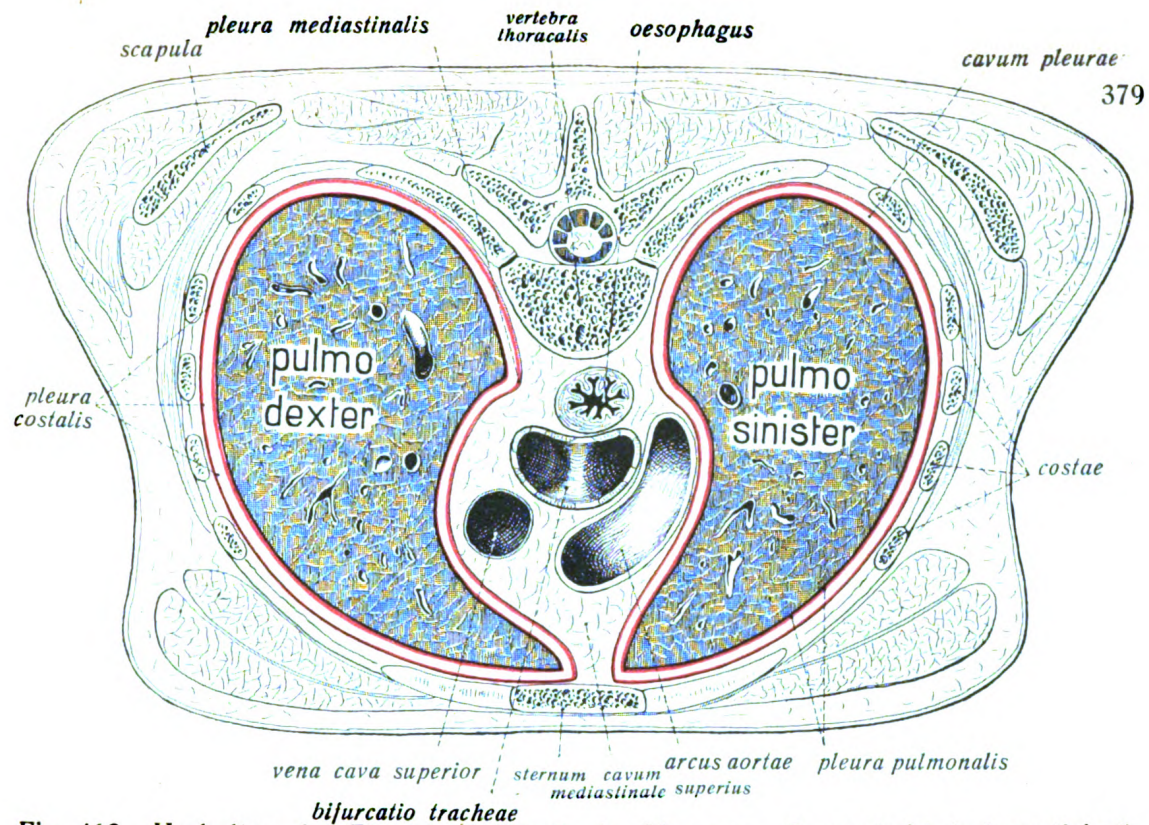


Fig. 462. Verhalten der Pleuren oberhalb des Herzens. Querschnitt (schematisiert).

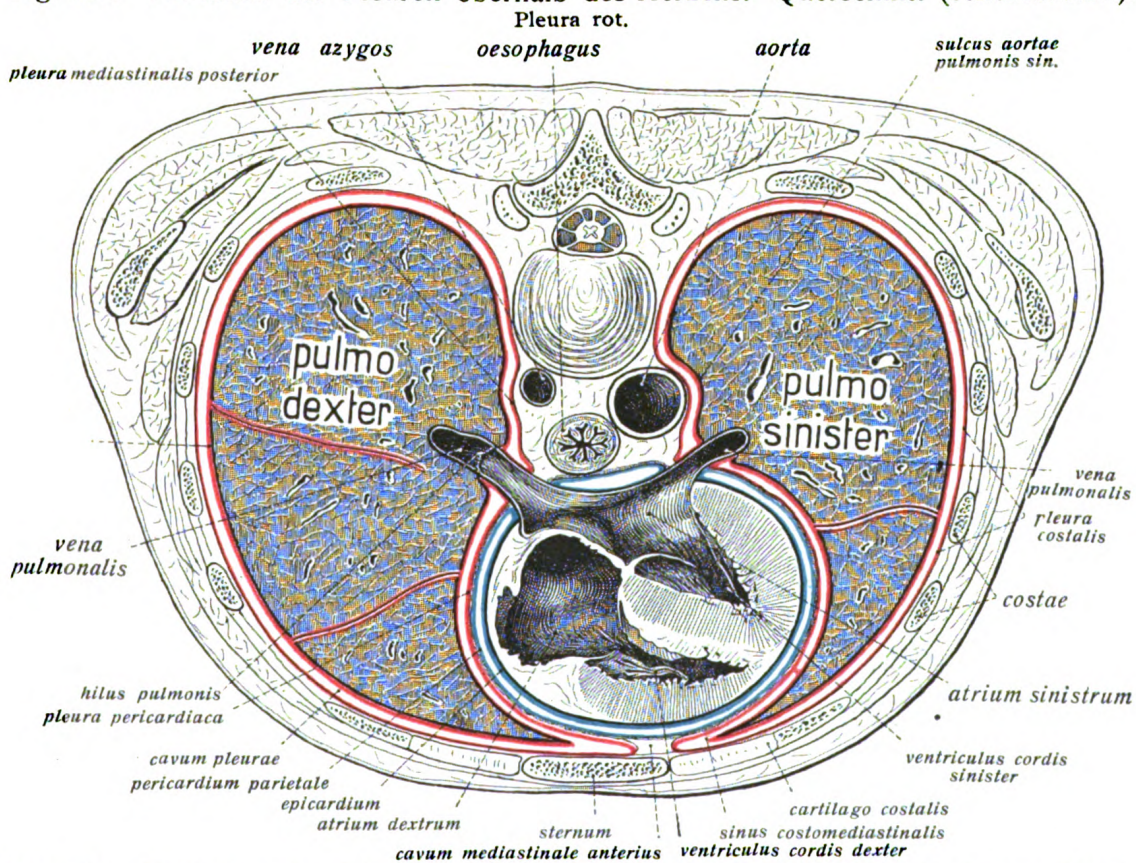


Fig. 463. Verhalten der Pleuren und des Pericards in der Gegend des Lungenhilus. Querschnitt (schematisiert). Pleura rot, Pericard blau, fibröser Herzbeutel schwarz.



## Lagerung der Brusteingeweide (Forts.), Brustfell.

### Tafel 14.

Fig. 1. Querschnitt der Brusthöhle in der Höhe des 4. Brustwirbels. ( $\frac{2}{5}$ )

Fig. 2. Querschnitt der Brusthöhle in der Höhe der Brustwarzen. ( $\frac{2}{5}$ )

### Tafel 15.

Fig. 1. Linke Pleurahöhle } eines Kindes. ( $\frac{3}{4}$ )  
 Fig. 2. Rechte Pleurahöhle }

Durch sagittale Schnitte sind die Rippen nebst der clavicula durchschnitten und damit die laterale Wand der Pleurahöhlen entfernt. Die Lungen sind dicht am hilus abgeschnitten. Man blickt daher in die leere Pleurahöhle, auf die alle Wandabschnitte der Höhle überziehende pleura parietalis. Die vena hemiazygos hat hier in Gestalt einer vena intercostalis suprema ihren Hauptabschluss nach oben zu.

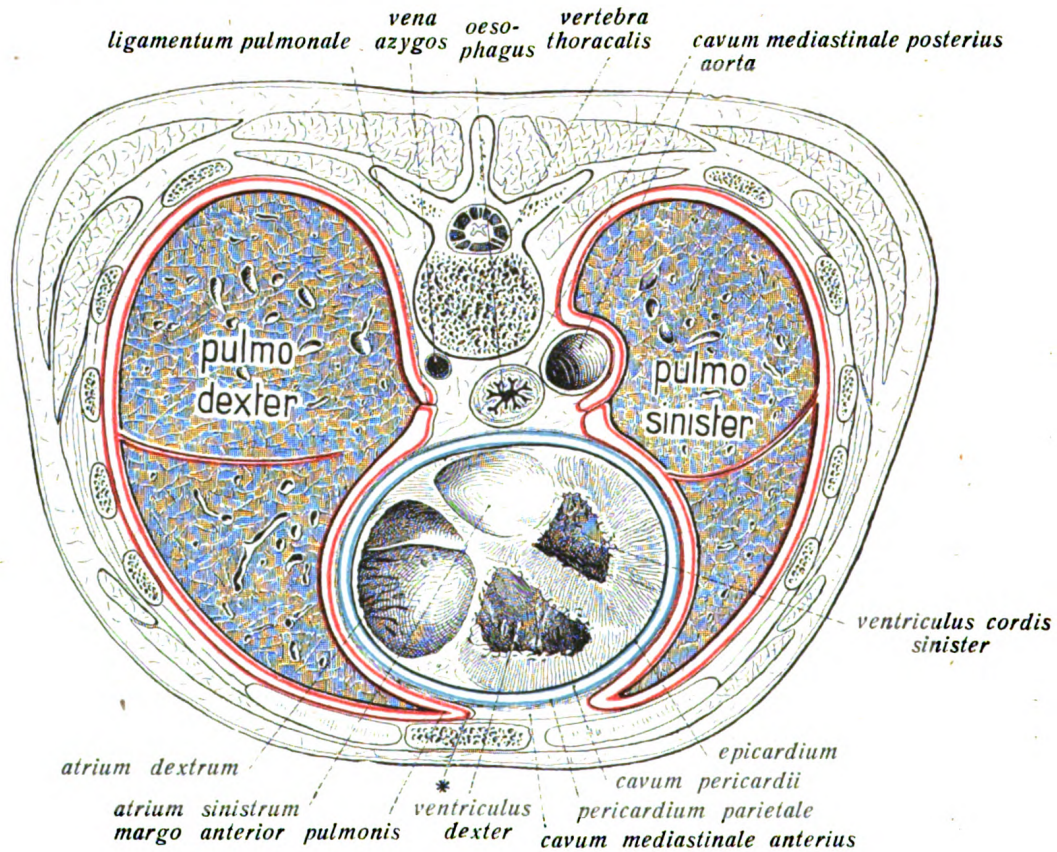


Fig. 464. Verhalten der Pleuren und des Pericards unterhalb des Lungenhilus.

Querschnitt (schematisiert) Pleuren rot, seröses Pericard blau, fibröses schwarz.

\* = pleura (lamina) mediastinalis anterior.



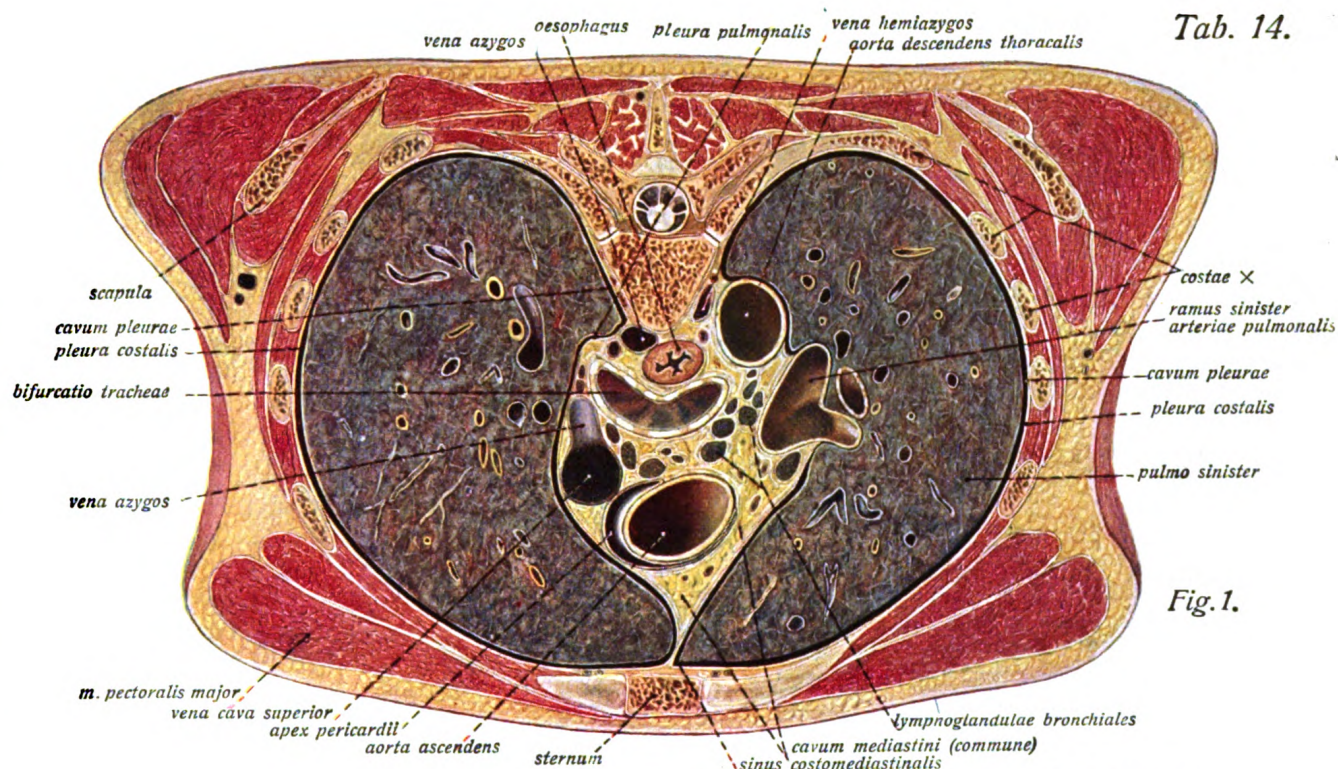


Fig. 1.

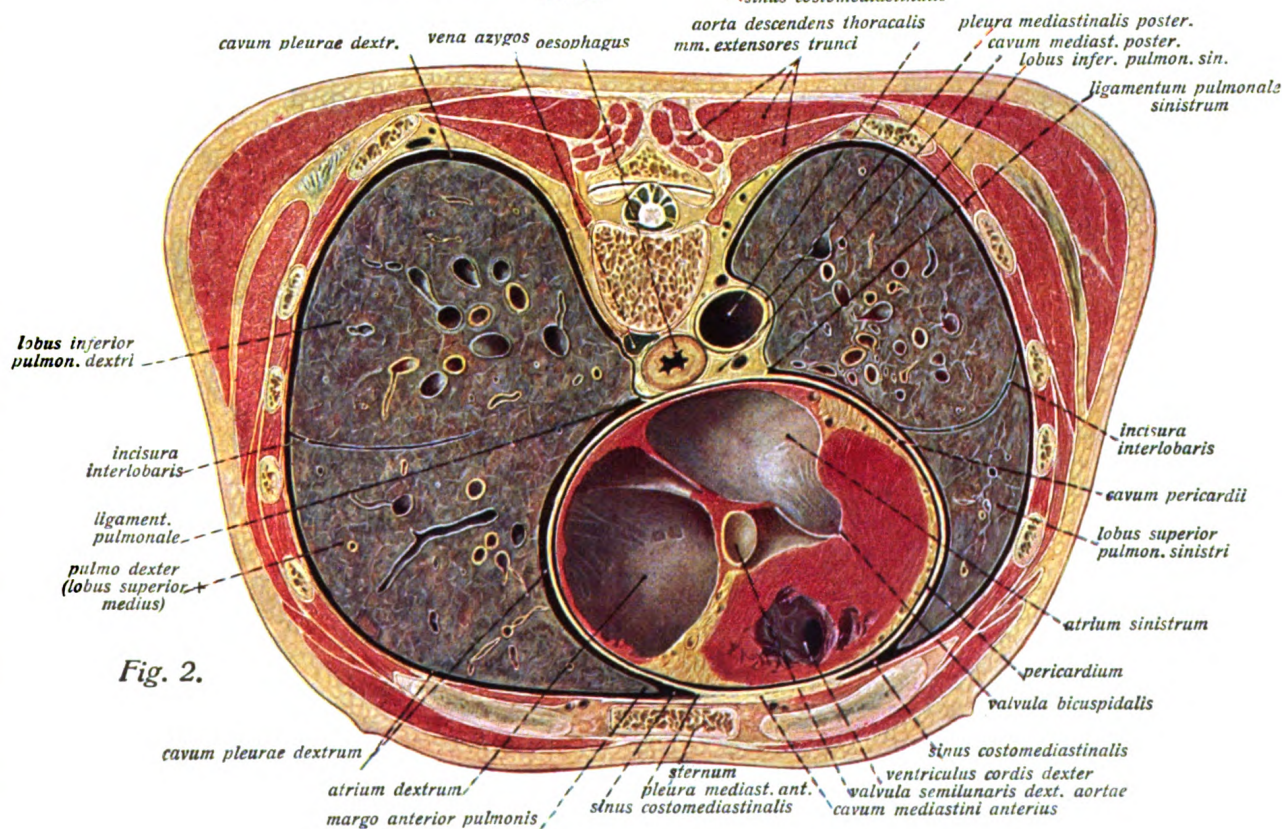


Fig. 2.





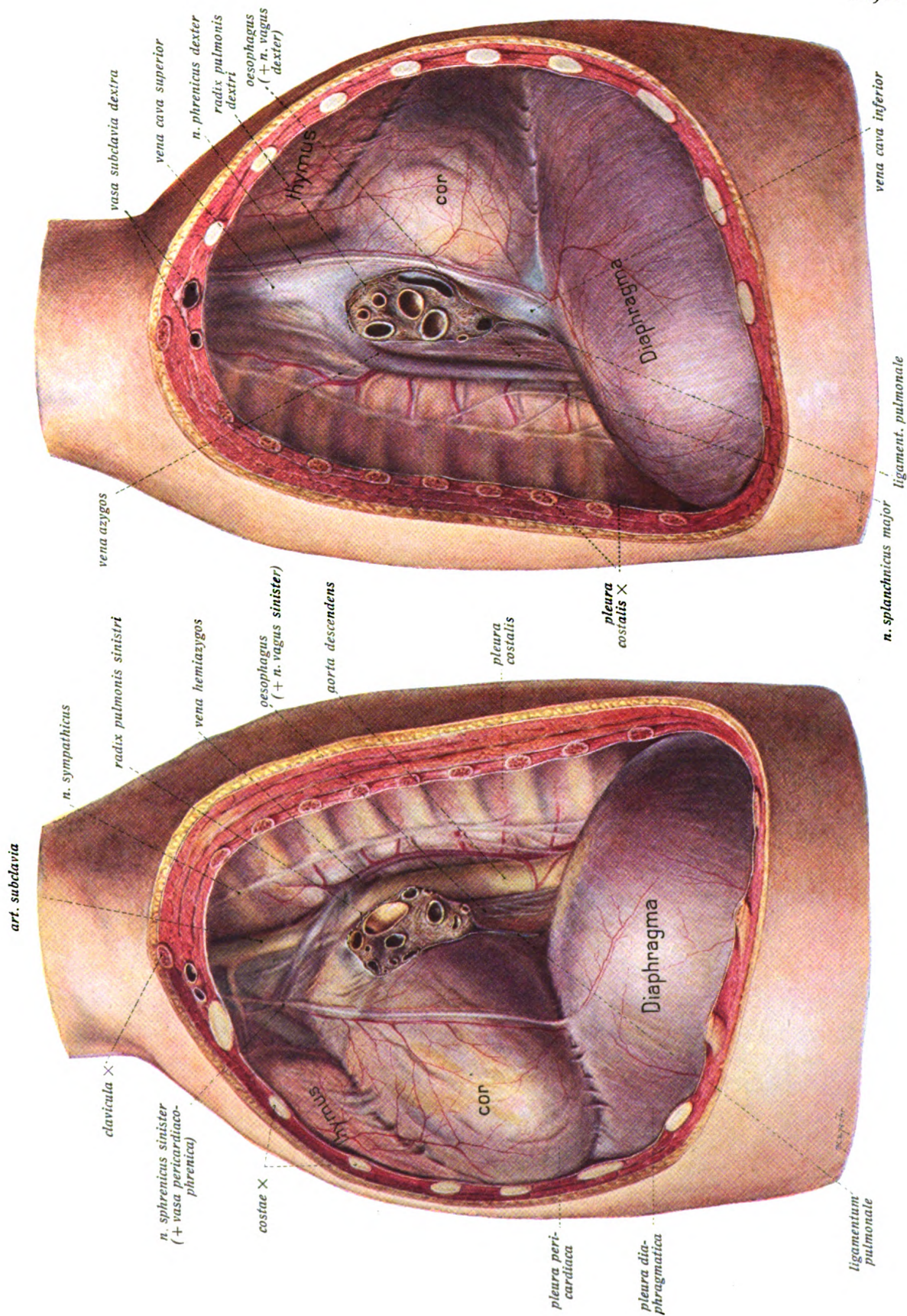


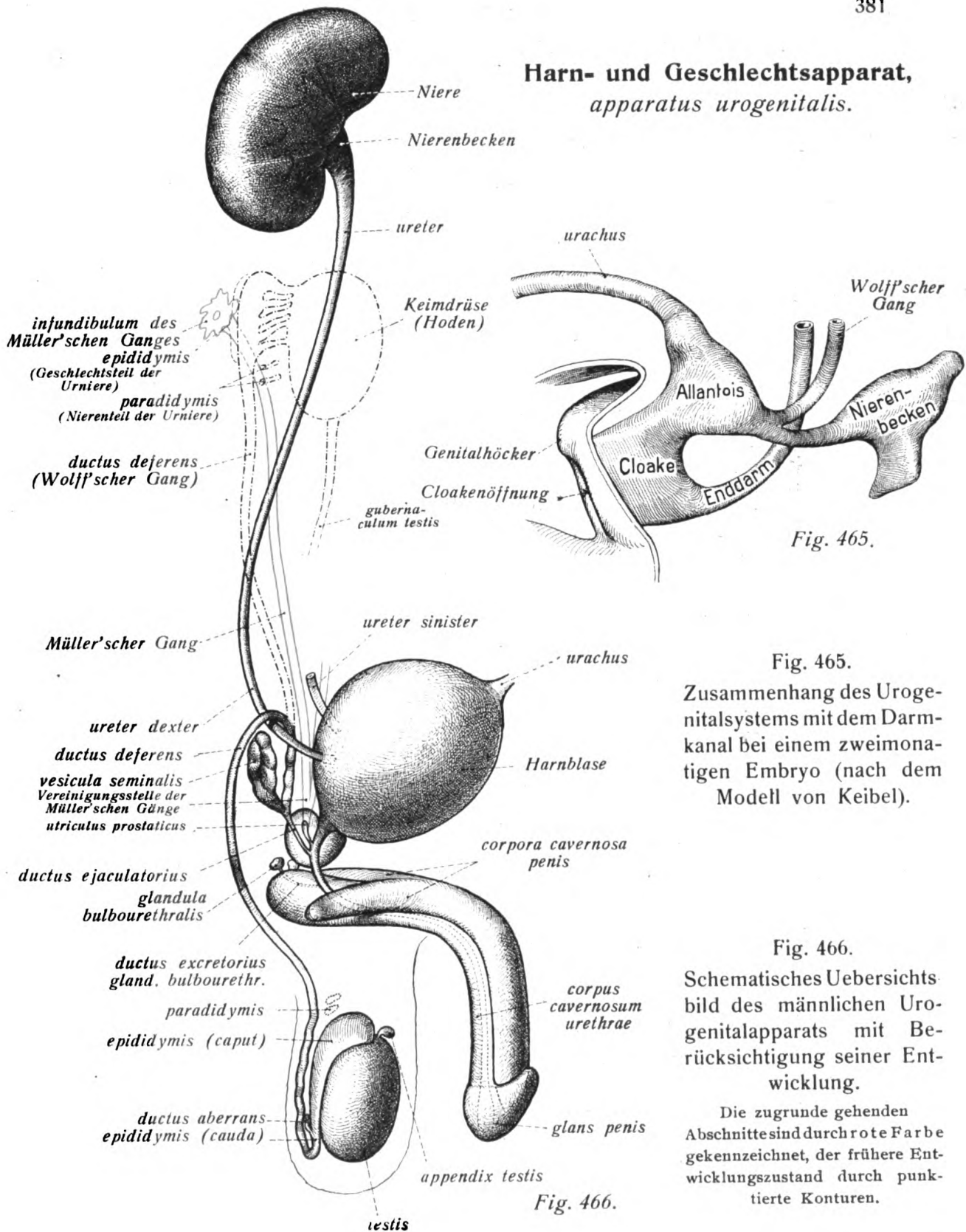
Fig. 2.

Fig. 1.





## Harn- und Geschlechtsapparat, *apparatus urogenitalis.*



## Harn- und Geschlechtsapparat (Forts.), Harnorgane, Niere.

Fig. 467.

Schematisches Ueber-  
sichtsbild des weiblichen  
Urogenitalapparates mit  
Berücksichtigung seiner  
Entwicklung.

Die zugrunde gehenden Teile  
sind rot dargestellt, die Lage-  
rung vor dem descensus durch  
Punktierung und Strichelung.

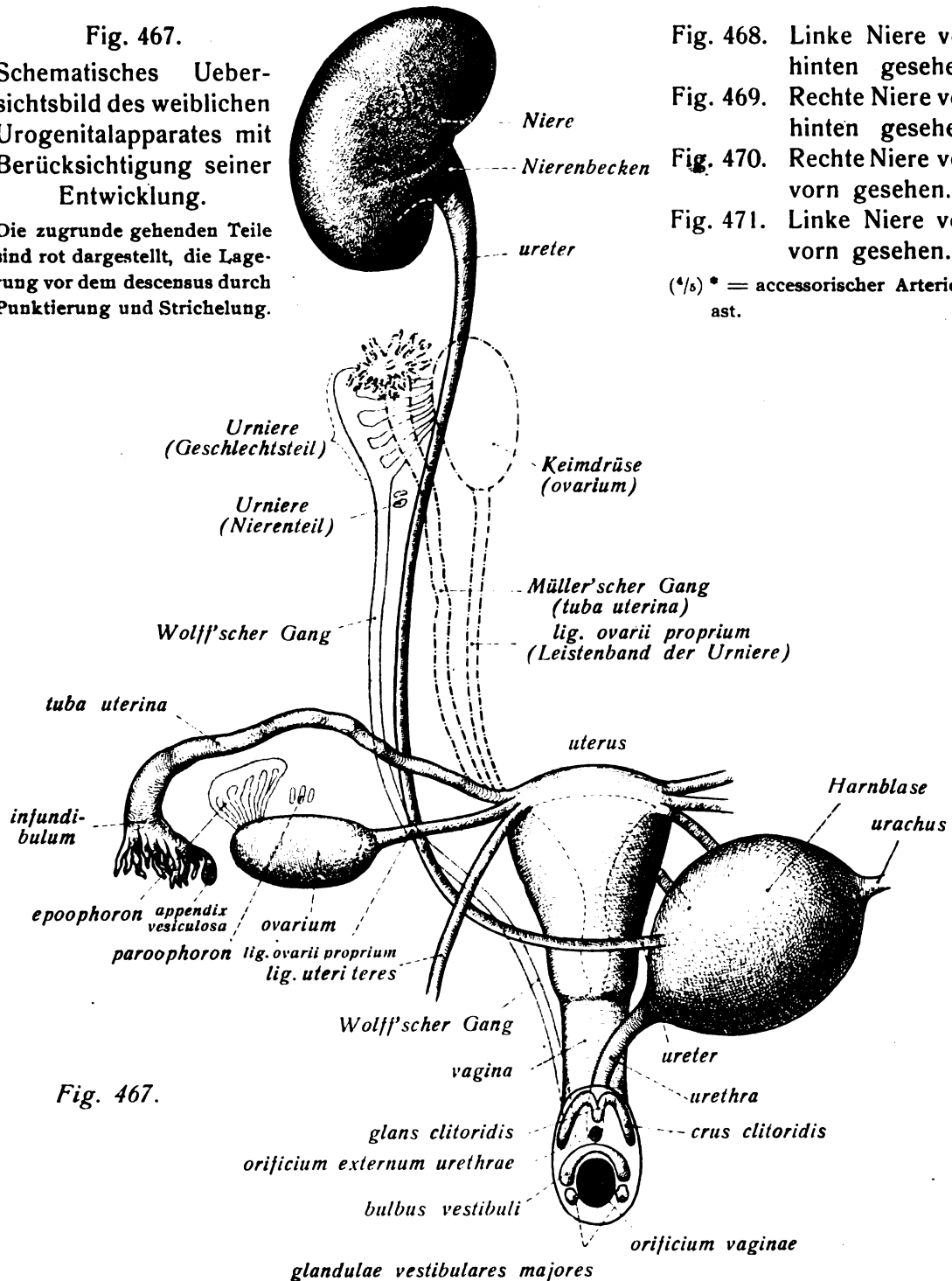


Fig. 467.

Fig. 468. Linke Niere von hinten gesehen.

Fig. 469. Rechte Niere von hinten gesehen.

Fig. 470. Rechte Niere von vorn gesehen.

Fig. 471. Linke Niere von vorn gesehen.

( $\frac{4}{5}$ ) \* = accessorischer Arterien-  
ast.

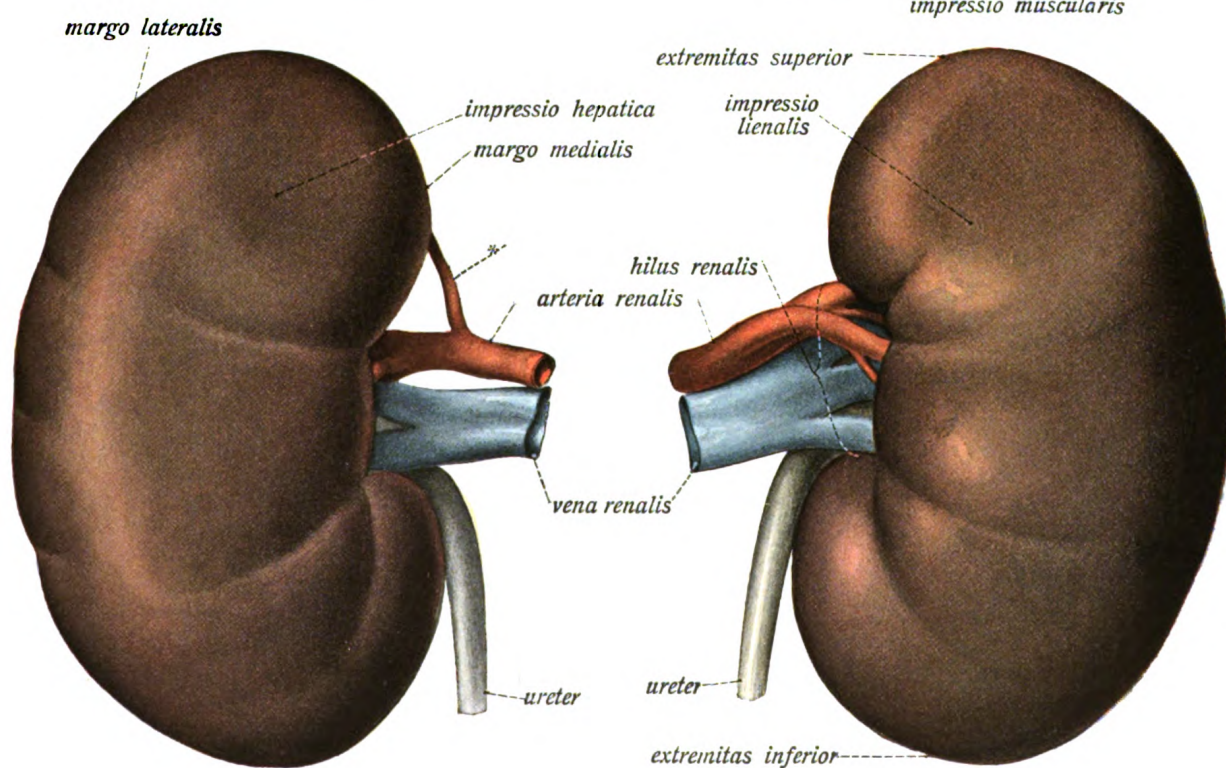
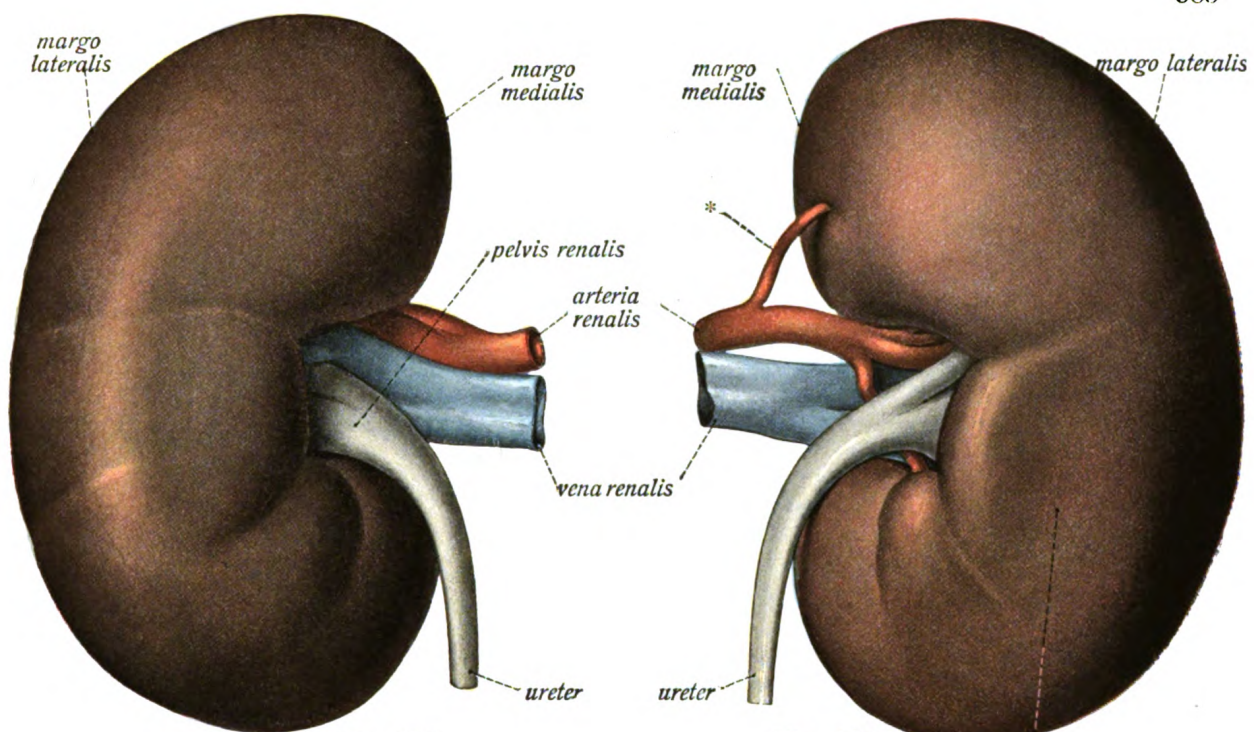


Fig. 470.

Fig. 471.



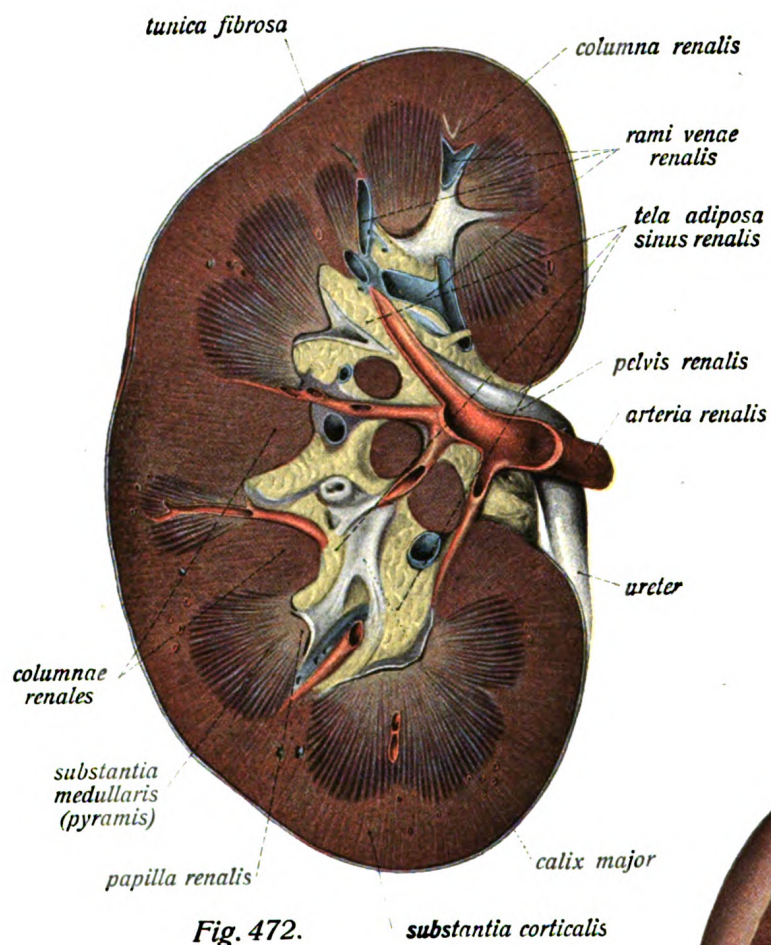


Fig. 472.



Fig. 473.

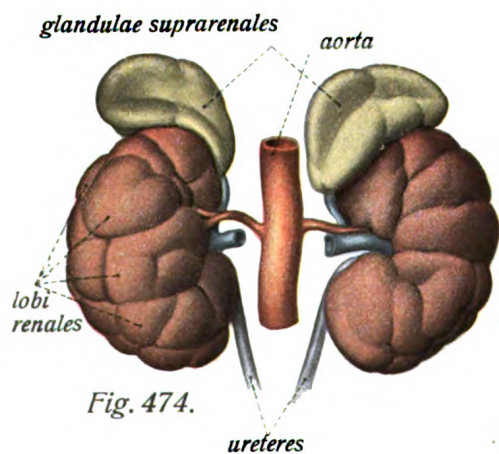


Fig. 474.

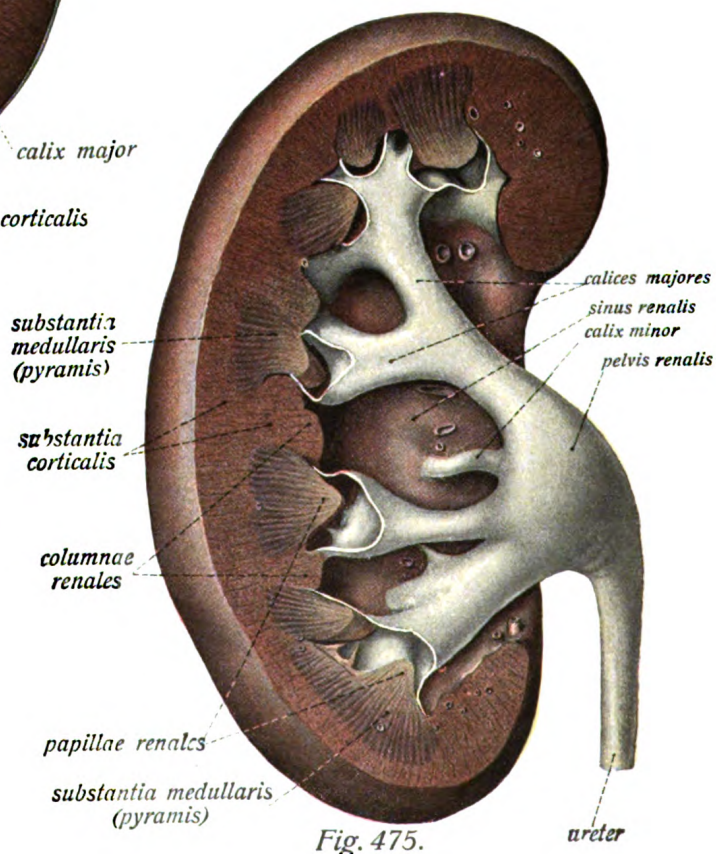


Fig. 475.

## Urogenitalapparat, Harnorgane, Niere. (Forts.)

- Fig. 472. Frontaler Durchschnitt der Niere mit ihrer Kapsel ( $\frac{1}{1}$ ).  
 Fig. 473. Niere eines Kindes mit deutlicher Lappung ( $\frac{1}{1}$ ).  
 Fig. 474. Nieren und Nebennieren eines älteren Fötus ( $\frac{1}{1}$ ).  
 Fig. 475. Sinus renalis und Nierenbecken durch einen frontalen Schnitt freigelegt ( $\frac{1}{1}$ ).  
 Die Gefäße und das Fettgewebe des sinus sind entfernt.

### Die Nieren, *renes*.

Die Nieren, *renes*, sind zwei an der Vorderfläche der hinteren Bauchwand gelegene, paarige Drüsen von ungefähr Bohnenform. Man unterscheidet an jeder eine stärker konvexe, vordere und eine hintere Fläche, *facies anterior* und *facies posterior*. Die abgerundeten Enden werden als *extremitas superior* und *inferior* bezeichnet. Ferner unterscheidet man einen *margo medialis* und *lateralis*. Beide sind stark abgerundet, der laterale ist konvex, der mediale in seiner Mitte, an der Stelle des *hilus renalis*, eingezogen. Die Oberfläche der Nieren zeigt schwache, vorn aber nur ganz undeutliche Eindrücke seitens der benachbarten Organe, an der hinteren Fläche eine *impressio muscularis* vom m. quadratus lumborum, an der vorderen eine *impressio hepatica* beziehungsweise links *gastrica*, *pancreatica*, *colica* und *lienalis*.

Der *hilus renalis* dient zum Eintritt (Austritt) der Gefäße und zum Austritt des Ausführungsganges der Niere, des Harnleiters, *ureter*. Letzterer verlässt ihn am weitesten nach unten und hinten, während die Gefäße weiter oben austreten (Arterie hinten, Vene vorn). Der hilus führt in den von der Nierensubstanz umschlossenen *sinus renalis*. Dieser entspricht ungefähr der Form der Niere und enthält reichliches Fettgewebe, die Verzweigungen und die Wurzeln des *ureter*, *calices* und *pelvis renalis*. Am Nierenparenchym, das an seiner äusseren Oberfläche von der *tunica fibrosa renis* überzogen wird, werden zwei verschiedene Substanzen unterschieden, die Rindensubstanz, *substantia corticalis*, und die Marksubstanz, *substantia medullaris*. Erstere bildet die Hauptmasse der Nierensubstanz, insbesondere die ganze Oberfläche. Die Marksubstanz erscheint in Gestalt der Nierenpyramiden, *pyramides renales*, welche an ihrer Basis mit der Rindensubstanz zusammenhängen, während ihre Spitze als *papillae renales* in den *sinus renalis* als kleine Kegel hineinragen. Deren Zahl beträgt 7–12, die der Pyramiden dagegen 15–20. Auf der Spitze jeder Papille münden die Endabschnitte der geraden Harnkanälchen, *ductus papillares*, in den feinen *foramina papillaria* aus (*area cribrosa*). Zwischen den Basen der *papillae renales* grenzen Abschnitte der Rindensubstanz, *columnae renales* (Bertini), an den *sinus renalis*. An der Grenze zwischen ihnen und den Pyramiden sieht man die stärkeren Gefässäste der Niere vom *sinus* her aus- beziehungsweise hier eintreten. Die Nieren des Fötus und des Neugeborenen sind deutlich gelappt.

Das Ausführungsgangsystem der Niere beginnt am *sinus renalis* in Gestalt der Nierenkelche, *calices renales*, welche einerseits am Seitenrande der Nierenpapillen ansetzen, andererseits in das Nierenbecken, *pelvis renalis*, eine im *sinus* und meist auch noch im Bereiche des *hilus renalis* gelegene Erweiterung des *ureter* übergehen. Meist fließen mehrere *calices*, bevor sie das Nierenbecken erreichen, zu einem stärkeren Stamm zusammen. Man unterscheidet dementsprechend *calices majores* und *minores*. Die Zahl letzterer entspricht der der Papillen, die der *majores* wechselt sehr. Das Nierenbecken, *pelvis renalis*, ist ein der Form des *sinus renalis* entsprechender, plattgedrückter, kurzer, etwa trichterförmig gestalteter, ziemlich dünnwandiger, seiner Gestalt nach individuell sehr variabler Schlauch.

### Der Harnleiter, *ureter*.

Der Harnleiter, *ureter*, ist ein ungefähr zylindrischer, 30 cm langer Kanal, der am Nierenhilus aus dem Nierenbecken hervorgeht und in den untern hintern Abschnitt der Harnblase einmündet. Man unterscheidet am *ureter* eine in der Bauchhöhle verlaufende *pars abdominalis* und einen im kleinen Becken gelegenen Abschnitt, *pars pelvina*. Im leeren Zustande ist der *ureter* platt; seine Muskulatur ist relativ schwach, so dass sich seine Wand schlaff anfühlt. Im gefüllten Zustand hat er das Kaliber eines schwachen Bleistifts. Beim Uebergang ins kleine Becken ist er etwas verengt.

## Urogenitalapparat, Nebennieren, Harnblase.

Fig. 476. Rechte Nebenniere in der Ansicht von vorn. ( $\frac{1}{1}$ )

Fig. 477. Linke Nebenniere in der Ansicht von vorn. ( $\frac{1}{1}$ )

Fig. 478a und b. Durchschnitte der Nebenniere. ( $\frac{1}{1}$ )

Fig. 479. Harnblase und prostata in der Ansicht von vorn. ( $\frac{9}{10}$ )

Harnblase und prostata sind durch einen Längsschnitt, die Blase an der Vorderfläche ausserdem noch durch einen Horizontalschnitt eröffnet. \* = Mündungen von Prostataadrüsen. In den Mündungen der ductus ejaculatorii Sonden.

### Die Nebennieren, *glandulae suprarenales*.

Die Nebennieren, *glandulae suprarenales*, sind paarige, dem oberen Ende der Nieren aufsitzende, drüsige Gebilde ohne Ausführungsgang. Sie haben eine platte, unregelmässige Gestalt und leicht höckrige Oberfläche. Gewöhnlich hat die linke Nebenniere die Form einer leicht gebogenen, halbmondförmigen Scheibe, die rechte dagegen ist dreieckig mit nach oben gerichteter Spitze. Man unterscheidet an jeder Nebenniere eine *facies anterior* und eine *facies posterior*. Die leicht konkave untere, zugleich etwas nach lateral und hinten gerichtete Fläche der Nebenniere, welche an die Niere grenzt, heisst *basis glandulae suprarenalis*. Ferner unterscheidet man einen *margo medialis* und einen *margo superior glandulae suprarenalis*, an der rechten Nebenniere auch die Spitze, *apex glandulae suprarenalis (dextrae)*. Auf der vorderen Fläche der Nebenniere liegt eine seichte Furche, in welche Nerven und Gefässe des Organs eintreten, *hilus glandulae suprarenalis*.

Durchschnitte der Nebenniere lassen die Zusammensetzung aus zwei verschiedenartigen und scharf getrennten Substanzen erkennen, der kompakteren gelblich bis bräunlich gefärbten Rindensubstanz, *substantia corticalis* und der von dieser vollkommen umschlossenen, überaus weichen, grauroten Marksubstanz, *substantia medullaris*. Die letztere enthält neben zahlreichen Nerven viele Gefässe, deren Lichtungen mit blossen Auge betrachtet, deutlich hervortreten.

### Die Harnblase, *vesica urinaria*.

Die Harnblase, *vesica urinaria*, ist eine unpaare, sackartige Erweiterung der abführenden Harnwege. Man unterscheidet an ihr drei Teile: der mittlere Hauptabschnitt wird als *corpus vesicae* bezeichnet, der obere, namentlich beim Neugeborenen deutlich zugespitzte Teil als Blasenscheitel, *vertex vesicae*, der gegen den Damm gerichtete, unterste Teil als *fundus vesicae*. Die Form der Harnblase ist eine verschiedene, je nachdem, ob sie leer, halb oder ganz gefüllt ist. Die gefüllte Blase hat meist ellipsoidische Form, die völlig leere Blase ist unregelmässig kugelig, beim Weibe oft durch den aufliegenden und nach vorn übergeneigten Uteruskörper schüsselförmig eingedrückt. Vom Scheitel der Blase geht das *ligamentum umbilicale medium* aus, das den Rest des embryonalen *urachus* darstellt.

Die Harnblase besitzt drei Öffnungen, die Einmündungsstellen der beiden Harnleiter, *orificia ureterum*, und die innere Ausmündung der Harnröhre, *orificium urethrae internum*. Alle drei liegen in geringer Entfernung (1–2 cm) voneinander in der Gegend des Blasengrundes, die Harnröhrenmündung am tiefst gelegenen Teil der Blase überhaupt, die Ureterenmündungen im unteren Teil an der hinteren Blasenwand. Die in ganz schräger Richtung die Blasenwand durchsetzenden Ureteren bilden dadurch konvergierende, wulstförmige Schleimhautfalten, *plicae uretericae* genannt. Fortsetzungen dieser Falten laufen über die Stelle der *orificia ureterum* hinaus, um sich gegen die Harnröhrenmündung hin allmählich zu verlieren. Andererseits sind beide Ureterenmündungen untereinander durch eine niedrige, gebogene Querfalte verbunden, so dass auf diese Weise ein nahezu gleichschenkeliges Dreieck entsteht, dessen drei Ecken die drei Öffnungen der Harnblase sind, und das sich durch glattere Beschaffenheit seiner Schleimhaut (auch im kontrahierten Zustand der Blase) auszeichnet, das *trigonum vesicae* (Lieutaudii). Meist geht von der Spitze des *trigonum vesicae* ein bis an das *orificium internum urethrae* reichender Längswulst aus, die *uvula vesicae*.



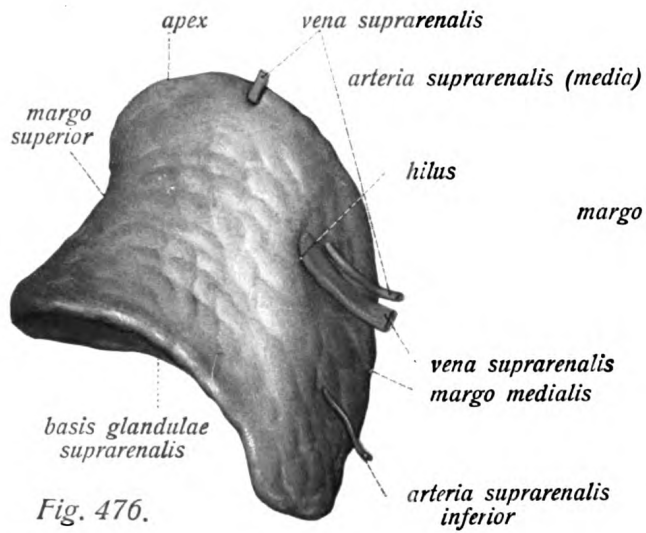


Fig. 476.

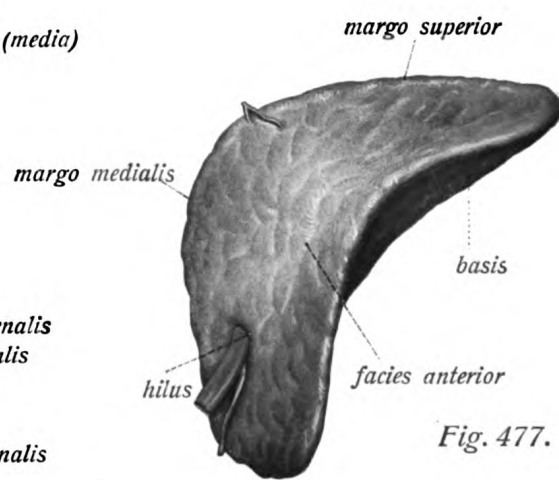


Fig. 477.

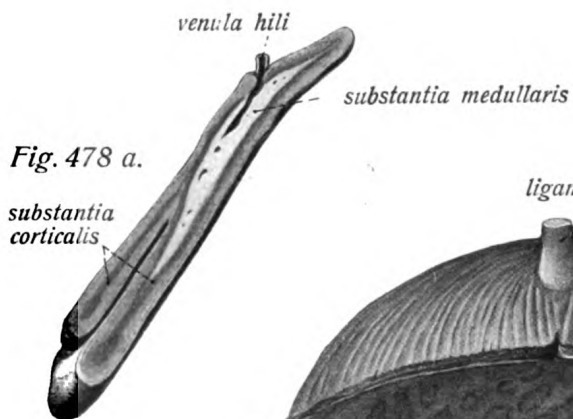


Fig. 478 a.

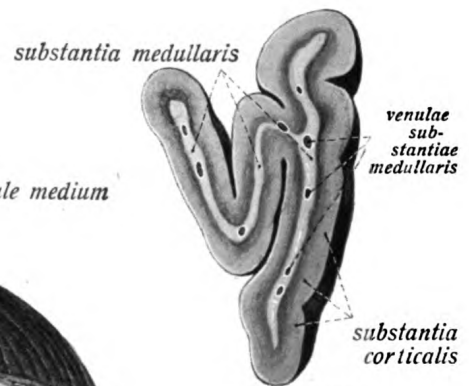


Fig. 478 b.

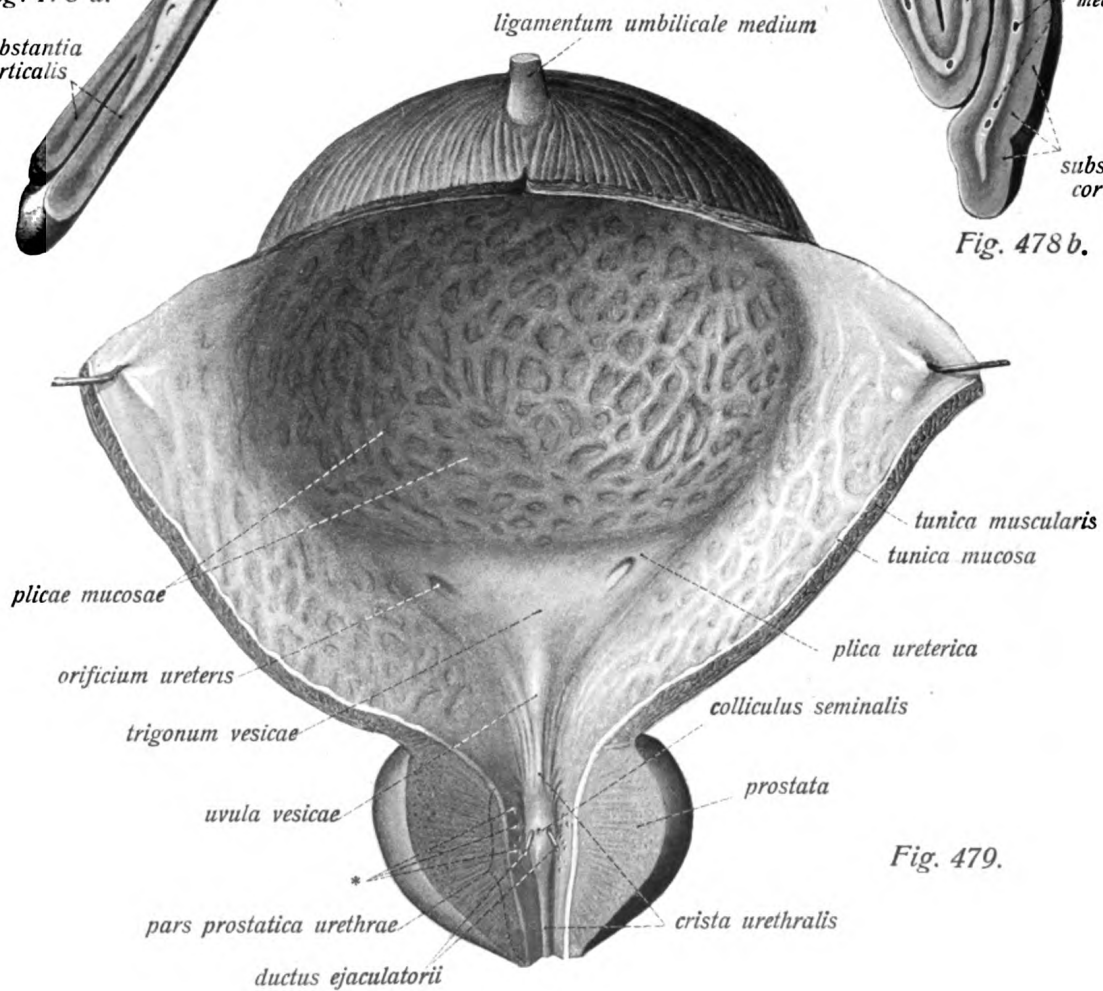


Fig. 479.

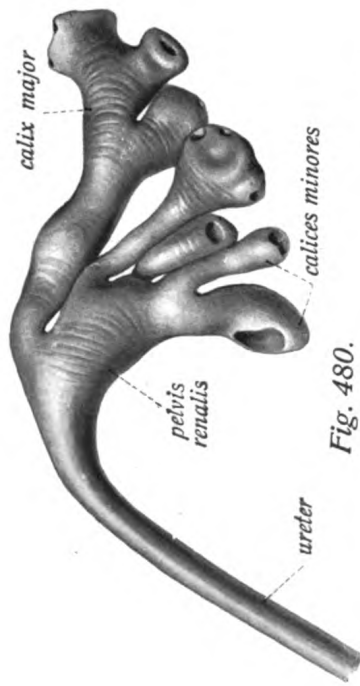


Fig. 480.

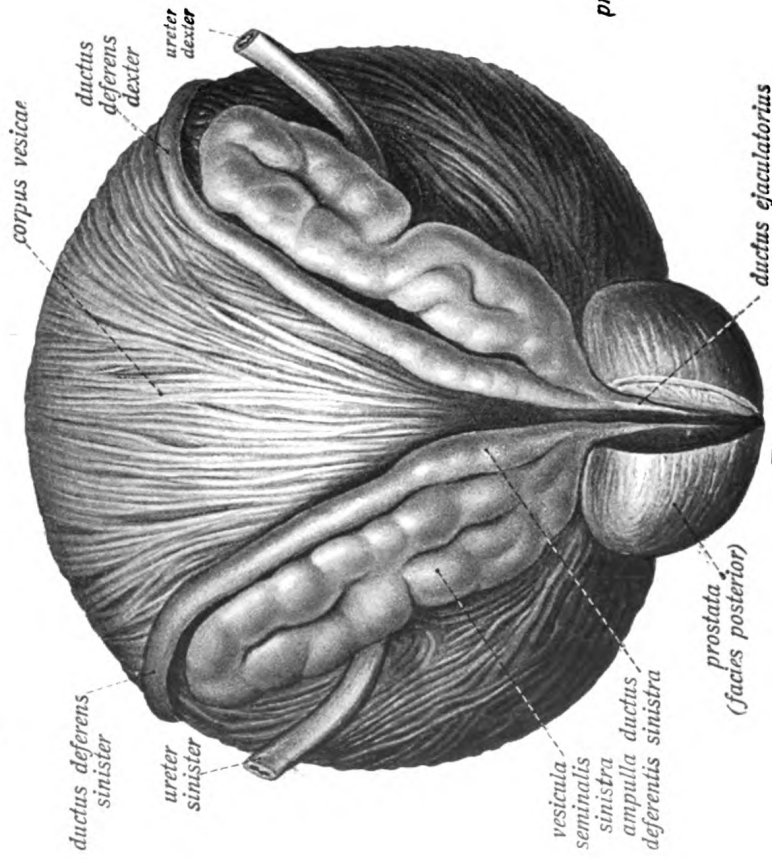


Fig. 481.

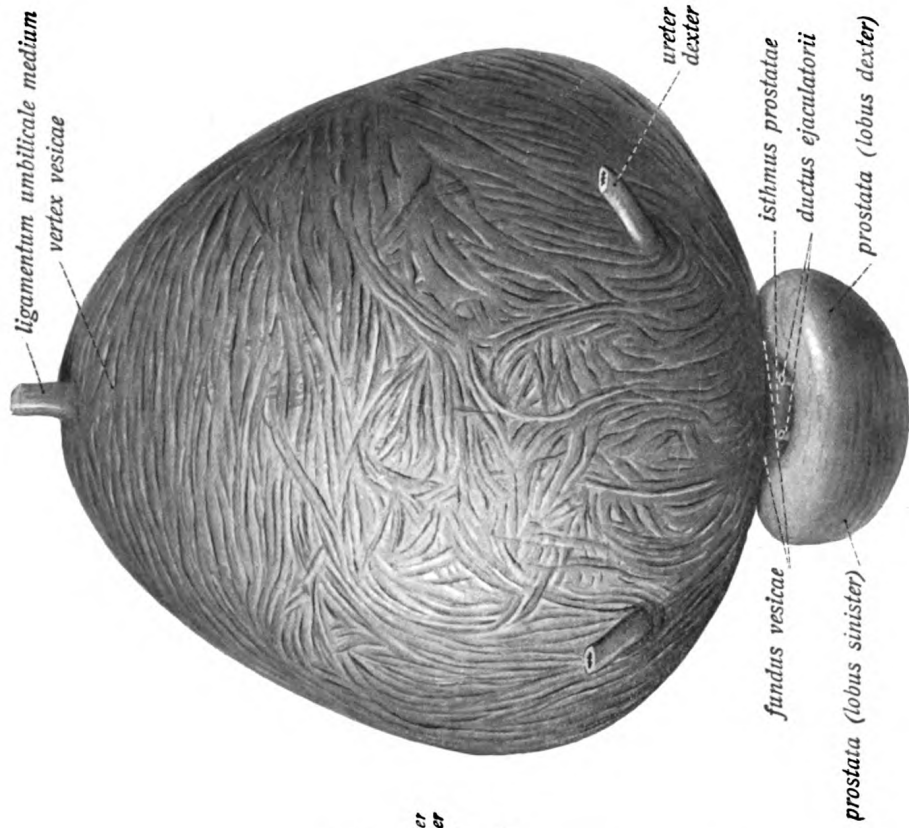


Fig. 482.

## Urogenitalapparat, Blase (Forts.) und Vorsteherdrüse.

Fig. 480. Ausguss des menschlichen Nierenbeckens. ( $\frac{1}{1}$ )  
 Fig. 481. Harnblase mit Samenblasen, Ampullen der Samenleiter und prostata in der Ansicht von hinten und unten. ( $\frac{1}{1}$ ) Die prostata ist durch Längsschnitt teilweise gespalten, um die ductus ejaculatorii freizulegen.  
 Fig. 482. Harnblase und prostata in der Ansicht von hinten. ( $\frac{1}{1}$ ) Die oberflächliche Muskulatur ist abpräpariert.

Die Wand der Harnblase besteht aus der Schleimhaut, *tunica mucosa*, der Muskelhaut, *tunica muscularis*, und einer nicht an der ganzen Oberfläche des Organs vorhandenen *tunica serosa*. Letztere überzieht nur die obere Fläche der Blase bis zum Scheitel hin und die oberen Abschnitte der seitlichen Flächen, an der hintern Fläche geht das peritoneum von der Blase beim Manne auf den Mastdarm, beim Weibe auf die facies vesicalis uteri über. Den tiefsten Punkt erreicht es beim Manne oberhalb beider Samenblasenkuppen. Die tunica muscularis besteht aus drei Schichten. Die äussere, *stratum externum*, zeigt im wesentlichen Längsbündel. Das *stratum medium* ist die kräftigste der drei Muskelschichten und besteht aus einer ziemlich kontinuierlichen Ringfaserlage, die im oberen Teil der Harnblase mehr schräge, im unteren genau quere Richtung hat. Eine Verstärkung am orificium urethrae internum wird als *anulus urethralis* bezeichnet und dient als *m. sphincter vesicae*. Das *stratum internum* ist eine netzförmige, dicht unter der Schleimhaut gelegene, weitmaschige Muskulatur, deren Hauptrichtung eine longitudinale ist.

### Die Vorsteherdrüse, prostata.

Die Vorsteherdrüse, *prostata*, ist ein am unteren Ende der Harnblase gelegenes, drüsig-muskulöses Organ von harter Konsistenz, die den Anfangsteil der Harnröhre ringförmig umgibt, so dass ein dünnerer, niedrigerer, halbringartiger Teil des Organs vor, die dickere und höhere Hauptmasse der Drüse aber hinter der urethra gelegen ist. Der breitere, obere, an der Harnblase angewachsene Teil wird als *basis prostatae*, die nach unten und vorn gerichtete, aber stark abgerundete Spitze als *apex prostatae* bezeichnet. Eine seichte Furche der Hinterfläche teilt den hintern Hauptabschnitt des Organs in zwei unvollkommen abgegrenzte Lappen, *lobus dexter* und *lobus sinister*. Eine quere, durch den Eintritt der ductus ejaculatorii bedingte Furche der basis prostatae trennt den vordern, als *isthmus prostatae* bezeichneten Teil vom hintern Abschnitt. Die fast plane Hinterfläche des Organs wird als *facies posterior*, die viel kürzere und fast vertikale, vordere Fläche als *facies anterior* bezeichnet. Beide gehen durch seitliche, ebenfalls konvexe Flächen ohne Grenze ineinander über. In der Richtung von vorn nach hinten ist die prostata deutlich abgeplattet. Die prostata besteht zur Hälfte aus glatter Muskulatur, *m. prostaticus*, zur Hälfte aus Drüsenmasse, *corpus glandulare prostatae*. Es handelt sich um eine grössere Zahl Einzeldrüsen, welche mit ihren ca. 30 Ausführungsgängen, *ductus prostatici*, in die pars prostatica urethrae ausmünden. Entsprechend der stärkeren Anhäufung der Drüsensubstanz im hintern Abschnitt der Drüse liegen die Mündungen hauptsächlich im hintern Teil der Harnröhrenwand, besonders auf den seitlichen Abhängen des *colliculus seminalis* und in der Furche neben seinen Rändern.



# Urogenitalapparat (Forts.), männliche Genitalien.

*Schnitttrand des Bauchfells*

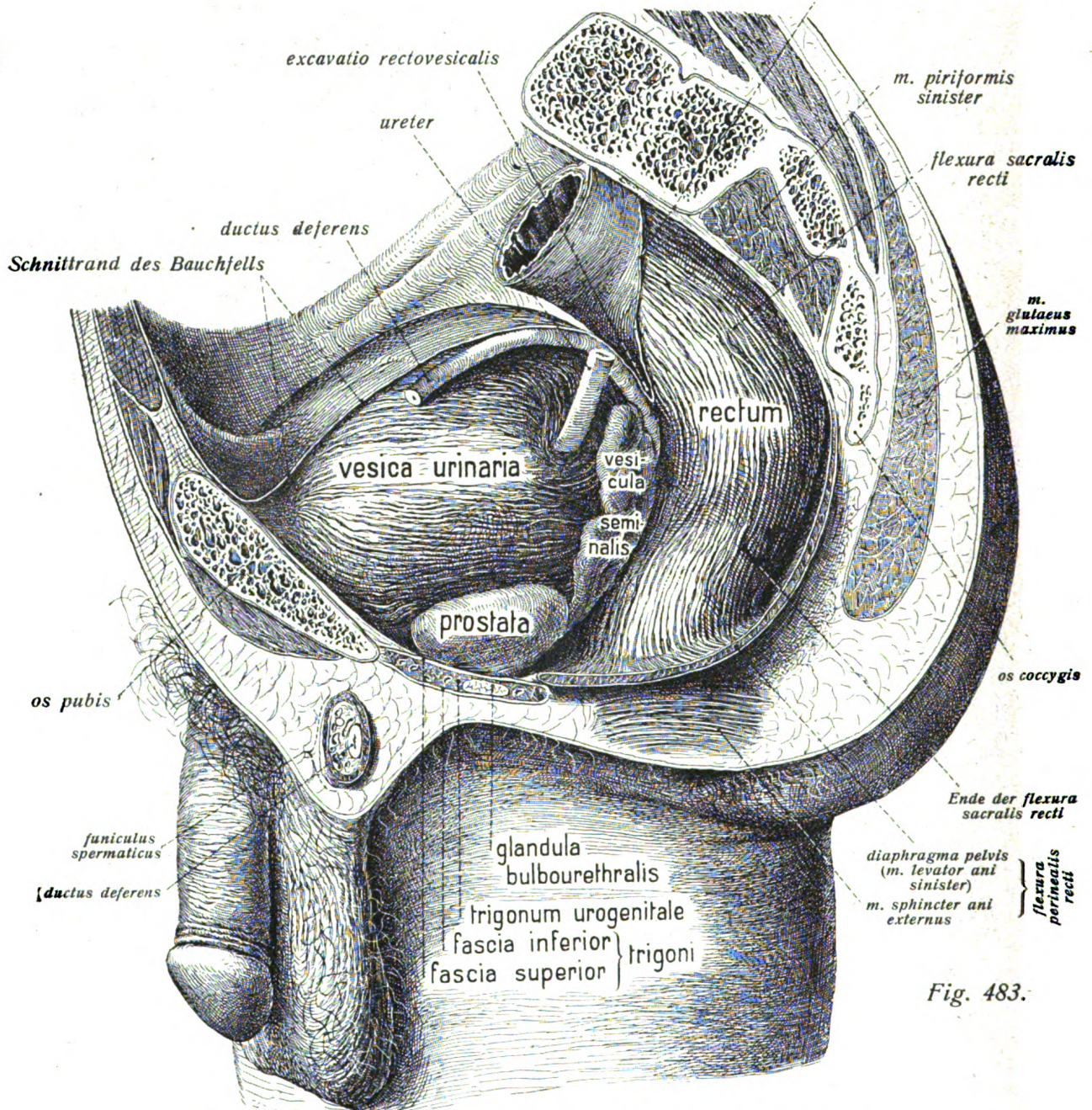
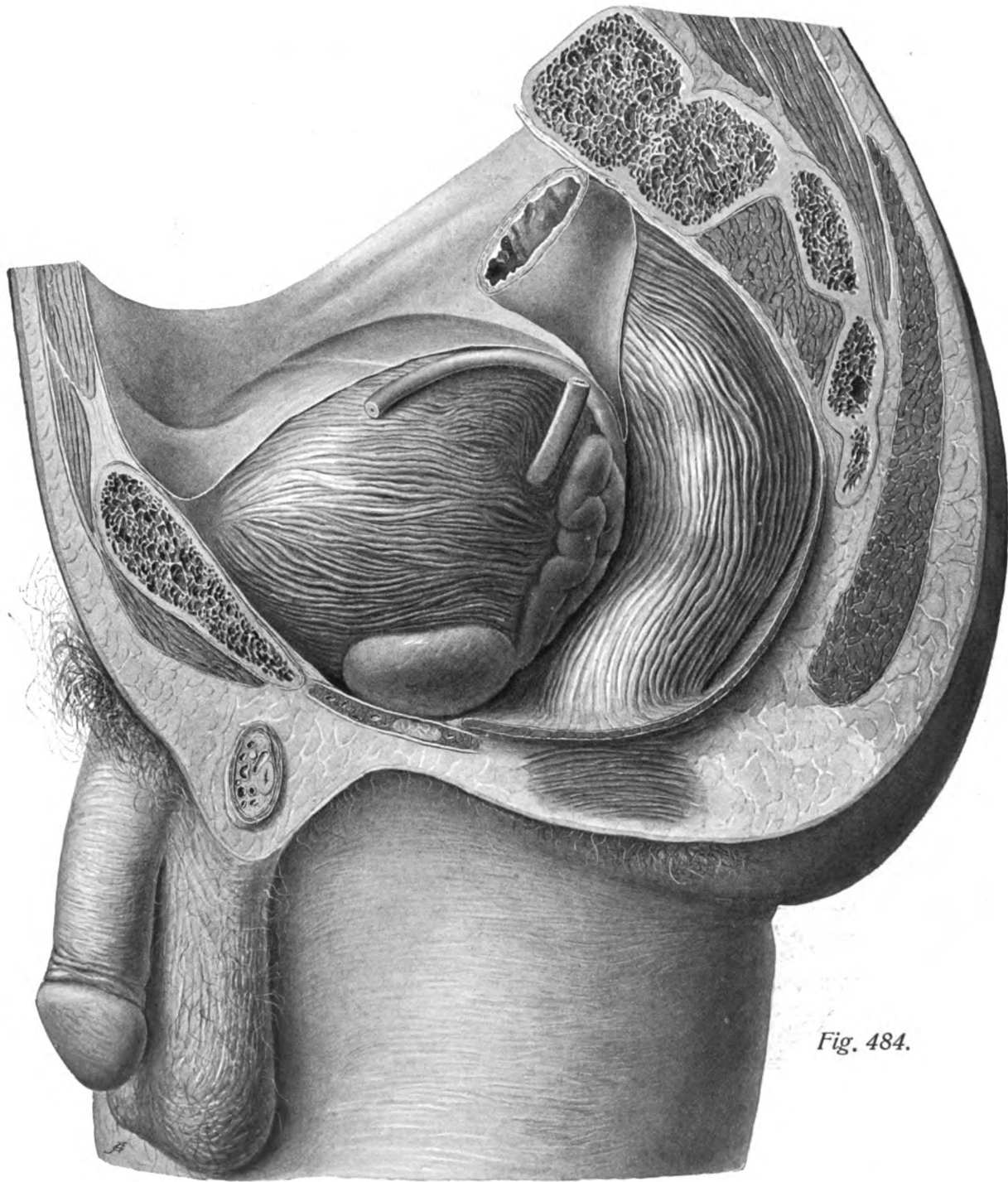


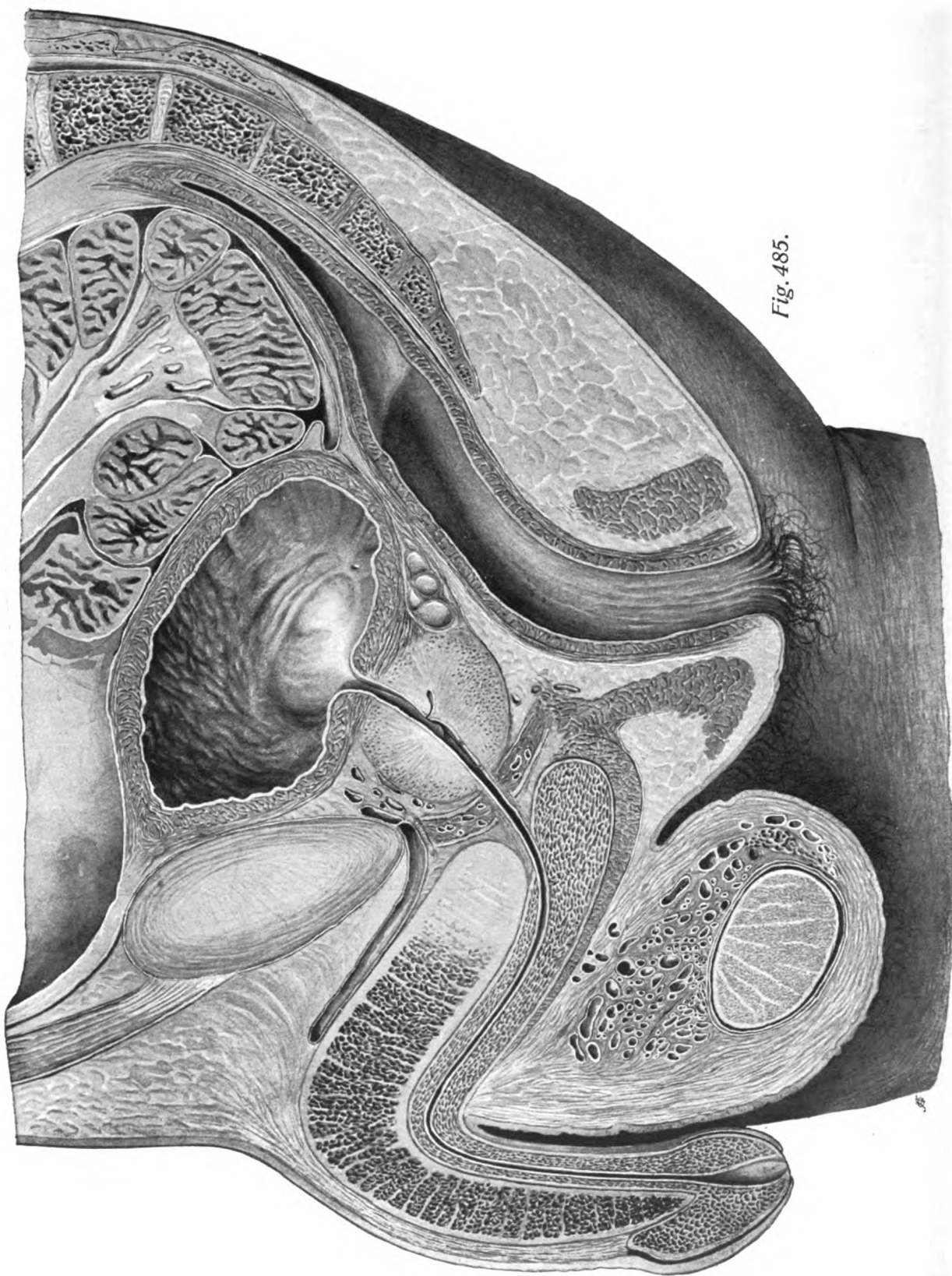
Fig. 483.

Fig. 483 u. 484. Profilansicht der männlichen Genitalien. (\*<sup>1</sup>/<sub>3</sub>)  
 Kreuz-Steissbein und Schambein sind einige Zentimeter neben der Mittellinie durchsägt,  
 das Bauchfell von dem seitlichen Teil der Harnblase abpräpariert.

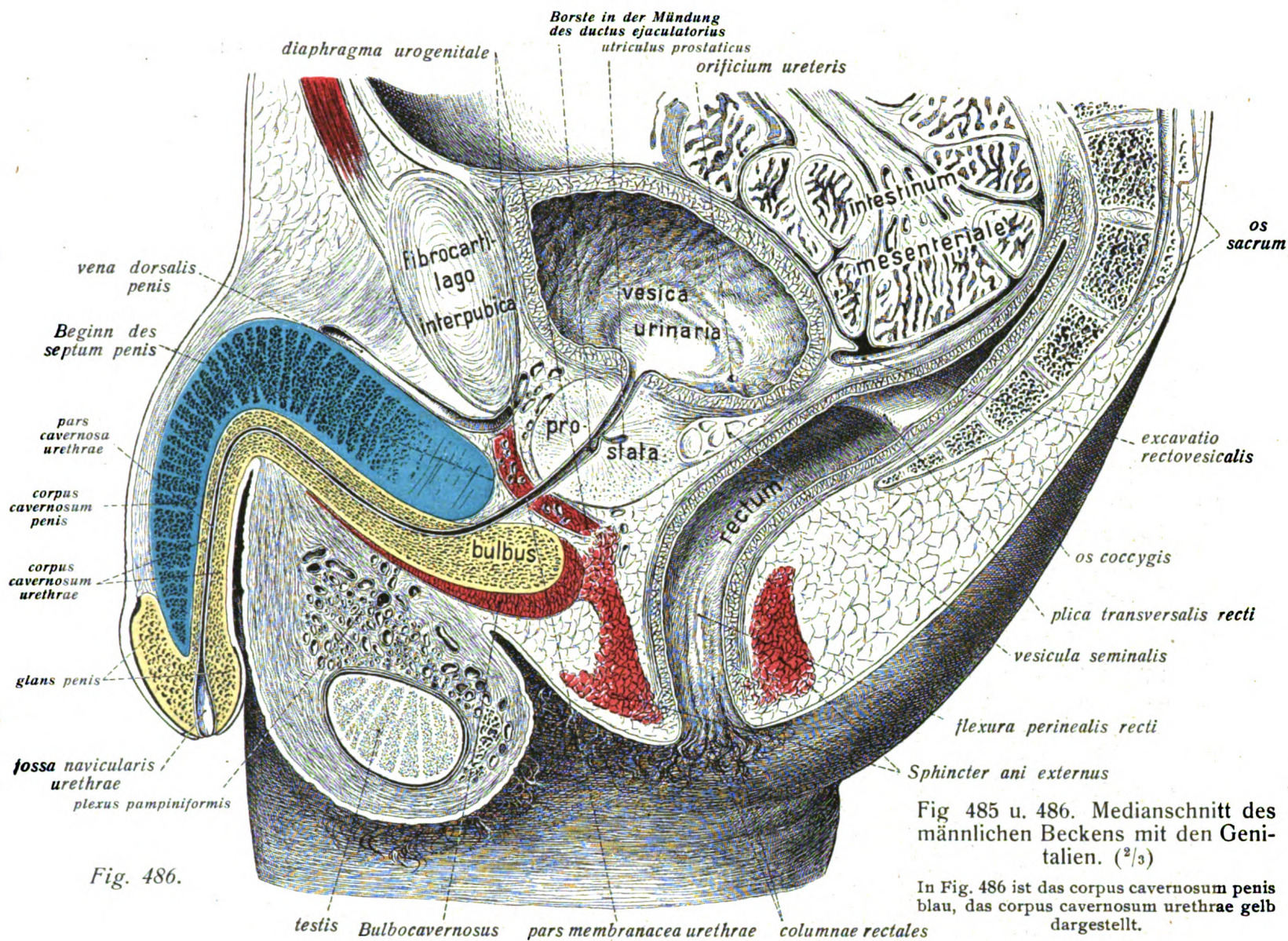


*Fig. 484.*



*Fig. 485.*





## Urogenitalapparat, männliche Genitalien (Forts.), Hoden und Nebenhoden.

- Fig. 487. Rechter Hoden und Nebenhoden und angrenzender Teil des Samenstrangs in der Ansicht von vorn. ( $\frac{4}{5}$ )
- Fig. 488. Rechter Hoden und Nebenhoden und angrenzender Teil des Samenstrangs in der Ansicht von der lateralen Seite. ( $\frac{4}{5}$ )
- Fig. 489. Hoden, Nebenhoden und Anfangsteil des ductus deferens. ( $\frac{5}{4}$ ) Die tunica albuginea ist grösstenteils weggenommen, im unteren Abschnitt des Hodens sind Samenkanälchen ausgefasert. Nebenhodengänge und Samenleiter sind durch Injektion prall gefüllt. Das Gefässbündel des Hodens ist kurz abgeschnitten.
- Fig. 490. Längsschnitt des Hodens und Nebenhodens. ( $\frac{5}{4}$ )

### Hoden, testis, und Nebenhoden, epididymis.

Der Hoden, *testis*, ist ein paariger, ellipsoidischer, in einer eigenen serösen Hülle im Hodensack gelegener, drüsiger Körper. Man unterscheidet an ihm das obere Ende, *extremitas superior*, das untere Ende, *extremitas inferior*, eine *facies lateralis* und eine *facies medialis*. Letztere werden durch stark-abgerundete Ränder, *margo anterior* und *posterior*, miteinander verbunden. Den Hoden umgibt eine feste, weisse, bindegewebige Hülle, *tunica albuginea testis*. Am hintern Rand des Hodens treten die Gefässe und Nerven in den Hoden hinein und durchbrechen die albuginea. Der hintere Rand des Hodens ist daher auch der angewachsene, der vordere der freie. Ausserdem findet sich hier ein keilförmiger, auf dem Querschnitt dreieckiger Bindegewebskörper, *mediastinum testis* (corpus Highmori), der mit seinem zugeschärften, vorderen Rande ins Innere des Hodens ragt. Seine Länge ist wesentlich geringer als die des Hodens, so dass er gegen das obere und untere Ende des Organs allmählich aufhört. Von ihm aus gehen in radiärer Richtung bindegewebige Scheidewände gegen die gegenüberliegende Innenfläche der albuginea, *septula testis*. Die zwischen ihnen gelegenen Läppchen, *lobuli testis*, des Hodenparenchyms enthalten die sezernierenden Kanälchen des Hodens, *tubuli seminiferi contorti*, feine, stark gewundene und aufgeknauelte, mit blossen Auge noch gut sichtbare, lange, weissliche Röhrchen, sie gehen im Bereiche des mediastinum in mehr gerade, anastomosierende, viel engere Kanäle, *tubuli seminiferi recti*, über, die das *rete testis* (Halleri) bilden. Von der Basis des mediastinum testis aus gehen 10—15 Ausführungsgänge, *ductuli efferentes testis*, in den Nebenhoden.

Der Nebenhoden, *epididymis*, ist ein länglicher, keulen- oder besser retortenförmiger, im Mittelteil dreiseitig-prismatischer, am oberen Ende verdickter, abgerundeter Körper, der dem hinteren Rande des Hodens seiner grössten Länge nach anliegt. Man unterscheidet am Nebenhoden drei ohne scharfe Grenze ineinander übergehende Teile, den stark verdickten Nebenhodenkopf, *caput epididymidis*, das *corpus epididymidis* und die *cauda epididymidis*. Ersterer ist abgerundet, medianwärts gerichtet und liegt mit seiner Unterfläche dem oberen Ende des Hodens auf. Das corpus epididymidis ist meist der dünnste Abschnitt des Nebenhodens und deutlich prismatisch; es liegt mit seinem vorderen Rande fest angewachsen am hinteren Rande des Hodens und an dem angrenzenden Teil der lateralen Fläche, im übrigen aber ist es vom Hoden durch den *sinus epididymidis* getrennt. Die mehr abgerundete, gekrümmte cauda epididymidis liegt am unteren Ende des Hodens und biegt hier scharf in den nach hinten oben verlaufenden Samenleiter um, in den sie auch allmählich übergeht.



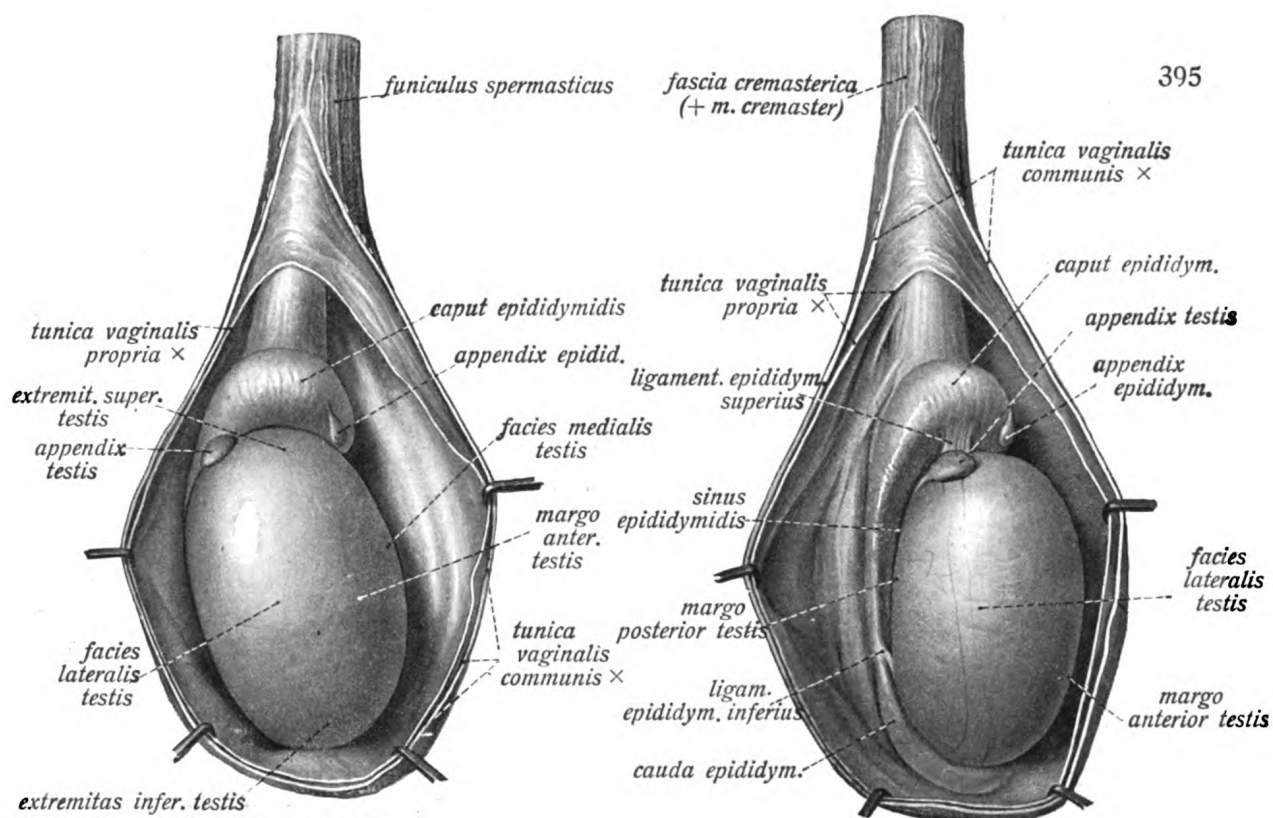


Fig. 487.

Fig. 488.

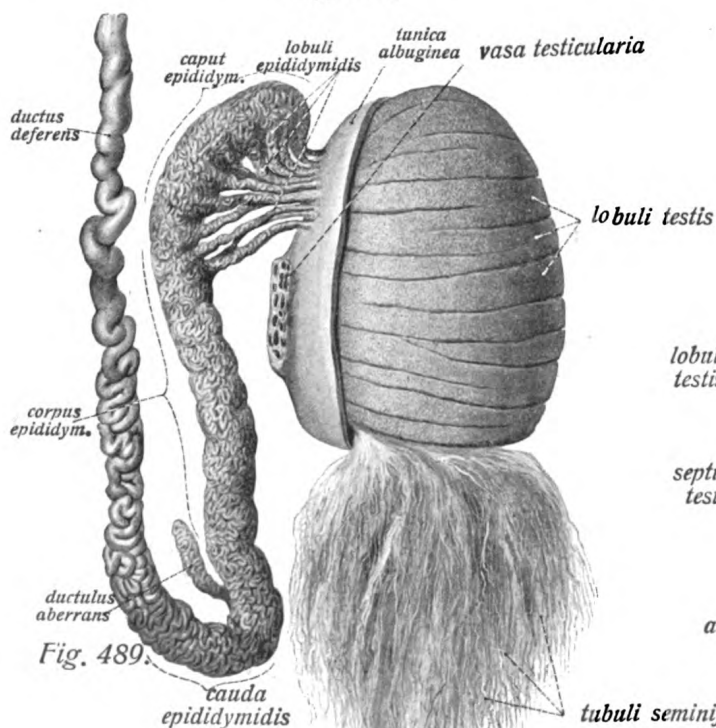


Fig. 489.

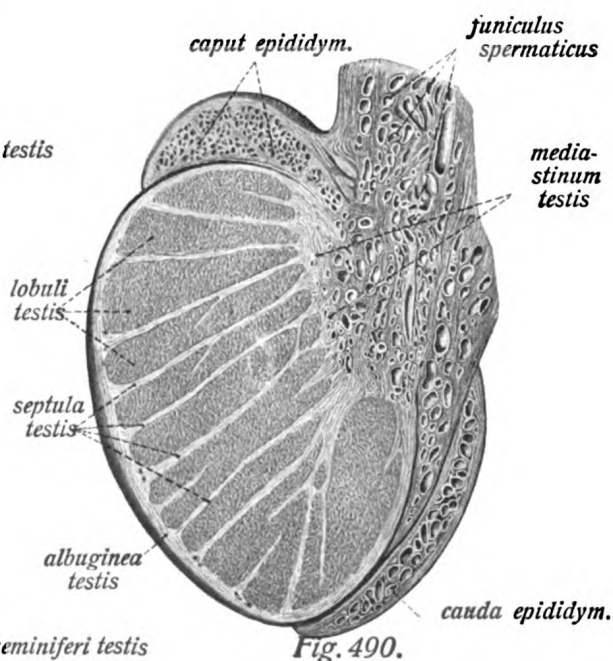


Fig. 490.



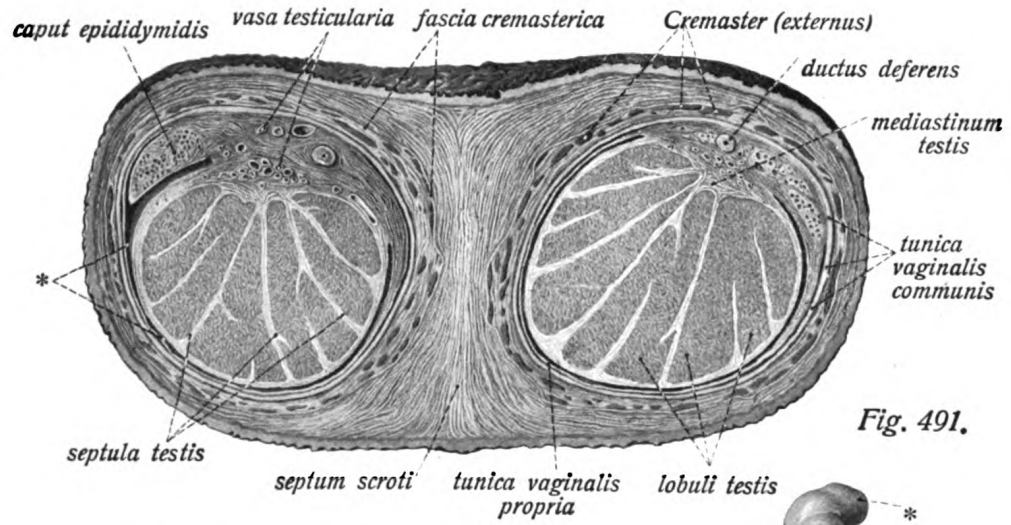


Fig. 491.

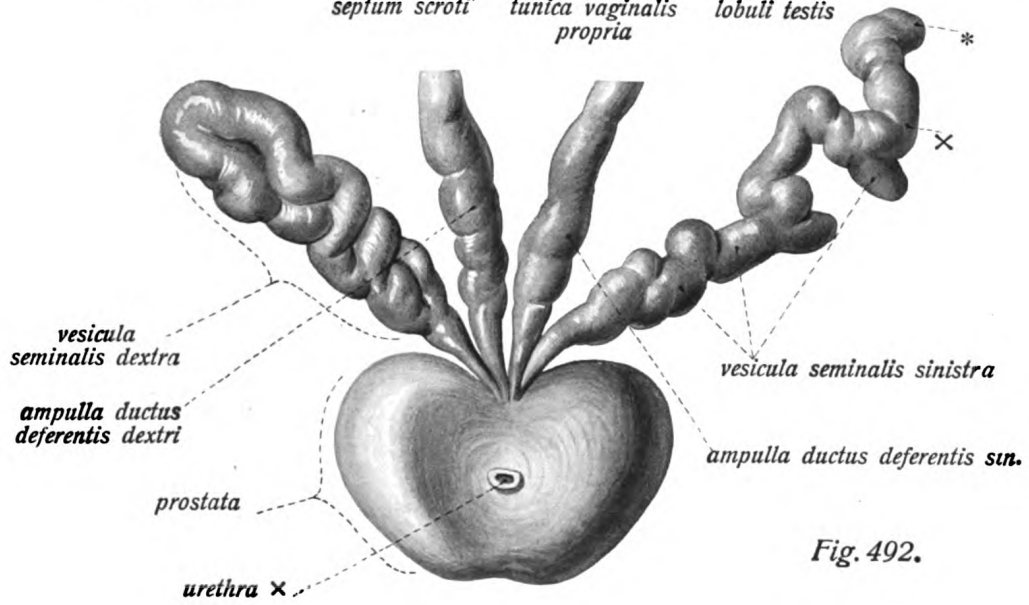


Fig. 492.

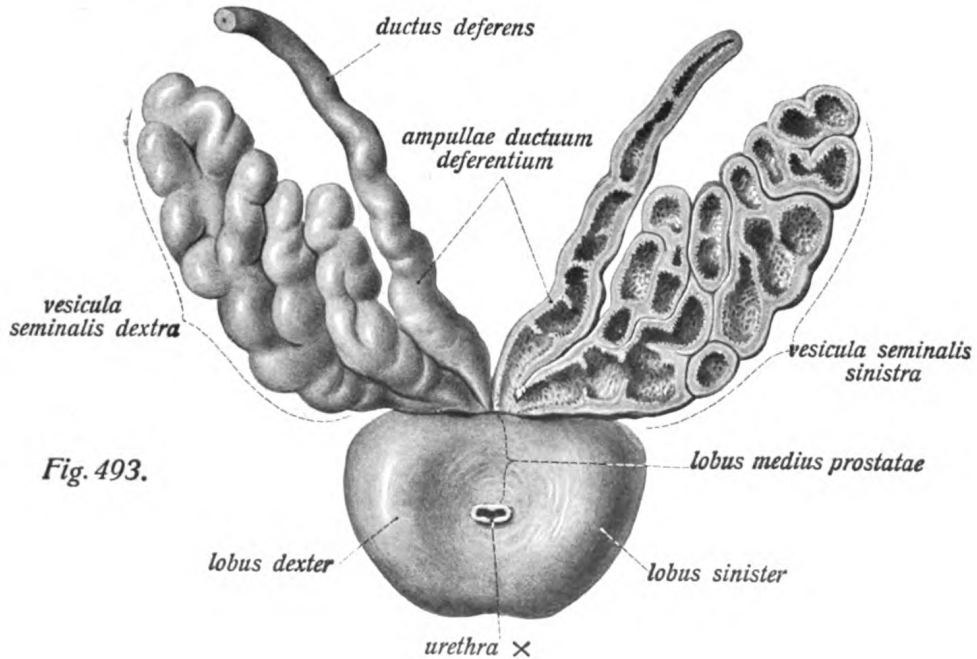


Fig. 493.

## Urogenitalapparat, männliche Genitalien, Nebenhoden (Forts.), Samenleiter, Samenblase.

- Fig. 491. Querschnitt des Hodensackes und beider Hoden. ( $\frac{5}{4}$ ) \* = Höhlung der tunica vaginalis propria.
- Fig. 492. Prostata mit Samenblasen und Samenleiterampullen. ( $\frac{1}{1}$ ) Die linke Samenblase ist mit ihren Windungen auseinandergelegt. \*\* = Blindes Ende des Ganges. † = Umbiegungsstelle am Scheitel der Blase.
- Fig. 493. Prostata mit den Samenblasen in der Ansicht von oben bzw. vorn. ( $\frac{1}{1}$ ) Die linke Samenblase nebst der ampulla ductus deferentis ist frontal halbiert, die Harnröhre kurz nach dem Austritt aus der Blase abgeschnitten.

In den Nebenhodenkopf treten die ductuli efferentes testis vom Hoden aus über und zwar in die Spitzen der kegelförmigen *lobuli epididymidis*. Aus den in den Nebenhodenläppchen aufgeknuäuelten ductuli efferentes geht schon im Kopf des Nebenhodens ein sehr langer, zylindrischer Gang, *ductus epididymidis*, hervor. Aus dessen äusserst zahlreichen, dicht gedrängten Windungen besteht das ganze corpus und die cauda epididymidis. Am Ende der cauda geht der ductus epididymidis ohne scharfe Grenze in den ductus deferens über. Hoden und Nebenhoden liegen in der serösen Höhle der *tunica vaginalis propria testis*. Ihr viscerales Blatt stülpen Hoden und Nebenhoden von der hinteren Seite so vor sich her, dass es den Hoden bis auf die Eintrittsstelle der Gefässe ganz, den Nebenhoden teilweise überzieht. Dabei bilden sich zwischen Hoden und Nebenhoden zwei seröse Falten, das *ligamentum epididymidis superius* an der Basis des Kopfes und das *ligamentum epididymidis inferius* an der Grenze von corpus und cauda. Beide begrenzen zwischen Hoden und Mittelstück des Nebenhodens eine spaltförmige Bucht, *sinus epididymidis*. Am Hoden beziehungsweise Nebenhoden finden sich meist einige ebenfalls vom visceralen Blatte der tunica vaginalis propria überzogene Anhangsgebilde, *appendices testis* genannt. In der Regel findet sich je einer am oberen Ende des Hodens und des Nebenhodens (*appendix epididymidis*), doch ist nur die *appendix testis* (Morgagni) (ungestielte Hydatide) konstant.

### Samenleiter, *ductus deferens*, Samenblase, *vesicula seminalis*, und *ductus ejaculatorii*.

Der Samenleiter, *ductus deferens*, der Ausführungsgang des Hodens, stellt einen ca. 40 cm langen, fast durchweg rein zylindrischen Kanal dar, der am unteren Ende des Hodens aus der cauda epididymidis entsteht, zunächst als unmittelbare Fortsetzung des Nebenhodens diesem parallel läuft, dann in den Samenstrang übertritt, mit diesem durch den Leistenkanal ins kleine Becken zieht und hier nach einer Erweiterung, der *ampulla ductus deferentis*, mit der Samenblase zusammen in Gestalt des *ductus ejaculatorius* in die pars prostatica der Harnröhre einmündet. Seine Wand ist dick und muskulös, die Lichtung sehr eng. Er fühlt sich daher ausgesprochen hart an. Der Ampullenteil des Samenleiters erscheint bei der Betrachtung von aussen leicht eingekerbt. Im Innern finden sich zahlreiche Schleimhautfalten, welche mannigfach geteilt und vielfach anastomosierend tief in die hier erweiterte Lichtung des Organs ragen. Dadurch entstehen tiefe, unregelmässige Buchten des Lumens, *diverticula ampullae* genannt. Nach unten zu verzweigen sich die Ampullen und konvergieren.

Die Samenblasen, *vesiculae seminales*, sind längliche, in der Richtung von vorn nach hinten abgeplattete Körper, welche jederseits am unteren Ende der ampulla ductus deferentis in Gestalt von Blindsäcken hängen. Nach dem blinden, oberen Ende zu verbreitern sie sich etwas und bilden das *corpus vesiculae seminalis*, am unteren Ende verzweigen sie sich zu einem kurzen Ausführungsgange, *ductus excretorius vesiculae seminalis*. Die Oberfläche der Samenblase ist unregelmässig höckrig. Eigentlich besteht jede Samenblase aus einem einzigen weiten, mit blinden Ausbuchtungen versehenen, mehrfach gebogenen Kanal, dessen Windungen durch Bindegewebe fest zusammengehalten werden. Das blinde Ende des Ganges liegt mitunter in einiger Entfernung von der Kuppe der Blase, welche ihrerseits dann der Ausdruck der Konvexität einer Windung ist. Die Lichtungen der Samenblase sind wesentlich weiter als die des Samenleiters, auch weiter als die seiner Ampulle und durch vorspringende Falten stark gekammert.

## Urogenitalapparat, männliche Genitalien (Forts.), Hodensack, Samenstrang.

Fig. 494. Hodensack und Samenstrang in der Ansicht von vorn. ( $\frac{1}{1}$ )

Links ist die fascia cremasterica gespalten, der Cremaster freigelegt, rechts sind alle Hüllen des Samenstrangs gespalten, in die tunica vaginalis propria ist ein Fenster geschnitten. Der penis ist in die Höhe gehoben, die fascia penis und die oberflächliche Dammfascie z. T. entfernt, so dass das vordere Ende des Bulbocavernosus (rot) zutage tritt.

### Hodensack, *scrotum*, Samenstrang, *funiculus spermaticus*.

Die Haut des Hodensacks geht ohne Grenze in die Haut des mons pubis, des Dammes und der medialen Flächen der Oberschenkel über, ist dünn, deutlich pigmentiert und dunkler als die Haut der Umgebung, besitzt grosse Talgdrüsen, spärliche, stärkere Körperhaare und eine deutliche Nahtlinie, *raphe scroti*. Der raphe scroti entspricht im Innern des Hodensacks das *septum scroti*, eine von Bindegewebe, wenig Fettgewebe und glatter Muskulatur gebildete Scheidewand, die die beiden Hoden und Samenstränge voneinander trennt. Ferner besitzt die Haut des scrotum eine sehr ausgedehnte, glatte Muskulatur, welche die aus netzförmig angeordneten Fasern bestehende Fleischhaut des Hodensacks, *tunica dartos*, bildet.

Unter der tunica dartos trifft man die *fascia cremasterica*, die sich von der oberflächlichen Bauchfascie auf den *m. cremaster* überschlägt und diesen zum Hodensack begleitet. Letzterer ist meist eine Fortsetzung des *m. obliquus abdominis internus* und läuft in zerstreuten, zunächst longitudinalen und parallelen, anfangs auf der Hinterfläche des Samenstrangs gelegenen Bündeln nach abwärts in das scrotum, wobei die Fasern dann in quere und schräge Richtung übergehen. Sie liegen unmittelbar auf einer fascienartigen Haut, der *tunica vaginalis communis*, so genannt, weil sie gleichzeitig dem Samenstrang und dem Hoden angehört. Sie ist eine Fortsetzung der fascia transversalis. Die tunica vaginalis propria ist die innere Hülle des Hodens. Man unterscheidet also am Hodensack folgende Schichten: Haut mit tunica dartos, fascia cremasterica, *m. cremaster*, tunica vaginalis communis, tunica vaginalis propria.

Der Samenstrang, *funiculus spermaticus*, ist ein rundlicher oder platt-rundlicher, etwa kleinfingerdicker Strang von 15–20 cm Länge. Er reicht vom Leistenkanal bis zum obern Ende und zum hintern Rand des Hodens und enthält als Hauptbestandteile den *ductus deferens* (hinten) und die *vasa testicularia* (vorn), und zwar bildet die Vene in seinem Bereiche ein weitmaschiges Geflecht, den *plexus pampiniformis*. Dazu gesellen sich die arteria und vena deferentialis, die Lymphgefäße und Nerven des Hodens und des ductus deferens. Die Gefäße des Hodens gruppieren sich im Samenstrang im vorderen, lateralen, der Samenleiter im hinteren, medialen Abschnitt. Ausserdem liegt im Samenstrang das *rudimentum processus vaginalis* (im unteren Abschnitt auch die *paradidymis*), ferner glatte Muskelfasern, *m. cremaster internus*. Das ganze umschliesst ziemlich lockeres, fettarmes Bindegewebe, der *m. cremaster externus*, die fascia cremasterica und die tunica vaginalis communis.



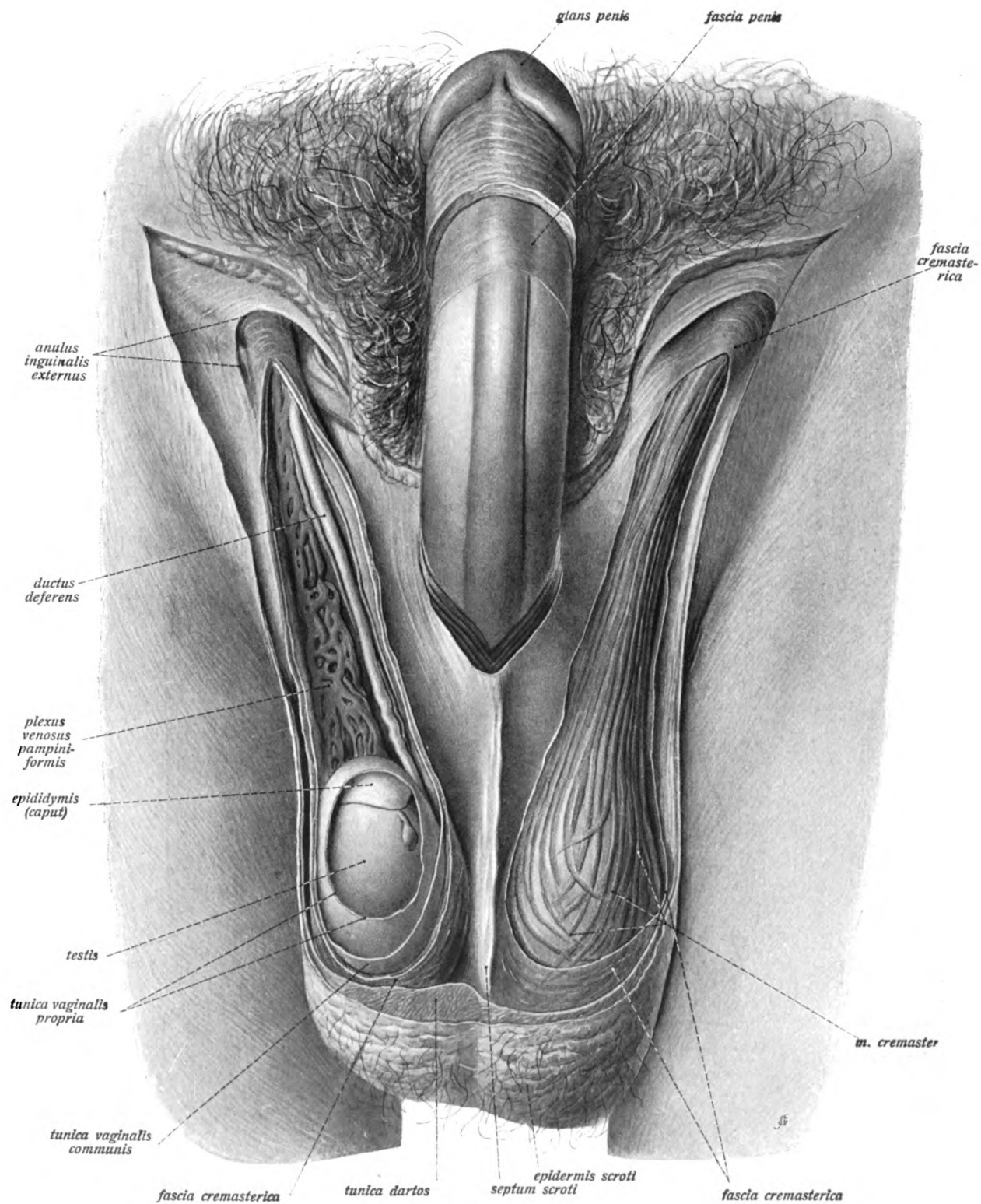


Fig. 494.

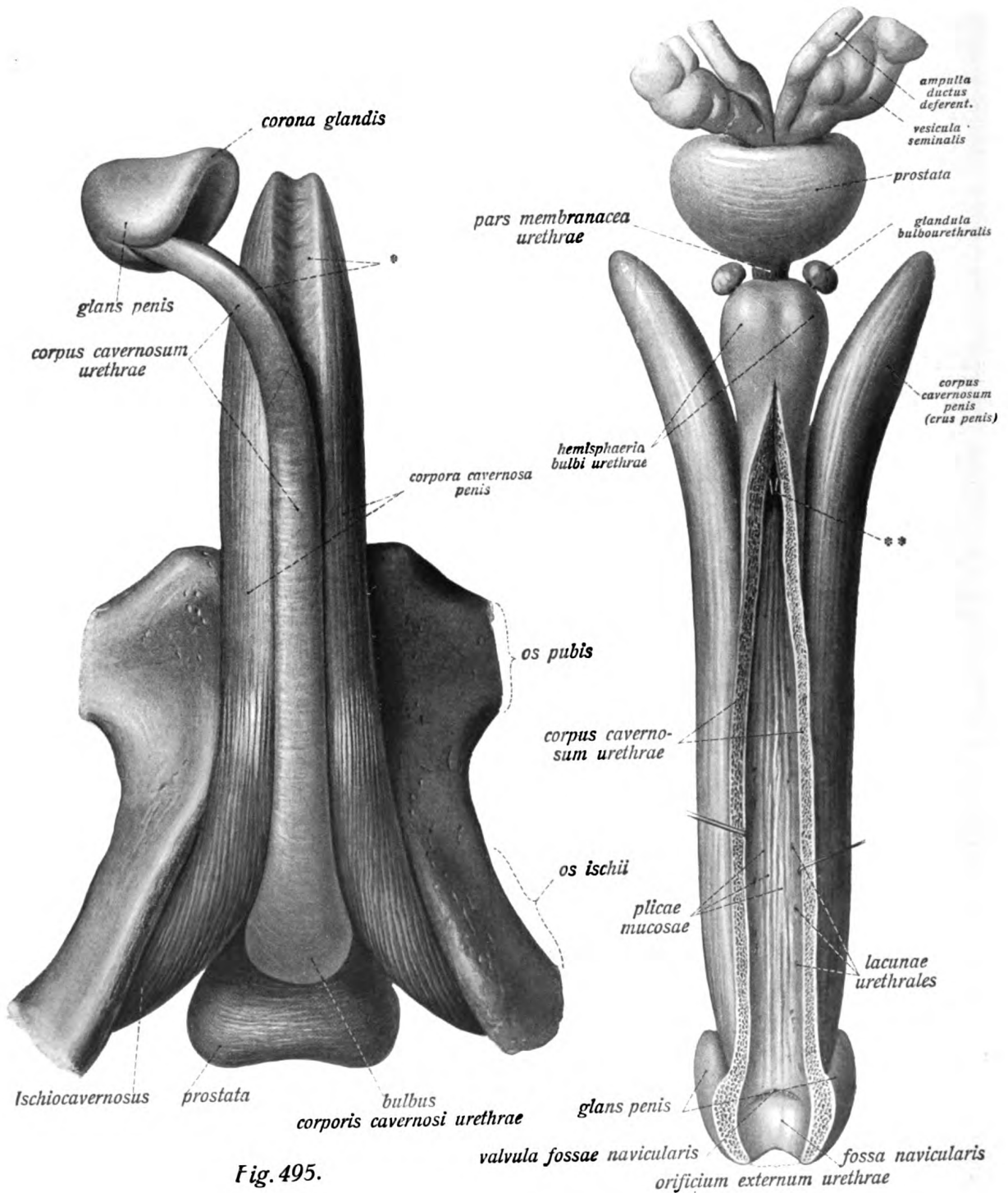


Fig. 495.

Fig. 496.

## Urogenitalapparat, männliche Genitalien (Forts.), männliche Harnröhre, männliches Glied.

- Fig. 495. Schwellkörper des penis. Glans penis und vorderer Teil des corpus cavernosum urethrae sind abgehoben. \* = Stelle, wo beide bei natürlicher Lagerung sich berühren.
- Fig. 496. Männliche Harnröhre mit den corpora cavernosa penis, glandulae bulbourethrales und der prostata. Die pars cavernosa urethrae ist der Länge nach auf der Unterfläche gespalten. \*\* = Sonden in den Mündungen der Cowper'schen Drüsen.

### Männliche Harnröhre, *urethra virilis*.

Die männliche Harnröhre, ein etwa 20 cm langer Kanal, zerfällt in die *pars prostatica*, *pars membranacea* und *pars cavernosa*. Erstere liegt innerhalb der prostata, mit deren Substanz verwachsen, und durchsetzt diese vom vordern Abschnitt der Basis bis zur Spitze. Sie zeigt eine Längsfalte auf ihrer hintern Wand, *crista urethralis*, deren höchste Erhebung als *colliculus seminalis* bezeichnet wird. Auf seiner Spitze mündet der *utricleus prostaticus* (uterus masculinus), seitlich daneben die *ductus ejaculatorii* (s. a. ol. p. 401). Die *pars membranacea urethrae* ist kurz (etwa 1 cm) und läuft fast senkrecht innerhalb der Muskulatur des *trigonum urogenitale*.

Zu beiden Seiten des hintern Abschnitts der *pars membranacea urethrae* liegen zwischen den Muskelfasern des *Transversus perinei profundus* zwei etwa erbsengrosse, rundliche Drüsen, die Cowper'schen Drüsen, *glandulae bulbourethrales*. Man unterscheidet den höckerigen, ziemlich harten Drüsenkörper, *corpus glandulae bulbourethralis*, und den Ausführungsgang, *ductus excretorius*. Letzterer zieht als sehr dünner, feiner, ziemlich langer (4—5 cm) Gang nach vorn und abwärts durch den *bulbus corporis cavernosi urethrae* zum Anfangsteil der *pars cavernosa urethrae*, in deren untere Wand er einmündet.

Die *pars cavernosa urethrae* ist bei weitem der längste Teil der männlichen Harnröhre und verläuft innerhalb des *corpus cavernosum urethrae*. Im oberen Abschnitt der *pars cavernosa* ist die Harnröhre nach hinten konvex, dann folgt eine unter der Symphyse gelegene, nach oben konkave Krümmung, die von der Lage des penis unabhängig ist (*pars cavernosa fixa*), und schliesslich der bei schlaffem penis herabhängende Teil (*pars pendula*). Die *pars cavernosa* macht also eine S-förmige Krümmung — bei nicht erigiertem penis; bei erigiertem penis gleicht sich die untere Krümmung aus, so dass eine einzige nach oben konkave Krümmung übrig bleibt. Ihr Kaliber ist bis auf eine dicht vor der äussern Mündung, *orificium urethrae externum*, gelegene Erweiterung ziemlich gleich gross und von mittlerer Weite. Die Erweiterung liegt im Bereiche der Eichel, führt den Namen der *fossa navicularis urethrae* (Morgagni) und zeigt an der dorsalen Wand eine halbmondförmige Falte, *valvula fossae navicularis*.

### Das männliche Glied, *penis*.

Das männliche Glied, *penis*, ist ein nahezu zylindrischer Körper, der mit seiner Wurzel, *radix penis*, an beiden Schambeinen befestigt ist, mit seinem Hauptabschnitt, *corpus penis*, im nicht erigierten Zustand nach abwärts hängt. Das freie, verdickte Ende des penis bildet die Eichel, *glans penis*. Man unterscheidet am penis die breitere, nach oben und vorn gekehrte Fläche als *facies dorsalis*, die etwas schmälere, untere und hintere Fläche als *facies urethralis*.

Die Hauptbestandteile des penis sind seine Schwellkörper, *corpora cavernosa penis*. Die *corpora cavernosa penis* sind zylindrische, an den vordern und hintern Enden zugespitzte Körper. Ihrer grössten Länge nach sind sie miteinander verwachsen. Sie nehmen in Gestalt der stark verjüngten und leicht abgeplatteten *crura penis* ihren Ursprung von den medialen Rändern der unteren Scham Sitzbeinäste, an der Grenze beider Knochen. Vor dem untern Abschnitt der Schambeinsymphyse legen sich beide *corpora cavernosa penis* dicht nebeneinander und verwachsen mit ihren medialen Flächen.



## Urogenitalapparat, männliche Genitalien, männliches Glied. (Forts.)

Fig. 497. Vorderes Ende des penis mit dem Präputialsack. ( $\frac{1}{1}$ ) Die Haut des penis ist an der Seite gespalten, das praeputium von der glans abgezogen.

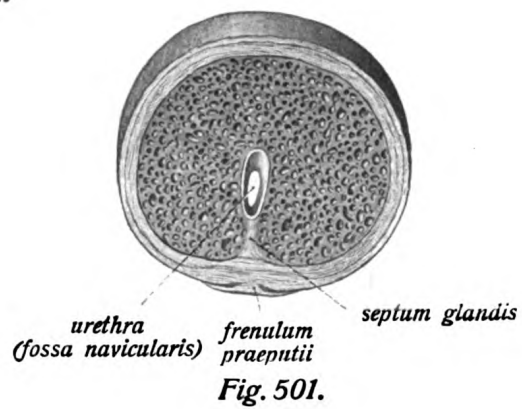
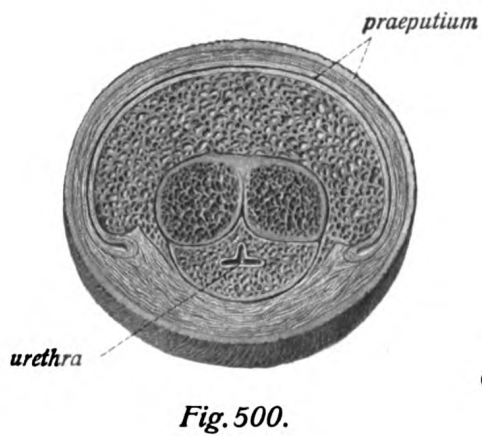
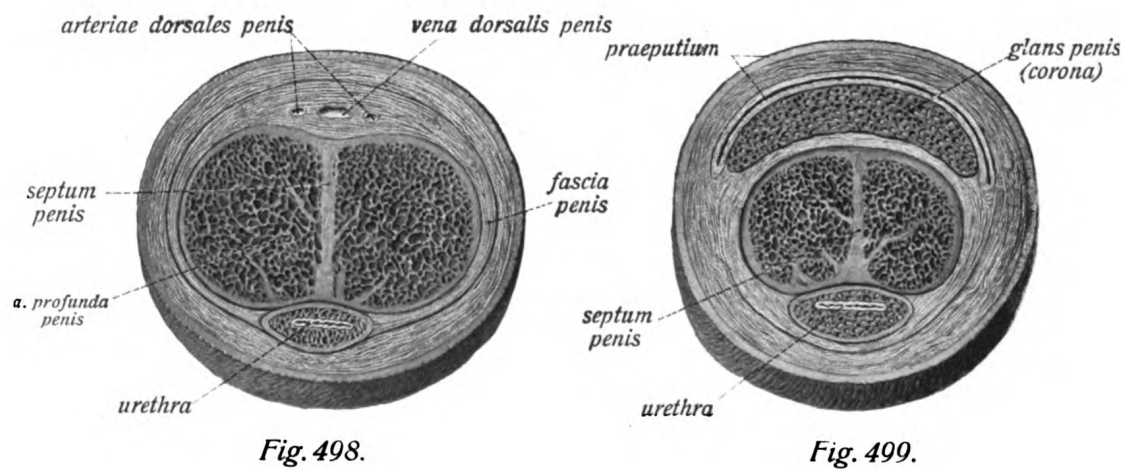
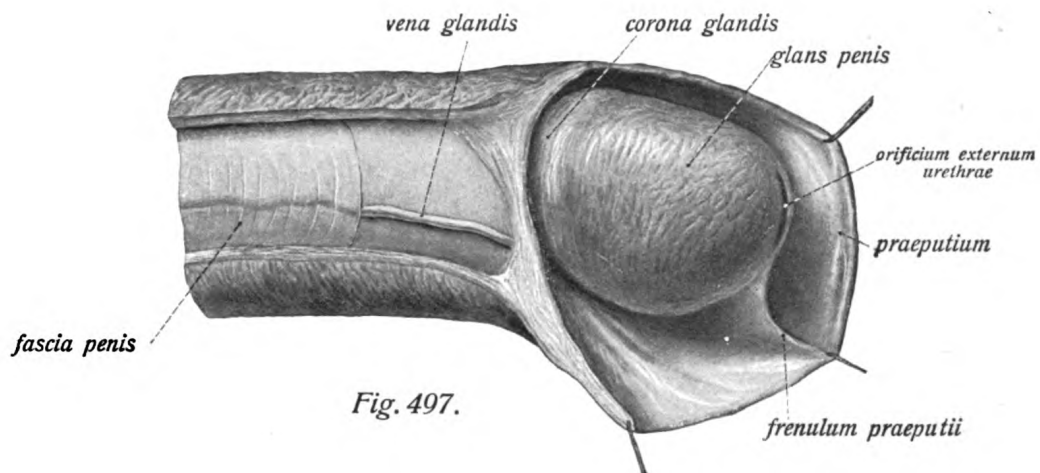
Fig. 498—501. Querschnitt des penis (in der Mitte des corpus, am hintern Ende der glans, durch die Mitte der glans und die Spitze der Eichel). ( $\frac{5}{4}$ )  
Corpus cavernosum urethrae gelb, corpora cavernosa penis blau.

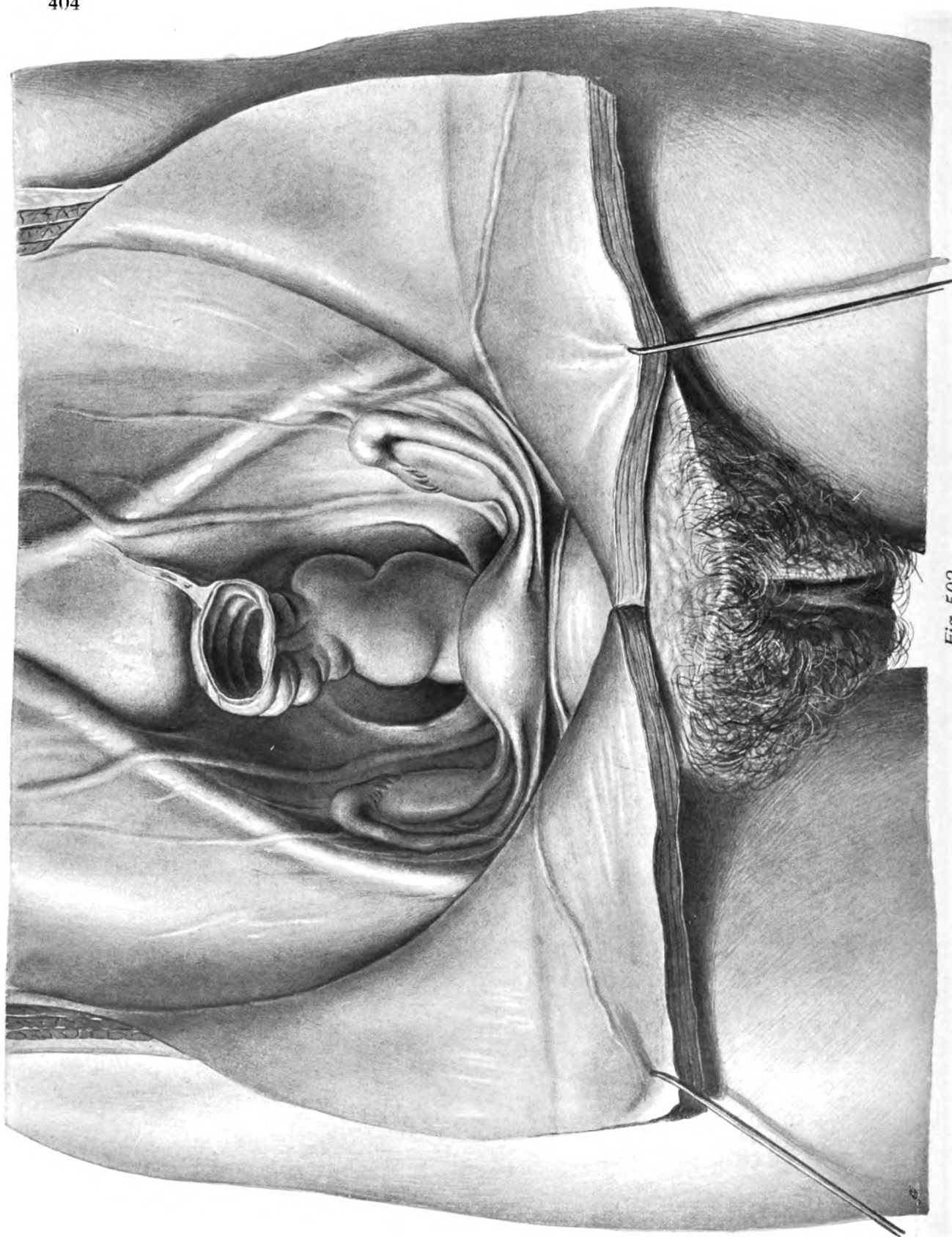
Das vordere, stark zugespitzte Ende der beiden corpora cavernosa penis ragt unter die Krone der Eichel. Jedes corpus cavernosum penis besitzt eine sehr feste und dicke, bindegewebige Umhüllung, *tunica albuginea corporis cavernosi*. Im Bereich des corpus penis bilden die tunicae albugineae das mitunter unterbrochene *septum penis*.

Der dritte, viel dünnere, aber längere, unpaare Schwellkörper des penis, *corpus cavernosum urethrae*, ist ein deutlich abgeplattet-zylindrisches Gebilde, an dem man eine hintere Anschwellung, die Harnröhrenzwiebel, *bulbus corporis cavernosi*, das dünnere Mittelstück und eine vordere Anschwellung, die Eichel, *glans*, unterscheidet. Er wird bis auf den bulbus urethrae von der pars cavernosa urethrae durchbohrt. Der bulbus, das keulenartige, verdickte, hintere Ende des corpus cavernosum urethrae, hat ungefähr birnförmige Gestalt und zeigt eine Furche, *sulcus bulbi*, welche die beiden *hemisphaeria bulbi urethrae* weniger deutlich trennt als die im Innern gelegene Scheidewand, *septum bulbi urethrae*.

Die glans penis hat die Form eines kurzen, breiten, schiefen Kegels mit stark abgerundeter Spitze. Die konvexe, dorsale Fläche ist länger als die mit einer seichten Rinne versehene, ventrale Fläche. Die Basis der Eichel ist ausgehöhlt und ragt mit ihrem freien, abgerundeten Rande, *corona glandis*, über die in einer Aushöhlung, *collum glandis*, steckenden, vorderen Enden der corpora cavernosa penis hinweg. Ein *septum glandis* erstreckt sich von der albuginea aus nach oben hin bis zur urethra.

Die drei corpora cavernosa des penis werden von einer gemeinsamen, ziemlich straffen, bindegewebigen Hülle umschlossen, die bis zum collum glandis reicht, *fascia penis* genannt. Sie umschliesst gleichzeitig auch die vasa dorsalia penis. Die Haut des penis an der Eichel bildet eine mehr oder weniger lange Duplikatur, das *praeputium*, indem die äussere Haut in stark reduzierter Dicke (ohne Haare und nur vereinzelte Talgdrüsen, *glandulae praeputiales*) zunächst die glans penis bis zum collum glandis fest überzieht (inneres Blatt des praeputium), dann am vorderen Ende des corpus penis umbiegt und von neuem die glans penis mehr oder weniger weit (in nicht erigiertem Zustand des penis) überragt, so dass ein am collum glandis blind endender Sack, der Präputialsack, gebildet wird. Die Vorhaut hat also zwei Blätter, ein äusseres und ein inneres; letzteres ist auf der Eichel aufgewachsen. Mit der gegenüberliegenden Fläche des praeputium wird es durch ein dünnes Längsbändchen, *frenulum praeputii*, verbunden, das zur Rinne an der Unterfläche der Eichel zieht.



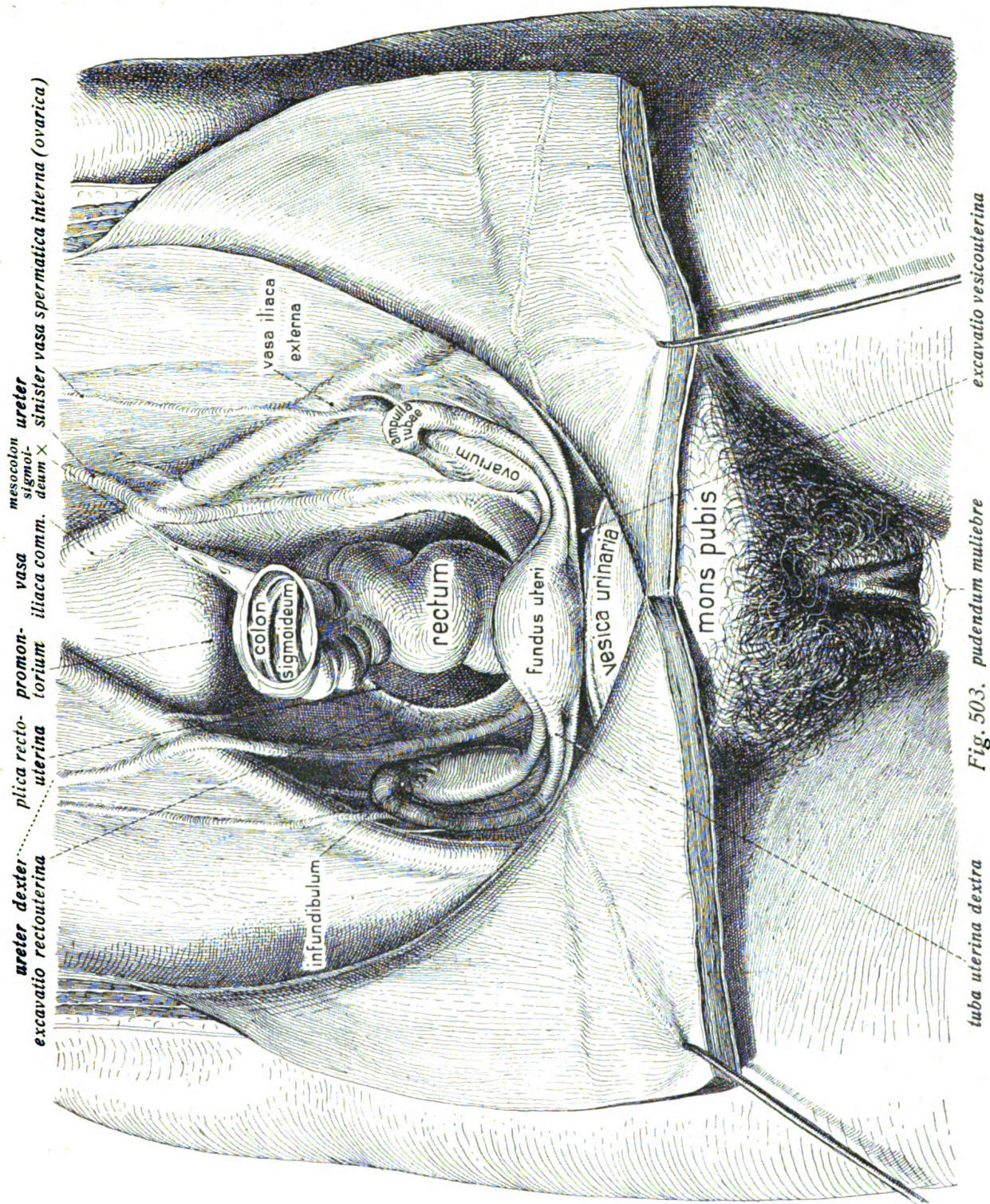


*Fig. 502.*



# Urogenitalapparat, weibliche Genitalien, *genitalia muliebra*.

Fig. 502 und 503. Ansicht der weiblichen Genitalien von oben. ( $\frac{1}{2}$ )

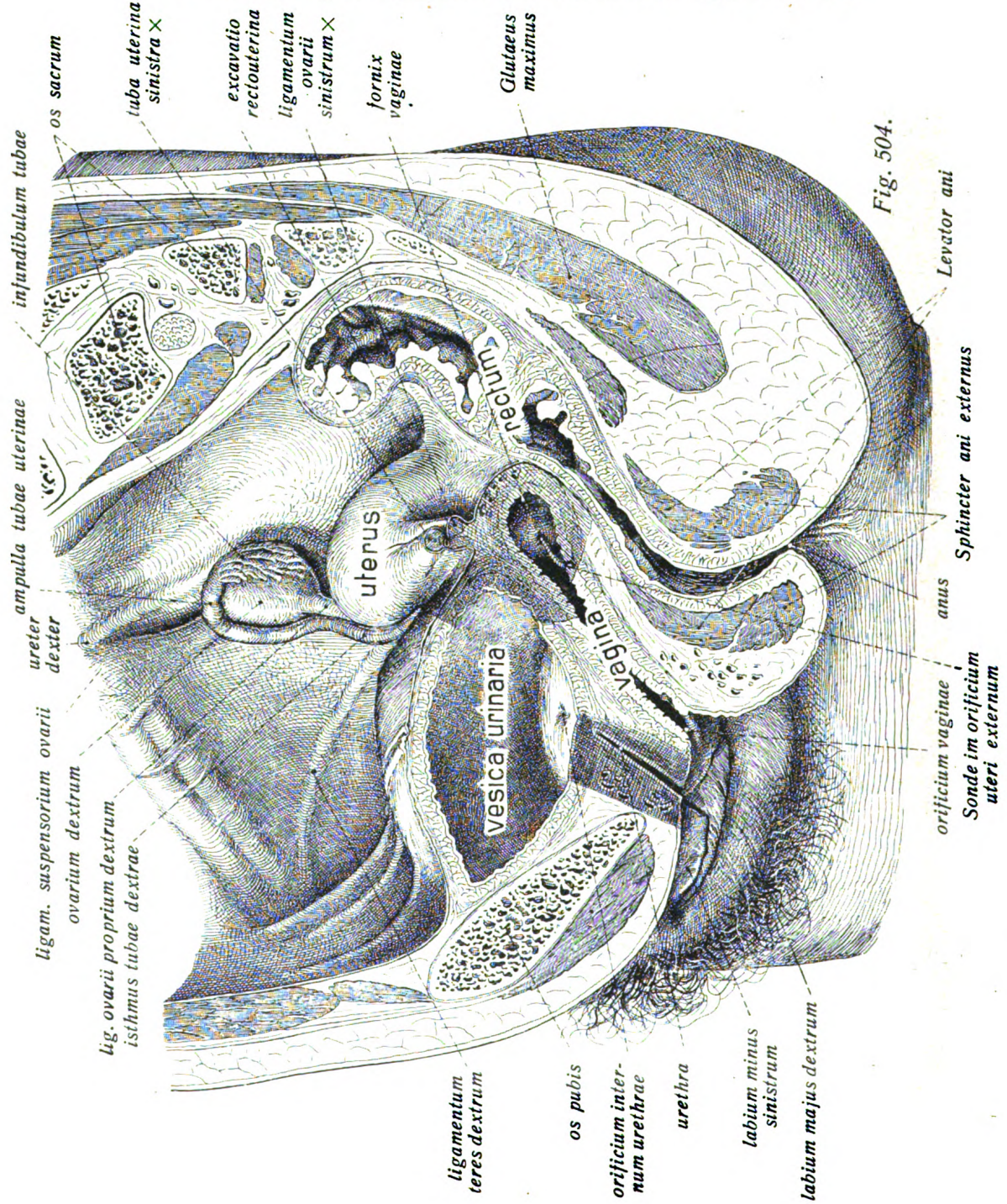


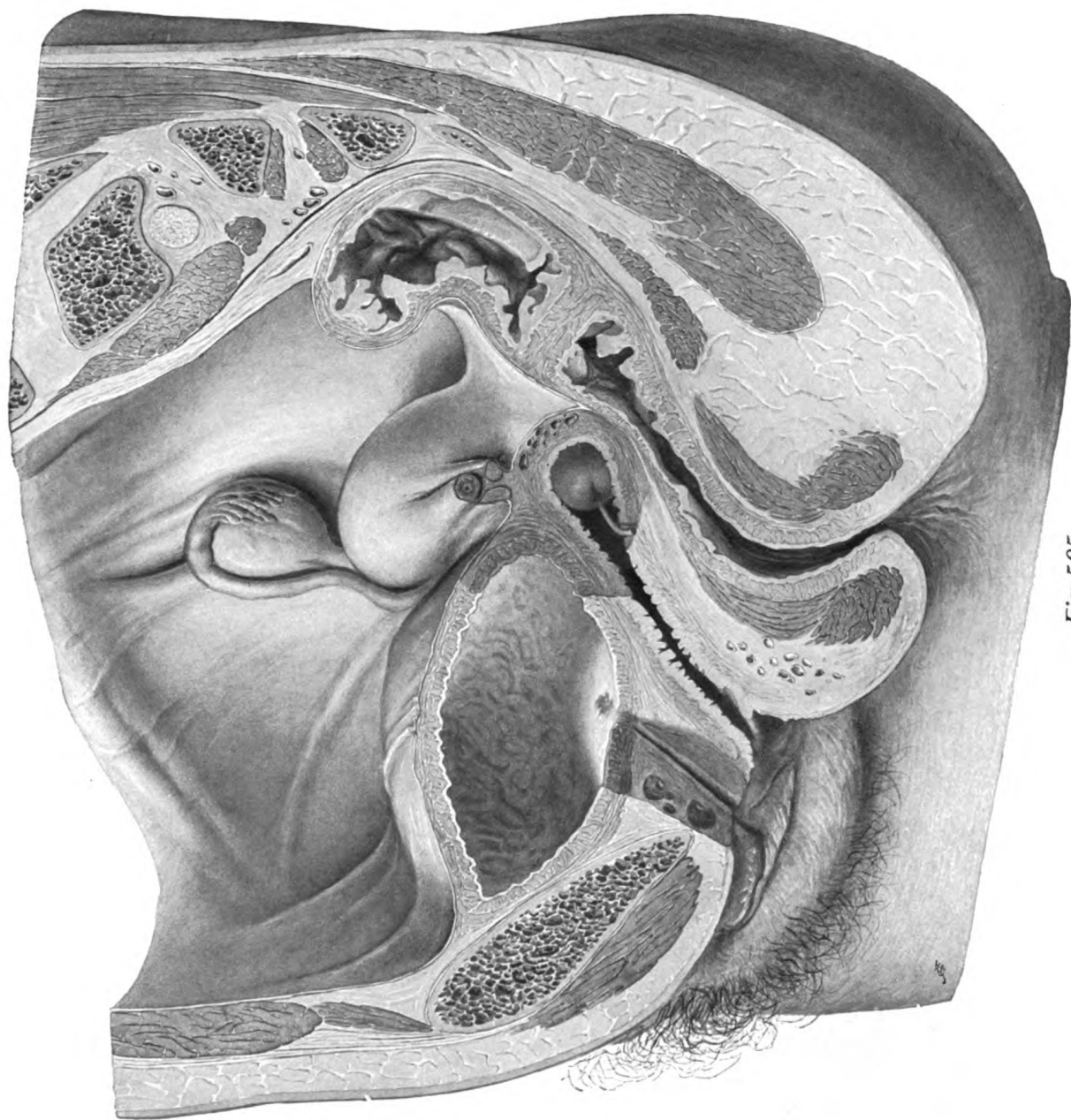


# Urogenitalapparat, weibliche Genitalien. (Forts.)

Fig. 504 und 505. Ansicht der weiblichen Genitalien von der linken Seite. ( $\frac{2}{3}$ )

Das Becken mit den Weichteilen ist neben der Mittellinie durchschnitten. Linkes ovarium und linker Eileiter sind abgeschnitten, Harnröhre und Scheidengewölbe durch schräge Schnitte eröffnet. \* = Stelle, wo der Ursprung des ligamentum teres uteri sinistrum abgeschnitten ist.



*Fig. 505.*



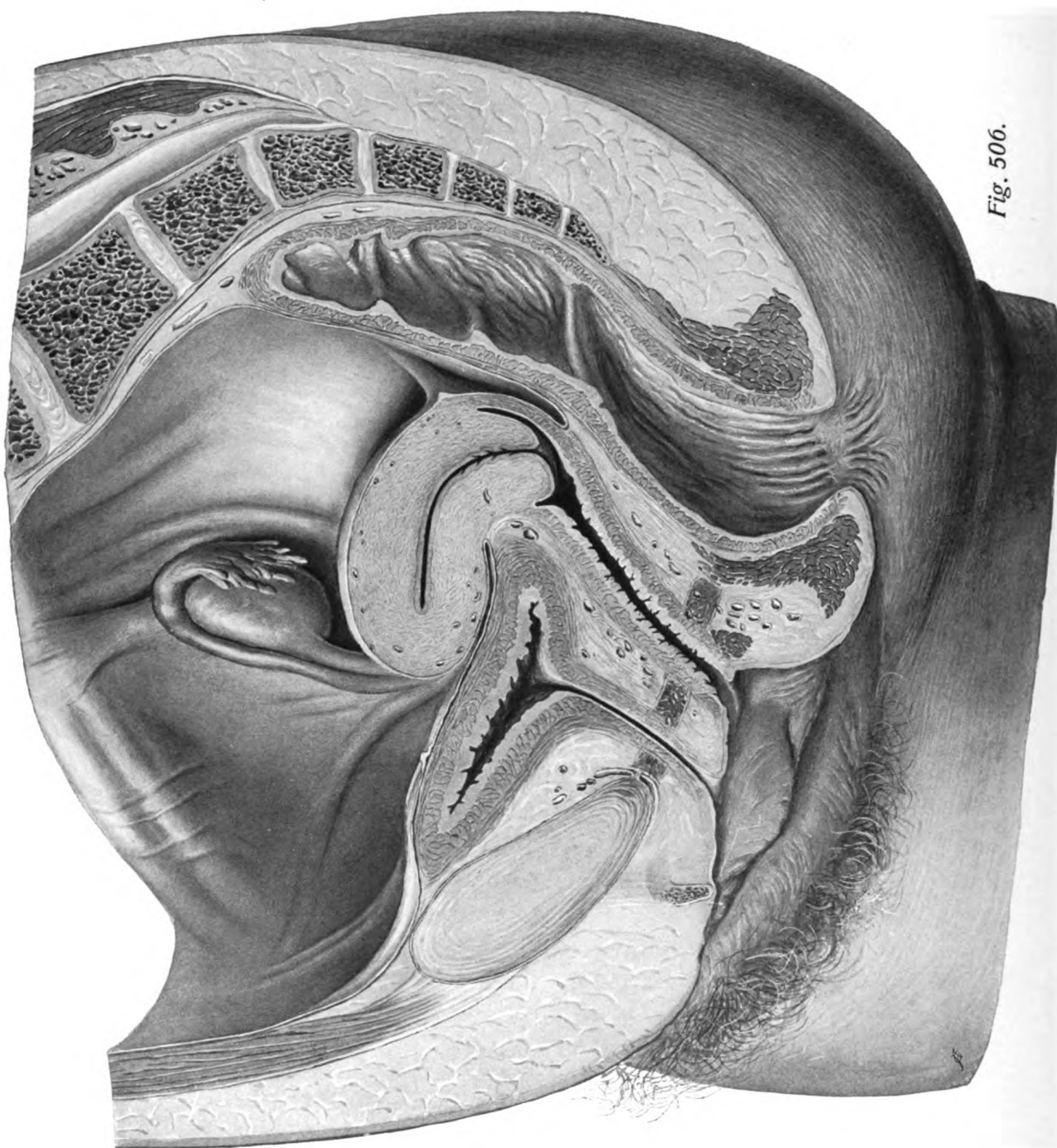


Fig. 506.



# Urogenitalapparat, weibliche Genitalien. (Forts.)

Fig. 506 und 507. Medianschnitt der weiblichen Geschlechtsorgane. ( $\frac{2}{3}$ )

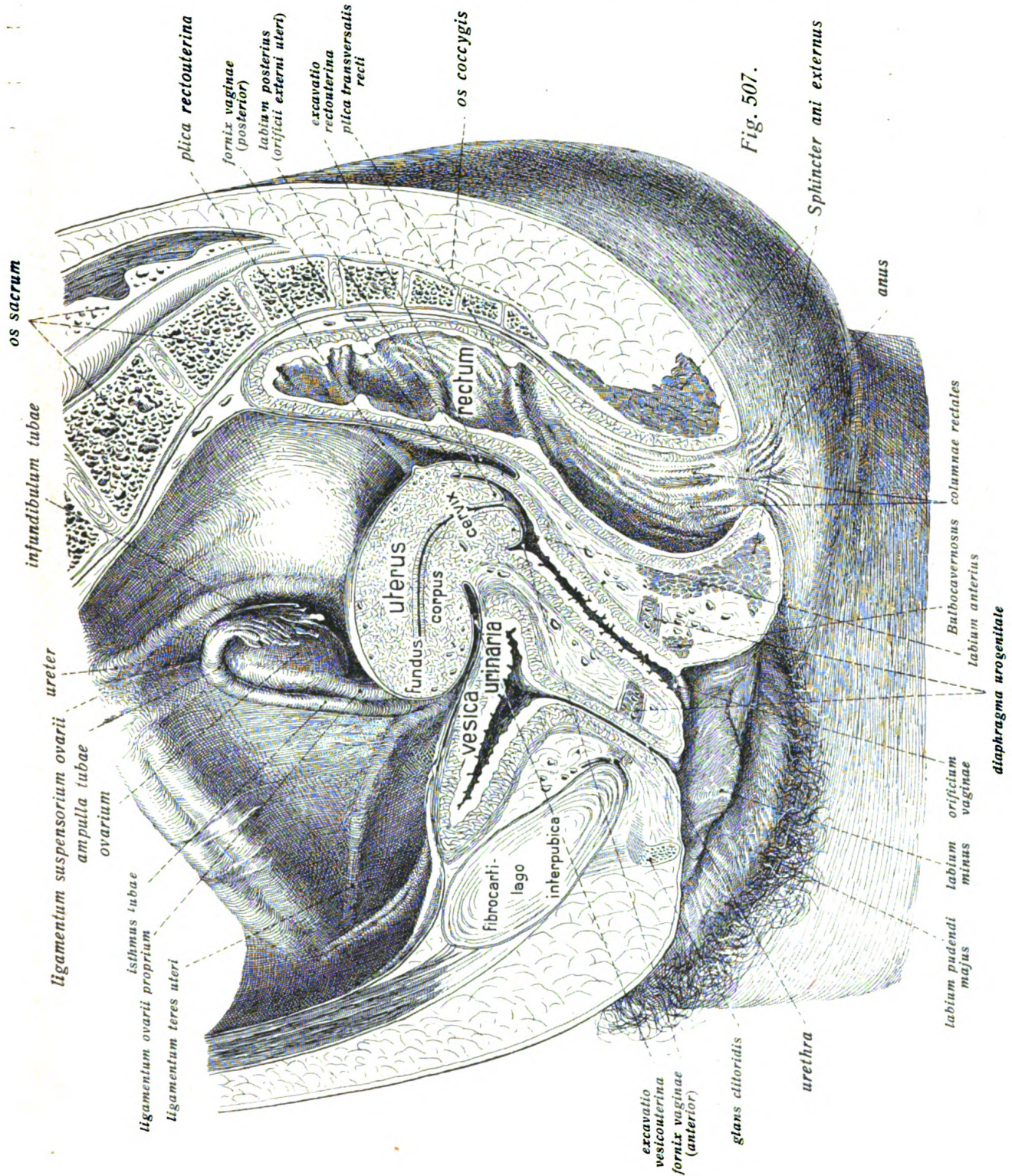


Fig. 507.

## Urogenitalapparat, weibliche Genitalien (Forts.), Eierstock, Eileiter.

Fig. 508. Uterus mit den ligamenta lata, Eileitern und Eierstöcken in der Ansicht von hinten. ( $\frac{1}{1}$ ) Der rechte Eileiter in natürlicher Lage, der linke ist unter Spannung des ligamentum latum vom Eierstock entfernt.

Fig. 509. Innere weibliche Genitalien in der Ansicht von vorn. ( $\frac{1}{1}$ ) Die ligamenta lata sind mässig gespannt, der Uteruskörper ist von der Blase etwas abgehoben.

### Der Eierstock, ovarium.

Der Eierstock, *ovarium*, die weibliche Keimdrüse, stellt eine besondere Art geschlossener Drüse dar, die mit ihrem Ausführungsgange, dem Eileiter, nur mittelbar in Zusammenhang steht (*glandula dehiscens*). Man unterscheidet am Eierstock zwei Flächen, die der tuba uterina zugekehrte und von ihr grossenteils bedeckte *facies medialis* und die der Wand des kleinen Beckens anliegende *facies lateralis*. Beide werden durch stumpfe Ränder verbunden. Der freie Rand, *margo liber*, ist stärker (konvex) gebogen und breiter; er sieht nach hinten und etwas medianwärts. Der am mesovarium befestigte Rand, *margo mesovaricus*, ist mehr gerade und sieht nach vorn und lateral. Er trägt die Eintrittsstelle der Nerven und Gefässe, den *hilus ovarii*. Man unterscheidet ferner das nach oben stehende, stark abgerundete, gegen das infundibulum tubae uterinae gerichtete Ende als *extremitas tubaria*, das nach unten stehende, mittels des ligamentum ovarii proprium am uterus befestigte als *extremitas uterina*. Mit dem fundus uteri ist die extremitas uterina ovarii durch einen bindegewebig-muskulösen Strang, *ligamentum ovarii proprium*, verbunden. Er verläuft zwischen beiden Blättern des ligamentum latum. Die extremitas tubaria dagegen ist durch die *fimbria ovarica* am infundibulum tubae befestigt, ferner vom grossen Becken aus durch ein die Gefässe und Nerven des Eierstocks enthaltenden, bindegewebig-muskulösen Strang, das *ligamentum suspensorium ovarii*.

Der Eierstock liegt in der hinteren Platte des ligamentum latum und wird von dessen Bauchfell so überzogen, dass das Peritonealepithel zum Keimepithel des Eierstocks wird, nur eine schmale Zone am hilus bleibt bauchfellfrei. Man unterscheidet am Eierstock zwei Schichten, die Mark- und die Rindenschicht. Letztere überzieht als vollständige Lage die Oberfläche des Eierstocks bis auf die Stelle des hilus. Sie ist ausgezeichnet durch die Eifollikel, *folliculi oophori vesiculosi* (Graafii), beziehungsweise gelegentlich durch deren Umwandlungsprodukte, die *corpora lutea*.

### Der Eileiter (Muttertrompete), tuba uterina.

Der Eileiter, *tuba uterina* (Fallopian), stellt einen paarigen, muskulösen, 10–15 cm langen Gang dar, der am oberen Rande des ligamentum latum deutlich geschlängelt verläuft und zur Verbindung des Eierstocks mit dem uterus dient, aber nur am letzteren unmittelbar angewachsen ist. Am Eierstock beginnt der Eileiter mit einer rundlichen, direkt in die Bauchhöhle führenden Öffnung, *ostium abdominale tubae uterinae*, an der Spitze des Tubentrichters, *infundibulum tubae uterinae*, gelegen. Dieser wird von einer Verlängerung der Tubenwand gebildet, ist an seiner Innenfläche stark faltig und endet in einer Anzahl zipfelförmiger Lappen, *fimbriae tubae uterinae*. Eine besonders lange Fimbria, *fimbria ovarica*, läuft bis zur extremitas tubaria ovarii.

Der auf das ostium abdominale folgende Abschnitt des Eileiters, *ampulla tubae uterinae*, ist dicker als das dem uterus benachbarte Stück, gleichzeitig an Kaliber stärker und durch Windungen und ein starkes Faltensystem ausgezeichnet. Er beginnt an der extremitas tubaria ovarii mit einer spitzwinkligen Biegung, verläuft jetzt fast vertikal wie der Eierstock selbst, parallel und dicht vor dem margo mesovaricus ovarii und an der seitlichen Beckenwand nach abwärts. Dann geht der Eileiter in einer fast rechtwinkligen Biegung in den stark verengten *isthmus tubae uterinae* über, der nahezu horizontal, in leichtem, nach oben konkavem Bogen, nach medial vorn und etwas nach abwärts gerichtet, zum uterus zieht. Der mittels des *ostium uterinum tubae uterinae* in den uterus übergehende, z.T. in der Substanz des uterus selbst verlaufende, engste Teil der tuba uterina heisst *pars uterina*. Die Schleimhaut der tuba bildet starke Falten, *plicae ampullares*, in der Ampulle, schwächere, *plicae isthmicae*, im isthmus.



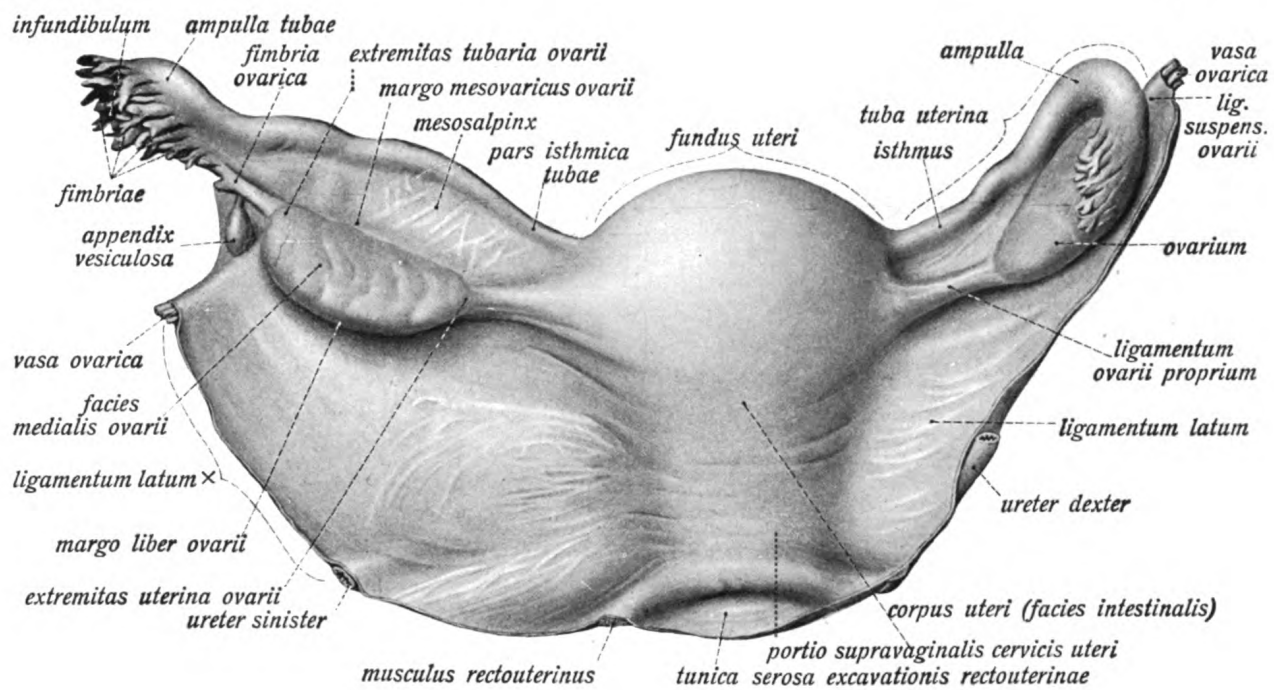


Fig. 508.

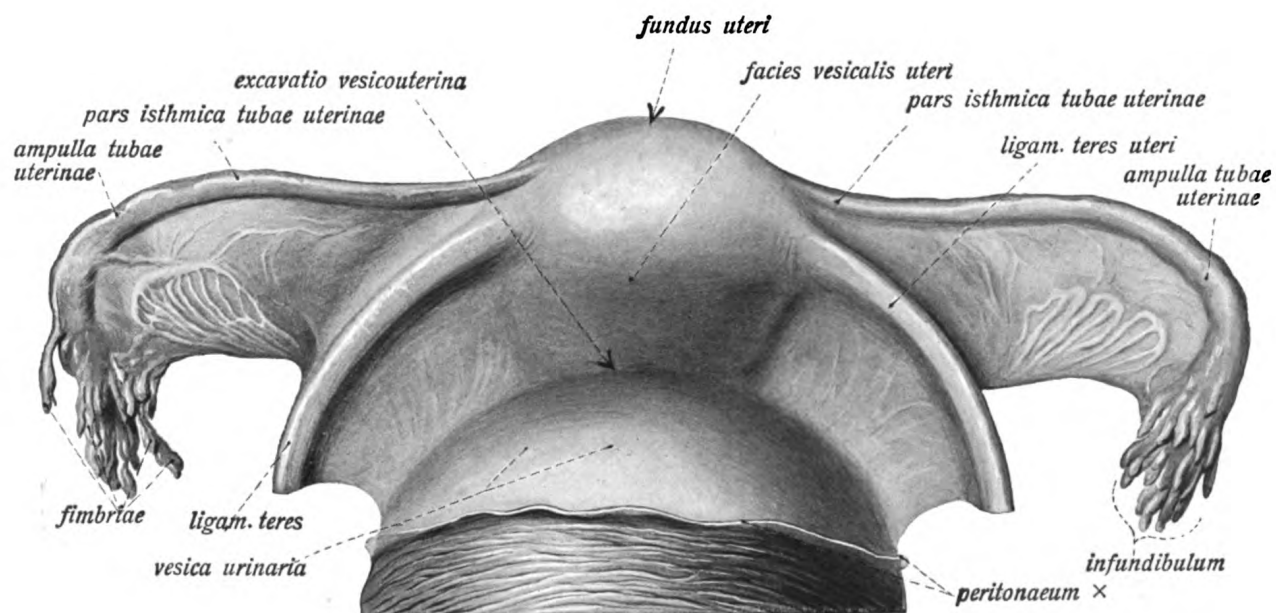


Fig. 509.

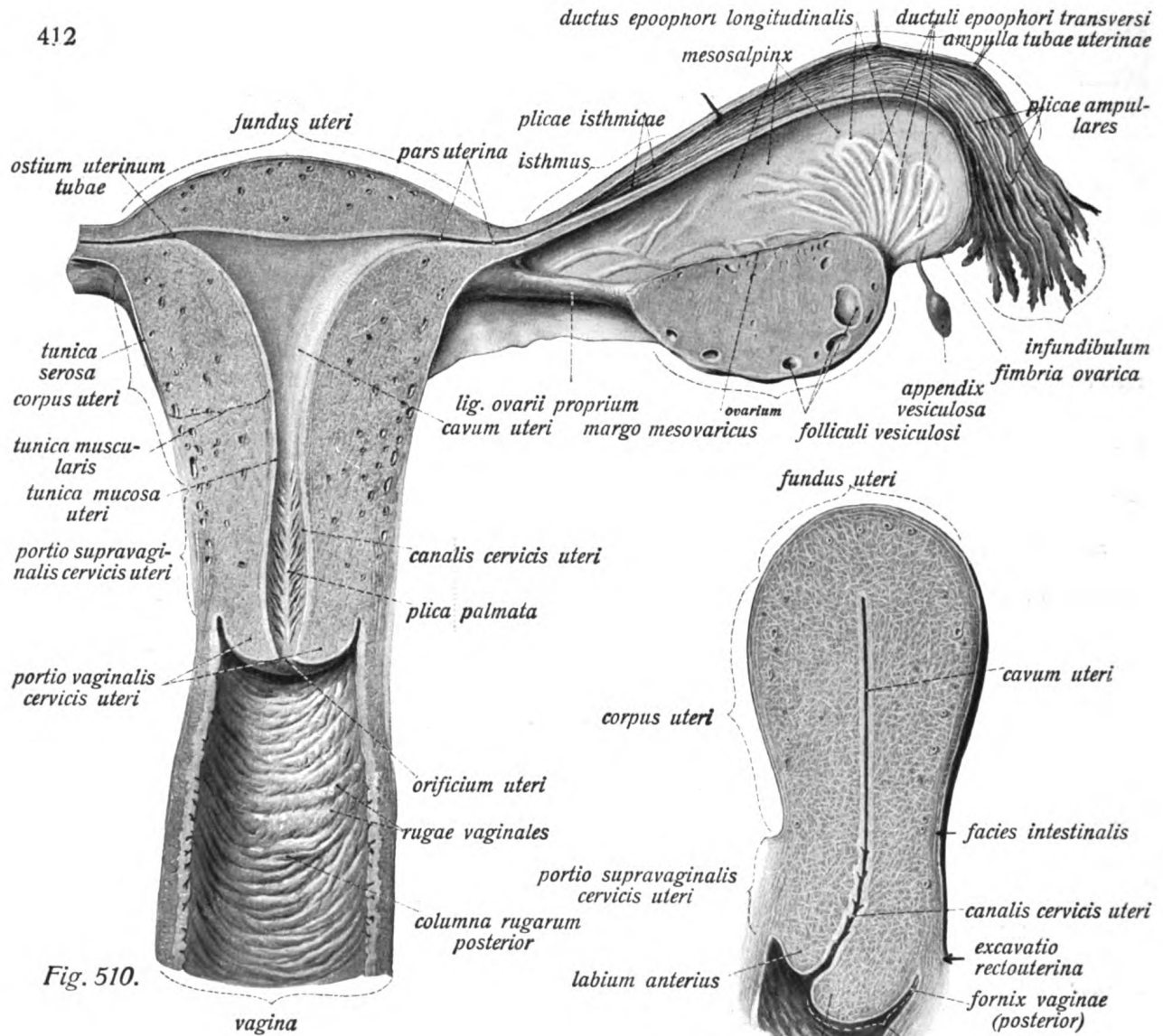


Fig. 510.

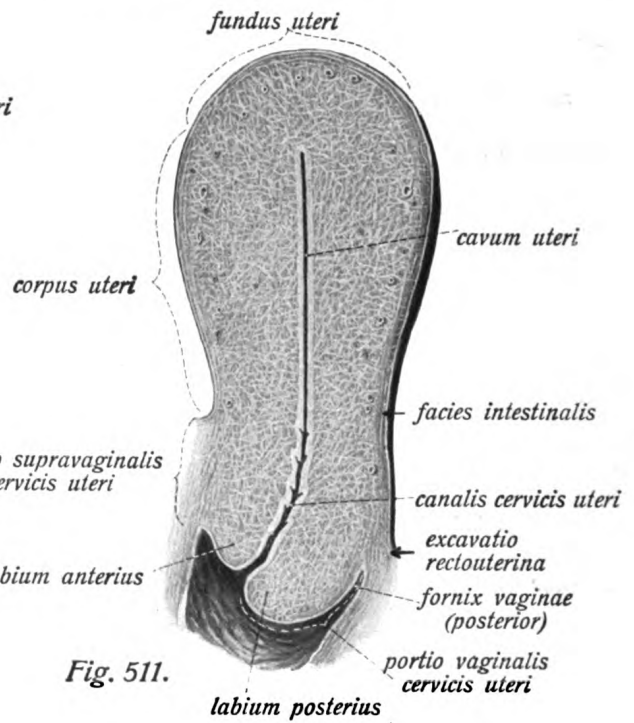


Fig. 511.

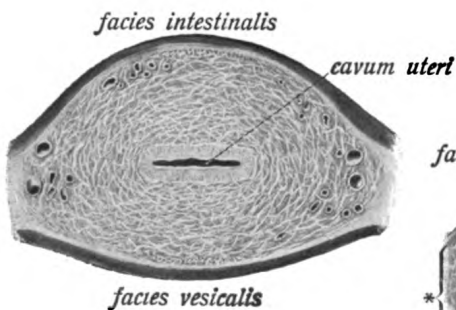


Fig. 514.

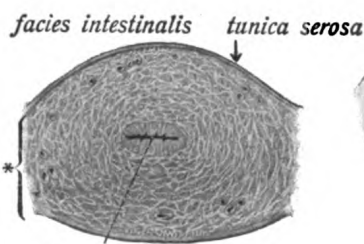


Fig. 513.

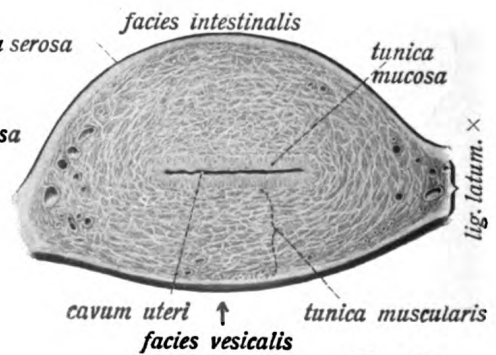


Fig. 512.

## Urogenitalapparat, weibliche Genitalien (Forts.), Gebärmutter.

Fig. 510. Frontalabschnitt des uterus, des Eileiters, Eierstocks und des oberen Teiles der vagina. ( $\frac{1}{1}$ ) Uterus und Eileiter sind gestreckt gedacht.

Fig. 511. Sagittalschnitt des uterus und des oberen Endes der vagina. ( $\frac{1}{1}$ )

Fig. 512—514. Querschnitte des uterus in der Höhe des corpus, der Grenze von corpus und cervix und der portio supravaginalis cervicis uteri. ( $\frac{1}{1}$ )

\* = Stelle des sog. parametrium.

### Die Gebärmutter, uterus.

Die Gebärmutter, *uterus*, ist ein dickwandiger, muskulöser, hohler Körper von der Form einer abgeplatteten Birne. Man unterscheidet am uterus zwei Hauptteile, einen grösseren, oberen, den Uteruskörper, *corpus uteri*, und einen kleineren, unteren, den Uterushals, *cervix uteri*. Beide werden durch eine Einschnürung, die schmalste Stelle des uterus, getrennt. Gleichzeitig ist der uterus hier geknickt und zwar so, dass das corpus uteri einen mehr oder weniger starken Winkel (je nach dem Füllungszustand der Blase) mit der cervix macht. Dadurch wird die excavatio vesicouterina (s. ob. p. 349) spaltförmig. Am Uteruskörper bezeichnet man die Kuppe, welche stark gewölbt über die Einmündungsstellen der Tuben hinausragt, als *fundus uteri*. Die vordere Fläche des uterus, *facies vesicalis*, ist weniger gewölbt als die hintere; die hintere, stärker konvexe Fläche wird als *facies intestinalis* bezeichnet, die Seitenränder als *marginés laterales* (*dexter* und *sinister*). An der cervix uteri unterscheidet man zwei Hauptteile, den unteren, in die Scheide hineinragenden Teil als *portio vaginalis* und den oberen, oberhalb der Scheide gelegenen als *portio supravaginalis*. Letzterer hat querelliptische Gestalt, ersterer ist abgeplattet-zylindrisch. Die sehr dicke Wandung des uterus umschliesst eine relativ enge Höhlung, welche im Bereiche des corpus uteri als *cavum uteri*, im Bereiche der cervix als *canalis cervicis uteri* bezeichnet wird. Beide hängen durch den inneren Muttermund, *orificium uteri internum*, zusammen. Das cavum uteri ist in der Richtung von vorn nach hinten, also in der Richtung der Abplattung des uterus, nur spaltförmig, in querrer Richtung dagegen ziemlich ausgedehnt. Es hat die Form eines gleichschenkeligen Dreiecks. Die eine Ecke stellt das orificium internum dar, die beiden anderen Ecken werden von den orificia uterina tubarum gebildet. Die Verbindungslinie der beiden letzteren ist die kürzeste Seite des Dreiecks. Der canalis cervicis dagegen ist ein ungefähr zylindrisches, in der Mitte etwas erweitertes Rohr; er beginnt am orificium uteri internum und mündet durch den (äusseren) Muttermund, *orificium uteri externum*, in die Scheide aus. Seine Schleimhaut bildet an der vorderen und hinteren Wand je ein Faltensystem, die *plicae palmatae*. Die dicken, wulstigen Ränder des orificium externum bilden die portio vaginalis und werden als Muttermundslippen bezeichnet; die vordere Lippe, *labium anterius*, ist kürzer und steht tiefer als die längere hintere, *labium posterius*.



## Urogenitalapparat, weibliche Genitalien (Forts.), Scheide, Schwellkörper.

### Die Scheide, *vagina*.

Die Scheide, *vagina*, ist ein ziemlich weiter und stark erweiterungsfähiger, häutig-muskulöser Kanal, der vom uterus bis zu den äusseren Genitalien sich erstreckt. In leerem Zustande ist die Scheide stark von vorn nach hinten abgeplattet, so dass ihr Lumen die Form eines liegenden *H* bildet.

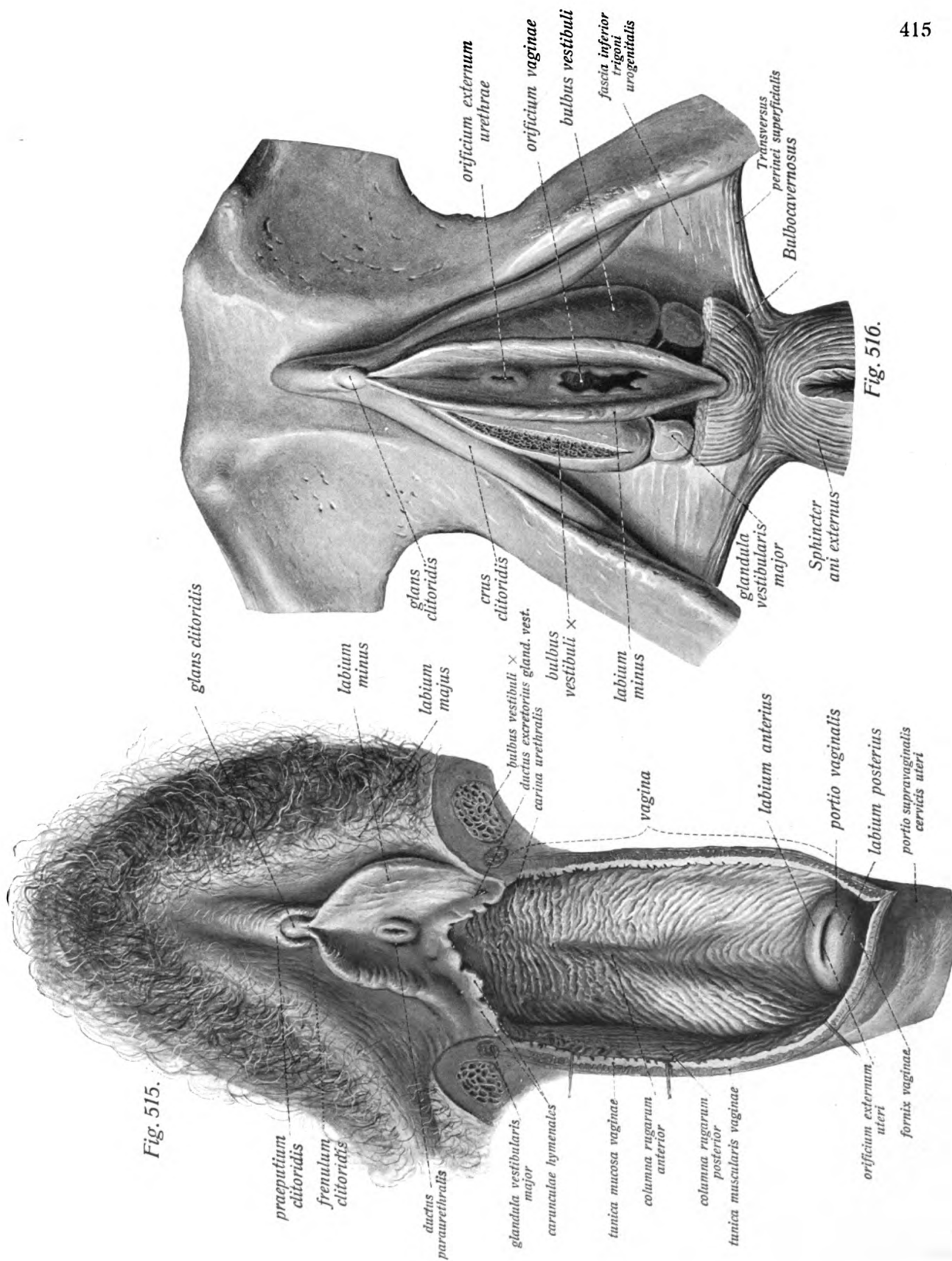
Die vordere Wand, *paries anterior*, ist kürzer als die hintere, *paries posterior*, weil die Achse des uterus schräg zur Achse der Scheide steht (*anteversio uteri*) und die *portio vaginalis uteri* in die *vagina* so hineinragt, dass die beiden Muttermundslippen verschieden lang sind. Erstere setzt sich an die Basis der kurzen, vorderen, letztere an die wesentlich längere, hintere Muttermundslippe so an, dass die Scheidenwand sich vollständig fest mit der Uteruswand verbindet, die Scheidenschleimhaut sich unmittelbar auf die Muttermundslippen überschlägt. So entsteht ein schmaler, zwischen Muttermundslippen und Scheidenwand gelegener, ringförmiger Raum, das Scheidengewölbe, *fornix vaginae*. Dieses ist hinten viel tiefer als seitlich und besonders vorn. An der vorderen wie an der hintern Scheidenwand findet sich je ein System gebogener Querfalten, *rugae vaginales*, die in der Mitte der betreffenden Wand eine längsverlaufende Erhebung, *columna rugarum*, bilden. Besonders stark springt der untere Teil der *columna rugarum anterior* vor, und zwar bedingt seine Wölbung im unteren Abschnitt die Harnröhre, welche als *carina urethralis vaginae* die Vaginalwand vorwölbt und selbst im *vestibulum vaginae* noch sichtbar ist. Völlig frei von Falten ist die Schleimhaut der *portio vaginalis uteri*.

Der *bulbus vestibuli*, die Vorhofszwiebel, ist ein dem *bulbus corporis cavernosi urethrae* des Mannes homologer Schwellkörper, der aus zwei fast durchweg getrennten Hälften besteht. Letztere liegen zu beiden Seiten des *orificium vaginae* in Gestalt länglicher, am hinteren Ende abgerundeter und verdickter, seitlich abgeplatteter Körper. Nach vorn verschmälern sie sich und hängen durch ein zwischen Harnröhren- und Vaginalmündung gelegenes Venengeflecht zusammen, so dass beide *bulbi* ein nach hinten und unten, d. i. gegen das *orificium vaginae* offenes Hufeisen bilden.

In der Gegend des *vestibulum vaginae* liegen die paarigen, grossen Vorhofsdrüsen, *glandulae vestibulares majores* (Bartholini). Ihre Mündungsstellen liegen dicht neben dem seitlichen Umfang des *orificium vaginae* (etwa an der Grenze des hinteren und mittleren Drittels) an der Grenze der Haut des *vestibulum* und der Schleimhaut, bei erhaltenem hymen vor diesem.

Fig. 515. Scheide und äussere Genitalien einer Frau, die geboren hat ( $\frac{1}{1}$ ). Die Scheide ist an ihrer seitlichen Wand aufgeschnitten und auseinandergelegt.

Fig. 516. Schwellkörper des weiblichen sinus urogenitalis und glandulae vestibulares majores ( $\frac{1}{1}$ ). Der Bulbocavernosus ist grösstenteils entfernt, die labia minora sind bis auf das praeputium clitoridis erhalten.



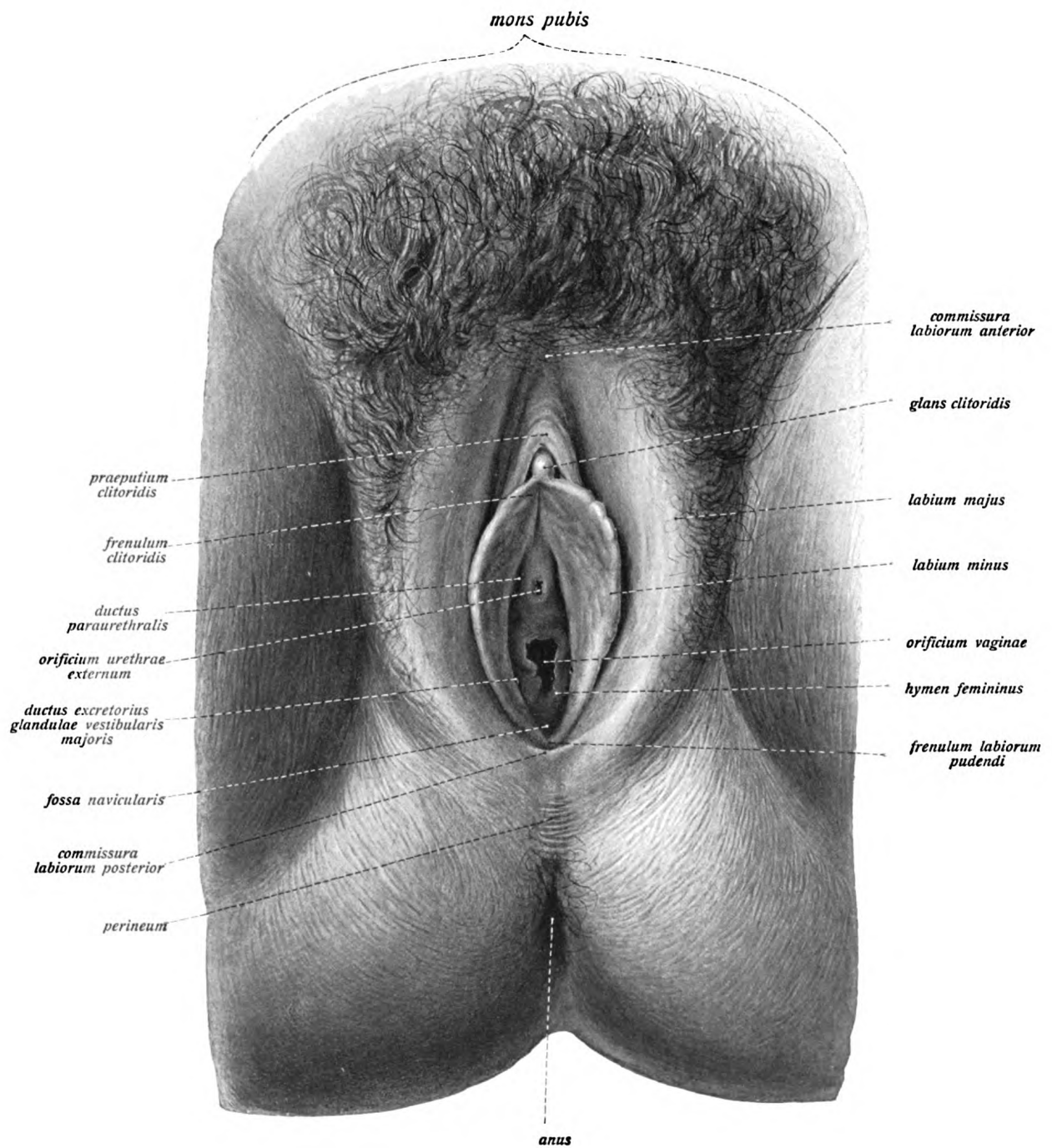


Fig. 517.



## Urogenitalapparat, weibliche Genitalien (Forts.), weibliche Scham, *pudendum muliebre*.

Fig. 517. Pudendum muliebre einer 18jährigen Jungfrau. (<sup>4</sup>/<sub>5</sub>)

### Die weibliche Scham, *pudendum muliebre* (*vulva*).

Die weibliche Scham, *pudendum muliebre*, zeigt eine mediane Spalte, *rima pudendi*, die von den grossen Schamlippen, *labia majora pudendi*, starken, fettreichen Hautfalten, begrenzt wird (vorn und hinten durch die niedrigen *commissurae labiorum anterior* und *posterior* verbunden). Oberhalb der Schamspalte liegt der *mons pubis*, eine durch Fettgewebe bedingte Erhebung. Die äussere Fläche der grossen Schamlippen zeigt die gewöhnlichen Charaktere der äusseren Haut und enthält reichlich Talgdrüsen und stärkere Körperhaare, die inneren Flächen sind mehr schleimhautähnlich. In ihrem Fettgewebe enden die runden Mutterbänder.

Die kleinen Schamlippen, *labia minora pudendi*, ebenfalls Hautfalten wie die *labia majora*, in der Regel aber viel kürzer, schmaler und dünner als diese, sind den grossen Schamlippen ungefähr parallel und an ihrer medialen Seite gelegen. In der Regel haben die kleinen Schamlippen ihre grösste Höhe nahe ihrem vordern Ende, nach hinten werden sie beträchtlich niedriger und verlieren sich in dem vor der *commissura posterior* gelegenen *frenulum labiorum pudendi*. Ihnen fehlen die Haare, ferner das Fettgewebe; dagegen besitzen sie reichlich Talgdrüsen.

Der von den kleinen Schamlippen begrenzte Raum der Schamspalte wird *vestibulum vaginae* genannt. Man findet in ihm, am weitesten nach vorn und oben gelegen, das weibliche Glied, *clitoris*. Dieses entspricht seiner Form und Lage nach den *corpora cavernosa penis*, weicht jedoch vom *penis* dadurch ab, dass es viel schwächer ausgebildet ist und nicht von der Harnröhre durchbohrt wird. Man unterscheidet die von der Gegend der Schamsitzbeingrenze entspringenden *crura clitoridis*, das *corpus clitoridis* und die *glans clitoridis*. Die *clitoris* setzen zwei kleine, längliche Schwellkörper zusammen, die *corpora cavernosa clitoridis*. Nur das leicht verdickte, abgerundete, vordere Ende der *clitoris*, die *glans clitoridis*, ragt in die Schamspalte so hinein, dass die kleinen Schamlippen sich vor der *glans clitoridis* zu einer hohen, vorhautähnlichen Falte, dem *praeputium clitoridis*, vereinigen, während sie hinter der *glans* eine niedrigere Querfalte, *frenulum clitoridis*, bilden.

Unmittelbar dahinter und unterhalb des *frenulum clitoridis* findet man im *vestibulum vaginae* auf einer kleinen Erhebung die äussere Mündung der (weiblichen) Harnröhre, *orificium urethrae externum*. Auf diese folgt, am weitesten nach hinten und unten, das *orificium vaginae*, an welchem sich bei Jungfrauen eine meist halbmondförmige, von der hinteren Scheidewand ausgehende Falte, das Jungfernhäutchen, *hymen femininus*, findet. Nach erfolgter Geburt treten an seine Stelle kurze, unregelmässig gestaltete, oft eingekerbte, vernarbte Lappen oder Warzen, *carunculae hymenales*.

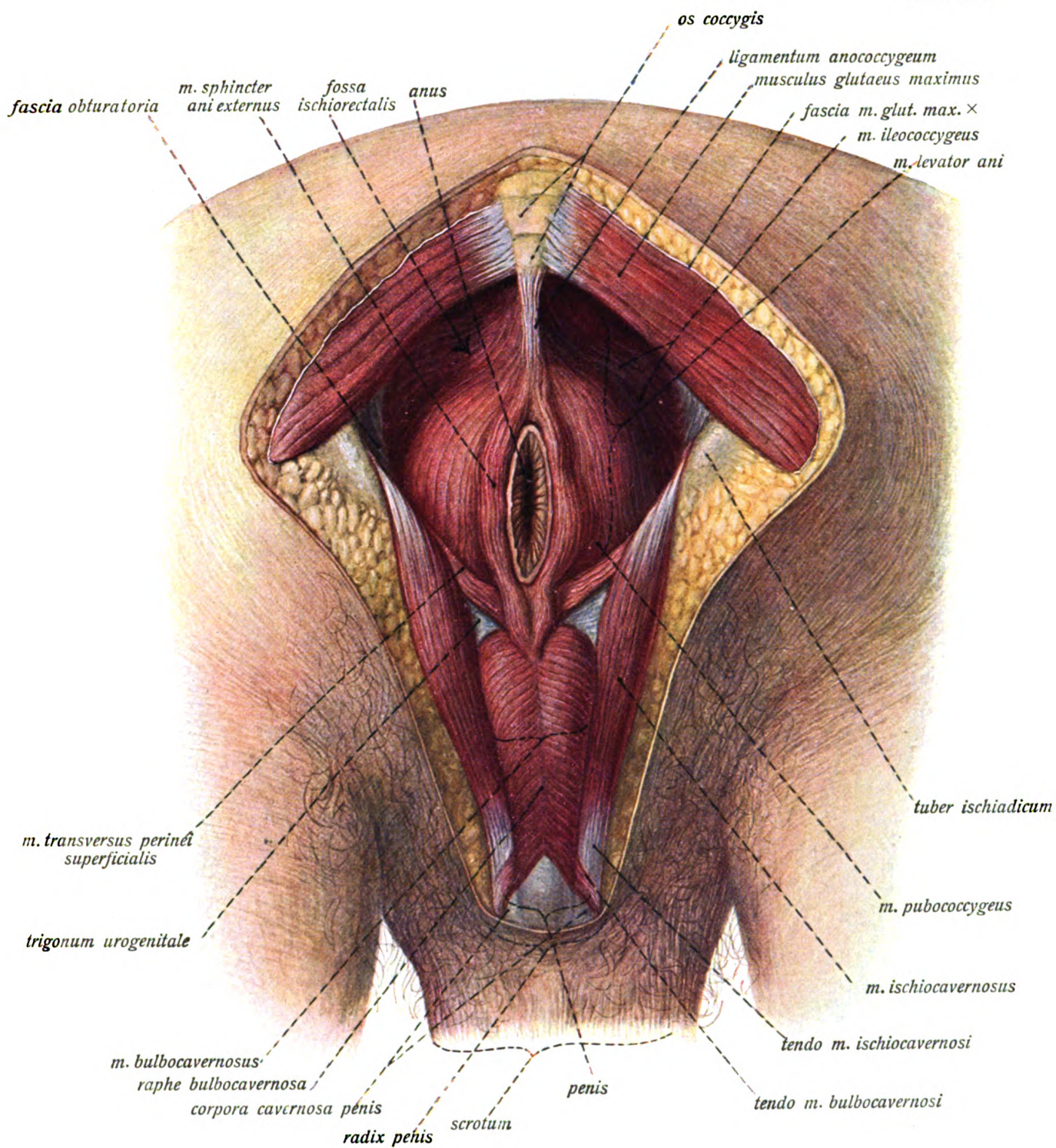
# Damm-Muskeln, *musculi perinei*.

## Tafel 16.

Oberflächliche Schicht der Muskeln des männlichen Dammes. (<sup>2</sup>/<sub>3</sub>)

Name	Ursprung	Ansatz
<i>Levator ani</i>		
<i>Pubococcygeus</i>	Beckenfläche des os pubis neben der facies symphyseos	geht zum Mastdarm in der Gegend des anus und zum ligamentum sacrococcygeum anterius.
<i>Iliococcygeus</i>	arcus tendineus des Muskels	Seitenfläche des Steissbeins, ligamentum anococcygeum.
<i>Coccygeus</i>	spina ischiadica (verläuft auf der Beckenfläche des ligamentum sacrospinosa)	Seitenrand des unteren Teils des Kreuz- und des Steissbeins.
<i>Sphincter ani externus</i>	läuft ringförmig um das untere Ende des Mastdarms, z. T. von der Steissbeinspitze entspringend.	
<i>Ischiocavernosus</i>	kurzsehnig mit dem corpus cavernosum penis (clitoridis) vom ramus inferior ossis ischii	corpus cavernosum penis und fascia dorsalis penis (clitoridis).
<i>Bulbocavernosus</i>	Unterfläche des bulbus corporis cavernosi urethrae	die oberflächlichen Fasern gehen mit zwei Zipfeln an die corpora cavernosa penis.
a) des Mannes		
b) des Weibes	umgibt sphinkterenartig den Scheideneingang.	
<i>Transversus perinei superficialis</i>	medialer Rand des tuber ischiadicum	vereinigt sich in der Mitte des Dammes mit dem Muskel der anderen Seite und dem Bulbocavernosus.
<i>Transversus perinei profundus</i>	medialer Rand des ramus inferior ossis ischii und fascia trigoni urogenitalis inferior, im trigonum urogenitale gelegen	die Muskeln beider Seiten verschmelzen in einer mittleren raphe.
<i>Sphincter urethrae membranaceae</i>	ligamentum transversum pelvis, rami inferiores ossis pubis	umgibt die pars membranacea urethrae mit im wesentlichen ringförmigen Fasern; im trigonum urogenitale gelegen.

*Tab. 16.*







## Damm-Muskeln.

Fig. 518. Ansicht der männlichen Damm-Muskeln von der linken Seite nach Entfernung von Blase u. Mastdarm. ( $\frac{2}{3}$ ) Präparation wie in Fig. 484.

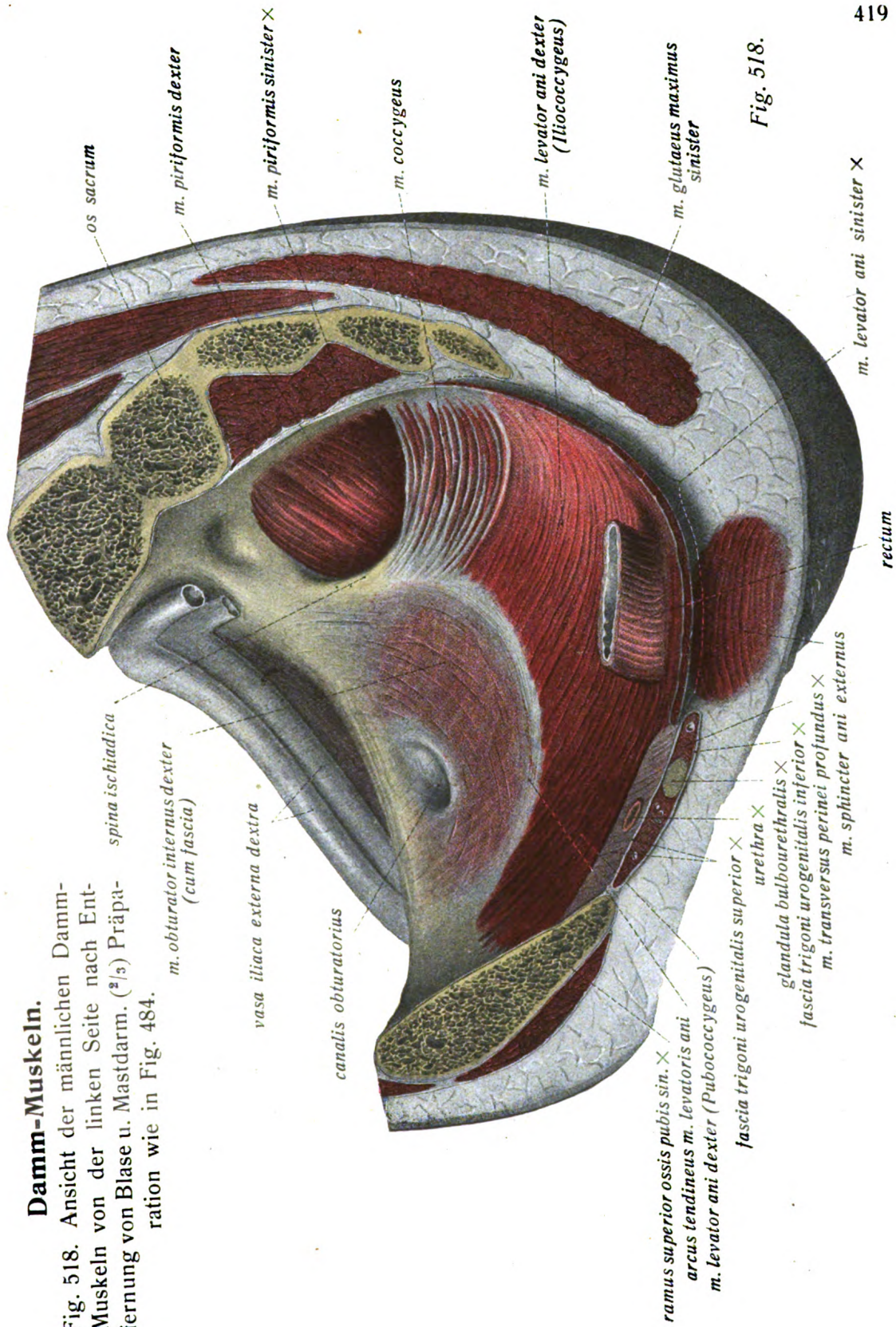


Fig. 518.

## Damm-Muskeln und -Fascien. (Forts.)

### Tafel 17.

Oberflächliche Lage der weiblichen Damm-Muskulatur. ( $\frac{2}{3}$ ) Rechts ist der Bulbo-cavernosus ganz, links nur teilweise freigelegt. Der Ischiocavernosus ist nur rechts präpariert.

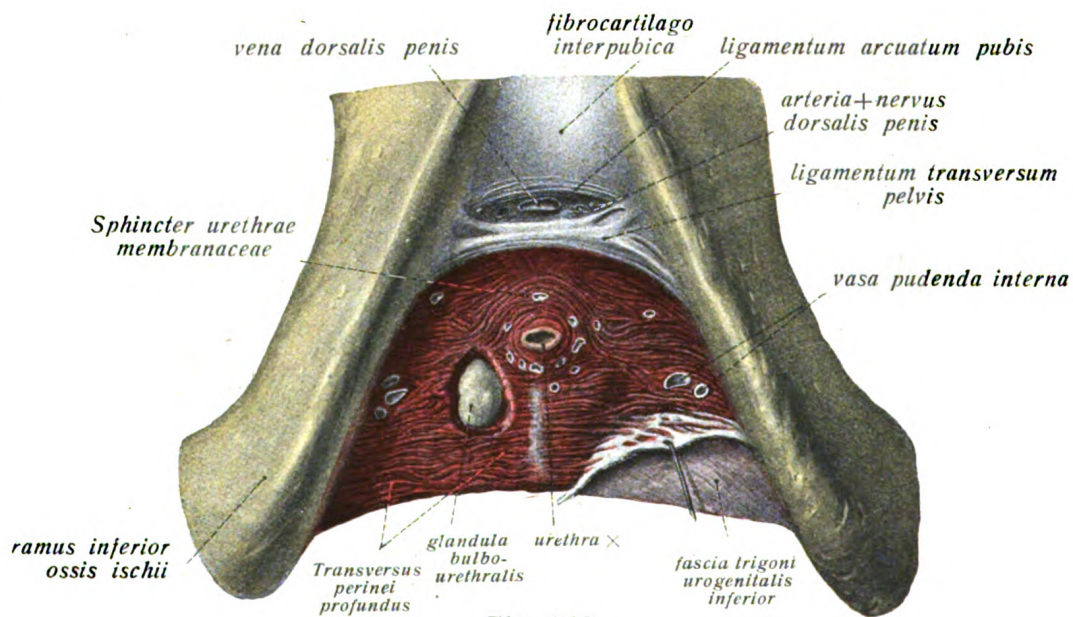


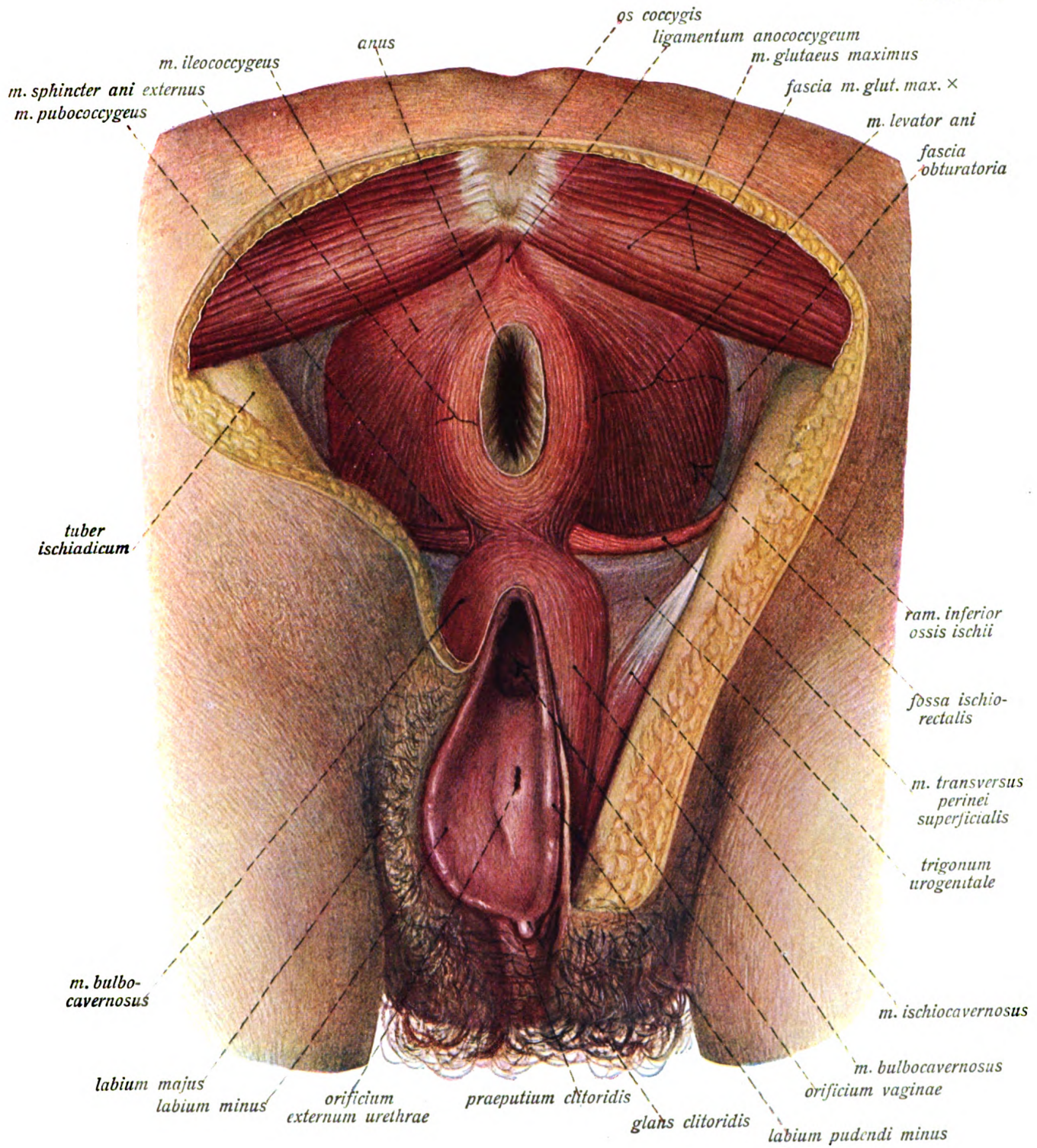
Fig. 519.

Fig. 519. Diaphragma (trigonum) urogenitale des Mannes von der Dammseite her gesehen.

Links ist die fascia inferior teilweise erhalten, um die Verbindung mit dem Muskel zu zeigen, rechts ist die Fascie ganz abgelöst und der Muskel so weit eingeschnitten, dass die glandula bulbourethralis sichtbar ist.



Tab. 17.







# Gefäßlehre, *Angiologia*.

Der Kreislauf, *circulus sanguinis*.

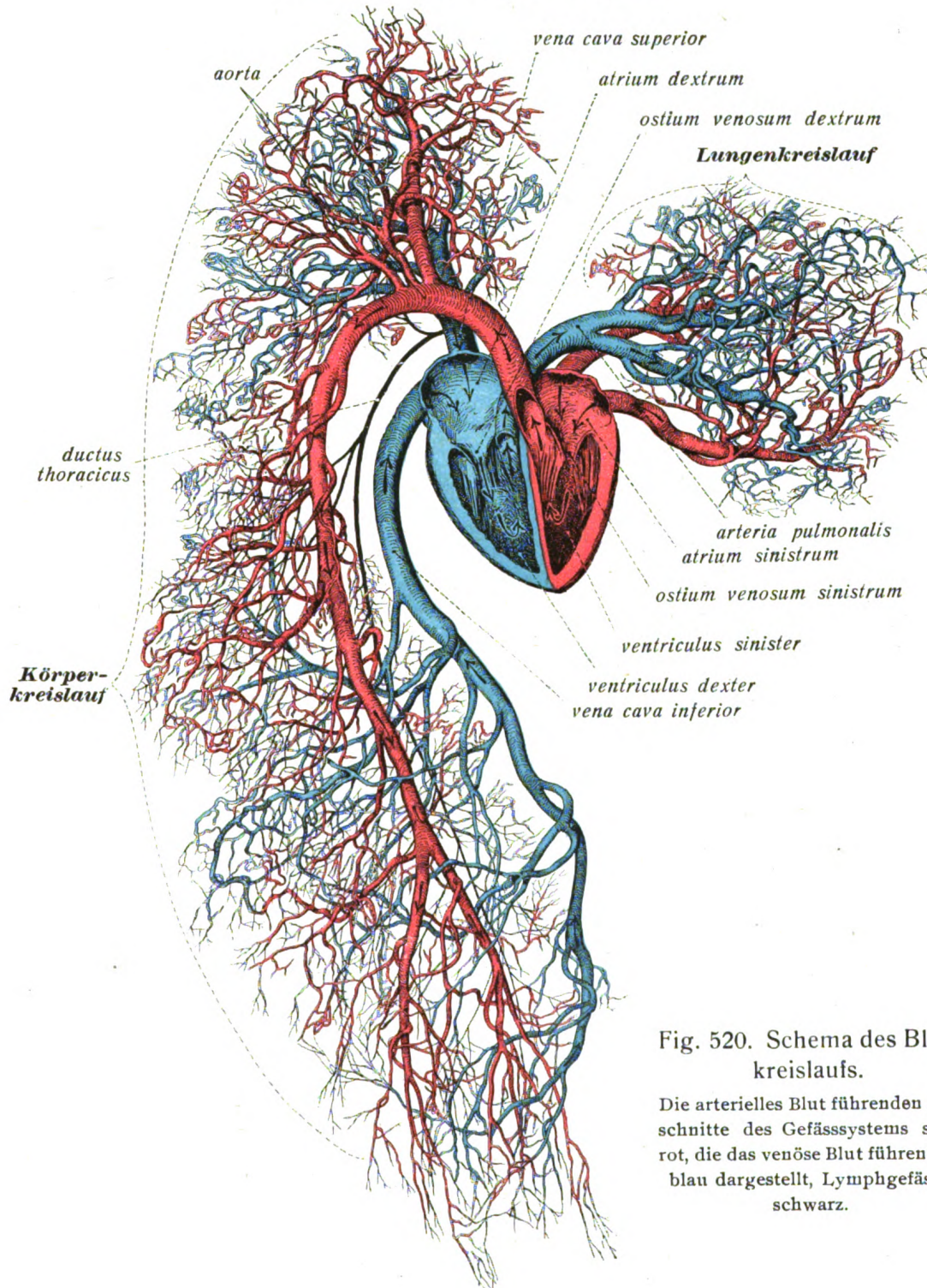


Fig. 520. Schema des Blutkreislaufs.

Die arterielles Blut führenden Abschnitte des Gefäßsystems sind rot, die das venöse Blut führenden blau dargestellt, Lymphgefäße schwarz.



## Kreislauf, Herz, *cor.*

### Tafel 18.

- Fig. 1. Ansicht des Herzens von vorn, *facies sternocostalis*. ( $\frac{4}{5}$ )  
 Fig. 2. Ansicht des Herzens von unten und hinten, *facies diaphragmatica*. ( $\frac{4}{5}$ )
- 

### Tafel 19.

- Fig. 1. Rechter Ventrikel und rechtes atrium vom rechten Herzrand her aufgeschnitten.  
 Fig. 2. Rechter Ventrikel und arteria pulmonalis durch einen Schnitt an der Vorderfläche und am rechten Herzrand eröffnet. ( $\frac{4}{5}$ ) \* = scharfer Herzrand.
- 

### Tafel 20.

- Fig. 1. Linker Ventrikel und aorta durch einen Schnitt in der Mitte des linken Ventrikels und einen solchen am *sulcus longitudinalis anterior* eröffnet. ( $\frac{4}{5}$ )  
 Fig. 2. Linker Ventrikel und linkes atrium durch einen Längsschnitt in der Mitte des Ventrikels eröffnet. ( $\frac{4}{5}$ )
- 

Im Körper des Menschen finden sich zwei Kreisläufe, der sogenannte grosse Kreislauf oder Körperkreislauf, und der kleine oder Lungenkreislauf. Der erstere dient dazu, den Körper mit Blut zu versorgen, der letztere, das im Körper in Zirkulation gewesene Blut, welches unter Abgabe seines Sauerstoffs kohlenstoffhaltig geworden ist, wieder mit Sauerstoff zu versehen. Man nennt das sauerstoffhaltige, hellrote Blut auch wohl arterielles, weil es im Körperkreislauf sich in den Arterien befindet, das sauerstoffarme, kohlenstoffreiche, dunkelrote Blut auch wohl venöses, weil es in den Venen des Körperkreislaufs zirkuliert. Im Lungenkreislauf enthalten jedoch die Arterien „venöses“, die Venen „arterielles“ Blut.

Da das Herz die treibende Kraft für beide Kreisläufe abgibt, so muss es aus zwei getrennten Hälften bestehen. Da ausserdem für die Einmündung der Venen besondere Räume vorhanden sind, welche von denjenigen Herzabschnitten, von denen die Arterien ausgehen, abgeschlossen werden können, so besteht das Herz aus vier getrennten Räumen. Diejenigen, in welche die Venen einmünden, heissen Vorhöfe, *atria*, diejenigen, von denen die Arterien ausgehen, Kammern, *ventriculi*. Man unterscheidet eine linke und rechte Kammer und einen linken und rechten Vorhof. Gleichseitige Kammer und gleichseitiger Vorhof stehen durch eine mit einer Klappen- vorrichtung versehene Oeffnung, *ostium venosum* genannt, in Verbindung, während die ungleichseitigen Herzabschnitte voneinander vollkommen unabhängig sind.

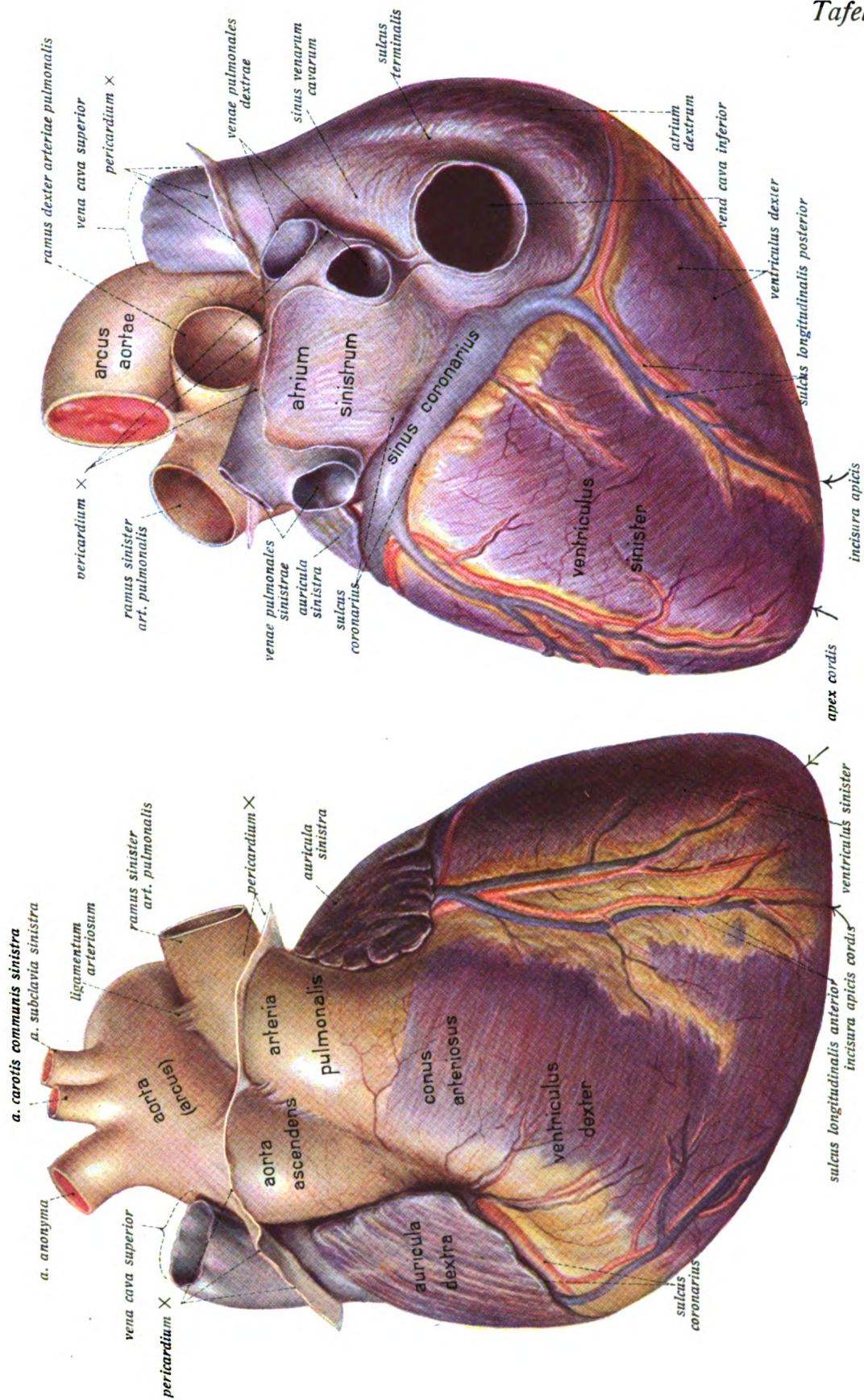
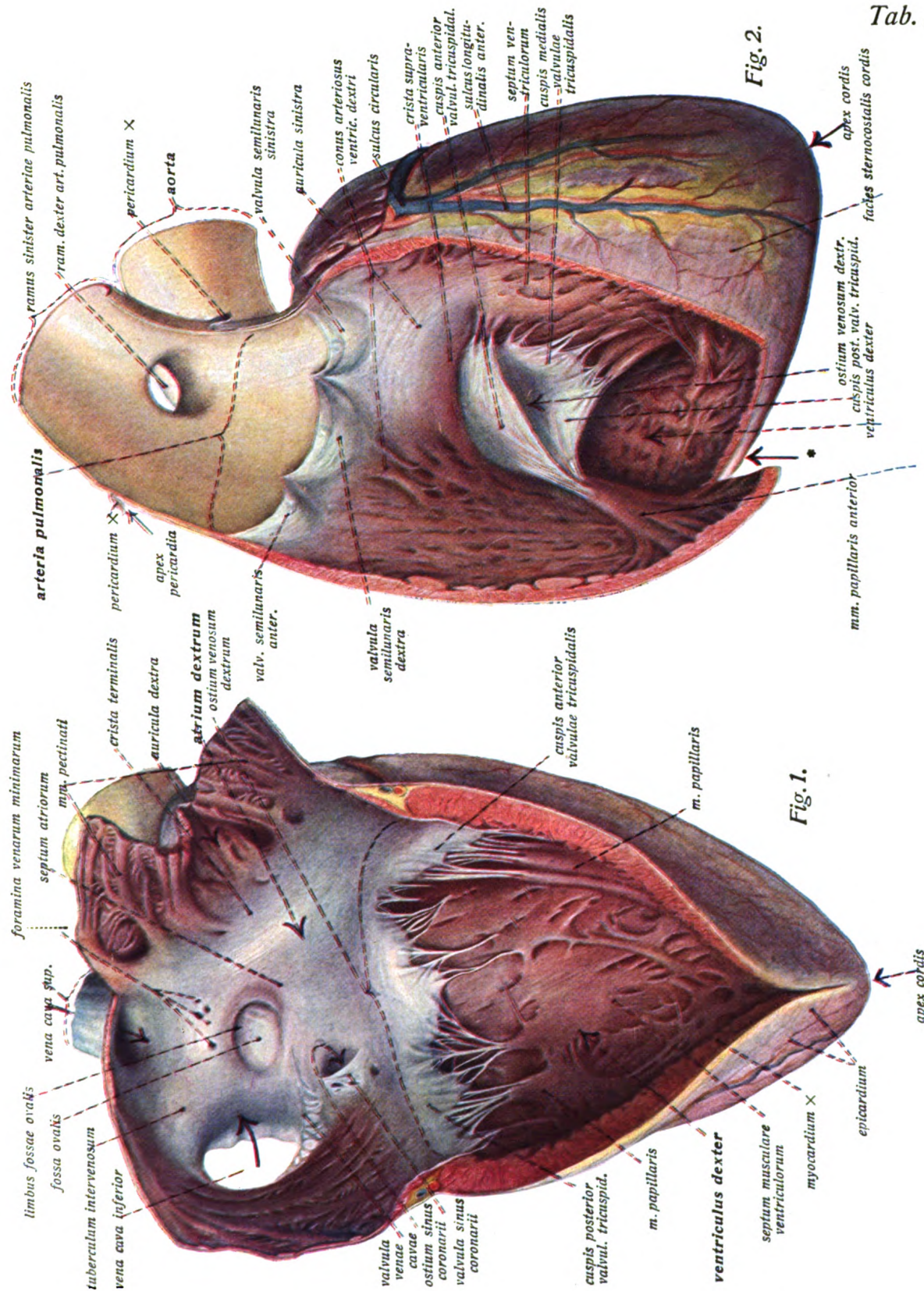


Fig. 1.

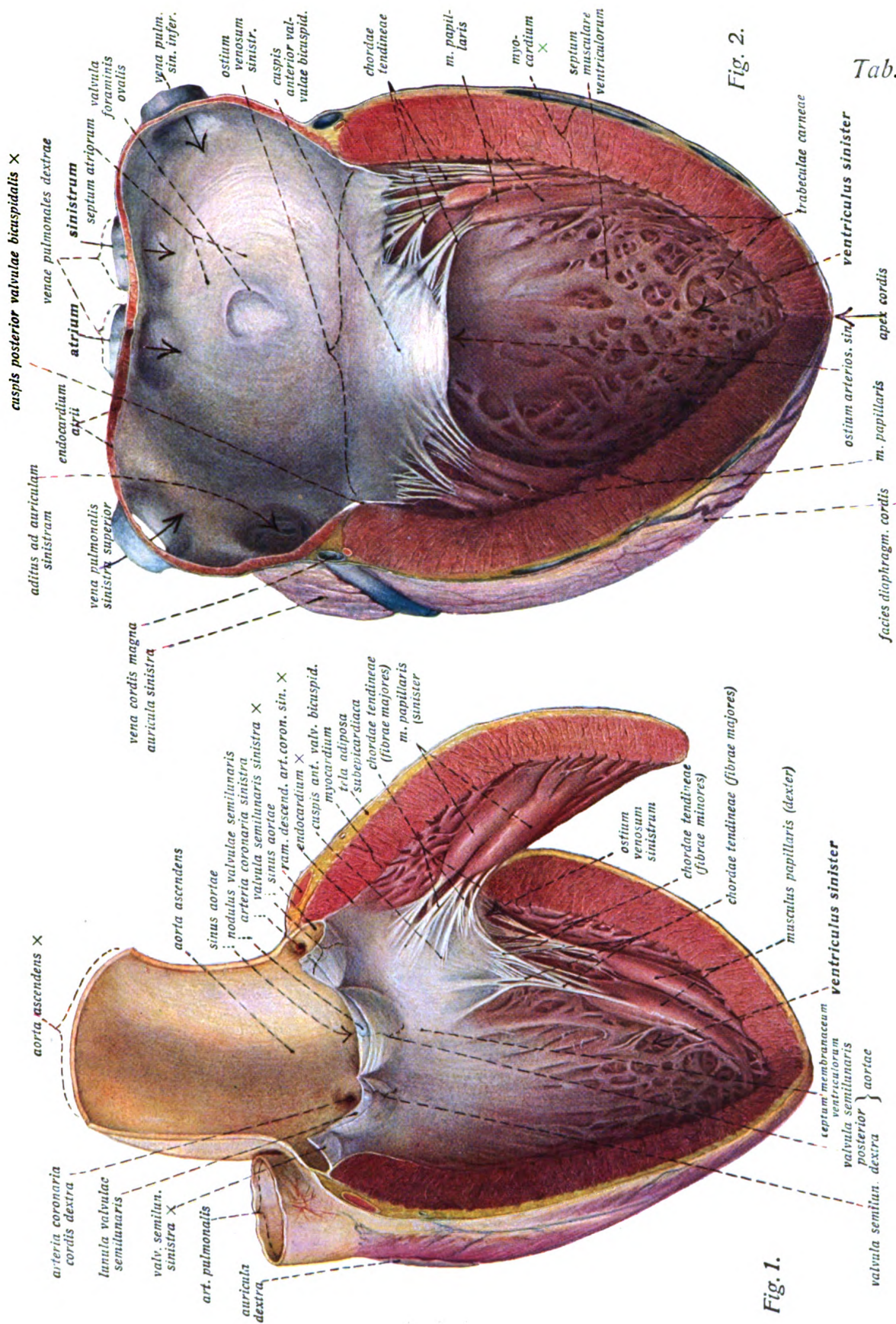
















### Kreislauf (Forts.), Herz.

Der grosse oder Körperkreislauf beginnt in der linken Herzkammer, geht von hier aus durch die Körperschlagader, aorta, das einzige grosse, arterielle Gefäss des Körperkreislaufs, von dem alle seine Aeste abstammen, in den Körper und kehrt durch die beiden Hohlvenen, vena cava superior und vena cava inferior, welche alle Körpervenen aufnehmen, zum Herzen zurück und zwar zum rechten Vorhof. Der kleine oder Lungenkreislauf beginnt im rechten Ventrikel, geht durch die arteria pulmonalis und ihre Aeste in beide Lungen und kehrt durch die venae pulmonales zum Herzen und zwar zum linken atrium zurück. Das Blut nimmt also folgenden Weg: es strömt vom linken Ventrikel in die aorta und in deren gesamte Aeste, die Körperarterien, geht von den Arterien in die Kapillaren des Körpers, gibt dort seinen Sauerstoff an die Gewebe ab, kehrt, „venös“ geworden, durch die Venen zum rechten Vorhof des Herzens zurück, geht von diesem durch das ostium venosum dextrum in den rechten Ventrikel, von da aus in die Lungenarterie und die Kapillaren der Lunge, wo es wieder Sauerstoff aufnimmt, geht arterialisiert durch die Lungenvenen ins linke atrium des Herzens und durch das ostium venosum sinistrum in den linken Ventrikel, und von da beginnt der Kreislauf von neuem.

### Das Herz, *cor*.

Das Herz, *cor*, stellt einen ungefähr kegelförmigen, dickwandigen, muskulösen, kurzen Schlauch dar, an dem das obere, breite und zugleich angewachsene Ende als *basis*, der nach unten gerichtete, frei bewegliche Teil als Herzspitze, *apex cordis*, bezeichnet wird. Man unterscheidet zwei — besonders am blutleeren Herzen — deutlich getrennte Flächen, welche aber am linken Herzrand auch im nicht gefüllten Zustand ohne Grenze ineinander übergehen. Die eine Fläche ist konvex nach vorn und etwas nach oben gerichtet. Sie liegt hinter dem corpus sterni und den angrenzenden (linken) Rippenknorpeln und heisst *facies sternocostalis*; die andere sieht nach hinten und unten und wird, weil sie an das Zwerchfell und zwar hauptsächlich an dessen centrum tendineum grenzt, als *facies diaphragmatica* bezeichnet. Diese Fläche des Herzens ist ebenfalls konvex, aber weniger gewölbt als die sternocostale.

Oberhalb der Herzbasis liegen die Atrien und die beiden von den Ventrikeln ausgehenden Arterienrohre, unterhalb der Ventrikelteil. Die basis cordis wird äusserlich abgegrenzt durch eine vorn unterbrochene Ringfurche, *sulcus coronarius cordis*, in welcher die das Herz ernährenden Gefässe liegen. Sie liegt näher dem oberen Ende des Herzens als der Spitze und enthält die vier Herztoren (2 venosa und 2 arteriosa). Zwei Längsfurchen, *sulci longitudinales (anterior und posterior)*, deuten an der Vorder- und Hinterwand des Herzens die Trennungslinien beider Ventrikel an. Auch sie enthalten Hauptstämme der für die Ernährung des Herzens bestimmten Gefässe (s. u.). Beide sulci longitudinales vereinigen sich rechts neben der Herzspitze in einem nicht stets deutlichen Einschnitt, *incisura apicis cordis*.

### Herz, *cor.* (Forts.)

Die Herzwand besteht aus drei Schichten: am weitesten nach aussen liegt das viscerele Blatt des serösen Pericards, *epicardium* genannt. Unter ihm finden sich, wenigstens am Herzen des Erwachsenen, stärkere Fettanhäufungen, besonders in den sulci und in der Nähe der Herzspitze. Wo das Fettgewebe fehlt, liegt das Epicard der zweiten (mittleren) Schicht der Herzwand, dem Myocard, fest auf. Das *myocardium*, der eigentliche Herzmuskel, bildet die mittlere und zugleich bei weitem dickste Schicht der Herzwand; namentlich an den Ventrikeln umfasst sie mehr als  $\frac{7}{10}$  ihrer Dicke. Die Elemente der Herzmuskulatur ordnen sich in äussert komplizierter Weise zu Zügen und Blättern an.

An den Atrien ist die Muskulatur der Herzohren beträchtlich stärker als die der Venensinus; erstere besitzen innere, zirkuläre und äussere, der Längsachse des Herzohres parallele Fasern, letztere innere, longitudinale und äussere, zirkuläre Fasern. Platte Faserzüge überbrücken die Grenz-furchen beider Vorhöfe, namentlich an der Vorderwand. Kreisförmig angeordnete Fasern finden sich an den Venenmündungen (auf deren Wand sich vereinzelt quergestreifte Muskelfasern fortsetzen); an anderen Stellen gehen die zirkulären Fasern häufig in schräge über. Die tieferen Fasern entspringen z. T. von den faserigen Ringen der ostia venosa, den *anuli fibrosi*, namentlich linkerseits und senken sich in die Substanz des *septum atriorum* ein, das sie bis auf die Stelle der *pars membranacea septi atriorum* bilden. Die tiefen Fasern gehören also wesentlich den beiden Atrien gesondert an, während die oberflächlichen z. T. den beiden Vorhöfen gemeinsam sind. Dagegen ist die Muskulatur der Atrien von der der Ventrikel in hohem Grade unabhängig. Ähnlich wie an den Vorhöfen verhalten sich auch die oberflächlichen Muskelfasern der Ventrikel; auch sie überbrücken z. T. die sulci und gehören grösstenteils beiden Kammern gemeinsam an, während bei weitem die meisten Muskelfasern der Ventrikel, insbesondere die mächtigeren, tieferen Lagen in beiden Herzhälften unabhängig voneinander sind. Die Muskulatur der Ventrikel ist ausserordentlich viel stärker als die der Atrien, die des linken viel stärker als die des rechten. Die oberflächliche Kammermuskulatur besteht im wesentlichen aus platten Bündeln, die von der Gegend der Herzbasis nach der Gegend der Herzspitze verlaufen, aber so, dass sie am rechten Ventrikel mehr quer oder schräg, am linken mehr longitudinal angeordnet erscheinen. Ein Teil dieser Fasern senkt sich in das septum ventriculorum ein, ein grosser Teil überbrückt die sulci longitudinales. Ein besonderes Bündel der Herzmuskulatur ist das sog. atrioventrikuläre Verbindungsbündel, das, innerhalb der übrigen Muskulatur gelegen, wie sein Name bereits sagt, Vorhofs- und Kammermuskulatur verbindet. Es stellt das System der Reizleitungsfasern dar und entspringt beim Menschen in der Wand des sinus coronarius cordis und der benachbarten Muskulatur des rechten, vielleicht auch linken Vorhofs. Der einheitliche Stamm des Bündels geht von hier aus am obern Rande der rechten Seite des septum ventriculorum nach vorn, wo eine Spaltung in einen rechten und linken Schenkel erfolgt, welche in der Muskulatur der Papillarmuskulatur enden.

Fig. 521. Die Muskulatur des Herzens in der Ansicht von vorn. ( $\frac{1}{1}$ ) In der Wand des rechten Ventrikels ist ein Teil der oberflächlichen Schicht fortpräpariert, um die mittlere Lage zu zeigen.

Fig. 522. Die Muskulatur des Herzens in der Ansicht von hinten. ( $\frac{1}{1}$ ) In der Wand des linken Ventrikels ist ein Teil der oberflächlichen Schicht abpräpariert, um die mittlere Lage zu zeigen.



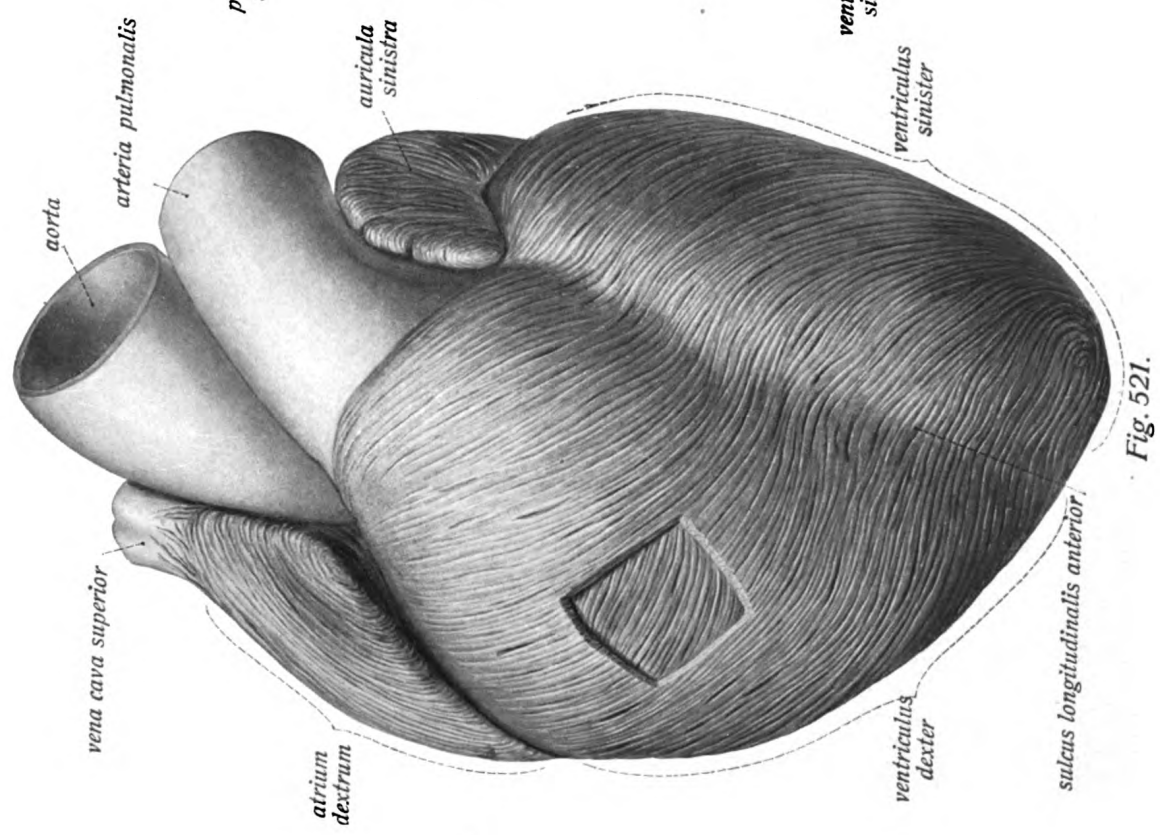


Fig. 521.

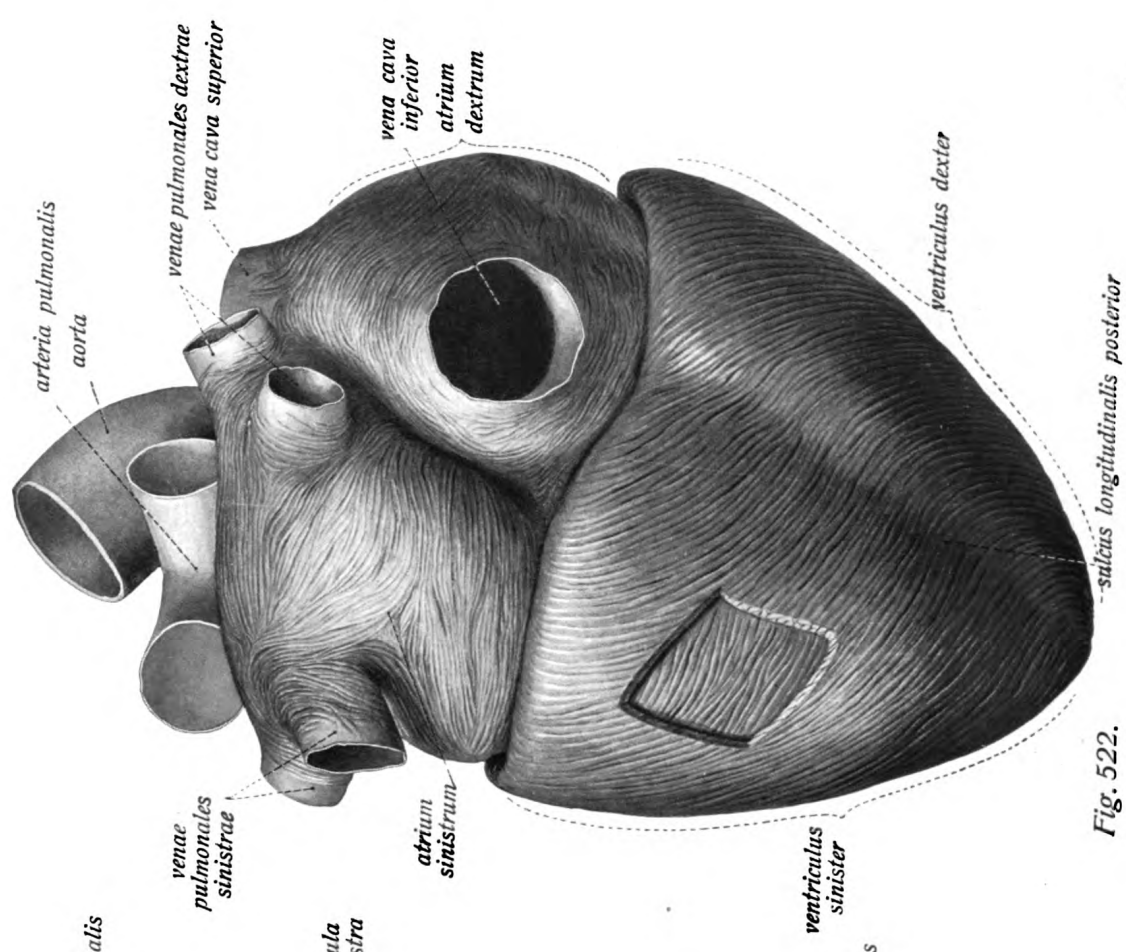


Fig. 522.

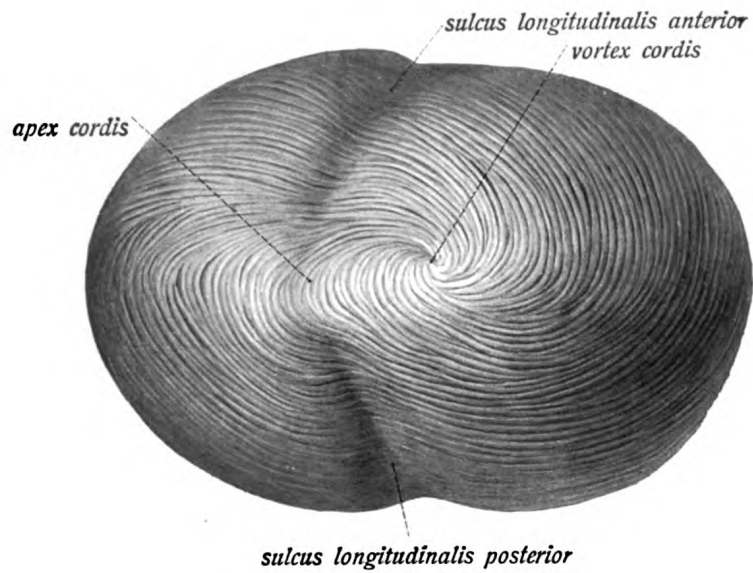


Fig. 523.

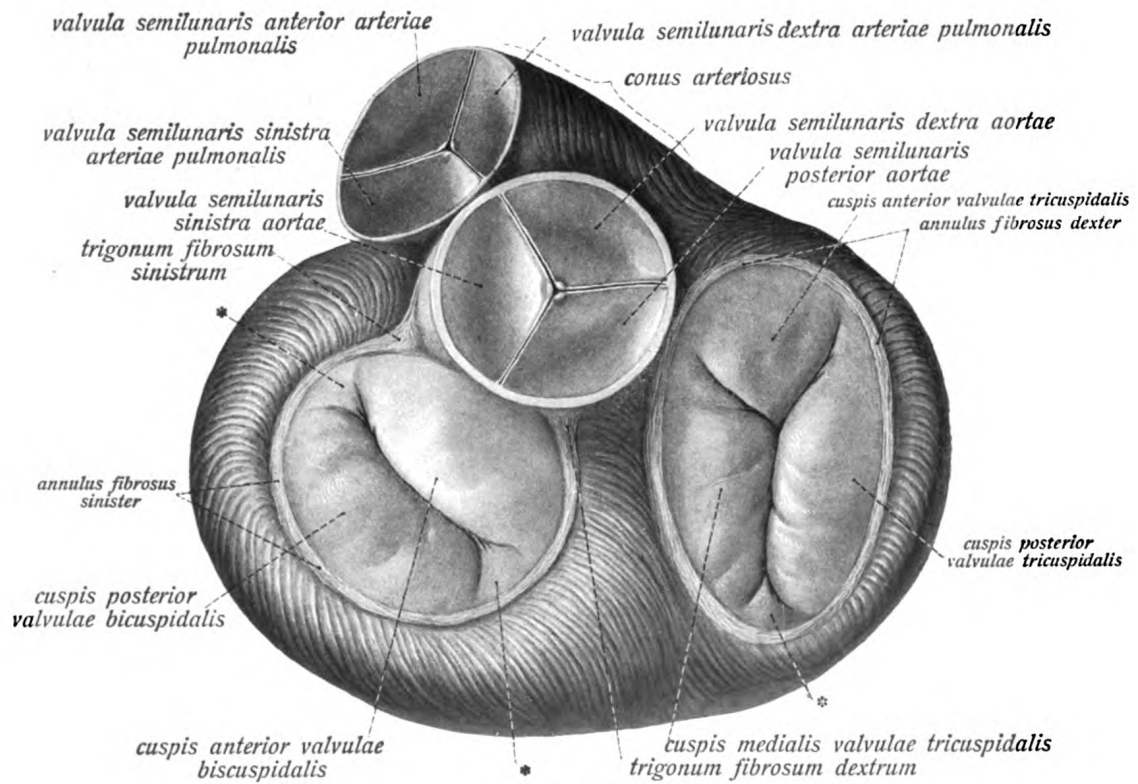


Fig. 524.

### Herz, *cor.* (Forts.)

- Fig. 523. Die oberflächliche Muskulatur des Herzens in der Ansicht von der Herzspitze aus. ( $\frac{1}{1}$ )
- Fig. 524. Die vier Ostien des Herzens von oben her gesehen nach Wegnahme der Atrien und unter Präparation der oberflächlichen Muskulatur. Die Klappen sind in geschlossenem Zustand dargestellt. ( $\frac{1}{1}$ ) \* = intermediäre Zipfel.

In der Herzspitze treffen die Faserzüge derart zusammen, dass sie einen Wirbel bilden, den Herzwirbel, *vortex cordis*, von dem aus die Fasern in die Tiefe dringen und an der Bildung der inneren Muskellage des linken Ventrikels sich beteiligen. Ausser dieser oberflächlichen Muskellage unterscheidet man am linken Ventrikel noch eine mittlere und eine tiefe Schicht. Die mittlere Lage ist bei weitem die stärkste, ihre Hauptrichtung ist eine quere. Die innerste Lage der Muskulatur des linken Ventrikels liegt unmittelbar unter der inneren Herzhaut oder dem Endocard. Sie besteht aus unregelmässig angeordneten Bündeln, welche Vorsprünge, *trabeculae carneae* und *musculi papillares*, erzeugen. An der ungleich schwächeren Muskulatur des rechten Ventrikels ist die Unterscheidung in drei Lagen nicht so deutlich wie links. An der Bildung der Muskelmasse der Scheidewand der Herzkammern beteiligen sich die Muskulaturen beider Ventrikel, die aber im Bereiche des septum ventriculorum fast unabhängig (s. o. p. 424) voneinander sind. Bei weitem die Hauptmasse der Scheidewandmuskulatur gehört jedoch dem linken Ventrikel an. Das oberste Ende der Kammerscheidewand, dasjenige, welches sich zuletzt ausbildet, bleibt häutig und führt den Namen *septum membranaceum*.

Eine grosse Anzahl der Muskelfasern der Kammern sowohl wie der Atrien nehmen ihren Ursprung von bindegewebigen Ringen, welche an den ostia venosa gelegen sind und einerseits die Ventrikel- und Vorhofsmuskulatur trennen, andererseits den Klappen (s. u.) als Ansatzpunkt dienen. Sie werden als *anuli fibrosi* (atrioventriculares) bezeichnet. Während der rechte vollständig ist, d. h. als ovaler Ring den ganzen Umfang des ostium venosum dextrum umgibt, ist der linke an der Stelle der mit dem ostium venosum sinistrum verwachsenen Aortenwurzel unterbrochen, stellt also nur einen  $\frac{3}{4}$  Ring dar, an dem die vordere Begrenzung fehlt. Seinen Ursprung nimmt der anulus fibrosus sinister von zwei kleinen, knorpelhaften Knötchen, welche rechts und links von der Aortenwurzel gelegen sind, *trigona fibrosa*.

Bildungen der inneren Herzhaut, des *endocardium*, und zwar Duplikaturen sind auch die Herzklappen. Jedes der vier ostia des Herzens trägt eine Klappe, welche zum Verschluss der Oeffnung dient, und zwar bezeichnet man die gleichartig gebauten Klappen an den ostia arteriosa als Semilunarklappen, die der ostia venosa als Zipfelklappen, *valvulae cuspidales*. Die ersteren, welche an beiden Ostien dreiteilig sind (s. u.), bestehen aus gewölbten Membranen, welche an der Wurzel des Arterienrohres befestigt sind und ihre konkave Fläche dem Lumen der Arterie, ihre konvexe dem Innern des Ventrikels zukehren. Der freie, verdünnte Rand der Klappe, *lunula valvulae semilunaris*, schlägt sich beim Schluss der Klappen um und legt sich an den Rand der benachbarten Klappentasche. In der Mitte jeder lunula findet sich ein rundliches, abgeplattetes Knötchen, *nodulus* (Arantii) genannt. Der Raum, welcher zwischen der Wand des Arterienrohres und jeder Klappe bleibt, heisst *sinus* (Valsalvae).



## Herz. (Forts.)

Die Atrioventrikularklappen bestehen aus einer Endocardduplikatur, sind mit ihrer Basis an den *anuli fibrosi* befestigt und bestehen aus einzelnen durch mehr oder weniger tiefe Einschnitte getrennten Lappen oder Zipfeln; am linken *ostium venosum* sind es deren zwei, am rechten drei. Seichtere Einschnitte bedingen eine unvollständige Teilung der einzelnen Klappenzipfel. Ausserdem verbinden sich mit diesen Flächen der Klappen die Sehnenfäden der Papillarmuskeln, *chordae tendineae*. Bei geöffneter Klappe hängen die Segel der Klappen schlaff in den Ventrikel hinein und liegen der Ventrikelwand locker an; bei geschlossener Klappe legen sich die unregelmässig geformten, freien Ränder aller Klappen-segel aneinander und bilden gegen den Vorhof hin eine seichte, trichterförmige Grube.

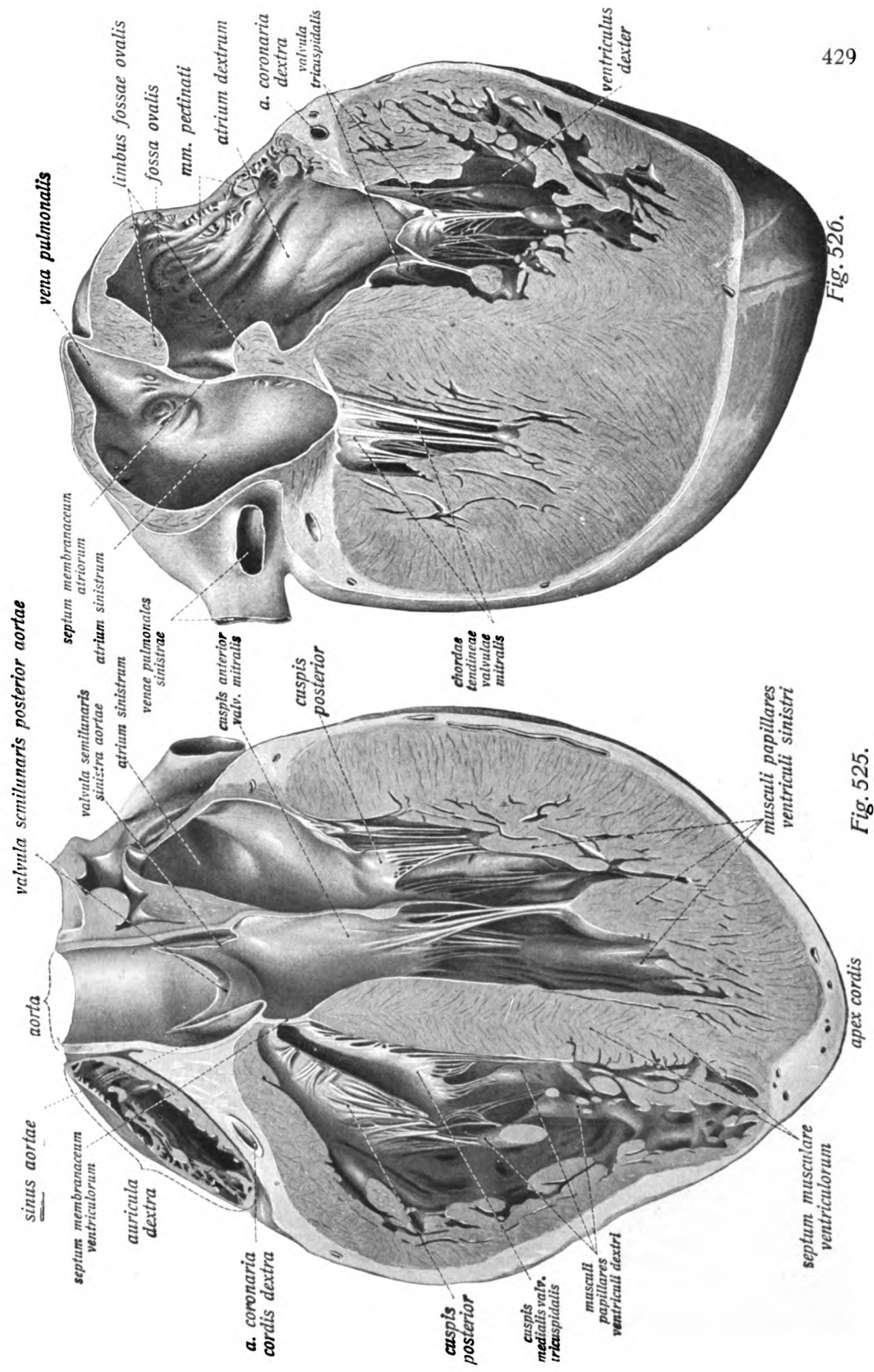
Der rechte Vorhof, *atrium dextrum*, ist ein ungefähr kegelförmiger Raum, dessen leicht umgebogene Spitze vom rechten Herzhohr, *auricula dextra*, eingenommen wird. Er zerfällt in den eigentlichen Vorhof, das Herzhohr und den Venensinus, *sinus venarum cavarum* genannt. Dieser wird durch eine dem *sulcus terminalis* entsprechende Muskelleiste, *crista terminalis*, vom eigentlichen atrium abgetrennt. Das platt kegelförmige, rechte Herzhohr dagegen geht ziemlich ohne Grenze in den eigentlichen Vorhof über. Der Venensinus nimmt von oben her die *vena cava superior*, von unten die stärkere *vena cava inferior* auf. Die Mündungen beider liegen sich gegenüber; zwischen beiden buchtet sich die Vorhofswand etwas vor und bildet das *tuberculum intervenosum* (Loweri). An der Mündung der unteren Hohlvene findet sich eine ungefähr halbmondförmige, beim Erwachsenen aber vielfach durchbrochene Klappe, die *valvula venae cavae inferioris* (Eustachii). Sie liegt zwischen der Venenmündung und dem *ostium venosum (atrioventriculare) dextrum*. Ausserdem münden in den rechten Vorhof auch die Venen des Herzens selbst und zwar der *sinus coronarius cordis* zwischen der *valvula venae cavae* und dem *ostium venosum dextrum*. Auch hier findet sich eine dünne, halbkreisförmige Klappe, *valvula sinus coronarii* (Thebesii). Die Mündungsstellen der kleineren Herzvenen, *foramina venarum minimarum*, liegen in Gestalt zahlreicher, sehr feiner Oeffnungen in der Gegend des *septum atriorum* und an der rechten Wand. Die Scheidewand der Atrien bleibt im Bereich einer länglich-rundlichen bis eiförmigen Stelle muskelfrei und daher durchscheinend, *pars membranacea septi atriorum*. Es ist die Stelle, welche als *foramen ovale* bis zur Geburt offen bleibt. Sie erscheint in Gestalt einer flachen Vertiefung, *fossa ovalis*, im untern Abschnitt des *septum* und ist von einem besonders am vordern und obern Umfang entwickelten, muskulösen Ringwulst, *limbus fossae ovalis* (Viessensii), umgeben.

Die rechte Kammer, *ventriculus dexter*, hat ungefähr kegelförmige Gestalt. Gegen den linken Ventrikel hin, also an seiner linken Fläche, ist die Kegeloberfläche konkav, so dass der Querschnitt des rechten Ventrikels halbmondförmig ist. Die Spitze des Kegels erreicht die Herzspitze nicht. Vom rechten Ventrikel führt das *ostium venosum dextrum* in den rechten Vorhof, das *ostium arteriosum dextrum* in die *arteria pulmonalis*. Ersteres liegt an der Basis des Ventrikels und besitzt eine meist dreizipflige Klappe, *valvula tricuspidalis*. Man unterscheidet einen kleineren, vorderen, zugleich nach rechts gerichteten Zipfel, *cuspis anterior*. Die beiden anderen Zipfel sind meist grösser und werden als *cuspis posterior* und *cuspis medialis* bezeichnet. Das *ostium arteriosum* liegt im vorderen, linken Abschnitt der Kammerbasis, dicht neben dem *septum*. Es geht aus dem Ventrikelraum vermittels eines kegelförmigen Ansatzstückes, des *conus arteriosus*, hervor. Dieser wird an der Innenfläche des Ventrikels durch eine schwache Muskelleiste, *crista supraventricularis*, abgegrenzt. Am *ostium arteriosum* finden sich drei Semilunarklappen, von denen eine nach vorn (*valvula semilunaris anterior*), eine nach rechts (*valvula semilunaris dextra*) und eine nach links (*valvula semilunaris sinistra*) gelegen ist.

Fig. 525. Frontaler Durchschnitt des Herzens, insbesondere der beiden Ventrikel. Ansicht der vorderen

Schnitthälfte von vorn. ( $\frac{1}{1}$ )

Fig. 526. Frontaler Durchschnitt des Herzens, insbesondere beider Atrien. Ansicht der hintern Schnitt-hälfte von hinten. ( $\frac{1}{1}$ )



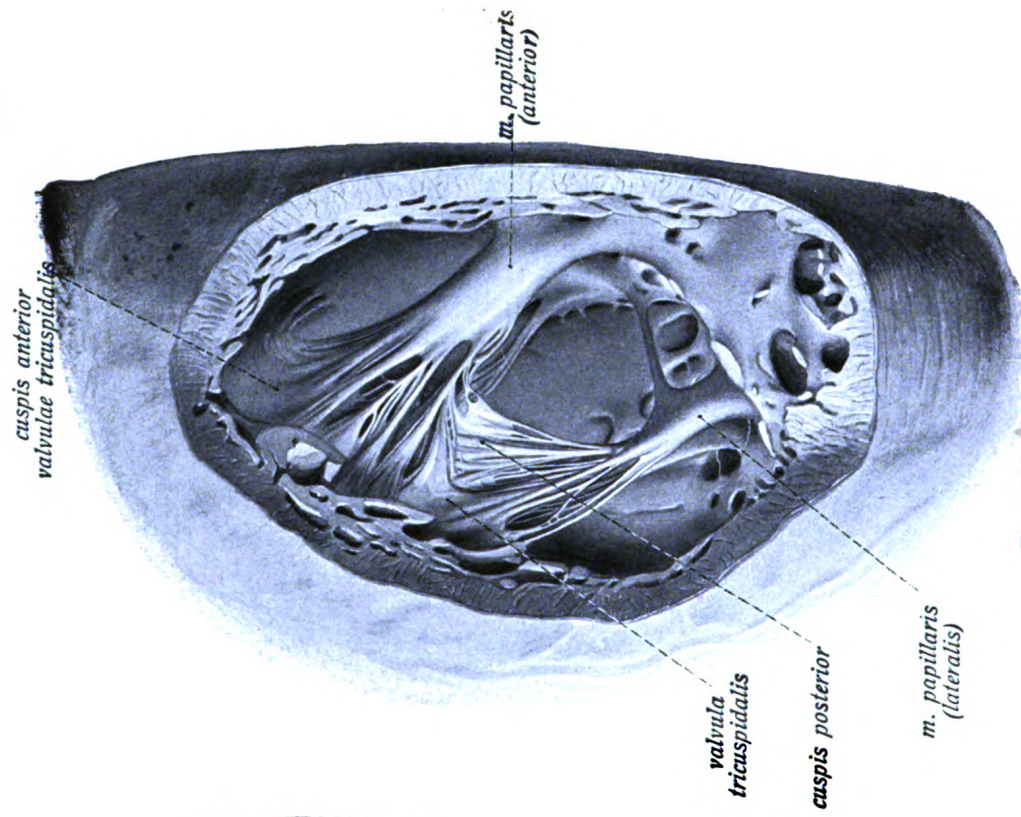


Fig. 528.

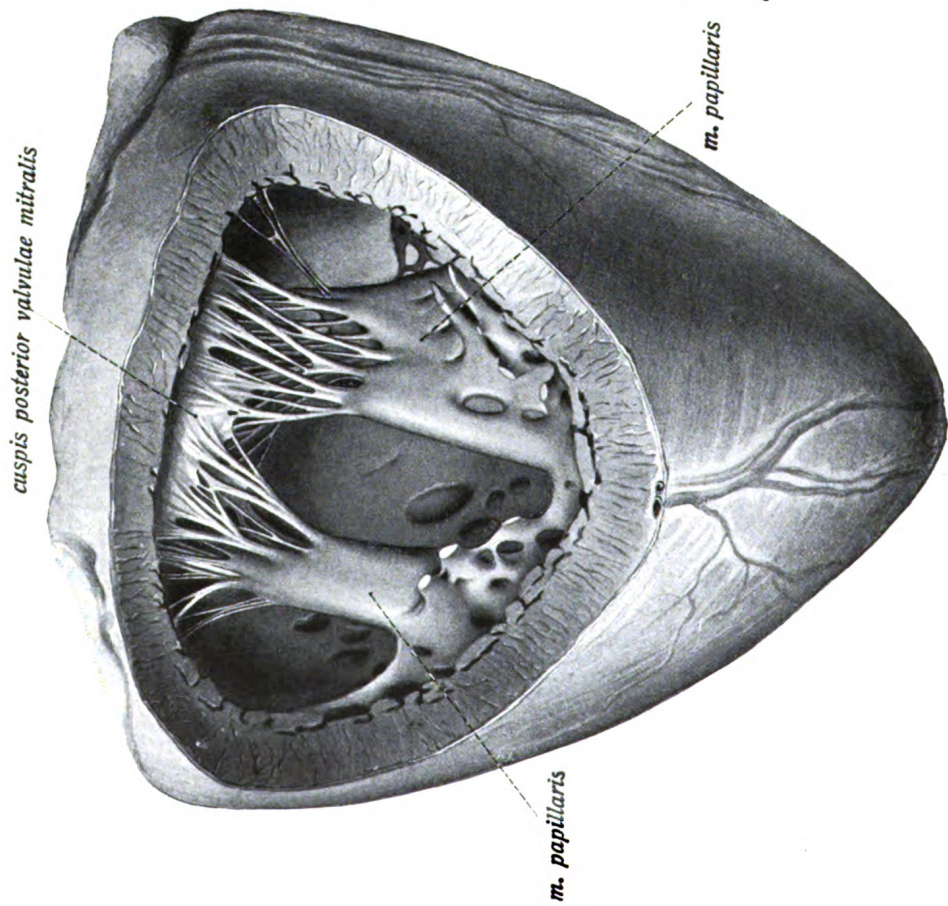
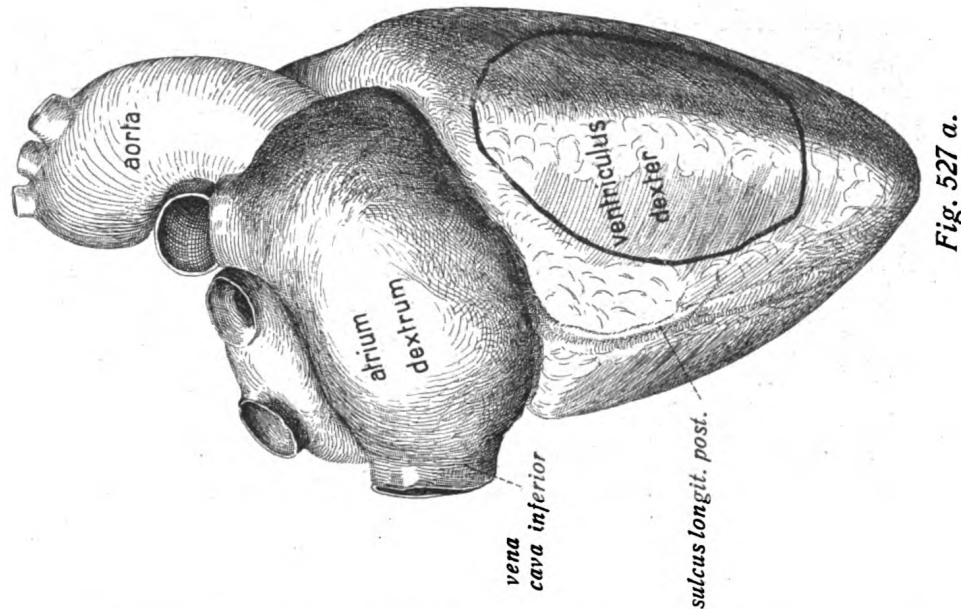


Fig. 527.



## Herz. (Forts.)

Fig. 527. Fensterschnitt des linken Ventrikels (hintere Wand). ( $\frac{1}{1}$ )  
 Fig. 528. Fensterschnitt des rechten Ventrikels. ( $\frac{1}{1}$ ) In Fig. 527 a ist die Schnittlinie angegeben.



Der linke Vorhof, *atrium sinistrum*, hat die Gestalt eines unregelmässigen Würfels, von dessen vorderer Wand das linke Herzohr als kegelförmiger Anhang hängt. Die rechte Wand wird vom septum atriorum gebildet, in der unteren liegt das ostium venosum sinistrum. Die Mündungsstellen der vier *venae pulmonales* sind so gelegen, dass je zwei Venen der gleichen Seite dicht benachbart einmünden, die der verschiedenen Seiten aber ziemlich weit getrennt liegen. Seltener fließen zwei gleichzeitige Venen zu einer zusammen. Im Gegensatz zum rechten Vorhof (s. oben) erscheint das septum atriorum im linken atrium glatt bis auf die meist unscheinbaren Reste der sichelförmigen *valvula foraminis ovalis*.

Die linke Herzkammer, *ventriculus sinister*, vergleicht man in ihrer Form mit der Gestalt eines oben abgestutzten Eies. Seine sehr dicken Wände sind im Gegensatz zum rechten Ventrikel ringsum konvex auch im Bereiche der Scheidewand. An der nach rechts und hinten gerichteten Basis des Ventrikels liegen nebeneinander das ostium venosum und arteriosum. Ersteres liegt nach links und hinten vom letzteren und trägt eine zweizipflige Klappe, *valvula bicuspidalis* (s. *mitralis*). Man unterscheidet einen nach vorn und zugleich nach rechts gerichteten Zipfel als *cusps anterior* und den nach hinten und zugleich nach links gerichteten Zipfel, *cusps posterior*. Letzterer nimmt seinen Ursprung am anulus fibrosus, ersterer nur teilweise dort und z. T. vom hintern Umfang der Aortenwurzel. Infolgedessen geht die dem Ventrikel zugekehrte Fläche des vorderen Segels der Mitralklappe ohne Grenze in die aorta über. Zur *valvula bicuspidalis* gehören zwei grosse und in ihrem Verhalten ebenso wie in ihrer Zahl recht konstante Papillarmuskeln.

Das *ostium arteriosum sinistrum* liegt nach vorn und rechts an der Herzbasis, vor dem vordern Segel der Mitralklappe, hinter der Wurzel der arteria pulmonalis. Von den drei Semilunarklappen steht eine rechts (*valvula semilunaris dextra*), eine links (*valvula semilunaris sinistra*) wie bei der pulmonalis, die dritte aber hinten (*valvula semilunaris posterior*). Sie besitzen deutlich ausgeprägte lunulae und starke noduli.

### Herzbeutel, *pericardium*.

Der Herzbeutel, *pericardium*, ist ein fibröser Sack, welcher in sich eine seröse Höhle birgt. Man muss daher eigentlich das *pericardium fibrosum* und das *pericardium serosum* unterscheiden. Das parietale Blatt des serösen Sackes ist jedoch mit dem fibrösen Herzbeutel so innig verwachsen, dass man auch beide zusammen mit dem Namen *pericardium* benennt, während das viscerales, dem Herzen und den im Herzbeutel eingeschlossenen Teilen der grossen Gefässe aufliegende Blatt als *epicardium* bezeichnet wird. Der Herzbeutel hat eine kegelförmige Gestalt. Die Basis des Kegels sieht nach unten und liegt dem Zwerchfell auf, mit dessen *centrum tendineum* der Herzbeutel fest verwachsen ist. Die Spitze des Herzbeutels sieht nach oben und ist an der Aortenwand angewachsen und zwar an der Grenze zwischen *aorta ascendens* und *arcus aortae*, so dass die ganze eigentliche *aorta ascendens* innerhalb des Herzbeutels liegt. Ausserdem umschliesst der Herzbeutel noch die *arteria pulmonalis* bis zu ihrer Gabelungsstelle. Auch die *vena cava superior* ist ein längeres Stück in den Herzbeutel eingeschlossen, nämlich der ganze unterhalb der Einmündungsstelle der *vena azygos* gelegene Abschnitt, die *vena cava inferior* dagegen nur, soweit sie oberhalb des Zwerchfells liegt. Die *venae pulmonales* liegen bis dicht vor ihrem Eintritt in den Lungenhilus vom Herzbeutel umschlossen.

Der Durchtritt der vom Herzen ausgehenden Gefässe durch den Herzbeutel geschieht derart, dass das fibröse Blatt des Herzbeutels mit der Gefässwand verwächst, das seröse Blatt sich als viscerales Blatt oder Epicard auf die Gefässe umschlägt. Dieser Umschlag des parietalen in das viscerales Blatt erfolgt nur an zwei Stellen, nicht auf jedem der acht durch den Herzbeutel tretenden Gefässe. Es haben nämlich beide durch Bindegewebe verbundenen Arterienrohre eine gemeinsame epicardiale Scheide, während sich in ähnlicher Weise das parietale Blatt als Epicard auf die Hinterwand der Atrien und die sie verlassenden Venenrohre überschlägt. Dadurch entsteht eine breite, quere Lücke, welche von den Arterienrohren, besonders der Wurzel des rechten Astes der Lungenarterie, nach vorn, von den Vorhöfen, namentlich dem linken mit den linken Lungenvenen und der *vena cava superior*, nach hinten begrenzt wird, der *sinus transversus pericardii*. Die Form des Herzbeutels ist die eines ungleichseitigen Dreiecks. Von der am Zwerchfell befestigten basis geht die schmalere, rechte Seite fast senkrecht bis zur Spitze in die Höhe, während die längere, linke Seite schräg verläuft. Die Vorderfläche des Herzbeutels liegt hinter dem Brustbein und den Rippenknorpeln und wird an diesem teils durch lockeres Bindegewebe, teils durch stärkere Züge, die *ligamenta sternopericardiaca*, befestigt. Einen beträchtlichen Teil der vordern Fläche des Herzbeutels bedeckt beim Kinde der thymus.

Fig. 529. Herz im Herzbeutel in der Ansicht von vorn. Der Herzbeutel ist von vorn her eröffnet. (<sup>4</sup>/<sub>5</sub>)

1 bzw. 2 hinter *vena cava superior* bedeutet den ausser- und innerhalb des Herzbeutels gelegenen Abschnitt.

Fig. 530. *Sinus transversus pericardii* in der Ansicht vom rechten Herzrand. (<sup>4</sup>/<sub>5</sub>)

Aorta und *vena cava superior* sind durch Haken zurückgezogen.

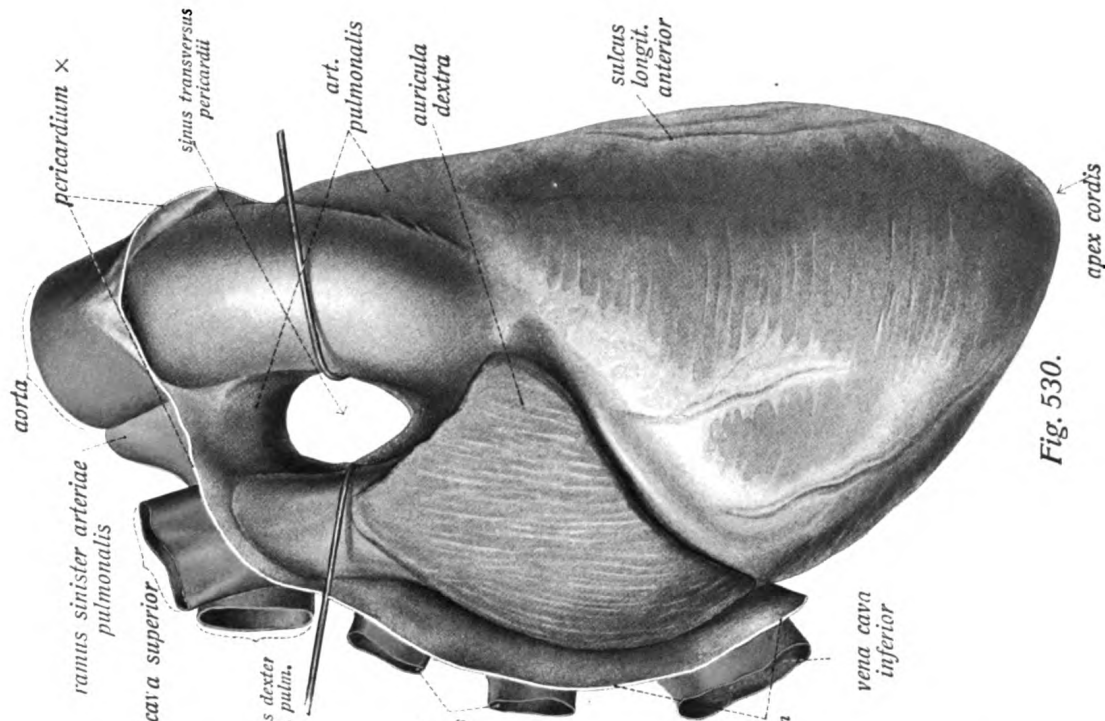


Fig. 530.

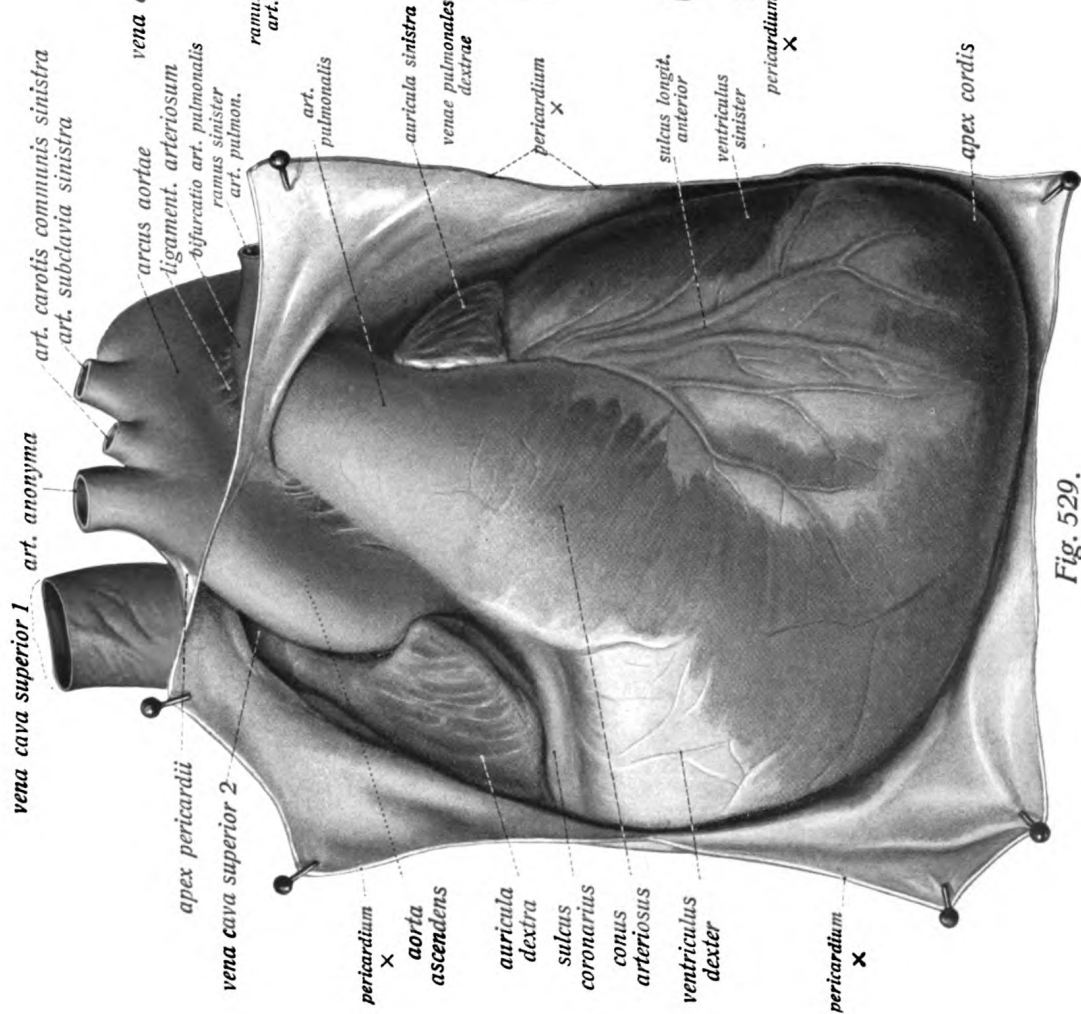


Fig. 529.





# Alphabetisches Sachregister.\*)

Die Ziffern verweisen auf Figurennummern, nicht auf Seitenzahlen.

## A.

- aditus laryngis Tafel 5, 372  
 After 390, Tafel 16, 17  
 agger nasi 425  
 ala nasi 330  
 allantois 466  
 ampulla rectalis 391  
 ampullae ductuum deferentium 481, 493, 496  
 — tubae uterinae 502, 505, 506, 508, 509, 512  
 angulus mandibulae 367  
 — oris 330  
 antrum pyloricum 377  
 anuli fibrosi cordis 524  
 anulus haemorrhoidalis 391  
 — inguinalis abdominalis 417  
 — — externus 494  
 anus 390, Tafel 16, 17  
 aorta 401, 402, 410, 411, 412, 413, 414, 530,  
 Tafel 12, Fig. 2, Tafel 14, 18, 19, Fig. 1,  
 Tafel 20, Fig. 1  
 — abdominalis 412, Tafel 12  
 — ascendens Tafel 14, Fig. 1, Tafel 18, Fig. 1,  
 Tafel 20  
 — descendens 373, 374, Tafel 14, Fig. 1 und 2  
 apertura ductus nasolacrimalis 426  
 — sinus frontalis 426  
 — — maxillaris 426  
 — — sphenoidalis 426  
 apex cordis 523, 529, 530, Tafel 18, 19, Fig. 2  
 — linguae 335  
 — nasi 330  
 — pericardii 529, Tafel 19, Fig. 2  
 — pulmonis 451, 452  
 appendices epiploicae 386  
 appendix epididymidis 487, 488  
 — fibrosa 393, 395  
 — testis 487, 488  
 — ventriculi laryngis 441  
 — vesiculosa 467, 508, 510  
 arcus aortae 374, 462, 463, 529  
 — atlantis Tafel 5  
 arcus cartilaginis cricoideae 430  
 — glossopalatinus 332, 333, 335, 369, 371  
 — pharyngopalatinus 332, 334, 371  
 — tendineus musculi levatoris ani 518  
 arteria anonyma 373, 374, 529, Tafel 18, Fig. 1  
 — carotis communis dextra 458  
 — carotis communis sinistra 374, 459, 529  
 — carotis interna Tafel 5  
 — coeliaca 401, 402, 410—412, Tafel 12  
 arteriae colicae 411, 412  
 arteria colica sinistra 411, 412  
 — coronaria cordis 525, 526, Tafel 20  
 arteriae dorsales penis 498, 519  
 arteria gastrica 410  
 arteriae gastricae breves 411  
 — gastroepiploicae 411  
 arteria haemorrhoidalis superior 411  
 — hepatica 396, 398, 401, 402, 410—412, Taf. 12  
 — iliaca communis Tafel 11  
 — — externa Tafel 11  
 — ileocolica 412  
 arteriae intestinales 401, 412  
 arteria lienalis 401, 402, 406, 410  
 arteriae mesentericae 410—412, Tafel 12  
 arteria mesenterica inferior Tafel 11, 12  
 — — superior 401, 402, Tafel 12  
 — pulmonalis 453, 454, 455, 462, 520—522, 529,  
 530, Tafel 13, 14, Fig. 1, Tafel 18, 19, Fig. 2,  
 Tafel 20, Fig. 1  
 — renalis 468—472  
 — subclavia 373, 374, 462, 529, Tafel 15  
 arteriae suprarenales 476  
 — umbilicales 410  
 articulatio cricoarytaenoidea 439  
 atrium dextrum cordis 520—522, 526, Tafel 14,  
 Fig. 2, Tafel 19, Fig. 1  
 — meatus medii nasi 425  
 — sinistrum cordis 462, 520, 522, 525, 526,  
 Taf. 14, Fig. 2, Taf. 18, Fig. 2, Taf. 20, Fig. 2  
 auricula dextra cordis 524, 529, 530, Tafel 18,  
 Fig. 1, Tafel 19, Fig. 1, Tafel 20, Fig. 1

\*) Die Nummern hinter den Namen beziehen sich auf die Figuren des Atlas, nicht auf die Seitenzahlen. Obiges Register soll kein vollständiges anatomisches Sachregister darstellen (ein solches findet sich vielmehr am Schlusse der letzten Abteilung des beigegebenen Textbandes), sondern soll die Benutzung des Atlas erleichtern, indem es die den abgebildeten Figuren beigegebenen Bezeichnungen alphabetisch ordnet und so die schnelle Auffindung des gleichen Gebildes in verschiedenen Figuren ermöglicht.

auricula sinistra cordis 521, 529, Tafel 13, 18, 19,  
Fig. 2, Tafel 20, Fig. 2

### B.

basis cartilaginis arytaenoideae 431  
— nasi 330  
Bauchspeicheldrüse 400—412, 415, 416, Tafel 11, 12  
bifurcatio arteriae pulmonalis 529  
— tracheae 373, 462, Tafel 14, Fig. 1  
Blinddarm 384, 387, 388, 411, 412, Tafel 7, 8, 9  
Blutkreislauf 520  
bronchus dexter 373, 374, 445, 455  
— sinister 374, 445, 455  
bucca 332, 333  
bulbus corporis cavernosi urethrae 485, 495  
— vestibuli 467, 515, 516  
bulla ethmoidalis 426  
bursa omentalis 411—414, 415, 416, 418, Tafel 11,  
Fig. 1, Tafel 12  
— pharyngea 371

### C.

caecum 384, 387, 388, 411, 412, Tafel 7—9  
calices renum 475, 480  
canalis cervicis uteri 510, 511, 514  
— obturatorius 518  
— radialis dentis 336  
caput epididymidis 487—491  
— pancreatis 401, 410, 411, Tafel 11  
cardia 374, 375, 410, Tafel 11  
carina nasi 425  
— urethralis 511  
cartilagineae alares minores 420  
— arytaenoideae 431—433, 436, 439  
— tracheales 368, 435, 438, 445, Tafel 5  
cartilago alaris major 420—423  
— corniculata 431, 433  
— cricoidea 429, 430, 435, 436—439, 443—446,  
Tafel 5  
— epiglottidis 434—438, 441, Tafel 5  
— nasi lateralis 420—424  
— septi nasi 420—423  
— sesamoidea 420  
— thyroidea 368, 427, 428, 435—438, 441,  
443—446, 458, 459, Tafel 5  
— triticia 436  
— tubae auditivae 372, 382  
caruncula sublingualis 366  
carunculae hymenales 515  
cauda epididymidis 488—490

cauda pancreatis 400—402, Tafel 11  
cavum dentis 336  
— laryngis inferior 438, 441, Tafel 5  
— mediastinale anterius 465  
— — posterius 465  
— nasi 424—426 Tafel 5  
— oris proprium Tafel 13  
— pharyngis 373, Tafel 5  
— pleurae Tafel 13, 14  
— uteri 510—514  
choana 369, 372, 424  
chordae tendineae valvulae bicuspidalis Tafel 20,  
Fig. 2  
— — — mitralis 526  
— — — tricuspidalis Tafel 19, Fig. 1  
Cloake 466  
colliculus cartilaginis arytaenoideae 431, 432  
— seminalis 479  
collum dentis 336  
— vesicae felleae 399  
colon 384, 409, 410, Tafel 6—10  
— ascendens 384, 387, 412, Tafel 7, 9  
— descendens 409, 412, Tafel 7, 9  
— sigmoideum 390, 412, Tafel 8, 9  
— transversum 385, 386, 412, Tafel 6—10, 13  
columnae rectales 391  
— renales 472, 475  
columna rugarum anterior vaginae 515  
— — posterior vaginae 510, 515  
commissurae labiorum 517  
conchae nasales 370, 425, 426  
conus arteriosus 523, 529, Tafel 18, 19  
cor Tafel 13, 14, Fig. 2, Tafel 15, Fig. 1, 2, Tafel 18,  
19, 20, 521—530  
cornua ossis hyoidei 435, 436  
— thyroidea 427, 428  
cornu majus ossis hyoidei 367, 368, 442  
— superius cartilaginis thyroideae 436, 441, 442  
corona dentis 336  
— glandis 495, 497, 498  
corpora cavernosa penis 495, 496, Tafel 16  
corpus adiposum laryngis 435  
— cavernosum urethrae 485, 495, 496, Tafel 16  
— epididymidis 489  
— linguae 335, 336  
— pancreatis 400—402, Tafel 12  
— uteri 506—508, 510, 511  
— ventriculi 375, 418  
— vesicae felleae 399  
— — urinariae 481  
cremaster 491  
crista arcuata cartilaginis arytaenoideae 431



- crista galli* 424  
 — *nasalis* 423  
 — *supraventricularis cordis* Tafel 19, Fig. 2  
 — *terminalis atrii cordis* Tafel 19, Fig. 1  
 — *urethralis* 479  
*crus clitoridis* 467, 516  
 — *laterale cartilaginis alaris* 420—422  
 — *mediale cartilaginis alaris* 420—423  
 — *penis* 495, 496  
*cupula pleurae* 458, 459  
*curvaturae ventriculi* 394—396  
*euspis anterior valvulae bicuspidalis* Tafel 20  
 — — — *mitralis* 525, Tafel 20  
 — — — *tricuspidalis* Tafel 19, 528  
 — *medialis valvulae tricuspidalis* Tafel 19  
 — *posterior valvulae bicuspidalis* Tafel 20, Fig. 2  
 — — — *mitralis* 525, Tafel 20, 527  
 — — — *tricuspidalis* Tafel 19  
 — *valvulae bicuspidalis* 524, 527  
 — — *mitralis* 525, 527  
 — — *tricuspidalis* 524, 525, 528

## D.

- dentes* 334—353  
*diaphragma* 374, 392, 462, Tafel 10, Fig. 1,  
 Tafel 11, 12, Fig. 1, Tafel 15  
 — *urogenitale* 485, 518  
 — — (*feminae*) 506  
*Dickdarm* 344—388, Tafel 6—10  
*dorsum nasi* 330  
*ductuli epoophori transversi* 510  
*ductus aberrans* 439  
 — *choledochus* 396, 398, 399, 401, 402, 410  
 — *cysticus vesicae felleae* 396, 399, 401, 402  
 — *deferens* 466, 467, 481, 484, 489, 491, 493  
 494, Tafel 11  
 — *ejaculatorii* 479, 481, 482, 485  
 — *epoophori longitudinalis* 510  
 — *hepaticus* 395, 396, 399, 401, 402  
 — *lingualis* Tafel 5  
 — *omphalomesentericus* 410  
 — *pancreatici* 400, 401  
 — *paraurethralis* 515, 517  
 — *parotideus* 362, 367  
 — *sublinguales* 364, 366  
 — *submaxillaris* 364, 366  
 — *thoracicus* 520  
*Dünndarm* 376, 377—381, Tafel 6—12  
*duodenum* 374, 377, 378, 400—402, 410—412,  
 Tafel 10, 11, 12  
*dura mater* 367

## E.

- Eichel* 485, 494—497  
*Eierstock* 467, 502—508, 510, Tafel 12  
*Eileiter* 467, 502—508, 510, Tafel 12  
*Enddarm* 466  
*epicardium* 462, 464, 465, Tafel 19, Fig. 1  
*epididymis* 487—491, 494  
*epiglottis* 337, 369, 372, 434—438, 441—445,  
 Tafel 5  
*Epiglottisknorpel* 337, 369, 434—438, 441, 442 444  
*epistropheus* Tafel 5  
*epoophoron* 467  
*excavatio rectouterina* 413, 502—508, Tafel 12  
*excavatio rectovesicalis* 413, 484, 485  
 — *vesicouterina* 419, 502—509, Tafel 12  
*extremitas tubaria ovarii* 508  
 — *uterina ovarii* 508

## F.

- fascia colli* Tafel 5  
 — *cremasterica* 491, 494  
 — *inferior trigoni urogenitalis* 516, Tafel 16  
 — *linguae* 359, 361  
 — *obturatoria* Tafel 16, 17  
 — *penis* 494, 497, 498  
 — *pharyngobasilaris* 371, Tafel 5  
 — *praevertebralis* Tafel 5  
 — *trigoni urogenitalis* 518  
 — — — *inferior* 519  
*fibrae obliquae ventriculi* 380  
*fibrocartilago interpubica* 506  
*fimbria ovarica* 508, 510  
*fimbriae tubae uterinae* 508  
*flexurae coli* Tafel 7—9  
*flexura coli dextra* 416, Tafel 7  
 — — *sinistra* Tafel 7, 8  
 — *duodeni inferior* 377  
 — — *superior* 377  
 — *duodenojejunalis* 421, 422, Tafel 8, 12  
*folliculi linguales* 355  
 — *oophori vesiculosi* 510  
*foramen caecum linguae* 355  
 — *epiploicum* 415, 416, Tafel 10, Fig. 1, 2, Tafel 12  
 — *radicis dentis* 336  
*foramina venarum minimarum* Tafel 19, Fig. 1  
*fornix pharyngis* 371  
 — *vaginae* 505, 506, 511, 515  
*fossa ductus venosi hepatis* 394  
 — *iliaca dextra* 408  
 — *ischiorectalis* Tafel 16, 17  
 — *navicularis urethrae* 485, 486, 496, 501, 517  
 — *ovalis (cordis)* Tafel 19, Fig. 1, 526

fossa pterygopalatina 368  
 fossae sagittales hepatis 394  
 fossa supratonsillaris 371  
 — venae cavae hepatis 394  
 — — umbilicalis hepatis 394  
 — vesicae felleae hepatis 394  
 foveae inguinales 417  
 fovea oblonga cartilaginis arytaenoideae 431  
 — supraventricularis 417  
 — triangularis cartilaginis arytaenoideae 431  
 foveolae gastricae 376  
 frenula labiorum oris 332  
 — valvulae coli 387, 388  
 frenulum clitoridis 517  
 — labiorum pudendi 517  
 — linguae 354, 358, 366  
 — praeputii 497, 501  
 fundus uteri 502—508, 510, 511  
 — ventriculi 415, 416  
 — vesicae felleae 399, Tafel 6  
 — — urinariae 482  
 funiculus spermaticus 472—490, Tafel 11

## G.

Gallenblase 392, 395, 399, 401, 402, Tafel 6,  
 Tafel 10, Fig. 1  
 Gaumen 333, 334  
 Gaumenbögen 332, 334, 369, 371  
 Gaumenmandeln 332, 333, 335, 369, 371  
 Gaumensegel 332  
 Gebärmutter 467, 502—511, Tafel 12  
 Genitalhöcker 465  
 Gesicht 330  
 Giessheckenknorpel 431—433  
 gingiva 336, Tafel 5  
 glandulae buccales 331  
 glandula bulbourethralis 484, 496, 518, 519  
 glandulae Cowperi 496  
 — duodenales 378  
 — labiales 331, 364, Tafel 5  
 — laryngeae anteriores 438  
 — linguales 359, 361  
 — molares 333  
 — palatinae 333, 334  
 — parathyreoideae 448  
 glandula parotis 362—365, 368  
 glandulae pharyngeae 367  
 glandula sublingualis 363—365, 366  
 — submaxillaris 366  
 glandulae suprarenales 401, 402, 474, 476, 478,  
 Tafel 11, 12

glandula thymus 363—365, 449, 450, 458, 459,  
 Tafel 15, Fig. 1 u. 2  
 — thyreoidea 367, 368, 369, 372, 439, 446,  
 447, 448, 458, 459  
 — vestibularis major 467, 515—517  
 glans clitoridis 368, 506, 515—517, Tafel 17  
 — penis 485, 494—499  
 Grimmdarm 385—387, Tafel 6 bis 9  
 gubernaculum testis 465  
 Harnblase 465, 467, 479, 481, 484, 485, 502—506  
 Harnleiter 465—472, 474, 475, 482, 484, Tafel 11, 12  
 — beim Weibe 505—508  
 Harnröhre 493, 496—501, 518, 519  
 — beim Weibe 505—507  
 haustra coli 384, 386  
 hemisphaeria bulbi urethrae 416  
 hepar 392—394, 401, 402, 410, 415, 416, Tafel 6, 10,  
 Tafel 12  
 Herz Tafel 18, Fig. 1 u. 2, Tafel 19, 20,  
 521—530  
 Herzbeutel 458—463, 529, 530, Tafel 13, 14  
 hilus glandulae suprarenalis 476, 477  
 — lienis 406, 407  
 — pulmonis 462  
 Hoden 485—494  
 Hodensack 491  
 hymen femininus 517

## I.

jejunum 381, 412, Tafel 7, 8  
 ileum 382—388, 412, Tafel 7—9  
 impressio cardiaca pulmonis 454  
 — colica hepatis 394, 395  
 — duodenalis hepatis 394, 395  
 — gastrica hepatis 394  
 — hepatica renum 470  
 — lienalis renum 472  
 — muscularis renum 469  
 — oesophagea hepatis 395  
 — pylorica 395  
 — renalis hepatis 394, 395  
 — suprarenalis hepatis 395  
 incisura apicis cordis Tafel 18, Fig. 1 und 2  
 — cardiaca pulmonis 452  
 — interarytaenoidea 440  
 incisurae interlobares pulmonis 451—454, Tafel 12  
 incisura pancreatis 401, 402, Tafel 12  
 — thyreoidea 427  
 — umbilicalis hepatis 394, 395  
 infundibulum ethmoidale 426

infundibulum tubae uterinae 467, 502—508, 510  
 intestinum crassum 384—388  
 — mesenteriale 411, Tafel 7, 8, 13  
 — tenue 377, 378 381—383  
 isthmus faucium 332, 372  
 — glandulae thyreoideae 451, Tafel 5  
 — prostatae 482, 493  
 — tubae uterinae 505—508, 510

## K.

Kehlkopf 368, 372, 427—446  
 Kehlkopfknorpel 427—434  
 Keimdrüsen (Hoden) 465  
 — (ovarium) 467  
 Kinn 330  
 Körperkreislauf 520  
 Krummdarm 382—388, 412, Tafel 7—9

## L.

labia orificii externi uteri 506, 511, 515  
 — oris 330, Tafel 5  
 labium pudendi majus 505—506, 515, 517, Tafel 17  
 — — minus 505—506, 515—517, Tafel 17  
 — vocale 439  
 lacunae urethrales 496  
 lacuna vasorum 417  
 lamina anterior omenti majoris, Tafel 10, Fig. 1  
 und 2  
 — cricoidea 429, 430, 441  
 laminae mediastinales anteriores 458  
 lamina mediastinalis posterior 463  
 — perpendicularis ossis ethmoidalis 423  
 — posterior omenti majoris Tafel 10, Fig. 1  
 — thyreoidea 427, 439  
 larynx 368, 372, 427—446 Tafel 5  
 Leber 392—410, Tafel 6, 10, Fig. 1, Taf. 12  
 Leerdarm 381, 412, Tafel 7, 8  
 lien 405—411, Tafel 10, 11  
 ligamenta anularia tracheae 445  
 ligamentum anococcygeum Tafel 16  
 — arcuatum pubis 519  
 — arteriosum 529, Taf. 18, Fig. 1  
 — ceratocricodeum anterius 435  
 — — laterale 436, 442, 443  
 — — posterius 436  
 — corniculopharyngeum 436  
 — coronarium hepatis 392—395, Tafel 12  
 — cricoarytaenoideum posterius 436  
 — cricothyreoideum 435, 438, 443, 445  
 — cricotracheale 435  
 — ductus venosi hepatis 395, 396  
 — epididymidis inferius 488

ligamentum epididymidis superius 488  
 — falciforme hepatis 392—395, Tafel 6, 12  
 — gastrolienale 401, 402, 406, Tafel 10, 12  
 — hepatoduodenale 410, 415, 416, Tafel 10, 11, 12  
 — hepatogastricum 410, 415, 416  
 — hyoepiglotticum 438  
 — hyothyreoideum laterale 436  
 — — medium 435, 438  
 — latum 508  
 — ovarii proprium 467, 502—508, 510  
 — phrenicocolicum Tafel 10, Fig. 1  
 — phrenicolienale Tafel 12  
 — pulmonale 453, 454, 465, Tafel 14, Fig. 2,  
 Tafel 15, Fig. 1 und 2  
 — pylori anterius 379  
 — suspensorium ovarii 505, 506, 508  
 — teres hepatis 392, 395, 395, 415, Tafel 6, 10,  
 Fig. 1, Tafel 12  
 — teres uteri 502, 505, 506, 509  
 — thyreoepiglotticum 438  
 — transversum pelvis 519  
 — triangulare dextrum 392  
 — — sinistrum 393, 395, Tafel 10, Fig. 1  
 — umbilicale 417, 479, 482, Tafel 6, 11  
 — venae cavae 393, 395  
 — vocale 439

limen nasi 425

limbus fossae ovalis cordis 526, Tafel 19, Fig. 1

linea obliqua cartilaginis thyreoideae 428

— semicircularis Douglasii 417

lingua 332, 333, 354—361, Tafel 5

Lippen 330

lobuli epididymidis 489

— hepatis 397

— testis 489—491

lobus caudatus hepatis 393—396, 415, 416, Tafel 10

— pyramidalis glandulae thyreoideae 446

— quadratus hepatis 393, 396, 415, 416

Lufttröhre 373, 374, 435—445

Lungen 451—459, Tafel 13, 14

Lungenkreislauf 520

lunula valvulae semilunaris Tafel 20, Fig. 1

lymphoglandulae bronchiales Tafel 13, 14

— hepaticae 396

— pulmonales 453, 454, Tafel 13

## M.

Magen 374—377, 410—412, Tafel 6, 10, Fig. 1  
 und 2, Tafel 11

margo liber ovarii 508

— mesovaricus ovarii 508, 510

Mastdarm 390, 391, 412, 518, Tafel 8, 9



- meatus nasi inferior 425  
   — — medius 425  
   — — superior 425  
   — nasopharyngeus 425  
 mediastinum 462—465, Tafel 14  
   — testis 490, 491  
 membrana hyothyreoidea 368, 435, 436, 446  
 mentum 330  
 mesenterium processus vermiformis 408  
 mesenterium 410—412  
 mesocaecum Tafel 12  
 mesocolon ascendens 411, 412, Tafel 9, 12  
   — descendens 410—412, Tafel 8, 9, 12  
   — sigmoideum 410—412, Tafel 12  
   — transversum 410, 411, 418, Tafel 8, 9, 10, 12  
 mesoduodenum 411  
 mesogastrium dorsale 410, 411  
   — ventrale 410, 411  
 mesosalpinx 508, 510  
 Milz 405—411, Tafel 10, 11  
 mons pubis 502, 517  
 Müller'scher Gang 465, 467  
 Mundhöhle 330  
 Mundspalte 330, 331  
 Mundwinkel 330  
 muscoli mentales 331  
   — papillares ventriculi dextri 525, 527, Tafel 19  
   — — — sinistri 525, 528, Tafel 20  
   — pectinati 526, Tafel 19, Fig. 1  
   — pectorales Tafel 14, Fig. 1  
   — perinei 518  
   — piriformes 518  
 musculus aryepiglotticus 442, 444  
   — arytaenoideus 372, 442  
   — — obliquus 442  
   — — transversus 438, 441, 442, 446  
   — buccinator 331, 333, 362, 368  
   — buccopharyngeus 368  
   — bulbocavernosus 485, 506, 516, Tafel 16, 17  
   — cephalopharyngeus 333, 368  
   — ceratopharyngeus 368  
   — chondroglossus 357, 358  
   — chondropharyngeus 357, 358, 368  
   — coccygeus 518  
   — constrictor pharyngis 367, Tafel 5  
     — — inferior 367, 368, 373  
     — — medius 357, 367, 368  
     — — superior 367, 368, 371  
   — cremaster 494  
   — cricoarytaenoideus lateralis 437  
   — — posterior 372, 439, 442—444  
 musculus cricopharyngeus 368  
   — cricothyreoideus 446  
   — digastricus (venter anterior) 365, 372  
   — — (venter posterior) 366, 372  
   — genioglossus 356—360, 366, 368, Tafel 5  
   — geniohyoideus 356—360, 366, 368, Tafel 5  
   — glossopalatinus 333, 355—358, 368  
   — glossopharyngeus 357, 358, 368  
   — glutaeus maximus 518, Tafel 16, 17  
   — hyoglossus 356—358, 366, 368  
   — iliacus Tafel 11  
   — iliococcygeus 518, Tafel 16, 17  
   — ischiocavernosus 495, Tafel 16, 17  
   — levator ani 502, 518, Tafel 16, 17  
   — — veli palatini 333, 368, 369, 372  
   — longitudinalis linguae inferior 370—373  
   — — — superior 473, 474  
   — masseter 372  
   — mylohyoideus 366  
   — mylopharyngeus 368  
   — obturator internus Tafel 16, 17  
   — omohyoideus 439  
   — pharyngopalatinus 333, 355, 372  
   — psoas Tafel 11, 12  
   — pterygoideus externus 372  
   — — internus 367, 372  
   — pterygopharyngeus 368  
   — pubococcygeus 518, Tafel 16, 17  
   — quadratus lumborum Tafel 11  
   — rectouterinus 508  
   — sphincter ani externus 390, 391, 518, Tafel 16, 17  
   — — — internus 391  
   — — — tertius 391  
   — — oris 364, 368  
   — — pylori 377  
   — — urethrae membranaceae 519  
   — sternohyoideus 367, 368, 439  
   — styloglossus 356—358  
   — stylohyoideus 367, 372  
   — stylopharyngeus 356, 357, 367, 368, 372  
   — tensor veli palatini 368, 372  
   — thyreoarytaenoideus 437, 439, 444  
   — thyreohyoideus 356, 358, 439  
   — thyreopharyngeus 368, 439  
   — transversus linguae 359—361  
   — — perinei profundus 518, 519  
   — — — superficialis 516, Tafel 16, 17  
   — uvulae 300, 372  
   — verticalis linguae 360  
   — vocalis 439, 441  
 myocardium Tafel 19, Fig. 1, Tafel 20, Fig. 2

## N.

- Nabelschleife 410  
 nares 330, 422  
 Nase 330, 420—422  
 Nasenhöhle 424—426  
 Nasennebenhöhlen 425, 426  
 Nasenscheidewand 423, 424  
 Nebenboden 487—494  
 Nebennieren 477, 479, Tafel 12  
 nervus dorsalis penis 519  
 — hypoglossus 366  
 — lingualis 346, 366  
 — phrenicus 459, Tafel 15, Fig. 1 und 2  
 — splanchnicus Tafel 15, Fig. 2  
 — sympathicus Tafel 15, Fig. 1  
 Netz, grosses 413, 418, Tafel 6—10, 11, Fig. 1  
 — kleines 413, 415, 418, Tafel 11, Fig. 1  
 Nieren 401, 402, 465—475, Tafel 10, 11, 12, 13  
 Nierenbecken 465—473, 480  
 Nierenkelche 475, 480  
 noduli lymphatici aggregati (Peyeri) 383  
 — — duodeni 377  
 — — solitarii ilei 382, 383  
 — — recti 389  
 — valvulae semilunaris Tafel 20, Fig. 1

## O.

- Odontoblasten 336  
 oesophagus 367, 372, 374, 462—465, Tafel 5, 12, 13  
 Ohrspeicheldrüse 362, 363, 365  
 omentum 386  
 — majus 413, 415, 416, 418, Tafel 6, 9, 10, Fig. 1 und 2  
 — minus 413, 414, 418, Tafel 10  
 organon vomeronasale 424  
 orificium externum urethrae 496, 497  
 — — — (feminae) 516, 517, Tafel 17  
 — internum urethrae (feminae) 505  
 — ureteris 479, 485  
 — uteri externum 505, 510, 515  
 — vaginae 505, 506, 516, 517, Tafel 17  
 os coccygis Tafel 16, 17  
 — hyoideum 368, 438, 444—446, Tafel 5  
 — nasale 420, 421, 424  
 — occipitale Tafel 5  
 ostium arteriosum cordis Tafel 20, Fig. 2  
 — pharyngeum tubae auditivae 370, 371, 424, 425  
 — uterinum tubae 510  
 — venosum cordis 520, Tafel 13, 19, Fig. 2, Tafel 20, Fig. 1  
 ovarium 502—514, Tafel 12

## P.

- palatum durum Tafel 5  
 — molle 324—333, Tafel 5  
 pancreas 400—412, 415, 416, Tafel 10, Fig. 2, Tafel 11, 12, 13  
 papillae conicae linguae 355  
 papilla duodeni 377, 400  
 papillae filiformes 355  
 papilla foliata linguae 355, 356  
 papillae fungiformes linguae 355  
 papilla incisiva 334  
 — renalis 472, 475  
 papillae vallatae linguae 355  
 parathydymis 465  
 paries membranaceus tracheae 438  
 paroophoron 467  
 parotis 362, 363, 365, 368  
 — accessoria 362  
 pars ascendens duodeni 401, 402, Tafel 9, 11, 12  
 — cavernosa urethrae 485  
 — condensa omenti minoris Tafel 40, Fig. 1  
 — descendens duodeni 377, 401, 402, 410, Tafel 12  
 — flaccida omenti minoris Tafel 10, Fig. 1  
 — inferior (horizontalis) duodeni 377, 401, 402, 410, Tafel 12  
 — isthmica tubae 508  
 — laryngea pharyngis 440, Tafel 5  
 — membranacea urethrae 485, 496  
 — nasalis pharyngis 372, Tafel 5  
 — prostatica urethrae 479  
 — pylorica ventriculi 375  
 — superior duodeni 377, 401, 402, 410, Tafel 10, 11, 12  
 — uterina tubae 510  
 pelvis renalis 465—468, 472, 473, 480  
 penis 494—501  
 pericardium 459—464, 529, 530, Tafel 13, 14, 18, 19, Fig. 2  
 perineum virile 518  
 periosteum alveolare dentis 336  
 peritoneum 413—419  
 — parietale 413, Tafel 12, 13  
 petiolus epiglottidis 434, 436  
 pharynx 369—371, Tafel 5  
 philtrum 330  
 pleura costalis 462—464, Tafel 14  
 — diaphragmatica 458, 459, 462  
 — pericardiaca 458, 459, 462, 464, Tafel 13  
 — pulmonalis 462, 463, Tafel 14  
 plexus pampiniformis 485, 494  
 plicae ampullares tubae uterinae 510  
 plica arteriae epigastricae 417, Tafel 12

plica aryepiglottica 369, 438, 441  
 plicae circulares duodeni 377  
   — — jejuni 381  
   — — ilei 382, 383  
 plica caecalis 405  
   — fimbriata linguae 354, 358, 361  
   — gastropancreatica 416, Tafel 11, 12  
 plicae glossoepiglotticae 355  
 plica glossoepiglottica lateralis 440  
 plicae isthmicae tubae uterinae 510  
 plica longitudinalis duodeni 377  
 plicae mucosae urethrae 496  
   — — ventriculi 377  
   — — vesicae felleae 399  
   — — — urinariae 479  
 plica nervi laryngei 359  
 plicae palmatae cervicis uteri 510  
 plica pharyngoepiglottica 369, 372  
   — pubovesicalis 417  
   — rectouterina 502, 506  
   — salpingopalatina 370, 420  
   — salpingopharyngea 370, 371, 372  
 plicae sigmoideae 385—388  
 plica sublingualis 354  
   — transversalis recti 391  
   — triangularis linguae 355  
   — ureterica vesicae 479  
   — ventricularis 437—442, Tafel 5  
   — vesicalis transversa 417  
   — vocalis 437—441  
 porta hepatis 394  
 portio supravaginalis cervicis uteri 510, 511, 515  
   — vaginalis cervicis uteri 510, 511, 515  
 praeputium clitoridis 515, 517  
   — virile 497, 499, 500  
 processus caudatus hepatis 394  
   — frontalis maxillae 420, 421  
   — muscularis cartilaginis arytaenoideae 431—433  
   — papillaris hepatis 394  
   — pyramidalis ossis palatini 344  
   — retromandibularis glandulae parotidis 367  
   — sphenoidalis septi cartilaginei 423  
   — styloideus 367  
   — uncinatus pancreatis 400—402, Tafel 12  
   — vermiformis 384—388, Tafel 8, 9  
   — vocalis cartilaginis arytaenoideae 431, 432  
   — xiphoideus sterni Tafel 6  
 prostata 479, 481—485, 493—496  
 pudendum muliebre 502, 507  
 pulmones 451—459, Tafel 13, 14  
 pulpa dentis 336

pylorus 374—377, 415, 416, Tafel 10, Fig. 1, Tafel 11  
 pyramis renum 472—475

## R.

radix dentis 336  
   — linguae 355, 356, 372  
   — mesenterii 335, Tafel 8, 9, 12  
   — nasi 330  
 rami bronchiales 445  
 ramus bronchialis eparterialis 454—456  
   — — hyperarterialis 454—456  
   — — lobi inferioris 454, 455  
   — — — superioris 454, 455  
   — — — medi 455  
   — gastroduodenalis arteriae hepaticae 401, 402, Tafel 12  
 raphe bulbocavernosa Tafel 16  
   — palatina 334  
   — pharyngis 367  
   — pterygomandibularis 333, 368  
 recessus duodenojejunalis Tafel 8  
   — ileocecalis inferior 387, 408, Tafel 8, 9  
   — — superior 408  
   — inferior bursae omentalis 413, 418  
   — intersigmoideus 409  
   — lienalis bursae omentalis Tafel 12  
   — paracolici 409  
   — pharyngeus 369—371, 408, 491  
   — piriformis 369, 372  
   — retrocaecales 408  
   — superior bursae omentalis 413  
 rectum 329, 390, 391, 412, 518, Tafel 8, 9  
 regio olfactoria 425  
 renes 401, 402, 465—475, Tafel 10, Fig. 2, Tafel 11, 13  
 rima glottidis 439, 440  
   — oris 439, 440, Tafel 5  
 Ringknorpel 428, 429  
 rugae palatinae 442, 443  
   — vaginales 510

## S.

Samenblase 481—485, 496  
 Samenleiter 465, 466, 481, 484, 489, 490  
 Scham, weibliche 502, 507  
 Scheide 505, 506, 510, 515  
 Schilddrüse 367, 368, 369, 372, 439, 446, 447, 448, 458, 459  
 Schildknorpel 427, 428  
 Schlundkopf 369—371  
 scrotum 491, 494, Tafel 16  
 septula testis 490, 491  
 septum atriorum Tafel 19, Fig. 1, Tafel 20, Fig. 2



**septum choanarum 370**

- glandis 501
- linguae 358, 473, 475
- membranaceum atriorum 526
- — nasi 424, Taf. 5
- — ventriculorum 525
- mobile nasi 424
- musculare ventriculorum 525, Tafel 19, Fig. 1, Tafel 20, 525
- nasi 369, Tafel 5
- penis 485, 498, 499
- scroti 491, 494

**sinus aortae (Valsalvae) Tafel 20, Fig. 1**

- coronarius cordis 462, Tafel 13, 18, Fig. 2
- costomediastinalis 464, Tafel 14
- epididymidis 488
- frontalis 425, 426
- paranasales 425, 426
- phrenicocostalis 462, Tafel 11, 13
- rectales 391
- renalis 475
- sphenoidalis 425, 426, Tafel 5
- transversus pericardii 530
- venarum cavarum Tafel 18, Fig. 2

**spatium retropharyngeale Tafel 5****Speiseröhre 373, 374, 462, 463, 465, Tafel 6, 10, Fig. 1 u. 2, Tafel 11, 12****stratum circulare duodeni 378**

- — ventriculi 378, 380
- longitudinale duodeni 378
- — tunicae muscularis 390
- — ventriculi 379

**substantia adamantina dentis 336**

- corticalis renum 472, 475
- eburnea dentis 336
- medullaris renum 472, 475
- ossea dentis 336

**sulcus aortae 453**

- coronarius cordis 529 Tafel 19, Fig. 2
- longitudinalis anterior cordis 521, 523, 529, 530, Tafel 18, Fig. 1, Tafel 19, Fig. 2
- — posterior cordis 522, 523, Tafel 18, Fig. 2
- medianus linguae 333, 355
- mentolabialis 330
- nasolabialis 330
- subclaviae pulmonis 453
- terminalis cordis Tafel 18, Fig. 2
- — linguae 355
- venae azygos 454

**sutura palatina transversa 344****T.****taenia libera coli 385—387**

- mesocolica 384—386
- omentalis coli 384—386

**tela adiposa sinus renalis 472**

- — subserosa jejuni 381

**tentorium cerebelli 367****tendo musculi tensoris veli palatini 333****testis 485—491****thymus 449, 450, 458, 459****thyreoidea 367, 368, 369, 372, 439, 446—448, 458, 459****tonsillae palatinae 332, 333, 350, 358****tonsilla pharyngea 369—371****torus tubarius 370, 371, 372, 425****trabeculae lienis 407****trachea 373, 374, 435—445, Tafel 5****trigona fibrosa cordis 524****trigonum urogenitale 484, 519, Tafel 16, 17**

- vesicae urinariae 479

**tuba uterina 502, 510, Tafel 12****tuber omentale hepatis 394**

- — pancreatis 401, 402, 415, 416, Tafel 11, 12

**tuberculum corniculatum 369, 438, 440**

- cuneatum 369, 372

- cuneiforme 438, 440, 441

- epiglotticum 437, 441

- intervenosum Tafel 19, Fig. 1

**tubercula thyreoidea 427, 428****tubuli seminiferi testis 481****tunica albuginea lienis 407**

- — testis 489, 490

- dartos scroti 489

- fibrosa renum 472

- mucosa labii oris 331

- — linguae 358

- — nasi 423

- — oris 335, 356, 357, 364

- — uteri 510, 512

- — vaginae 512

- — vesicae urinariae 479

- muscularis duodeni 378

- — jejuni 381

- — uteri 510, 512

- — vaginae 515

- — ventriculi 377

- — vesicae urinariae 479

- serosa duodeni 378

- — uteri 510, 512

- submucosa duodeni 378

- vaginalis communis testis 487, 488, 491, 493

- — propria testis 487, 488, 491, 493

## U.

Unterkieferspeicheldrüse 363—365  
 Unterzungenspeicheldrüse 363—365  
 urachus 465—467  
 ureter 465—472, 482, 484, Tafel 11, 12  
 — (feminae) 505—508, Tafel 12  
 urethra 493, 496—501, 518, 519  
 — (feminae) 505—508  
 Urniere 465, 467  
 uterus 505—514, Tafel 12  
 utriculus prostaticus 485  
 uvula 332, 333, 369, 370, 372  
 — vesicae urinariae 479

## V.

vagina 502—505, 510, 515  
 vallecula epiglottica 355, 440, Tafel 5  
 valvula aortae 524, 525, Tafel 20, Fig. 1  
 — Bauhini 387, 388  
 — bicuspidalis 524, Tafel 13, 20  
 — coli 387, 388  
 — foraminis ovalis Tafel 20, Fig. 2  
 — fossae navicularis 496  
 — mitralis 525—527  
 — processus vermiformis 387, 388  
 — pulmonalis 524  
 — pylori 377  
 — sinus coronarii Tafel 19, Fig. 1  
 — spiralis ductus cystici vesicae felleae 399  
 — tricuspidalis 524—526, 528  
 — venae cavae Tafel 19, Fig. 1  
 valvulae semilunares aortae 524, Tafel 14, Fig. 2,  
 Tafel 20, Fig. 1  
 — — arteriae pulmonalis 524, Tafel 19, Fig. 2  
 vasa mesenterica superiora Tafel 11, 12  
 — ovarica 508  
 — pericardiophrenica Tafel 15, Fig. 1  
 — pudenda interna 519  
 — renalia Tafel 11  
 — spermatica interna 502, 505, 508, Tafel 11  
 — subclavia (dextra) Tafel 15, Fig. 2  
 — testicularia 491  
 velum palatinum 333, 334, 369—371, Tafel 5  
 vena anonyma 458, 459  
 — azygos Tafel 14, 15, Fig. 2  
 — cava inferior 393—396, 401, 402, 462, 520,  
 522, 530, Tafel 11, 12, 13, Fig. 2, Tafel 18,  
 Fig. 2, Tafel 19, Fig. 1  
 — superior 520—522, 529, 530, Taf. 14,  
 Fig. 1, Tafel 15, Fig. 2, Tafel 18, 18, Fig. 1  
 — dorsalis penis 498, 519

vena glandis 497  
 — hemiazygos Tafel 14, Fig. 1  
 venae hepaticae 391, Tafel 11, 12, 13  
 vena jugularis interna 458, 459  
 — lienalis 401, 406  
 — mesenterica superior 401, 402, Tafel 12  
 — portae 396, 398  
 venae pulmonales 453, 454, 462, 522, 526, 527  
 Tafel 13, 18, Fig. 2, Tafel 20, Fig. 2  
 vena renalis 468—473  
 — subclavia 458  
 — suprarenalis 478  
 — umbilicalis 410  
 ventriculus 374—377, 410, 411, Tafel 6, 10, Fig. 1  
 und 2, Tafel 13  
 — dexter cordis 520—522, 526, 529, Tafel 14,  
 18, 19, Fig. 2  
 — laryngis 437, 438, 440, Tafel 5  
 — sinister cordis 434, 435, 436, 443, Tafel 13, 14,  
 Fig. 2, Tafel 18, 20  
 vertex vesicae urinariae 482  
 vesica fellea 392, 395, 399, 401, 402, 415, Tafel 10,  
 Fig. 1, Fig. 6  
 — urinaria 465—485, 502—506, Tafel 8, 9  
 — — feminae 504—506, 509  
 vesicula seminalis 481—485, 492, 493, 496  
 vestibulum bursae omentalis Tafel 10, Fig. 1,  
 Tafel 11, 12  
 — laryngis 438  
 — nasi 425  
 — oris Tafel 5  
 — vaginae Tafel 17  
 villi intestinales 381  
 Vorhaut 487—500  
 Vorsteherdrüse 479—485, 495, 496  
 vortex cordis 523  
 vulva 502, 517

## W.

Wangen 332, 333  
 Wolffscher Gang 465—467  
 Wurmfortsatz 384—388, Tafel 8, 9

## Z.

Zähne 334—353  
 Zahnfleisch 336  
 Zäpfchen 332, 333, 369—371, 372  
 Zunge 332—335, 355—361, Tafel 5  
 Zwerchfell 374, 392, 459, 462, Tafel 10, Fig. 1  
 und 2, Tafel 11, 12, 13  
 Zwölffingerdarm 377, 378, 400—402, 410, 411,  
 Tafel 9, 10, Fig. 1, Tafel 11, 12

## Druckfehler-Verzeichnis.\*)

- 
- Seite 299 links oben, lies tentorium statt tentorum  
 „ 300 rechts oben, lies fossa pterygopalatina statt ossa  
 „ 306 in der Erklärung für Fig. 372, lies Kehlkopfmuskulatur statt Kopf-  
 muskulatur  
 „ 320, Fig. 388, links, lies plicae statt pliace  
 „ 321, Zeile 4 von unten, lies lienalis statt linealis  
 „ 326, „ 10 von oben, lies (nach links) statt (nach rechts)  
 „ 334, letzte Zeile, lies crenatus statt crematus  
 „ 337 in der Erklärung der Fig. 410 auf der rechten Seite, lies flexura coli  
 sinistra statt dextra.  
 „ 356, Fig. 438, lies cricothyreoideum statt cricothyroideum  
 „ 426 links unten, lies bicuspidalis statt biscuspidalis

---

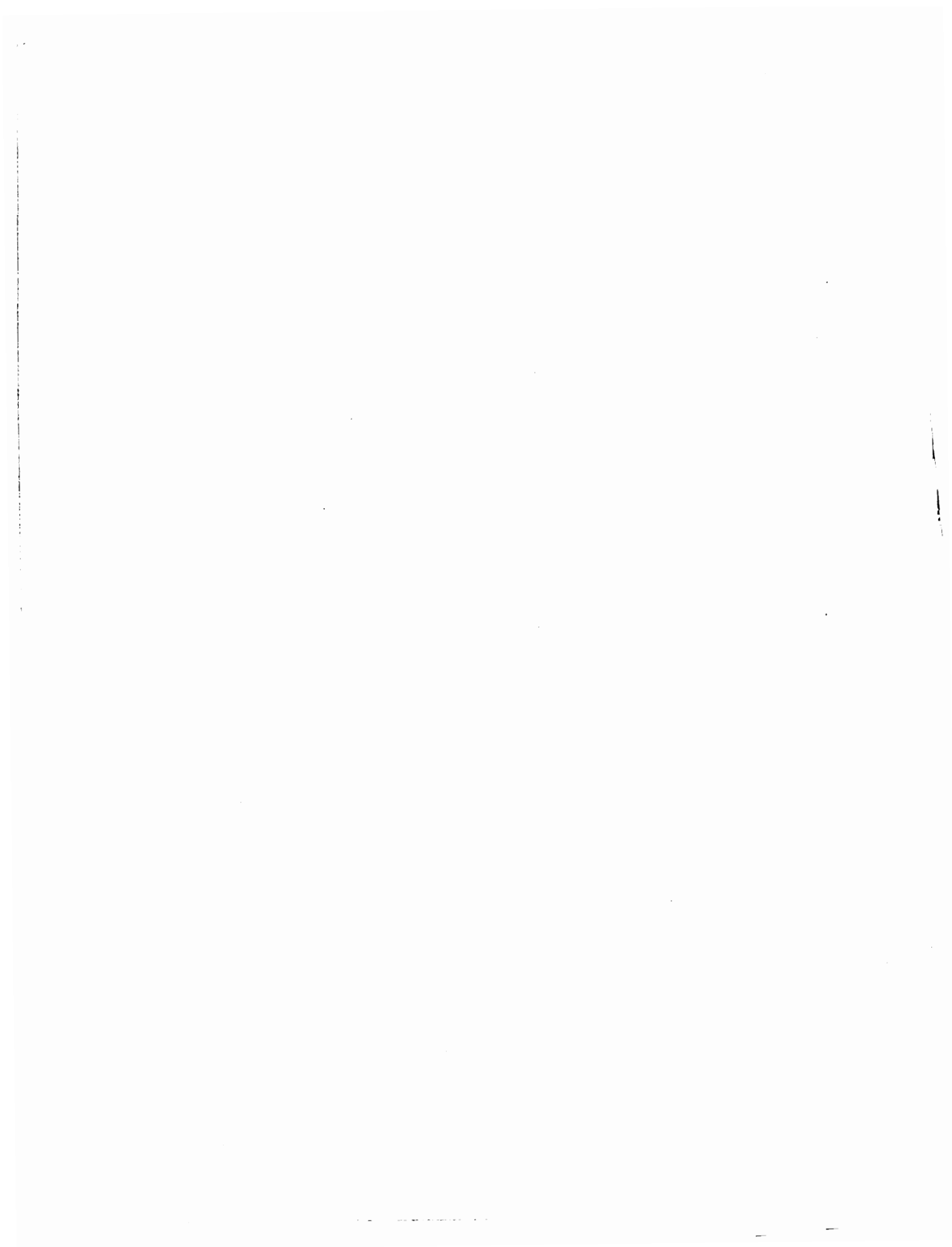
Auf Tafel 12 bedeutet \* = Milzloge

- „ „ 15, Fig. 1, links oben, lies phrenicus statt sphrenicus

---

\*) Bei einem Teil der Auflage konnten die Fehler noch berichtigt werden.





J. F. LEHMANN'S Verlag in MÜNCHEN.

Band IV.

Lehmanns medizinische Handatlanten.

## Kurzgefaßtes Lehrbuch und Atlas der Krankheiten der Mundhöhle, des Rachens und der Nase

von Dr. L. Grünwald in München.

Dritte, vollständig umgearbeitete und erweiterte Auflage

Teil I: **Kurzgefaßtes Lehrbuch.** 756 Seiten Text mit 10 farbigen und 220 schwarzen Abbildungen.

Teil II: **Atlas.** 57 viel farbige Tafeln, enthaltend 104 makroskopische und 37 histolog. Abbild. mit erklärendem Text.

Preis in 2 Bänden gebunden M. 66.—

(I. Lehrbuch M. 36.—, II. Atlas M. 30.—)

Das prachtvoll ausgestattete Buch, in dem die sämtlichen Erkrankungen der Mundhöhle, des Rachens und der Nase in guten naturgetreuen Bildern veranschaulicht und in klarer Beschreibung klinisch erläutert werden, dürfte nicht nur den engen Kreis der Stomatologen, Laryngologen, Rhinologen, sondern auch jeden praktischen Arzt interessieren. . . Von ähnlichen Werken genöht die Arbeit Grünwalds zu den besten. . . Die Ausstattung des Buches, die Reinheit der Reproduktionen loben den rühmlichst bekannten Verleger.

(*Poser med. chirurg. Presse, Desider von Navratil*).

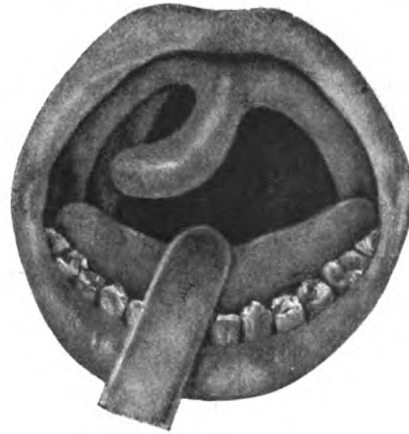


Fig. 178.

Totaler Defekt des linken vorderen Gaumenbogens.

Band XIV.

## Grundriß der Kehlkopfkrankheiten und Atlas der Laryngoskopie.

Von Dr. L. Grünwald in München. Zweite, vermehrte und verbesserte Auflage.

Mit 112 farbigen Abbild. auf 47 Tafeln und 26 schwarzen Abbild. im Text. Preis gut geb. M. 30.—.

Inhaltsverzeichnis (Hauptabschnitte):

Orientierende Bemerkungen zur Anatomie und Physiologie des Kehlkopfes. — Untersuchungsmethoden. — Praktische Winke für die Untersuchung. — Allgemeines über Ursachen und Behandlung von Kehlkopfkrankheiten. — Stimm-Diätetik. — Pathologie und Therapie. I. Akute Entzündungen. — II. Chronische Entzündungen. — III. Neubildungen. — IV. Motilitätsstörungen. — V. Sensibilitätsstörungen. — Va. Kombinierte (funktionelle) Störungen im motorischen und sensiblen Gebiet. — VI. Zirkulationsstörungen. — VII. Blutungen. — VIII. Verletzungen. — IX. Fremdkörper. — X. Mißbildungen. — Schlagwort-Register.

„Deutsche medicin. Wochenschrift“: . . . Der Student wird sich bald davon überzeugen, daß er sich wohl nirgendwo so schnell und so gründlich wie in diesem Buch Aufklärung verschaffen kann. Für den Fachmann ist es geradezu ein Genuß, den knappen und exakten Darstellungen Grünwalds zu folgen.

### Die Therapie der Kehlkopftuberkulose

mit besonderer Rücksicht auf den galvanokaustischen Tiefenstich und äußere Eingriffe.

Von Dr. L. Grünwald, München.

147 Seiten gr. 8<sup>o</sup> mit 9 farbigen Abbildungen auf 4 Tafeln und 3 schwarz. Figuren im Text. Preis geheftet M. 12.—, geb. M. 14.—

INHALTSVERZEICHNIS:

Allgemeine Gesichtspunkte für die Behandlung. — Kritik der Therapie. — I. Mannigfaltige Gestaltung der Kehlkopftuberkulose. — II. Individuelle Resistenz. — III. Komplikation mit Lungentuberkulose. — Postulate der Therapie. — Methoden und Indikationen der Therapie. — Äußerer Operationen. — Verzeichnis der bisher bekannt gewordenen äusseren Eingriffe. — Allgemeine Indikationen. — Nachteilige Folgen äusserer Eingriffe. — Tabellarische Darstellung der Operationsergebnisse. — Abhängigkeit der Operationsergebnisse. — Operationsergebnisse. — Vorbedingungen äusserer Operationen. — Spezielle Indikationen. — Die Technik äusserer Eingriffe.

### Phantom der normalen Nase des Menschen

von Dr. Hans Busch

Stabsarzt a. D., Hals-, Nasen- u. Ohrenarzt in Spandau

3 farbige Tafeln mit 6 Deckbildern und 34 Seiten

erklär. Text. Preis kart. M. 8.—, in Leinen geb. M. 10.—

Zeitschrift für Ohrenheilkunde:

Dieses kleine Kunstwerk, welches auf Anregung Brühls entstanden und vom Kunstmalers Kotzian mit ausgezeichneten farbigen Tafeln nach Präparaten des Autors versehen ist, gestattet infolge seiner äußerst sinnreichen Anordnung mit den Deckblättern eine schnelle Orientierung und wird deshalb besonders auch dem Spezialisten sehr willkommen sein.

J. F. LEHMANNS Verlag in MÜNCHEN.

## Lehmanns medizinische Handatanten. *Band V.* **Atlas und Grundriß der Hautkrankheiten.**



Fig. 45. Lupus vulgaris.

Von

Hofrat Professor Dr. Franz Mracek in Wien.

Nach des Verfassers Tod bearbeitet von

Professor Dr. Albert Jesionek in Giessen.

Vierte, unv. Auflage.

Mit 109 farbigen Tafeln und 96 schwarzen Abbildungen.

Preis gut gebunden M. 60.—

... Die 3. Auflage des bei Studierenden und Ärzten so beliebten Atlas, der ein würdiges Glied in der langen Kette der bekannten Lehmannschen Atlanten darstellt, ist in ganz erheblich erweiterter Form von Jesionek bearbeitet worden; namentlich in illustrativer Hinsicht ist das Höchste geleistet worden, was die Technik nur zu bieten vermag. Den 77 farbigen, lithographischen Tafeln der 2. Auflage sind 32 Dreifarbendrucke hinzugefügt worden, die mit den Bildern des bekannten Jacobischen Atlas der Hautkrankheiten durchaus konkurrieren können. Es sind größtenteils Reproduktionen von Oelgemälden und Aquarellen aus der Sammlung der Münchener dermatologischen Klinik, die in ihrer Weichheit, in ihrer Farbabtönung und in ihrer Plastik das Vollendetste darstellen, was bildlich sich erzielen läßt. Auch die schwarzen Abbildungen sind rund ums Doppelte vermehrt.

Möge dem Werk in seinem neuen Gewande die Anerkennung zuteil werden, die es seinem Werte nach vollauf verdient. „Zentralblatt für innere Medizin“.

## Band VI. **Atlas der Syphilis** und der venerischen Krankheiten mit einem Grundriß der Pathologie und Therapie derselben.

Von Hofrat Professor Dr. Franz Mracek in Wien.

Zweite, vollständig umgearbeitete und vermehrte Auflage.

Mit 81 farb. Tafeln nach Originalaquarellen von Maler A. Schmitson und mit 26 schwarzen Abbildungen.

Preis gut gebunden M. 48.—

Der hochverdiente Verfasser, der in diesem Werke seine große Erfahrung auf dem Gebiete der Geschlechtskrankheiten in Wort und Bild niedergelegt hat, ist gerade, als er im Begriffe war, die neue Auflage zum Abschluß zu bringen, dahingegangen. Aber er hat den Text selbst noch durchgearbeitet und zu den alten Bildern 10 neue farbige Tafeln und 14 schwarze Abbildungen hinzugefügt. Die neuen Forschungsergebnisse sind bei der Darstellung der Syphilis weitgehend berücksichtigt; auch in den übrigen Kapiteln ist die Schilderung dem neuesten Stande der Wissenschaft entsprechend. Außerordentlich anerkennenswert ist die Klarheit und Uebersichtlichkeit des kurz gefaßten, aber alles Wesentliche bringenden Textes. Sowohl die farbigen wie die schwarzen Bilder sind ausgezeichnet und geben eine selten vollständige und sehr reichhaltige Illustration der venerischen Krankheiten. ... Ein würdiges Denkmal ist es, das der zu früh der Wissenschaft Entrissene sich gesetzt hat. „Dermatologische Zeitschrift“.

## **Untersuchungsmethoden und Diagnostik der Erreger der Geschlechtskrankheiten.**

Von Dr. med. et phil. F. W. Oelze

Mit 29 Abbildungen im Text und 4 Tafeln — Preis geh. M. 24.—, geb. M. 30.—

Der Verfasser will dem Praktiker die eigentliche Beurteilung des mikroskopischen Bildes möglichst erleichtern. Dies geschieht in eingehendster Weise, da er sich nur bei Einhaltung aller, auch der kleinsten Vorschriften gute und gleichmäßig sichere Resultate erwartet. Ausser vielen technischen Kunstgriffen sind auch bedeutungsvolle neue Fortschritte der mikroskopischen Technik erstmalig eingehend für den Praktiker dargestellt.

## **Abhandlungen über Salvarsan** (Ehrlich-Hata-Präparat 606 gegen Syphilis).

Gesammelt und mit einem Vorwort und Schlußbemerkungen herausgegeben von

Dr. Paul Ehrlich, Wirkl. Geh. Rat, Direktor des Instituts für experiment. Therapie, Frankfurt a. M.

Bd. I: 402 S. gr. 8° / Preis geh. M. 15.—, geb. M. 18.— | Bd. III: 584 S. gr. 8° / Preis geh. M. 25.—, geb. M. 30.—  
Bd. II: 617 S. gr. 8° / Preis geh. M. 25.—, geb. M. 30.— | Bd. IV: 440 S. gr. 8° / Preis geh. M. 22.—, geb. M. 26.—

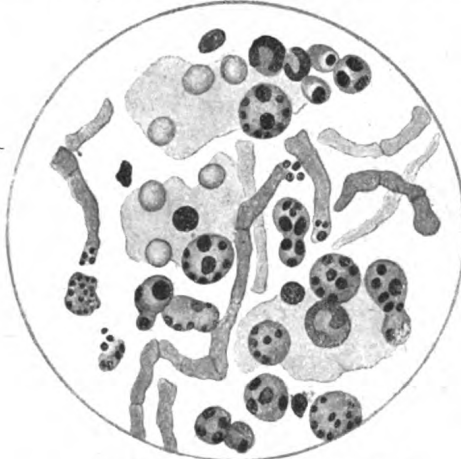
Die vier Bände bieten eine außerordentlich übersichtliche Orientierung über die Salvarsantherapie. Ihren besonderen Wert erhalten sie durch die umfangreichen Schlußbemerkungen aus der Feder Paul Ehrlichs selbst.



J. F. LEHMANNS Verlag in MÜNCHEN.

## Die Fadenpilz-Erkrankungen d. Menschen

(Lehmanns med. Atlanten Bd. XII)



Pilzelemente der Pityriasis versicolor.

von  
Dr. R. O. Stein, Assistent der Wiener Universitäts-  
klinik für Geschlechts- und Hautkrankheiten.

Mit 78 Abbildungen auf 3 schwarzen, 18 Drei- und 11 Vier-  
farbdrucktafeln. Preis gebunden M. 30.—

Inhaltsverzeichnis: (Hauptabschnitte) Allgemeiner Teil. a) Morphologie, b) Mikroskopische Untersuchungstechnik, c) Züchtungsverfahren, d) Technik des Tierexperiments, e) Immunitätsreaktionen, f) Darstellung des Trichophytins. Spezieller Teil. 1. Saprophytien. a) der Haut, b) des Haars. — 2. Dermatomykosen. a) Mikrosporie, b) Trichophytie, c) Favus oder Erbgrind. — 3. Blastomykosen. a) Endemische (Saccharomykose), b) Amerikanische (Gilchristische Krankheit). — 4. Strahlenpilzaffektionen. a) Actinomykosen, b) Madura Pilz-  
erkrankungen — 5. Sporotrichosen. — 6. Seltene Mykosen — 7. Soor. — 8. Schimmelpilzaffektionen. — Literaturverzeichnis. — Sachregister.

Der neue Atlas, der ausreichend über die Biologie und Klinik der Pilzaffektionen informiert und durch ausgezeichnete Abbildungen, die zum Teil Reproduktionen der berühmten Moulagen des Wiener Allgem. Krankenhauses sind, illustriert ist, wird in den Kreisen der Chirurgen und Kliniker großes Interesse finden.

Für den Spezialisten zur Auffrischung seiner Erinnerung, für den allgemeinen Praktiker zur schnellen Orientierung und Belehrung dürfte es zurzeit kein bequemerer und zweckmäßigeres Buch geben als diesen Atlas, der eine wertvolle Ergänzung der gangbaren Lehrbücher bildet.

„Deutsche medizinische Wochenschrift“.

## Atlas und Grundriß der Bakteriologie und Lehrbuch der speziellen bakteriologischen Diagnostik.

(Lehmanns mediz. Handatlanten Bd. X)

Von Professor Dr. K. B. Lehmann in Würzburg und Professor Dr. med. et phil. R. O. Neumann in Bonn.  
Band I: Atlas mit etwa 700 farbigen Abbildungen auf 79 Tafeln. — Band II: Text etwa 800 Seit. mit 30 Bildern.  
Sechste, durch einen Anhang vermehrte Auflage. Preis der 2 Bände gebunden M. 70.—

In dem Neudruck sind alle wesentlichen Fortschritte der letzten Jahre auf dem Gebiete der bakteriologischen Diagnostik gebührend berücksichtigt. Das Wiedererscheinen dieses ausgezeichneten Werkes, das seit mehreren Jahren vergriffen war und das für den Fachmann geradezu unentbehrlich geworden ist, ist mit Freude zu begrüßen.

E. Gildemeister, Berlin im „Zentralblatt für Bakteriologie“.

## ÜBER NEUROREZIDIVE nach Salvarsan und nach Quecksilberbehandlung.

Ein Beitrag zur Lehre von der Frühsyphilis des Gehirns. Von Dr. J. Benario.

Mit einem Vorwort des Wirkl. Geh. Rat P. Ehrlich. Mit einer Tafel und 5 Figuren im Text.

195 Seiten gr. 8°. Preis geheftet M. 15.— gebunden M. 18.—

## Empfindliche, einfache u. rasch ausführbare Untersuchungsmethoden

Für Laboratorien u. prakt. Aerzte, zusammengestellt u. bearbeitet v. Hans Lipp, Assistent in Hohenheim.

2. Auflage. Mit 3 farbigen Tafeln. Preis gebunden M. 7.—

„Die übersichtliche und kritische Zusammenstellung wird auch über die Bedürfnisse des Krieges hinaus dem Praktiker und Facharzt, ein willkommenes Leitfadens für die neueren chemisch bakteriologischen Untersuchungsmethoden sein.“ (Archiv für Orthopädie)

## Diagnostik innerer Krankheiten in Tabellenform

Dritte vermehrte und verbesserte Auflage der

### Differential-diagnostischen Tabellen.

Von Dr. med. A. J. Cemach in Wien.

50 Tabellen mit 31 farbigen und schwarzen Abbildungen sowie 8 Fiebertypen. — Preis kart. M. 18.—

In der großen Fülle der Krankheitsbilder ist es für den angehenden Arzt, aber auch für den erfahrenen Praktiker manchmal sehr schwierig, gleich das Richtige zu treffen. Die vorliegenden differential-diagnostischen Tabellen ermöglichen eine rasche Orientierung und präzise Diagnosenstellung und sind deshalb jedem, besonders aber dem vielbeschäftigten Arzte, der mit dem besten Willen oft nicht die nötige Zeit findet, größere Werke zu rekapitulieren zur Anschaffung dringend zu empfehlen. (Bayer. Aerztl. Korresp.-Blatt)

J. F. LEHMANN'S Verlag in MÜNCHEN.

---

## Lehmanns medizinische Handatlanten in 8<sup>o</sup>.

Band XVIII.

### Atlas der äußerlich sichtbaren Erkrankungen des Auges nebst Grundriß ihrer Pathologie und Therapie.

Von Prof. Dr. O. Haab, Zürich.

**Vierte, vermehrte und verbesserte Auflage.**

Mit 86 farbigen Abbildungen auf 46 Tafeln nach Aquarellen von Maler Johann Fink und mit 21 schwarzen Abbildungen im Text. — **Preis gebunden M. 30.—**

„Prager medizinische Wochenschrift“: Das Buch ist wegen der glücklichen Vereinigung von vorzüglicher bildlicher Darstellung und Beschreibung aller wichtigen Augenerkrankungen dem praktischen Arzte sowie auch den Studierenden aufs wärmste zu empfehlen.

---

Band XXXI.

Atlas und Grundriß der

### Lehre von den Augenoperationen

Von Prof. Dr. O. Haab, Zürich.

Mit 30 farb. Taf. u. zahlreich. schwarz. Abbild. **Zweite, unv. Auflage. Preis geb. M. 40.—.**

„Zentralblatt für innere Medizin“: Dieses Werk des bekannten klinischen Lehrers und Ophthalmologen steht unter den gegenwärtigen Augenoperationslehren zweifellos an erster Stelle. . . .

---

Band XXIV.

### Lehrbuch und Atlas der Ohrenheilkunde

unter Mitwirkung von Hofrat Professor Dr. A. Politzer in Wien, herausgegeben von  
Professor Dr. Gustav Brühl in Berlin.

**Dritte, völlig umgearbeitete und verbesserte Auflage.** Mit 270 farbigen Abb. auf 56 Tafeln und 187 Textabb.  
**Preis gebunden M. 42.—**

*Archiv für Ohrenheilkunde*: In der vorliegenden Auflage ist das bekannte Buch fast durchaus neu eingeteilt und in fast sämtlichen Kapiteln umgearbeitet, ergänzt und erweitert worden . . . Die Tafel- und Textabbildungen sind durchaus gut gelungen . . . Die Ausstattung des Buches ist eine vorzügliche. Es gibt dem Studierenden eine rasche Orientierung über den gegenwärtigen Stand der Ohrenheilkunde. Der praktische Arzt wird sich mit Hilfe des Brühl-Politzerschen Buches in vielen Fällen Rat holen können. Der Otologe findet in der dritten Auflage ein im besten Sinne modernes Werk.

---

### Die Ohrenheilkunde des praktischen Arztes

von Dr. Wilhelm Haslauer, Oberstabsarzt, Dozent für Ohrenheilkunde an der bayer. militärärztlichen Akademie in München.

419 Seiten gr. 8<sup>o</sup> mit 124 Abbildungen. — **Preis broschiert M. 20.—, gebunden M. 25.—.**

*Zeitschrift für Medizinalbeamte*: Die beste Kritik des vorliegenden stattlichen Werkes gibt Verfasser selbst, wenn er als Vorwort weiter nichts schreibt als: „Aus der Praxis für die Praxis.“ Fürwahr ein Buch, das jedem praktischen Arzt, zumal dem Landarzt, dringend und wärmstens zu empfehlen ist.

---

### Der Fürsorgearzt

Ein Hilfsbuch für Aerzte, Behörden und Fürsorgestellten von Obermedizinalrat Dr. Franz Spaet in München.  
Umfang 23 Bogen Oktav-Format / **Preis geheftet etwa M. 34.—, gebunden M. etwa 42.—.**

Aus dem Inhalt: Rassenhygiene, Sozialhygiene, Fürsorgedienst, Jugendfürsorge, Säuglingssterblichkeit Säuglingsnahrung, Schulärztliche Tätigkeit, Fürsorge für Tuberkulose, Geschlechtskranke, Trinker, Geisteskranke, Gebrechliche und Krüppel.

---

### Ueber vereinfachte Handhabung der Kalorienwerte bei praktischen Ernährungsfragen.

Von Prof. Dr. F. Moritz, Geh. Medizinalrat. **Preis geheftet M. 3.—.**

Zum steten Gebrauche für Aerzte, besonders auch in Krankenanstalten und Sanatorien, für private, kommunale und staatliche Verwaltungsorgane sowie für gebildete Laien.

J. F. LEHMANN'S Verlag in MÜNCHEN.

**Lehmanns medizinische Handatlanten.**  
*Band VIII.*  
**Atlas und Grundriß der  
traumatischen Frakturen u. Luxationen.**

Von Professor Dr. H. Helferich

Mit 64 farbigen und 15 schwarzen Tafeln und 392 Textabbildungen nach  
Original-Zeichnungen von Maler Bruno Keilitz.

**Zehnte Auflage erscheint 1921**

**INHALT (Hauptabschnitte):** I. Allgemeines über Frakturen und Luxationen. II. Frakturen des Schädels. III. Verletzungen der Gesichtsknochen. IV. Frakturen und Luxationen der Wirbelsäule. V. Frakturen am Brustkorb. VI. Frakturen u. Luxationen der oberen Extremität. VII. Frakturen u. Luxationen der unteren Extremität. Die normalen Gelenke im Röntgenbilde nebst Erklärungsskizzen.

**Besprechung der 9. Auflage:** ... Es erübrigt sich über die Vorzüge des weltbekannten Werkes ausführlicheres zu sagen. Hervorgehoben sei nur, daß auch diese Auflage wiederum zahlreiche Erweiterungen und Verbesserungen aufweist. Besser als durch den Helferich'schen Atlas können die für die Praxis so wichtigen Frakturen und Luxationen nicht gelehrt werden. So ist die Darstellung der Reposition der Luxationen von Schulter und Ellbogengelenken unübertrefflich. Auch die vielfachen Röntgenbilder, besonders auch diejenigen von normalen Gelenken mit der Anleitung zu ihrer Deutung sind vorzüglich geraten. ...

*Krecke, „Münchener medizinische Wochenschrift“.*

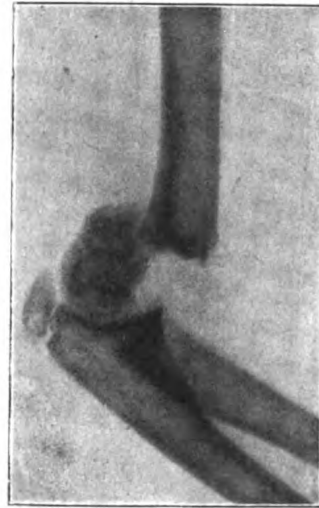


Fig. 152. Frische supracondyläre  
Extensionsfraktur des Humerus.

**Röntgen-Untersuchung bei Kriegsverletzten**

Von Prof. Dr. Rudolf Grashey,

Assistenzarzt an der chirurgischen Klinik München.

Mit 184 Abbildungen. Preis gebunden M. 10.—

„Der Verfasser nennt sein Buch „Kriegersatz an Stelle der Neuauflage seines vergriffenen chir. patr. Röntgenatlases. Wir können ihm das Zeugnis ausstellen, daß der Ersatz vorzüglich gelungen ist und auch während des Friedens eine Lücke auszufüllen berufen ist. Er wird insbesondere dazu beitragen, daß die zahlreichen Erfahrungen des Krieges nicht verloren gehen.“  
(*Deutsche medizinische Wochenschrift.*)

**Zur chirurgischen und orthopädischen  
Nachbehandlung der Verwundeten**

Von Hofrat Dr. Krecke und Geheimr. Prof. Dr. Lange  
(beide in München).

Mit 6 Abbildungen. Preis gebunden M. 4.—

Der Ruf der beiden Verfasser bürgt für die Güte des Buches. Sie wollen dazu beitragen, die Ergebnisse der Kriegschirurgie noch weiter zu verbessern und insbesondere die Dauer der Lazarettbehandlung möglichst abzukürzen. Heute im Zeitalter der Nachbehandlung ein durchaus zeitgemäßes Buch.

**Band XIII. Atlas und Grundriß der  
Verbandlehre  
für Studierende und Aerzte**

Von Professor Dr. Albert Hoffa, Berlin

Nach des Verfassers Tod bearbeitet von  
Professor Dr. Rudolf Grashey, München.

— **Sechste, wesentlich vermehrte Auflage** —  
mit 167 Tafeln und 209 Textabbildungen.

Preis gut gebunden M. 36.—

**Kriegs-Orthopädie**

Von Geh. Hofrat Prof. Dr. Fr. Lange und Prof.  
Dr. J. Trumpp.

Mit 114 Abbildungen. Preis gebunden M. 8.—

„Das kompensiös gehaltene Buch bringt mit seiner klaren Sprache und den zahlreichen anschaulichen Abbildungen so viel Anregung und Anleitung, daß es in die Hand jedes Arztes gehört, der sich mit Kriegsverletzten abgibt.“

*Prof. Dr. Bisatzki in der „Zeitschrift f. orthop. Chirurgie.“*

**Chirurgische Diagnostik in Tabellenform**

Für Studierende und Aerzte. Von Dr. med. A. J. Cemach. Zweite verm. u. verbess. Aufl.

108 Tabellen und 487 schwarze und farbige Abbildungen auf 114 Tafeln

Preis kartoniert M. 76.— gebunden M. 84.—

**EINTEILUNG:** I. Chirurgie des Schädels und seines Inhalts. II. Chirurgie des Gesichtes. III. Chirurgie der Mundhöhle, des Rachens, der Kiefer und der Speicheldrüsen. IV. Chirurgie des Halses. V. Chirurgie der Wirbelsäule. VI. Chirurgie des Thorax und der Brustdrüse. VII. Chirurgie des Abdomens. VIII. Chirurgie der Harn- und Geschlechtsorgane. IX. Chirurgie des Beckens und der Extremitäten. X. Anhang: Einige Kapitel aus der allgemeinen Chirurgie.

... Es ist staunenswert, was alles in das Buch hineingearbeitet wurde, und der Verlag verdient alle Anerkennung für die außerordentliche Zahl von vortrefflichen ein- und mehrfarbigen Abbildungen. ... Das Buch wird ... ein oft willkommenes Nothelfer sein.“

*Berliner klinische Wochenschrift*



J. F. LEHMANN'S Verlag in MÜNCHEN.



Abb. 112. Kataleptische Stellung bei einem Hebephrenen.

Lehmanns medizinische Lehrbücher Band 1.

## Erkennung der Geistesstörungen

von Dr. phil. et med. **Wilhelm Weygandt**

o. ö. Professor der Psychiatrie an der Universität Hamburg,  
Direktor der Staatskrankenanstalt Friedrichsberg.

Mit einem **serologisch-diagnostischen** Teil  
von Privatdozent Dr. med. **Viktor Kafka**.

VIII und 250 Seiten Lex.-Oktav mit 18 farbigen Tafeln und  
318 Textabbildungen. Preis geh. M. 34.— geb. M. 42.—

In der vorliegenden Diagnostik hat Weygandt in individueller Prägung das Wesentlichste mit kurzer Begründung dargelegt und dabei besonders die Symptome, Methoden und Apparate veranschaulicht. In erfreulicher Weise ist es ihm gelungen durch klare Darstellung in Wort und Bild ein Werk zu schaffen, das nicht nur dem Studenten und dem allgemeinen Praktiker von Wert sein wird. Das Buch ist warm zu empfehlen.

*Aerztl. Sachverständigen-Zeitung, Berlin.*

Es liegt hier ein Lehrbuch von bisher nicht erreichter Güte und Reichhaltigkeit bildlicher Veranschaulichung vor. Studierender und Arzt werden mittels dieser Abbildungen mit bestem Erfolg die Erinnerung an das auffrischen, was sie in der Klinik gesehen haben.

*Psych.-neurologische Wochenschrift, Berlin.*

## Atlas und Grundriß der patholog. Anatomie.

(Lehmanns medizinische Handatlanten in 8<sup>o</sup> Band XI/XII.)

Von Obermedizinalrat Professor Dr. O. v. Bollinger.

Mit 135 farbigen Tafeln nach Originalen von Maler A. Schmitson und 68 Textabbildungen.

I. BAND. Zirkulations-, Respirations- und Digestionsapparat, sowie Leber, Gallenblase und Pankreas.

Dritte unveränderte Auflage. — Preis gebunden M. 36.—

II. BAND. Harnapparat, Geschlechtsorgane, Nervensystem, Knochen, Gelenke.

Dritte, unveränderte Auflage — Preis gebunden M. 36.—

*Zentralblatt für innere Medizin:* . . . Auch wer weit in seiner Kunst vorgeschritten ist, wird das Buch gern zur Hand nehmen und an der lebendigen Wiedergabe der anatomischen Bilder, sowie an der durchsichtigen Klarheit des begleitenden Textes seine helle Freude haben.

## Atlas und Grundriß der Allgemeinen patholog. Histologie.

(Lehmanns medizinische Handatlanten in 8<sup>o</sup> Band XXII.)

Von Professor Dr. Hermann Dürck in München.

Mit 77 vielfarbigen lithographischen und 31 zum Teil zweifarbigen Buchdruck-Tafeln nach Originalen von Maler K. Dirr und Universitätszeichner C. Krapf. — 2. ergänzte Auflage erscheint 1921.

### Kurze Anleitung zur Herstellung patholog.-histolog. Präparate und Zusammenstellung der gebräuch- lichsten Färbemethoden.

Von Hans Geith,

Präparator am Pathologischen Institut München.

Preis M. 4.50

### Sektionstechnik

Von Prof. Dr. Siegfried Oberndorfer-München

Mit 22 Abbildungen. — Preis gebunden M. 6.—

„Feldarzt — man könnte sagen Landarzt. Der Arzt, der jederzeit überall sein muß, der bedarf möglichst konzentrierter, auszugartiger Werke, nicht um zu lernen, sondern sich zu erinnern. Diesem Zweck dienen die Taschentücher. Sie geben das Wesentliche und das möglichst deutlich.“

*Aerztliche Rundschau, München.*

J. F. LEHMANN'S Verlag in MÜNCHEN.

**Lehmanns medicin. Handatlas in 8<sup>o</sup>**

**Band XVI. Atlas und Grundriß der  
Chirurgischen  
Operationslehre.**

Von Professor Dr. Otto Zuckerkandl, Wien.

**Fünfte, vermehrte und verbesserte Auflage.**

Mit 45 farbigen Tafeln und 403 Abbild. im Texte.  
Preis gebunden M. 42.—

*Deutsche medizinische Wochenschrift, Berlin:* In fünfter Auflage bereits, in Wort und Bild wiederum vermehrt und verbessert, liegt der bekannte Zuckerkandlsche Atlas vor uns; zu seinem Lobe braucht nichts Neues hinzugefügt zu werden. Daß der Verfasser sein Werk auf der Höhe der Wissenschaft hält, versteht sich von selbst. Eine Anzahl älterer Bilder ist durch bessere Darstellungen ersetzt worden; hinzugekommen sind Abbildungen über die Gefäßnaht, Bloßlegung der Nerven an den Extremitäten, Operation der Appendicitis u. a. Auch sämtliche neue Abbildungen sind von dem Maler Hajek angefertigt worden und zwar meist nach Skizzen im Operationssaale.



Fig. 154. Examikulation der Hand.

**Band XVII Atlas und Grundriß der Gerichtlichen Medizin**

unter Benützung von E. v. Hofmanns Atlas der Gerichtlichen Medizin.

Herausgegeben von Dr. Georg Puppe, Professor der Gerichtl. Medizin in Königsberg i. Pr.

46 Bogen Text mit 70 vielarb. Tafeln nach Originalen von Maler A. Schmitson und 204 schwarzen Abb.

Preis in 2 Bänden gebunden M. 50.—

**Inhalt** (Hauptabschnitte): Gerichtsärztliche Technik — Körperverletzungen — Der gewaltsame Tod (allgemeiner und spezieller Teil) — Geschlechtliche Verhältnisse — Die Untersuchung des Gesundheitszustandes und der Körperbeschaffenheit ohne vorhergegangene Körperverletzung (Anhang: gerichtliche Untersuchung von Wohnungen) — Zurechnungsfähigkeit.

Puppe hat sehr viel Eigenes in dieses Werk hereingebracht. Vor allen Dingen berücksichtigt er die soziale (versicherungsrechtliche) Medizin auf das Beste. Besonders behandelt der Verfasser die Abschätzung der Erwerbsfähigkeit und den ursächlichen Zusammenhang zwischen Unfall und Tod. Die neueren gerichtsärztlichen Methoden (Uhlenhut) sind natürlich ausgiebig behandelt.

Das ganze Werk ist ein ganz ausgezeichnetes Hilfsmittel für alle ärztlichen Sachverständigen. 70 farbige Tafeln und 204 Abbildungen tragen wesentlich zur Erleichterung des Verständnisses bei. Der Puppesche Atlas sei deshalb allen Medizinalbeamten empfohlen.  
*Soziale mediz. Hygiene, Hamburg.*

**Zur Neuordnung des medicin. Studiums  
und Prüfungswesens**

Von Professor Dr. Bernhard Fischer, Frankfurt a. M. / Preis geh. M. 3.50.

Alle diese Reformvorschläge sind eingehend begründet, das ganze Reformsystem gründlich durchdacht und das Ergebnis reicher Erfahrungen. Die Arbeit wird zur Förderung und Klärung aller Fragen wesentlich beitragen.

Prof. Dr. Kerschensteiner in der Münch. medicin. Wochenschrift.

**Dosierungstafeln für die Röntgentherapie**

von Dr. rer. nat. et phil. Friedrich Voltz (Erlangen)

Mit 40 Tabellen und 16 Figuren auf Tafeln — Preis steif kartoniert M. 20 —

Die Dosierungstafeln sollen dem Arzte zeigen, welche Dosis Strahlen er in jedem Falle anwenden muß. Die 40 Tabellen beruhen auf den exakten Messungen und Berechnungen des Verfassers und wollen dem Arzte die Wiederholung dieser langwierigen Arbeit in jedem einzelnen Falle ersparen. Den Tafeln sind Erläuterungen über die einschlägigen physikalischen Gesetze vorausgeschickt, die an Hand von 16 Figuren die Berechnungsweise der Tabellen veranschaulichen.

J. F. LEHMANN'S Verlag in MÜNCHEN.

## Lehrbuch und Atlas der Zahnheilkunde Mit Einschluß der Mund-Krankheiten

von Dr. med. u. phil. Gust. Preiswerk, Gew. Lektor an der Universität Basel.

Dritte, verbesserte u. vermehrte Auflage. Mit 56 vielfarbigen Tafeln u. 141 Textabb. Preis gut geb. M. 60.—  
(Lehmanns medizinische Handatlanten Band XXX).

Mit dem Neuerscheinen dieses Buches ist eine empfindliche Lücke, die während des Krieges in der zahnärztlichen Literatur entstanden war, wieder ausgefüllt. Das Buch bietet in der bekannten, glänzenden Ausstattung von „Lehmanns medizinischen Handatlanten“ eine umfassende Uebersicht über das ganze Gebiet der Zahn- und Mundkrankheiten. Dr. Treitel in der Zahnärztl.-Rundschau-Berlin.

## Lehrbuch und Atlas der zahnärztlichen Technik

(Lehmanns medizinische Handatlanten Band XXXIII.)

Von Dr. med. u. phil. Gust. Preiswerk, vorm. Dozent für Zahn- und Mundkrankheiten (jetzt Ifferten, Schweiz)  
Mit einem Anhang von Dr. med. Paul Preiswerk, Privatdozent an der Universität Basel.

Vierte, verbesserte und vermehrte Auflage.

Mit 28 Dreifarbendruck-Tafeln und 367 schwarzen u. farbigen Abbildungen. Preis gut gebunden M. 70.—

Die 4. Auflage wurde gründlich durchgearbeitet. Überall ist der modernen Goldguß-Technik Rechnung getragen und viele neue farbige Tafeln sowie schwarze traten zu den alten, so daß in Bild, Wort und Ausstattung hervorragendes geleistet wurde.

Man ist gewöhnt, daß der Verlag Lehmann-München auf medizinischem Gebiete nur hervorragendes bringt und vom Verfasser dieses Werkes kennt man die anerkannte Gründlichkeit. In seiner klaren, einfachen Sprache und Deutlichkeit ist das Werk als ein Muster dieser Art zu betrachten. Zeitschrift für Zahnärztl. Orthopädie.

Im Laufe des Jahres 1921 erscheinen in Neuauflage:

## Lehrbuch und Atlas der konservierenden Zahnheilkunde

von Dr. med. u. phil. Gustav Preiswerk.

(Lehmanns medizinische Handatlanten Band XXXVIII.)

Mit 32 vielfarbigen Tafeln und etwa 330 Textabbildungen. Preis gut gebunden etwa M. 50.—

Den größten Wert des Buches bedingen — wie immer — die Illustrationen, von denen das vorliegende 32 vielfarbige Tafeln und 323 Textabbildungen aufweist. Speziell die ersteren seien rühmend hervorgehoben — als Bilder von einer Anschaulichkeit, die dem Lernenden sehr wohl den Lehrer ersetzen können. Solche Bücher empfehlen sich von selbst. Prager Medizin. Wochenschrift.

## Atlas und Lehrbuch der zahnärztlich-stomatologischen Chirurgie

von Privatdozent Dr. Paul Preiswerk in Basel.

(Lehmanns medizinische Handatlanten Band XXXIX.)

Mit 35 farbigen Tafeln und etwa 250 schwarzen Abbildungen. Preis gut gebunden etwa M. 50.—

Dem äußerst sachlich geschriebenen Text sind zahlreiche instructive Abbildungen beigegeben. Das Buch ist von einem erfahrenen Praktiker für die Praxis geschrieben und dürfte sich bald eines großen Leserkreises erfreuen. Deutsche Medizinische Wochenschrift.

## Atlas und Grundriß der zahnärztlichen Orthopädie

von Privatdozent Emil Herbst, D. D. S. in Bremen-München

Mit 3 vielfarbigen lithographischen Tafeln und etwa 250 Textabbildungen.

Preis gut gebunden etwa M. 50.— (Lehmanns medizinische Handatlanten Band XXVI.)

Die zahlreichen Abbildungen erleichtern das Verständnis der beschriebenen Fälle, so daß dieses Buch wertvolle Anregungen für den Praktiker enthält. Deutsche Medizinische Wochenschrift.

## Krankheit und soziale Lage

Unter Mitwirkung hervorragender Fachmänner herausgegeben von Professor Dr. M. Mosse, Berlin und Dr. med. G. Tugendreich, Berlin.

Inhaltsübersicht:

I. Allgemeiner Teil: 1. Einleitung von Prof. M. Mosse und Dr. G. Tugendreich. 2. Grundzüge der Krankheits- und Todesursachenstatistik von Professor Dr. H. Silbergliet.

II. Soziale Ätiologie der Krankheiten: 3. Die Wohnung in ihrem Einfluß auf Krankh. und Sterblichk. von Geh. Med.-Rat Professor Dr. E. W. Wernicke. 4. Die Ernährung in ihrem Einfluß auf Krankh. und Sterblichkeit von Professor Felix Hirschfeld. 5. Die Arbeit bzw. der Beruf in ihrem Einfluß auf Krankh. und Sterblichkeit von Landesgewerbeamte Dr. Franz Koelsch. 6. Einfluß der soz. Lage auf Krankh. und Sterblichk. der Frau von San.-Rat Dr. W. Weinberg. 7. Einfluß der soz. Lage auf Krankh. und Sterblichk. des Kindes von Dr. G. Tugendreich. 8. Einfluß der soz. Lage auf die Schulausganglichkeit von Schularzt Dr. M. Fürst. 9. Einfluß der soz. Lage auf die Militärausganglichkeit von Generalarzt a. D. Dr. H. Meisner. 10. Einfluß der soz. Lage auf Nerven- und Geisteskrankheiten, Selbstmord und Verbrechen von Priv.-Doz. Dr. G. Voß. 11. Einfluß der soz. Lage auf den Alkoholismus von San.-Rat Dr. B. Laquer. 12. Einfluß der soz. Lage auf die Geschlechtskrankheiten von Prof. Dr. Alfr. Blaschko und Dr. W. Fischer. 13. Einfluß der soz. Lage auf die Infektionskrankheiten von Oberarzt Dr. F. Reiche. 14. Einfluß der soz. Lage auf die Tuberkulose von Prof. Dr. M. Mosse. 15. Einfluß der soz. Lage auf den Krebs von Hofrat Dr. Ad. Theilhaber. 16. Einfluß der soz. Lage auf die Zahnkrankheiten von Professor Dr. Fr. Willger.

III. Soziale Therapie der Krankheiten: 17. Bekämpfung der soz. Krankheitsursachen durch den Staat von Min.-Rat Prof. Dr. Fr. Zahn u. Dr. Kleininst. 18. Aufgaben der Gemeinde- u. der privaten Fürsorge v. Stadtrat Dr. med. Ad. Gottstein. 19. Einfluß der sozialen Gesetzgebung auf Verhütung, Erkennung und Verlauf der Krankheiten v. Dr. Alfons Fischer. 20. Soziale Maßnahmen zur Besserung der Fortpflanzungsauslese v. Dr. Wilh. Schallmayer.

Umfang: 55 Bog. gr. 8°. Preis geheftet M. 50.— gebunden M. 60.—



J. F. LEHMANN'S Verlag in MÜNCHEN.

---

**Lehmanns medizinische Atlanten.** *Neue Folge in Quartformat. Band I.*

**Atlas und Grundriß der  
topographischen und angewandten Anatomie**

von Dr. med. Oskar Schultze, o. ö. Professor der Anatomie in Würzburg.

Dritte völlig umgearbeitete und vermehrte Auflage.

Herausgegeben v. Prof. Dr. W. Lubosch, Prosektor d. Anatomie u. d. anthropotomischen Anstalt in Würzburg.  
Mit vielen meist farbigen, zum großen Teil auf Tafeln gedruckten Abbildungen nach Originalen der Maler  
A. Schmittson, K. Hajek und Fr. Kotzian.

*Erscheint Mitte 1921.*

Deutsche Medizinal-Zeitung, Berlin: . . . . Was die plastische belehrende Form der anatomischen Abbildung auch für die kompliziertesten Gestaltungen nur irgend zu leisten vermag, und was die heutige Reproduktionstechnik davon zum Ausdruck zu bringen versteht, das zeigt das Schultzesche Werk. Und das ist außerordentlich, ja bewundernswert viel. *L. Pick, Berlin.*

---

*Band VIII.*

Für Amtsärzte, Krankenhäuser und Sanatorien nahezu unentbehrlich:

**Atlas und Lehrbuch der Hygiene**

mit besonderer Berücksichtigung der Städte-Hygiene

in Verbindung mit hervorragenden Fachmännern herausgegeben

von Prof. Dr. W. Prausnitz

Vorstand des hygienischen Instituts der Universität Graz.

Inhaltsverzeichnis:

**Vorwort, Einleitung.** — Aufgabe der Bauordnungen, Professor Dr. W. Prausnitz, Graz. Öffentliche Straßen, Plätze und Anlagen, Ingenieur H. Stillknecht, München. Planliche Darstellung von Hochbauten, Oberingenieur R. Kloss, Graz. Baustoffe und Baugelände, Professor E. von Meonachy, München. Entwurf, Ausführung und Benützung von Hochbauten, Professor Dr. H. Hammerl und Oberingenieur R. Kloss, Graz. Familienhäuser-Kolonien, Gartenstädte, Architekt C. Ebert, München. Arbeiterwohnungen (Kleinwohnungen), Professor Dr. W. Prausnitz, Graz. Wasserversorgung, Professor Dr. Ph. Forchheimer, Graz. Lüftung und Heizung, Bade-Einrichtungen, Dampfwäscherel, Dipl.-Ingenieur H. Recknagel, München. Beleuchtung, Stadtrat H. Metzger, Bromberg. Abfallstoffe und ihre Beseitigung, Oberingenieur A. Kleinschroth, München. Müll-Beseitigung und -Verwertung, Stadtrat H. Metzger, Bromberg. Entstaubungsapparate, Stadtrat H. Metzger, Bromberg. Die Hygiene des Schulgebäudes, I. Stadtbaumeister Hennig, Dresden. Schulbänke, Privatdozent Dr. A. Wittek, Graz. Krankenhäuser, Baurat A. G. Stradal, Wien. Tuberkuloseheilstätten und Erholungsstätten, Professor Dr. Th. Pfeiffer, Graz. Baracken, Professor Dr. Th. Pfeiffer, Graz. Rettungswesen und Krankentransport, Seesaniitätsarzt Dr. M. Kaiser, Triest. Desinfektion, Professor Dr. P. Th. Müller, Graz. Bestattungsanlagen, Professor Dr. A. Lode, Innsbruck. Schlacht- und Viehhöfe, Obermedizinalrat Prof. Dr. R. Edelmann, Dresden. Markthallen, Stadtbauinspektor Dr. Ing. H. Küster, Breslau.

**700 S. Text in 4°. Mit 818 Abbild., darunter 4 farb. Tafeln. — Preis in Leinw. geb. Mk. 56.—.**

**Friedensausstattung — Holzfreies Papier.**

Zentralblatt für innere Medizin: . . . . 818 ausgezeichnet klare, zum Teil hervorragend schöne und durchweg lehrreiche Abbildungen schmücken das ziemlich umfangreiche, im Quartformat hergestellte Buch. Es liegt hier eine wirkliche Bereicherung unserer medizinischen Literatur vor, welche das Nachschlagen in anderen Büchern und Zeitschriften mit einem Schlage unnötig macht. Das Buch wendet sich auch keineswegs an den Hygieniker allein, sondern erscheint gerade deshalb so wertvoll, weil es jedem Arzte, ja dem medizinischen Laien, die Grundforderungen der Hygiene in äußerst leichtfaßlicher, interessanter Form einprägt. Wir können dem Buche nur die wärmste Empfehlung auf den Weg geben.

---

**Grundzüge der Hygiene**

unter Berücksichtigung der Gesetzgebung des Deutschen Reiches und Oesterreichs.

Von Dr. W. Prausnitz, Professor der Hygiene an der Universität Graz.

Für Studierende an Universitäten und technischen Hochschulen, Aerzte, Architekten, Ingenieure und Verwaltungsbeamte.

Elfte, verbesserte und vermehrte Auflage.

Gr. 8°, 761 Seiten Text mit 284 Abbildungen. **Preis geh. Mk. 32.—, geb. M. 40.—.**

---

*Die am 15. März 1921 gültigen Verlagssteuerminderungen sind in obigen Preisen inbegriffen.*

J. F. LEHMANN'S Verlag in MÜNCHEN.

**Lehmanns medizinische Atlanten.** *Neue Folge in Quartformat. Band V.*

## **Atlas typischer Röntgenbilder vom normalen Menschen**

Ausgewählt und erklärt nach chirurgisch-praktischen Gesichtspunkten, mit Berücksichtigung der Varietäten und Fehlerquellen, sowie der Aufnahmetechnik.

Von Prof. Dr. med. R. Grashey, Assistenzarzt der chirurg. Klinik zu München.

**Vierte verbesserte Auflage.** Mit über 200 Tafelbildern (Autotypien) in Original-Größe und etwa 350 Textabbildungen (Umrißzeichnungen, Ansichten und anderes).

**Erscheint 1921.**

**Ärztl. Mitteilungen:** Die Zahl der autotypischen Bilder ist gewachsen, Skelett- und Situationskizzen, von Künstlerhand entworfen, sind hinzugekommen. Namentlich haben die Besonderheiten des kindlichen Körpers, einzelne Skeletteile und Varietäten eine größere Berücksichtigung erfahren. Auch der einleitende Text ist sowohl in seinem technischen wie physikalischen Teil erweitert, doch liegt der Schwerpunkt des Atlases, wie bisher, in den prachtvollen Bildern und ihrer Erklärung. Durch die Summe technischer, künstlerischer und wissenschaftlicher Arbeit, verbunden mit vornehmer äußerer Ausstattung, ist ein Werk von hervorragendem Wert geschaffen, das als zuverlässiger Ratgeber im Röntgenzimmer und als Zierde der ärztlichen Bibliothek seinen Platz behaupten wird.

## **Band VI. Atlas chirurgisch-pathologischer Röntgenbilder**

Von Prof. Dr. Rudolf Grashey, Assistenzarzt der chirurg. Klinik zu München.

**Zweite Auflage erscheint 1921.**

**Band VII.**

## **Atlas und Grundriß der Röntgendiagnostik in der inneren Medizin**

Bearbeitet von

Prof. und Drs. L. Brauer, Hamburg. — Hans Dietlen, Davos. — E. Finckh, Stuttgart. — Otto Goetze, Frankfurt a. M. — Franz M. Groedel, Frankfurt a. M. — Georg Fedor Haenisch, Hamburg. — Guido Holzknecht, Wien. — Friedrich Jamin, Erlangen. — M. Immelmann, Berlin. — Alban Köhler, Wiesbaden. — Paul Krause, Bonn. — M. Otten, Magdeburg. — W. Pfeiffer, Frankfurt a. M. — O. Schnaudigel, Frankfurt a. M. — G. Spieß, Frankfurt a. M.

Herausgegeben von Privatdozent Dr. med. Franz M. Groedel.

**Dritte, vollkommen umgearbeitete und wesentlich erweiterte Auflage.**

Mit 541 autotypischen Abbildungen auf 137 Tafeln und mit zahlreichen Textabbildungen.

**Erscheint Frühjahr 1921.**

Aus einer Besprechung über die 2. Auflage:

... Der Umfang des Buches wurde fast verdoppelt. Hinzugekommen sind kurze bündige Abhandlungen von befugter Seite über die Röntgenuntersuchungen bei Erkrankungen des zentralen und peripherischen Nervensystems, der Augen, des Gehörorgans, der Kiefer und der Zähne. Die Ausstattung des Buches ist eine vorzügliche. Mit Hilfe desselben kann sich der Praktiker in verhältnismäßig kurzer Zeit einen kritischen Blick für den Wert der Röntgendiagnostik in der inneren Medizin verschaffen. (*Deutsche Medizin. Wochenschrift*, 1915, Nr. 11)

## **Erkennung der Geistesstörungen** (Psychiatrische Diagnostik)

von

Dr. phil. und med. Wilhelm Weygandt

o. ö. Professor der Psychiatrie an der Universität Hamburg, Direktor der Staatskrankenanstalt Friedrichsberg.

Mit einem **serologisch-diagnostischen** Teil von Privatdozent Dr. med. Viktor Kafka.

VIII und 250 Seiten Lex.-Oktav mit 18 farbigen Tafeln und 318 Textabbildungen.

**Preis geheftet M. 34.—, gebunden M. 42.—.**

(Lehmanns medizinische Lehrbücher Band 1.)

Aus dem Inhalt: Anamnese, Vorgeschichte — Untersuchung des geistigen Zustandes — Untersuchung des körperlichen Zustandes — Serologische Diagnostik — Beobachtung — Verheimlichung, Simulation usw. — Grenzen des Irreseins — Psychiatr. Fragebogen und Untersuchungsschema — Spez. Diagnostik.

**Die am 15. März 1921 gültigen Verlagsteuerungszuschläge sind in obigen Preisen inbegriffen.**

*Ermanell Brand*

J. F. LEHMANN'S Verlag in MÜNCHEN.

Lehmanns medizinische Atlanten. Neue Folge in Quartformat. Band X.

## Atlas und Grundriß der Rachitis

von Dr. Franz Wohlaue,

Assistent a. d. Universitätspoliklinik für orthopädische Chirurgie in Berlin. Spezialarzt für Röntgenologie.  
Mit 2 farbigen und 108 schwarzen Abbildungen auf 34 autotypischen und 12 photographischen Tafeln  
und mit 10 Textabbildungen.

**Preis in Leinwand gebunden M. 40.—. Friedensausstattung — Holzfreies Papier.**

Inhaltsübersicht: A. Grundriß: Ätiologie — Pathologie der Knochenveränderungen — Röntgenbefunde — Allgemeines Wesen der rachitischen Veränderungen — Differentialdiagnose — Zeitfolge der Knochenerkrankungen — Die Deformitäten im speziellen: Schädel, Zahnentwicklung, Thorax, Clavicula, Scapula, Wirbelsäule, Becken, Humerus, Ellbogengelenk, Vorderarm, Oberarm, Kniegelenk, Unterschenkel, Fuß. — Einfluß der Rachitis auf die Körpergröße — Klinische Erscheinungen von selten der anderen Organe — Therapie — Literaturverzeichnis. — B. Atlas: Abbildungen mit ausführlichen Erklärungen — Schlagwortregister. . . . Das Werk enthält eine nahezu erschöpfende Sammlung ungewöhnlich schöner Photographien rachitischer Kinder sowie rachitisch deformierter Skeletteile und gibt am Schlusse auf 12 großen photographischen Tafeln das röntgenologische Verhalten der rachitischen Knochen in bisher unerreichter klarer Weise wieder. — Im begleitenden Text finden die orthopädisch und chirurgisch wichtigen Verhältnisse der Rachitis eine ausführliche und gute Darstellung. . . .

Korrespondenzblatt für Schweizer Aerzte.

Band XI.

## Atlas und Lehrbuch

### Wichtiger tierischer Parasiten und ihre Ueberträger

mit besonderer Rücksicht auf die Tropenpathologie

Dr. med. et ph.

o. ö. Professor der Hygienischen Institute

Mit 1300 farb. Abbild. a

n Mayer

für Schiffs- u. Tropen-  
medizin.

Leinwand geb. M. 80.—

Kurzes Inhaltsverzeichnis:  
Amöben — Trichomonaden  
mit Stechfliegen (Glossinen)  
— Leishmanien — Rhizopoden  
— Hämogregarinen  
und Organuntersuchungen  
und Culex — Einige  
— Babesien s. Piroplasmiden  
Würmer — Nematoden  
Fliegenlarven — Flöhe

Das Buch behandelt in  
kurzer und gibt eine genaue Darstellung  
deren erster und größter der  
den Würmern gewidmet ist.

Die Abbildungen sind zu  
Tafeln, die aus 1300 Originalen  
sich besser und vollständiger  
einem der beiden Autoren

zoen — Parasitische  
oli — Trypanosomen  
— Trypanoplasmen  
r Vögel — Coccidien  
t. Technik der Blut-  
falaria — Anopheles  
Larven und Puppen  
— Chlamydozoen —  
in) — Parasitierende

en und ihrer Ueberträger  
sich in zwei Abschnitte,  
Metazoen, im wesentlichen

Tafeln vereinigt. Diese  
ungsmaterial dar. wie es  
n, daß sie sämtlich von  
Matschke 1914, Heft 8.

Band XIII.

## Operationsübungen

an der menschlichen Leiche und am Hund

Von Professor Dr. G. Axhausen

Oberarzt der Chirurgischen Klinik der Charité und Leiter der Poliklinik in Berlin.

Mit einem Geleitwort von Geh. Med.-Rat Professor Dr. O. Hildebrand.

XII und 308 Seiten Text mit 317 farbigen Abbildungen auf 132 Tafeln, sowie 132 zum Teil farbigen  
Textabbildungen nach Originalen von Maler Franz Kotzian.

**Preis gut gebunden M. 60.—. Friedensausstattung — Holzfreies Papier.**

Ausführliche Ankündigung mit farbiger Probetafel kostenlos.

Die am

Verlagsteuerzuschläge sind in obigen Preisen inbegriffen.

126595



